

# Наръчник на радио- любителя

*Н. ВЕЛЕВ*

*Т. СЛАВОВ*

*Д. РАЧЕВ*

МЕДИЦИНА И КУЛТУРА

Н. ВЕЛЕВ, Т. СЛАВОВ, Д. РАЧЕВ

# **Наръчник на радио- любителя**

МЕДИЦИНА И ФИЗКУЛТУРА  
СОФИЯ • 1961

В „Наръчник на радиолюбителя“ са разгледани голяма част от въпросите, които интересуват радиолюбителите и са обект на тяхната дейност. Застъпеният материал е разделен на единадесет глави, в които се дават теоретически и практически указания по основните раздели от електрониката. По всеки въпрос е дадено обяснение на физическите явления, придружено с най-необходимите справочни данни и изчислителни методи. Всяка глава се придружава и от необходимия брой практическни схеми или примери за приложение.

Наръчникът е предназначен за радиолюбители конструктори със средно ниво на подготовка и е необходимо пособие в тяхната работа.

## ПРЕДГОВОР

За нашите радиолюбители беше твърде голяма необходимостта от **наръчник**, който систематизирано и в сбита форма да дава основни сведения, справочни и изчислителни данни и практически схеми по най-важните раздели от радиотехниката и телевизията. В това отношение с настоящата книга се прави опит да се запълни една чувствуваша се празнота.

Разбира се, в този обем не беше възможно да се обхванат всички нови области от електрониката. Липсват дори някои основни раздели, като радиопредавателни устройства, разпространение на радиовълните, импулсна техника, радиолокация и други.

В първите глави се дават основните сведения по електротехника и радиотехника. По-нататък са разгледани електронните лампи и полупроводниците, придружен с данни за най-разпространените от тях. В следващите глави подробно се разглеждат радиоприемниците, телевизионните приемници и измерителните уреди. Отделено е място и за въпроси от токозахранването, електроакустиката, антените и УКВ.

Материалът е изложен в такава форма, че да подпомогне начинаещите и средно напредналите радиолюбители в усвояване на явленията, съставяне на схемите и изчисление на отделните им стъпала. За тази цел **наръчникът** се придружава и от необходимия брой справочни таблици и графици.

Материалът съставиха: Н. Велев — електронни лампи и полупроводници, токозахранване и радиоприемници; инж. Д. Рачев — основни сведения по електротехника и радиотехника, УКВ приемници и предаватели, нискочестотни усилватели, електроакустика; инж. Т. Славов — телевизия, антени, радиотехнически измервания. Справочните данни са съставени от Н. Велев.

*Авторите*



## 2. Измерителни единици и тяхното означение

Наименование	Съкратено означение	Наименование	Съкратено означение
Грам	г	Волт	в
Килограм	кг	Киловолт	кв
Тон	т	Миливолт	мв
Милиграм	мг	Микроволт	мкв
Метър	м	Ват	вт
Километър	км	Киловат	квт
Сантиметър	см	Хектоват	хвт
Милиметър	мм	Миливат	мвт
Микрон	мкм	Микроват	мквт
Квадратен метър	м <sup>2</sup>	Електрон	е
Литър	л	Кулон	К
Ом	ом	Ампер-секунда	асек
Килоом	ком	Ампер-час	ач
Мегаом	мом	Микрокулон	мкк
Фарад	ф	Ват-секунда	втсек
Микрофарад	мкф	Ерг	ерг
Нанофарад	нф	Гаус	гс
Пикофарад	пф	Ершел	ерш
Хенри	хн	Ампер-навивка	ан
Милихенри	мхн	Люмен-секунда	лмс
Микрохенри	мкхн	Лукс	лкс
Хери	хц	Стнзб	сб
Килохери	кхц	Фот	фот
Мегахери	мгхц	Фот-секунда	фот-с
Волт-секунда (Вебер)	вб	Свещ	св
Секунда	сек	Джаул	дж
Минута	мин	Ват-час	втч
Час	час	Киловат-час	квтч
Люмен	лм	Хектоват-час	хвтч
Килолюмен	клм	Калория	кал
Ампер	а	Килокалория	ккал
Килоампер	ка	Бар	бар
Милиампер	ма	Милибар	мбар
Микроампер	мка	Пеца	пз

## Значение на приставките към единиците на метричната система

Наименование	Съкратено означение	Наименование	Съкратено означение
Пико (микромикро)	<i>p</i>	Дека	<i>dk</i>
Нано (милнмикро)	<i>n</i>	Хекто	<i>х</i>
Микро	<i>мк</i>	Кило	<i>к</i>
Мили	<i>м</i>	Мега	<i>М(мг)</i>
Сант	<i>с</i>	Гига	<i>Г</i>
Деци	<i>д</i>	Тера	<i>Т</i>

## 3. Децибели и непер

Деци-бел	Отношение на напрежения и токове	Отношение на мощност	Непер	Деци-бел	Отношение на напрежения и токове	Отношение на мощност	Непер
0	1,00	1,00	0,0	2,2	1,29	1,66	0,25
0,1	1,01	1,02	0,01	2,4	1,32	1,74	0,28
0,2	1,02	1,05	0,02	2,6	1,35	1,82	0,31
0,3	1,04	1,07	0,04	2,8	1,38	1,90	0,33
0,4	1,05	1,10	0,05	3,0	1,41	1,99	0,35
0,5	1,06	1,12	0,06	4	1,58	2,51	0,46
0,6	1,07	1,15	0,07	5	1,78	3,16	0,58
0,7	1,08	1,18	0,08	6	1,99	3,98	0,69
0,8	1,10	1,20	0,09	7	2,24	5,01	0,81
0,9	1,11	1,23	0,10	8	2,51	6,31	0,92
1,0	1,12	1,26	0,12	9	2,82	7,94	1,04
1,1	1,13	1,29	0,13	10	3,16	10,00	1,15
1,2	1,15	1,32	0,14	11	3,55	12,59	1,27
1,3	1,16	1,35	0,15	12	3,98	15,85	1,38
1,4	1,17	1,38	0,16	13	4,47	19,95	1,50
1,5	1,19	1,41	0,17	14	5,01	25,12	1,61
1,6	1,20	1,44	0,18	15	5,62	31,62	1,73
1,7	1,22	1,48	0,19	16	6,31	39,81	1,84
1,8	1,23	1,51	0,21	17	7,08	50,12	1,96
1,9	1,24	1,55	0,22	18	7,94	63,10	2,07
2,0	1,26	1,58	0,23	19	8,91	79,43	2,19

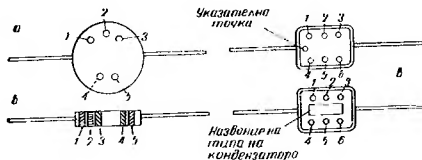
Деци- бели	Отношение на напре- жения и токове	Отношение на мощно- сти	Непери	Деци- бели	Отношение на напре- жения и токове	Отношение на мощно- сти	Непери
20	10,00	100,0	2,30	46	199,5	39800	5,29
21	11,22	125,9	2,40	47	223,9	50100	5,41
22	12,59	158,5	2,53	48	251,2	63100	5,52
23	14,13	199,5	2,65	49	281,8	79400	5,64
24	15,85	251,2	2,76	50	316,2	100000	5,76
25	17,78	316,2	2,88	51	354,8	126000	5,84
26	19,95	398,1	2,99	52	398,1	158000	5,98
27	22,39	501,2	3,11	53	446,7	199000	6,10
28	25,12	631,0	3,22	54	510,2	251000	6,21
29	28,18	794,3	3,34	55	562,3	316000	6,33
30	31,62	1000	3,45	56	631,0	399000	6,45
31	35,48	1259	3,57	57	707,9	501000	6,56
32	39,81	1585	3,68	58	794,3	631000	6,68
33	44,67	1990	3,80	59	891,3	794000	6,79
34	50,12	2510	3,91	60	1000,0	1000000	6,91
35	56,23	3160	4,08	65	1778,3	$3162 \times 10^6$	7,48
36	63,10	3980	4,14	70	3162,3	$10^7$	8,06
37	70,79	5010	4,26	75	56294	$3162 \times 10^7$	8,64
38	79,43	6310	4,37	80	10000	$10^8$	9,21
39	89,13	7940	4,49	85	17782	$3162 \times 10^8$	9,79
40	100,0	10000	4,61	90	31623	$10^9$	10,36
41	112,2	12600	4,72	95	56234	$3162 \times 10^9$	10,94
42	125,9	15800	4,83	100	$10^5$	$10^{10}$	11,51
43	141,3	19900	4,95	110	$3162 \times 10^5$	$10^{11}$	12,66
44	158,5	25100	5,06	120	$10^5$	$10^{12}$	13,82
45	177,8	31600	5,18	130	$3162 \times 10^5$	$10^{13}$	14,97

## 4. Цветен код на кондензаторите

Цвят на кодъ	Условно значения на цвета						работно напре- жение, В
	номинален капацитет в пф		допустимо откло- нение в %	температурен коэффициент на конденсатора		величина на $10 \cdot 10^{-6}$	
	цифри	множител		буквено означение			
Черен	0	1	—	—	—	—	
Кафяв	1	10	—	—	—	250	
Червен	2	10 <sup>2</sup>	± 1	Д	—730 ± 100	500	

Цвят на код	Условно значение на цвета					
	номинален капацитет в пф.		допустимо отклонение в %	температурен коефициент на кондензатора		работно напрежение, в
	цифри	множител		буквено означение	величина на $1^{\circ} 10^{-6}$	
Оранжев	3	$10^3$	—	Ж	$-600 \pm 80$	1000
Жълт	4	$10^4$	—	—	—	1500
Зелен	5	$10^5$	—	Ц	$-200 \pm 50$	2000
Син	6	$10^6$	—	С	$-110 \pm 30$	2500
Гълъбов	—	—	—	М	$-50 \pm 30$	—
Виолетов	7	$10^7$	—	—	—	3000
Сив	8	$10^8$	—	Р	$-40 \pm 20$	5000
Бял	9	$10^9$	$\pm 2$	Г	$\pm 50$	7000
Златен	—	0,1	$\pm 5$	В	$\pm 100$	—
Сребърен	—	0,01	$\pm 10$	Б	$\pm 200$	—
Безцветен	—	—	$\pm 20$	А	—	—

Номиналният капацитет се указва с три знака: първите два знака означават десетиците и единиците, а третият — множителя към тези цифри. Всяка от останалите характеристики се означава с един знак.



Маркировката на кондензатори, имащи форма на диск, тръбичка и правоъгълник, е показана на горната фигура. Цветните точки или лентички, отбелязани на фигурата с цифри, означават: 1 — десетици; 2 — единици; 3 — множител към първите две значения; 4 — допустимо отклонение от номинална стойност; 5 — температурен коефициент; 6 — работно напрежение.

На кондензатора с каквато и да е форма характеристиките се четат отляво надясно, при което:

кондензаторът във форма на диск (а) се разполага така, че знаците на номиналната стойност (трите точки) се намират отгоре (над изводите на кондензатора);

кондензаторът във форма на тръба (б) се разполага така, че знаците на номиналния капацитет (трите ленти) се намират вляво;

кондензаторът във форма на правоъгълник (в) се разполага така, че надписът (наименованието на типа на кондензатора) се намира в нормално положение, а при липса на надпис — така, че показващата точка на кондензатора се намира вляво.

## 5. Класификация на излъчванията

Вид на модулацията	Вид на предаването	Допълнителни характеристики	Знак
Амплитудна модулация	Без всякаква модулация	—	Ao
	Телеграфия без модулация чрез звукова честота (манипулация с включване или изключване)	—	A1
	Телеграфия чрез манипулиране на звукова модулираща честота или на звукови модулиращи честоти или чрез манипулиране на модулирано излъчване. (Частен случай — неманипулирано модулирано излъчване.)	—	A2
	Телефония	Двойна странична лента, пълна носеща вълна	A3
		Единична странична лента, намалена носеща вълна	A3a
		Две странични независими ленти, намалена носеща вълна	A3в
	Факсимиле . . . . .	—	A4
	Телевизия . . . . .	—	A5
	Сложни предавания и случаи, които не са предвидени по-горе	—	A9
	Сложни предавания . . . . .	Намалена носеща вълна	A9c
Честотна (фазова) модулация	Без всякаква модулация	—	F0
	Телеграфия без модулация чрез звукова честота. (Манипулиране чрез честотно изместване.)	—	F1
	Телеграфия чрез манипулиране на звукова модулираща честота или чрез манипулиране на модулираното излъчване . . . . .	. . . . .	F2
	Телеграфия . . . . .	. . . . .	F3
	Факсимиле . . . . .	. . . . .	F4
	Телевизия . . . . .	. . . . .	F5
	Сложни предавания и случаи, които не са предвидени по-горе . . . . .	. . . . .	F9

Вид на модуляцията	Вид на предаването	Допълнителни характеристики	Знак
Модуляция чрез импулси	Без всякаква модуляция, предназначено за предаване на съобщение		Po
	Телеграфна без модуляция чрез звука честота		P <sub>1</sub>
	Телеграфна чрез манипулиране на звукова манипулираща честота или чрез манипулиране на модулирания импулс	Амплитуда на модулирания импулс със звукова честота	P2d
		Звукова честота, модулираща ширината на импулса	P2e
		Звукова честота, модулираща фазата	P2f
	Телефония	Амплитудна модулация	P3d
		Фазова модулация	P3e
	Сложни предавания и случаи, които не са предвидени по-горе		P9

## 6. Сипфемо

	S	J	N	P	F	E	M	O
	смущения				модулация			
	сила на сигнала	изкуствена	атмосферни	разпространение на вълните	скорост на фазата	качество	обща оценка	
Скала								
5	отлично	без	без	без	няма	отлично	висок	отлично
4	добра	слаби	слаби	слаби	бавен	добро	добър	добра
3	удовлетв.	умерени	умерени	умерени	средна	удовлетв.	удовлетв.	удовлетв.
2	неудовл.	силни	силни	силни	бърз	неудов.	неудовл.	неудовл.
1	съвсем неудовл.	много силни	много силни	много силни	много бърз	съвсем неудовл.	съвсем неудовл.	съвсем неудовл.

## 7. Радилюбителски код

Радилюбителите при установяване на връзки помежду си употребяват Q-код. Всяко съкращение, предадено с въпросителен знак на края, означава запитване, а предадено без въпросителен знак - отговор на зададения въпрос или съобщение изобщо.

## Най-употребявани съкращения от Q-кода

Съкращение	Въпрос	Отговор или известие
QRA	Как е името на Вашата станция?	Името на моята станция е . . .
QRB	На какво приблизително разстояние Вие се намирате от моята станция?	Приблизителното разстояние между нашите станции е . . . морски мили или км
QRC	От коя частна експлоатация (или държавна администрация) се уреждат сметките за таксите на Вашата станция?	Сметките за таксите на моята станция се уреждат от частната експлоатация . . . (или от държавната администрация . . .)
QRD	Къде отивате и откъде идвате?	Отивам в . . . , а идвам от . . .
QRE	В колко часа смятате да пристигнете в . . . (място)?	Смятам да пристигна в . . . (място) в . . . часа
QRF	Връщате ли се и . . . (място)?	Връщам се в . . . (място)
QRG	Желаете ли да посочите моята точна честота (или точната честота на . . . )?	Вашата точна честота (или точната честота на . . . ) е . . . kHz (MHz)
QRH	Моята честота изменя ли се?	Вашата честота се изменя
QRI	Какъв е тонът на моето предаване?	Тонът на Вашето предаване е: 1) добър 2) променлив 3) лош
QRK	Каква е четливостта на моите сигнали или сигналите на . . . ?	Четливостта на Вашите сигнали (или сигналите на . . . ) е: 1) нечетлива 2) четлива на моменти 3) четлива, но мъчно 4) четлива 5) отлично четлива
QRL	Заети ли сте?	Зает съм (или зает съм с . . . ) Моля не смущавайте!
QRM	Смущавани ли сте?	Смущавам съм
QRN	Смущавани ли сте от паразити?	Смущавам съм от паразити
QRO	Трябва ли да увелича мощността?	Увеличете мощността
QRP	Трябва ли да намаля мощността?	Намалете мощността
QRQ	Трябва ли да предавам по-бързо?	Предавайте по-бързо ( . . . думи в минута)
QRS	Трябва ли да предавам по-бавно?	Предавайте по-бавно ( . . . думи в минута)
QRT	Трябва ли да преустановя предаването?	Преустановете предаването
QRU	Имате ли нещо за мене?	Нямам нищо за Вас
QRV	Готови ли сте?	Готов съм
QRW	Трябва ли да предупредя . . . , че Вие го викате на . . . kHz (MHz)?	Моля уведовете . . . , че го викам на . . . kHz (MHz)

Съкращение	Въпрос	Отговор или известие
QRX	В кой момент ще ме повикате отново?	Ще Ви повикам отново в . . . часа на . . . <i>кхц (мгхц)</i>
QRY	Кой е моят ред?	Номерът на Вашия ред е . . . (според всяко друго указание или относно съобщение)
QRZ	От кого съм викан?	Вие сте викани от . . . на . . . <i>кхц (мгхц)</i>
QSA	Каква е силата на моите сигнали (или сигналите на . . .)?	Силата на Вашите сигнали (или на сигналите на . . .) е: 1) мъчно доловима; 2) слаба; 3) твърде слаба; 4) добра; 5) много добра
QSB	Изменя ли се силата на моите сигнали?	Силата на Вашите сигнали се изменя
QSD	Моята манипулация дефектна ли е?	Вашата манипулация е дефектна
QSI	Можете ли да прекъснете моето (или на . . .) предаване?	Беше невъзможно да прекъсна Вашето предаване или желаете ли да уведомяте (повикателен знак), че ми беше невъзможно да прекъсна неговото предаване на . . . <i>кхц (мгхц)</i>
QSK	Можете ли да ме чувате между Вашите сигнали?	Мога да Ви чувам между моите сигнали
QSL	Можете ли да ми дадете потвърждение за приемане?	Давам Ви потвърждение за приемане
QSM	Трябва ли да повторя последната телеграма, която Ви предадох (или една предшествуваща телеграма)?	Повторете последната телеграма, която ми предадохте (или телеграма номер . . .)
QSN	Чухте ли ме или чухте ли . . . (повикателен знак) на . . . <i>кхц (мгхц)</i> ?	Чух Ви или чух . . . (повикателен знак) на . . . <i>кхц (мгхц)</i>
QSO	Можете ли да влизате във връзка с . . . директно (или чрез преподаване)?	Мога да влизам във връзка с . . . директно (или посредством . . .)
QSP	Желаете ли да предадете безплатно?	Мога да предам на . . . безплатно
QSU	Трябва ли да предавам (отговарям) на сегашната честота или на . . . <i>кхц (мгхц)</i> , с излъчване на клас . . . ?	Предавайте (отговорете) на сегашната честота или на . . . <i>кхц (мгхц)</i> , с излъчване на клас . . .
QSV	Трябва ли да предавам серия от V на тази честота или на . . . <i>кхц (мгхц)</i> ?	Предавайте серия V на тази честота или на . . . <i>кхц (мгхц)</i>



Съкращение	Въпрос	Отговор или известие
QSW	Желаете ли да предавате на настоящата честота или на . . . <i>кхц</i> ( <i>мгхц</i> ), с излъчване на клас . . . ?	Ще предавам на сегашната честота или на . . . <i>кхц</i> ( <i>мгхц</i> ), с излъчване на клас . . .
QSX	Желаете ли да слушате . . . (повиквателен знак) на . . . <i>кхц</i> ( <i>мгхц</i> ) ?	Слушам . . . (повиквателен знак) на . . . <i>кхц</i> ( <i>мгхц</i> )
QSY	Трябва ли да мина на предаване на друга честота ?	Минете на предаване на друга честота или на . . . <i>кхц</i> ( <i>мгхц</i> )
QSZ	Трябва ли да предавам всяка дума (група) няколко пъти ?	Предавайте всяка дума (група) два пъти (или . . . пъти)
QTC	Колко телеграми имате за предаване ?	Имам . . . телеграми за Вас (или за . . .)
QTH	Кое е Вашето местонахождение в географска ширина и дължина (или според всяко друго указание) ?	Моето местонахождение е . . . ширина н . . . дължина (или според всяко друго указание)
QTQ	Можете ли да влезете във връзка с моята станция с помощта на международния код от сигнали ?	Ще вляза във връзка с Вашата станция с помощта на международния код от сигнали
QTR	Колко е точно часът ?	Часът е точно . . .
QTS	Желаете ли да предавате Вашия повиквателен знак в продължение на . . . минути сега (или от . . . часа) на . . . <i>кхц</i> ( <i>мгхц</i> ), за да позволите измерването на Вашата честота ?	Ще предавам в . . . часа на . . . <i>кхц</i> ( <i>мгхц</i> ) моя повиквателен знак през . . . минути за измерване на моята честота
QTU	Кои са часовете, през които Вашата станция работи ?	Моята станция работи от . . . до . . . часа
QTV	Трябва ли да бдя на Ваше място на честота . . . <i>кхц</i> ( <i>мгхц</i> ) от . . . до . . . часа ?	Бдете на мое място на честота . . . <i>кхц</i> ( <i>мгхц</i> ) от . . . до . . . часа
QTX	Желаете ли да оставите Вашата станция отворена за връзка с мене до ново известие от моя страна (или до . . . часа) ?	Моята станция остава отворена за връзка с Вас до ново известие от Вашата страна (или до . . . часа)
QUA	Имате ли новини от . . . (повиквателен знак) ?	Ето новините от . . . (повиквателен знак)
QUF	Приехте ли сигнала за опасност, предаван от . . . (повиквателен знак на една подвижна станция) ?	Приех сигнала за опасност, предаван от . . . (повиквателен знак на една подвижна станция) в . . . часа
QUH	Желаете ли да посочите настоящото барометрично налягане при морското ниво ?	Сегашното барометрично налягане при морското ниво е . . . (единици)

## 8. Висококачествени кабели

## Електрически характеристики на коаксиални кабели

Тип на кабела	Капацитет в пф/м (не повече)	Вълново съпротивление в ом.	Затихване в мнп/м при честота в мГц					Работно напрежение в кВ
			10	100	300	1000	3000	
РК-1	66	77	3,5	13	23	46	100	3,5
РК-2	55	92	2,5	10	7	38	78	4,5
РК-3	68	75	2,5	8	15	30	60	5,5
РК-4	68	75	2,5	8	15	30	60	5,6
РК-6	96	52	1,9	6,3	14	31	67	4,5
РК-12	96	62	5,2	19,1 <sup>1</sup>	—	—	—	2
РК-19	96	52	6,5	23	37	69	130	1
РК-20	68	75	2,5	10	17,5	38	78	1
РК-28	96	52	2,5	10	17	—	—	1,5
РК-29	100	60	3,5	13	23	46	100	1,5
РК-31	85	70	6,3	21,5	—	—	—	5
РК-44	82	70	8	20 <sup>1</sup>	—	—	—	5
РК-45	112	52	7,2	18 <sup>1</sup>	—	—	—	8
РК-46	78	75	9	20 <sup>2</sup>	—	—	—	1
РК-47	96	52	2,5	10	17	38	78	1
РК-48	100	50	2,0	8	15	—	—	2
РК-49	70	72	4	15	26	53	103	1
РК-50	25	157	—	10 <sup>1</sup>	—	—	—	—

<sup>1</sup> Затихване при честота 30 мГц.<sup>2</sup> Затихване при честота 50 мГц.

## Електрически характеристики на високочестотни двупроводни кабели

Тип на кабела	Капацитет в пф/м	Вълново съпротивление в ом.	Затихване нп/м за честота			Работно напрежение във В
			38—40 мГц	144—146 мГц	420—425 мГц	
РД-13	58	85	0,0110	0,022	0,040	1
РД-14	40	130	0,0045	0,010	0,018	4,5
РД-15	34	150	0,0056	0,013	0,023	4,5
РД-16	25	200	0,0056	0,013	0,023	4,5
РД-17	50	100	0,0045	0,010	0,018	4,5
РД-18	45	100	0,0110	0,022	0,040	1,5
РД-26	25	200	0,0056	0,013	0,023	3,0
КАТВ	13	300	0,0018	0,0034	0,006	—

## 9. Телевизионни канали

Според стандарта ОИРТ

Брой на линиите — 625; ширина на канала — 8 мГц

Обхват	Канал	Гранични честоти на канала в мГц	Носеща честота на образа в мГц	Носеща честота на звука в мГц
I	1	48,5—56,5	49,75	56,25
	2	58—66	59,25	65,75
	3	76—84	77,25	83,75
II	4	84—92	85,25	91,75
	5	92—100	93,25	99,75
III	6	174—182	175,25	181,25
	7	182—190	183,25	189,75
	8	190—198	191,25	197,75
	9	198—206	199,25	205,75
	10	206—214	207,25	213,75
	11	214—222	215,25	221,75
	12	222—230	222,25	229,75

Според стандарта CCIR

Брой на линиите — 625; ширина на канала — 7 мГц

	1	40—47	42,25	46,75
	2	47—54	48,25	53,75
	3	54—61	55,25	60,75
	4	61—68	62,25	67,75
	5	174—181	175,25	180,75
	6	181—188	182,25	187,75
	7	188—195	189,25	194,75
	8	195—202	196,25	201,75
	9	202—209	203,25	208,75
	10	209—216	210,25	215,75
	11	216—223	217,25	222,75

## 10. Таблица на телевизионните станции в България

Съгласно Стокхолмската конференция — 1961 г.

Наименование на станцията	Канал	Мощност в кВт	Височина с антената в м	Поляризация
Михайловград . . . . .	12	50	560	хоризонтална
Димитрово (Черни връх) . . . . .	1	100	2300	"
София . . . . .	7	50	700	"
Благоевград . . . . .	10	50	1480	"
Ботев I . . . . .	9	250	2500	"
Ботев II . . . . .	11	250	2400	"
Варна . . . . .	1	50	330	"
Бургас I . . . . .	7	100	200	"
Бургас II . . . . .	12	50	200	"
Преспа . . . . .	5	100	2000	"
Коларовград . . . . .	3	100	550	"
Гоце Делчев . . . . .	3	50	750	"

**11. Сравнителна таблица  
на основните данни за съществуващите телевизионни системи**

Характеристики	Системи						
	405	525	625	белгийски 625	ОИР 625	819	белгийски 819
Брой на редовете в кадъра	405	525	625	625	625	819	819
Ширина на видеоканала в <i>МГц</i>	3	4	5	5	6	10,4	5
Ширина на целия телевизионен канал в <i>МГц</i>	5	6	7	7	8	14	7
Презредна развивка	2/1	2/1	2/1	2/1	2/1	2/1	2/1
Системата работи независимо от честотата на токоизточника	да	да	да	да	да	да	да
Честота на редовете в <i>Hz</i>	10125	15750	$15625 \pm 0,1 \%$	$15625 \pm 0,1 \%$	$15625 \pm 0,05 \%$	20475	$20475 \pm 0,1 \%$
Честота на полукадрите в <i>Hz</i>	50	60	50	50	50	50	50
Честота на кадрите в <i>Hz</i>	25	30	25	25	25	25	25
Формат на кадъра (отношение на ширината към височината)	4/3	4/3	4/3	4/3	4/3	4/3	4/3
Тип на модулацията за изображението	амплитудна	амплитудна	амплитудна	амплитудна	амплитудна	амплитудна	амплитудна
Поляризация на модулацията за изображението	положителна	отрицателна	отрицателна	положителна	отрицателна	положителна	положителна
Модулация на звуковия съпровод	$A_s$	$IF_s$	$F_s$	$A_s$	$F_s \pm 50$ кГц	$A_s$	$A_s$
Отношение на мощностите на предавателите за изображение и звука	4/1	2/1 до 2/3	5/1	4/1	2/1 до 5/1	4/1	4/1
Приблизителната стойност на излъчения гама ( $\gamma$ )-сигнал	0,4 до 0,5	0,45	0,5	0,5	0,5	0,6	0,5

## 12. Честоти за радиоразпръскване на УКВ-ЧМ

За организирането на радиоразпръсквателни мрежи за УКВ-ЧМ честотите в обхвата 66—73 мГц се разпределят в така наречените честотни набори. Това се прави главно с оглед да не си пречат различните радиопредавателни станции както вътре в страната, така също и между съседните или близки страни.

Честоти от 20 честотни набора за организиране на 4 програми

Честотни набори	Програми и честоти	Централни програми			Местна програма
		честота в мГц			
ЧМ-1	66,68	67,46	65,90	68,24	
ЧМ-2	66,74	67,52	65,96	68,36	
ЧМ-3	66,80	67,58	66,02	68,48	
ЧМ-4	66,86	67,64	66,08	68,60	
ЧМ-5	66,92	67,70	66,14	68,72	
ЧМ-6	66,98	67,76	66,20	68,84	
ЧМ-7	67,04	67,82	66,26	68,96	
ЧМ-8	67,10	67,88	66,32	69,08	
ЧМ-9	67,16	67,94	66,38	69,20	
ЧМ-10	67,22	68,00	66,44	69,32	
ЧМ-11	71,66	70,88	72,44	69,56	
ЧМ-12	71,72	70,94	72,50	69,68	
ЧМ-13	71,78	71,00	72,56	69,80	
ЧМ-14	71,84	71,06	72,62	69,92	
ЧМ-15	71,90	71,12	72,68	70,04	
ЧМ-16	71,96	71,18	72,74	70,16	
ЧМ-17	72,02	71,24	72,80	70,28	
ЧМ-18	72,08	71,30	72,86	70,40	
ЧМ-19	72,14	71,36	72,92	70,52	
ЧМ-20	72,20	71,42	72,98	70,64	

Разпределение на честотите за радиоразпръскване на УКВ-ЧМ в НР България

Станция	Надморска височина в м	Мощност в кВт	Честотен набор	Централни програми			Местна програма	Поларизация
				честота в мГц				
Димитрово . . . . .	2300	500	2/4	66,74	67,52	65,96	68,60	х
Михайловград . . . . .	600	1000	8	67,10	67,88	66,32	69,08	х
Гоце Делчев . . . . .	1300	100	19	72,14	71,36	72,92	70,52	х

## Продължение

Станция	Надморска височина в м	Мошност в кВт	Честотен набор	Централни програми			Местна програма	Полуавтоматична
				ЧЕСТОТА В МХЦ				
Пловдив . . . . .	200	250	4/2	66,86	67,64	66,08	68,36	х
Петрич . . . . .	550	100	17	72,02	71,24	72,80	69,98	х
Бургас . . . . .	550	100	9+30 9-30	67,19	67,97	66,41	69,17	х
Коларовград . . . . .	550	1000	13	71,78	71,00	72,56	69,80	х
Варна . . . . .	330	100	10+90	67,31	68,09	66,53	69,41	х
Ямбол . . . . .	550	500	3	66,80	67,58	66,02	68,48	х
Ботев . . . . .	2400	1000	11	71,66	70,88	72,44	69,56	х
Елхово . . . . .	600	250	20+30	72,23	71,45	73,01	70,67	х
Благоевград . . . . .	1500	100	6	66,98	67,76	66,20	68,84	х
Кърджали . . . . .	2000	100	1-60	66,62	67,40	65,84	68,18	х
София . . . . .	700	250	10+60 9+60	67,28	68,06	66,50	69,26	х
Ст. Загора . . . . .	600	1000	16-60	—	—	—	70,22	х

## 13. Основни свойства на някои диелектрици

Материали	Диелектрична проми- щаемост $\epsilon$	Тангенс от ъгъла на диелектричните загуби при $f=1$ МГц	Топлостойчивост в °С	Специфично тегло в г/см <sup>3</sup>
Азбест	—	—	400	2,5
Аминопласт	8	0,1	100	1,3
Бакелит (в стадий С)	4,5	0,01	—	1,25
Битум	3	0,01	30 -175	1,1
Бреза (суха)	3,5	0,02	—	0,7
Восък пчелен	2,8	0,0025	65	0,97
Галовакс	5	0,008	110	1,6
Ебоит	3,5	0,01	70	1,25
Електрокартон	3,5	0,03	100	2
Ескапон	2,7	0,0005	110	1
Канифол	3	0,005	85	1,6
Капрон	3,8	0,03	90	1,2
Карболит	4,5	0,09	110	1,4
Каучук	4	0,03	50	1,5
Коприна естествена	4,5	0,02	100	—

Продължение

Материали	Диелектрична проми- щаемост $\epsilon$	Тангенс от ъгъла на диелектричните загуби при $f=1 \text{ MHz}$	Топлоустойчивост в $^{\circ}\text{C}$	Специфично тегло в $\text{g/cm}^3$
Лакотъкаи светла . . . . .	4	0,1	105	1,1
Лакотъкаи черна . . . . .	3,5	0,1	105	1,1
Микалекс . . . . .	9	0,002	400	3
Мрамор . . . . .	9	0,01	100	2,7
Озокерит . . . . .	2,9	0,0004	75	0,94
Парафин . . . . .	2,3	0,0005	50	0,92
Пирофилит . . . . .	6	0,007	1000	2,5
Плексиглас . . . . .	3,5	0,06	60	1,2
Полистирол . . . . .	2,5	0,0002	65	1,05
Политетрафторетилен (тефлон) . . . . .	2	0,0002	до 200	2,2
Полиетклен (политен) . . . . .	2,2	0,0003	70	0,94
Полихлоринил . . . . .	4	0,04	65	1,6
Порцелан електротехнически . . . . .	6	0,01	1000	2,4
Радиопорцелан . . . . .	6,5	0,0005	1000	2,6
Радиостеатит . . . . .	7	0,0008	1000	2,8
Силициевоорганични материали . . . . .	3	0,0008	200	—
Слюда . . . . .	7	0,0004	500	2,8
Съкло . . . . .	8	0,004	1000	3
Текстолит . . . . .	4	—	120	1,4
Тиконд . . . . .	100	0,0006	1000	4
Фибър . . . . .	5	0,07	100	1,2
Целулоид . . . . .	3,5	0,1	50	1,7
Церезин . . . . .	2,2	—	75	0,95
Шеллак . . . . .	3,5	0,01	85	1,03

Забележка. Данните са за средни стойности.

#### 14. Специфично съпротивление и температурен коефициент на някои материали

Материал	Специфично съпротивление $\rho$ при $20^{\circ}\text{C}$ $\text{OM} \cdot \text{mm}^2$ $\text{m}$	Температурен коефициент $\alpha_t$ при $20^{\circ}\text{C}$
Сребро . . . . .	0,016	0,0038
Мед . . . . .	0,0175	0,004
Бронз . . . . .	0,018—0,056	—

Продължение

Материал	Специфично съпротивление $\rho$ при 20°C $\frac{\text{ом} \cdot \text{мм}^2}{\text{м}}$	Температурен коэффициент $\alpha$ при 20°C
Злато	0,023	0,004
Алуминий	0,028	0,0038
Волфрам	0,055	0,0041
Цинк	0,063	0,0037
Месинг	$0,07 \div 0,09$	0,0015
Никел	$0,08 \div 0,011$	$0,0037 \div 0,006$
Стомана	$0,10 \div 0,15$	$0,0045 \div 0,006$
Калай	0,11	0,0042
Платина	$0,11 \div 0,14$	$0,002 \div 0,003$
Олово	0,21	0,0042
Алдака	0,80	0,00025
Никелий	0,42	0,00023
Магний	0,43	-0,00001
Рютан	0,47	0,00023
Константин	0,49	-0,00003
Нихром	1,1	0,0001
Кантал	1,40	0,000014

### 15. Данни за действащите радиопредаватели на дълги и средни вълни

Номер на ка- нала	Честота в кхц	Дължина на вълната в м	Наименование на станцията и страната	Мощност в кВт по плана в Копен- хаген
-------------------------	------------------	------------------------------	--------------------------------------	---

#### Дълги вълни

1	155	1935	Брашов—Румъния, Тромза—Норвегия	150,10
2	164	1829	Хамбург—ГФР	50+
3	173	1734	Алуис—Франция	450
4	182	1648	Москва I—СССР	600
			Мюнхен—ГФР	1000+
5	191	1571	Рейкявик—Исландия	100
			Анкара—Турция	120
			Берлин—ГДР	300+
6	200	1500	Мотала—Швеция	200
			Тбилиси—СССР	—+
7	209	1435	Дройтвич—Великобритания	400
			Москва—СССР	—+
			Киев—СССР	150



Продължение

Номер на канала	Честота в кХц	Дължина на вълната в м	Наименование на станцията и страната	Мощност в кВт по плана в Копенхаген
8	218	1376	Осло—Норвегия	200
9	227	1322	Баку—СССР	— +
	233		Варшава—Полша	500
			Люксембург—Люксембург	500+
10	236	1271	Ленинград—СССР	100
11	245	1224	Калундборг—Дания	150
12	254	1181	Лахти—Финландия	200
13	263	1141	Москва—СССР	150
			Берлин—ГДР	150
14	272	1103	Прага II—Чехословакия	200
15	281	1068	Минск—СССР	190

## Средни вълни

1	529	567	Беромюнстер—Швейцария	150
			Шверин—ГДР	20
2	539	557	Будапеща I—Унгария	135
3	548	547	Харков—СССР	100
			Мюнхен—ГФР	100+
4	557	539	Хелзинки—Финландия	100
5	566	530	Атлон—Ирландия	100
			Ирак	100+
6	575	522	Рига—СССР	100
			Щутгарт—ГФР	100+
			Лайпциг—ГДР	100+
7	584	514	Виена I—Австрия	120
			Мадрид—Испания	150
8	593	506	Зундевал—Швеция	150
			София II—България	60
			Франкфурт—ГФР	100+
9	602	498	Лион—Франция	150
10	611	491	Рабат—Мароко	120
			Берлин—ГДР	500+
			Сараево—Югославия	100+
11	620	484	Брюксел I—Белгия	150
			Кайро—ОАР	100+
12	629	477	Вигра—Норвегия	100
			Тунис II—Тунис	120
			Ерфурт—ГДР	20+
13	638	470	Прага I—Чехословакия	150
			Лимизол—Кипър	100+
14	647	464	Давентри—Великобритания	150
			Симферопол—СССР	100

Продължение

Номер на ка-нала	Честота в кХц	Дължина на вълната в м	Наименование на станцията и страната	Мощност в квт по плана в Копенхаген
15	656	457	Фиренус I—Италия	80
			Неапол I—Италия	80
			Торино I—Италия	45
15	656	457	Потсдам—ГДР	20+
16	665	451	Вилнус—СССР	100
17	674	445	Ренес—Франция	150
			Ростов—СССР	100
18	683	439	Белград—Югославия	150
			Берлин—ГФР	100+
19	692	434	Никозия—Кипър	20
			Моорзиде—Великобритания	150
20	701	428	Банска Бистрица—Чехословакия	100
			Истанбул—Турция	150+
21	710	423	Марсилия—Франция	150
			Сталино—СССР	150
22	719	417	Лисабон—Португалия	120
			Дамаск—Сирия	50
			Мюихен—ГФР	135+
			Остерзунд—Швеция	150+
23	728	412	Атина—Гърция	150
24	737	407	Познан—Полша	300
			Иерусалим—Палестина	100
25	746	402	Хилверсум I—Холандия	120
26	755	397	Лисабон II—Португалия	135
			Тимишуара—Румъния	50
27	764	393	Сотен—Швейцария	150
28	773	388	Стокхолм—Швеция	150
			Кайро—ОАР	100
29	782	384	Бург—Германия	250
			Киев—СССР	100
30	791	379	Солун—Гърция	50
			Лимоге I—Франция	100
31	800	375	Ленинград—СССР	100
			Мюихен—ГФР	100+
32	809	371	Бургад—Великобритания	100
			Вестерглед—Великобритания	100
33	818	367	Варшава II—Полша	150
			Андора—Андора	100+
			Батра—ОАР	300+
34	827	363	София—България	100
			Фрайбург—ГФР	40+
35	836	359	Нанси—Франция	150
36	845	355	Рим—Италия	150

Продължение

Номер на ка- нала	Честота в кГц	Дължина на вълната в м	Наименование на станцията и страната	Мощност в кВт по плана в Копен- хаген
37	854	351	Букурещ—Румъния	150
38	863	348	Париж I—Франция	150
39	872	344	Москва III—СССР	150
			Франкфурт—ГФР	150+
40	881	341	Титоград—Югославия	20
			Вашфорд—Великобритания	150
			Кьонигвистерхаузен—ГДР	100
41	890	337	Алжир—Алжир	100
42	899	334	Милано—Италия	150
43	908	330	Лондон—Великобритания	140
			Багдад—Ирак	200
44	917	327	Любляна—Югославия	135
45	926	324	Брюксел—Белгия	150
46	935	321	Лвов—СССР	100
47	944	318	Тулуза—Франция	100
48	953	315	Бърно—Чехословакия	100
			Пилзен—Чехословакия	15
			Будьовице—Чехословакия	5
49	962	312	Турку—Финландия	100
			Тунис—Тунис	120
50	971	309	Хамбург—ГФР	100+
			Лангеберг—ГФР	100+
51	980	306	Гьотеборг—Швеция	150
			Алжир II—Алжир	200
52	989	303	Берлин—ГФР	300+
53	998	301	Кишинев—СССР	100
			Андора—Андора	100+
54	1007	298	Хилверсум II—Холандия	120
55	1016	295	Майнц—Волфшайм	120+
56	1025	293	Добъл—Австрия	100
			Крайщорф—Австрия	100
57	1034	290	Таллин—СССР	100
58	1043	288	Дреаден-Вилсдорф—ГДР	200+
59	1052	285	Старт-Поант—Великобритания	120
60	1061	283	Сан-Салвадор—Португалия	50
			Калиндборг—Дания	60
61	1070	280,5	Париж II—Франция	100
62	1079	278	Катовице—Польша	60
63	1088	275,5	Дроитвич—Великобритания	150
64	1097	273,5	Братислава I—Чехословакия	150
65	1106	271	Вилнус—СССР	100
			Шутгарт—ГФР	100

Продължение

Номер на ка-нала	Честота в кГц	Дължина на вълната в м	Наименование на станцията и страната	Мощност в кат по плана в Копен-хаген
66	1115	269	Болоня—Италия	50
			Бари II—Италия	40
67	1124	267	Левинград III—СССР	20
			Варна—България	5
68	1133	265	Загреб—Югославия	135
69	1142	262,5	Калининград—СССР	20
			Оран—Алжир	40
70	1151	261	Лизнагарвету—Великобритания	100
			Стагсхов—Великобритания	100
71	1160	258,1	Страсбург—Франция	150
72	1169	257	Одеса—СССР	150
73	1178	254,5	Хьорби—Швеция	100
74	1187	253	Будапеща—Унгария	135
75	1196	251	Мюнхен—ГФР	300+
76	1205	249	Бордо—Франция	100
			Варшава—Полша	150
77	1214	247	Брокманс—Великобритания	60
			Курск—СССР	20
78	1223	245	Фалун—Швеция	100
			Стара Загора—България	20
79	1232	243,5	Прага II—Чехословакия	100
80	1241	242	Вааса—Финландия	50
			Тираспол—СССР	20
81	1250	240	Балатоизабади—Унгария	135
82	1259	238,5	Родос—Гърция	150+
			Вроцлав—Полша	50
83	1268	236,5	Белград—Югославия	135
84	1277	235	Лил—Франция (Страсбург II)	100
85	1286	233,5	Кошице (Прага II)—Чехословакия	100
86	1295	231,5	Шарлотенбург—ГФР	100
87	1304	230	Щетин—Полша	50
			Гданск—Полша	30
88	1313	228,5	Ставангер—Норвегия	100
89	1322	227	Лайпциг—ГДР	150+
			Харков—СССР	100
90	1331	225,5	Рим I—Италия	80
			Генуа I—Италия	50
91	1340	224	Гровборуг—Великобритания	150
92	1349	222,4	Тулуза—Франция	20
93	1358	220,9	Берлин—ГДР	20+
94	1367	219,5	Торун—Полша	24
95	1376	218	Лил I—Франция	150
96	1385	216,6	Мадрид—Испания	100

Продължение

Номер на ка- нала	Честота в кГц	Дължина на вълната в м	Наименование на станцията и страната	Мощност в кВт по плана в Копен- хаген
97	1394	215,2	Каунас—СССР	150
98	1403	213,8	Грац—Австрия	25
			Брест—Франция	20
99	1412	212,5	Ница II—Франция	20
100	1421	211	Сплит—Югославия	50
101	1430	209,8	Саарбрюкен—ГФР	100
102	1439	208,4	Скив—Дания	70
103	1448	207,2	Люксембург—Люксембург	350
104	1457	205,9	Торино II—Италия	20
			Кледон—Великобритания	20
105	1466	204,6	Кратова—Румъния	20
106	1475	203,4	Монте Кларо—Монако	120
107	1484	202,2	Виена I—Австрия	150
108	1493	200,9	София—България	5
109	1502	199,7	Гомел—СССР	20
110	1511	198,5	Краков—Полша	60
111	1520	197,4	Брюксел—Белгия	20
112	1529	196,1	Прага II—Чехословакия	20
113	1538	195	Ватикана	120
114	1546	194	Равенсбург—ГФР	40
115	1554	193	Виница—СССР	5
116	1562	192,1	Ница I—Франция	50
117	1570	191,1	Амалнада—Гърция	1+
118	1578	190,1	Фленсбург—ГФР	10
119	1586	189,2	Фридрихсхад—Норвегия	10
120	1594	188,2	Хановер—ГФР	40
121	1602	187,4	Бяlistок—Полша	30
			Нюрнберг—ГФР	40+

Забелжка. Станциите, срещу които има поставено „+“ в последната графа, неза-  
конно ползват посочените вълни.

## 16. Медни емайлирани проводници

Диаметър на проводника без наоляцията в мм	Напречно сечение в мм <sup>2</sup>	Съпротивление на 1 м при 20°C в ом	Допустимо натоварване при плътност на тока 2 а/мм <sup>2</sup> в а	Диаметър с изолацията в мм	Тегло на 100 м с изолация- та в г
0,05	0,0020	9,29	0,0040	0,06	1,8
0,06	0,0028	6,44	0,0057	0,07	2,6

Продължение

Диаметър на проводника без изолацията в мм	Напречно сечение в мм <sup>2</sup>	Съпротивление на 1 м при 20°C в ом	Допустимо натоварване при плътност на тока 2 а/мм <sup>2</sup> в а	Диаметър с изолацията в мм	Тегло на 100 м с изолацията в г
0,07	0,0039	4,73	0,0077	0,08	3,5
0,08	0,0050	3,63	0,0101	0,09	4,6
0,09	0,0064	2,86	0,0127	0,10	5,8
0,10	0,0079	2,23	0,0157	0,115	7,3
0,11	0,0095	1,85	0,0190	0,125	8,8
0,12	0,0113	1,55	0,0226	0,135	10,4
0,13	0,0133	1,32	0,0266	0,145	12,1
0,14	0,0154	1,14	0,0308	0,155	14,0
0,15	0,0177	0,99	0,0354	0,165	15,2
0,16	0,0201	0,873	0,0402	0,175	18,3
0,17	0,0227	0,773	0,0454	0,185	20,60
0,18	0,0255	0,688	0,0510	0,195	23,1
0,19	0,0284	0,618	0,0568	0,205	25,8
0,20	0,0314	0,558	0,0628	0,215	28,5
0,21	0,0346	0,507	0,0692	0,230	31,6
0,23	0,0416	0,423	0,0832	0,250	37,8
0,25	0,0491	0,357	0,0982	0,270	44,5
0,27	0,0573	0,306	0,115	0,295	52,1
0,29	0,0661	0,266	0,132	0,315	60,1
0,31	0,0755	0,233	0,151	0,340	68,8
0,33	0,0855	0,205	0,171	0,360	77,8
0,35	0,0962	0,182	0,192	0,380	87,4
0,38	0,1134	0,155	0,226	0,410	103,0
0,41	0,1320	0,133	0,264	0,440	120,0
0,44	0,1521	0,115	0,304	0,475	138,0
0,47	0,1735	0,101	0,346	0,505	157,0
0,49	0,1885	0,0931	0,378	0,525	171,0
0,51	0,2043	0,0859	0,408	0,545	185,0
0,55	0,2376	0,0739	0,476	0,590	215,0
0,59	0,2734	0,0443	0,547	0,630	247,0
0,64	0,3217	0,0546	0,644	0,680	291,0
0,69	0,37393	0,0469	0,748	0,730	342,0
0,74	0,43008	0,0408	0,860	0,790	389,0
0,80	0,50265	0,0349	1,005	0,850	445,0
0,86	0,58088	0,0302	1,16	0,910	524,0
0,93	0,67929	0,0258	1,36	0,980	612,0
1,00	0,78540	0,0224	1,57	1,050	707,0
1,08	0,9161	0,0192	1,83	1,140	826,0
1,16	1,0568	0,0166	2,114	1,220	922,0
1,20	1,1310	0,0155	2,26	1,260	1022,0
1,25	1,2272	0,0143	2,45	1,310	1105,0
1,35	1,4314	0,0122	2,86	1,410	1288,0

Продължение

Диаметър на проводника без изолацията в мм	Напречно сечение в мм <sup>2</sup>	Съпротивление на 1 м при 20°C в ом	Допустимо натоварване при плътност на тока 2 а/мм <sup>2</sup> в а	Диаметър с изолацията в мм	Тегло на 100 м с изолация- та в г
1,45	1,6513	0,0106	3,30	1,510	1486,0
1,56	1,9113	0,0092	3,822	1,620	1712,0
1,68	2,2167	0,0079	4,433	1,74	1992,0
1,81	2,5730	0,0068	5,146	1,87	2310,0
1,95	2,9865	0,0059	5,98	2,01	2680,0
2,02	3,2047	0,0055	6,409	2,08	2875,0
2,10	3,4637	0,0051	6,92	2,16	3110,0
2,28	4,0115	0,0044	8,023	2,32	3603,0
2,44	4,6759	0,0038	9,352	2,5	4210,0

## ОСНОВНИ СВЕДЕНИЯ ПО ЕЛЕКТРОТЕХНИКА И РАДИОТЕХНИКА

### 1. Електронна теория

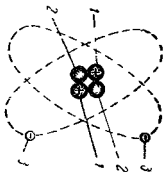
**Строеж на веществото.** Чрез електронната теория се обясняват най-точно строежът на материята и същността на електрическия заряд и електрическият ток.

Най-малката частца, която все още запазва характерните свойства на веществото, е *молекулата*. При сложните вещества молекулата се състои от една или няколко по-малки частички — *атоми* на съставните елементи на веществото. При простите вещества (химическите елементи) молекулата се състои от еднородни атоми.

Съгласно електронната теория атомът не е най-малката неделима частица, както се е смятало преди, а е сложна материална система, съставена от още по-малки частици. Около положително зареденото ядро се движат определен брой малки частици, носители на отрицателен електрически заряд — *електрони*. В различните вещества броят на електроните е различен. Така водородният атом съдържа един електрон, хелиевият — два и т. н. Ядрото е съставено от два вида материални частици: *протони* — носители на положителен електрически заряд, и *неутрони* — без електрически заряд (фиг. 1). Протоните са многократно по-тежки от електроните, обаче електрическите заряди и на двата вида носители са еднакви по количество. Атом, на който броят на електроните е равен на броя на протоните, е електрически неутрален, тъй като зарядите на двата вида частички взаимно се неутрализират.

Диаметърът на водородния атом е около една десетохилjadна част от микрона, а диаметърът на електрона му е около една стомилионна част от микрона, т. е. електронът е 10 000 пъти по-малък от атома. Електрическият заряд на електрона е нищожно малък —  $1,6 \cdot 10^{-19}$  кулона, а масата му е  $9,11 \cdot 10^{-28}$  грама.

**Електрически заряд.** При известни условия електрическото равновесие на атома може да се наруши. От него могат да се отделят един или няколко електрона и той се оказва зареден *положително*. Ако атомът придобие нови електрони, той получава *отрицателен заряд*. Такъв, изведен от неутрално състояние атом се нарича *ион*. В зависимост от характера на заряда му той бива *положителен* или *отрицателен*. Заредените с противоположни заряди



Фиг. 1. Строеж на атома на хелия

1, 2 — протони и неутрони, образувачи ядрото; 3 — електрони



йони взаимно се привличат, при което се получават електрически неутрални частици от веществото. Ако в тялото преобладават положителни или отрицателни йони, това тяло е наелектризирано положително или отрицателно.

Обратно на електрическото зареждане при отделяне на частици от ядрото се получава така нареченият разбиване на атома, при което се създава нов химически елемент.

Количеството на електрически заряд  $q$  се измерва в *кулони*, като 1 кулон =  $6,28 \cdot 10^{18}$  електрона. Вместо кулон в практиката се използва единицата *ампер-секунда* или *ампер-час*:

$$1 \text{ а/сек} = 1 \text{ кулон}$$

$$1 \text{ а/ч} = 3600 \text{ кулона}$$

**Електрическо поле.** Пространството, в което се проявяват силите на привличане или отблъскване (създадени от наелектризираното тяло), се нарича *електрическо поле*. Действието на електрическите сили е толкова по-голямо, колкото е по-интензивно електрическото поле, т. е. колкото електрическият заряд е по-голям и по-близко разположен до тялото, върху което действа полето му.

**Закон на Кулон.** Силата на взаимодействието между две наелектризиращи в различна степен или с разнородно електричество тела зависи от големината на електрическите им заряди  $q_1$  и  $q_2$  (*куломи*), от разстоянието между тях  $r$  (*м*) и средата, в която действа полето им (коэффициент  $k$ ):

$$P = k \frac{q_1 \cdot q_2}{r^2},$$

където  $k = \frac{1}{\epsilon}$  ( $\epsilon$  — диелектрична константа на средата).

**Потенциал и потенциална разлика.** Всяко наелектризирано тяло притежава скрита енергия, която винаги може да се използва за извършване на работа. Количеството притежавана от тялото скрита енергия характеризира неговия *електрически потенциал*. За да може да се извършва работа, необходимо е да имаме взаимодействие между тела с различни потенциали или между едно тяло с какъв и да е потенциал и земя (нулев потенциал). *Потенциална разлика* съществува както между две тела, така и между две точки от електрическото поле, имащи различни потенциали.

## 2. Електрически ток, напрежение и съпротивление

**Проводимост на металите.** В металите атомите са разположени в пространствени решетки и твърде силно си влияят един на друг. Електроните, движещи се по най-външните орбити, са слабо свързани с положително зареденото ядро и лесно могат да напуснат атома. Такива електрони се наричат *свободни*. Те се намират в състояние на непрекъснато хаотично движение с различна скорост, твърде много зависима от температурата. Тази различна скорост на свободните електрони и зависимостта ѝ от температурата са причина за т. нар. *термичен шум* в усилвателите с голям коефициент на усилване и широка честотна лента.

Най-голямо количество свободни електрони има в металите. Ако бъдат създадени подходящи условия (напр. прилагане на електродвижеща сила), свобод-

ните електрони започват да се движат в определена посока по металното парче. Това движение (поток) на свободни електрони се нарича *електрически ток*.

При протичането на електрически ток електроните, въпреки че получават определена посока в общия поток, запазват и своето самостоятелно безпорядъчно движение. Независимо че скоростта, с която се движи отделният електрон, е твърде малка, разпространението на електрическия ток от единия до другия край на метала става със *„скорост“*, близка до тази на светлината (300 000 км/сек).

Силата на електрическия ток се измерва в *ампери* (*a*) и се характеризира с количеството електричество, преминаващо за единица време през даден проводник. Силата на тока е 1 *a*, когато за 1 *сек* преминава 1 *кулон* електричество:

$$1 \cdot a = \frac{1 \text{ кулон}}{1 \text{ сек}}$$

Производните единици на ампера са:

$$1 \text{ микроампер (мка)} = 10^{-6} \text{ ампера}$$

$$1 \text{ милиампер (ма)} = 10^{-3} \text{ ампера}$$

Изолатори, проводници, полупроводници. Тела, в които практически липсват свободни електрони, се наричат *изолатори*. При тях не съществува движение на електронен поток, а само положителни и отрицателни йони, които под действието на *едс* само се преориентират (поляризация на диелектрика).

Всички метали и въглеродът съдържат голямо количество свободни електрони и се наричат *проводници от първи род*. При тях протичането на ток не е свързано с химически изменения във веществото за разлика от *проводниците от втори род*, каквито са напр. електролитите и йонизираните газове.

Междино място по съдържание на свободни електрони заемат *полупроводниците*. Характерно за тях е, че в точката на контактуване с друго тяло притежават изправително действие и се използват като детекторни елементи. Такива вещества са например различни окиси, сулфиди, селен, силиций, германий и др.

Електродвижеща сила, напрежение. Протичането на електрически ток е възможно само ако в двата края на проводника е включен източник на електрическа енергия, т. е. съществува постоянна разлика в потенциалите между двете крайни точки. Способността на този токоизточник да извършва работата по пренасяне на електрически заряд от единия до другия край се нарича *електродвижеща сила (едс)*. Електродвижещата сила се означава с буквата *E* и единица за измерването ѝ е *волт* (*v*). Производните единици на волта са:

$$1 \text{ микроволт (мкв)} = 10^{-6} \text{ волта}$$

$$1 \text{ милтиволт (мв)} = 10^{-3} \text{ волта}$$

$$1 \text{ киловолт (кв)} = 10^3 \text{ волта}$$

Напрежението (разликата в потенциалите) *U* между две точки се измерва в същите единици. Разликата между електродвижещата сила и напрежението е, че докато *едс* е причината за пораждаването на електрически ток, напрежението се явява като резултат на протичането на тока в затворена верига.

С други думи, за *едс* говорим, преди да е включена към токоизточника външна верига. Напрежението пък възниква във всяка част от затворената електрическа верига, съдържаща съпротивление, в това число и вътрешното съпротивление на токоизточника.

Източниците на постоянен ток имат определена полярност. Прието е за посока на електрическия ток да се смята посоката, обратна на движението на електроните. Значи, токът във външната верига на токоизточника протича от положителния към отрицателния му полюс.

**Електрическо съпротивление.** Противоедействието, което електрическият ток среща в резултат на сблъскването между свободните електрони и атомите, се нарича *електрическо съпротивление*. При постоянния ток то зависи от материала на проводника, дължината и напречното му сечение.

$$R = \frac{\rho l}{q} \text{ (ом)},$$

където

$l$  е дължината на проводника (м);

$q$  — напречното сечение (мм<sup>2</sup>).

В горната формула с  $\rho$  е означено специфичното съпротивление на материала, т. е. съпротивлението, което оказва проводникът от този материал с дължина 1 м, сечение 1 мм<sup>2</sup> при температура 20°C. Съпротивлението на проводника зависи също така и от неговата температура:

$$R = R_0 [1 + \alpha_t (t - 20^\circ)],$$

където

$R$  е съпротивлението при температура  $t^\circ\text{C}$  (ом);

$R_0$  — съпротивлението при 20°C (ом);

$\alpha_t$  — температурен коефициент на материала.

Специфичното съпротивление  $\rho$  и температурният коефициент  $\alpha_t$  за различни материали са дадени в отделна таблица (гл. 1, т. 14).

Основната единица за съпротивлението е *ом*, а неговите производни са:

$$1 \text{ килоом (кОм)} = 10^3 \text{ ома}$$

$$1 \text{ мегаом (МОм)} = 10^6 \text{ ома}$$

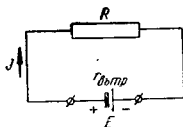
Понякога се използва реципрочната стойност на съпротивлението — електрическата проводимост  $G$ :

$$G = \frac{1}{R},$$

чиято основна единица е *мо*. Съответно специфичната проводимост ще бъде:

$$\gamma = \frac{1}{\rho}$$

**Електрическа верига. Закон на Ом.** Ако към токоизточника включим едно или няколко съпротивления (коисуматори), получаваме *затворена електрическа верига* (фиг. 2). Препреминаващият във веригата ток  $I$  зависи от *едс*



Фиг. 2. Затворена електрическа верига

на токозахранващия източник  $E$  и общото съпротивление  $R$ , включващо и вътрешното съпротивление на токоизточника:

$$I = \frac{E}{R_0}, \text{ където } R_0 = R + r_{\text{втр}}$$

Напрежението, което се получава върху всеки участък от веригата, се определя по същия закон. Така напрежението  $U$ , получаващо се върху съпротивлението  $R$ , е:

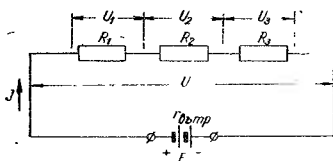
$U = I \cdot R$ , където  $U$  (в),  $I$  (а) и  $R$  (ом) и се нарича *падение на напрежението* върху съпротивлението  $R$ .

**Свързване на съпротивленията.** В електрическата верига съпротивленията могат да бъдат свързани в най-различни комбинации, които се свеждат до два основни вида — *последователно* (сериен) и *паралелно* (успоредно) свързване.

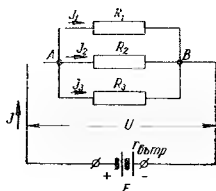
Еквивалентното съпротивление на няколко последователно свързани съпротивления (фиг. 3) е:

$$R_0 = R_1 + R_2 + R_3$$

или изобщо при  $n$  еднакви съпротивления  $R_0 = n \cdot R$ .



Фиг. 3. Последователно свързване на съпротивления



Фиг. 4. Паралелно свързване на съпротивления

Еквивалентното съпротивление на няколко паралелно свързани съпротивления (фиг. 4) е:

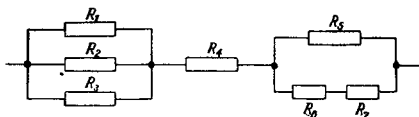
$$R_0 = \frac{R_1 R_2 R_3}{R_1 R_2 + R_1 R_3 + R_2 R_3}$$

или изобщо при  $n$  еднакви съпротивления  $R_0 = \frac{R}{n}$ .

В много случаи са възможни и по-сложни комбинации от най-различно свързани съпротивления — *смесено* свързване (фиг. 5). Общото съпротивление намираме чрез последователно изчисляване на еквивалентните съпротивления в отделните разклонения и свеждане на веригата до няколко последователно свързани съпротивления.

**Закопи на Кирхоф.** Първият закон на Кирхоф се отнася за случаите, когато в електрическата верига има разклонения, съставени от паралелно свързани съпротивления (фиг. 4). Сумата от токовете, преминаващи през отделните клонове на веригата, е равна на общия ток в точката на разклонението. За точка *A* от фиг. 4 ще имаме

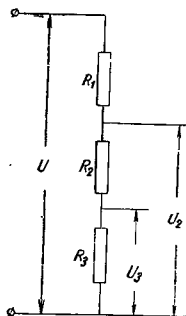
$$I = I_1 + I_2 + I_3.$$



Фиг. 5. Смесено свързване на съпротивления

От горния закон на Кирхоф може да се изведе следствието, че токовете в отделните клонове са обратно пропорционални на съпротивленията им. Зв. фиг. 4 това дава

$$\frac{I_1}{I_2} = \frac{R_2}{R_1}; \quad \frac{I_1}{I_3} = \frac{R_3}{R_1}; \quad \frac{I_2}{I_3} = \frac{R_3}{R_2}.$$



Фиг. 6. Съпротивителен делител на напрежение

Първият закон на Кирхоф намира приложение например при изчисляване шунтовете на многообхватните милиампермери.

Вторият закон на Кирхоф гласи: сумата от *едс* в електрическата верига е равна на сумата от паденията на напрежения в нея. Приложим за частния случай от фиг. 4, този закон ни дава следната зависимост:

$$E = I \cdot r_{\text{втр}} + I \cdot R_1 + I \cdot R_2 + I \cdot R_3 = \\ = -I \cdot r_{\text{втр}} + U_1 + U_2 + U_3.$$

Този закон намира практическо приложение при изчисляването на различни съпротивителни делители, съставени от няколко последователно свързани съпротивления. На фиг. 6 е показан такъв делител, при изчислението на който най-често са дадени общото напрежение  $U$ , общото съпротивление  $R = R_1 + R_2 + R_3$  и напреженията  $U_1$  и  $U_2$ , които трябва да получим от делителя. Тъй като токът във веригата е еднакъв, то отношението на напреженията в който и да е участък от веригата е равно на отношението на съпротивленията, върху които са получени тези напрежения:

$$\frac{U}{U_{\text{II}}} = \frac{R}{R_3}, \text{ откъдето } R_3 = \frac{U_3}{U} R$$

По същия начин имаме  $U = \frac{R}{R_2 + R_3} \cdot U_2$ , откъдето:  $R_2 = \frac{U_2}{U} \cdot R - R_3$ ;  $R_1 = R - (R_2 + R_3)$ . В случай, че изходът на делителя (напр.  $U_3$ ) е натоварен със съпротивление, съизмеримо с  $R_3$ , товарното съпротивление трябва да се вземе предвид при изчислението като паралелно свързано към  $R_3$ .

**Мощност и работа на електрическия ток.** Електрическата мощност при постоянния ток може да се изрази чрез уравнението

$$P = U \cdot I \text{ или } P = I^2 R.$$

Оснoвната единица за измерване на мощността е *ват*. В сравнение с единицата за механическа мощност — *конската сила* (к. с.), ватът е много по-малък:

$$1 \text{ к. с.} = 736 \text{ вт} = 0,736 \text{ кВт}$$

$$1 \text{ кВт} = 1,36 \text{ к. с.}$$

Произведението от мощността по времето, през което е била включена електрическата верига, наричат *работа на електрическия ток*:

$$A = P \cdot t$$

Оттук можем да извлечем познатата дефиниция за електрическата мощност — това е работата, която електрическият ток извършва за единица време.

Работата се измерва във *ватсекунда* или в по-удобната производна единица *киловатчас* ( $1 \text{ кВтч} = 3,6 \cdot 10^6 \text{ втсек}$ ).

**Топлинно действие на тока.** При преминаването на електрическия ток през проводника вследствие на сблъскването на електроните с атомите се получава отделяне на топлина. Количеството отделена топлина  $Q$  се изчислява по закона на Джаул:

$$Q = 0,24 \cdot I^2 \cdot R \cdot t \text{ (малки калории)}$$

Топлинното действие на тока намира приложение при направата на различни отоплителни уреди и предпазители.

**Плътност на тока.** Плътността на тока е срази негова стойност, отговаряща на  $1 \text{ мм}^2$  от сечението на проводника. Означава се с  $\delta$  и се измерва в  $\text{а/мм}^2$ .

За да се избегне прекомерното загряване на проводниците от преминаващия през тях ток, установени са допустими максимални плътности на тока, които за различните случаи зависят от конструкцията на съответния прибор, условията за охлаждане и издръжливостта на изоляцията и проводника. Ето и някои от по-често срещаните се случаи:

мрежови и нч трансформатори под  $100 \text{ вт}$ :  $\delta = 1-2 \text{ а/мм}^2$ ;

мрежови и нч трансформатори над  $100 \text{ вт}$ :  $\delta = 2-3 \text{ а/мм}^2$ ;

релета, електромагнити и др. при краткотрайно натоварване:  $\delta = 4-5 \text{ а/мм}^2$ ;

дросели, релета, многослойни жични съпротивления:  $\delta = 3-4 \text{ а/мм}^2$ ;

еднослойни жични съпротивления:  $\delta = 5-10 \text{ а/мм}^2$ ;

електронагревателни уреди:  $\delta = 10-15 \text{ а/мм}^2$ .

## 3. Променилив ток

**Получаване на променилив ток.** За разлика от правия ток, който има постоянна сила и направление (фиг. 7а), и пулсиращия ток, който изменя само силата си (фиг. 7б), промениливи ток периодически изменя своята сила (стойност) и направление (фиг. 7в). Докато посоката на постоянния ток може да

бъде сменена само след външно превключване на полюсите на източника, посоката на променилив ток се изменя непрекъснато през равни интервали от време.

Най-простият начин за получаване на променилив ток е чрез въртене на проводникова рамка между полюсите на магнит. Полученият при това въртене ток има представената на фиг. 7в синусоидална форма. Променилив ток може да бъде получен и от различните видове електронни  $LC$  и  $RC$  генератори, при което той може да бъде както синусоидален, така и с друга по-сложна форма.

**Период и честота на променилив ток.** Времето, за което промениливият ток извършва един пълен цикъл в своето изменение, т. е. започва от 0, минава през двата максимума (положителен и отрицателен) и стига отново до 0, се нарича период. Означава се с  $T$  (фиг. 7в) и се измерва в секунди.

Броят на периодите за една секунда се нарича честота на промениливия ток  $f$ :

$$f = \frac{1}{T}$$

Фиг. 7. Сравнение между постоянен пулсиращ и променилив ток

Честотата се измерва в **херци** ( $хц$ ). Освен това използват се и следните производни единици:

$$1 \text{ килохерц (кхц)} = 1000 \text{ хц}$$

$$1 \text{ мегахерц (мхц)} = 1000 \text{ кхц} = 1\,000\,000 \text{ хц}$$

Промениливият ток с честота няколко десетки килохерца и нагоре може да се използва за безжично радиоравпръскване с помощта на електромагнитни вълни. За такъв променилив ток вместо честота понякога се употребява **дължина на вълната** ( $\lambda$ ). Това е разстоянието, което изминава електромагнитната вълна за време, отговарящо на един период от промениливия ток:

$$\lambda = \frac{c}{f} \text{ (м)},$$

където

$c$  е скоростта на разпространение на светлината (300 000 км/сек);

$f$  — честотата (хц).

За обръщане на честотата в дължина на вълната и обратно се използва формулата

$$\lambda \text{ (м)} = \frac{300}{f \text{ (мгхц)}}$$

Честотите от 20 хц до около 20 кхц се наричат *звукови*, тъй като могат да действуват мембраната на високоговорителя или слушалката и да предизвикат слухово възприятие — определен тон. В този обхват попада и честотата 50 хц (някъде 60 хц), използвана в променливотоковите енергийни източници — *индустриална честота*.

Честоти над 10 кхц могат да се използват за безжично радиоразпръскване и се наричат *радиочестоти*. Често обхватът от няколко десетки килохерца над звуковия се нарича *ултразвуков обхват*.

Честотиият спектър на използваните за радиоразпръскване честоти има следния вид:

$f = 10 \text{ кхц} - 300 \text{ кхц}$  ( $\lambda = 30 \text{ км} - 1 \text{ км}$ ) — *дълги вълни*

$f = 300 \text{ кхц} - 3 \text{ мгхц}$  ( $\lambda = 1000 \text{ м} - 100 \text{ м}$ ) — *средни вълни*

$f = 3 \text{ мгхц} - 30 \text{ мгхц}$  ( $\lambda = 100 \text{ м} - 10 \text{ м}$ ) — *къси вълни*

$f = 30 \text{ мгхц} - 300 \text{ мгхц}$  ( $\lambda = 10 \text{ м} - 1 \text{ м}$ ) — *УКВ (метрови вълни)*

$f = 300 \text{ мгхц} - 3000 \text{ мгхц}$  ( $\lambda = 1 \text{ м} - 10 \text{ см}$ ) — *дециметрови вълни*

$f = 3000 \text{ мгхц} - 30\,000 \text{ мгхц}$  ( $\lambda = 10 \text{ см} - 1 \text{ см}$ ) — *сантиметрови вълни*

$f = 30\,000 \text{ мгхц} - 300\,000 \text{ мгхц}$  ( $\lambda = 10 \text{ мм} - 1 \text{ мм}$ ) — *милиметрови или микровълни*

**Амплитудна, ефективна и средна стойност на променливия ток.** Максимиалната стойност, която променливият ток достига (два пъти във всеки период), се нарича *амплитудна стойност*  $I_m$  (фиг. 8). При синусоидалното напрежение двете амплитуди във всеки период са еднакви по абсолютна стойност и обратни по знак.

Най-често се отчита *ефективната стойност* на променливия ток  $I_{\text{еф}}$ , която числено съответствува на постоянния ток, отделящ едно и също количество топлина в дадено съпротивление:

$$I_{\text{еф}} = \frac{I_m}{\sqrt{2}} = 0,707 I_m$$

или

$$I_m = 1,414 I_{\text{еф}}$$

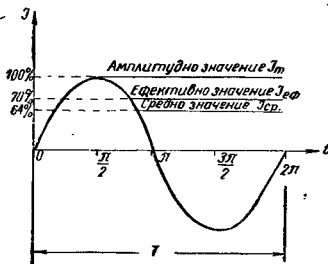
Ефективната стойност дава най-точна представа за променливия ток и напрежение независимо от формата и симетрията на неговата крива. Затова обикновено измерителните уреди — волтмери и ампермери — се градуират в ефективни стойности.



Средноаритметичната величина на всички стойности, които токът получава през един полупериод, се нарича средна стойност на променливия ток

$$I_{\text{ср}} = 0,636 I_m = 0,9 I_{\text{еф}}$$

Тъй като средната стойност за един цял период е нула, за средна стойност се говори само при изправения (пулсиращ) или несиметричния спрямо абсцисната ос променлив ток.



Фиг. 8. Синусоидална форма на променлив ток

Когато се говори изобщо за променлив ток или напрежение, трябва да се разбира неговата ефективна стойност.

Споменатите по-горе съотношения между  $I_m$ ,  $I_{\text{еф}}$  и  $I_{\text{ср}}$  остават същите и за напреженията  $U_m$ ,  $U_{\text{еф}}$  и  $U_{\text{ср}}$ . На фиг. 8 са показани приблизителните процентни стойности на ефективните и средните стойности отгосно амплитудата на променливия ток.

И на края момента таа стойност на тока или напрежението за която и да е точка от кривата е:

$$i = I_m \sin \omega t$$

$$u = U_m \sin \omega t,$$

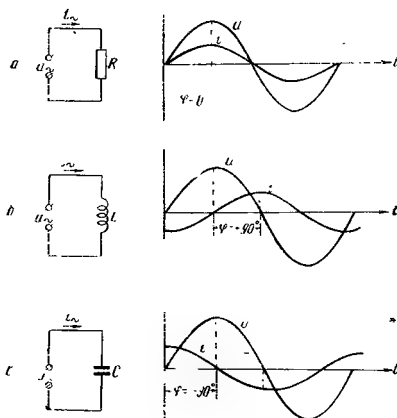
където  $\omega = 2\pi f$  е ъгловата честота (броят на периодите за  $2\pi$  — 6,28 секунди).

**Фаза и фазово изместване.** Напрежението и токът в дадена променливо-токова верига са във *фаза*, когато те достигат едновременно съответстващите си моментни стойности. По-характерни съответстващи стойности, които могат да служат за сравняване по фаза между двете величини, са положителният или отрицателният максимум в даден период или още по-удобно — нулевата стойност (пресичането на абсцисната ос). Когато тези стойности се достигат едновременно, двете сравнявани величини са във *фаза* (фиг. 9 а).

Когато едната от тези величини, напр. токът  $i$ , достига нулевата си стойност по-рано от напрежението (фиг. 9 б), казваме, че токът изостава по фаза

спрямо напрежението, а когато пък достига тази своя стойност след напрежението (фиг. 9 в) — той го изпреварва по фаза.

Изоставане на тока спрямо напрежението се получава при индуктивен характер на веригата, а изпреварване — при капацитивен характер. Съвпадане по фаза на тока и напрежението ще имаме при чисто активен товар (схемите вляво на фиг. 9).



Фиг. 9. Фазови съотношения между напрежението и тока в различни вериги

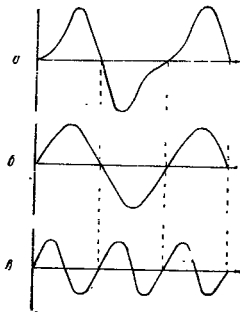
а — при чисто активен товар; б — при чисто индуктивен товар; в — при чисто капацитивен товар

Изоставането или изпреварването по фаза може да се изрази в градуси, като се приеме, че периодът е равен на  $360^\circ$ . В такъв случай при чисто индуктивен товар ще имаме изоставане на тока с  $90^\circ$  спрямо напрежението (положителен фазов ъгъл), а при чисто капацитивен товар токът ще изпреварва напрежението също с  $90^\circ$  (отрицателен фазов ъгъл).

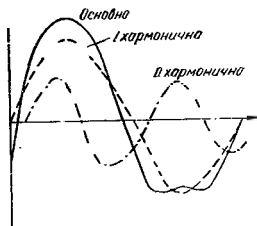
Форма на трептенията. Хармонични. При получаване на променливи напрежения от електронни генератори рядко се получава точно синусоидална форма на кривата. Обикновено тя има вид на деформирана синусоида (фиг. 10), а при някои специални генератори може да се получат правоъгълни или триъгълни импулси. Всички тези криви могат да се разглеждат като резултат от наслагването на две или повече синусоидални криви с различни

честотн и амплитуди. Така представената на фиг. 10 несинусодална крива (а) с честота  $f$  съдържа основната честота (първа хармонична б) със същата честота и втора хармонична (в) с удвоена честота  $2f$ . Други по-сложни криви могат да съдържат по няколко десетки и дори стотици висши хармонични.

Върху формата на кривата най-силно влияние оказват първите няколко хармонични, тъй като амплитудите на следващите бързо намаляват. Ако между хармоничните съставни съществува фазова разлика, резултантната крива се получава несиметрична спрямо абсисната ос (фиг. 11).



Фиг. 10. Несинусодална форма на променливо напрежение (а) и неговите хармонични съставни (б, в)



Фиг. 11. Несиметрична крива, получава се при фазова разлика между хармоничните

#### 4. Капацитет и кондензатори

Електростатично поле. Около всяко заредено тяло съществува електрическо поле, в което се проявяват електрическите сили. Линиите, по които е насочено действието на тези сили, се наричат силови линии. Гъстотата на силовите линии определя и интензивността на образуваното от тях електростатично поле.

Електростатичното поле се образува също и ако към две метални пластинки (фиг. 12) присъединим полюсите на галванически елемент или батерия. Интензивността на полето ще зависи в случая от напрежението на батерията и от разстоянието  $d$  между пластинките:

$$E = \frac{U}{d} \text{ (в/см)}$$

**Капацитет.** Количеството електричество  $Q$ , което двете заредени пластинки могат да поемат, е право пропорционално на напрежението  $U$ , приложено между тях:

$$Q = C \cdot U$$

Коефициентът на пропорционалност  $C$  зависи от повърхността на плочите, разстоянието между тях и средата, в която се разпростира влиянието на полето (диелектрика). Този коефициент представлява **капацитетът** на двете пластинки, а самите пластинки се наричат **кондензатор**.

Основна единица за измерване на капацитета е **фарад** ( $\phi$ ). Капацитет 1 фарад има кондензатор, зареден с 1 кулон при напрежение между краищата му 1 волт. Тъй като фарадът е твърде голяма за практическо използване единица, най-често се работи с нейните производни:

1 микрофарад ( $\mu\phi$ ) =  $10^{-6} \phi$ ;  
1 пикофарад ( $\text{п}\phi$ ) =  $10^{-6} \mu\phi = 10^{-12} \phi$ .

Често се срещат и подразделенията на нанофарад ( $\text{н}\phi$ ): 1 нанофарад =  $10^{-9} \phi$ .

В абсолютната измерителна система капацитетът се измерава в **сантиметри** ( $\text{см}$ ). Капацитет 1  $\text{см}$  има сферата с радиус 1  $\text{см}$ . Съотношението между пикофарада и сантиметъра като мярка за капацитет е следното:

$$1 \text{ п}\phi = 0,9 \text{ см}$$

или

$$1 \text{ см} = 1,11 \text{ п}\phi$$

**Кондензатори.** Казаното за капацитета на един кондензатор може да се изрази по-точно чрез формулата

$$C = 0,09 \frac{\epsilon S}{d} (\text{п}\phi),$$

където  $\epsilon$  е диелектричната проицаемост на диелектрика (гл. I, т. 13);

$S$  — повърхността на едната от плочите ( $\text{см}^2$ );

$d$  — разстоянието между плочите ( $\text{см}$ ).

От формулата се вижда, че капацитетът на кондензатора е толкова по-голям, колкото е по-голяма диелектричната константа на диелектрика и повърхността на плочите му и колкото е по-малко разстоянието между тях.

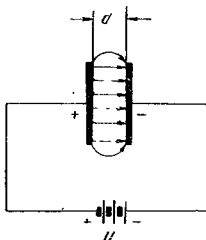
**Свързване на кондензаторите.** Както и при съпротивления, различните начини за свързване на кондензаторите могат да се сведат до два основни вида: **последователно** и **паралелно** свързване.

Паралелното свързване на няколко кондензатора (фиг. 13 а) е равносложно на увеличаване повърхността на еквивалентния кондензатор. Общият капацитет в такъв случай ще бъде равен на сумата от капацитетите на отделните кондензатори:

$$C_{\text{об}} = C_1 + C_2 + C_3 + \dots + C_n$$

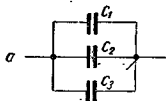
Ако кондензаторите имат еднакви стойности ( $C$ ), общият капацитет ще бъде

$$C_{\text{об}} = n \cdot C.$$



Фиг. 12. Електростатично поле между пластинките на кондензатор

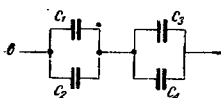
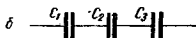
Последователното свързване на няколко кондензатора (фиг. 13б) е равносложно на увеличаване разстоянието между плочите на еквивалентния кондензатор. Общият капацитет ще се намали и ще стане по-малък и от най-малкия капацитет на съставните кондензатори :



$$C_{об} = \frac{1}{\frac{1}{C_1} + \frac{1}{C_2} + \dots + \frac{1}{C_n}}$$

При еднакви кондензатори общият капацитет е

$$C_{об} = \frac{C}{n}$$



Фиг. 13. Свързване на кондензатори

а — паралелно ; б — последователно ; в — смесено

Смесеното свързване на кондензаторите (фиг. 13 в), както и при съпротивленията, може да се доведе до някои от двата основни вида чрез последователни опростявания на отделните групи.

Последователното или паралелното свързване на кондензаторите се използва, когато е необходима някаква стойност на капацитета, която не може да се постигне с един кондензатор. С такова свързване се получава също така и стесняване на обхвата на покритие на променливия кондензатор. Последователно свързани кондензатори намират приложение в различни капацитивни делители на напрежение. С последователно свързване на два кондензатора се получава два пъти по-високо допустимо работно напрежение от това на отделния кондензатор.

**Зареждане и разреждане на кондензатора.** При първоначалното включване на веригата от фиг. 12 напрежението на електродите не достига стойността  $U$  изведижд, а по експоненциалната крива от фиг. 14. В същото време през веригата протича ток, който от стойността  $I$  стига до нула в момента, когато напрежението достига максималната си стойност.

Когато след зареждането краищата на кондензатора се дадат на късо, получава се разреждане, при което напрежението и токът спадат постепенно, по една и съща експоненциална крива (фиг. 15).

По подобен начин стават зареждането и разреждането на кондензатора, когато във веригата му е включено активно съпротивление  $R$  (фиг. 16). Произведението  $RC$  се нарича времеконстанта на веригата :

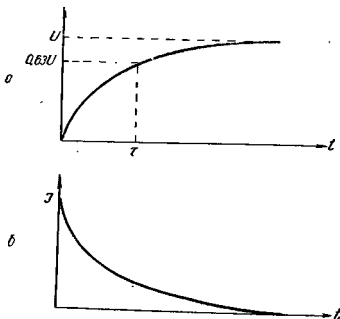
$$\tau = RC \text{ (сек),}$$

където  $R$  е в  $\Omega$ ом, а  $C$  в  $\mu$ кф.

Комбинацията от  $R$  и  $C$  намира широко приложение в различни вериги за управление и регулиране, както и за възбуждане на трептения (електронни релета, АРУ,  $RC$ -генератори).

**Кондензаторът в променливотокова верига.** Включеният към правотоков източник кондензатор за късо време се зарежда, след което токът  $I$  през него става равен на нула (като изключим незначителния ток, дължащ се на изоляционното съпротивление на диелектрика му).

Ако кондензаторът е включен към източник на променливо напрежение, той не причинява прекъсване на веригата, а пропуска през себе си променлив



Фиг. 14. Зареждане на кондензатор

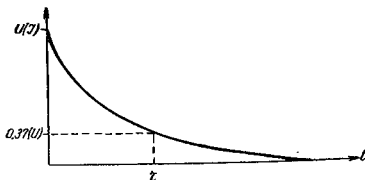
а — крива на напрежението; б — крива на тока

ток  $I$ . Големината на този ток се определя от капацитивното съпротивление  $X_C$  на кондензатора:

$$X_C = \frac{1}{\omega C} = \frac{1}{2\pi f C} \text{ (ом)},$$

където  $f$  е честотата на променливия ток (хц);

$C$  — капацитетът на кондензатора (ф).

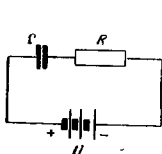


Фиг. 15. Разреждане на кондензатор

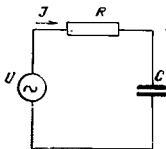
Следователно при по-висока честота, както и при по-голям капацитет, съпротивлението  $X_C$  е по-малко и, обратно.

Както видяхме, включеният към променливотокова верига кондензатор предизвиква изпреварване на тока спрямо напрежението  $\varphi$ . При идеален кондензатор, притежаващ чист капацитет, това изпреварване е точно  $90^\circ$ . В действителност такъв чист капацитет не съществува. Всеки реален кондензатор съдържа до известна степен паразитна индуктивност и активно съпротивление, както всяка бобина съдържа собствен капацитет и съпротивление и всяко активно съпротивление — собствен капацитет и индуктивност.

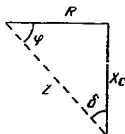
Участието на активно загубно съпротивление в капацитета води до намаляване на ъгъла на дефазиране, представено векторно на фиг. 17. Ъгълът  $\delta$ ,



Фиг. 16. Верига с кондензатор и съпротивление



Фиг. 17. Векторно представяне на капацитивното и активното съпротивление на кондензатор в променливотокова верига



допълващ  $\varphi$  до  $90^\circ$ , е толкова по-голям, колкото са по-големи загубите в кондензатора. Тези загуби обикновено се характеризират с тангенса от този ъгъл —  $\operatorname{tg} \delta$ , наричан коефициент на загубите.

Добра качествено степен на кондензатора  $Q$  се нарича реципрочната стойност на коефициента на загубите

$$Q = \frac{1}{\operatorname{tg} \delta}$$

Ако представим активното съпротивление като последователно включено към кондензатора, пълното съпротивление на веригата ще бъде

$$Z = \sqrt{R^2 + X_C^2}.$$

## 5. Магнетизъм и електромагнетизъм

Силата на взаимодействието между два магнита се определя от закона на Кулон за магнитното взаимодействие:

$$F = \frac{m_1 m_2}{\mu r^2} \text{ (дини),}$$

където

$m_1, m_2$  са магнитните маси;

$\mu$  — магнитната проникваемост на средата между двата магнита;

$r$  — разстоянието между двата магнита (с.м.).

Магнитните маси се определят въз основа на единицата за магнитна маса, която на разстояние  $r = 1 \text{ см}$  противодействува на равна на нея магнитна маса със сила  $F = 1 \text{ дина}$ .

Не всички вещества оказват еднакво съпротивление на магнитните силови линии. Магнитната проводимост на някои вещества, като вакуума, въздуха и газовете, е много малка, а на други, като желязото, никела, кобалта — много голяма. Материалите с голяма магнитна проводимост се наричат феромагнитни.

Способността на различните вещества да пропускат повече или по-малко магнитни силови линии се нарича магнитна проникваемост (пермеабилитет)  $\mu$ . За вакуума (практически и за въздуха)  $\mu = 1$ . Някои вещества, като мед, цинк, водород и др., имат  $\mu$  по-малко от единица и се наричат диамагнитни. Феромагнитните вещества имат  $\mu$  много по-голямо от 1.

В някои феромагнитни материални елементарните магнити имат способността много бързо да се ориентират по посока на силовите линии и също така бързо да възвръщат първоначалното си хаотично състояние, т. е. бързо да се намагнитват и размагнитват (меко желязо, никел). Други пък са твърде инертни в това отношение и веднъж намагнетизирани, запазват задълго магнитните си свойства (стоманата). За такива тела казваме, че притежават голяма коерцитивна (задържаща) сила.

Магнитно поле. Пространството, в което се проявява магнитното действие, се нарича магнитно поле. Силата на магнитното поле  $H$  се определя от гъстотата на силовите линии и се измерва в ерстеди. За среда с  $\mu \neq 1$  се въвежда понятието магнитна индукция  $B$ , с което се характеризира съгъстяването или разреждането на магнитното поле в различна среда.

$$B = \mu \cdot H \text{ (гауси)}.$$

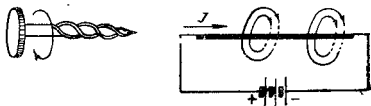
Магнитна индукция 1 гаус е равна на броя на силовите линии, минаващи през единица повърхност. Общият брой на минаващите през цялата повърхност  $S$  силовни линии се нарича магнитен поток;

$$\Phi = B \cdot S \text{ (максвели)}.$$

Магнитното поле обаче може да се образува не само около постоянен магнит. Такова поле съществува и около всеки проводник, по който протича електрически ток.

От фиг. 18 се вижда, че магнитното поле около проводника е насочено по затворени концентрични окръжности, образуващи плоскост, перпендикулярна на проводника. Посоката на силовите линии на полето се определя по известното правило на тирбушона<sup>1</sup>. Напрегнатостта на полето в дадена точка зависи от силата на преминаващия ток  $I$  в  $a$  и от разстоянието до точката  $r$  в  $M$ :

$$H = \frac{2I}{r} \text{ (ерстеди)}$$

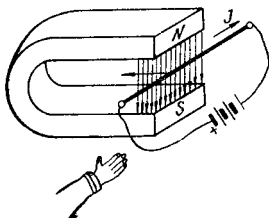


Фиг. 18. Магнитно поле около проводник — правило на тирбушона

<sup>1</sup> Ако тирбушонът е насочен по посока на тока, посоката на въртенето му ще съвпада с посоката на силовите линии.



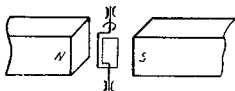
Ако проводникът, по който преминава ток, се намира в полето на постоянен магнит, двете магнитни полета си взаимодействуват и проводникът получава тласък по посоката, означена на фиг. 19. Посоката на движението на проводника се определя по правилото на лявата ръка<sup>1</sup>. Силата на изтласкването се определя по формулата



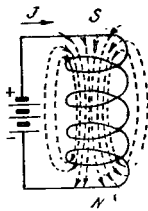
Фиг. 19. Правило на лявата ръка: пръстите — по посока на тока; дланта — към северния полюс на магнита; палецът — по посока на придвижване на проводника

на рамката около нейната ос. На този принцип е основано действието на магнетоелектричните измерителни инструменти (с въртяща макаричка), както и на електрическите двигатели.

**Магнитно поле на соленоид.** Ако проводникът, по който тече ток, е свит във форма на спирала, магнитното поле на така получения соленоид ще бъде същото както на постоянния магнит (фиг. 21). Интензивността



Фиг. 20. Взаимодействие между постоянно магнитно поле и проводник във вид на рамка



Фиг. 21. Магнитно поле, създадено от соленоид, по който тече ток

на полето ще бъде много по-голяма, отколкото при прав проводник и се определя по формулата

$$H = \frac{4\pi nI}{l} \text{ (ерсчета),}$$

<sup>1</sup> Ако силовите линии са насочени към дланта, а пръстите показват посоката на тока, палецът ще даде посоката, в която ще се придвижи проводникът.

където

$n$  — броят на навивките;  
 $l$  — дължината на намотката.

Произведението  $NI$  се нарича магнитодвижеща сила и се измерва в ампернавивки. Обикновено се дава зависимостта между  $H$  и ампернавивките на 1 см дължина на соленоида:

$$1 \text{ ериц} = 0,796 \text{ аи/см}$$

$$\text{или } 1 \text{ аи} = 1,256 \text{ ериц}$$

Соленойд, през навивките на който преминава прав ток, т. е. който има ясно изразени полюси, се нарича електромагнит. Ако във вътрешността на електромагнита поставим желязна сърцевина, магнитното поле значително ще се увеличи в зависимост от  $\mu$  на сърцевината.

**Електромагнитна индукция.** Обратно на ефекта, получен при изпълнение на опита от фиг. 19, ако намиращия се в постоянно магнитно поле проводник движим перпендикулярно на силовите линии, в него ще се индуктира *едс*. Това може да се установи, ако затворим веригата през галванометър, който ще покаже протичането на ток. Индукираната в проводника *едс* се определя по формулата

$$E = Blv \sin \alpha \text{ (в)},$$

където  $v$  е скоростта, с която движим проводника в полето.

Същият резултат ще се получи и ако вместо проводника движим постоянния магнит, при което пак се получава пресичане на проводника от силовите линии.

Посоката на тока, получен от индукираната *едс*, може да се определи както на фиг. 19, използвайки посоките на пръстите, палеца и дланта, само че сега на дясната ръка<sup>1</sup>.

Ако вместо от прав проводник силовите линии на полето се пресичат от свита в рамка или спирала бобина, индукираната *едс* ще бъде по-голяма и ще зависи още и от броя на навивките на бобината.

Магнитното поле може да бъде получено не само от постоянен магнит, а и от електромагнит или бобина. В този случай индукирането на *едс* може да стане, без да имаме движение на проводника или на бобината. Достатъчно е да постигнем изменение на магнитното поле било чрез включване или изключване на тока през бобината, било чрез изменение на силата му.

На принципа на електромагнитната индукция е основано действието на различните електрически машини, трансформатори, свързани кръгове и т. и.

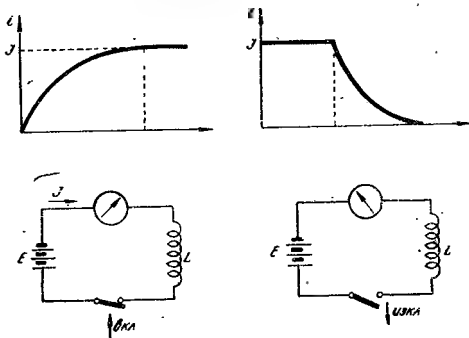
Явлението електромагнитна индукция е открито от Фарадей, а основното му изследване е извършено от Ленц. Последният е открил и закона за електромагнитната индукция, познат като правилото на Ленц: индукираната *едс* създава ток с такава посока, че магнитното му поле противодейства на основното магнитно поле, предизвикало индукцията.

**Самониндукция.** Електродвижеща сила (*едс*) на самониндукцията. Магнитното поле, създадено от една бобина, може да индукира *едс* както в друга съседна бобина, така и в собствените навивки на бобината. И в този случай индукиране на *едс* е възможно само ако имаме пресичане на

<sup>1</sup> Ако силовите линии са насочени към дланта, а палецът показва посоката на движението на проводника, пръстите ще сочат посоката на тока, предизвикан от индукираната *едс*.

навивките от силовите линии на собственото магнитно поле, т. е. при включване и изключване на токовата верига при изменение силата на тока.

Явлението на създаване *едс* в собствените навивки на бобината при изменение силата на тока се нарича *самоиндукция*. Индукираната вследствие самоиндукцията *едс* има такава посока, че създаденото от нея магнитно поле винаги противодейства на изменението на основното поле и често се нарича *противоелектродвижеща сила*. Така, ако токът през бобината се прекъсне, *едс* на самоиндукцията създава еднопосочно поле, като се стреми да забави отслабването на тока; ако пък веригата се включи, създаденото от *едс* на самоиндукцията поле е противоположно на основното и ще възпрепятства мигновеното усилване на тока до максималната му величина (фиг. 22). Щом



Фиг. 22. Включване и изключване на бобина в постояннотокова верига

обаче токът достигне тази величина, *едс* на самоиндукцията престава да съществува, тъй като нямаме изменение на основното магнитно поле. Ако токът през бобината е променлив, тогава *едс* ще се индукира непрекъснато и ще има, за резултат намаляване силата на тока във веригата, т. е. за променливия ток бобината представлява известно съпротивление.

**Индуктивност. Единици за измерване.** Коефициентът, който характеризира способността на бобината да проявява в по-малка или по-голяма степен явлението самоиндукция, се нарича *индуктивност* ( $L$ ).

Основна единица, която изразява индуктивността на бобината, се нарича *хенри* ( $хн$ ). Индуктивност един хенр има онази бобина, в която при равномерно изменение на тока с 1 ампер в течение на 1 секунда се индукира *едс* на самоиндукцията 1 волт.

Най-често се употребяват кратните единици на основната:

$$1 \text{ милихенри (мхн)} = 10^{-3} \text{ хн};$$

$$1 \text{ микрохенри (мкхн)} = 10^{-6} \text{ хн} = 10^{-3} \text{ мхн}.$$

Понякога може да се срещне и още по-малката единица

$$1 \text{ сантиметър} = 10^{-3} \text{ мксн} = 10^{-9} \text{ хн}$$

Индуктивността на бобината зависи от нейните геометрични размери (форма, брой навивки, вид на проводника и т. н.), от магнитната проницаемост на средата, в която е създадено магнитното поле, както и от средната дължина на една силова линия в полето. В опростен вид тази зависимост се изразява чрез формулата

$$L = \frac{4\pi \mu n^2 S}{10^9 l} \text{ (хн)},$$

където  $n$  е броят на навивките на бобината;

$S$  — напречното сечение на бобината или сърцевината ( $\text{см}^2$ );

$\mu$  — магнитната проницаемост на средата или сърцевината (за въздух  $\mu = 1$ );

$l$  — средната дължина на силовата линия ( $\text{см}$ ).

**Свързване на индуктивности.** От горната формула се вижда, че индуктивността на една бобина се увеличава с квадрата от броя на навивките ѝ, т. е. ако удвоим броя на навивките, индуктивността ще се увеличи 4 пъти (ако, разбира се, пренебрегнем по-слабото влияние на изменените геометрични величини  $l$  и  $S$ ). При по-слаба магнитна връзка между двете части (напр. чрез отдалечаване, дуносоочно навиване или поставяне под някакъв ъгъл) общата индуктивност ще бъде по-малка от първия случай и ще зависи от коефициента на връзката между тях.

В случай, че частите на бобината са достатъчно отдалечени и екранирани една от друга, така че между тях не съществува магнитна връзка, общата индуктивност при последователното им свързване (фиг. 23 а) ще бъде равна на сумата от индуктивностите на отделните бобини

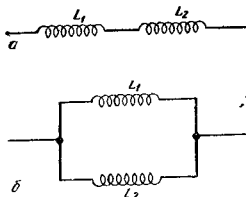
$$L_{\text{об}} = L_1 + L_2 + \dots$$

При паралелно свързване на няколко бобини, между които липсва магнитна връзка, тяхната обща индуктивност може да се намери от съотношението:

$$\frac{1}{L_{\text{об}}} = \frac{1}{L_1} + \frac{1}{L_2} + \dots + \frac{1}{L_n}$$

или за случая от две бобини (фиг. 23 б):

$$L_{\text{об}} = \frac{L_1 L_2}{L_1 + L_2}$$



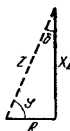
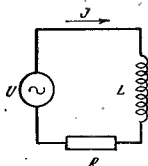
Фиг. 23. Последователно (а) и паралелно (б) свързване на индуктивности

Както се вижда, формулите са аналогични на онези, дадени за последователно и паралелно свързване на съпротивления. При смесено свързване на бобини без магнитна връзка помежду им общата индуктивност се изчислява по същия начин както при съпротивленията.

**Индуктивност в променливотокова верига.** Включената към правотоков източник бобина (фиг. 22) оказва влияние върху тока във веригата един-

ствено с омическото съпротивление на навивките си. Само в момента на включване и изключване на източника токът среща противодействие от самоиндуктираната противоелектродвижеща сила и изменението му става по експоненциален закон.

Ако бобината е включена към променливотоков източник (фиг. 24), противоелектродвижеща сила се индутира непрекъснато и бобината ще оказва индуктивно съпротивление  $X_L$  на променливия ток:



$$X_L = \omega L = 2\pi fL \text{ (ом)},$$

където

$f$  е честотата на променливия ток (Hz);

$L$  — индуктивността на бобината (H).

Фиг. 24. Векторно представяне на индуктивното и активното съпротивление на бобина в променливотокова верига

Видяхме, че токът във веригата, съдържаща чисто индуктивно съпротивление, изостава спрямо напрежението на  $90^\circ$ . Зависимостта между тока и напрежението в тази верига ще се изрази чрез закона на Ом:  $I = \frac{U}{X_L}$ . В дей-

ствителност навивките на бобината винаги притежават омическо съпротивление, което може да се представи като последователно свързано на  $L$  (фиг. 24). При променлив ток то се нарича активно съпротивление и включва в себе си не само омическото съпротивление на проводника за правия ток, но и увеличението на това съпротивление вследствие повърхностния ефект и другите активни загуби.

Активното съпротивление намалява ъгъла  $\phi$  и това намаление е толкова по-силно, колкото е по-голямо съпротивлението. Ъгълът  $\delta$ , допълващ  $\phi$  до  $90^\circ$ , характеризира загубите в бобината от активното съпротивление. Тангенсът на този ъгъл се нарича коефициент на загубите, а реципрочната му величина  $Q$  — качествен фактор на бобината:

$$Q = \frac{1}{\tan \delta}$$

Пълното съпротивление на веригата, съдържаща индуктивно и активно съпротивление, се изчислява по формулата  $Z = \sqrt{R^2 + X_L^2}$  и се нарича *импеданс* на веригата.

## 6. Закони на променливотоковите вериги

**Мощност на променлив ток.** Ако приложим уравнението за електрическата мощност на постоянния ток при веригата за променлив ток, получаваме привидната мощност:

$$P_{\text{пр}} = UI = I^2Z \text{ (ва)}$$

Привидната мощност представлява пълната мощност, която източникът отдава на товара — импедансът  $Z$ . Тъй като в товара са включени и реактивни елементи — индуктивности и капацитети, мощността, отговаряща на техните съпротивления, се нарича реактивна мощност:

$$P_p = I^2 X \text{ (ва)}$$

Реактивната мощност не се изразходва във веригата, тъй като при чисто реактивни съпротивления отдалената от източника енергия през време на едната част от периода се връща напълно в източника през време на останалата част от периода. Поради това, че както реактивната, така и привидната мощност не дават представа за пълната загуба на енергия във веригата, те се изразяват във волт ампери.

Мощността, която източникът действително отдава във веригата, е активната мощност. Тя се изразходва в активното съпротивление  $R$  и се изразява във ватове:

$$P_a = I^2 R \text{ (см)}$$

Обикновено активната мощност се представя чрез израза

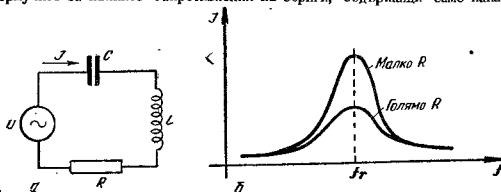
$$P_a = UI \cos \varphi,$$

където  $\cos \varphi$  е коефициентът на мощността, който зависи от отношението на активното съпротивление и импеданса на веригата:

$$\cos \varphi = \frac{R}{Z}$$

При изчислението на активната мощност обикновено се използва формулата  $P_a = UI \cos \varphi$ , като  $\cos \varphi$  най-често е означен върху самия консуматор. За изчисление на мощността на маломощните мрежови трансформатори в радио-приемниците  $\cos \varphi$  се приема средно за 0,8.

**Закон на Ом за променливотокова верига.** В т. 4 и т. 5 дадохме формулите за пълните съпротивления на вериги, съдържащи само капацитет.



Фиг. 25. Последователен трептящ кръг

а — свързване на елементите; б — резонансна крива

или само индуктивност. Ако веригата съдържа както индуктивност, така и капацитет, техните реактивни съпротивления имат противоположен характер; зависимостта им от честотата е право противоположна и фазовите им ъгли са с противни знаци. Тогава общото реактивно съпротивление на тази верига (фиг. 25 а) ще бъде

$$X = X_L - X_C.$$

Дали реактивното съпротивление  $X$  ще има индуктивен ( $X > 0$ ) или капацитивен ( $X < 0$ ) характер, зависи от преобладаващото влияние на  $X_L$  или  $X_C$ , а при неизмени  $X_L$  и  $X_C$  — от честотата на тока във веригата.

Ако се вземе предвид и общото активно съпротивление  $R$ , пълното съпротивление (импедансът) ще се определи по формулата

$$Z = \sqrt{R^2 + X^2} = \sqrt{R^2 + (X_L - X_C)^2}.$$

По такъв начин може да се напише и пълният израз на закона на Ом за променливотокова верига, съдържаща реални индуктивности и капацитет:

$$I = \frac{U}{Z} = \frac{U}{\sqrt{R^2 + (X_L - X_C)^2}} = \frac{U}{\sqrt{R^2 + \left(2\pi fL - \frac{1}{2\pi fC}\right)^2}}$$

## 7. Трептящи кръгове

**Последователен трептящ кръг.** Ако се изменят величините на елементите  $L$  и  $C$  от фиг. 25 а или се мени честотата на захранващото напрежение, може да се постигне изравняване на реактивните съпротивления  $X_L$  и  $X_C$  и напълно да се компенсира тяхното влияние във веригата:

$$X_L = X_C \text{ или } 2\pi fL = \frac{1}{2\pi fC}$$

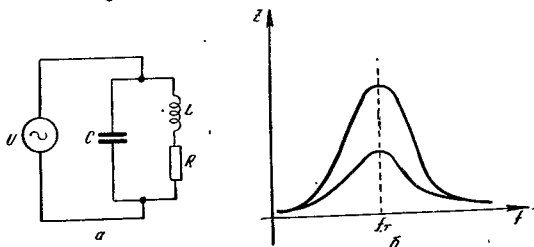
В такъв случай токът и напрежението във веригата съвпадат по фаза, реактивните елементи са напълно компенсирани и остава да действа само чисто активното съпротивление  $R$ . Тъй като то е твърде малко, токът във веригата както и напрежението върху отделните елементи значително нарастват. Това явление се нарича резонанс на напрежение. Веригата, съставена от така свързаните  $L$  и  $C$ , се нарича последователен трептящ кръг. Честотата, на която настъпва резонансът, се нарича собствена резонансна честота на кръга ( $f_{\text{рез}}$ ) и се определя въз основа на споменатото по-горе равенство

$$f_{\text{рез}} = \frac{10^9}{2\pi \sqrt{L (\text{мкхн}) C (\text{пф})}} (\text{хц}).$$

Изменението на тока около положението на резонанс става по крива, наречена резонансна характеристика на кръга (фиг. 25 б). Остротата на тази крива зависи от големината на активното съпротивление на кръга  $R$ .

**Паралелен трептящ кръг.** Ако елементите  $L$  и  $C$  свържем паралелно един на друг (фиг. 26 а), получаваме паралелен трептящ кръг. При изравняване на реактивните съпротивления  $X_L$  и  $X_C$  токовете в отделните клонове на кръга стават равни и противоположни, поради което общият ток във външната верига е минимален. Наличието все пак на известен ток се дължи на съществуването на активни компоненти в елементите. Поради това, че при паралелния кръг токът вътре в кръга се увеличава при резонанс, в случая нямаме резонанс на тока. Резонансната характеристика има аналогична форма на предишната —

фиг. 266. Докато за последователния кръг при резонанс токът е максимален, а импедансът минимален ( $Z = R$ ), при паралелния кръг имаме обратното — токът е минимален, а импедансът достига своята максимална стойност.



Фиг. 26. Паралелен трептящ кръг —  
а — свързване на елементите; б — резонансна крива

Параметри на трептящия кръг. Резонансната (собствена) честота  $f_{\text{рез}}$  е основният параметър на трептящия кръг, по който се съди за пригодността му да работи при определена честота или честотен обхват. Собствената честота на кръга зависи изключително от величините на индуктивността  $L$  и капацитета  $C$ . В работни условия  $L$  и  $C$  могат да се изменят под влиянието на различни паразитни елементи и явления — лампови и монтажни капацитети, близост до металически части и екрани, температура, влага и т. н.

Качественият фактор на кръга  $Q$  е основният параметър на трептящия кръг, по който се съди за неговите резонансни свойства.  $Q$ -факторът показва колко пъти напрежението върху един от елементите на последователния трептящ кръг (напр.  $U_L$ ) е по-голямо от подаденото напрежение,

$$Q = \frac{U_L}{U},$$

което може да се изрази още и като отношение на индуктивното съпротивление на бобината  $X_L$  към активното съпротивление  $R$ :

$$Q = \frac{X_L}{R} = \frac{\omega L}{R}$$

Реципрочната стойност на  $Q$  се нарича затихване на кръга и изразява степента на отслабване на затихващите трептения в кръга. Затихването числено се представя от декрементта на затихване  $\delta$ :

$$\delta = \frac{1}{Q}$$



$Q$ -факторът за обикновените  $\pi$  кръгове се движи в границите от 50 до 300, а за  $TC$  кръгове — от 1 до 10.

Резонансно съпротивление  $R_{\text{рез}}$  се нарича съпротивлението, което трептящият кръг оказва на токоизточника в момент на резонанс. Поради наличието на активни компоненти в съпротивленията на  $L$  и  $C$  при резонанс на ток (фиг. 26) съпротивлението на кръга няма да бъде безкрайно голямо, а се определя от

$$R_{\text{рез}} = \frac{L}{CR}.$$

При резонанс на напрежение (фиг. 25) съпротивлението на кръга вместо нула ще бъде равно на активното съпротивление  $R$ .

Резонансното съпротивление на паралелния трептящ кръг е значително и зависи предимно от отношението  $L/C$ . В обикновените случаи неговата големина се движи в границите от няколко десетки до няколко стотини килоома.

Отношението  $L/C$  определя и още един параметър на трептящия кръг — неговото външно съпротивление  $Z$ .

$$Z = \sqrt{\frac{L}{C}}$$

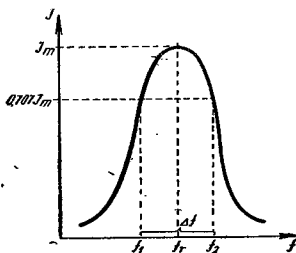
Избирателност и пропускаема честотна лента. От активното съпротивление на кръга зависи и остротата на резонансната му крива (фиг. 25б и 26б). Колкото резонансната крива е по-остра (по-малко  $R$ ), трептящият кръг има по-добра избирателност. Числена оценка за избирателността може да се получи най-лесно чрез т. нар. пропускаема честотна лента  $\Delta f$ :

$$\Delta f = \frac{f_{\text{рез}}}{Q}$$

Пропускаемата честотна лента е онзи честотен обхват, в границите на който токът в кръга представлява 0,707 от максималната му стойност при резонанс (фиг. 27).

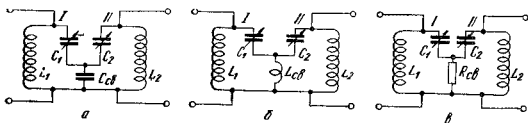
## 8. Свързани кръгове

Видове свързване. Свързване на два или няколко трептящи кръга се прилага, когато е необходимо да се прехвърли електрическата енергия от един в друг кръг или да се повнат резонансните свойства на кръга чрез подобряване на формата на резонансната крива. Това свързване може да се осъществи по няколко начина, представени схематично на фиг. 28 и 29. На първата от тях са показани три начина на директно (вътрешно) свързване на кръговете —



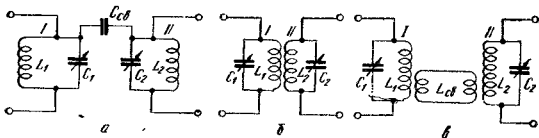
Фиг. 27. Ширина на пропускаемата лента на трептящ кръг

с капацитивна, индуктивна и съпротивителна връзка. Няколко начина за външно свързване са дадени на фиг. 29 — капацитивно, индуктивно и индуктивно с помощта на междинен ненастроен кръг.



Фиг. 28. Свързани кръгове с вътрешна връзка  
а — капацитивна ; б — индуктивна ; в — съпротивителна

**Коефициент на връзката.** Индуктивната връзка между двете бобини (фиг. 29б) се характеризира с наличието на известна взаимоиндуктивност  $M$ . Взаимоиндуктивността  $M$  зависи преди всичко от индуктивността на двете бобини, честотата на напрежението, геометричните размери на кръговете и магнитната проницаемост на средата около бобините.



Фиг. 29. Свързани кръгове с външна връзка  
а — капацитивна ; б — индуктивна ; в — с междинен кръг

Като мярка за силата на индуктивната връзка между двата кръга се употребява коефициентът на връзката  $K$ :

$$K = \frac{M}{\sqrt{L_1 L_2}}$$

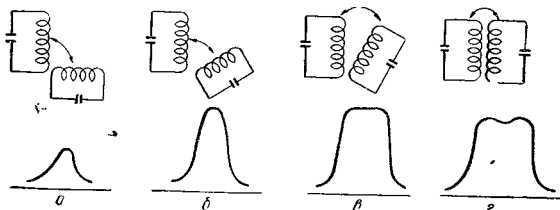
където  $L_1$  и  $L_2$  са индуктивностите на двете бобини.

Коефициентът на връзката се движи в границите от нула (при липса на индуктивна връзка) до единица (при много силна връзка).

При слаба връзка от първия на втория кръг се предава много малка част от енергията, а резонансната крива е с много остър връх (фиг. 30 а). Колкото се увеличава връзката, прехвърляната енергия във втория кръг се увеличава и резонансната крива се разширява (фиг. 30 б). Най-голяма част от енергията се прехвърля при една оптимална величина на връзката, наречена критична (фиг. 30 в). След нея резонансната крива се разширява, но получава два върха (фиг. 30 г) и максимумът на настройката се получава в две точки встрани от резонансната честота на кръговете — надкритична връзка. Това свойство на

свързаните кръгове да изменят ширината на пропусканата честотна лента се използва в радиоприемниците за регулиране на избирателността им.

Коефициентът на връзката зависи от честотата на напрежението. Това изисква за ония кръгове, които се настройват на различни честоти, да се избират специални сложни връзки (напр. капацитивно-индуктивна, които дават



Фиг. 30. Резонансни криви при различни коефициенти на връзка

най-малко изменение на  $K$  по обхвата. За свързани кръгове, работещи на една постоянна честота (напр. междинночестотните филтри в супера), видът на връзката е без значение, що се касае до постоянството на  $K$ . При тях връзката се избира само с оглед постигане на желаната пропускана лента.

## 9. Филтри

**LC-филтри.** Те са такива комбинации от кондензатори и бобини, при които може да се получи разделяне на токовете с различни честоти. Включването им става между източника на тока и товара, като за действието на филтъра се съди по отношението между изходящия и входящия ток или мощност. Най-често това отношение се изразява в децибел и се нарича затихване на филтъра.

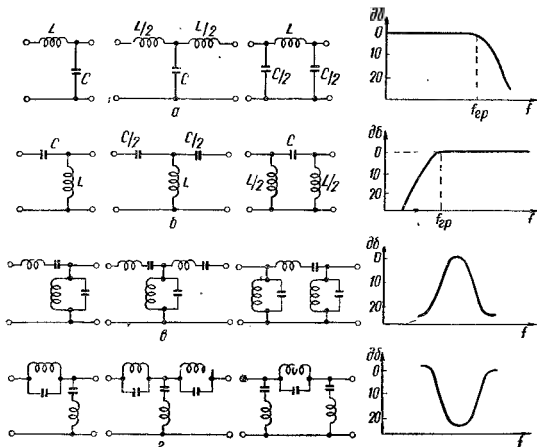
От многото различни комбинации на бобини и кондензатори могат да се обособят три основни групи, представени на фиг. 31. Във филтрите от първата група — фиг. 31 а, се получава срязване на високите честоти и пропускане на ниските честоти, поради което се наричат нискочестотни филтри. Най-често срещаните видове са Г-образният, Т-образният и П-образният филтър. От кривата на затихването се вижда, че ограничаването се извършва при една определена гранична честота  $f_{гр}$ , зависеща от стойностите на  $L$  и  $C$ . При зададена  $f_{гр}$  необходимите стойности на  $L$  и  $C$  определяме от

$$L = \frac{R}{\pi f_{гр}} \cdot (xH),$$

$$C = \frac{1}{\pi f_{гр} R} \cdot (\phi),$$

където  $R$  е активното товарно съпротивление, което трябва да е равно на съпротивлението на източника.

Стръмността на кривата на пропускане в областта на граничната честота зависи твърде много от вида на филтъра. При Г-образния филтър тя е най-малка, а при Т- и П-образния — по-голяма. Ако е необходимо по-рязко отделяне на двете честотни области, могат да се употребят и по-сложни многозвенни филтри, съставени от по няколко единични филтъра.



Фиг. 31. Няколко вида LC-филтри

а — нискофестотни; б — високочестотни; в — лентови; г — заграждащи

Точно обратно действие на разгледаните филтри имат високочестотните филтри — фиг. 31 б. Те срязват ниските честоти до определена граница  $f_{\text{гр}}$  и пропускат високите честоти над тази граница. Елементите им се определят по формулите

$$L = \frac{R}{4\pi f_{\text{гр}}} \text{ (хн),}$$

$$C = \frac{1}{4\pi f_{\text{гр}} R} \text{ (gf).}$$

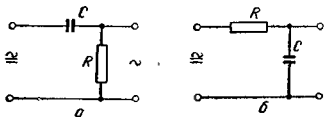
Лентовите филтри позволяват предаването на ток в определени честотни граници, извън които затихването е твърде голямо (фиг. 31 в). Представените на тази фигура няколко случая дават различна стръмност на кривата на про-

пускане и различна ширина на пропусканата лента. Освеи тези на фиг. 31 в лентови филтри могат да се получат и по други начини, един от които е разглежданият случай на свързани кръгове.

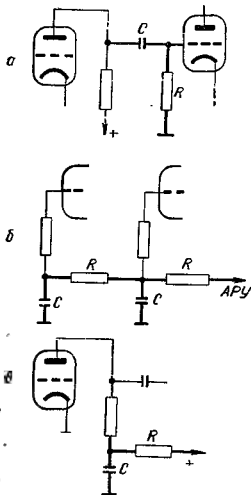
Лентовите филтри намират приложение в усилвателите на тясната честотна лента — напр. в междинночестотните усилватели на приемниците. Когато е необходима много тясна пропускана лента, качественият фактор на кръговете, от които е съставен филтърът, трябва да бъде по-голям. Когато пропусканата лента трябва да бъде от порядъка на няколкостотин херца (напр. в любителските *KB* приемници), употребяват се кварцови филтри. Те осигуряват твърде остро отсичане на страничните честоти и много тясна лента поради свойството на кварцовата пластинка да действа като кръг с много висок качествен фактор.

Противно на лентовите филтри заграждащите филтри силно затихват само една определена честотна лента, а пропускат всички останали честоти — фиг. 31 г. Такива случаи нямаме при антенните филтри в радиоприемниците, които трябва да отслабват сигнал с определена честота (напр. междинната честота на приемника или честотата на местния предавател).

**RC-филтри.** Значително по-прости и с по-широка употреба са групите, съставени от кондензатори и съпротивления, наречени *RC-филтри* (фиг. 32). В сравнение с *LC-филтрите* те дават по-малко затихване в непропускащата област, но поради своята простота се срещат много често в различни схеми. Основната задача, която се поставя на тези групи, е да изпълняват ролята на разделителни филтри — да отделят променливотоковата от правотоковата съставна



Фиг. 32. *RC-филтри*



Фиг. 33. Няколко случая на приложение на *RC-филтри*

на едно пулсиращо напрежение (фиг. 32 а), или, обратно, да изгладят пулсиращото напрежение, отделяйки правотоковата от променливотоковата съставна (фиг. 32 б). Първият случай намира приложение напр. при свързването между две стъпала на *RC-усилвателите* (фиг. 33 а). Вторият случай се среща по-често — при филтриране на анодните и екранните напрежения, напреженията за *APY* и за преднапрежение на лампите. На фиг. 33 б е даден случаят с

филтър за отделяне на променливата съставна от постоянното напрежение за АРУ. Филтриране на анодното напрежение се налага при многостъпални усилватели за избягване на обратна връзка по захранващата верига — развързващ филтър (фиг. 33а).

*RC*-филтрите се използват много често и за разделяне на токове с различни честоти, което се постига чрез подходящ избор на величините на елементите *C* и *R*. Такива случаи имама във веригите за регулиране на честотната характеристика на усилвателите (тонрегулатори).

При изчислението на *RC*-групите като основна величина за сравнение се използва времеконстантата  $\tau$  (стр. 42).

### Трета глава

## ЕЛЕКТРОННИ ЛАМПИ И ПОЛУПРОВОДНИЦИ

### 1. Електронни лампи<sup>1</sup>

#### *а. Условно означаване на електронните лампи*

За означаване на електронните лампи са възприети определени означителни системи, които позволяват по означението на дадена лампа да се определят най-важните ѝ особености.

#### Съветско означаване

Съгласно Държавния всесъюзен стандарт Гост 5461-50 означаването на електронните лампи се състои от 4 елемента, имащи следното значение:

#### *Първи елемент на означението*

- ГК — генераторни лампи за честота до 25 мгхц
- ГУ — генераторни лампи за УКВ с честота до 600 мгхц
- ГС — генераторни лампи за сантиметрови вълни
- ГМ — модулаторни лампи
- В — диодни (кенотронни)
- СГ — стабилизатори на напрежение
- ТГ — тиратрони с инертен газ
- ТР — тиратрони с живачни пари
- ГГ — газотрони с инертен газ
- ГР — газотрони с живачни пари
- Ф — фотоелементи и електронни умножители
- цифра, показваща приблизително отоплителното напрежение във в
- цифра, показваща големината на диаметъра (диагонала) на екрана в см

приемно-усилвателни и изправителни лампи за приемници и други подобни цели  
осцилографни и приемни телевизионни тръби

#### *Втори елемент на означението*

- Д — диоди
- Х — двойни диоди
- С — триоди

<sup>1</sup> Параметрите им са дадени в таблиците от 1 до 9 в края на тази глава.

- Э — тетроды  
П — изходящи пентоди и лъчеви тетроди  
И — честотопреобразователни лампи от типа хептод-триод  
К — екранирани пентоди и лъчеви тетроди с заменяема стръмност  
Ж — екранирани пентоди и лъчеви тетроди  
А — преобразователни лампи с две управляващи решетки  
Г — триод и един или два диода  
Б — пентод и един или два диода  
Н — двойни триоди  
Ф — триод-пентоди  
Е — индикатори за настройка  
Ц — кенотрони ва приемници и усилватели  
— цифра (пореден №) газонапълнени диоди, триоди и вентили с тлеещ разряд
- ЛО — осцилографни и приемни телевизионни тръби с електростатично отклонение на лъча  
ЛМ — осцилографни тръби с електромагнитно отклонение на лъча  
ЛК — приемни телевизионни тръби с електромагнитно отклонение на лъча  
Ц — фотоелементи и електронни умножители с цезиев катод



Дроб  $\left\{ \begin{array}{l} \text{в числителя — средният ток (а)} \\ \text{в знаменателя — обратното напрежение (ка)} \end{array} \right.$

Приемо-усилватели, кенотрони за приемници и усилватели и стабилизаторни лампи:

Без означение — металически

С — стъклени

Ж — тип „желез“

Б — свръхминиатюрни, с диаметър 10 мм

А — с диаметър 6 мм

Л — с локален цокъл

П — миниатюрни („палчикови“)

Д — с дискови изводи („маячкови“)

Ако липсва някой елемент (освен последния), вместо него се поставя тире (—).

### Примери

1. Честото-преобразователна лампа с две управляващи решетки, отоплително напрежение 1,2 в, първи пореден номер от този тип, миниатюрна . . . 1А1П
2. Висококачествен пентод с удължена характеристика, отоплително напрежение 6,3 в, металическа . . . 6К7.
3. Генераторна лампа за честоти до 25 мхц, без специално охлаждане . . . ГК4
4. Осцилографна тръба, дълга 13 см, с електростатично отклонение . . . 13ЛО7
5. Приемна телевизионна тръба с диагона на екрана 30,5 см, магнитно отклонение, бяла светлина . . . 31ЛК1

### Европейско означение

Това означение се състои от група букви и от едно-, две- или тръзначно число.

*Първата буква показва вида на отоплението*

- А — променливо напрежение 4 в
- В — постоянен ток 180 ма
- С — постоянен или променлив ток 200 ма
- Д — батерийни лампи 1,25 или 1,4 в
- Е — напрежение 6,3 в от всякакъв източник
- Г — напрежение 13 в от акумулаторна батерия
- Г — променливо напрежение (американски тип)
- Н — постоянно напрежение 4 в (батерийни лампи)
- К — постоянно напрежение 2 в (батерийни лампи)
- Р — променлив ток 0,3 а (американски тип)
- U — постоянен или променлив ток 100 ма
- У — постоянен или променлив ток 50 ма

*Втората буква означава назначението на лампата*

- А — детекторен диод
- В — двоен детекторен диод
- С — усилвателен триод
- Д — изходящ триод
- Е — тетрод
- Г — високочестотен пентод
- Н — хексод

- K — октод
- L — изходящ пейтод
- M — индикатор (магическо око)
- N — тиратрон
- P — лампа с вторична емисия
- O — нискод (ч.м.-детектор)
- W — газов еднополупериоден изправител
- X — газов двуполупериоден изправител
- Y — еднополупериоден кенотрон
- Z — двуполупериоден кенотрон

### *Цифрите след буквите са типови елементи на означението*

1—9 — лампи с дълбок цокъл, с 8 или 5 крачета. Лампите от серия „U“ с това окончание имат октален цокъл.

11—19 — металически лампи с диаметър 43,5 см, с 5+3 крачета и бакелитов щифт в средата. Изходните, токоизправителните и индикаторните лампи от тази серия имат стъклен балон.

21—29 — стъклени лампи с локтален цокъл, с 8 крачета. Лампите от 21—24 серия „D“ са с октален цокъл.

30—39 — стъклени лампи с октален цокъл.

40—49 — лампи с цокъл „римлок“ (нглен), с 8 крачета и водеща глътка.

50—59 — специални лампи „Филипс“.

60—69 — лампи с 9-щифтов цокъл и свръхминиатюрни батерийни лампи без цокъл.

70—79 — миниатюрни лампи с локтален цокъл.

80—89 — миниатюрни стъклени лампи с 9 крачета („новал“).

90—99 — миниатюрни стъклени лампи със 7 крачета.

100—110 специални лампи „Телефункен“.

170—179 — стъклени лампи „RFT“ с 11-щифтов цокъл „гном“.

801—809 — миниатюрни лампи „Телефункен“.

При някои лампи „Тунгсрам“ означението започва с буквата „T“.

Чехословашките приемно-усилвателни лампи „Тесла“ се означават с три елемента: цифра, буква и цифра. Първата цифра показва закръглената стойност на отоплителното напрежение във в, буквата в средата — типа на лампата, а втората цифра — външния вид на лампата и цокъла.

### **Америкаанско означение**

Означението на американските лампи се състои от цифра, буква (една или повече) и пак цифра.

Първият елемент (цифрата) означава отоплителното напрежение във в.

Вторият елемент (буква или група от букви) обикновено няма определено значение; наличието на буквата „S“ в групата означава, че всички електроди са свързани с цокъла.

Третият елемент (втората цифра) дава броя на свързаните крачета на цокъла (включително екранировката) минус единица.

Пред основната група на означението често се поставят една или повече букви, показващи фирмата производител. Напр.: NY (Хитрон), KR (Кен Рад), T (Телефункен — Италия).

След основната група на означението се поставя буква, определяща конструкцията на лампата:

- G — стъклена лампа
- GT — стъклена лампа с намалени размери и октаеи цокъл
- LM, LT — стъклен лампи с локтален цокъл
- MG — стъклена лампа с вършен металеи цокъл
- MS — стъклена лампа с вършии метализация
- X — керамичен цокъл
- Y — специален цокъл

Металните лампи нямат окончание след основните групи на означението.

Пример:

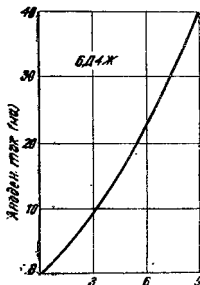
- 6A8 — отопление 6,3 в, 8 свързани крачета, метална
- 6A8G — същия тип със стъклен балон
- 6A8GT — същия тип с намалена размери

### 6. Видове електронни лампи

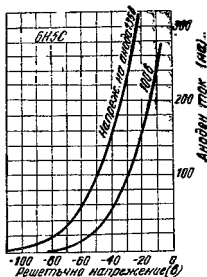
Диод — двуелектродна лампа, която има катод *к* и анод *а*.

Използува се като детектор в радиоприемниците и като изправител на променлив ток.

На фиг. 34 е показана типична анодна характеристика на диода като функция от приложеното на анода напрежение.



Фиг. 34. Анодна характеристика на диода 6Д4Ж



Фиг. 35. Решетъчни характеристики на триода 6Н5С

Триод — триелектронна лампа, състояща се от катод *к*, управляваща решетка *р* и анод *а*.

Използува се в най-различни радиоапаратури: в приемниците като усилвател на висока и ниска честота, като детектор и осцилатор.

Триодите намират приложение и в радиопредавателите с големи мощности, където за отнемане на разсеяната мощност се прилага водно или принудително

телно въздушно охлаждане. Голямо приложение намират в радиоапаратите за ултракъси вълни.

На фиг. 35 са показани решетъчните, а на фиг. 36 — анодните характеристики на триода.

**Основни параметри на триода:**

Коефициентът на усилване  $\mu$  се определя като отношение от нарастването на анодното напрежение  $E_a$  към нарастването на решетъчното напрежение  $E_p$  (взето с отрицателен знак) при постоянен аноден ток  $I_a$ :

$$\mu = \frac{\Delta E_a}{\Delta E_p} \text{ при } I_a = \text{const.}$$

Този коефициент се нарича още статичен коефициент на усилване.

В някои страни вместо коефициента на усилване  $\mu$  се използва реципрочната му стойност  $D$ , наречена про-ницаемост ( $D = \frac{1}{\mu}$ ).

Вътрешното съпротивление  $R_i$  на лампата се определя като отношение от изменението на анодното напрежение  $E_a$  към съответстващото изменение на анодния ток  $I_a$  при постоянно решетъчно напрежение:

$$R_i = \frac{\Delta E_a}{\Delta I_a} \text{ при } E_p = \text{const.}$$

Стръмността  $S$  на лампата се определя като отношение от изменението на анодния ток  $I_a$  към съответстващото изменение на решетъчното напрежение  $E_p$  при постоянно анодно напрежение:

$$S = \frac{\Delta I_a}{\Delta E_p} \text{ (ma/v) при } E_a = \text{const.}$$

Стръмността на лампата се измерва в милиампери на един волт (ma/v). Параметрите на триода могат да се определят непосредствено по ламповите характеристики, показани на фиг. 35 и 36.

Основните параметри на триода се намират в следното съотношение:

$$\mu = SR_i, \text{ където } S \text{ в ma/v, а } R_i \text{ в ком.}$$

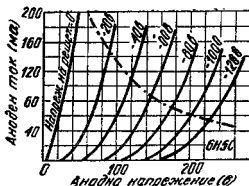
От характеристиките на триода се вижда, че параметрите на лампата не са постоянни, а се изменят в широки граници при изменение на анодния ток.

Най-постоянният параметър е коефициентът на усилване на лампата.

Важни параметри, характеризиращи триода, са паразитните статични капацитети:

Входящият капацитет  $C_{pk}$  е капацитетът между решетката и катода при статичен режим на лампата. При динамичен режим на лампата стойността на този капацитет е:

$$C_{вх} = C_{pk} + C_{pa} (1 + K),$$



Фиг. 36. Анодни характеристики на триода 6H5C. Максимално допустима мощност на разсейване от анода

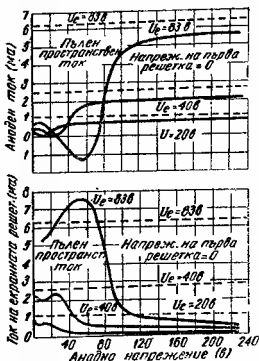
където  $K$  е динамичният коефициент на усиление на стъпалото.

Изходящият капацитет  $C_{вк}$  е капацитетът между анода и катода на триода. При динамичен режим изходящият капацитет не се променя.

Преходящият капацитет  $C_{пр}$  е капацитетът между решетката и анода на лампата.

Големият преходящ капацитет е съществен недостатък на триодите при използването им за усиление на високи честоти.

**Тетрод** — четириелектродна лампа, състояща се от катод  $k$ , управляваща решетка  $p_1$ , допълнителна (екранина) решетка  $p_2$  и анод  $a$ . Втората решетка спомага за намаляването на капацитета анод-решетка и увеличаване на вътрешното съпротивление. С това се намалява възможността за поява на нежелателно самовъзбуждане при използването на тетрода като усилвател на висока честота и се увеличава коефициентът на усиление на лампата. На фиг. 37 е показана типична характеристика на тетрода. Разликата ѝ от тази на триода е, че анодният ток почти не зависи от величината на анодното напрежение. Провалът в характеристиката на анодния ток е съществен недостатък на тетрода, предизвикващ динамичен ефект при анодни напрежения, близки или по-малки от напрежението на екранината решетка.



Фиг. 37. Анодни и анодно-екранини характеристики на тетрода

Пентодът се използва в различни области на радиотехниката. Поради малкия му капацитет решетка-анод и голямото вътрешно съпротивление той е подходящ за високочестотен усилвател. В нискочестотните усилватели и в радиоприемниците пентодът се използва като усилвател на напрежение и мощност. На фиг. 38 са показани типични характеристики на пентод.

**Лъчев тетрод** — лампа със специална антидинамична конструкция за избягване на динамичния ефект. Лъчевите тетроди се използват като усилватели на мощност в НЧ и ВЧ усилватели и изместват тетродите и пентодите. На фиг. 39 е показана характеристиката на лъчевия тетрод 6П3С.

#### Параметри на тетродите и пентодите

Динамично вътрешно съпротивление във веригата на анода:

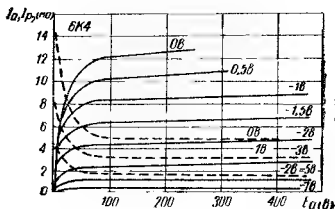
$$R_t = - \frac{\Delta E_a}{\Delta I_a} \quad \text{при } E_{p1} = \text{конст. и } E_{p2} = \text{конст.},$$

където  $E_{p2}$  е напрежението на екранината решетка.

Динамично вътрешно съпротивление във веригата на екранната решетка:

$$R_{ip_2} = \frac{\Delta E_{p_2}}{\Delta I_{p_2}} \text{ при } E_{p_1} = \text{конст. и } E_a = \text{конст.},$$

където  $\Delta E_{p_2}$  и  $\Delta I_{p_2}$  са съответно нарастванията на напрежението и тока на екранната решетка.



Фиг. 38, Характеристики на пентода 6К4

Коефициент на усилване на управляващата решетка по отношение на анода:

$$\mu_{p_1} = \frac{\Delta E_a}{\Delta E_{p_1}} \text{ при } I_a = \text{конст.}$$

Коефициент на усилването на управляващата решетка по отношение на екранната решетка:

$$\mu_{p_2} = \frac{\Delta E_{p_2}}{\Delta E_{p_1}} \text{ при } I_{p_2} = \text{конст.}$$

където  $I_{p_2}$  е токът на екранната решетка.

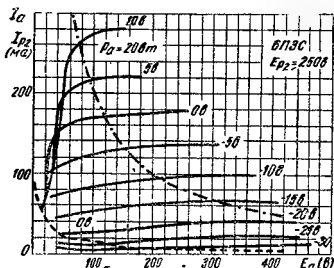
Вътрешното съпротивление на тетродите е от 10 до 100 пъти по-голямо, отколкото в триодите и се движи в границите от стотици хиляди ома до няколко мегаома.

**Пентоди с удължени характеристики** — лампи с това преимущество, че при увеличаване на решетъчното им преднапрежение анодният ток не спада рязко както при обикновените лампи, а постепенно. Тези пентоди се използват в радиоприемниците, където стръмността на лампата се изменя от автоматичния регулатор на усилването. На фиг. 40 е показана характеристиката на една лампа от този тип 6SK7, като на същата фигура за сравнение е дадена и характеристиката на една обикновена лампа 6SJ7.

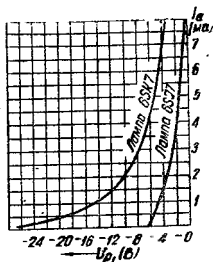
**Хексод** — шестелектродна лампа: анод, катод и четири решетки. Съвързането на отделните решетки е различно в зависимост от използването на хексода. Използува се главно като смесител. При този случай първата решетка служи за подаване на напрежението от местния хетеродин, а третата решетка — сигналната — за подаване на входящия сигнал. Втората и четвъртата решетка са екрани.

Хексодът може да се използва като лампа с променливо усилване за височестотния сигнал (файдинг-хексод).

Основни параметри на хексода са: стръмността на смесване  $S_c$ , която се определя като отношение от съставната на анония ток на междинната че-



Фиг. 39. Характеристики на лъчевия тетрод 6П3С



Фиг. 40. Характеристика на лампа с променлива стръмност

стота  $\Delta I_{амч}$  към променливото напрежение на управляващата решетка  $\Delta E_{p1}$  ( $S_c = \frac{\Delta I_{амч}}{\Delta E_{p1}}$ ) и динамичното вътрешно съпротивление по междинна честота  $RI_{мч}$ .

**Хептод** — седемелектродна лампа: анод, катод и пет решетки. Използва се като преобразовател на честотата. Лампата се състои от триодна част, която работи като хетеродин, и тетродна като смесител.

**Октод** — осемелектродна лампа, която се състои от триодна и пентодна част. Използва се като преобразовател на честотата. Преимуществото му се състои в неговото по-голямо вътрешно съпротивление. Пълното отсъствие на динодронния ефект позволява по-голямо усилване без изкривяване.

Комбинираните лампи съдържат две или повече различни лампови системи в общ балон с общ или отделен катод. Към този тип лампи се отнасят: диод-триод, диод-пентод, двоен диод+триод, двоен диод+пентод, триод-пентод, триод-хексод, диод-триод-пентод, троен диод+триод и др.

## 2. Полупроводници<sup>1</sup>

Полупроводниците намериха голямо приложение в науката и техниката. Те се използват в радиоприемниците, усилвателите, автоматиката и телемеханиката, в кибернетичните машини и импулсните устройства за произвеждане на височестотни и нисчестотни трептения.

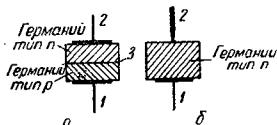
<sup>1</sup> Параметрите им са дадени в таблиците от 10 до 19 в края на тази глава.

Полупроводниците са особено ценни и подходящи за портативните апаратури поради малката им тежест, малък обем и икономичност в консумиране на електроенергия.

### а. Принципно действие и видове

Принципът на действие на полупроводниците се основава на възможността едновременно да съществуват два различни процеса при пренасяне на електрическите заряди или, иначе казано, два различни типа електропроводимост. Към полупроводниците се отнасят голяма група твърди тела, които имат кристален строеж и притежават твърде високо относително съпротивление — десетки хиляди пъти по-голямо, отколкото металите. По своята проводимост те заемат междинно място между металите и изолаторите, поради което се наричат полупроводници. За изработването на полупроводникови диоди и триоди се използват главно германий и силиций.

Кристали, притежаващи главно електронна проводимост, са от типа „*n*“, а дупчестата — от типа „*p*“. Полупроводниковите диоди и триоди се разделят на две групи: плоскостни и точкови.



Фиг. 41. Полупроводникови диоди  
а — плоскостен; б — точков

Полупроводниковият плоскостен диод (фиг. 41а) представлява кристал от два слоя с различна проводимост, като от всеки слой чрез специални електроди (1 и 2) са направени изводи. Главна роля в работата на такъв диод играе областта между пластове 3, показана на фиг. 41а с пълтна права линия, където германият от тип „*p*“ преминава в тип „*n*“. Отличителната черта на тази област, наричана обикновено електродупчеста или „*p-n*“ преход, е, че тя притежава изправителни свойства.

Полупроводниковият точков диод е направен от германий тип „*n*“ с електронна проводимост (фиг. 41б). От едната страна на кристала, както и в плоскостния диод, с помощта на електрода 1 се прави извод. Към противоположната му страна се допира острие от тънък пружиниращ проводник 2, което образува точковия контакт. Този проводник е вторият извод на диода.

Основна роля в работата на точковия диод играе изправителният „*p-n*“ преход, който се образува в мястото на допирането на острието в кристала на германия.

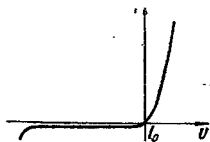
На фиг. 42 е показана характеристиката на плоскостен диод. Силата на тока, протичащ през диода, зависи от величината и знака на приложеното напрежение. Посоката, съответстваща на малкото съпротивление на диода и голямата стойност на тока, се нарича „права“, а обратната, при която съпротивлението на диода е голямо, а токът във веригата малък — „обратна“. Аналогично на това и напреженията, които предизвикват тези токове, се наричат съответно „право“ и „обратно“. За плоскостните диоди право напрежение има тогава, когато към слоя с електронна проводимост е свързан отрицателният полюс на токоизточника, а към слоя с дупчеста проводимост — положителният полюс.



Увеличението на обратния ток през диода при големи обратни напрежения показва приближаването на пробив в диода.

От волт-амперната характеристика на диода се вижда, че той притежава добри изправителни свойства.

На фиг. 43 са показани конструкцията и основните размери на плоскостните — германиеви диоди тип ДГ-Ц21 ÷ 25 и ДГ-Ц26 ÷ 27.

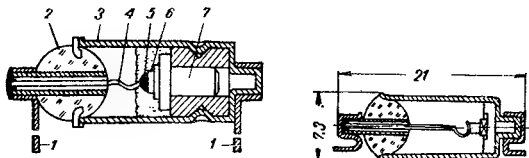


Фиг. 42. Волт-амперна характеристика на плоскостен полупроводников диод

Характеристиките на диодите изправители са до голяма степен температурно зависими, което е съществен недостатък за полупроводниците.

При плоскостните диоди се получава значително по-голяма стойност на изправения ток, отколкото при точковите. Точковите диоди могат да работят на честота до 100  $\text{мХц}$ , докато плоскостните поради това, че имат значителен собствен капацитет (от 15 до 20  $\text{пф}$ ), могат да работят на честоти до 50  $\text{кХц}$ .

Полупроводниковият точков триод (фиг. 44) се състои от германиев кристал  $\Gamma$  и две остриета  $E$  и  $K$ , които са на разстояние 20—50  $\text{мкн}$  от повърхността на кристала. Всяко острие образуваше с кристала  $\Gamma$  обикновен изправителен контакт с права проводимост от острието към кристала. Ако между електрода  $e$ , наречен „емитер“, и основата  $o$  се подаде напрежение с права полярност, а между електрода  $k$ , наречен „колектор“, и основата  $o$  — с обратна полярност, то стойността на тока  $I_k$  (обратния) се намира в пряка зависимост от стойността на тока на емитера  $I_e$ .



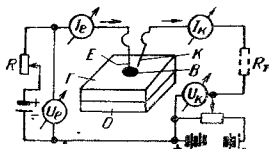
Фиг. 43. Общ вид на плоскостни германиеви диоди

$a$  — тип ДГ-Ц21 — 25: 1 — контактни изводи, 2 — стъклен изолатор, 3 — тяло, 4 — горен токоснимател, 5 — индий, 6 — германий, 7 — долен токоснимател, б — тип ДГ-Ц26 — 27

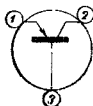
Доколкото напрежението на емитера е подадено в права полярност, а на колектора — в обратна, вътрешното съпротивление във веригата на емитера е значително по-малко, отколкото съпротивлението във веригата на колектора, следователно, въпреки че токът на емитера  $I_e$  и токът на колектора  $I_k$  незначително се различават един от друг, може да се получи значително усиление на мощността (от 100 до 1000 пъти).

<sup>1</sup> Срещу се и база.

Ако във веригата на колектора включим товарното съпротивление  $R_T$  (около десетки килоома), а на емитера се подаде променливо напрежение, то напрежението, получаващо се върху съпротивлението  $R_T$ , ще се окаже значително по-голямо, отколкото това, което е приложено към емитера.



Фиг. 44. Схема, поясняваща принципа на действие на кристалния точков триод

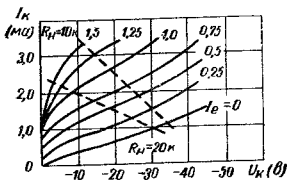


Фиг. 45. Схема на точков триод

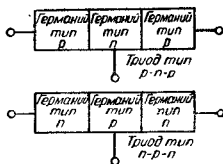
1 — емитер; 2 — колектор; 3 — основа (база)

Важно свойство на точковите триоди е, че в тях колекторният ток превишава тока на емитера, т. е. такива триоди осигуряват усилването по ток. Коефициентът на усилване по ток за точковите триоди е от 2 до 5.

На фиг. 45 е показан кристален точков триод, а на фиг. 46 типови статични волт-амперни характеристики. С пунктирни линии са дадени товарните характеристики при  $R_T = 10 \text{ ком}$  и  $R_T = 20 \text{ ком}$ .



Фиг. 46. Типови характеристики на точков кристален триод

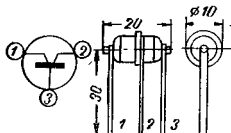


Фиг. 47. Плоскостен полупроводников триод

Показаните характеристики приличат на характеристиките на обикновения пентод и се отличават от тях по това, че семейството на характеристиките на пентода се построява като функция от напрежението на управляващата решетка, а на кристалния триод — в зависимост от тока на емитера.

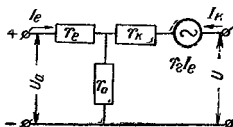
Полупроводниковият плоскостен триод съдържа германиев кристал от три редуващи се слоя с различни проводимост и два електронно-дупчести „p—n“ прехода (фиг. 47). Двама крайни слоя на кристала имат еднаква про-

водимост (тип „ $p^+$ “ или „ $n^+$ “), а средният — противоположна, т. е. съответно „ $n^+$ “ или „ $p^+$ “. В зависимост от реда на разположението на слоевете плоскостните триоди се делят на две групи. Тези, на които крайните слоеве имат



Фиг. 48. Схема и общ вид на плоско-стен кристален триод

1 — емитер; 2 — колектор; 3 — основа



Фиг. 49. Еквивалентна схема на кристален триод

дупчеста проводимост „ $p^+$ “, а средният — електронна „ $n^+$ “, се наричат триоди тип „ $p-n-p^+$ “. Другите триоди, на които крайните слоеве от кристала имат електронна проводимост „ $n^+$ “, а средният — дупчеста „ $p^+$ “, се наричат тип „ $n-p-n^+$ “. На фиг. 48 са показани схемата и общият вид на плоскостен триод,

а на фиг. 49 — един от вариантите на еквивалентната схема на триода. Стойностите на съпротивленията в схемата се определят от статичните характеристики, показани на фиг. 50 по следните формули:

$$\Delta U_e = r_e + r_0; \text{ при } I_k = \text{конст.}$$

$$\frac{\Delta U_k}{\Delta I_e} = r_0 + r_k; \text{ при } I_k = \text{конст.}$$

$$\frac{\Delta U_k}{\Delta I_k} = r_k + r_0; \text{ при } I_e = \text{конст.}$$

$$\Delta U_e = r_0; \text{ при } I_e = \text{конст.,}$$

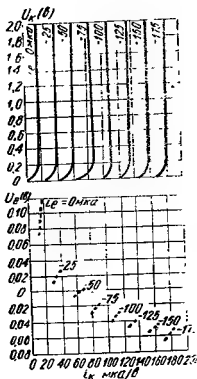
където  $\Delta U_e$ ,  $\Delta U_k$ ,  $\Delta I_k$  и  $\Delta I_e$  са съответно нарастванията на напрежението на емитера и колектора и на токовете във веригата на колектора и емитера;

$r_k$  — съпротивление на колекторния преход;

$r_0$  — съпротивление на основата;

$r_e$  — съпротивление на емитера;

$r_2$  — съпротивление на еквивалентния генератор във веригата на колектора.



Фиг. 50. Типови характеристики на плоскостен кристален триод

Отношението  $\frac{r_2}{r_E}$  определя коефициента на усилването на триода по ток.

### б. Указания по използването на кристалните диоди и триоди

При използване на кристалните диоди и триоди трябва да се спазват следните условия:

- температурата на окръжаващата среда да не надвишава  $50^{\circ}\text{C}$ ;
- да не се разполагат близо до нагряващи се части;
- да не се запояват и огъват изводите на точковите диоди и триоди;
- запояването и огъването на изводите на плоскостните диоди и триоди да се правят на разстояние, не по-малко от 10 мм от тялото;
- за спойка да се употребява припой с температура на топенето не повече от  $150^{\circ}$ ;

- да не се превишават максимално допустимите стойности на напрежението, тока и разсейваната от колектора мощност във всички статични, динамични и преходни (при превключване) режими;

при включване най-напред да се осъществява контактът на основата.

## 3. Електронно-лъчеви тръби<sup>1</sup>

Електронно-лъчевата тръба е предназначена за преобразуване на електрическите сигнали в светлинни.

Според отклоняващата система електронно-лъчевите тръби биват: електростатични и електромагнитни.

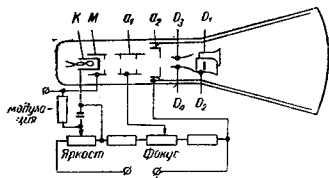
**Електростатични тръби.** При електростатичните тръби фокусировката и отклонението на електронния лъч се извършват от електрическо поле.

На фиг. 51 а е показано принципното устройство на електростатична тръба, която има следните главни части: катод  $K$ , който излъчва електрони; управляващ електрод  $M$ , който служи за управление на тока на лъча; първи анод  $A_1$  и втори анод  $A_2$ , които служат за ускорение и формиране на електронния лъч; два чифта отклоняващи пластинки  $D_1 D_2$  и  $D_3 D_4$ , предназначени за отклонение на електронния лъч. Първият анод, катодът и управляващият електрод образуват първата фокусираща леща. Първият и вторият анод образуват втората фокусираща леща. Регулирането на фокусировката се извършва с изменение напрежението на първия анод.

Чувствителността на електростатичната тръба се определя от величината на отклонението на лъча върху екрана на тръбата при изменение потенциала на отклоняващите пластинки с 1 волт. Чувствителността на тръбата е обратно пропорционална на скоростта на електроните, затова тръбите с голямо анодно напрежение имат малка чувствителност. За увеличение на чувствителността на тръбите при запазване голяма скорост на електроните се използва системата на последноускорение, имаща трети анод  $A_3$ , разположен зад отклоняващите пластинки. При такива тръби захранването на третия анод не е желателно да става от общия потенциометър, тъй като при модулация ще има разфокусировка на лъча от преразпределението на лъча между втория и третия анод. Модулиращото напрежение трябва да се подава на управляващия електрод, както е показано на фиг. 51 а.

<sup>1</sup> Параметрите им са дадени в таблиците от 20 до 23 в края на тази глава.

Подаването на модулиращо напрежение на катода е нежелателно, тъй като предизвиква изменение на напрежението между катода и втория анод, вследствие на което се изменя скоростта на електроните в областта на отклоняващите пластинки, което от своя страна пък причинява изменение на чувствителността и разфокусиране по краищата на тръбата.

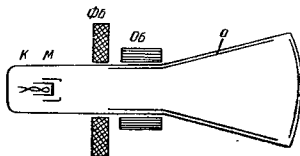


Фиг. 51 а. Схема на електростатична електронно-лъчева тръба

Електростатичните тръби намират широко приложение в електронните осцилографи. В телевизията тези тръби рядко се използват, тъй като при модулация се получава разфокусировка на лъча.

**Електромагнитни тръби.** При електромагнитните тръби фокусировката и отклонението на електронния лъч се извършват от магнитно поле.

Електромагнитната тръба се състои от катод  $K$ , модулиращ електрод  $M$ , анод  $a$ , фокусиращи ФБ и отклоняващи ОБ бобини (фиг. 51 б).



Фиг. 51 б. Схема на електромагнитна тръба

$K$  - катод;  $M$  - модулатор; ФБ - фокусираща бобина;  
ОБ - отклоняваща бобина

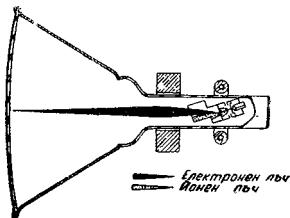
Фокусировката и отклонението на лъча в хоризонтална и вертикална посока се извършват с помощта на отклоняващи бобини, които са монтирани външно върху цилиндричната част на тръбата.

Качеството на фокусировката в края и в средата на екрана съществено зависи от разположението на бобината на гърлото на тръбата и от качеството на отклоняващата система.

Отклоняващата система трябва да се разполага колкото се може по-близо към екрана на тръбата. Дължината на отклоняващата система не трябва да превишава 60 мм. Много близкото взаимно разположение на фокусиращата и отклоняващата бобина може да доведе до нежелателно взаимодействие на магнитните полета. Колкото е по-близо фокусиращата бобина до екрана, толкова по-добра е фокусировката в центъра, но се влошава по краищата. Разположението на фокусиращите бобини се подбира опитно.

Модулиращото напрежение в тръбите с магнитно отклонение може да се подава както на управляващия електрод, така и на катода, но в този случай фокусировката при модулация ще бъде малко по-лоша. Недостатъкът на електромагнитния начин на развивка е появяването на йонно петно, проявяващо се като тъмно, кръгло петно на екрана на тръбата. За отстраняване на йонното петно се използва специално устройство, при което катодът излъчва електрони не перпендикулярно на екрана, а под наклон (фиг. 52). С помощта на допълнителен коригиращ магнит траекторията на електронния лъч се изменя и насочва към екрана. По-тежките йони се отклоняват на малък ъгъл и попадат в така наречения йонен уловител.

При експлоатация на електронно-лъчевите тръби е необходимо напреженията на електродите на тръбата да съответствуват на тези, показани в характеристиките. При включване на тръбата лъчът трябва да бъде спрял. При отпушване на лъча това трябва да става бавно за избягване на прегаряне на екрана при отсъствие на развивка.



Фиг. 52. Конструкция на електронно-лъчева тръба с йонен уловител

1 коригиращ магнит

#### 4. Газоразрядни прибори

Газотрон — обикновен диод с анод и горещ катод, напълнен с живачни пари или инертен газ, като аргон, неон, криптон и др. Характеристиката на газотрона е дадена на фиг. 53. Газотроните се използват за изправяне на променлив ток със средни и големи мощности. В сравнение с кенотроните газотроните имат следните предимства: по-малко вътрешно съпротивление, вследствие на което и малки вътрешни загуби; падението на напрежението вътре в лампата е малко, почти независимо от величината на анодния ток; малки размери при големи стойности на изправения ток.

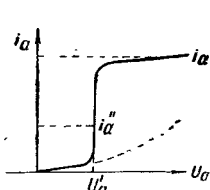
При експлоатацията на газотроните трябва да се спазват следните условия: токът през газотрона не трябва да превишава максимално допустимата върхова стойност. В противен случай за много кратко време ще се повреди катодът на газотрона;

<sup>1</sup> Параметрите им са дадени в таблица 24 в края на тази глава.

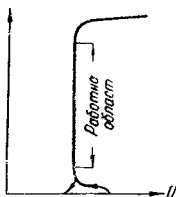
средният ток през газотрона трябва да е по-малък или равен на допустимия среден ток. При неспазване на това условие ще се получи прегряване на лампата и ще се предизвикат обратни запалвания;

обратното напрежение не трябва да превишава допустимата за лампата стойност.

Газотроните имат следните недостатъци: голяма чувствителност към прегряването и особено към недостатъчното нагряване на катода; предварително



Фиг. 53. Характеристика на газов диод



Фиг. 54. Волт-амперна характеристика на стабиловолт

затопляне на катода в продължение на няколко минути преди включване на анодното напрежение.

**Тиратрон** — газов триод с управляваща решетка, която регулира момента на запалването. Веднага след запалването на тиратрона решетката изгубва своята командна способност върху ламповия ток. Определяйки момента на запалването, леко може да се осъществи регулирането на средната стойност на изправения ток.

Тиратронът се използва за изправяне на променлив ток със средни и големи мощности, а също и в автоматите за регулиране на различни производствени процеси. Използува се също като генератор на релаксационни трептения и пр.

Преимуществата и недостатъците на тиратроните<sup>1</sup> са същите както на газотроните.

**Стабиловолт** — газов диод със студен катод. За стабиловолта се използва обикновено инертен газ, който се поставя при налягане от около 0,1 мм живачен стълб. На фиг. 54 е показана характеристиката на стабиловолт, от която се вижда, че при постепенно повишаване на напрежението точно при една определена стойност лампата се задействува („запалва“). След това напрежението спада и остава постоянно в известен обхват (работния обхват на стабиловолта) независимо от тока през лампата. Ако се излезе извън този обхват, напрежението между анода и катода бързо пораста и лампата се разрушава. При използване на стабиловолта трябва да се спазва полярността при включването му към постояннотоковия източник.

<sup>1</sup> Параметрите им са дадени в таблица 24 в края на тази глава.

Газовите лампи със студен катод се използват освен като стабилизатори на напрежение още и като релаксационни генератори, като индикатори на напрежение, за защита от свръхнапрежение и др. В таблица 25 са дадени основните параметри на стабилуволти.

## 5. Безразрядни електровакуумни прибори

**Баретор** — газов електровакуумен прибор, който се състои от железен или волфрамов проводник, поставен във водородна среда при налягане от 50 до 200 мм живачен стълб. Съпротивлението на такъв проводник при увеличението на температурата расте. Бареторът служи за поддържане на постоянен ток в дадена верига при изменение на захранващото напрежение. Той се използва както в постояннотокови, така и в променливотокови вериги. При бързи промени на захранващото напрежение бареторът не действа поради своята инертност. За установяване на нов топлинен режим са необходими около две-три минути. На фиг. 55 е показана волт-амперната характеристика на баретора. Основните параметри на бареторите са дадени в табл. 26.



Фиг. 55. Волт-амперна характеристика на баретор

## 6. Фотоелементи

Фотоелементите, наречени още фотоклетки, превръщат светлинната енергия в електрическа. Те намират приложение във фототелеграфията, телевизията, звукозаписа, фотографията, сигнализацията и др.

В зависимост от принципното си устройство фотоелементите се разделят на три основни групи:

фотоелементи с външен фотоефект, при които под действието на светлината електроните се откъсват от повърхността на метала;

фотоелементи с вътрешен фотоефект (фотосъпротивление), при които под действието на светлината се изменя електрическата проводимост на веществата;

фотоелементи с преходен слой (вентилни фотоелементи), при които под действието на светлината се възбужда електродвижеща сила.

Фотоелементите с външен фотоефект представляват от себе си вакуумни или газонапълнени двueleктродни лампи. На вътрешната страна на стъкления балон се облага (наслоява тънко) вещество, което под действието на светлината излъчва електрони.

Фотосъпротивленията в електрическо отношение са обикновени съпротивления, величината на които съществено зависи от осветяването на повърхността им. Фотосъпротивленията намират приложение в случаите, когато не се наисква линейна светлинна характеристика. Те намират широко приложение в автоматиката и регулиращите схеми.

Вентилните фотоелементи имат твърде просто устройство. На металическия електрод (основата) се наслагва полупроводников слой, на повърхността на който се напастява тънък полупрозрачен метален пласт, свужещ за втори електрод на фотоелемента. При осветяване на фотоелемента от страната на



полупрозрачния слой на електродите възниква електродвижеща сила. Ако полупрозрачният слой се зарежда отрицателно и токът във външната верига тече от основата към него, фотоелементът е с „фронтален фотоэффект“. Ако полупрозрачният слой се зарежда положително, фотоелементът е с „положителен фотоэффект“.

**Основни параметри на фотоелементите с външен фотоэффект.** Чувствителност или интегрално отдаване — стойността на тока на фотоелектронната емисия, която се получава във фотоелемента на светлинен поток, равен на един лумен. Измерва се в микроампера на лумен.

Във вакуумните фотоелементи чувствителността е от  $20 \div 90$  мка (лм), а в газонапълнените от  $150 \div 200$  мка (лм).

Спектралната характеристика показва чувствителността на фотоелемента към светлинния лъч с различна дължина.

Светлинната характеристика представлява зависимост на фототока от величината на светлинния поток.

Честотната характеристика определя зависимостта на чувствителността на фотоелемента от честотата на модулацията на светлинния поток.

**Фотоелектронни умножители.** Обикновените фотоелементи имат малка чувствителност, затова е необходимо да се употребяват усилватели с голям коефициент на усилване. Във фотоелектронните умножители усилването на „фототоковете“ става вътре в самия фотоелемент, при което се използва вторична електронна емисия. Чувствителността на фотоелектронните умножители превишава стотици хиляди пъти чувствителността на обикновените фотоелементи, като достига при многостъпалните фотоумножители  $1000$  а/лм.

Лампови диоди (съветски)

Таблица 1

Означе- ние	Тип	Отопление		Ефективно напреже- ние на анода (в)	Максимална амплиту- да на обратното на- прежение на анода (в)	Изправен ток (мА)	Максимална амплитуда на анодния ток (мА)	Собствена резонансна честота (МГц)	Капацитет между анода и анода (пф)	Цокъл
		напряжение (в)	ток (а)							
6Д3Д	диод	6,3	0,77	7	200	27	150	—	—	1
6Д4Ж	"	6,3	0,15	130	365	4,8	30	—	1,91	2
6Д6А	"	6,3	0,15	165	450	8÷10	70	700	3	3
6Х2П	двоен диод	6,3	0,30	2×150	450	17÷20	90	1000	3,8	4
6Д8Д	диод	6,3	0,45	—	450	—	—	—	—	5
6Д10Д	"	6,3	0,75	—	100	—	35	—	—	5
6Х6С	двоен диод	6,3	0,30	2×165	465	16	50	—	4	6
12Х3С	"	12,6	0,073	2×10	100	2	20	—	0,48	7

Токонизправителни лампи (съветски)

Таблица

Означе- ние	Брой на анодите	Отопление		Промениво напрежение на вторичната намотка на трансформатора (в)	Съпротивление във веригата на анода (ком)	Капацитет на филтъра (мкф)	Максимална амплитуда на обратното напрежение (в)	Максимална амплитуда на анодния ток (мА)	Изправен ток (мА)	Цокъл
		напряжение (в)	ток (а)							
1Ц1С	1	0,7	0,185	—	20000	0,02	15000	—	0,5	8
1Ц7С	1	1,25	0,2	—	—	—	30000	17	2	9
1Ц11П	1	1,2	0,2	—	—	—	20000	2	0,3	10
2Ц2С	1	2,5	1,75	4500	600	0,06	12500	100	6,8	11
5Ц3С	2	5	3	2×500	2	4	1700	750	230÷250	12
5Ц4М	2	5	2	2×400	3,3	4	1550	415	133÷140	13
5Ц4С	2	5	2	2×500	4,7	4	1350	375	122÷125	13
5Ц8С	2	5	5	2×500	1,0	4	1700	1200	400	14
5Ц9С	2	5	3	2×500	2,2	4	1700	600	190	14
6Ц14П	2	6,3	0,6	2×350	5,2	8	1000	300	72÷75	15
6Ц15С	2	6,3	0,6	2×400	5,7	8	1375	—	70÷75	16
6Ц10П	1	6,3	1,05	—	—	—	4500	450	120	17
6Ц13П	1	6,3	0,95	650	5	4	1600	900	120	21
6Ц15С	2	6,3	1,43	450	—	—	1350	375	62	18
30Ц1М	2	30	0,3	250	2,5	—	500	500	90	298
30Ц6С	2	30	0,3	2×150	1,05	16	500	600	120	18
ВО-188	2	4	2,05	2×500	3,3	4	1300	600	155	19
ВО-239	1	4	2,05	850	5	8	1800	1200	180	20

## Триоди и двойни

Означеніе	Тип	Отопление	
		напряжение (в)	ток (а)
1НЗС	Исходен двоен триод . . . . .	1,2	0,12
2С4С	Исходен триод . . . . .	2,5	2,5
6Г1	Двоен диод+триод със среден коефициент на усилване	6,3	0,3
6Г2	Двоен диод+триод с голям коефициент на усилване	6,3	0,3
6Г7	Двоен диод+триод с голям коефициент на усилване	6,3	0,3
6Е5С <sup>5</sup>	Оптически индикатор за настройка . . . . .	6,3	0,3
6Н1П	Двоен триод със среден коефициент на усилване	6,3	0,6
6Н2П	Двоен триод с голям коефициент на усилване . .	6,3	0,345
6Н3П	Двоен триод със среден коефициент на усилване	6,3	0,35
6Н4П	Двоен триод . . . . .	6,3	0,3
6Н5П	" " " " " " " " " " " " " " " " " "	6,3	0,6
6Н5С	Исходен двоен триод . . . . .	6,3	2,5
6Н7С	" " " " " " " " " " " " " " " " " "	6,3	0,81
6Н8С	Двоен триод със среден коефициент на усилване	6,3	0,6
6Н9С	Двоен триод с голям коефициент на усилване . .	6,3	0,3
6Н13С	Двоен триод . . . . .	6,3	2,8
6Н15П	Двоен триод със среден коефициент на усилване	6,3	0,45
6С1Ж	ВЧ триод . . . . .	6,3	0,15
6С1П	" " " " " " " " " " " " " " " " " "	6,3	0,15
6С2С	Триод със среден коефициент на усилване . . . .	6,3	0,3
6С3Б	НЧ триод . . . . .	6,3	0,15
6С4С	Исходен триод . . . . .	6,3	1
6С5	Триод със среден коефициент на усилване . . . .	6,3	0,3
6С6Б	" " " " " " " " " " " " " " " " " "	6,3	0,2
6С7Б	Триод с голям коефициент на усилване . . . . .	6,3	0,2
12Г1	Двоен диод+триод със среден коефициент на усилване	12,6	0,15
12Г2	Двоен диод+триод с голям коефициент на усилване	12,6	0,15
СО-243	Исходен двоен триод . . . . .	2	0,24
УБ-240	НЧ триод . . . . .	2	0,15
УО-186	Исходен триод . . . . .	4	1

<sup>1</sup> На всеки триод.

<sup>2</sup> Съпротивление във веригата на катода за автоматично преднапрежение.

\* На първия триод.

<sup>4</sup> На вторая трнод.

<sup>5</sup> Напряжение на светящемся экране 250 в, ток 2,9 ма.

Таблица 3

## Диод-триодн (съветски)

Напрежение на анода (е)	Постоянно напрежение на решетката (е)	Аноден ток (ма)	Стръжност S (ма е)	Коефициент на усиление $\mu$	Вътрешно съпротивление $R_i$ (ком)	Товарно съпротивление (ком)	Изходяща мощност (вт)	Максимално допустима мощност, рассеивана от анода (вт)	Междueleктроден капацитет (пф)			Цога
									входящ	изходящ	проходящ	
120	—5,5 <sup>1</sup>	2,5 <sup>1</sup>	0,8 <sup>1</sup>	11 <sup>1</sup>	13,75	7	0,4	1 <sup>1</sup>	—	—	—	22
250	—45	62	5,4	4,15	0,84	2,5	2,8	15	—	—	—	23
250	—9	9,5	1,9	16	8,5	10	0,3	2,5	3,6	2,8	2,4	24
250	—2	1,15	1,1	96	91	—	—	—	3,2	3	1,6	24
250	—3	1,1	1,2	70	58	—	—	2	5	3,8	1,4	25
250 <sup>5</sup>	—4	5,3	1,2	24	20	—	—	—	—	—	—	26
250	2 × 600 ом <sup>2</sup>	8 <sup>1</sup>	3,2 <sup>1</sup>	35 <sup>1</sup>	11 <sup>1</sup>	—	—	2 <sup>1</sup>	3,8 <sup>1</sup>	1,75 <sup>1</sup>	1,85 <sup>1</sup>	27
250	—1,5	2,3 <sup>1</sup>	2 <sup>1</sup>	100 <sup>1</sup>	50 <sup>1</sup>	10 <sup>1</sup>	—	1 <sup>1</sup>	1,75 <sup>1</sup>	1,3 <sup>1</sup>	0,72 <sup>1</sup>	23
150	2 × 240 ом <sup>2</sup>	7,7 <sup>1</sup>	4,9 <sup>1</sup>	37 <sup>1</sup>	7,55 <sup>1</sup>	—	—	1,5 <sup>1</sup>	2,5 <sup>1</sup>	1,4 <sup>1</sup>	1,3 <sup>1</sup>	29
250	—	3	1,85	—	21,6	1,3	—	—	1,6	1,4	1,3	27
200	—1,5	8	3,5	—	49	—	—	2	3	1,5	2,25	27
135	2 × 250 ом <sup>2</sup>	110 <sup>1</sup>	6,7 <sup>1</sup>	—	0,46 <sup>1</sup>	—	—	13 <sup>1</sup>	9,5 <sup>1</sup>	5,1 <sup>1</sup>	9,5 <sup>1</sup>	30
300	—6 <sup>6</sup>	7 <sup>6</sup>	3,2 <sup>6</sup>	35 <sup>6</sup>	11,4 <sup>6</sup>	2,5	4,2 <sup>1</sup>	6 <sup>1</sup>	—	—	—	31
250	—8	9 <sup>1</sup>	2,6 <sup>1</sup>	20,5 <sup>1</sup>	7,9 <sup>1</sup>	—	—	2,75 <sup>1</sup>	2,8 <sup>3</sup>	0,8 <sup>3</sup>	3,8 <sup>3</sup>	30
250	—2	2,3 <sup>1</sup>	1,6 <sup>1</sup>	70 <sup>1</sup>	44 <sup>1</sup>	—	—	1,1	3 <sup>3</sup>	1,2 <sup>4</sup>	4 <sup>4</sup>	30
90	—30	80+32 <sup>1</sup>	5 <sup>1</sup>	—	0,4 <sup>1</sup>	—	—	13	3,4 <sup>4</sup>	3,2 <sup>4</sup>	2,8 <sup>4</sup>	30
100	50	9 <sup>1</sup>	5,6 <sup>1</sup>	38 <sup>1</sup>	6,8 <sup>1</sup>	—	—	1,6 <sup>1</sup>	7	4,2	9	30
250	—7	6,1	2,25	26	11,6	—	—	1,8	0,45 <sup>3</sup>	—	—	32
250	—7	6,1	2,26	26,2	11,6	—	—	1,8	0,4 <sup>4</sup>	1,4 <sup>1</sup>	—	—
250	—8	9,0	2,55	20,5	8,05	—	—	—	1	0,6	1,4	33
270	1,5 ком <sup>2</sup>	8,5	2,2	14	6,4	—	—	2,5	1,38	1,1	1,35	34
250	—45	62	5,4	4,15	0,84	2,5	2,8	15	3	4,5	3,8	35
250	—8	8	2,2	20	9	—	—	2,5	3	3,9	1,6	36
120	220 ом <sup>2</sup>	9	5	25	5	2	—	1,2	3	11	2	37
250	400 ом <sup>2</sup>	4,5	4	66	16,5	—	—	1,3	3,3	3,5	1,42	36
250	—9	9,5	1,9	16	8,5	10	0,3	2,5	3,3	3,4	1	36
250	—2	1,15	1,1	96	91	—	—	—	3,6	2,8	2,4	24
120	0	3,2	2,1	32	16	3	0,8	1,5	3,2	3	1,6	24
120	—1	3,5	1,55	22	14	40	0,02	0,6	2,8	5,7	3,4	—22
250	—37,5	57	3,2	4	1,2	3	1,5	15	2,8	2,65	2,8	38
									—	—	—	37

<sup>6</sup> Анод и решетка на първия триод, съединени съответно с анода и решетката на втория триод.

<sup>7</sup> Без изводите. Дължина на изводите 35 мм.

6 Наръчник на радиолюбителя

## Пентоди за усилване

Означе- ние	Приложение	Отопление	
		напряжение (e)	ток (a)
0.6Ж6Б	НЧ пентод . . . . .	0,625	0,02
0.6И12Б	" . . . . .	0,625	0,03
1Б1П	диод-пентод . . . . .	1,2	0,06
1Б2П	" . . . . .	1,2	0,03
1К1П	ВЧ пентод с удължена характеристика . . . . .	1,2	0,06
1К2П	" . . . . .	1,2	0,03
2Ж2М	ВЧ пентод . . . . .	2	0,06
2Ж27Л	" . . . . .	2,2	0,057
2Ж27П	" . . . . .	2,2	0,057
2К2М	пентод с удължена характеристика . . . . .	2	0,06
4Ж5С	ВЧ пентод . . . . .	4	1
6Б2П	ВЧ диод+пентод с удължена характеристика . . . . .	6,3	6,3
6Б8С	ВЧ двоен диод+пентод . . . . .	6,3	0,3
6Ж1Б	ВЧУ пентод . . . . .	6,3	0,2
6Ж1Ж	ВЧ пентод . . . . .	6,3	0,15
6Ж1П	ВЧУ пентод . . . . .	6,3	0,175
6Ж2Б	ВЧ пентод . . . . .	6,3	0,2
6Ж2П	" . . . . .	6,3	0,175
6Ж3	" . . . . .	6,3	0,3
6Ж3П	ВЧУ пентод . . . . .	6,3	0,3
6Ж4	телевизионен пентод . . . . .	6,3	0,45
6Ж4П	ВЧ пентод . . . . .	6,3	0,3
6Ж5П	телевизионен пентод . . . . .	6,3	0,45
6Ж6С	ВЧ пентод . . . . .	6,3	0,5
6Ж7	" . . . . .	6,3	0,3
6Ж8	" . . . . .	6,3	0,3
6К1Ж	" . . . . .	6,3	0,15
6К1П	" . . . . .	6,3	0,15
6К3	ВЧ пентод с удължена характеристика . . . . .	6,3	0,3
6К4	ВЧ пентод с полуудължена характеристика . . . . .	6,3	0,3
6К4П	ВЧ пентод с удължена характеристика . . . . .	6,3	0,3
6К7	" . . . . .	6,3	0,3
6К9С	" . . . . .	6,3	0,3
12Ж8	ВЧ пентод . . . . .	12,6	0,15
12К3	ВЧ пентод с удължена характеристика . . . . .	12,6	0,15
12К4	ВЧ пентод с полуудължена характеристика . . . . .	12,6	0,15

\* Диоден ток 25 мкА. Анодът на диода е съединен с положителния край на отоплението през съпротивление 5000 ом.

\* Съпротивления са автоматично преднапрежение.

на напрежение (съветски)

Таблица 4

Анодно напрежение (e)	Напрежение на втората решетка (e)	Постоянно напрежение на първата решетка (e)	Аноден ток (mA)	Ток във втората на втората решетка (mA)	Струмност S (mA/e)	Вътрешно съпротивление $R_i$ (ком)	Максимално допустима мощност, разсейвана от анода (e/m)	Максимално допустима мощност, разсейвана от втората решетка (e/m)	Междueleктроден капацитет (пф)			Цокъл
									входящ	изходящ	проходящ	
30	30	0	0,15	0,1	0,11	900	0,008	—	5	3	0,3	39
30	30	0	0,15	0,04	0,15	—	—	—	—	—	—	39
67,5	67,5	0	1,6 <sup>1</sup>	0,35	0,625	—	—	—	—	—	—	40
60	45	0	1	0,2	0,55	1200	0,15	—	1,85	2,1	0,27	40
90	67,5	0	3,5	1,2	0,66	—	—	—	3,5	7,5	0,01	41
60	45	0	1,15	0,25	0,65	—	0,2	—	3	4,9	0,01	41
120	70	—1	1	0,3	0,8	1500	0,5	—	5,75	8	0,02	42
120	45	0	1,9	0,5	1,25	700	—	—	5,3	4,9	0,015	43
120	45	0	1,9	0,5	1,00	1600	—	—	4,5	2	0,015	44
120	70	—1	2	0,6	0,95	1000	0,5	—	5,75	8	0,02	42
160	60	—2	5,4	3,5	2	—	—	—	11	4,5	0,01	45
250	100	—1,5	6,5	1,6	2	—	—	—	4,2	4,1	0,008	46
250	125	—3	10	2,45	1,35	—	—	—	4	9	0,008	47
120	120	200 ом <sup>2</sup>	7,5	3,5	4,8	—	1	0,35	4,8	3,8	0,03	48
250	100	—3	2,75	0,7	1,6	1200	—	—	3,5	3	0,018	49
120	120	200 ом <sup>2</sup>	7,5	3,5	5,2	300	1,8	0,55	4	2,1	0,02	50
120	120	200 ом <sup>2</sup>	5,5	6	3,2	—	0,9	0,6	4,9	4,1	0,03	51
250	120	200 ом <sup>2</sup>	5,5	5,5	3,55	—	1,8	0,85	4,1	2,2	0,02	52
250	150	—1	10,8	4	4,9	900	3,3	0,7	8,5	7	0,003	53
250	150	200 ом <sup>2</sup>	7	2	5	500	2,5	0,55	6,5	1,8	0,025	50
300	150	160 ом <sup>2</sup>	10,25	2,2	9	—	3,3	0,45	11	5	0,015	54
250	100	68 ом <sup>2</sup>	11	4,2	4,4	1500	3	0,6	5,5	5	0,0035	55
300	150	160 ом <sup>2</sup>	10	2,5	9	500	3,2	0,4	10	5,5	0,03	55
250	100	—2,4	10	2,5	7,5	2000	2,5	0,5	9,5	6,25	0,03	56
250	100	—3	2,1	0,6	1,2	—	0,8	0,1	7	12	0,005	56
250	100	—3	3	0,8	1,65	—	2,8	0,7	6	7	0,005	54
250	100	—3	6,65	2,7	1,85	450	—	—	3	3	0,009	49
250	100	—3	6,65	2,7	1,85	450	1,8	0,33	3,4	3,0	0,01	50
250	100	—3	9,25	2,5	2	—	4,4	0,4	6	7	0,003	54
250	125	—1	11,8	4,4	4,7	900	3,3	0,7	8,5	7	0,005	53
250	100	68 ом <sup>2</sup>	11	4,2	4,4	1500	3	0,6	5,5	5	0,0035	55
250	100	—3	7	1,7	1,45	—	3	0,4	7	12	0,005	56
250	100	—3	9,25	2,5	2	—	4,4	0,5	4,75	11	0,005	56
250	100	—3	3	0,8	1,65	—	2,8	0,7	6	7	0,005	54
250	100	—3	9,25	2,5	2	—	4,4	0,4	6	7	0,003	54
250	125	—1	11,8	4,4	4,7	900	3,3	0,7	8,5	7	0,005	53

## Изходни пентоди

Означение	Приложение	Отопление		Анодно напрежение (e)	Напрежение на втората решетка (e)
		напрежение (e)	ток (a)		
1П2Б	НЧ пентод . . . . .	1,25	0,05	45	45
1П3Б	" . . . . .	1,25	0,027	45	45
1П4Б	" . . . . .	1,25	0,02	45	45
2П1П	изходен лъчев тетрод . . . . .	1,2	0,12	90	90
		2,4	0,66		
2П2П <sup>1</sup>	" . . . . .	1,2	0,06	60	60
2П9М	" . . . . .	2	1	250	150
4Ф6С	НЧ изходен пентод . . . . .	4	1,1	250	250
6П1П <sup>1</sup>	изходен лъчев тетрод . . . . .	6,3	0,45	250	250
6П3С	" . . . . .	6,3	0,9	250	250
6П6С	" . . . . .	6,3	0,45	250	250
6П7С <sup>2</sup>	" . . . . .	6,3	0,9	250	250
6П9	изходен телевизионен пентод . . . . .	6,3	0,65	300	150
6П13С	изходен пентод за схеми с телевизионна раз- вивка . . . . .	6,3	1,3	200	200
6П14П	НЧ изходен пентод . . . . .	6,3	0,75	250	250
6П15П	изходен телевизионен пентод . . . . .	6,3	0,75	300	150
6Ф6С	НЧ изходен пентод . . . . .	6,3	0,7	250	250
30П1С	изходен лъчев тетрод . . . . .	30	0,3	110	110
СО-244	НЧ изходен пентод . . . . .	2	0,185	120	120
СО-258	" . . . . .	1,8	0,32	160	120

<sup>1</sup> 6П1п — аналогичен на изходния лъчев тетрод 6П6С.<sup>2</sup> Предназначен за схеми с телевизионна развивка. Задържа кратковременни положителни импулси на анодното напрежение до 6 кВ и отрицателни импулси — до 1,5 кВ

Таблица 5

## и лъчеви тетроди (съветски)

Постоянно напрежение на първата решетка ( $e$ )	Аноден ток ( $mA$ )	Ток на втората решетка ( $mA$ )	Стръмност $S$ ( $mA/a$ )	Коефициент на усиление $\mu$	Вътрешно съпротивление $R_i$ ( $ком$ )	Товарно съпротивление ( $ком$ )	Изходяща мощност ( $вт$ )	Максимално допустима мощ- ност, разсейвана от анода ( $вт$ )	Максимално допустима мощ- ност, разсейвана от втората решетка ( $вт$ )	Междueleктро- ден капацитет ( $пф$ )			Цокъл
										входящ	изходящ	проходящ	
-2	1,1	0,37	0,5	—	—	50	0,008	—	—	—	—	—	39
-2	0,75	0,40	0,425	—	—	—	0,0045	—	—	—	—	—	39
-2	0,6	0,45	0,4	—	350	500	0,0035	—	0,05	6	3	0,3	39
-4,5	9,5	2,2	2	—	—	10	0,21	—	—	5,5	4	0,5	57
-4,1	3	0,6	0,95	—	160	25	0,1	0,3	—	3,7	3,8	0,4	57
-6	35	1,5	2,5	100	40	2,5	6	8	—	8,5	8,5	1	58
-16,5	34	6	2,5	200	80	7	2,5	10	2	—	—	—	59
-12,5	45	7	4,5	—	50	5	3,8	12	2,5	7,8	5,7	0,95	60
-14	72	8	6	—	—	2,5	5,4	21	2,75	11	8,2	1	61
-12,5	45	7,5	4,1	—	52	5	3,6	13,2	2,2	9,5	9,5	0,9	61
-14	72	8	5,9	8,5 <sup>3</sup>	32,5	—	—	20	3,2	11,5	6	0,6	62
-3	30	6,5	11,7	—	—	10	2,4	9	1,5	13	7,5	0,06	63
-11	60	5	8,5	8	17	—	—	14	4	18,5	6,5	0,5	64
-6,5	48	5,4	11,3	31	50	—	5,1	12	2	11	7	0,2	65
-2,6	30	4,2	14,5	25	37	—	—	9	—	—	—	0,06	66
-16,5	34	7	2,5	—	78	7	3,2	10	3,75	7,5	11	0,6	67
-7,5	70	16	10	—	9	1,8	1,6	7	1,75	—	—	—	61
-2,5	4,1	0,75	1,8	270	150	30	0,13	1,5	—	5,5	7,0	0,5	68
-6	10	1,7	2	160	80	20	0,45	2	—	5,4	7,5	0,5	68

<sup>2</sup> За триодно включване.<sup>4</sup> Предварителни данни.<sup>3</sup> Без изводите. Дължина на изводите 35 мм.



## Преобразователни

Означе- ние	Приложение	Отопление		Анодно напрежение (в)	Напрежение на екран- ната решетка <sup>2</sup> (в)	Постоянно напрежение на управляващата решетка <sup>3</sup> (в)
		напрежение (в)	ток (а)			
1А1П	хептод-преобразовател . . . . .	1,2	0,06	90	45	0
1А2П <sup>4</sup>	" . . . . .	1,2	0,03	60	45	0
6А2П	" . . . . .	6,3	0,3	250	100	-1,5
6А7	" . . . . .	6,3	0,3	250	100	0
6А8	" . . . . .	6,3	0,3	250	100	-3
6А10С	" . . . . .	6,3	0,3	250	100	0
6И1П	триод-хептод . . . . .	6,3	0,3	250	—	-10
6Л7	хептод-смесител . . . . .	6,3	0,3	250	100	-2
СО-242	" . . . . .	2	0,16	120	70	-3
						0

<sup>1</sup> В динамичен режим. Хетеродинната част на лампата работи по триточкова схема със съпротивление във веригата на първата решетка за лампите: 1А1П — 0,1 мгом; 6А10С, 6А7 и 6А2П — 20 ком; 6А8 — 50 ком.

<sup>2</sup> Екранната решетка е съединена с решетките  $p_2$  и  $p_4$  в лампите 1А1П, 6А7, 6А10С, 6А2П, 6Л7 и с решетките  $p_2$  и  $p_5$  в лампите СО-242 и 6А8.

## Генераторни

Означе- ние	Приложение	Отопление		Емисионен ток (в)	Катоден ток (а)	Ток във втората решетка (ма)	Напрежение на анода (в)	Максимално напрежение на анода (в)
		напрежение (в)	ток (ма)					
Г-807	лъчев тетрод . . . . .	6,3	0,9	0,35	—	—	600	—
Г-411	пентод . . . . .	10/20 <sup>5</sup>	0,6/0,3 <sup>5</sup>	0,12	—	—	400	—
ГУ-13	лъчев тетрод . . . . .	10	5	—	—	—	2000	2000
ГУ-15	лъчев пентод . . . . .	4,4	0,68	—	0,085	—	350	400 <sup>15</sup>
ГУ-32	лъчев двоен тетрод . . . . .	6,3/12,6	1,6/0,8 <sup>5</sup>	—	—	5,5 <sup>5</sup>	400	500
ГУ-50	лъчев пентод . . . . .	12,6	0,765	0,6	0,230	—	800	3000 <sup>12</sup>

<sup>1</sup> При напрежение на първата решетка — 23 в.

<sup>2</sup> При аноден ток 67 ма.

<sup>3</sup> На честота 30 мхц.

<sup>4</sup> В режим на усиливане при напрежение на първата решетка 25 в, напрежение на възбуждане 26 в.

<sup>5</sup> При паралелно и последователно включени жици на отоплението съответно.

лампи (съветски)

Таблица 6

Аноден ток (ма)	Ток във веригата на екранната решетка (ма)	Смесителна струйност $S_c$ (ма/е)	Струйност на хетеродинамната лампа $S$ (ма/е)	Вътрешно съпротивление $R_i$ (мом)	Максимално допустима мощност, разсеявана от анода (вт)	Максимално допустима мощност, разсеявана от екранната решетка (вт)	Междueleктролен капацитет пф			Цокъл
							входещ	изходещ	проходещ	
0,64 <sup>1</sup>	1,9	0,16 <sup>1</sup>	0,825	1,5	—	—	7	7	0,4	69
0,55	0,85	0,19	0,5	1,5	0,2	—	5,4	6	0,4	69
3 <sup>1</sup>	7 <sup>1</sup>	0,47 <sup>1</sup>	6	0,1	1	1	7	8,6	0,3	70
3,5 <sup>1</sup>	9 <sup>1</sup>	0,45 <sup>1</sup>	4,7	1,0	1,1	1,1	9	10	0,13	71
3,3	2,7	0,55	—	0,34	1	0,3	12,5	12,5	0,06	72
3,5 <sup>1</sup>	9 <sup>1</sup>	0,45 <sup>1</sup>	4,7	0,3	1,1	1,1	9	10	0,13	71
5	—	—	3,7	0,006	0,8	—	26	2,3	1,0	73
3,2	6	0,33	—	1000	1,7	—	6,3	7,4	0,006	73
2,4	7,1	0,38	—	1	1,1	1,5	7,5	11	0,01	74
2,2	2,2	0,45	—	0,15	0,7	—	9,6	11,4	0,45	75

<sup>1</sup> За управляващата решетка се приема сигналната управляваща решетка, т. е. за лампите 1А1П, 6А7, 6АЮС, 6А2П и 6Л7 — третата решетка ( $p_3$ ), а за лампите СО-242 и 6А8 — четвъртата решетка ( $p_4$ ).

<sup>4</sup> Предварителни данни.

лампи (съветски)

Таблица 7

Аноден ток (ма)	Струйност $S$ (ма/е)	Преднапрежение на първата решетка в работната точка (е)	Напрежение на втората решетка (е)	Изходеща мощност (вт)	Максимална мощност, разсеявана от анода (вт)	Максимална мощност, разсеявана от втората решетка (вт)	Максимална мощност, разсеявана от първата решетка (вт)	Максимална работна честота (мгхц)	Входещ капацитет (пф)	Изходещ капацитет (пф)	Преходещ капацитет (пф)	Цокъл
—	6	—	250	40	25	3,5	—	60	11	7	0,2	76
—	4	—	250	20	—	2,5	1	50	9,5	7,5	0,3	77
50 ± 15 <sup>1</sup>	4 ± 0,9 <sup>2</sup>	—	400	180 <sup>3</sup>	100	22	—	30	19,5	17,5	0,25	78
—	4,7	14	200	12 <sup>4</sup>	15	4	0,4	60	12	14,5	0,16	79
30 ± 12 <sup>3</sup>	3,5 <sup>10</sup>	—	250	14	15 <sup>7</sup>	5	—	200	9,4	4,8	0,05	80
—	4 <sup>11</sup>	—40 ± 10	250	60	40	5	1	120	15	10,3	0,1	81

<sup>6</sup> За изпитваемия тетрод  $U_a = 250$  в,  $U_{p1} = 175$  в,  $U_{p2} = -11$  в; за неизпитвания тетрод  $U_{p1} = -100$  в.

<sup>7</sup> На двата анода.

<sup>8</sup> За всеки тетрод.

<sup>9</sup> За изпитваемия тетрод  $U_a = 250$  в,  $U_{p1} = 135$  в,  $U_{p2} = -10$  в. За неизпитвания тетрод  $U_{p1} = -100$  в.

<sup>10</sup> За всеки тетрод при аноден ток 80 ма.

<sup>11</sup> При аноден ток 50 ма. <sup>12</sup> Пиково. <sup>13</sup> Работко, при включване 700 в.

Таблица 8

## Токоизправителни лампи (европейски)

Означеніе	Брой на анодите	Отопление		Промениливо ефективно напрежение (в)	Съпротивление във веригата на анода (ом)	Капацитет на филтърта (мкф)	Исправен ток (ма)	Цокъл
		напрежение (в)	ток (а)					
AX1	2	4	2	2 × 500	2 × 200	64	125	82
AX50	2	4	3,75	2 × 500	2 × 200	64	275	82
AZ1	2	4	1,1	2 × 500	2 × 100	60	60	83
AZ4	2	4	2,3	2 × 400	2 × 80	60	75	83
				2 × 300	2 × 60	60	100	
				2 × 500	—	—	120	
				2 × 400	—	—	150	
AZ11	2	4	1,1	2 × 300	—	—	200	84
				2 × 500	2 × 100	60	75	
				2 × 400	2 × 80	60	75	
AZ12	2	4	2,2	2 × 300	2 × 60	60	100	84
				2 × 500	2 × 100	60	120	
				2 × 400	2 × 80	60	150	
				2 × 300	2 × 60	60	200	
AZ21	2	4	1,3	2 × 500	—	—	70	85
				2 × 300	—	—	120	
AZ41	2	4	0,72	2 × 500	2 × 500	50	60	86
				2 × 400	2 × 150	50	60	
				2 × 300	2 × 100	50	70	
				2 × 500	2 × 200	32	250	
AZ50	2	4	3,0	2 × 400	2 × 150	32	275	82
				2 × 800	—	—	300	
CY1	1	20	0,2	250	125	32	80	87
				170	75	32	80	
				127	0	32	80	
CY2	1	80	0,2	250	125	32	120	88
				170	75	32	120	
				127	0	32	120	
CY31	1	20	0,2	250	—	—	80	89
CY32	2	30	0,2	250	—	—	2 × 60	90
DY30	1	1,25	0,2	30000	—	—	2	91
DY80	1	1,25	0,2	15000	—	—	1	92
DY86	1	1,4	0,53	18000	—	—	0,15	93
EY1	1	6,3	0,09	5000	—	—	1	94
EY51	1	6,3	0,09	5000	—	—	0,5	95
EY80	1	6,3	0,9	4000	—	—	180	96
EY81	1	6,3	0,82	4500	—	—	150	97
EY91	1	6,3	0,42	250	—	—	75	98
EZ1	1	6,3	0,4	2 × 250	600	—	2 × 50	99
EZ2	1	6,3	0,4	2 × 350	2 × 500	—	60	99
				2 × 300	2 × 500			

Означение	Брой на анодите	Отопление		Промеждин ефективно напрежение (e)	Съпротивление във веригата на анода (ом)	Капацитет на филтъра (мкф)	Изправен ток (ма)	Цохла
		напрежение (a)	ток (a)					
EZ4	2	6,3	0,9	2 × 400	2 × 300	16	175	99
EZ11	2	6,3	0,29	2 × 300	2 × 200	32	175	
EZ12	2	6,3	0,85	2 × 250	600	32	50	100
EZ80	2	6,3	0,6	2 × 500	300	—	100	100
EZ81	2	6,3	1,0	2 × 350	—	—	125	101
PY71	1	21,5	0,3	2 × 350	350	50	150	101
PY80	1	19	0,3	5000	—	4	180	103
PY81	1	17	0,3	6000	—	4	150	104
PY82	1	19	0,3	250	100	60	180	103
				220	40	60	180	
				127	0	60	180	
PY83	1	20	0,3	5000	—	—	175	104
PY88	1	30	0,3	250	—	—	250	104
UY1	1	50	0,1	250	175	60	140	105
				170	100	60	140	
				127	0	60	140	
UY2	1	26	0,1	250	—	—	140	106
UY3	1	50	0,1	250	—	—	140	87
UY4	1	35	0,1	250	—	—	55	87
UY11	1	50	0,1	250	175	60	140	107
				170	100	60	140	
				127	0	60	140	
UY21	1	50	0,1	250	175	—	140	108
				170	100	—	140	
UY41	1	31	0,1	250	210	50	100	109
				220	160	50	100	
				127	0	50	100	
UY42	1	31	0,1	110	0	50	100	109
UY82	1	55	0,1	127	—	—	180	110
UY85	1	38	0,1	110	—	—	110	110
IV32	1	1,4	0,265	8000	—	—	2	111
5U4G	2	5,0	3,0	2 × 550	130	10	225	13
5V4G	2	5,0	2,0	2 × 350	—	—	125	112
5Y4G	2	5,0	2,0	2 × 350	—	—	125	113
5Z3	2	5,0	3,0	2 × 500	—	—	250	114
5Z4	2	5,0	2,0	2 × 400	—	—	125	115
6V4	2	6,3	0,6	2 × 350	—	—	90	101
6X4	2	6,3	0,6	2 × 325	—	—	70	116
6X5	2	6,3	0,6	2 × 450	—	—	70	117
6Y5	2	6,3	0,8	2 × 350	—	—	50	118
6Y50	1	6,3	1,65	1200	150	4	220	121

Означение	Брой на анодите	Отопление		Променило ефективно напрежение (e)	Съпротивление във веригата на анода (ом)	Капацитет на филтъра (мф)	Изправен ток (ма)	Цокъл
		Напрежение (e)	ток (a)					
6Z3	1	6,3	0,3	2 × 350	—	—	50	120
6Z31	2	6,3	0,6	2 × 450	150	4	70	119
25Z3	1	25	0,3	2 × 250	—	—	50	120
25Z5	2	25	0,3	2 × 125	—	—	100	122
25Z6	2	25	0,3	2 × 125	—	—	100	90
35Y31	1	35	0,15	250	125	32	140	123
35Z3	1	35	0,15	250	—	—	100	109
80	2	5,0	2,0	350	—	—	125	114
81	1	7,5	1,25	700	—	—	85	124
82	2	2,5	3,0	500	—	—	125	114
83	2	5,0	3,0	500	—	—	250	114

Таблица 8а  
Токоизправителни лампи (американски)

Означение	Приложение	Отопление		Макс. ан. напрежение (e)	Макс. изправ. ток (ма)	Макс. обр. напрежение (e)	Макс. имп. ток на ан. ток (ма)	Цокъл
		напрежение (e)	ток (a)					
1	еднопътен изправител	6,3	0,6	350	50	1000	400	120
1-V	еднопътен изправител	6,3	0,3	350	50	—	—	120
1B3GT	еднопътен изправител	1,25	0,2	—	2,0	4000	17	8
1Z2	еднопътен изправител	1,5	0,3	7800	2	20000	10	111
2B25	еднопътен изправител	1,4	0,11	1000	1,5	—	9	173
2V3G	еднопътен изправител	2,5	5,0	—	2,0	16500	12	8
2Z2/684	еднопътен изправител	2,5	1,5	350	50	—	—	124
5AX4GT	Двупътен изправител	5,0	2,5	350 <sup>1</sup>	175	1400	525	12
5AZ4	двупътен изправител	5,0	2,0	500 <sup>2</sup>	125	1400	375	12
5R4GY	двупътен изправител	5,0	2,0	900 <sup>1</sup>	150 <sup>1</sup>	2800	650	12
5T4	двупътен изправител	5,0	3,0	450	250	1250	800	12
5U4G	двупътен изправител	5,0	3,0	—	както 5Z3	—	—	12
5V4G	двупътен изправител	5,0	2,0	—	както 83V	—	—	13
5X3	двупътен изправител	5,0	2,0	1275	30	—	—	114
5Y3G	двупътен изправител	5,0	2,0	—	както 80	—	—	12
5Y3GWT	двупътен изправител	5,0	2,0	375	120	1550	375	12
5Z3	двупътен изправител	5,0	3,0	500	250	1400	—	114

Означение	Приложение	Отопление		Макс. ан. напреже- ние (в)	Макс. из- прав. ток (*а)	Макс. обр. напреже- ние (в)	Макс. им- пулс на ан. ток (кв)	Щокъл
		напре- жение (в)	ток (а)					
5Z4	двуупътен изправител	5,0	2,0	400	125	1100	—	13
6AX5GT	двуупътен изправител	6,3	1,2	450	125	1250	375	16
6W5G	двуупътен изправител	6,3	0,9	350	100	1250	350	16
6X4	двуупътен изправител	6,3	0,6	325 <sup>1</sup>	70	1250	210	116
6X5	двуупътен изправител	6,3	0,6	450 <sup>2</sup>	70	1250	210	16
6Y5	двуупътен изправител	6,3	0,8	350	50	—	—	118
6Z3	едноупътен изправител	6,3	0,3	350	50	—	—	120
12Z3	едноупътен изправител	12,6	0,3	250	60	—	—	120
14Z3	едноупътен изправител	12,6	0,3	250	60	—	—	120
25Y4GT	едноупътен изправител	25	0,15	125	75	—	—	298
25Y5	удвоител на напрежение	25	0,3	250	85	—	—	122
25Z3	едноупътен изправител	25	0,3	250	50	—	—	120
25Z5	изправител, удвоител	25	0,3	125	100	—	500	122
35Z4GT	едноупътен изправител	35	0,15	250	100	700	600	298
117Z4GT	едноупътен изправител	117	0,04	117	90	350	—	298
866Jr	едноупътен изправител	2,5	2,5	1250	250	—	—	124
1274	двуупътен изправител	6,3	0,6	както 7Y4				16
1275	двуупътен изправител	5,0	1,75	както 5Z3				114

<sup>1</sup> При филтър с кондензаторен вход.

<sup>2</sup> При филтър с индуктивен вход.

<sup>3</sup> С минимално съпротивление 100 ома, серийно на анода.



$I_{AT}$ (mA)	$I_{DT}$ (mA)	$R_K$ (OM)	$R_{D2}$ (KOM)	$R_{AT}$ (KOM)	$R_{DT}$ (KOM)	$R_f$ (KOM)	$S_c$ (mA/B)	$\mu$	$R_a$ (KOM)	$P_a$ (Bт)	$K$ (%)	$P_{HEX}$ (Bт)	$C_{pa}$ (пф)	Цокъл
12	13	14	15	16	17	18	19	20	21	22	23	24	25	26
—	—	—	—	—	—	13,5	2	27	—	1,5	—	—	1,7	125
—	—	150	—	—	—	50	9	—	7	9	10	4,5	0,8	126
—	—	—	—	—	—	12	2,5	30	—	2	—	—	1,7	127
—	—	220	—	—	—	800	0,75	—	—	1,5	хексодна част		—	128
5	—	220	—	30	—	6,7	2	—	—	1	триодна част		—	128
—	—	—	—	—	—	0,67	6	4	2,3	15	5	4,2	23	129
—	—	375	—	—	—	—	—	—	4	—	1,5	9,5	—	129
—	—	300	—	—	—	1400	2,5	—	—	1,5	—	—	0,006	130
—	—	300	—	—	—	1200	1,8	—	—	2	—	—	0,003	131
—	—	500	—	—	—	2000	2,1	—	—	1	—	—	0,003	131
—	—	2500	—	—	—	—	—	—	200	1	—	—	0,003	132
—	—	500	—	—	—	2000	1,85	—	—	1,5	—	—	0,003	132
2	190	—	—	80	50	1600	0,6	—	—	0,5	—	—	—	133
2	190	—	—	80	50	1600	0,6	—	—	0,5	—	—	—	134
—	—	350	—	—	—	43	2,8	—	7	9	6	3,1	1,3	135
—	—	625	—	—	—	60	2,6	—	7	9	10	3,8	1,5	136
—	—	150	—	—	—	50	9,5	—	7	9	—	4,3	1,5	136
—	—	175	—	—	—	22	8,5	—	3,5	18	10	8,8	0,8	137
—	—	—	—	—	—	—	—	—	2000	—	—	—	—	138
—	—	1200	—	—	—	25	2	50	100	1,5	—	—	—	139
—	—	170	—	—	—	85	8	—	4,5	9	10	4	1	126
—	—	235	—	—	—	22	8	—	4,5	8	10	4	0,5	126
—	—	170	—	—	—	85	8	—	4,5	9	10	4	1	140
—	—	300	—	—	—	900	1,8	—	—	2	—	—	0,003	131
—	—	500	—	—	—	2000	2,1	—	—	1	—	—	0,003	131
—	—	6400	500	—	—	—	—	150	—	—	—	—	—	—

5BC1  
AC1  
AC1  
AD1



Означение	Приложение	Отопление		$E_a$ (в)	$E_{p1}$ (в)	$E_{p2}$ (в)	$E_{p3}$ (в)	$E_{p4}$ (ма)	$I_a$ (ма)	$I_{p2}$ (ма)
		напре- жение (в)	ток (а)							
1	2	3	4	5	6	7	8	9	10	11
CF50	микроф. усилв. пентод . . . . .	30	0,2	250	-2	100	—	—	1,5	0,3
CH1	честотопреобразов. . . . .	13	0,2	200	-2	100	-12	50	3	3
CK1	" . . . . .	13	0,2	200	-9,5	90	70	-1,5	1,6	3,8
CK3	смесител . . . . .	19	0,2	200	-12	100	100	-2,5	2,5	5,5
CL4	изх. пентод . . . . .	33	0,2	200	—	200	—	—	45	6
CL6	" . . . . .	35	0,2	200	-9,5	100	—	—	45	5,5
DAF11	диод + ВЧ пентод с изм. стр. . . . .	1,2	0,05	120	0	60	—	—	1,4	0,2
DAF91	диод + НЧ пентод . . . . .	1,4	0,05	67,5	0	67,5	—	—	1,6	0,4
DAF96	" . . . . .	1,4	0,025	85	Rp 1	10 мом	—	—	—	—
DBC21	дв. диод + триод . . . . .	1,4	0,05	120	-1,5	125	—	—	1,6	0,2
DBC31	" . . . . .	1,4	0,05	120	-1,5	—	—	—	1,6	0,2
DC11	НЧ триод . . . . .	1,2	0,025	120	-4,5	—	—	—	2,5	—
DC96	УКВ смесител . . . . .	1,4	0,025	40	0	—	—	—	1,2	—
DCH11	честотопреобразовател . . . . .	1,2	0,075	120	0	60	-5	60	1	1,5
DCH21	" . . . . .	1,4	0,15	120	0	60	-7,7	60	1	2
DCH22	" . . . . .	1,4	0,15	90	—	50	—	50	0,75	1,1
DCH25	" . . . . .	1,2	0,1	120	0	60	4,5	60	1	1,2
DCH31	" . . . . .	1,4	0,15	120	0	60	-7,7	60	1	2
DD11	дв. триод — пр. т. кл. В . . . . .	1,2	0,1	120	-4,5	—	—	—	1,5	—
DD025	" . . . . .	1,2	0,1	120	-5,5	—	—	—	1,1	—
DF11	ВЧ пентод с изм. стр. . . . .	1,2	0,025	120	0	60	—	—	1,2	0,22
DF21	ВЧ, НЧ пентод с изм. стр. . . . .	1,4	0,025	120	0	90	—	—	1,2	0,25
DF25	ВЧ пент. с изм. стр. . . . .	1,2	0,025	120	-0,5	60	—	—	0,96	0,22
DF31	" . . . . .	1,4	0,025	120	-0,5	95	—	—	1	0,21
DF91	" . . . . .	1,4	0,05	90	0	67,5	—	—	3,5	1,4
DF92	ВЧ пентод . . . . .	1,4	0,05	90	0	67,5	—	—	2,9	1,2
DF96	ВЧ пентод с изм. стр. . . . .	1,4	0,025	85	0	64	—	—	1,65	0,55

$I_{BT}$ (мА)	$I_{PT}$ (мкА)	$R_K$ (ом)	$R_{P2}$ (ком)	$R_{BT}$ (ком)	$R_{PT}$ (ком)	$R_i$ (ком)	$S_c$ (мА/в)	$\mu$ —	$R_a$ (ком)	$P_a$ (вт)	$K$ (%)	$P_{изх}$ (вт)	$C_{ра}$ (пф)	Цокъа
12	13	14	15	16	17	18	18	20	21	22	23	24	25	26
—	—	1100	—	—	—	2500	3,3	—	—	1	—	—	0,003	141
—	—	500	—	—	—	2000	0,55	—	—	—	—	—	—	132
2	200	200	—	80	50	1500	0,6	—	—	0,5	—	—	—	134
5	—	190	—	—	—	1700	0,65	—	—	1	—	—	—	134
—	—	167	—	—	—	35	8	—	4,5	9	10	4	1	136
—	—	190	—	—	—	22	8	—	4,5	9	10	4	0,5	136
—	—	—	—	—	—	900	0,6	—	—	0,6	—	—	0,02	142
—	—	—	—	—	—	600	0,625	—	—	0,25	—	—	0,4	143
—	—	—	2700	—	—	—	—	55	1000	—	—	—	—	143
—	—	—	—	—	—	28	0,9	25	—	0,3	—	—	2,6	144
—	—	—	—	—	—	28	0,9	—	—	—	—	0,035	—	145
—	—	—	—	—	—	17	0,9	15	—	0,4	—	—	—	146
—	—	—	—	—	—	—	0,8	14	—	0,25	—	—	3	147
1,2	—	—	40	30	—	1000	0,3	—	—	0,3	—	—	—	148
1,7	—	—	30	35	—	1000	0,45	—	—	0,3	—	—	—	149
1,4	—	—	—	—	—	1000	0,28	—	—	0,3	—	—	—	151
1,4	—	—	50	43	—	1300	0,28	—	—	0,3	—	—	—	151
1,7	—	—	30	35	—	1000	0,45	—	—	0,3	—	—	—	152
—	—	—	—	—	—	20	—	15	14	—	—	1,4	—	153
—	—	—	—	—	—	—	—	15	14	0,4	—	1,4	3,2	154
—	—	—	—	—	—	1000	0,7	—	—	0,5	—	—	0,004	155
—	—	—	—	—	—	2500	0,7	—	—	0,2	—	—	0,006	156
—	—	—	—	—	—	2500	0,63	20	—	0,5	—	—	—	157
—	—	—	—	—	—	3000	0,65	—	—	0,2	—	—	0,006	158
—	—	—	—	—	—	500	0,9	—	—	0,35	—	—	0,01	159
—	—	—	—	—	—	600	0,925	—	—	0,2	—	—	0,008	159
—	—	—	—	—	—	1000	0,75	—	—	0,25	—	—	0,01	159

Означение	Приложение	Отопление		$E_a$ (в)	$E_{p1}$ (в)	$E_{p2}$ (в)	$E_{p3}$ (в)	$E_{p4}$ (ма)	$I_a$ (ма)	$I_{p2}$ (ма)
		напре- жение (в)	ток (а)							
1	2	3	4	5	6	7	8	9	10	11
DF97	ВЧ пент. с изм. стр.	1,4	0,025	85	0	67	—	—	1,52	0,68
DK21	частотопреобразовател	1,4	0,05	120	—7	60	90	0	1,5	0,25
DK25	"	1,2	0,05	120	—7	60	—7	90	1,5	0,25
DK31	"	1,4	0,05	120	—7	60	90	0	1,5	0,25
DK91	"	1,4	0,05	90	23	67,5	0	67,5	1,6	3,4
DK92	"	1,4	0,05	85	4	31	0	60	0,65	0,14
DK96	"	1,4	0,025	85	4	35	0	68	0,6	0,14
DL11	"	1,2	0,05	120	—6	120	—	—	4,7	0,85
DL21	"	1,4	0,05	90	—3	90	—	—	4	0,7
				120	—4,8	120	—	—	5	0,9
DL25	изх. пентод	1,2	0,1	120	—4,7	120	—	—	4,5	0,8
DL31	"	1,4	0,05	120	—4,8	120	—	—	5	0,9
DL33	"	1,4	0,1	90	—4,5	90	—	—	8	1
DL41	"	1,4	0,1	90	—3,6	90	—	—	8	1,3
DL51	"	1,5	0,134	45	—1,5	45	—	—	1,6	0,5
DL65	"	1,25	0,013	22,5	—	22,5	—	—	0,5	0,095
DL71	"	1,25	0,025	45	—1,25	45	—	—	0,6	0,15
DL91	"	1,4	0,1	90	—7	67,5	—	—	7,4	1,8
DL92	изх. пентод	1,4	0,1	90	—7	67,5	—	—	7,4	1,4
		2,8	0,05	90	—7	67,5	—	—	6,1	1,1
DL93	"	1,4	2×0,1	135	—7,5	90	—	—	14,8	2,6
DL94	"	1,4	0,1	90	—5,1	90	—	—	8	1,8
DL95	"	1,4	0,1	85	—5	85	—	—	6,9	1,5
		2,8	0,05							
DL96	" клас А	1,4	0,05	64	—3,3	64	—	—	3,5	0,65
	протнвотакт. кл. В	2,8	0,025	85	—5,2	85	—	—	5,0	0,9
DL192	"	1,4	2×0,05	67,5	—7	67,5	—	—	7	2

$I_{вт}$ (ма)	$I_{рт}$ (мка)	$R_K$ (ом)	$R_{p2}$ (ком)	$R_{вт}$ (ком)	$R_{рт}$ (ком)	$R_i$ (ком)	$S_c$ (ма/е)	$\mu$	$R_a$ (ком)	$P_a$ (вт)	$K$ (%)	$P_{изх}$ (вт)	$\zeta_{ра}$ (пф)	Цоколь
12	13	14	15	16	17	18	19	20	21	22	23	24	25	26
—	—	—	—	—	—	530	0,75	—	—	0,25	—	—	0,01	160
2,4	200	—	120	25	35	1500	0,5	—	—	0,3	—	—	—	161
2,4	200	—	120	25	35	1500	0,5	—	—	0,3	—	—	—	162
2,4	200	—	120	25	35	1500	0,5	—	—	0,3	—	—	—	150
—	—	—	—	—	100	600	0,3	—	—	0,15	—	—	—	163
1,65	—	—	180	33	27	1000	0,325	—	—	0,2	—	—	—	164
1,5	85	—	120	33	27	1000	0,3	—	—	0,15	—	—	—	164
—	—	—	—	—	—	500	1,1	—	22	—	—	—	0,03	155
—	—	—	—	—	—	300	1,3	—	22,5	1	10	0,35	0,5	165
—	—	—	—	—	—	350	1,4	—	24	0,27	10	—	0,5	—
—	—	—	—	—	—	300	2,1	—	25	1	10	0,26	0,3	166
—	—	—	—	—	—	350	1,4	—	24	0,7	10	0,27	0,5	167
—	—	—	—	—	—	90	2,2	—	8	1	10	0,4	—	168
—	—	—	—	—	—	90	2,45	—	11,3	1,2	10	0,33	0,5	169
—	—	—	—	—	—	85	1,5	—	—	—	—	—	—	170
—	—	—	—	—	—	400	0,42	—	100	0,025	10	0,0018	0,2	171
—	—	—	—	—	—	350	0,5	—	100	0,03	10	0,06	—	172
—	—	—	—	—	—	100	1,58	—	8	—	10	0,27	—	173
—	—	—	—	—	—	150	1,3	—	15	0,6	10	0,1	0,4	174
—	—	—	—	—	—	150	—	—	13	0	2,8	0,235	—	—
—	—	—	—	—	—	100	1,57	—	8	0,7	12	0,27	—	175
—	—	—	—	—	—	100	1,57	—	8	0,7	12	0,24	—	—
—	—	—	—	—	—	90	1,9	—	8	—	—	0,6	—	176
—	—	—	—	—	—	110	2	—	8	1,2	12	0,34	—	174
—	—	—	—	—	—	120	1,975	—	10	—	—	0,25	—	175
—	—	—	—	—	—	100	1,5	—	5	0,85	—	0,18	—	175

Означение	Приложение	Отопление		$E_a$ (в)	$E_{p1}$ (в)	$E_{p2}$ (в)	$E_{p3}$ (в)	$E_{p4}$ (ма)	$I_a$ (ма)	$I_{p2}$ (ма)
		напре- жение (в)	ток (а)							
1	2	3	4	5	6	7	8	9	10	11
DL193	изх. пентод . . . . .	1,4	$2 \times 0,1$	150	-7	67,5	—	—	10	3,8
DL650	" " . . . . .	1,25	0,015	30	-1,2	30	—	—	0,24	0,06
DL907	" " . . . . .	1,4	0,2	120	-5,8	120	—	—	3,5	—
DLL21	изх. дв. пентод . . . . .	1,4	0,2	120	-8	120	—	—	$2 \times 7,5$	$2 \times 2$
		2,8	0,1							
		1,4	0,1	120	-8,7	120	—	—	$2 \times 4,1$	$2 \times 1,1$
DL25	" " . . . . .	1,4	0,2	120	-8	120	—	—	2	0,85
EAA91	дв. диод АМ/ЧМ дет. . . . .	6,3	0,3	330	—	—	—	—	$2 \times 9$	—
EABC80	троен диод + триод . . . . .	6,3	0,45	250	-3	—	—	—	1	—
EBC3	дв. диод + НЧ триод . . . . .	6,3	0,2	250	-5,5	—	—	—	5	—
	RC-усилвател . . . . .			250	—	—	—	—	0,75	—
EBC11	дв. диод + триод . . . . .	6,3	0,2	250	-8	—	—	—	5	—
	RC-усилвател . . . . .			250	-3,75	—	—	—	0,75	—
EBC81	" " . . . . .	6,3	0,23	250	-3	—	—	—	1	—
EBC90	" " . . . . .	6,3	0,23	250	-3	—	—	—	1	—
EBC91	" " . . . . .	6,3	0,3	250	1,5	—	—	—	0,5	—
EBF2	дв. диод + ВЧ пент. с изм. стръмност . . . . .	6,3	0,2	250	-2	100	—	—	5	1,6
EBF11	" " . . . . .	6,3	0,2	250	-2	100	—	—	5	1,8
EBF80	" " . . . . .	6,3	0,3	250	-2	$R_g = 95 \text{ ком}$	—	—	5	1,75
EBF83	" " . . . . .	6,3	0,3	12,6	—	12,6	—	—	0,45	0,14
EBF89	" " . . . . .	6,3	0,3	250	-2	250	—	0	9	2,7
EBL1	дв. диод + изх. пентод . . . . .	6,3	1,18	250	-6	250	—	—	36	4
EBL21	дв. диод + изх. пентод . . . . .	6,3	0,8	250	-6	250	—	—	36	4,5
EC2	НЧ триод . . . . .	6,3	0,4	250	-5,5	—	—	—	6	—
EC41	УКВ осцилатор $\lambda_{\text{мин}} = 2 \text{ см}$ . . . . .	6,3	0,2	150	-2	—	—	—	30	—

$I_{ат}$ (мА)	$I_{рт}$ (мкА)	$R_K$ (ом)	$R_{p2}$ (ком)	$R_{ат}$ (ком)	$R_{рт}$ (ком)	$R_i$ (ком)	$S_c$ (мА/в)	$\mu$	$R_a$ (ком)	$P_a$ (вт)	$K$ (%)	$P_{вых}$ (вт)	$C_{ра}$ (пф)	Цоколь
12	13	14	15	16	17	18	19	20	21	22	23	24	25	26
—	—	—	—	—	—	70	2,2	—	12	1,5	—	0,65	—	176
—	—	—	—	—	—	700	0,35	—	100	—	—	0,0036	—	177
—	—	—	—	—	—	60	2,7	—	—	2	—	—	—	178
—	—	—	—	—	—	400	1,5	—	15	1,2	5	1,2	0,6	179
—	—	—	—	—	—	—	—	—	30	—	3	0,6	—	—
—	—	—	—	—	—	400	1,5	—	15	0,5	—	1,5	0,9	180
—	—	—	—	—	—	—	—	—	—	—	—	—	—	181
—	—	—	—	—	—	58	1,2	70	—	1	—	—	2,2	182
—	—	1100	—	—	—	15	2	—	—	1,5	—	—	1,3	125
—	—	4000	—	—	—	—	—	26	200	—	—	—	—	—
—	—	1600	—	—	—	11,5	2,2	—	—	1,5	—	—	—	183
—	—	5000	—	—	—	—	—	18	200	—	—	—	—	—
—	—	1800	—	—	—	—	1,2	70	220	0,5	—	—	1,2	134
—	—	1800	—	—	—	58	1,2	70	100	—	1,4	0,3	1,3	185
—	—	3000	—	—	—	62,5	1,6	100	200	1	—	—	—	185
—	—	300	—	—	—	1300	1,8	—	—	1,5	—	—	0,002	186
—	—	300	—	—	—	2000	1,8	—	—	1,5	—	—	0,002	187
—	—	295	95	—	—	1400	2,2	—	—	1,5	—	—	0,0025	188
—	—	—	—	—	—	650	1	—	—	—	—	—	0,0025	188
—	—	—	62	—	—	1000	3,8	20	—	2,25	—	—	0,0025	188
—	—	150	—	—	—	50	9	—	7	9	10	4,5	0,08	126
—	—	150	—	—	—	50	9	—	7	11	10	4,5	1,4	189
—	—	900	—	—	—	12	2,5	30	—	2	—	—	1,7	161
—	—	—	—	—	—	2,9	5,5	16	—	3,5	—	—	1,6	190

ЕАВСО

Означение	Приложение	Отопление		$E_a$ (е)	$E_{p1}$ (е)	$E_{p1}$ (е)	$E_{p3}$ (е)	$E_{p4}$ (ма)	$I_a$ (ма)	$I_{p2}$ (ма)
		напре- жение (е)	ток (а)							
1	2	3	4	5	6	7	8	9	10	11
EC80	УКВ триод $\lambda_{\min} = 1 \text{ м}$	6,3	0,48	250	-1,5	—	—	—	15	—
EC84	УКВ триод	6,3	0,225	125	—	—	—	—	16	—
EC92	ВЧ триод	6,3	0,150	250	-2	—	—	—	10	—
EC93	"	6,3	0,225	100	-4	—	—	—	16	—
ECC40	двоен триод кл. А	6,3	0,6	250	-2	—	—	—	6	—
	RC-усилвател			250	—	—	—	—	1,4	—
	противот. кл. А			250	—	—	—	—	2×5,6	—
ECC81	УКВ смесител, осц.	6,3	0,3	250	-2	—	—	—	10	—
		12,6	0,15							
ECC82	двоен триод	6,3	0,3	250	-8,5	—	—	—	10,5	—
		12,6	0,15							
ECC83	"	6,3	0,3	250	-2	—	—	—	1,2	—
		12,6	0,15							
ECC84	дв. триод ВЧ усилв.	6,3	0,34	90	-1,5	—	—	—	2×12	—
ECC85	"	6,3	0,435	250	-2	—	—	—	10	—
ECC86	"	6,3	0,330	6,3	0	—	—	—	0,9	—
				12,6	0	—	—	—	2,5	—
				25	0	—	—	—	7,5	—
ECC87	"	6,3	0,6	250	-5,5	—	—	—	2×6,6	—
		12,6	0,3							
ECC88	"	6,3	0,365	90	-1,3	—	—	—	15	—
ECC91	дв. триод + ВЧУ + осц.	6,3	0,45	100	-0,85	—	—	—	8,5	—
ECF80	пентодна част	6,3	0,3	170	-2	170	—	—	10	2,8
	триодна част			100	-2	—	—	—	14	—
ECF82	пентодна част	6,3	0,45	250	-0,9	110	—	—	10	3,5
	триодна част			150	-0,95	—	—	—	18	—

$I_{ат}$ (мА)	$I_{пр}$ (мА)	$R_K$ (Ом)	$R_{P2}$ (КОм)	$R_{ат}$ (КОм)	$R_{пр}$ (КОм)	$R_i$ (КОм)	$S_c$ (мА/е)	$\mu$ —	$R_a$ (КОм)	$P_a$ (вт)	$K$ (%)	$P_{изх}$ (вт)	$C_{ра}$ (нФ)	Цоколь
12	13	14	15	16	17	18	19	20	21	22	23	24	25	26
—	—	—	—	—	—	—	12	80	—	4	$C_{ак} = 0,06 \text{ нФ}$		3,4	191
—	—	70	—	—	—	4,2	10	42	—	2,25	—	—	2,4	192
—	—	200	—	—	—	5,5	5,5	60	—	—	—	—	1,5	193
—	—	250	—	—	—	1,9	8	—	—	—	—	—	1,7	194
—	—	920	—	—	—	11	2,9	30	15	15	8,5	0,28	2,6	195
—	—	2200	—	—	—	—	2,4	—	100	—	—	—	—	—
—	—	560	—	—	—	—	—	—	30	—	1	0,52	—	—
60CS1	—	—	—	—	—	—	5	60	—	2,5	—	—	—	196
60CS2	—	—	—	—	—	7,7	2,2	17	—	—	—	—	—	196
60CS3	—	—	—	—	—	62,5	1,6	100	—	1	—	—	1,7	196
—	—	—	—	—	—	4	6	—	—	—	—	—	1,2	197
—	—	—	—	—	—	9	6	—	—	2,5	—	—	1,5	198
—	—	—	—	—	—	—	2,6	—	5	—	—	—	1,3	198
—	—	—	—	—	—	—	4,6	—	3,4	—	—	—	1,3	—
—	—	—	—	—	—	—	7,8	—	2,1	—	—	—	1,3	—
—	—	—	—	—	—	—	2,8	—	11,5	—	—	—	2,6	196
6J6	—	—	—	—	—	—	12,5	33	—	—	—	—	1,4	198
—	—	100	—	—	—	7,1	5,3	40	—	1,5	—	—	1,6	199
—	—	—	—	—	—	400	6,2	—	2,5	1,7	—	—	0,025	200
—	—	—	—	—	—	—	5	20	—	1,5	—	—	1,5	—
—	—	—	—	—	—	400	5,2	—	—	2,5	—	—	0,01	200
—	—	—	—	—	—	4,7	8,5	—	—	2,8	—	—	1,8	—





$I_{ат}$ (мА)	$I_{пр}$ (мкА)	$R_K$ (Ом)	$R_{Pa}$ (Ком)	$R_{ат}$ (Ком)	$R_{пр}$ (Ком)	$R_I$ (Ком)	$S_c$ (мА/в)	$\mu$	$R_a$ (Ком)	$P_a$ (вт)	$K$ (%)	$P_{исх}$ (вт)	$C_{ра}$ (пФ)	Цоколь
12	13	14	15	16	17	18	19	20	21	22	23	24	25	26
—	—	—	—	—	—	600	1,3	10	—	1	—	—	0,025	201
3,3	200	215	24/33	45	50	3	3,6	11	—	1	—	—	2,8	202
4,5	190	160	24	20	50	1300	0,65	—	—	1,2	—	—	—	203
3,4	200	230	35/60	30	50	1400	0,75	—	—	1,5	—	—	—	204
4,5	190	150	24	20	50	800	0,65	—	—	1,8	—	—	—	205
4,9	—	200	33/47	30	20	1400	0,76	—	—	1,8	—	—	—	206
5,1	—	130	27/27	33	22	2000	0,5	—	—	0,8	—	—	—	207
5	200	—	25	33	47	1000	0,75	—	—	1,5	—	—	—	207
—	—	—	—	—	—	1000	0,78	—	—	1,7	—	—	—	207
—	—	—	—	—	—	1,3	0,09	—	—	—	—	—	0,006	207
—	—	—	—	—	—	1,5	0,22	—	—	—	—	—	0,006	207
—	—	—	—	—	—	—	0,8	—	—	—	—	—	1	208
—	—	—	—	—	—	—	1,4	—	—	—	—	—	1	208
—	—	—	—	—	—	25	9	—	—	9	—	—	0,8	208
—	—	—	—	—	—	35	2	70	—	0,5	—	—	1,5	209
—	—	—	—	—	—	150	3,2	—	11	3,5	10	1	—	209
—	—	—	—	—	—	10,5	1,9	20	—	1	—	—	—	210
—	—	—	—	—	—	22	8,75	—	7	6,5	10	—	0,45	210
—	—	—	—	—	—	34	1,6	56	—	1	—	—	2,1	211
—	—	—	—	—	—	20	6,4	—	5,6	5,0	—	3,5 W	0,3	211
—	—	—	—	—	—	—	2,5	70	—	1	—	—	4,5	212
—	—	—	—	—	—	150	10	36	3	4	—	—	—	212
—	—	—	—	—	—	—	4	65	—	1	—	—	—	213
—	—	250	—	—	—	—	—	—	16	2×3	10	5,5	—	213
—	—	300	—	—	—	1500	1,8	—	—	2	—	—	0,003	131
—	—	—	—	—	—	1200	1,7	—	—	2	—	—	0,003	131

ЕСН11

ЕСН181

ЕСН11

ЕСН181



$I_{AT}$ (mA)	$I_{PT}$ (mA)	$R_K$ (OM)	$R_{P2}$ (KOM)	$R_{ET}$ (KOM)	$R_{PT}$ (KOM)	$R_i$ (KOM)	$S_c$ (mA/e)	$\mu$ —	$R_a$ (KOM)	$P_a$ (вт)	$K$ (%)	$P_{изх}$ (вт)	$C_{pa}$ (пф)	Цокъл
12	13	14	15	16	17	18	19	20	21	22	23	24	25	26
—	—	525	—	—	—	2500	1,8	—	—	1	—	—	0,003	131
—	—	300	—	—	—	450	1,8	—	—	2,5	—	—	0,007	214
—	—	325	—	—	—	1250	2,2	—	—	1,8	—	—	0,002	131
—	—	250	—	—	—	3000	2,2	—	—	2	—	—	0,002	215
—	—	500	—	—	—	1500	2,1	—	—	1,5	—	—	0,002	215
—	—	400	—	—	—	1000	2,3	—	—	2	—	—	0,005	216
—	—	350	—	—	—	180	7	—	—	5	—	—	0,01	217
—	—	325	—	—	—	1250	2,2	—	—	1,8	—	—	0,002	218
—	—	—	—	—	—	2500	1,85	—	—	1	—	—	0,04	219
—	—	325	—	—	—	1000	2,2	—	—	2	—	—	0,002	220
—	—	160	—	—	—	500	9	—	—	3,5	—	—	0,006	221
—	—	—	—	—	—	1000	6,5	—	—	3	—	—	0,007	222
—	—	—	—	—	—	650	6,8	—	—	2,5	—	—	0,007	223
—	—	—	—	—	—	1250	1,6	—	—	1	—	—	0,05	224
—	—	—	—	—	—	500	6	—	—	2,5	—	—	0,007	223
—	—	—	—	—	—	2500	2	—	—	1	—	—	0,05	224
—	—	—	—	—	—	1500	1,9	—	—	1,5	—	—	0,025	224
—	—	—	—	—	—	900	2,1	—	—	2	—	—	0,02	224
—	—	—	—	—	—	1000	3,6	—	—	2,25	—	—	0,002	225
—	—	160	—	—	—	1000	7,6	—	—	2,5	—	—	0,008	226
—	—	250	—	—	—	—	2,5	—	—	2,5	—	—	0,004	226
—	—	—	—	—	—	1500	4,4	—	—	—	—	—	—	227
—	—	—	—	—	—	1000	5,2	—	—	—	—	—	—	227
—	—	160	—	—	—	500	5,1	—	—	—	—	—	—	228
—	—	200	—	—	—	800	5	—	—	2,5	—	—	—	229

CF81

Означения	Приложение	Отопление		$E_a$ (в)	$E_{p_1}$ (в)	$E_{p_2}$ (в)	$E_{p_3}$ (в)	$E_{p_4}$ (ми)	$I_a$ (ма)	$I_{p_2}$ (ма)
		напре- жение (в)	ток (а)							
1	2	3	4	5	6	7	8	9	10	11
EF97	ВЧ, МЧ пент. с изм. стр. . . . .	6,3	0,3	6,3 12,6	-0,85 -0,8	3,2 6,3	— —	— —	0,8 2,5	0,3 0,9
EF98	МЧ, НЧ пентод . . . . .	6,3	0,3	6,3 12,6	-0,9 -0,85	3,2 6,3	— —	— —	0,5 1,85	0,17 0,55
EF111	ВЧ пентод с изм. стр. . . . .	6,3	0,2	250	-2	100	—	—	6	2
EF112	ВЧ пентод . . . . .	6,3	0,2	250	-2	100	—	—	3	1
EF171	ВЧ пент. с изм. стр. . . . .	6,3	0,2	250	-2	100	—	—	6	2
EF172	ВЧ пентод . . . . .	6,3	0,32	250	-2	100	—	—	5	0,5
EF173	ВЧ пент. с изм. стр. . . . .	6,3	0,2	250	-2	100	—	—	4,5	0,6
EF174	ВЧ пентод . . . . .	6,3	0,45	200	-3,5	200	—	—	12	3,0
EF175	ВЧ пентод с изм. стр. . . . .	6,3	0,45	250	-2	100	—	—	12	3
EF190	пентод . . . . .	6,3	0,3	200	-2	150	—	—	9,5	2,8
EF410	ВЧ пентод . . . . .	6,3	0,2	250	-2,5	100	—	—	6	1,7
EF800	ВЧ пент. широк. ус. . . . .	6,3	0,3	170	-2	170	—	—	10	2,5
EF802	ВЧ, НЧ пент. широк. ус. . . . .	6,3	0,3	170	-1,8	170	—	—	12	3
EF804	НЧ пентод . . . . .	6,3	0,2	250	-2	140	—	—	3	0,55
EF804S	. . . . .	6,3	0,17	250	-2	140	0	—	3,2	0,6
EF805S	ВЧ, НЧ пентод . . . . .	6,3	0,295	200	—	140	—	—	10	2,5
EF806S	НЧ пентод . . . . .	6,3	0,2	250	—	140	—	—	3,2	0,6
EFF50	дв. пент. УКВ ус. . . . .	6,3	0,6	250	-2	200	—	—	6	0,8
EFF51	. . . . .	6,3	0,75	300	-2	225	—	—	10	1,3
EFM1	НЧ пент. с изм. стр. + индикатор . . . . .	6,3	0,2	250	-2	40	—	—	0,8	0,6
EFM11	. . . . .	6,3	0,2	250	-0,5	17	—	—	0,98	0,46
EH1	ВЧ гексод с изм. стр. . . . .	6,3	0,4	250	-2	80	—	—	3	1,1
EH90	гексод . . . . .	6,3	0,3	10	0	30	—	—	1,2	4,1
EH900S	хептод . . . . .	6,3	0,3	100 150	-1 -10	80 75	— 0	—	0,75 0,2	1,1 18,6

$I_{ат}$ (мА)	$I_{рт}$ (мкА)	$R_K$ (Ом)	$R_{P2}$ (КОм)	$R_{ат}$ (КОм)	$R_{рт}$ (КОм)	$R_L$ (КОм)	$S_c$ (мА/е)	$\mu$	$R_a$ (КОм)	$P_a$ (Вт)	$K$ (%)	$P_{изх}$ (Вт)	$C_{ра}$ (нФ)	Цоколь
12	13	14	15	16	17	18	19	20	21	22	23	24	25	26
—	—	—	—	—	—	70	0,9	—	—	0,5	—	—	0,02	231
—	—	—	—	—	—	100	1,8	—	—	—	—	—	0,02	—
—	—	—	—	—	—	30	0,9	—	—	0,5	—	0,0012	0,02	231
—	—	—	—	—	—	200	2	—	—	0,5	—	0,014	0,02	—
—	—	250	—	—	—	3000	2,2	—	—	2	—	—	0,002	217
—	—	500	—	—	—	1500	2,1	—	—	1,5	—	—	0,002	217
—	—	250	—	—	—	3000	2,2	—	—	2	—	—	—	230
—	—	300	—	—	—	800	3,0	—	—	1,5	—	—	0,005	230
—	—	400	—	—	—	1000	2,3	—	—	2	—	—	0,005	230
—	—	230	—	—	—	150	9	—	—	5	—	—	0,01	230
—	—	140	—	—	—	—	4,5	—	—	5	—	—	0,01	230
—	—	180	—	—	—	600	6,2	—	—	2	—	—	0,02	231
—	—	—	—	—	—	1000	2,2	—	—	2	—	—	—	220
—	—	—	—	—	—	400	7,2	—	—	2,5	—	—	—	223
—	—	—	—	—	—	300	8	—	—	2,5	—	—	—	232
—	—	—	—	—	—	2500	2	—	—	1,5	—	—	—	233
—	—	—	—	—	—	2500	2	—	—	1,5	—	—	—	233
—	—	500	—	—	—	—	6,5	—	—	—	—	—	0,007	223
—	—	120	—	—	—	—	2	—	—	—	—	—	—	224
—	—	500	—	—	—	2500	2	—	—	—	—	—	—	224
—	—	—	—	—	—	350	8	—	—	3	—	—	0,04	224
—	—	—	—	—	—	250	9	—	—	3	—	—	0,04	234
—	—	980	—	—	—	—	0,65	—	130	0,4	—	—	—	235
—	—	—	—	—	—	700	0,95	—	160	0,4	—	—	0,9	236
—	—	500	—	—	—	2000	1,8	—	—	1,5	—	—	—	182
—	—	—	—	—	—	—	—	—	—	—	—	—	—	237
—	—	—	—	—	—	1000	0,95	—	—	1	—	—	—	—
—	—	—	—	—	—	—	—	—	—	1	—	—	—	237

Продължение на таблица 9

Означеніе	Приложение	Отопление		$E_a$ (в)	$E_{p1}$ (в)	$E_{p2}$ (в)	$E_{p3}$ (в)	$E_{p4}$ (ма)	$I_a$ (ма)	$I_{p2}$ (ма)
		напря- жение (в)	ток (а)							
1	2	3	4	5	6	7	8	9	10	11
EK1	октод . . . . .	6,3	0,4	250	-9,5	90	70	-1,5	1,6	—
EK2	" . . . . .	6,3	0,2	250	-10	200	50	-2	1	1,1
EK3	" . . . . .	6,3	0,6	250	15	100	100	-2,5	2,5	5,5
EK90	хептод . . . . .	6,3	0,3	250	-10	100	-1	100	3,3	6,9
EL1	изх. пентод . . . . .	6,3	0,4	250	-18,5	250	—	—	32	4,5
EL2	" . . . . .	6,3	0,2	250	—	250	—	—	32	5
EL3	" . . . . .	6,8	0,9	250	-6	250	—	—	36	4
EL5	" . . . . .	6,3	1,35	250	-14	275	—	—	72	7
EL6	" . . . . .	6,3	1,3	250	7	250	—	—	72	8
EL11	" . . . . .	6,3	0,9	250	-6	250	—	—	36	4
EL12	" . . . . .	6,3	1,2	250	-7	250	—	—	72	8
EL31	" . . . . .	6,3	0,5	250	7,5	250	—	—	20	3,2
EL32	" . . . . .	6,3	0,2	250	-6	250	—	—	32	5
EL33	" . . . . .	6,3	0,9	250	-6	250	—	—	36	4
EL34	" . . . . .	6,3	1,5	265	-13,5	250	—	—	100	14,9
EL35	" . . . . .	6,3	1,35	250	-14	275	—	—	72	7
EL36	" . . . . .	6,3	1,2	250	-7	250	—	—	72	8
EL38	ус. за хориз. откл. . . . .	6,3	1,4	250	-7	250	—	—	100	13
EL39	изх. пентод . . . . .	6,3	1,35	400	-33	425	—	—	45	5
EL41	" . . . . .	6,3	0,71	250	-7	250	—	—	36	5,2
EL42	" . . . . .	6,3	0,2	225	—	225	—	—	26	4,1
EL50	" . . . . .	6,3	1,35	400	-33	425	—	—	45	5,5
EL51	" . . . . .	6,3	1,9	500	-22	500	—	—	90	12
EL53	" . . . . .	6,3	1	300	-6	300	—	—	36	4
EL54	" . . . . .	6,3	1,3	300	-12,2	325	—	—	2×67	2×14
EL81	" . . . . .	6,3	1,0	200	-28	200	—	—	40	2,8

$I_{ат}$ (мА)	$I_{рт}$ (мА)	$R_K$ (ОМ)	$R_{p2}$ (кОМ)	$R_{ат}$ (КОМ)	$R_{рт}$ (КОМ)	$R_t$ (КОМ)	$S_c$ (мА/В)	$\mu$	$R_a$ (КОМ)	$P_a$ (Вт)	$K$ (%)	$P_{нах}$ (Вт)	$C_{ра}$ (пФ)	Цикъл
12	13	14	15	16	17	18	19	20	21	22	23	24	25	26
2	—	200	—	—	—	1500	0,6	—	—	0,5	—	—	—	134
2,5	200	490	—	—	50	2000	0,55	—	—	1	—	—	—	134
5	300	190	—	—	50	2000	0,65	—	—	1	—	—	—	134
—	500	—	—	—	20	1000	0,5	—	—	1	—	—	—	237
—	—	500	—	—	—	48	2,6	—	11,5	8	—	2,8	—	136
—	—	485	—	—	—	70	2,8	—	8	8	10	3,6	—	136
—	—	150	—	—	—	50	9	—	7	9	10	4,5	—	137
—	—	175	—	—	—	22	8,5	—	3,5	18	10	8,8	0,8	137
—	—	90	—	—	—	20	14,5	—	3,5	18	10	8,2	0,7	137
—	—	150	—	—	—	50	9	—	7	9	10	4,5	—	239
—	—	90	—	—	—	25	15	—	3,5	18	10	8	0,7	239
—	—	320	—	—	—	60	5,5	—	12,5	5	10	2	0,5	240
—	—	485	—	—	—	70	2,8	—	8	8	10	3,6	—	241
—	—	150	—	—	—	50	9	—	7	9	10	4,5	—	242
—	—	—	—	—	—	15	11	—	2	25	10	11	1	243
—	—	175	—	—	—	22	8,5	—	3,5	18	10	8,8	0,8	242
—	—	90	—	—	—	25	15	—	3,5	18	10	8	0,7	242
—	—	—	—	—	—	21	14,3	—	—	25	—	—	—	240
—	—	—	—	—	—	30	6	—	—	18	—	—	—	242
—	—	170	—	—	—	40	10	—	—	7	10	3,9	1	244
—	—	360	—	—	—	90	3,2	—	9	6	12	2,8	0,2	244
—	—	—	—	—	—	30	6	—	—	18	—	—	0,8	245
—	—	—	—	—	—	33	11	—	—	45	—	—	1	246
—	—	—	—	—	—	—	7	—	—	20	—	—	—	137
—	—	2×200	—	—	—	28	13	—	5	25,5	—	5	0,7	137
—	—	—	—	—	—	11	6	—	—	8	—	—	0,8	247

ELN

CLN!



Обозначение	Приложение	Отопление		$E_a$ (в)	$E_{p1}$ (в)	$E_{p2}$ (в)	$E_{p3}$ (в)	$E_{p4}$ (мв)	$I_a$ (ма)	$I_{p1}$ (ма)
		напре- жение (в)	ток (а)							
1	2	3	4	5	6	7	8	9	10	11
EL83	широколенгов пентод	6,3	0,72	250	-5,5	250	—	—	36	5
EL84	изходящ пентод	6,3	0,76	250	-7,5	250	—	—	48	5,5
EL86	НЧ пентод	6,3	0,76	170	-12,5	170	—	—	70	5
EL90	изх. пентод	6,3	0,45	250	-12,5	250	—	—	46	4,7
EL91	"	6,3	0,2	250	—	250	—	—	16	2,4
EL95	"	6,3	0,2	250	-9	250	—	—	24	4,5
EL152	"	6,3	1,4	300	-24	250	—	—	130	20
EL153	изх. тетрод	6,3	1,55	650	-80	210	—	—	130	4
EL156	изх. пентод	6,3	1,9	800	-24	350	—	—	2×120	2×25
EL803	"	6,3	0,73	200	-3,5	200	0	—	32	4,7
EL803S	"	6,3	0,73	200	—	200	—	—	32	4,7
EL804	"	6,3	0,7	140	—	170	—	—	70	5
EM2	индикатор + НЧУ	6,3	0,2	200	-2,5	—	—	—	3	—
EM3	"	6,3	0,2	250	-21	—	—	—	0,22	—
EM4	индикатор	6,3	0,2	250	-5	—	—	—	1,75	—
EM11	"	6,3	0,2	250	-4	—	—	—	0,07	—
EM80	"	6,3	0,3	250	—	250	—	—	—	—
EM81	"	6,3	0,3	100	-1	250	—	—	0,37	2
EM84	"	6,3	0,27	250	—	—	—	—	0,45	1,1
EMM801	"	6,3	0,3	100	-2	—	—	—	2,5	—
PABC60	троен диод + триод	9,5	0,3	200	-2,3	—	—	—	1	—
PC86	УКВ триод	3,6	0,3	175	-1,5	—	—	—	12	—
PC92	"	3,1	0,3	200	-1	—	—	—	11,5	—
PCC84	двоен триод	7,2	0,3	90	-1,5	—	—	—	12	—
PCC85	"	9,0	0,3	170	-1,5	—	—	—	10	—
PCC88	"	7,0	0,3	90	-1,3	—	—	—	15	—

$I_{\text{вт}}$ (ма)	$I_{\text{дт}}$ (мкка)	$R_K$ (ом)	$R_{P_2}$ (ком)	$R_{\text{ат}}$ (ком)	$R_{\text{рт}}$ (ком)	$R_I$ (ком)	$S_C$ (мкф)	$\mu$	$R_a$ (ком)	$P_a$ (вт)	$K$ (%)	$P_{\text{изх}}$ (вт)	$\zeta_{\text{ра}}$ (пф)	Цокъл
12	13	14	15	16	17	18	19	20	21	22	23	24	25	26
—	—	—	—	—	—	100	10,5	—	—	9	—	—	0,1	248
—	—	140	—	—	—	40	11	—	5,2	12	10	5,7	0,5	249
—	—	—	—	—	—	28	10	—	—	12	—	—	1	249
—	—	250	—	—	—	52	4,1	—	5	—	10	4,5	—	250
—	—	680	—	—	—	130	2,6	—	16	4	—	1,4	0,5	251
—	—	320	—	—	—	80	5	—	10	6	—	—	0,4	250
—	—	180	—	—	—	10	6,5	—	2	40	—	18	0,12	252
—	—	—	—	—	—	—	4	—	—	30	—	—	—	253
—	—	1000	—	—	—	—	—	—	9,5	130	—	—	—	254
—	—	110	—	—	—	100	10	—	—	9	—	—	0,12	255
—	—	110	—	—	—	100	10	—	—	6,5	—	—	0,12	255
—	—	160	—	—	—	14	10	—	—	10	—	—	0,15	256
—	—	800	—	—	—	25	2	50	100	1,5	—	—	—	139
—	—	—	—	—	—	—	—	—	1000	—	—	—	—	139
—	—	—	—	—	—	—	—	—	2000	—	—	—	—	257
—	—	—	—	—	—	—	—	—	—	—	—	—	—	258
—	—	—	—	—	—	—	1,8	—	470	—	—	—	—	259
—	—	—	—	—	—	—	—	—	500	—	—	—	—	260
—	—	—	—	—	—	—	—	—	400	0,2	—	—	—	261
—	—	—	—	—	—	50	1	19	330	1	—	—	2	262
—	—	125	—	—	—	—	1,4	70	—	2,2	—	—	2	182
—	—	—	—	—	—	—	6,7	68	—	2,5	—	—	1,8	267
—	—	—	—	—	—	—	6	66	—	2	—	—	1,2	193
—	—	330	—	—	—	—	6,2	24	—	2,5	—	—	1,5	197
—	—	—	—	—	—	2,6	12,5	50	—	1,8	—	—	0,005	198
—	—	—	—	—	—	—	—	33	—	—	—	—	—	198

61.87

61.87

Означение	Приложение	Отопление		$E_a$ (в)	$E_{p1}$ (в)	$E_{p2}$ (в)	$E_{p3}$ (в)	$E_{p4}$ (мА)	$I_a$ (мА)	$I_{p2}$ (мА)
		напре- жение (в)	ток (А)							
1	2	3	4	5	6	7	8	9	10	11
PCF80	триод	9,0	0,3	100	-2	—	—	—	14	—
	пентод	—	—	170	-2	170	—	—	10	2,8
PCF82	триод	9,0	0,3	150	-2	—	—	—	11	—
	пентод	—	—	170	-0,9	110	—	—	10	3,3
PCL81	триод	12,6	0,3	200	-1,5	—	—	—	0,5	—
	пентод	—	—	200	-7	200	—	—	30	5,3
PCL82	триод	16	0,3	100	0	—	—	—	3,5	—
	пентод	—	—	170	-11,5	170	—	—	41	8
PCL84	триод	15	0,3	200	-1,7	—	—	—	3	—
	пентод	—	—	200	-2,9	200	—	—	18	3,1
PL36	изх. пентод	25	0,3	100	-8,2	100	—	—	100	7
PL81	телев. развивка	21,5	0,3	170	-22	170	—	—	45	3
PL82	ус. верт. откл.	16,5	0,3	170	-10,4	170	—	—	53	10
PL83	видеоусилв.	15	0,3	170	-2,3	170	—	—	36	5
PL84	изх. пентод	15	0,3	170	-12,5	170	—	—	70	5
PM84	индикатор	4,2	0,3	170	—	—	—	—	0,3	—
UAA91	двоен диод	19	0,1	117	—	—	—	—	2×9	—
UABC80	троен диод + триод	28,5	0,1	200	-2,3	—	—	—	1	—
UBC81	двоен диод + триод	14	0,1	170	-1,5	—	—	—	1,5	—
UBF11	двоен диод + пентод	20	0,1	200	-2	80	—	—	5	1,7
UBF80	" " "	17	0,1	200	-2	80	—	—	5	1,75
UBF89	" " "	19	0,1	200	-1,5	100	—	—	11	3,3
UBL21	двоен диод + пентод	55	0,1	180	-10	180	—	—	61	10
UC92	УКВ триод	9,5	0,1	250	-2	—	—	—	10	—
UCC85	УКВ двоен триод	26	0,1	170	-1,6	—	—	—	9,5	—

$I_{ат}$ (ма)	$I_{рт}$ (мкка)	$R_k$ (ом)	$R_{p_2}$ (ком)	$R_{ат}$ (ком)	$R_{рт}$ (ком)	$R_i$ (ком)	$S_c$ (ма/в)	$\mu$	$R_a$ (ком)	$P_a$ (вт)	$\eta$ (%)	$P_{изх}$ (вт)	$C_{рв}$ (пф)	Цокъла
12	13	14	15	16	17	18	19	20	21	22	23	24	25	26
—	—	—	—	—	—	—	5	20	—	1,5	—	—	1,5	200
—	—	—	—	—	—	400	6,2	35	—	1,7	—	—	0,025	—
—	—	—	—	—	—	—	5,8	—	—	1,5	—	—	1,8	200
—	—	—	—	—	—	400	5,5	32	—	2	—	—	0,01	—
—	—	—	—	—	—	—	—	—	200	1	—	—	1,3	263
—	—	—	—	—	—	22	8,75	—	6,7	6,5	—	—	0,45	—
—	—	—	—	—	—	—	2,5	70	—	0,5	—	—	4,5	264
—	—	—	—	—	—	16	7,5	—	—	5	—	—	0,3	—
—	—	—	—	—	—	—	4	65	—	1	—	—	2,7	265
—	—	—	—	—	—	130	10,4	—	—	4	—	—	0,1	—
—	—	—	—	—	—	5	14	—	—	10	—	—	1,1	266
—	—	—	—	—	—	10	6,2	—	—	8	—	—	0,8	247
—	—	—	—	—	—	20	9	—	—	9	—	—	1	249
—	—	—	—	—	—	100	10,5	—	—	9	—	—	0,1	248
—	—	—	—	—	—	23	10	—	—	12	—	—	0,6	249
—	—	—	—	—	—	—	—	—	470	0,5	—	—	—	261
—	—	—	—	—	—	—	—	—	—	—	—	—	—	181
—	—	—	—	—	—	50	1,4	70	—	1	—	—	2	182
—	—	—	—	—	—	42	1,65	70	—	0,5	—	—	1,2	268
—	—	300	—	—	—	1500	1,8	—	—	1,5	—	—	0,002	183
—	—	—	—	—	—	1000	2,2	—	—	1,5	—	—	0,0025	188
—	—	—	—	—	—	600	4,5	—	—	2,25	—	—	0,0025	188
—	—	140	—	—	—	22	9	—	3	11	10	4,8	1,2	189
—	—	—	—	—	—	—	5	60	—	2,5	—	—	1,5	193
—	—	170	—	—	—	8,3	6	—	—	2,5	—	—	1,5	198

Означения	Приложение	Отопление		$E_a$ (в)	$E_{p1}$ (в)	$E_{p2}$ (в)	$E_{p3}$ (в)	$E_{p4}$ (ма)	$I_a$ (ма)	$I_{p2}$ (ма)
		напря- жение (в)	ток (а)							
1	2	3	4	5	6	7	8	9	10	11
UCH4	триод + хептод	20	0,1	200	-2	100	-9,5	100	3,5	6,5
UCH11	триод + хексод	20	0,1	200	-2	60	7	80	2,5	3
UCH21	"	20	0,1	200	-2	100	-9,5	100	3,5	6,5
UCH41	"	14	0,1	170	-1,8	100	7	100	2,2	1,9
UCH42	"	14	0,1	170	-1,85	100	8	100	2,1	2,6
UCH81	триод + хептод	19	0,1	170	-2	100	-9,4	100	2,9	6
UCL81	триод	39	0,1	200	-1,5	—	—	—	0,5	—
	пентод	—	—	200	-7	200	—	—	30	5,3
UCL82	триод	50	0,1	160	0	—	—	—	3,5	—
	пентод	—	—	200	-16	200	—	—	35	7
6F32	ВЧУ	6,3	0,175	120	-2	120	—	—	7,5	2,5
6F35	ВЧУ, МЧУ	6,3	0,175	28	-0,8	28	—	—	3	1,3
6F36	ВЧУ	6,3	0,45	300	-2	150	—	—	10,25	2,2
6H31	"	6,3	0,3	250	—	100	-1,5	—	2,8	7,3
6L10	нзх. пентод	6,3	0,65	300	-3	150	0	—	30	7
6L31	НЧУ	6,3	0,45	250	-12,5	250	—	—	45	4,5
6L41	ВЧУ	6,3	0,75	300	-6	250	0	—	30	5
6L43	широкопол. усилвател	6,3	0,65	300	-3	150	0	—	30	7
6L50	ВЧУ, НЧУ	6,3	1,0	400	-25	250	0	—	30	2
6L50V	"	6,3	1,0	400	-25	250	0	—	30	2
12BC32	двоен диод + триод	12,6	0,15	100	-1	100	—	—	0,5	—
12F31	ВЧУ, МЧУ	12,6	0,15	100	—	100	—	—	10,8	4,4
12H31	"	12,6	0,15	100	—	100	1,5	—	2,8	7,3
18F24	ВЧ и НЧ широкопол. усилв.	18	0,165	250	-2,1	200	—	—	15	1,9
35L31	НЧУ	35	0,15	200	-13	200	—	—	55	9,5

$I_{ат}$ (мА)	$I_{пр}$ (мкА)	$R_K$ (ОМ)	$R_{P2}$ (КОМ)	$R_{ат}$ (ЛОМ)	$R_{пр}$ (КОМ)	$R_L$ (ЛОМ)	$S_C$ (мА, в)	$\mu$	$R_a$ (КОМ)	$K$ (%)	$P_a$ (вт)	$P_{max}$ (вт)	$C_{ра}$ (пФ)	Цоколь
12	13	14	15	16	17	18	19	20	21	22	23	24	25	26
4,1	190	150	15,5	20	50	1000	0,75	—	—	1,5	—	—	—	269
2,8	—	240	40	30	50	1000	0,75	—	—	1,5	—	—	—	204
4,1	190	150	15,5	20	50	1000	0,75	—	—	1,5	—	—	—	205
4,9	—	200	—	10	20	1200	0,45	—	—	0,8	—	—	—	206
6,5	—	180	—	10	22	1000	0,67	—	—	1,5	—	—	—	206
4,5	200	—	12	15	47	900	0,725	—	—	1,7	—	—	—	207
—	—	—	—	—	—	—	—	—	200	1	—	—	2,1	263
—	—	—	—	—	—	22	8,75	—	—	6,5	—	—	0,45	—
—	—	—	—	—	—	—	2,5	70	—	1	—	—	4,5	264
—	—	—	—	—	—	20	6,4	—	—	5	—	—	0,3	—
—	—	—	—	—	—	300	5	25	—	1,7	—	—	0,025	228
—	—	270	—	—	—	100	2,75	—	—	1,7	—	—	0,03	228
—	—	160	—	—	—	1000	9	—	—	3,3	—	—	0,03	238
—	—	—	—	—	—	500	0,455	—	—	1	—	—	0,05	237
—	—	—	—	—	—	90	11	—	—	9	—	—	0,06	270
—	—	—	—	—	—	52	4,25	—	—	12	—	—	0,35	250
—	—	—	—	—	—	—	7	—	—	12	—	—	0,45	271
—	—	—	—	—	—	90	11	—	—	9	—	—	0,1	272
—	—	—	—	—	—	75	3,5	—	—	25	—	—	0,3	273
—	—	—	—	—	—	75	3,5	—	—	18	—	—	0,3	273
—	—	—	—	—	—	80	1,25	100	—	0,5	—	—	2	185
—	—	—	—	—	—	250	4,3	—	—	3	—	—	0,0035	227
—	—	—	—	—	—	500	0,455	—	—	1	—	—	0,005	237
—	—	—	—	—	—	300	10,5	—	—	4	—	—	0,035	274
—	—	—	—	—	—	25	8	—	—	11	—	—	1,2	250

UCL81  
UCL82

Таблица 10

Германиеви точкови диоди<sup>1</sup> (съветски)

Означенне <sup>2</sup>	Максимално обратно напрежение (в)	Максимално обратно пробивно напрежение (в)	Минимален постоянен ток при напрежение 1 в (ма)	Максимален обратен ток при различни работни напрежения		Максимален изправен ток <sup>3</sup> (ма)
				напрежение (в)	ток (ма)	
ДГ-Ц1	50	60	2,0	—50	1	16
ДГ-Ц2	50	75	5,0	—50	0,5	16
ДГ-Ц3	50	75	2,5	—50	0,1	16
ДГ-Ц4	75	100	5,0	—75	0,8	16
ДГ-Ц5	75	100	2,0	—75	0,25	16
ДГ-Ц6	100	125	5,0	—100	0,8	16
ДГ-Ц7	100	125	2,0	—100	0,25	16
ДГ-Ц8	30	50	10,0	—30	0,5	25
ДГ-Ц9	30	45	10,0	—10	0,1	16
ДГ-Ц10	30	45	5,0	—10	0,06	16
ДГ-Ц12	30	45	5,0	—10	0,5	16
ДГ-Ц13	30	45	1,0	—10	0,25	16
ДГ-Ц15	150	170	1,5	—150	0,8	8
ДГ-Ц16	150	180	1,5	—150	0,25	8
ДГ-Ц17	150	220	1,5	—200	0,8	8
Д2А	10	15	50	—7	0,25	50
Д2Б	30	45	5—10	—10	0,1	16
Д2В	40	60	10	—30	0,25	25
Д2Г	75	100	2—5	—50	0,25	16
Д2Д	75	100	5—10	—50	0,25	16
Д2Е	125	150	5—10	—100	0,25	16
Д2Ж	175	200	2—10	—150	0,25	8

<sup>1</sup> Параметрите се измерват при температура на окръжаващия въздух  $+20 \pm 5^\circ\text{C}$ .<sup>2</sup> В еднофазната еднополупериодна схема без шунтиращ кондензатор.<sup>3</sup> Диодите Д2 са изпълнени в металически стъклен корпус.

Таблица 11

## Високоволтни германиеви плоскостни диоди (съветски)

Означенне	Еквивалент	Среден изправен ток (mA)	Максимално обратно напрежение при температура на въздуха			Подавано променливо напреж. при 20°C (B)	Падение на постоянното напрежение при номинален изправен ток (B)	Обратен ток при номинално напрежение (mA)	Горна граница на работната честота (kHz)
			20° C	50° C	70° C				
ДГ-Ц21	Д7А	300	50	35		35	0,5	0,5	50
ДГ-Ц22	Д7Б	300	100	65	20	70	0,5	0,5	50
ДГ-Ц23	Д7В	300	150	90	37	105	0,5	0,5	50
ДГ-Ц24	Д7Г	300	200	120	56	140	0,5	0,5	50
ДГ-Ц25	Д7Д	100	300	200	30	210	0,3	0,3	50
ДГ-Ц26	Д7Е	100	350	235	100	350	0,3	0,3	50
ДГ-Ц27	Д7Ж	100	400	285	120	400	0,3	0,3	50

Диодите ДГЦ и Д7 се различават само по конструктивното си оформление. Размери на Д7: диаметър 4,8 мм, дължина без изводите 15 мм, дължина с изводите 78 мм. Размерите на ДГЦ са дадени на фиг. 43.



## Германиеви точкови диоди (чешки)

Тип	Приложение	Характеристични стойности				Гранични стойности						Цветно означение на елементите	
		$I_d$ при $U_d$ мин [ма]	$-I_d$ при $-U_d$				$I_{ss}$ [ма]	$I_{ss \max}$ [ма]	$I_{ss sp}$ [ма]	$I_d$ [ма]	$-U_d sp$ [в]		$-U_d av$ [в]
			$-3 в$ [ма]	$-10 в$ [ма]	$-50 в$ [ма]	$-100 в$ [ма]							
1NN40	ВЧ изправител	5—11	—	100	—	—	15	50	150	500	20	25	бяла
2NN40	изправител	2,5—7	—	—	1600	—	15	50	150	500	50	55	жълта
3NN40	"	5—10	—	50	800	—	15	50	150	500	60	75	синя
4NN40	"	4—6	—	—	833	—	12	40	150	500	85	90	зелена
5NN40	селективен тип	3—6,8	6	—	60	625	10	30	100	500	100	120	червена
6NN40	детектор	1,5—6,5 <sup>1</sup>	—	—	—	—	—	—	—	—	20	25	черна
1NN41	ВЧ изправител	5—15	—	100	—	—	15	50	150	500	20	25	бяла
2NN41	изправител	2,5—7	—	—	1600	—	15	50	150	500	50	55	жълта
3NN41	"	5—12	—	50	800	—	15	50	150	500	60	75	синя
4NN41	"	4—15	—	—	833	—	12	40	150	500	85	90	зелена
5NN41	селективен тип	3—8	6	—	60	625	10	30	100	500	100	120	червена
6NN41	детектор	1,5—14 <sup>1</sup>	—	—	—	—	—	—	—	—	20	25	черна
7NN41	телевизион. приемн.	5	—	100	—	—	15	50	150	500	10	15	бяла с черна точка
10NN41	"	8 <sup>2</sup>	—	100	—	—	—	—	200	—	20	—	черна
11NN41	"	15 <sup>2</sup>	—	100	—	—	—	—	200	—	20	—	кафява

<sup>1</sup> При  $U_d = -1 в$ ;  $-I_d < 0,1 I_d$  от показаното при  $+1 в$ .<sup>2</sup> При  $U_d = +0,7 в$ .

Характеристични стойности											
Тип	$I_d$ при $+0,5\phi$ [a]	$-I_d$ при $-U_d$		$U_{a\text{ eff}}$ [e]	$U_{\text{обр}}$ [e]	$I_{ss\text{ sp}}$ [a]	$I_{dn}$ [a]	$P_{dt}$ [sm]	$P_d$ [sm]	охла- дителя плотн. [cm <sup>2</sup> ]	$f$ [кГц]
		[ma]	[e]								
20NP70	3	-30	18	6	18	3	50	2,7	0,6	>150	20
21NP70	3	-20	30	10	30	3	50	2,7	0,6	>150	20
22NP70	3	-15	50	16	50	3	50	2,7	0,6	>150	20
23NP70	3	-10	100	30	100	3	50	2,7	0,6	>150	20
24NP70	3	-8	150	45	150	3	50	2,7	0,6	>150	20
25NP70	3	-6	200	60	200	3	50	2,7	0,6	>150	20
30NP70	5	-25	18	6	18	5	70	4,5	0,6	>220	20
31NP70	5	18	30	10	30	5	70	4,5	0,6	>220	20
32NP70	5	13	50	16	50	5	70	4,5	0,6	>220	20
33NP70	5	-9	100	30	100	5	70	4,5	0,6	>220	20
34NP70	5	7	150	45	150	5	70	4,5	0,6	>220	20
35NP70	5	5	200	60	200	5	70	4,5	0,6	>220	20
40NP70	10	-20	18	6	18	10	100	7,5	0,6	>440	20
41NP70	10	-15	30	10	30	10	100	7,5	0,6	>440	20
42NP70	10	-11	50	16	50	10	100	7,5	0,6	>440	20
43NP70	10	-8	100	30	100	10	100	7,5	0,6	>440	20
44NP70	10	6	150	45	150	10	100	7,5	0,6	>440	20
45NP70	10	-4	200	60	200	10	100	7,5	0,6	>440	20

$I_{ss\text{ sp}}$  — върхов изправен ток

$-U_d$  — максимално обратно напрежение

$U_{a\text{ eff}}$  — максимално ефективно напрежение

$U_{dn}$  — напрежение, при което обратното съпротивление на диода достига своята максимално възможна стойност

$U_{\text{обр}}$  — обратно максимално напрежение, което може да се приложи постоянно към диода в обратна посока, без да предизвика повреда

$P_d$  — разсеяна мощност, която диодът може да разсее във форма на топлина

$P_{dt}$  — загубна мощност в изправителя

$R_0$  — паралелно съпротивление, свързано към изправител, който работи в серийна връзка

Таблица 14

Кристалини точкови триоди<sup>1</sup> (съветски)

Тип	Гранична работна честота (МГц)	Ток на емитера $I_e^A$ в режим на измерване (мА)				Спротивление на емитера $r_e$ (ом)	Спротивление на колектора $r_k$ (ом)	Спротивление на базата $r_b$ (ом)	Коэффициент на усиление по ток $\beta_{мин}$	Пределен коэффициент на усиление $\beta_{пред}$ , мин	Коэффициент на усиление по мощност $K_M$ (дБ)	Коэффициент на усиление по напряжению $K_H$	Предельно допустимые стойности			
		напряжения на колектора $U_k$ в режим на измерване (В)	напряжения на колектора $U_k$ в режим на измерване (В)	напряжения на колектора $U_k$ в режим на измерване (В)	напряжения на колектора $U_k$ в режим на измерване (В)								напряжения на колектора $U_k$ (В)	тока на емитера $I_e^A$ (мА)	тока на колектора $I_k^A$ (мА)	мощност, рассеиваемая от колектора $P_k$ (мВт)
C1A <sup>2</sup> C3A <sup>2</sup>	0,5	0,3	—20	550	6800	200	1,2	1,0	15—19	—	—40	10	—10	100		
C1Б C3Б	0,5	0,3	—20	550	6800	200	1,5	1,2	18—22	50	—40	10	—6	50		
C1В C3В	1,5	0,3	—20	550	6800	200	1,5	1,2	15—19	—	—40	10	—10	100		
C1Г C3Г	1,5	0,3	—20	550	6800	200	1,5	1,2	18—22	50	—40	10	—6	50		
C1Д C3Д	5,0	0,3	—20	550	6800	200	1,5	1,2	15—22	30	—40	10	—6	50		
C1Е C3Е	10	0,3	—20	550	6800	200	1,5	1,2	15—22	—	—40	10	—6	50		
C2A C4A	0,5	0,3	—10	500	6000	1000	1,5	1,2	—	—	—30	10	—10	100		
C2Б C4Б	1,5	0,3	—10	800	6800	700	1,6	1,5	—	—	—20	10	—6	50		

C2B C4B	5	0,3	—10	800	6000	1000	1,6	1,5	—	—	—20	10	— 6	50
C2Г C4Г	10	0,3	—10	500	6000	1000	1,6	1,5	—	—	—20	10	— 6	50

<sup>1</sup> Електрическите параметри се измерват при заземена база в режим на клас А, на честота не повече от 20 кГц (освен  $\alpha_{\text{пред}}$ ) и температура  $\pm 5^\circ\text{C}$ .

<sup>2</sup> Размери на тип С1 : диаметър 6,8 мм, максимална дължина с изводите 18 мм, дължина без изводите 12 мм. Размери на тип С3 : максимален диаметър 11,5 мм, максимална дължина без изводите 6 мм, дължина с изводите 40 мм.

<sup>3</sup> Направлението на токовете от емитера към базата е прието за положително. Напрежението се измерва по отношение на базата.

<sup>4</sup> При съпротивление на генератора 500 ом, товарно съпротивление 10 ком

## Кристални плоскостности

Тип	Гранична работна честота (кГц)	Ток на емитера $I_E$ в режим на измерване (mA)	Ток на колектора $I_K$ в режим на измерване (mA)	Напрежение на колектора $U_K$ в режим на измерване (V)	Съпротивление на емитера $r_e$ (Ом)	Съпротивление на колектора $r_K$ (Ом)	Съпротивление на базата $I_B$ (Ом)	Коефициент на усиление по ток $\alpha$	Пределен коефициент на усиление $\alpha$ пред. мин
П1А	100	1,0	—	—10	30	0,3	—	0,9	0,7
П1Б	100	1,0	—	10	30	0,5 1,2	400	0,93—0,97	0,7
П1В	100	1,0	—	—10	30	0,5	400	0,93—0,97	0,7
П1Г	100	1,0	—	—10	30	0,5	600	0,96	0,7
П1Д	100	1,0	—	—10	30	0,5	600	0,94	0,7
П1Е	465	1,0	—	—10	30	0,3	1000	0,94—1,0	0,7
П1Ж	1000	1,0	—	10	—	0,3	1500	0,95	0,7
П2А	16	—	5	—50	—	—	—	0,9	—
П2Б	16	—	10	—25	—	—	—	0,9	—
П3А	16	—	130	—25	—	—	—	2,0	—
П3Б	16	—	130	—25	—	—	—	2,0	—
П3В	16	—	130	—25	—	—	—	2,0	—
П4	—	—	1000	—26	—	—	—	—	—
П6А	500	1,0	—	—5	40	0,5	—	0,92	—
П6Б	1000	1,0	—	—5	40	1	250	0,92	—
П6В	1000	1,0	—	—5	40	1	300	0,955	—
П6Г	1000— 2500	1,0	—	—5	40	1	400	0,98	—
П6Д	1000	1,0	—	—5	40	1	250	0,92	—

Таблица 15

## триодн (съветски)

Пределно допустими величини					Размери						
Коэффициент на усиление по мощ- ност $K_M$ (дб)	Фактор на шума $N_{ш}$ (дб)	Отдавана мощност $P$ (вт)	Коэффициент на нелинейни изкривя- вания $K_f$ (0/0)	Капацитет на колектора $C_K$ (пф)	ток на емитера $I_E$ (ма)	ток на колектора $I_K$ (ма)	напрежение на колектора $U_K$ (в)	максимална мощност, раз- сейвана от колектора $P_K$ (вт)	максимален диаметър (мм)	дължина без изводите (мм)	дължина на изводите (мм)
30	—	—	—	—	5	5	20	50	10	20	30
33	35	—	—	—	5	5	20	50	10	20	30
37	35	—	—	—	5	5	20	50	10	20	30
37	—	—	—	—	5	5	20	50	10	20	30
37	18	—	—	—	5	5	20	50	10	20	30
30	35	—	—	60	5	5	20	50	10	20	30
35	35	—	—	40	5	5	20	50	10	20	30
17	—	100	15	—	10	10	100	250	10	20	30
17	—	100	15	—	25	25	50	250	10	20	30
17	—	1000	15	—	—	150	50	1000 <sup>в</sup> 3500 <sup>в</sup>	27	25	30
20	—	1000	15	—	—	250	50	1000 <sup>в</sup> 3500 <sup>в</sup>	27	25	30
25	—	1000	15	—	—	450	50	1000 <sup>в</sup> 3500 <sup>в</sup>	27	25	30
13	—	10000	15	—	—	2000	55	30000	—	—	—
35	22	—	—	40	10	10	30	150	11,5	6	40
38	22	—	—	40	10	10	30	150	11,5	6	40
39	22	—	—	40	10	10	30	150	11,5	6	40
40	22	—	—	40	10	10	30	150	11,5	6	40
38	12	—	—	40	10	10	30	150	11,5	6	40

**Таблица 16**

### Маломощни кристални плоскостни триоди (съветски)

Параметри	Тип на триода						Режим на измерване		
	П5А	П5Б	П5В	П5Г	П5Д	П5Е	$I_e, \text{ма}$	$r_k, \text{в}$	$f_{изм}, \text{кГц}$
$h_{12}$ — коефициент на обратна връзка по напрежение не повече . . . . .	$5 \cdot 10^{-3}$	$5 \cdot 10^{-3}$	$5 \cdot 10^{-3}$	$5 \cdot 10^{-3}$	$5 \cdot 10^{-3}$	$5 \cdot 10^{-3}$	1	—2	50—1000
$h_{21}$ — коефициент на усилване по ток . . . .	0,93	0,95	0,97	0,97	0,95	0,9	1	—2	50—1000
$h_{22}$ — изходяща проводимост не повече, $\text{мкмо}$	3,3	2,6	2,6	2,6	2,5	2,6	1	—2	50—1000
$I_{KO}$ — обратен ток на колекторния преход при откачен емитер не повече, $\text{мкА}$ . . .	15	15	15	15	15	15	—	—5	—
$F_{ш}$ — коефициент на шума не повече, $\text{дБ}$	12	—	—	18	10	18	0,2	—1	1000
$f_a$ — гранична честота на усилване по ток, $\text{МГц}$	—	0,3	0,3	0,3	0,3	0,3	1	—2	—

### Предельно допустимы величины

Ток на колектора . . . . .	10	10	10	10	10	10
Напряжение на колектора . . . . .	—10	—10	—10	—10	—10	—10
Мощност, рассеивана от колектора, при температуре $20 \pm 5^\circ \text{C}$ . . . . .	25	25	25	25	25	25

Таблица 16а

Параметри	Тип на триода					Режим на измерване		
	П8	П9	П9А	П10	П11	$I_e$ , ма	$U_k$ , в	$f_{изм}$ , кГц
$h_{12}$ — коефициент на обратна връзка по напрежение не повече . . . . .	$5 \cdot 10^{-3}$	$6 \cdot 10^{-4}$	$6 \cdot 10^{-4}$	$6 \cdot 10^{-4}$	$6 \cdot 10^{-4}$	1	5	50—1000
$h_{21}$ — коефициент на усилване по ток не по-малко . . . . .	0,9	0,9 0,95	0,92	0,95	0,95	1	5	50—1000
$h_{22}$ — изходяща проводимост не повече, мкмо	3,3	2,0	2,0	3,3	3,3	1	5	50—1000
$F_{ш}$ — коефициент на шума не повече, дБ . . .	—	—	12	—	—	0,5	1,5	—
$I_{к0}$ — обратен ток на колекторния преход при откачен емитер не повече, мка . . . . .	30	15	15	15	15	—	5	—
$f_{\alpha}$ — гранична честота на усилване по ток не по-малко, кГц . . . . .	100	465	465	1000	1600	1	5	465
$C_k$ — капацитет на колектора не повече, пф .	65	60	60	60	60	—	5	465

## Пределни допустими величини

Ток на колектора в режим на усилване, ма . .	100	100	100	100	100			
Напрежение на колектора в схема с обща база при температура на корпуса до 50°C, в . . .	20	20	20	20	20			
Мощност, разсейвана от колектора, при температура на корпуса на триода $20 \pm 5^\circ\text{C}$ мвт . .	150	150	150	150	150			



Таблица 166

Параметри	Тип на триода						Режим на измерване		
	П13	П13А	П13Б	П14	П15	$I_e, \text{ма}$	$U_K, \text{в}$	$U_e, \text{в}$	$I_{изм.}, \text{мхи}$
$h_{12}$ — коефициент на обратната връзка по напрежение не повече	$5 \cdot 10^{-3}$	$6 \cdot 10^{-4}$	$6 \cdot 10^{-4}$	—	—	1	—5	—	1
$h_{21}$ — коефициент на усилване по ток не по-малко	0,92	0,97	0,92	0,95	0,95	1	—5	—	1
$h_{22}$ — изходяща проводимост не повече, $\text{мкмо}$	0,3	2,0	2,0	3,3	3,3	1	—5	—	1
$I_{ko}$ — обратен ток на колекторния преход при откачен емитер не повече, $\text{мка}$	30	30	10	30	30	—	—15	—	—
$I_{eo}$ — обратен ток на емитерния преход при откачен колектор не повече, $\text{мка}$	30	30	10	30	30	—	—	—15	—
$f_a$ — гранична честота на усилване по ток не по-малко, $\text{кхц}$	465	465	465	1000	2000	1	—5	—	465
$C_K$ — капацитет на колектора не повече, $\text{пф}$	50	50	50	50	50	1	—5	—	465
$F_{ш}$ — коефициент на шума не повече, $\text{дб}$	—	—	12	—	—	0,5	—1,5	—	1
$r_b$ — съпротивление на базата по висока честота не повече, $\text{ом}$	—	—	—	150	—	1	—5	—	465
Предельно допустимы величины									
Мощност, рассеиваемая от коллектора, при температуре на корпуса не по-малко от $50^\circ\text{C}$ , $\text{вт}$	150	150	150	150	150				
Напряжение на коллектора в схеме с общей базой при $1^\circ\text{C}$ на корпуса, $\text{в}$	до $50^\circ\text{C}$	—15	—15	—15	—15				
	до $85^\circ\text{C}$	—10	—10	—10	—10				
Ток на коллектора в режиме на усиление, $\text{ма}$	10	10	10	10	10				
Ток на коллектора (верхов), $\text{ма}$	50	50	50	50	50				
Ток на эмитера в режиме на усиление, $\text{ма}$	10	10	10	10	10				

Таблица 16в

Параметри	Тип на триода			Режим на измерване						
	П16	П16А	П16Б	$U_K, \text{e}$	$I_K, \text{ma}$	$I_E, \text{ma}$	$R_K, \text{ком}$	П16	П16А	П16Б
	$R_B, \text{ком}$									
$\beta_{21}$ — коэффициент на усилване по ток в схема с общ емитер . . . . .	20—30	30—45	45—100	1,0	10	—	—	—	—	—
$I_{K2}$ — ток на запущване триода не повече, $\text{мкА}$ . . . . .	25	25	25	1,5	—	—	—	—	—	—
$\alpha$ — гранична честота на усилване по ток не по-малко, $\text{МГц}$ . . . . .	1,0	1,0	1,0	5	—	1,0	—	—	—	—
$\tau$ — време на превключване не повече, $\text{нксек}$ . . . . .	2,0	1,5	1,0	15	—	—	1,5	6,8	10	15
$U_{KO}$ — остатъчно напрежение не повече, $\text{в}$ . . . . .	0,1	0,1	0,1	15	—	—	1,5	—	—	—
$U_B$ — падение на напрежението на базата не повече, $\text{в}$ . . . . .	0,3	0,3	0,3	15	—	—	1,5	—	—	—

## Предельно допустимы величины

Мощност, рассеиваемая на коллекторе, при температуре $20 \pm 5^\circ\text{C}$ . . . . .	150	150	150
Напряжение на коллекторе в схеме с общей базой, $\text{в}$ . . . . .	—30	—30	—30
Ток на коллекторе в режиме усиления, $\text{ма}$ . . . . .	—10	—10	—10
Ток на эмитере, $\text{ма}$ . . . . .	10	10	10
Ток в режиме на переключение, $\text{ма}$ . . . . .	50	50	50

Таблица 16г

Параметри	Тип на триода			Режим на измерване			
	П12	П406	П407	$I_e$ , ма	$U_k$ , в	$U_e$ , в	$f_{изм}$ , кХц
$h_{22}$ — изходна проводимост в схема с обща база не повече, мкмо . . .	2	2	2	1	—6	—	1
$h_{21}$ — коефициент на усилване не по-малко . . . . .	0,95	0,95	0,95	1	—6	—	1
$I_{k0}$ — обратен ток на колекторния преход при откачен емитер не повече, мка . . . . .	6	6	6	—	—6	—	—
$I_{e0}$ — обратен ток на емитерния преход при откачен колектор не повече, мка . . . . .	20	20	20	—	—	—6	—
$r_b$ — съпротивление на базата . . .	150	150	150	1	—6	—	1000
$C_k$ — капацитет на колектора не повече, пф . . . . .	20	20	20	1	—6	—	1000
$f_a$ — гранична честота на усилване по ток не повече, мгхц . . . . .	5	10	20	1	—6	—	—
$r_b C_k$ — времеконстанта във веригата на обратната връзка не повече, мкмсек . . . . .	2600	2500	3000	1	—6	—	1000

## Предельно допустимы величины

Мощность, рассеиваемая на коллектора . .  
 Напряжение на коллектора в схеме с  
 общ емитер, в . . . . .  
 Ток на коллектора, ма . . . . .  
 Ток на эмитера, ма . . . . .

30	30	30
—6	—6	—6
5	5	5
5	5	5

Таблица 16д

Параметри	Тип на триода				Режим на измерване		
	П101	П101А	П102	П103	$U_k, \text{в}$	$I_g, \text{ма}$	$f_{\text{изм}}, \text{хц}$
$h_{21}$ — коефициент на усилване по ток не по-малко . . . . .	0,9	0,9	0,98	0,9	5,0	1,0	50—1000
$h_{22}$ — изходна проводимост не повече, $\text{мкмо}$ . . . . .	3,3	3,3	2,0	3,3	5,0	1,0	50—1000
$I_{ko}$ — обратен ток на колекторния преход при откачен емитер не повече, $\text{мка}$ . . . . .	50	50	50	50	5,0	—	—
$f_a$ — гранична честота на усилване по ток не по-малко, $\text{мгхц}$ . . . . .	200	200	465	1000	5,0	1,0	—
$F_w$ — коефициент на шума не повече, $\text{дб}$ . . . . .	—	18	—	—	1,0	0,2	—

## Пределно допустими величини

Мощност, разсейвана от колектора, $\text{вт}$ . . . . .	150	150	150	150
Напрежение на колектора в схема с обща база при температура до $75^\circ\text{C}$ , $\text{в}$ . . . . .	20	10	10	10
Ток на колектора, $\text{ма}$ . . . . .	20	20	20	20
Ток на емитера, $\text{ма}$ . . . . .	20	20	20	20

Таблица 16е

Параметри	Тип на триода				Режим на измерване		
	П401	П402	П403	П403А	$I_e$ , ма	$U_K$ , в	$f$ изм, кГц
$h_{21}$ — коефициент на усилване по ток	не по-малко 0,94	не по-малко 0,94	0,97—0,99	0,94	5	—5	50—1000
$I_{KO}$ — обратен ток на колекторния преход при откачен емитер не повече мка . . . . .	10	5	5	5	—	—5	—
$f_M$ — максимална честота на генериране не по-малка, мГц . . . . .	30	60	120	120	5	—5	—
$C_K$ — капацитет на колектора не повече, пф . . . . .	15	10	10	10	—	—5	$5 \cdot 10^6$
$h_{22}$ — изходяща проводимост не повече мкмо . . . . .	5	5	5	5	5	—5	50—1000
$t_6 C_K$ — времекопстанта на веригата на обратната връзка не повече, мкмксек . . . . .	3500	1000	500	500	5	—5	$5 \cdot 10^6$

## Пределно допустими величини

Ток на колектора, <i>ма</i> . . . . .	10	10	10	10		
Напрежение на колектора при съпротивление във веригата на базата не повече от 1000 <i>ома</i> . . . . .	-10	-10	-10	-10		
Мощност, разсейвана на колектора, <i>мвт</i> . . . . .	50	50	50	50		

З а б е л ж к а. Параметрите се определят при  $t^{\circ}=20^{\circ}\text{C}$ .

## Германиеви диоди (европейски и американски)

Озна- чение	фирма производителя	Характеристични стойности					Гранични стойности				Еквивалент
		температура (°C)	ток в посока на про- пускане (mA)	при напрежение (V)	обратен ток (μA)	при напрежение (V)	максимално възро- во напрежение (V)	максимално трийно обр. напрежение (V)	максимален изправен ток (mA)	гранична честота (MHz)	
CK705	Ray	25	≥ 5	+1	≥ 50	-10	> 70	-60	50	200	1N66, 1N294, CK705A, CK705AP
CK706	Ray	25	—	—	≥ 200	-10	> 50	-40	35	200	CK706, OA160
CK707	Ray	25	≥ 3,5	+1	≥ 10	-5	—	—	35	200	1N297, OA150
CK708	Ray	25	≥ 3	+1	≥ 625	-100	> 128	-80	35	200	1N68, OA161 CK708P
CK710	Ray	CT	≥ 3	+0,5	≥ 200	-6	-10	-5	—	—	—
CK713	Ray	25	≥ 2	+1	≥ 250	-40	-75	-75	—	—	CK713P
CK746	Ray	25	≥ 2	+0,8	≥ 2	-10	-80	—	15	—	OA129
CK802	Ray	25	≥ 2	+0,8	≥ 2	-10	-60	—	15	—	OA150
OA5	V	25	+200	+0,8	-1,7	-10	-100	-100	60	—	—
OA31	TKD	CT	50	—	—	—	-2	—	—	1000	—
OA30/30	AEG	CT	≥ 3	0,4	≥ 3	-1,5	-30	—	30	—	—
OA31	V	35	3500	54ef	—	—	-75	—	11000	—	—
OA40/100	AEG	CT	≥ 5	+0,5	≥ 20	-10	-40	—	50	—	—
OA50	V	20	7,5	+1	≥ 30	-10	-75	-60	50	—	OA71
OA50/50	AEG	CT	≥ 3,5	+0,5	≥ 30	-10	-50	—	50	—	—
OA51	V	20	7,5	+1	≥ 7	-10	-75	-50	50	—	OA71
OA52	V	20	≥ 4	+1	≥ 50	-10	-90	-80	40	—	—
OA53	V	20	6	+1	≥ 320	-100	-120	-100	50	—	—
OA55	V	20	7	+1	≥ 5	-3	-120	-100	50	—	—
OA56	V	20	5,8	+1	≥ 50	-10	-85	-70	50	—	—

OA60	V	20	—	—	—	—	—30	—25	5	30	OA70
OA60/5	AEG	CT	$\geq 0,28$	$+0,25$	$\leq 2$	$-1,5$	—60	—	30	100	OA71
OA61	V	20	7,5	+1	—40	—50	—100	—85	5	—	OA60
OA70	V	25	9	+1	—30	—10	—22,5	—15	50	—	OA50, OA51, OA61
OA71	V	25	3	0,76	—85	—90	—90	—60	35	—	
		60	3	0,7	—230	—90	—75	—50	14	—	
OA72	V	25	0,1	0,2	—0,8	—1,5	—45	—30	35	—	
		10	10	1,4	130	—45	—45	—30	14	—	
OA73	V	25	0,1	0,15	—275	—30	—30	—20	50	—	
		60	8	0,7	—450	—30	—30	—20	21	—	
OA74	V	25	4	0,7	—200	—60	—60	—40	35	—	
OA79	V	25	0,1	0,23	0,35	—0,1	—45	—30	35	—	
		25	10	1,5	4,5	—10	—45	—30	35	—	
		25	30	2,8	90	—45	—45	—30	35	—	
		60	0,1	0,16	4,5	—0,1	—45	—30	15	—	
		60	10	1,4	16	—10	—45	—30	15	—	
		60	30	2,6	170	—45	—45	—30	15	—	
OA80/10	AEG	CT	$\geq 1,5$	0,5	$\leq 20$	—10	—80	—	40	100	
		10	10	1	500	—80	—	—	—	100	
OA81	V	25	10	1,4	$\leq 4$	—10	—115	—90	50	—	
		60	10	1,3	$\leq 20$	—10	—100	—75	17	—	
OA85	V	25	10	1,15	$\leq 7$	—10	—115	—90	50	—	
		60	10	1,05	$\leq 430$	—100	—100	—75	17	—	
OA86	V	25	0,1	0,18	1,3	—1,5	—90	—60	35	—	
		25	10	1,12	2,5	—10	—90	—60	35	—	
		60	0,1	0,1	9	—1,5	—90	—60	15	—	
		60	1,02	10	20	—10	—90	—60	15	—	
OA90	V	25	0,1	0,18	2,4	—1,5	—30	—20	10	40	
		25	10	1	20	—10	—30	—20	10	40	
		60	0,1	0,12	11	—1,5	—30	—20	10	40	
		60	10	0,95	45	—10	—30	—20	10	40	
OA91	V	25	0,1	0,18	2,5	—1,5	—115	—90	15	—	
		25	10	1,2	4	—10	—115	—90	15	—	
		60	0,1	0,11	15	—1,5	—115	—90	5	—	
		60	10	1,05	20	—10	—115	—90	5	—	



Озна- чение	фирма производител	Характеристични стойности					Гранични стойности				Еквивалент
		температура (°C)	ток в посока из- пускане (mA)	при напрежение (V) $U_{a1}$	обратен ток (mA)	при напрежение (V) $U_{a2}$	максимално върхово напрежение (V)	максимално трайно обр. напрежение (V)	максимален изправен ток (mA)	граница честота (MHz)	
OA95	V	25	0,1	0,18	1,2	—1,5	—115	—90	15	—	
		25	10	1,05	2,5	—10	—115	—90	15	—	
		60	0,1	0,1	12	—1,5	—115	—90	5	—	
OA100/30	AEG	60	10	0,95	17	—10	—115	—90	5	—	
	CT	3	0,5	0,5	15	—	—	—	—	—	
		100	1,5	1,5	1200	—100	—	—	—	—	
OA126/5	Tel	25	1	0,75	0,01	1	4,4	—	—	—	
		25	10	0,85	0,01	1	4,4	—	—	—	
		25	100	1,0	0,01	1	4,4	—	—	—	
OA126/6	Tel	25	1	0,75	0,01	1	5,4	—	—	—	
		25	10	0,85	0,01	1	5,4	—	—	—	
		25	100	1	0,01	1	5,4	—	—	—	
OA126/7	Tel	25	1	0,75	0,01	1	6,4	—	—	—	
		25	10	0,85	0,01	1	6,4	—	—	—	
		25	100	1	0,01	1	6,4	—	—	—	
OA126/8	Tel	25	1	0,75	0,01	1	6,4	—	—	—	
		25	10	0,85	0,01	1	6,4	—	—	—	
		25	100	1	0,01	1	6,4	—	—	—	
OA126/9	Tel	25	1	0,75	0,01	1	8,4	—	—	—	
		25	10	0,85	0,01	1	8,4	—	—	—	
		25	100	1	0,01	1	8,4	—	—	—	

OA126/10	Tel	25	1	0,75	0,01	1	9,4			
		25	10	0,85	0,01	1	9,4			
		25	100	1	0,01	1	9,4			
OA126/11	Tel	25	1	0,75	0,01	1	10,4			
		25	10	0,85	0,01	1	10,4			
		25	100	1	0,01	1	10,4			
OA126/12	Tel	25	1	0,75	0,01	1	11,4			
		25	10	0,85	0,01	1	11,4			
		25	100	1	0,01	1	11,4			
OA126/14	Tel	25	1	0,75	0,01	1	12,4			
		25	10	0,85	0,01	1	12,4			
		25	100	1	0,01	1	12,4			
OA126/18	Tel	25	1	0,75	0,01	1	15,9			
			10	0,85	0,01	1	15,9			
			100	1	0,01	1	15,9			
OA127	Tel	25	50	1	0,1	-10	20	—	—	—
OA128	Tel	25	50	1	0,1	-10	35			
OA129	Tel	25	40	1	0,1	-10	75			
OA130	Tel	25	40	1	0,1	-10	135			
OA131	Tel	25	30	1	0,1	-10	230			
OA132	Tel	25	2	1	0,1	-10	320			
OA150	Tel	25	4	1	20	-10	-110	-100	20	—
		60	—	—	200	-60	-100	-90	20	
OA150/5	AEG	CT	1	0,5	30	-30	-150	—	30	100
			5	1	1000	-150	-150	—	30	100
OA150/10	AEG	CT	1,5	0,5	30	-30	-150	—	40	100
			10	1	1000	-150	-150	—	40	100
OA154Q	Tel	25	4	1	20	— 5	—55	-50	20	
		60					—45	-40	20	
OA159	Tel	25	6	1	50	-10	-40	-30	5	39
OA160	Tel	25	6	1	100	-10	-25	-15	5	39
OA161	Tel	25	2,5	1	40	-30	-140	-130	20	—
OA172	Tel	25	5	1	209	-30	-40	-30	1,5	—
OA173	Tel	25	8	1	100	-60	-70	—	5	—

Означе- ние	фирма производител	Характеристични стойности					Гранични стойности				Еквивалент
		температура (°C)	ток в посока на про- пускаване (mA)	при напрежение (e)	обратен ток (mA)	при напрежение (e)	максимално върхово напрежение (e)	максимално трайно обр. напрежение (e)	максимален изправен ток (mA)	гранична честота (MHz)	
OA174	Tel	25	4	1	20	-5	-70	-55	20	—	1N107, 1N109, 1N148, CK740, CK741, T13G 1N95, 1N96, 1N140, HD2055, CK739, T1
OA180	Tel	60	100	0,75	40	-10	-60	-45	20	—	
OA182	Tel	25	10	0,35	3	-10	-100	-80	150	—	
OA186	Tel	25	5	1	4	-10	-90	-60	10	—	
		25	5	1	6	-20	-90	-60	10	—	
		25	5	1	100	-90	-90	-60	10	—	
QA200	V	25	0,1	0,53	0,05	-50	-50	-50	50	—	
			10	0,8	0,05	-50	-50	-50	50	—	
			30	0,9	0,05	-50	-50	-50	50	—	
OA202	V	25	0,1	0,53	0,05	-150	-150	-150	30	—	
			10	0,8							1N21A 1N21B 1N26 1N31
			30	0,9							
OA210	V	70	10	0,64	25	-60	-400	—	500	—	
			100	0,8	30	-110					
			500	1,05	45	-400					
1N21A	Sy	CT	0,4	1	—	—	—	—	—	3060	
1N21B	Sy	CT	0,4	1	—	—	—	—	—	3060	
1N26	MA	CT	0,5	1	—	—	—	—	—	23948	
1N31	Sy	CT	—	—	—	—	-5	—	—	9375	

1N32	Sy	CT	—	—	—5	—	—	3275	OA150
1N34	FTR	25	—5	—50	—10	>75	—60	50	OA150
1N34A	Bo	25	—5	—30	—10	>75	—60	50	OA150
1N38	FTR	25	—3	—6	—3	>120	—100	50	OA161
1N38A	Hy	25	—4	—5	—3	>120	—100	50	OA161
1N44	WE	CT	—3	>1000	—50	>120	—115	35—40	OA161
1N45	WE	CT	—3	>410	—50	>75	—75	35—40	OA150
1N46	WE	CT	—3	>1500	—50	>60	—50	40	OA174
1N47	WE	CT	—3	>4	—3	>115	—115	30	OA150
1N48	GE	25	—4	>833	—50	—85	—70	50	OA150
1N51	GE	25	2,5	>1667	—50	>50	—40	25	OA174
1N52	GE	25	—4	>150	—50	>85	—70	50	OA150
1N54A	Hy	25	—5	>7	—10	>75	—50	50	OA150
1N57A	Kp	CT	—4	>500	—75	>90	—80	40	OA150
1N58	FTR	25	—4	>800	—100	>120	—100	50	OA161
1N58A	Hy	25	—4	>600	—100	>120	—100	50	OA161
1N60	Bo	25	+0,05	>30	—1,5	>30	—25	50	OA160
1N61	Kp	CT	—5	>300	—100	—140	—130	—	OA161
1N63	GE	25	—4	>50	—50	>125	—100	50	OA161
1N64	GE	25	—0,05	>25	—1,3	>25	—20	40—50	OA160
1N65	GE	25	2,5	>200	—50	—85	—70	50	OA150
1N66	Ray	25	—5	>50	—10	>70	—60	50	OA150
1N67	Ray	25	—4	>5	—5	>100	—80	35	OA150
1N68	Ray	25	—3	>625	—100	>128	—80	35	OA161
1N68A	Hu	25	—3	>625	—100	>130	—100	—	OA161
1N70	GE	25	—3	>25	—10	—125	—100	30	OA161
1N70A	Hu	25	—3	>10	—10	—130	—	—	OA161
1N75	GE	25	2,5	>50	—50	—125	—100	50	OA161
1N81	GE	25	—3	>10	—10	—50	—40	30	OA159
1N88	Amp	CT	2,5	>100	—50	>100	—85	5	OA161
1N89	Hu	25	3,5	>8	—5	>100	—80	—	OA150
1N90	Hu	25	—5	>800	—50	—75	—60	—	OA174
1N95	Hu	25	10	>800	—50	—75	—60	—	OA182
1N96	Hu	25	20	>800	—50	—75	—60	—	OA182
1N97	Hu	25	10	>8	—5	—100	—80	—	OA182
1N97A	RRC	25	20	>8	—5	—100	—	—	OA182

Означе- ние	фирма произво- дителя	Характеристични стойности					Гранични стойности				Еквивалент
		температура (°C)	ток в посока на про- пускане (mA)	при напрежение (e)	обратен ток (mA)	при напрежение (e)	максимално върхово напрежение (e)	максимално трайно обр. напрежение (e)	максимален изправен ток (mA)	гранична честота (MHz)	
1N98	Hu	25	20	1	8	-5	-100	-80	—	—	OA182
1N98A	RRC	25	40	1	8	-5	-100	—	—	—	OA182
1N99	Hu	25	10	1	5	-5	-100	-80	—	—	OA182
1N100	Hu	25	20	1	5	-5	-100	-80	—	—	OA182
1N107	Hu	CT	150	1	200	-10	—	-10	—	—	OA180
1N108	Hu	CT	50	1	200	-50	—	-50	—	—	OA182
1N109	Hu	25	8,5	1	20	-3	-20	-15	50	—	OA180
1N111	Sy	25	5	1	25	-10	-75	-70	25	—	OA186
1N112	Sy	25	5	1	25	-10	-75	-60	25	—	OA186
1N113	Sy	25	2,5	1	25	-10	-75	-60	25	—	OA186
1N114	Sy	25	2,5	1	50	-10	-75	-60	25	—	OA186
1N115	Sy	25	2,5	1	100	-10	-75	-60	25	—	OA186
1N116	Hu	25	5	1	100	-50	-75	-60	—	—	OA174
1N119	Sy	25	5	1	—	—	-75	-60	25	—	OA186
1N124	Ge	CT	10	0,75	—	—	—	—	25	—	—
1N127	Hu	25	3	1	25	-10	-125	-100	30	—	OA161
1N128	Hu	25	3	1	10	-10	-50	-40	30	—	OA174
1N137	Sy	25	3	1	0,03	-20	-40	-36	—	—	OA128, 1N137A
1N137B	Tr	25	20	1	0,03	-20	—	-86	—	—	OA128
1N138	Sy	25	5	1	0,01	-10	-20	-16	—	—	OA127, 1N138A
1N139	Ge	25	—	1	1500	-50	-50	-40	70	—	OA182
1N140	Ge	25	40	1	300	-50	-35	-70	85	—	OA182

1N141	Ge	25	$\nabla 20$	1	$\nabla 50$	-50	-85	-70	70		OA182
1N148	Hy	CT	$\nabla 0,26$	0,25	$\nabla 350$	-10	-20	-15	-	-	OA130
1N191	Hu	25	$\nabla 5$	1	$\nabla 25$	-10	-70	-90	-	-	OA186
1N192	Hu	25	$\nabla 5$	1	$\nabla 50$	-10	-70	-70	-	-	OA186
1N270	Tr	25	$\nabla 200$	1	$\nabla 100$	-50	-	-60	-	-	OA182
1N279	Tr	25	$\nabla 100$	1	$\nabla 200$	-20	-	-30	-	-	OA182
1N283	Tr		$\nabla 200$	1	$\nabla 20$	-10	-	-20	-	-	OA180
1N295	Ray	25	-		$\nabla 200$	-10	40	-	35	-	OA159
1N297	Ray	25	$\nabla 3,5$	1	$\nabla 10$	-10	-80	-	-	-	OA150
1N300	Ray	25	+8	1	$\nabla 0,001$	-10	-15	-12	40	-	OA127
1N301	Ray	25	+5	1	$\nabla 0,01$	-10	-70	-60	35	-	OA129
1N302	Ray	25	+1	1	$\nabla 0,01$	-10	-225	-215	25	-	OA131
1N303	Ray	25	+3	1	$\nabla 0,01$	-10	-125	-115	300	-	OA130
1N305	Ray	25	100	0,8	$\nabla 2$	-10	-	-60	125	-	OA182
1N308	Ray	25	300	1	$\nabla 500$	-8	-	-10	100	-	OA180
1N309	Ray	25	100	1	$\nabla 100$	-20	-	-40	100	-	OA182
1N312	Ray	25	30	1	$\nabla 50$	-50	-	-60	70	-	OA182
1N350	Tr	25	$\nabla 20$	1	$\nabla 0,03$	-60	-	-70	-	-	OA129
1N351	Tr	25	$\nabla 8$	1	$\nabla 0,03$	-100	-	120	-	-	OA130
1N352	Tr	25	$\nabla 5$	1	$\nabla 0,05$	-150	-	-170	-	-	OA131
1N353	Tr	25	$\nabla 3$	1	$\nabla 0,1$	-200	-	225	-	-	OA131
1N354	Tr	25	$\nabla 1$	1	$\nabla 0,1$	-300	-	-325	-	-	OA132
1N432	Ray	25	+10	1	$\nabla 0,005$	-10	-40	-	40	-	OA128
1N433	Ray	25	+3	1	$\nabla 0,03$	-10	-145	-	30	-	OA130
1N434	Ray	25	+2	1	$\nabla 0,05$	-10	-180	-	30	-	OA131
1N460	Ray	25	$\nabla 5$	1	$\nabla 0,1$	-75	-90	-	-	-	OA130

Съкратени означения на фирмите производители :

AEG — Allgemeine Elektricitäts-Gesellschaft  
 Amp — Amperex Electronic Corporation  
 Bo — Bomac Laboratories  
 FTR — Federal Telephon and Radio Corp.  
 GE — General Electric Co.  
 Hu — Hughes Aircraft Co.  
 Hy — CBS-Hytron  
 Kp — Kemtron Elektron Products

Ray — Raytheon Mtg. Co.  
 RRC — Radio Receptor Co.  
 Sy — Sylvania Electric Products.  
 Tel — Telefunken.  
 TKD — Tekade AG  
 Tr — Transifron, Electronic Corp.  
 V — Valvo

Означение	Фирма производител	приложение	Основни параметри							
			колекторно напрежение ( $\delta$ )	емитерен ток ( $\mu A$ )	колекторен ток ( $\mu A$ )	гранична работна честота (МГц)	коэффициент на шума ( $\delta\delta$ )	$h_{11}, r_{11}^2, h_{10}^4, R_e^5$	$h_{12}, r_{12}^2, h_{10}^4, R_g^5$	$h_{21}, r_{21}^2, h_{10}^4$
1	2	3	4	5	6	7	8	9	10	11
AC105 — p-n-p	Tel	мчу	—6	—	3	—	—	—	—	—
AC106 — p-n-p	"	нчу	—6	—	3	—	—	—	—	—
AF101 — p-n-p	"	вчу, мчу	6	—	—0,5	9	—	—	—	—
AF105 — p-n-p	"	мчу	6	—	—0,5	55	—	—	—	—
CK721 — p-n-p	Ray	нчу	—6	+2	—2	—	—	20 <sup>5</sup>	350 <sup>5</sup>	0,975
CK723 — p-n-p	"	"	—1,5	+0,5	0,5	0,8	22	25 <sup>5</sup>	700 <sup>5</sup>	—
CK725 — p-n-p	"	"	—6	—	—2	—	—	25 <sup>5</sup>	150 <sup>5</sup>	0,90
CK727 — p-n-p	"	"	—	—	—	—	25	25 <sup>5</sup>	350 <sup>5</sup>	—
CK761 — p-n-p	"	преобр.	—	—	—	—	20	25 <sup>5</sup>	1500 <sup>5</sup>	—
CK870 — p-n-p	"	нчу	—1,5	—	0,5	—	12	50 <sup>5</sup>	800 <sup>5</sup>	—0,975
CK882 — p-n-p	"	"	—	—	—	—	—	—	700 <sup>5</sup>	—
CK888 — p-n-p	"	"	—	—	—	—	—	—	—	—
СТР1032 — p-n-p	Clev	"	—	—	—	—	—	—	—	—
СТР1033 — p-n-p	"	"	—	—	—	—	—	—	—	—
СТР1104 — p-n-p	"	"	—14	—	—500	0,02	—	—	—	—
СТР1108 — p-n-p	"	"	—7	—	—500	0,02	—	—	—	—
СТР1109 — p-n-p	"	"	—7	—	—500	0,02	—	—	—	—
СТР1111 — p-n-p	"	"	—14	—	—500	0,02	—	—	—	—

метри		Предельно допустимы стойности								Еквивалент
$b_{22}, r_{22}^3, \text{hov}^4, R_K^5$	коэффициент на усил. по ток при заземен эмитер ( $\beta$ )	развясена мощност ( $\text{мвт}$ )	коллекторно върхово напряжение ( $\text{в}$ )	коллекторен върхов ток ( $\text{мa}$ )	эмитерен ток ( $\text{мa}$ )	максимална температура ( $^{\circ}\text{C}$ )	капацитет на коллекто- ра ( $\text{пф}$ )	свързване (BB — обща база ; CB — общ ко- ллектор ; EB — общ эмитер)		
12	13	14	15	16	17	18	19	20	21	
—	—	400	—40	1000	—	75	75	—	—	
—	—	400	—40	1000	—	75	—	—	—	
—	—	30	—20	—	0,5	75	21	—	—	
—	—	30	—25	—	—	75	100	—	—	
0,7 <sup>5</sup>	29	33	—22	—10	+10	30	—	BB	—	
2 <sup>5</sup>	36	—	—	—	—	30	—	EB	—	
0,5 <sup>5</sup>	—	33	—22	—10	+10	50	—	BB	OC602	
2 <sup>5</sup>	22	—	—	—	—	50	—	EB	—	
2 <sup>5</sup>	90	33	—22	—10	+10	50	—	EB	—	
—	—	30	—6	—10	+10	50	—	EB	—	
1 <sup>5</sup>	45	—	—	—	—	50	—	EB	—	
—	45	130	—30	—200	—	—	—	EB	—	
—	10	100	—25	—100	—	—	—	—	OC44, 2N137, SFT108	
—	90	100	—12	—10	—	—	—	—	OC70, 2N186, SFT101	
—	30	100	—12	—20	—	—	—	—	OC75, 2N192, SFT103	
—	13	75	—25	—40	—	—	—	—	OC70, 2N187, SFT101	
—	25	75	—25	—40	—	—	—	—	OC70, 2N186, SFT101	
—	25	9000	—40	3000	—	75	—	EB	OC70, 2N186, SFT101	
—	25	9000	—12	3000	—	—	—	EB	2N57, GET8,	
—	60	9000	—12	4000	—	—	—	EB	2N57, GET7,	
—	25	9000	—50	3000	—	—	—	—	2N57, GET7,	
									2N57	



Означение	фирма производител	Приложение	О с н о в н и п а р а -							
			коллекторно напрежение (в)	емитерен ток (ма)	коллекторен ток (ма)	граница работна честота (мгхц)	коэффициент на шума (дб)	$\delta_1^5, \delta_2^5, \delta_3^5, \delta_4^5, \delta_5^5, \delta_6^5, \delta_7^5, \delta_8^5, \delta_9^5, \delta_{10}^5, \delta_{11}^5, \delta_{12}^5, \delta_{13}^5, \delta_{14}^5$	$\delta_1^5, \delta_2^5, \delta_3^5, \delta_4^5, \delta_5^5, \delta_6^5, \delta_7^5, \delta_8^5, \delta_9^5, \delta_{10}^5, \delta_{11}^5, \delta_{12}^5, \delta_{13}^5, \delta_{14}^5$	$\delta_1^5, \delta_2^5, \delta_3^5, \delta_4^5, \delta_5^5, \delta_6^5, \delta_7^5, \delta_8^5, \delta_9^5, \delta_{10}^5, \delta_{11}^5, \delta_{12}^5, \delta_{13}^5, \delta_{14}^5$
1	2	3	4	5	6	7	8	9	10	11
СТР1509 p-n-p	Clev	нчу	—	—	—5000	0,004	—	—	—	—
GET3 — p-n-p	GEA	"	—	—	—	—	—	—	—	—
GET4 — p-n-p	"	"	—	—	—	—	—	—	—	—
GET5 — p-n-p	"	"	-4	—	-50	0,9	—	—	—	—
GET6 — p-n-p	"	"	—	—	—	1	3	—	—	—
GET7 — p-n-p	"	"	—	—	—	—	—	—	—	—
GFT20 — p-n-p	TKD	"	-3	+1	1	0,8	20	$40^5$	$8 \cdot 10^{-4}$	-0,96
GFT21 — p-n-p	"	"	-3	+3	3	0,9	20	$1300^5$	$4,5 \cdot 10^{-4}$	0,90
GFT2006 — p-n-p	"	"	-6	—	500	—	—	—	—	0,96
GFT4012 — p-n-p	"	"	-2	—	250	—	—	—	—	—
OC16 — p-n-p	Tel	"	—	—	—	—	—	—	—	—
OC22 — p-n-p	"	"	10	—	-400	2,5	—	—	—	—
OC23 — p-n-p	"	"	-10	—	—	2,5	—	—	—	—
OC24 — p-n-p	"	"	-10	—	—	2,5	—	—	—	—
OC26 — p-n-p	"	"	-6	—	1000	0,0045	—	—	—	—
OC23 — p-n-p	"	"	-6	—	1000	0,02	—	—	—	—
OC29 — p-n-p	"	"	—	—	6000	—	—	—	—	—
OC30 — p-n-p	"	"	-6	—	100	0,3	—	—	—	—
OC35 — p-n-p	"	изпр.	14	—	-6000	—	—	—	—	—
OC36 — p-n-p	"	"	-28	—	-6000	—	—	—	—	—
OC44 — p-n-p	"	осц.	-6	1	—	15	—	$900^5$	$0,4 \cdot 10^{-4}$	20—
OC45 — p-n-p	"	мчу	-6	1	—	6	—	$1400^5$	$0,65 \cdot 10^{-4}$	10—

М Т Н			Пределно допустими стойности							Еквивалент
12	13	14	15	16	17	18	19	20		
$I_{\text{нз}}, I_{\text{зз}}, I_{\text{зз}}, I_{\text{зз}}, I_{\text{зз}}$	коэффициент на усил. по ток при заземен емитер $\beta$	разсеяна мощност (мвт)	колекторно върхово напрежение (в)	колекторен върхов ток (ма)	емитерен ток (ма)	максимална темпера- тура (°C)	капацитет на колекто- ра (пф)	свързване (BB — обща база; CB — общ ко- лектор; EB — общ емитер)	21	
2μs 80μs	60	65000	—100	—13000	—	—	—	—	OC71, 2N188, SFT102 OC71, 2N188, 2N191 OC602S OC71, 2N189, SFT102 OD605, CTP1109 OC70, 2N186, SFT101 OC75, 2N192, SFT103 OC16, SFT113 OD605, 2N301, CTP 1109 OD603, 2N84A	
	30	50	—30	—100	—	—	—	—		
	50	150	—30	70	—	—	—	—		
	40	400	—40	—350	—	—	—	—		
	55	50	—12	—50	—	—	—	—		
	40	20000	—15	—8000	—	—	—	—		
	25	50	25	—10	—	—	BB	—		
	44	50	15	—10	—	—	EB	—		
	35	6000	—10	2000	—	—	—	—		
	50	12000	—20	—4000	—	—	—	—		
36μs 110μs	40	5000	—32	—3000	—	—	—	—	2N257, SFT113 2N57, 2N268, SFT150 2N173, 2N268, SFT150 2N68, 2N101, OD603 — — — OC410, OC613, 2N137, SFT108 OC400, OC612, 2N136, CK760	
	—	—	24	—1000	—	—	170	—		
	—	—	—24	—1000	—	—	170	—		
	—	—	—24	—1000	—	—	170	—		
	20	12500	—32	—3500	—	—	—	—		
	30	30000	—80	—6000	—	75	160	—		
	50	30000	—60	—6000	—	—	165	—		
	30	3500	—32	—1400	—	75	—	—		
	—	—	—60	—6000	—	75	160	—		
	—	—	—80	—6000	—	75	160	—		

Означения	Фирма произво- дителя	Приложение	О с н о в н и п а р а -							
			коллекторно напря- жение (е)	эмитерен ток (ма)	коллекторен ток (ма)	гранична работна частота (мгхц)	коэффициент на шума (дб)	$r_{11}^3 \cdot r_{11}^4 \cdot R_e^5$	$r_{12}^3 \cdot r_{12}^4 \cdot R_b^5$	$r_{12}^4 \cdot r_{12}^5$
1	2	3	4	5	6	7	8	9	10	11
OC46 — p-n-p	Тѳ1	изпр.	—5	1	—	3	—	1700 <sup>5</sup>	0,75 · 10 <sup>-4</sup>	20
OC47 — p-n-p	"	"	—5	1	—	4,5	—	1700 <sup>5</sup>	0,75 · 10 <sup>-4</sup>	20
OC57 — p-n-p	"	нчу	—0,5	0,25	—	0,01	—	—	—	—
OC58 — p-n-p	"	"	—0,5	0,25	—	0,01	—	—	—	—
OC59 — p-n-p	"	"	—0,5	0,25	—	0,01	—	—	—	—
OC60 — p-n-p	"	"	—2	0,5	—	—	15	—	—	—
OC70 — p-n-p	"	"	—2	0,5	—	0,015	—	2200 <sup>5</sup>	10 · 10 <sup>-4</sup>	30
OC71 — p-n-p	"	имп. ус.	—2	3	—	0,01	10	850 <sup>5</sup>	5 · 10 <sup>-4</sup>	47 <sup>5</sup>
OC72 — p-n-p	"	нчу	—6	1,5	—4	0,350	15	—	—	—
OC74 — p-n-p	"	"	—6	50	—	0,5	30	—	—	—
OC75 — p-n-p	"	имп. ус.	—2	—	—3	—	—	—	—	—
OC76 — p-n-p	"	"	—6	1,0	—	0,350	—	—	—	—
OC77 — p-n-p	"	нчу	—6	1,0	—	—	—	—	—	—
OC79 — p-n-p	"	"	—6	—	—5	0,02	15	—	—	—
OC80 — p-n-p	"	имп. осц.	—6	1,0	—	2	—	—	—	—
OC130 — p-n-p	"	нчу	—2	0,5	—	—	20	70 <sup>5</sup>	4 · 10 <sup>-4</sup>	0,97
OC139 — p-n-p	"	мчу	—5	3	—	3,5	—	—	—	—
OC140 — p-n-p	"	"	—5	3	—	4,5	25	—	—	—
OC141 — p-n-p	"	"	—5	3	—	9	25	—	—	—
OC169 — p-n-p	"	"	—6	1	—	70	5	—	—	—
OC170 — p-n-p	"	"	—6	1	—	60	4	—	—	—
OC171 — p-n-p	"	вчу	6	1	—	100	9	—	—	—

10 Наръчник на радиолюбители

м е т р и		Пределно допустими стойности								Еквивалент
$I_{p22}, \text{ } ^3, \text{ } ^{22}, \text{ } \text{ноб}^4, \text{ } \text{p}_k^5$	коэффициент на усил. по ток при заземлен емитер $\beta$	разсеяна мощност (мвт)	колекторно върхово напрежение (в)	колекторен върхов ток (ма)	емитерен ток (ма)	максимална температура (°C)	капацитет на колектора (пф)	съхраняване (ВВ) — обща база; СВ — общ колектор; ЕВ — общ емитер)		
12	13	14	15	16	17	18	19	20		21
145μs	—	—	—20	—100	—	75	—	—	—	—
145μs	—	—	—20	—100	—	75	—	—	—	—
—	10	10	—7	—5	—	55	—	—	—	OC340, OC624
—	65	10	—7	—5	—	55	—	—	—	OC340, OC350, OC624
—	90	10	—7	—5	—	55	—	—	—	OC350
—	—	10	—7	—5	—	55	—	—	—	—
23μs	—	125	—32	—10	—	75	—	—	—	OC602, 2N34, SFT101
80μs	50	125	—30	—10	—	75	—	—	—	OC603, 2N104, 2N268
—	60	165	—32	—250	—	75	—	—	—	OC604S, 2N132, SFT123
—	100	500	—20	—300	—	75	—	—	—	2N204, 2N249, SFT131
—	75	125	—32	—10	—	75	—	—	—	OC604, 2N192, SFT103
—	60	100	—32	—125	—	75	—	—	—	2N188, SFT102, OC71
—	45	165	—60	—125	—	75	—	—	—	OC450, 2N43, CK791
—	—	—	—26	—300	—	75	—	—	—	—
—	60	550	—32	—300	—	75	—	—	—	SFT131, GET5
0,33μs	30	50	—20	—10	—	45	—	—	—	OC71, SFT102, 2N187, 2N190
—	20	100	—20	—200	—	75	—	—	—	2N167, 2N585
—	50	100	—20	—250	—	75	—	—	—	2N167, 2N585
—	100	100	—20	—200	—	75	—	—	—	2N167
—	—	50	—20	—10	—	75	—	—	—	—
—	80	50	—20	—10	—	75	—	—	—	—
—	—	50	—20	—10	—	75	—	—	—	—

Означение	Фирма произве- дителя	Приложение	О с н о в н и п а р а							
			колекторно на- прежение $U_0$	емитерен ток ( $mA$ )	колекторен ток ( $mA$ )	гранична работна честота ( $MHz$ )	коэффициент на шума ( $dB$ )	$\mu_{11}, r_{11}^3, h_{11}^4, R^5$	$\mu_{12}, r_{12}^3, h_{12}^4, R^5$	$\mu_{21}, r_{21}^3, h_{21}^4$
1	2	3	4	5	6	7	8	9	10	11
OC200 — p-n-p	Tel	нчу	—6	—	—1	1	8	—	—	—
OC201 — p-n-p	"	"	—6	—	—1	4	6	—	—	—
OC360 — p-n-p	Intm.	"	—5	1	—	—	9	40 <sup>5</sup>	$3 \cdot 10^{-4}$	—0,95
OC390 — p-n-p	"	вчу	—5	1	—	—	—	300 <sup>5</sup>	$6 \cdot 10^{-4}$	$\geq 20$
OC430 — p-n-p	"	нчу	—5	1	—	—	—	900	$10^{-3}$	15
OC440 — p-n-p	"	"	—5	1	—	—	—	900	$10^{-3}$	15
OC450 — p-n-p	"	"	—5	1	—	—	—	1100	$6 \cdot 10^{-4}$	20
OC460 — p-n-p	"	"	—5	1	—	—	—	1400	$7 \cdot 10^{-4}$	30
OC470 — p-n-p	"	"	—5	1	—	—	—	1400	$7 \cdot 10^{-4}$	30
OC602 — p-n-p	"	"	—1	1	—2	1	5	700 <sup>5</sup>	$8 \cdot 10^{-4}$	35
OC602S — p-n-p	"	"	—6	—	—2	—	10	—	—	—
OC603 — p-n-p	"	"	—1	1	—2	1,1	6	19	$8 \cdot 10^{-4}$	0,98
OC604 — p-n-p	"	"	—1	1	—2	—	10	19	$7 \cdot 10^{-4}$	0,985
OC604S — p-n-p	Tel	"	—0,5	—	—100	—	—	—	—	—
OC613 — p-n-p	"	"	—0,5	—	—5	—	10	800	200 <sup>5</sup>	—
OC614 — p-n-p	"	вчу	—6	—	—0,5	25	8	160 <sup>5</sup>	—	—
OC615 — p-n-p	"	укв ус.	—6	—	—1	80	7	35 <sup>5</sup>	—	—
OC622 — p-n-p	"	нчу	—1	—	—2	—	10	20 <sup>5</sup>	$8 \cdot 10^{-4}$	0,973 <sup>5</sup>
OC623 — p-n-p	"	"	—1	—	—2	1,1	5	19 <sup>5</sup>	$8 \cdot 10^{-4}$	0,98 <sup>5</sup>
OC624 — p-n-p	"	"	—1	—	—2	—	10	19 <sup>5</sup>	$7 \cdot 10^{-4}$	0,985 <sup>5</sup>
OD603 — p-n-p	"	"	—6	—	—500	—	—	20 <sup>5</sup>	—	—
OD603/50 — p-n-p	"	"	—1	—	—100	—	—	—	—	—

м е т р и		Пределно допустими стойности								Еквивалент
$h_{22}$ , $g_{22}$ , $h_{ob}$ , $R_g^b$	коэффициент на усил. по ток при заземлен емитер $\beta$	коллекторно върхово напряжение (е)	разсеяна мощност (мвт)	коллекторен върхов ток (ма)	емитерен ток (ма)	максимална температура (°C)	емитерен ток (ма)	емитерен ток (ма)	емитерен ток (ма)	
12	13	14	15	16	17	18	19	20	21	
—	—	—	—25	—50	—	150	—	—	—	—
—	20	100	—25	—50	—	150	50	—	—	—
1μs	30	35	—15	—10	10	65	—	—	—	OC57, OC623
32μs	30	45	—20	—10	10	65	—	—	—	OC45, SFT106, 2N135
50μs	15	200	—10	—50	—	150	—	EB	—	OC72, 2N186A, 2N205
30μs	15	200	—30	—50	—	150	—	EB	—	OC72, 2N186A, 2N205
25μs	20	200	—75	—50	—	150	—	EB	—	OC77, 2N261
70μs	30	200	—10	—50	—	150	—	EB	—	OC72, 2N186A, 2N205
40μs	30	200	—30	—50	—	150	—	EB	—	OC72, 2N186A, 2N205
85μs	40	50	—20	—50	—	—	—	EB	—	OC70, 2N187, 2N190, SFT101
—	40	175	—30	—500	—	75	—	—	—	OC72, 2N187A, GFT32
1,7μs	41	50	—20	—20	20	75	—	BB	—	—
1,4μs	43	50	—30	—50	—	75	—	BB	—	—
—	50	175	—30	—500	—	—	—	EB	—	OC72, 2N187A
—	45	30	—15	—	—	75	—	EB	—	OC44, 2N137, SFT108
—	60	30	—25	—	—	75	100	—	—	—
—	—	30	—25	—	—	75	21	—	—	—
1,7μs	40	30	—15	—	—	75	—	—	—	OC57, OC340
1,7μs	40	30	—15	—	—	75	—	—	—	OC57, OC360
1,4μs	44	30	—15	—20	—	75	—	BB	—	OC57, OC340
—	30	4000	—30	—3000	—	75	—	EB	—	OC16, SFT113
—	—	4000	—50	—1000	—	75	—	—	—	—

Означение	Фирма производител	Приложение	Основни параметри							
			колекторно напрежение (e)	емитиран ток (ма)	колекторен ток (ма)	гранична работна честота (Мгца)	коэффициент на шума (дб)	$h_{11}, \frac{U}{I}$ , $h_{12}, R_e^5$	$h_{21}, \frac{I}{I_2}$ , $h_{22}, R_b^5$	$h_{21}, \frac{I}{I_2}$ , $h_{22}, R_b^4$
I	2	3	4	5	6	7	8	9	10	11
OD604 — p-n-p . . . . .	Tel	нчу	—6	—	—20	—	—	—	—	—
OD605 — p-n-p . . . . .	CSF	"	—6	—	—2000	—	—	—	—	—
SFT101 — p-n-p . . . . .	"	"	—	—	—	—	—	—	—	—
SFT102 — p-n-p . . . . .	"	"	—	—	—	—	—	—	—	—
SFT103 — p-n-p . . . . .	"	"	—	—	—	—	—	—	—	—
SFT106 — p-n-p . . . . .	"	мчу	—	—	—	3	—	—	—	—
SFT107 — p-n-p . . . . .	"	"	—	—	—	6	—	—	—	—
SFT108 — p-n-p . . . . .	"	преобр.	—	—	—	10	—	—	—	—
SFT113 — p-n-p . . . . .	"	нчу	—	—	—	—	—	—	—	—
SFT114 — p-n-p . . . . .	"	"	—	—	—	—	—	—	—	—
SFT121 — p-n-p . . . . .	"	"	—	—	—	—	—	—	—	—
SFT122 — p-n-p . . . . .	"	"	—	—	—	—	—	—	—	—
SFT123 — p-n-p . . . . .	"	"	—	—	—	—	—	—	—	—
SFT124 — p-n-p . . . . .	"	"	—	—	—	—	—	—	—	—
SFT125 — p-n-p . . . . .	"	"	—	—	—	—	—	—	—	—
SFT130 — p-n-p . . . . .	"	"	—	—	—	—	—	—	—	—
SFT131 — p-n-p . . . . .	"	"	—	—	—	—	—	—	—	—
SFT150 — p-n-p . . . . .	"	"	—	—	—	—	—	—	—	—

метри		Предельно допустимы значения								Эквивалент
$R_{22}, R_{22}^3, R_{22}^4, R_k^5$	коэффициент на усил. по ток при заземнен эмитер $\beta$	разделяна мощность (мвт)	коллекторно взрхово напряжение (в)	коллекторен взрхов ток (ма)	эмитерен ток (ма)	максимална темпе- ратура (°C)	капацитет на коллек- тора (пф)	свързване (ВВ — обща база; СВ — общ ко- лектор; ВВ — общ эмитер)		
12	13	14	15	16	17	18	19	20	21	
—	34	1500	—25	—2000	700	75	—	ВВ	OC70, 2N186, 2N187, 2N189, CK888, CTP1033, GFT20, OC602, 2N40, 2N81 OC71, 2N188, 2N191, CTP 1034, OC603, 2N34, 2N35, 2N206 OC71, 2N188, CK882, OC604, 2N65, 2N175 OC45, 2N135, CK760, GFT45, OC390, OC612, 2N111, 2N139 OC45, 2N186, CK760, CTP 1400, OC612, 2N581 OC44, 2N137, OC613, 2N140, 2N412 OC26, CTP 1104, 2N257 OC28, CTP 1111, 2N57, 2N268 OC72, 2N186A, GFT32, 2N249 OC72, 2N187A, OC602S, GFT32 OC72, 2N188A, 2N224, GFT32 OC74, OC460, 2N205, GET5 OC74, 2N204, 2N249, GET5 OC74, OC460, GET5 OC74, GET5 OC29, CTP 1111, 2N57, 2N174	
—	25	15000	—30	—10000	—	—	75	—		
—	30	100	—24	—150	—	—	—	—		
—	50	100	—24	—150	—	—	—	—		
—	80	100	—24	—150	—	—	—	—		
—	30	80	—12	—50	—	—	—	—		
—	50	89	—12	—50	—	—	—	—		
—	—	50	—12	—50	—	—	—	—		
—	40	25000	—30	—3000	—	—	—	—		
—	40	25000	—60	—3000	—	—	—	—		
—	30	150	—24	—250	—	—	—	—		
—	50	150	—24	—250	—	—	—	—		
—	80	150	—24	—250	—	—	—	—		
—	30	350	—24	—500	—	—	—	—		
—	70	350	—24	—500	—	—	—	—		
—	30	550	—24	—500	—	—	—	—		
—	70	550	—24	—500	—	—	—	—		
—	40	25000	—80	—3000	—	—	—	—		



Означение	Фирма производител	Приложение	О с н о в н и п а р а -							
			колектормо на- прежение (в)	ематерен ток (мА)	колектормен ток (мА)	границна работна честота (мгхц)	коэффициент на шума (дБ)	$b_{11}, r_{11}^3, h_{1b}^4, R_e^5$	$h_{12}, r_{12}^3, h_{1b}^4, R_b^5$	$b_{21}, r_{12}^3, h_{1b}^4$
1	2	3	4	5	6	7	8	9	10	11
TF65 — p-n-p	Siem	нчү	—	—	—	—	—	—	—	—
TF70 — p-n-p	"	"	—	—	—	—	—	—	—	—
TF71 — p-n-p	"	"	—	—	—	—	—	—	—	—
TF72 — p-n-p	"	"	—	—	—	—	—	—	—	—
TF75 — p-n-p	"	"	—	—	—	—	—	—	—	—
TF60 — p-n-p	"	"	—	—	—	—	—	—	—	—
TS161 — p-n-p	Tung	"	—	—	—	—	—	—	—	—
TS162 — p-n-p	"	"	—	—	—	—	—	—	—	—
TS163 — p-n-p	"	"	—	—	—	—	—	—	—	—
TS164 — p-n-p	"	"	—	—	—	—	—	—	—	—
TS165 — p-n-p	"	"	—	—	—	—	—	—	—	—
TS166 — p-n-p	"	"	—	—	—	—	—	—	—	—
2N27 — n-p-n	West	"	—	—	—	—	—	—	—	—
2N29 — n-p-n	"	"	—	—	—	—	—	—	—	—
2N30 — n-p-n	GE	"	—25	0,5	—	2	57	275 <sup>3</sup>	200 <sup>3</sup>	—
2N31 — n-p-n	"	"	—25	0,5	—	—	—	900 <sup>5</sup>	450 <sup>5</sup>	—
2N32 — n-p-n	RCA	"	—25	0,5	—	—	—	—	—	—
2N33 — n-p-n	"	"	—8,5	0,3	—	—	—	—	—	—
2N34 — p-n-p	Tran	"	—6	—	—1	—	—	—	—	—
2N35 — p-n-p	Sy	"	+6	—1	0,01	—	—	35	6 · 10 <sup>-4</sup>	0,98
2N37 — p-n-p	RCA	"	—6	—	—1	—	—	—	—	—
2N38 — p-n-p	Hy	"	—6	—	—1	—	—	—	—	—

метр и		Предельно допустимы стойности								Еквивалент
$h_{22}, r_{22}^2, h_{ob}^4, R_k^5$	коэффициент на усл. по ток при заземен емитер $\beta$	разсечена мощност (мвт)	коллекторно върхово напряжение (в)	коллекторен върхов ток (мА)	емитерен ток (мА)	максимална темпе- ратура (°C)	капацитет на коллек- тора (пф)	съвързване (ВВ — обща база; СВ — общ ко- лектор; ЕВ — общ емитер)		
12	13	14	15	16	17	18	19	20	21	
—	50	10	—10	—10	—	—	—	—	OC57, OC340, OC624	
—	10	100	—30	—25	—	—	—	—	OC70, 2N186, 2N189, SFT101	
—	24	75	—30	—20	—	—	—	—	2N42, 2N124, 2N125, 2N229	
—	100	50	—30	—25	—	—	—	—	2N27, 2N125, 2N214	
—	30	250	—13	—250	—	—	—	—	OC72, 2N187A, OC602S	
—	45	2500	—35	—2500	—	—	—	—	OC16, OC30, SFT114	
—	50	50	—25	—10	—	—	—	—	OC71, 2N188, 2N191, SFT102	
—	17	50	—10	—10	—	—	—	—	OC70, 2N186, 2N189, SFT101	
—	25	50	—25	—10	—	—	—	—	OC70, 2N186, 2N189, SFT101	
—	45	50	—25	—10	—	—	—	—	OC71, 2N188, 2N191, SFT102	
—	90	50	—25	—10	—	—	—	—	OC75, SFT103, 2N192	
—	40	50	—10	—10	—	—	—	—	OC70, 2N187, 2N190, SFT101	
—	200	50	—35	—100	—	—	—	—	TF72	
—	200	50	35	—100	—	—	—	—	TF72	
22 <sup>8</sup>	17	100	—30	—7	3	40	—	BB		
30 <sup>6</sup>	21	100	—30	—7	3	40	—	BB		
—	21	50	—40	—8	—	40	—	BB		
—	22	30	—8,5	—7	—	40	—	BB		
1 <sub>тс</sub>	—	50	—25	—20	—	50	—	BB	OC71, 2N191, SFT102	
—	40	50	—25	—10	—	50	—	EB	OC71, 2N229, TF71	
—	36	125	—20	—20	—	100	—	EB	OC72, 2N187A	
—	32	200	—25	—8	8	60	—	EB	OC72, 2N186A	

Означение	Фирма произведителя	Приложение	О с н о в н и п а р а							
			коллекторно напрежение (е)	емитерен ток (ма)	коллекторен ток (ма)	гранична работна честота (МГц)	коэффициент на шума (дБ)	$\mu_{11}^2, \mu_{11}^4, \mu_{11}^6$	$\mu_{12}^2, \mu_{12}^4, \mu_{12}^6$	$\mu_{12}^4, \mu_{12}^6$
1	2	3	4	5	6	7	8	9	10	11
2N43 — p-n-p	GE	нчу	-6	1	—	0,8	—	35	$5 \cdot 10^{-4}$	—
2N44 — p-n-p	"	"	-6	—	-1	0,5	—	38	$3 \cdot 10^{-4}$	—
2N63 — p-n-p	Ray	"	-6	—	-1	0,5	—	38	$2 \cdot 10^{-4}$	—
2N64 — p-n-p	"	"	-6	—	-1	0,7	22	38	$4 \cdot 10^{-4}$	—
2N65 — p-n-p	"	"	-6	—	-1	1,2	20	35	$7 \cdot 10^{-4}$	—
2N68 — p-n-p	Sy	"	-12	—	-5	—	—	—	—	—
2N77 — p-n-p	RCA	вчу	-4	—	-0,7	0,7	—	—	—	—
2N94 — p-n-p	Sy	"	+6	-0,5	—	3,5	15	—	—	—
2N94A — p-n-p	"	мчу	+6	-0,5	—	6	15	—	—	—
2N95 — p-n-p	"	нчу	—	—	—	—	—	—	—	—
2N97 — p-n-p	GE	"	—	—	—	—	—	—	—	—
2N97A — p-n-p	"	"	—	—	—	—	—	—	—	—
2N98 — p-n-p	"	мчу	—	—	—	2,5	—	—	—	—
2N98A — p-n-p	"	"	—	—	—	2,5	—	—	—	—
2N100 — p-n-p	"	"	—	—	—	5	—	—	—	—
2N101 — p-n-p	Sy	нчу	—	—	—	—	—	—	—	—
2N102 — p-n-p	"	"	—	—	—	—	—	—	—	—
2N103 — p-n-p	GE	"	—	—	—	—	—	—	—	—
2N104 — p-n-p	RCA	"	-6	—	-1	0,7	12	—	—	—
2N105 — p-n-p	"	"	-4	—	-0,7	—	4,5	—	—	—
2N106 — p-n-p	Ray	"	-1,5	-0,5	—	—	12	—	$700^5$	—
2N107 — p-n-p	GE	"	—	—	—	—	—	—	—	0,95

метри		Предельно допустимы стойности								Еквивалент
$h_{22}, r_{22}^2, h_{ob}^4, R_k^5$	коэффициент на усил., по ток при зазем. эмитер $\beta$	разсеяна мощност (мвт)	коллекторно върхово напрежение (в)	коллекторен върхов ток (ма)	емитерен ток (ма)	максимална температура (°C)	капацитет на колектора (пф)	свързване (BB — обща база; CB — общ колектор; EB — общ эмитер)		
12	13	14	15	16	17	18	19	20		21
1μs	—	150	—45	—50	—	100	—	BB	OC450, GE75, 2N205	
1μs	—	150	—45	—50	—	100	—	BB	OC72, OC77, OC450, 2N261	
0,5μs	—	125	—25	—20	—	100	—	BB	OC70, OC309	
0,5μs	30	125	—25	—20	—	100	—	BB	OC71, 2N190, SFT102	
0,5μs	50	100	—25	—20	—	100	—	BB	OC75, 2N192, SFT103	
—	40	2500	—25	—1500	—	—	—	EB	OC30, SFT113	
—	55	35	—25	—15	—	—	—	EB	OC71, 2N188, 2N191, SFT103	
—	30	50	—20	—10	—	—	—	EB	OC139	
—	40	50	—20	—10	—	85	—	—	OC140, OC141	
—	40	4000	—25	—1500	—	—	—	—	2N102	
—	14	50	—30	—	—	—	—	—	TE71, 2N42	
—	15	50	—40	—10	—	—	—	—	TF71, 2N42	
—	40	75	—40	—10	—	—	—	—	OC139	
—	40	50	—40	—10	—	—	—	—	OC139	
—	140	25	—25	—5	—	—	—	—	OC140, OC141	
—	40	4000	—25	—1500	—	—	—	—	OC16, SFT113	
—	40	4000	—25	—1500	—	—	—	—	2N95	
—	5	50	—35	—	—	—	—	—	TF71, 2N42	
—	44	100	—30	—50	—	70	—	EB	OC71, 2N187, 2N190, SFT102	
—	42	35	—25	—15	—	—	—	EB	OC71, 2N188, 2N191, SFT102	
1 <sup>5</sup>	45	60	—6	—10	—	—	—	EB	OC71, 2N191	
—	20	50	—8	—10	—	—	—	—	OC70, 2N18,8 SFT101	

Продолжение на таблица 18

Означенне	Фирма производител	Приложение	О с н о в н и п а р а -							
			коллекторно напре- жение (в)	эмитерен ток (мА)	коллекторен ток (мА)	гранична работна частота (МГц)	коэффициент на шума (дБ)	$h_{11}^5, h_{12}^5, h_{21}^5, h_{22}^5$	$h_{12}^5, h_{21}^5, h_{22}^5$	$h_{21}^5, h_{22}^5$
1	2	3	4	5	6	7	8	9	10	11
2N109 — p-n-p	RCA	нчу	—9	—	—13	—	—	—	—	—
2N111 — p-n-p	Ray	"	—	—	—	3	—	—	—	—
2N112 — p-n-p	"	мчу	—	—	—	5	—	—	—	—
2N112A — p-n-p	"	нчу	—6	1	—	5	28	—	—	—
2N113 — p-n-p	"	"	—6	1	—	10	28	—	—	—
2N114 — p-n-p	"	вчу	—6	1	—	20	28	—	—	—
2N117 — p-n-p	Texa	нчу	—	—	—	—	—	—	—	—
2N118 — p-n-p	"	"	—	—	—	—	—	—	—	—
2N118A — p-n-p	"	"	—	—	—	—	—	—	—	—
2N119 — p-n-p	"	"	—	—	—	—	—	—	—	—
2N124 — p-n-p	"	мчу	—6	—	5	4	20	58 <sup>5</sup>	170 <sup>5</sup>	—
2N125 — p-n-p	"	"	6	—	5	6	20	62 <sup>5</sup>	300 <sup>5</sup>	—
2N126 — p-n-p	"	"	6	—	5	6	20	58 <sup>5</sup>	440 <sup>5</sup>	—
2N127 — p-n-p	"	"	6	—	5	5	20	59	820	—
2N128 — p-n-p	Ph	вчу	—	—	—	45	—	—	—	—
2N129 — p-n-p	"	"	—	—	—	30	—	—	—	—
2N130 — p-n-p	Ray	нчу	—	—	—	0,6	25	—	350 <sup>5</sup>	—
2N131 — p-n-p	"	"	—	—	—	0,8	22	—	700 <sup>5</sup>	—
2N132 — p-n-p	"	"	—	—	—	—	20	—	1500 <sup>5</sup>	—
2N133 — p-n-p	"	"	—1,5	0,5	—	—	10	—	700 <sup>5</sup>	—
2N136 — p-n-p	GE	мчу	—	—	—	6,5	—	—	—	—
2N137 — p-n-p	"	вчу	—	—	—	10	—	—	—	—

метри		Предельно допустимы стойности								Эквивалент
$h_{22}, r_{22}, \text{mod } R_k^5$	коэффициент на усил. по ток при заземен эмитер $\beta$	Расчетана мощность (мвт)	коллекторно върхово напряжение (в)	коллекторен върхов ток (ма)	эмиттерен ток (ма)	максималана темпе- ратура (°C)	капацитет на колек- тора (пф)	свързване (ВВ — обща база ; СВ — общ ко- лектор ; ЕВ — общ эмитер)		
12	13	14	15	16	17	18	19	20	21	
75	33	200	—20	—	—	—	—	ЕВ	OC72, 2N188A	
—	25	130	—200	—200	—	—	—	—	OC45, SFT106, 2N135, 2N587	
—	30	130	—30	—200	—	—	—	—	OC45, SFT107, 2N136	
—	20	50	—10	—8	—	85	—	—	OC44, 2N137, SFT108	
—	45	130	—30	—200	—	85	—	—	OC44, 2N137, 2N580, SFT108	
—	25	50	—10	—5	—	—	—	—	OC44, CK762	
—	15	150	—30	—25	—	—	—	—	2N160	
—	25	150	—30	—25	—	—	—	—	2N161	
—	80	150	—30	—25	—	—	—	—	2N163	
—	80	150	—30	—25	—	—	—	—	2N163	
—	18	50	—10	—8	—	75	—	ЕВ	OC139	
0,23μs	36	50	—10	—8	—	75	—	ЕВ	OC140	
0,28μs	70	50	—10	—8	—	75	—	BB	OC140	
0,2μs	100	50	+10	+8	—	75	—	BB	—	
—	25	30	—5	—5	—	—	—	—	—	
—	30	30	—5	—5	—	—	—	—	2N231	
2 <sup>5</sup>	22	180	—44	—10	—	85	—	—	OC77, 2N44	
2 <sup>5</sup>	45	180	—30	—10	—	85	—	—	OC72, 2N187A	
2 <sup>5</sup>	90	180	—24	—10	—	85	—	—	OC72, 2N188A	
1 <sup>5</sup>	45	80	—30	—10	—	85	—	—	OC71, 2N191	
—	40	100	—20	—50	—	—	—	—	OC45, CK750, SFT107, GET45, OC612, 2N409	
—	60	100	—10	—50	—	—	—	—	OC44, SFT108, CTP1410, OC613, 2N140, 2N412	

Продължение на таблица 18

Означение	Фирма производител	Приложение	О с н о в н и п а р а							
			коллекторно напрежение (е)	емитерен ток (мА)	коллекторен ток (мА)	границна работна честота (МГц)	коэффициент на шума (дБ)	$h_{11}, r_{11}^2, h_{ib}^4, R_e^5$	$h_{12}, r_{12}^3, h_{rb}^4, R_b^5$	$h_{21}, r_{21}^3, h_{fb}^4$
1	2	3	4	5	6	7	8	9	10	11
2N138 — p-n-p	Ray	нчу	—	—	—	—	—	—	—	—
2N139 — p-n-p	RCA	мчу	—	—	—	—	6,7	—	—	—
2N145 — p-p-n	Texa	"	—	—	—	—	4	—	—	—
2N146 — p-p-n	"	"	—	—	—	—	6	—	—	—
2N147 — p-p-n	"	"	—	—	—	—	6	—	—	—
1N160A — p-p-n	Rade	"	—	—	—	—	4	—	—	—
2N161A — p-p-n	"	"	—	—	—	—	5	—	—	—
2N162A — p-p-n	"	"	—	—	—	—	9	—	—	—
2N163A — p-p-n	"	"	—	—	—	—	6	—	—	—
2N167 — p-p-n	GE	"	—	—	—	—	8	—	—	—
2N169 — p-p-n	"	"	—	—	—	—	2,5	—	—	—
2N170 — p-p-n	"	"	—	—	—	—	2,5	—	—	—
2N182 — p-p-n	CBS	"	—	—	—	—	3	—	—	—
2N188 — p-p-n	"	"	—	—	—	—	7	—	—	—
2N184 — p-p-n	"	"	—	—	—	—	10	—	—	—
2N193 — p-p-n	Sy	"	—	—	—	—	10	—	—	—
2N194 — p-p-n	"	"	—	—	—	—	4	—	—	—
2N211 — p-p-n	"	"	—	—	—	—	10	—	—	—
2N212 — p-p-n	"	"	—	—	—	—	7	—	—	—
2N247 — p-p-n	RCA	вчу	—	—	—	100	—	—	—	—
2N248 — p-p-n	Texa	укв ус.	—	—	—	60	—	—	—	—
2N274 — p-p-n	RCA	вчу	—	—	—	30	—	—	—	—

метри		Пределно допустими стойности								Еквивалент
$I_{22}, \text{c}^2, \text{hob}^4, \text{p}^5$	коэффициент на усил. по ток при заземлен емитер $\beta$	разсеяна мощност (мвт)	коллекторно върхово напрежение (в)	коллекторен върхов ток (ма)	емитерен ток (ма)	максимална темпе- ратура (°C)	капацитет на колек- тора (пф)	съхраняване (ВБ — обща база; СВ — общ ко- лектор; ЕВ — общ емитер)		
12	13	14	15	16	17	18	19	20	21	
—	140	50	—24	—20	—	—	—	—	OC75, SFT103, 2N265	
—	48	35	—12	—15	—	—	—	—	OC45, 2N136, SFT107	
—	18	65	—20	—5	—	—	—	—	OC139	
—	36	65	—20	—5	—	—	—	—	OC140	
—	70	65	—20	—5	—	—	—	—	OC140	
—	15	150	—40	—25	—	—	—	—	OC139, 2N332	
—	30	150	—40	—25	—	—	—	—	OC140, 2N333	
—	40	150	—40	—25	—	—	—	—	OC141, 2N334	
—	50	150	—40	—25	—	—	—	—	OC140, 2N334	
—	40	75	—30	—75	—	—	—	—	OC141	
—	20	50	—15	—20	—	—	—	—	OC139	
—	20	25	—6	—20	—	—	—	—	OC139	
—	25	100	—30	—10	—	—	—	—	OC139	
—	50	100	—30	—10	—	—	—	—	OC140	
—	100	100	—30	—10	—	—	—	—	2N337, 2N338	
—	8	50	—15	—50	—	—	—	—	OC141, 2N162, 2N337	
—	8	50	—15	—50	—	—	—	—	OC139, 2N160	
—	6	50	—10	—50	—	—	—	—	OC141, 2N162, 2N337	
—	10	50	—10	—50	—	—	—	—	OC140, 2N161	
—	60	35	—35	—10	—	—	—	—	2N274, 2N370	
—	—	50	—25	—50	—	—	—	—	—	
—	60	35	—35	—10	—	—	—	—	2N274, 2N370, 2N544	



Означение	фирма производител	Приложение	О с н о в н и ц а р а							
			колекторно на- прежняна (а)	емитерен ток (ма)	колекторен ток (ма)	гранична работна честота (мгхц)	коэффициент на шума (дб)	$h_{11}, \Gamma_{11}^2, h_{1b}^4, R_{\theta}^5$	$h_{12}, \Gamma_{12}^3, h_{1b}^4, R_{\theta}^5$	$h_{21}, \Gamma_{21}^3, h_{1b}^4$
1	2	3	4	5	6	7	8	9	10	11
2N332 — п-р-п	Теха	мчу	—	—	—	4	—	—	—	—
2N333 — п-р-п	"	"	—	—	—	4	—	—	—	—
2N334 — п-р-п	"	"	—	—	—	10	—	—	—	—
2N335 — п-р-п	"	"	—	—	—	4	—	—	—	—
2N337 — п-р-п	"	"	—	—	—	10	—	—	—	—
2N338 — п-р-п	"	вчу	—	—	—	20	—	—	—	—
2N370 — р-п-р	RCA	"	—	—	—	30	—	—	—	—
2N371 — р-п-р	"	"	—	—	—	30	—	—	—	—
2N372 — р-п-р	"	"	—	—	—	30	—	—	—	—
2N373 — р-п-р	"	"	—	—	—	30	—	—	—	—
2N374 — р-п-р	"	"	—	—	—	30	—	—	—	—
2N384 — р-п-р	"	увч ус.	—	—	—	100	—	—	—	—
2N409 — р-п-р	"	мчу	—	—	—	7	—	—	—	—
2N412 — р-п-р	"	вчу	—	—	—	10	—	—	—	—
2N544 — р-п-р	"	"	—	—	—	30	—	—	—	—
2N578 — р-п-р	"	мчу	—	—	—	5	—	—	—	—
2N579 — р-п-р	"	"	—	—	—	8	—	—	—	—
2N580 — р-п-р	"	вчу	—	—	—	15	—	—	—	—
2N581 — р-п-р	"	мчу	—	—	—	8	—	—	—	—
2N582 — р-п-р	"	вчу	—	—	—	18	—	—	—	—
2N584 — р-п-р	"	"	—	—	—	18	—	—	—	—
2N585 — р-п-р	"	мчу	—	—	—	5	—	—	—	—

метри		Предельно допустимы стойности								Эквивалент
$I_{22}, I_{22}^3, I_{22}^4, I_{22}^5$ по ток при заземнен эмитер $\beta$	коэффициент на усил. по ток при заземнен эмитер $\beta$	разсена мощност (мвт)	коллекторно върхово напряжение (в)	коллекторен върхов ток (ма)	эмитерен ток (ма)	максимална темпе- ратура (°с)	емитетет на коллек- тора (пф)	свързване (ВВ — обща база; СВ — общ ко- лектор; ЕВ — общ эмитер)		
12	13	14	15	16	17	18	19	20	21	
—	15	150	—45	25	—	—	—	—	OC139, 2N160	
—	30	150	—45	—25	—	—	—	—	OC139, 2N161	
—	40	150	—45	—25	—	—	—	—	OC141, 2N163	
—	60	150	—45	—25	—	—	—	—	OC140, 2N163	
—	40	125	—40	—20	—	—	—	—	OC141, 2N162	
—	100	125	—40	—20	—	—	—	—	2N263	
—	60	80	—20	—10	—	—	—	—	2N247, 2N372, 2N544	
—	35	80	—20	—10	—	—	—	—	2N247, 2N372, 2N544	
—	60	80	—20	10	—	—	—	—	2N247, 2N370, 2N544	
—	60	80	—25	—10	—	—	—	—	2N247, 2N370, 2N544	
—	60	80	—25	10	—	—	—	—	2N247, 2N370, 2N544	
—	—	120	30	10	—	—	—	—	—	
—	50	80	—13	—15	—	—	—	—	OC45, SFT107, 2N136	
—	75	80	—13	—15	—	—	—	—	OC44, SFT108, 2N137	
—	60	80	—18	—10	—	—	—	—	2N247, 2N370	
—	15	120	—14	—400	—	—	—	—	2N136, 2N112	
—	30	120	—14	—400	—	—	—	—	2N136, 2N112	
—	45	120	—14	—400	—	—	—	—	OC44, CK761	
—	30	120	—15	—100	—	—	—	—	2N136, 2N112	
—	60	120	—14	—100	—	—	—	—	—	
—	60	120	—14	100	—	—	—	—	—	
—	40	120	—24	—200	—	—	—	—	OC140	

## Продължение на таблица 18

## Забелжка

- $h_{11} = \left| \frac{u_1}{i_1} \right|_{i=0}$  — входно съпротивление на триода при изход, даден на късо (ом)  
 $r_{11}^3 = \frac{u_1}{i_2}$  — входно съпротивление в ненатоварен режим (ом)  
 $h_{ib}^4$  — входно съпротивление при схема с обща база и изход на късо (ом)  
 $R_e^5$  — съпротивление на емитера (ом)  
 $h_{12}^3 \left| \frac{u_1}{u_2} \right|_{i_1=0}$  — коефициент на усилване по напрежение при отворен вход  
 $r_{12}^3 = \frac{U_1}{i_b}$  — входно съпротивление на обратната връзка (ом)  
 $h_{rb}^4$  — обратно напрежение при схема с обща база, вход отворен  
 $R_b^5$  — съпротивление на базата (ом)  
 $h_{21} = \left| \frac{i_2}{i_1} \right|_{u_2=0}$  — коефициент на усилване по ток при отворен вход (ом)  
 $h_{fb}^4$  — коефициент на усилване по ток при обща база, изход на късо  
 $r_{21}^3 = \frac{U_2}{i_i}$  — проходно съпротивление (мгом)  
 $h_{22} = \left| \frac{i_2}{u_2} \right|_{i_1=0}$  — изходяща проводимост (мкмо)  
 $r_{22}^3 = \frac{U_2}{i_b}$  — изходно съпротивление при отворен вход за променлив ток (ком)  
 $h_{ob}^4$  — изходяща проводимост (мкмо)  
 $R_k^5$  — съпротивление на колектора (мгом)

## Съкратени означения на фирмите производители

- Clev — Clevite Transistor Products.  
 CBS — CBS-Hytron.  
 CSF — C. S. F. — S. F. R.  
 GE — General Electric Co.  
 GEA — General Electric Co, of England.  
 Hy — CBS-Hytron.  
 Intm — Intermetall, Düsseldorf.  
 Ph — Philco Corp.  
 Rade — Radio Receptor Co.  
 Ray — Raytheonmannuf.  
 RCA — Radio Corp. of America.  
 Slem — Siemens und Halske.  
 Sy — Sylvania Electric Prod.  
 Tel — Telefunken.  
 TKD — Tekade.  
 Texa — Texas Instruments.  
 Tran — Transiltron Corp.  
 Tung — Tung-Sol.  
 V — Valvo.  
 West — Westinghouse Electric Corp

Полупроводникови трподи (чешки)

Тип	Приложение	$U_k$	$I_e$	$f_a$	$F_{ш}$	$r_{11}$ $h_{11}^1$	$r_{12}$ $h_{12}^1$	$\alpha$	$r_{22}$ $h_{22}^1$	$\beta$	$P_k$	$U_k$	$I_e$
1NU40—р-п-р	ич усилв.	-5	1	—	—	1500	1500	0,83	300	—	-20	-10	-3
2NU40—р-п-р	"	-5	1	—	—	1000	1000	0,95	400	—	-20	-20	-5
3NU40—р-п-р	"	-5	1	—	—	1000	1000	0,95	400	—	-20	-20	-5
1NU70—р-п-р	"	-5	1	—	—	1500	1500	0,83	300	—	-30	-10	-3
2NU70—р-п-р	"	-5	1	—	—	1000	1000	0,95	400	—	-50	-20	-5
3NU70—р-п-р	"	-5	1	—	—	1000	1000	0,95	400	—	-50	-20	-5
101NU70—п-р-п	"	-5	1	—	—	120 <sup>1</sup>	10 <sup>1</sup>	0,84	3 <sup>1</sup>	—	30	-20	-3
102NU70—п-р-п	"	-5	1	—	—	120 <sup>1</sup>	6 <sup>1</sup>	0,95	2 <sup>1</sup>	—	50	-25	-5
103NU70—п-р-п	"	-5	1	—	—	120 <sup>1</sup>	6 <sup>1</sup>	0,95	2 <sup>1</sup>	—	50	-25	-5
104NU70—п-р-п	"	-5	1	—	15	120 <sup>1</sup>	6 <sup>1</sup>	0,95	2 <sup>1</sup>	—	50	-25	-5
152NU70—п-р-п	смесител	-5	0,5	2	10	500—4000	—	—	20 <sup>1</sup>	25	25	-5	-10
153NU70—п-р-п	мч усилв.	-5	0,5	1	20	500—1000	—	—	20 <sup>1</sup>	25	25	-10	-10
154NU70—п-р-п	осцилатор	-5	0,5	2,5	20	500—4000	—	0,95	20 <sup>1</sup>	—	25	-10	-10

$U_k$  — колекторно напрежение (в)

$I_e$  — емитерен ток (ма)

$f_a$  — гранична честота (мгци)

$F_{ш}$  — коефициент на шума (дб)

$r_{11}$  — входно съпротивление при затворен режим (ом)

$r_{12}$  — входно съпротивление на обратната връзка (ом)

$r_{22}$  — изходящо съпротивление при отворен вход (ом)

$\alpha$  — коефициент на усилване по ток при заземена основа

$\beta$  — коефициент на усилване по ток при заземен емитер

$h_{11}$  — входно съпротивление при изход, даден налясо, (ом)

$h_{12}$  — коефициент на усилване по напрежение

$h_{22}$  — изходяща проводимост (мкмо)

$P_k$  — разсеяна мощност на колектора (ват)

$U_k$  — максимално колекторно напрежение (в)

$I_e$  — максимален емитерен ток (ма)

## Електронно-лъчеви тръби с електростатична фокусировка

Обозначение	5.7038	7Л055	8Л029	8Л039
Назначение на тръбата	Осцилографна			Осцилографна
Послесветене	средно			продължително
Цвят на светенето	зелено			жълто-оранжево
Напрежение на отоплението ( $\theta$ )	6,3	6,3	6,3	6,3
Отоплителен ток ( $a$ )	0,6	0,6	0,6	0,6
Фокусиращо напрежение на първия анод ( $\theta$ )	138 ÷ 300	80 ÷ 180	280 ÷ 516	320 ÷ 480
Напрежение на втория анод ( $k\theta$ )	1	1,1	1,5	2
Напрежение на третия анод ( $k\theta$ )	—	2	—	4
Ток на първия анод ( $mka$ )	150	200	300	500
Ток на втория анод ( $mka$ )	—	500	—	1500
Запиращо напрежение на модулятора ( $\theta$ )	— (30 ÷ 90)	— (34 ÷ 114)	— (22 ÷ 68)	— (30 ÷ 90)
Най-голямо изменение на напрежението на модулятора	50	70	40	50
Най-голямо напрежение между втория анод и другите електроди ( $\theta$ )	660	550	550	550
Чувствителност на горния чифт пластини ( $m.m/\theta$ )	0,11	0,1 ÷ 0,17	0,17	0,165 0,2 <sup>2</sup>
Чувствителност на долния чифт пластини ( $m.m/\theta$ )	0,13	0,12 ÷ 0,2	0,23	0,175 0,215 <sup>2</sup>
Най-голямо напрежение между катода и отоплението ( $\theta$ )	125	125	125	125
Диаметър на екрана ( $m.m$ )	53	69,5	78	78
Най-голяма дължина на тръбата ( $m.m$ )	194	190	261	274
Цокли	275	276	277	278

Таблица 20  
и електростатично отклонение на лъча. (съветски)

10Л043 <sup>1</sup>	13Л036	13Л037	13Л048 <sup>2</sup>	18Л040Б	18Л047 <sup>1</sup>
Осцилограф- на	Осцилограф- на	Осцилография		Телевизионна	Осцилограф- на
средно	продължи- телно	средно		—	кратко
зелено	жълто-оран- жево	зелено		бяло	синьо
6,3	6,3	6,3	6,3	6,3	6,3
0,6	0,6	0,6	0,6	0,6	0,6
400÷700	375÷690	302÷518	300÷550	1600÷2100	400÷700
2	2	1,5	1,5	6	2
—	4	3	—	—	6
500	500	500	300	100	500
1000	—	—	800	500	1000
— (30 ÷ 90)	— (30 ÷ 95)	— (48 ÷ 93)	— (30 ÷ 90)	— (72 ÷ 168)	— (50 ÷ 150)
60	55	40	60	—	90
550	550	550	550	550	600
0,17	0,285 0,465 <sup>2</sup>	0,37 0,46 <sup>3</sup>	0,22	0,12	0,15
0,2	0,34 0,315 <sup>2</sup>	0,43 0,53 <sup>3</sup>	0,25	0,145	0,17
125	125	125	125	125	125
101,5	134,5	136	134,5	179,5	178
415	435	435	410	378	450
279	278	278	279	277	279

### Електронно-лъчеви тръби с магнитно отклонение (съветски)

Таблица 21

Означение	Тип на йонния усилител	Фокусировка	Яркост на екрана (мсб)	Цвят на светене на екрана	Последетене	Контраст на изобразе- нието	Разделителна способност (брой на линиите)	Отопление		Анодно напрежение (в)	Фокусиращо напрежение (в)
								напрежение (в)	ток (а)		
1	2	3	4	5	6	7	8	9	10	11	12
10ЛК2Б <sup>1</sup>	Изискваща магнит	Електромагнитна	100	Бал	Средно	1:40	625 <sup>9</sup>	1,5	2,5	20±2	—
18ЛК2Б <sup>2</sup>			10			1:50	625 <sup>6</sup>	6,3	0,55	15±1	—
18ЛК4Б			3,2 <sup>29</sup>			—	—	6,3	0,6	5±1	—
18ЛК5Б			3,2 <sup>29</sup>			—	625	6,3	0,55	4±2	—
18ЛК15			3,2			—	625 <sup>11</sup>	6,3	0,55	4±2	—
23ЛК1Б	Изискваща магнит	Електромагнитна	4	Бал	Средно	1:40	625 <sup>11</sup>	6,3	0,55	8±1	—
23ЛК2Б <sup>18</sup>			3,2			1:40	625 <sup>6</sup>	6,3	0,55	10± <sup>2</sup> <sub>1</sub>	—
31ЛК1Б			5			1:40	625 <sup>11</sup>	6,3	0,55	10±2	—
31ЛК2Б <sup>18</sup>			5			—	625	6,3	0,6	10±2	—
40ЛК1Б <sup>16</sup>			4			—	625	6,3	0,55	12±1	—
35ЛК2Б	Изискваща магнит	Електростатична	4	Бал	Средно	—	600 <sup>19</sup>	6,3	0,6	12± <sup>2</sup> <sub>3</sub>	—100
43ЛК2Б <sup>16</sup>			4			—	600 <sup>19</sup>	6,3	0,6	14± <sup>1,5</sup> <sub>3</sub>	+425
43ЛК3Б			4			—	600 <sup>19</sup>	6,3	0,6	14±2	+425
53ЛК2Б <sup>21</sup>			4			—	600 <sup>20</sup>	6,3	0,6	16	+425
53ЛК3Б <sup>21</sup>			4			—	600 <sup>20</sup>	6,3	0,6	16	+425

Максимален ток на лъча (мА)	Най-голямо напрежение между катода и отоплението (е)	Запиращо напрежение на модулятора (е)	Най-голямо изменение на напрежението на модулятора (е)	Най-голям диаметър на екрана (мм)	Най-голяма дължина на тръбата (мм)	Най-голям диаметър на грълото (мм)	Размер на катъра (мм)	Напрежение на ускоряващия електрод (е)	Цокъл
13	14	15	16	17	18	19	20	21	22
200	—	— (50÷120)	40	102	325	36	54×72	—	280
100	175	— (100÷140)	20 <sup>7</sup>	170	419	36	34×121	—	281
150	125	— (22÷90)	30	172	355	33	100×135 <sup>8</sup>	—	282
100	125	— (25÷75)	30 <sup>10</sup>	172	355	33	100×135 <sup>8</sup>	—	282
100	125	— (14÷60)	30	172	355	33	100×135 <sup>8</sup>	—	282
100	125	— (35÷75)	30	235	395	36	135×180 <sup>12</sup>	—	281
100	175	— (75÷125)	18 <sup>14</sup>	233	481	36	135×180 <sup>12</sup>	—	281
150	125	— (35÷75)	30 <sup>9</sup>	310	460	36	180×240 <sup>15</sup>	—	281
150	125	— (30÷30)	30	307	485	36	180×240 <sup>17</sup>	—	282
100	125	— (40÷100)	35	406	502	37,5	240×320 <sup>17</sup>	—	282
150	125	— (30÷90)	25	330×264 <sup>18</sup>	445	38	217×288	250—500	283
150	125	— (30÷90)	25	407×311 <sup>18</sup>	510	38	277×373	300—600	264
150	125	— (30÷90)	25	404×318 <sup>18</sup>	517	38	256×350	250—500	284
150	125	— (30÷90)	30	522×401 <sup>18</sup>	610	38	340×460	400	284
150	125	— (30÷90)	30	500×402 <sup>18</sup>	580	38	370×468	400	284



## Приемни телевизионни

Означеніе	Диагоналі или размери на екрана (мм)	Ъгъл на отклонение в градуси	Фокусировка	Отопление		$U_a$ (кВ)	$U_{p2}$ (В)	$U_{p3,5}$ (В)
				напрежение (В)	ток (А)			
AW17—69	128×96	—	E	6,3	0,3	14	400	—
AW36—20	356	70	E	6,3	0,3	12	300	—
AW36—21	356	70	E	6,3	0,3	12	300	—
AW36—48	360	—	E	6,3	0,3	14	300	—
AW36—60	356	90	E	6,3	0,3	12	300	—
AW43—20	360×270	—	E	6,3	0,3	14	400	—
AW43—80	360×270	—	E	6,3	0,3	15	400	—
AW43—88	295×374	110	E	6,3	0,3	16	400	0 ÷ —400
AW53—80	382×484	90	E	6,3	0,3	15	400	—90 ÷ +220
AW53—88	382×484	110	E	6,3	0,3	16	400	0 ÷ —400
AW61—88	482×544	110	E	6,3	0,3	16	400	0 ÷ —400
MP17—20	128×96	—	M	6,3	0,3	14	300	0 ÷ —300
MW22—7—14	231	—	M	6,3	0,3	7	20	—
MW31—16PO1	308	—	M	6,3	0,3	9	200	—
MW36—24PO1	308	—	M	6,3	0,3	9	200	—
MW36—67	430	—	M	6,3	0,3	14	300	—
MW43—22	400	—	M	6,3	0,3	14	160	—
MW43—24	400	—	M	6,3	0,3	14	160	—
MW43—69	422	70	M	6,3	0,3	14	300	0—250
MW43—80	430	90	M	6,3	0,3	14	300	—
MW53—22	514,5	—	M	6,3	0,3	14	250	0—400
MW53—24	514,5	—	M	6,3	0,3	14	250	0—400
MW61—80	610	90	M	6,3	0,3	16	300	0—400
25QP20	270	55	M	6,3	0,6	8	250	—
181QP44	105×140	—	M	6,3	0,3	6	250	—
350QP44	348	70	M	6,3	0,3	12	350	—
351QP44	348	70	M	6,3	0,3	12	250	—
430QP44	425	70	M	6,3	0,3	15	400	—15 + 190

Таблица 22

гръби (европейски)

Напрежение на първата решетка $U_{p1}$ (в) при напрежение на		Капацитет в пф			Тегло (кг)	Цокъл
$U_{p2}$ 300 в	$U_{p2}$ 400 в	$C_{д1}$	$C_{к}$	$C_{ам}$		
—	—44 ÷ —103	7	5	800	—	299
—55 ÷ +145	—	—	—	—	—	300
—55 ÷ +145	—	—	—	—	—	300
—200 ÷ +200	—	—	—	—	—	301
—55 ÷ +145	—	—	—	—	—	300
—	—103 ÷ —44	7	7	1500	—	302
—75 ÷ —35	—102 ÷ —48	7	5	1500	62	303
—72 ÷ —30	—94 ÷ —38	6	5	1500	5	304
—75 ÷ —35	—102 ÷ —48	6	5	2500	12	303
—72 ÷ —30	—94 ÷ —38	6	5	2500	11	304
—72 ÷ —30	—94 ÷ —38	6	5	2500	18	304
—86 ÷ —40	—	7	5	800	—	299
60	—	—	—	—	—	305
40	—	—	—	—	—	306
40	—	—	—	—	—	306
—70 ÷ —30	—	—	—	—	—	306
—46 ÷ 33	—	—	—	—	—	306
—46 ÷ 33	—	—	—	—	—	306
—86 ÷ —40	—	—	—	—	—	307
—86 ÷ —40	—	—	—	—	—	308
—72 ÷ —36	—	—	—	—	—	308
—72 ÷ —36	—	—	—	—	—	308
—80 ÷ —40	—	—	—	—	—	299
—45 ÷ —20	—	6	8	—	—	309
—45 ÷ —20	—	6	6	—	—	310
—45 ÷ —20	—	6	8	—	—	309
—45 ÷ 30	—	6	6,5	800	—	306
—80 ÷ —40	—107 ÷ —53	7	5	1500	—	306

Таблица 23

## Осцилографни тръби (европейски)

Означенне	Диаметр (мм)	Цвет на екрана	фокусировка	Отопление		$U_{a3}$ (кВ)	$U_{a2}$ (В)	$U_{a1}$ (В)	$-U_{p1}$ (В)	Чувствительность (мм/В) $SD_1-D_2$	Чувствительность мм/В $SD_2-D_4$	
				напряжение (В)	ток (А)							
DG 3—1	38	зел.	E	6,3	0,65	—	500	150	30	0,2	0,16	311
DG 3—2	38	"	E	6,3	0,65	—	800	200	20	0,06	0,04	311
DG 4—1	44	"	E	6,3	0,4	—	1000	360	60	0,26	0,16	321
DG 7—2	71	"	E	4	1	—	800	350	30	0,22	0,14	311
DG 7—5	71	"	E	6,3	0,31	—	800	200	0—50	0,25	0,16	313
DG 7—6	71	"	E	6,3	0,4	—	800	300	50	0,26	0,16	313
DG 7—12	75	"	E	6,3	0,3	—	2000	200	40	0,11	0,09	312
DG 7—14	75	"	E	6,3	0,3	4	2000	700	75	0,22	0,16	312
DG 7—32	71	"	E	6,3	0,3	—	500	120	40—90	0,35	0,22	314
DG 7—36	71	"	E	6,3	0,3	—	1500	400	80	0,49	0,33	315
DG 7—52	75	"	E	6,3	0,3	—	800	125	100	0,45	0,2	312
DG 9—3	97	"	E	4	1	—	1000	400	40	0,4	0,31	316
DG 9—5	97	"	E	4	1	—	1000	400	0—40	0,18	0,15	319
DG10—2	97	"	E	6,3	0,3	—	2000	720	100	0,3	0,23	318
DG10—14	100	"	E	6,3	0,3	—	2000	500	100	0,28	0,21	312
DG10—18	100	"	E	6,3	0,3	—	2000	500	40	2,7	0,83	312
DG10—54	100	"	E	6,3	0,3	—	2000	500	100	0,5	0,2	312
DG13—14	130	"	E	6,3	0,3	—	2000	500	100	0,34	0,29	312
DG13—18	135	"	E	6,3	0,3	—	5000	1000	75	0,28	0,26	322
DG13—36	135	"	E	6,3	0,3	—	2000	500	50	0,44	0,33	323
DG13—54	130	"	E	6,3	0,3	—	2000	500	90	0,88	0,3	320
DG16—1	167	"	E	4	1	—	2000	500	40	0,25	0,17	317
DG18—14	180	"	E	6,3	0,3	4	2000	500	100	0,31	0,27	312
DG22—1	227	"	E	4	1	—	1000	250	60	0,12	0,1	324
DG25—1	257	"	E	4	1	—	1700	250	60	0,13	0,11	325
DGM10—12	100	"	E	4	0,8	—	1500	450	70	0,23	0,21	326
DGM10—14	100	"	E	4	0,8	7,5	1500	450	70	0,16	0,15	327
DGM13—14	135	"	E	6,3	0,3	—	4000	2000	85	0,40	0,41	328

Означения	Диаметр (мм)	Цвет на экране	Фокусировка	Отопление		$U_{a3}$ (кВ)	$U_{a2}$ (В)	$U_{a1}$ (В)	$-U_{p1}$ (В)	Чувствительность (мм/В) $SD_1 - D_2$	Чувствительность (мм/В) $SD_2 - D_3$	
				напряжение (В)	ток (А)							
DGM13—34	135	"	E	6,3	0,3	16	8000	2500	140	0,12	0,1	329
DGM16 12	160	"	E	4	0,8	—	1500	450	70	0,26	0,23	330
DGM16—14	160	"	E	4	0,8	7,5	1500	450	70	0,17	0,16	330
7QR20	60	"	E	6,3	0,6	—	800	190	40	0,275	0,25	331
12QR50	100	"	E	6,3	0,6	4	2000	500	80	0,48	0,24	332
25QP21	240	2	E	6,3	0,6	—	8000	250	45	—	—	309
43OP47	2,3/362		M	6,3	0,3	—	14000	300	85	—	—	333

## Газотрони и

Параметри	Означение	Газотрони и	
		ТГ1Б	ТГ1-0,1/0,3
Тип на лампата		двуаноден тиратрон	тиратрон
Назначение		изправител	релаксацион- ни и изпра- вителни устройства
Напълнени		кrypton — ксеном	аргон
Вид на отоплението		косвено	косвено
Напрежение на отоплението — номинално (в)		6,3	6,3
Напрежение на отоплението — минимално (в)		6 <sup>1</sup>	5,7
Напрежение на отоплението — максимално (в)		6,6 <sup>1</sup>	6,9
Отоплителен ток (а)		—	—
Минимално време за подгряване на катода (сек)		10	30
Най-голямо напрежение между катода и подгрена- теля (в)		50 <sup>2</sup>	100
Запалително напрежение (в)		30 <sup>3</sup>	—
Падение на напрежението (в)		20	20
Най-голяма амплитуда на постоянното напрежение (в)		240	300
Амплитуда на обратното напрежение (в)		240	300
Най-голям среден аноден ток (а)		0,02	0,075 <sup>5</sup>
Най-голям импулс на анодния ток (а)		0,12	0,3
Най-голяма честота на захранващото напрежение (кц)		—	—
Най-голямо запиращо напрежение (в)		—	—
Най-голямо съпротивление във веригата на първата решетка (мгом)		1	0,1 - 0,5
Най-голямо отрицателно напрежение на решетка- та (в)		—	—
Работно положение		всякакво	вертикално
Цокъл		283	285

1. Кратковременно.

2. Минус на отоплението, плюс на катода.

3. При 0 напрежение на решетката и 0,1 мгом съпротивление във веригата на решетката.

4. Без изводите. Дължина на изводите  $\approx 40$  мм.

5. В релаксационен режим 2 ма.

6. При 0,1 мгом съпротивление във веригата на решетката.

7. Първата и втората.

8. Предварителни данни.

Таблица 24

тиратрони (съветсин)

ТГ1—0,1/1,3	ТГ3—0,1/1,3*	ТГ1—1/0,8	ТГ1—0,02/0,5	ТГ1—0,5/5	ГР1—0,25/1,5
тиратрон	тиратрон	тиратрон	тиратрон	газотрон	газотрон
релейни и электропре- образовател- ни устрой- ства	релейни и электропре- образовател- ни устрой- ства	релейни и электропре- образовател- ни устрой- ства	релейни и электропре- образовател- ни устрой- ства	изправи- тел	изправител
ксенон- криптон косвено	ксенон- криптон косвено	ксенон- криптон косвено	ксенон- криптон косвено	ксенон- криптон директно	живак директно
6,3	6,3	6,3	6,3	2,5	5
5,7	5,7	5,7	5,7	2,4	4,5
6,9	6,9	6,9	6,9	2,7	5,5
0,6	0,6	3	0,15	8,5	3,3
10	—	60	10	60	5 <sup>15</sup>
50 <sup>2</sup>	100	50 <sup>2</sup>	50 <sup>2</sup>	—	—
25	30	25 <sup>13</sup>	30 <sup>3</sup>	—	—
11	11 <sup>3</sup>	15	16 <sup>4</sup>	20	18
650	650	420	500	—	—
1300	1300	800	500	5000	1650
0,1	0,1	1,0	0,02	0,5	0,235
0,5	0,5	6	0,12	1,5	0,8
—	—	—	—	50	50
4,5/7 <sup>6</sup>	3,7/7 <sup>11,6</sup>	—15 <sup>12</sup>	6/8 <sup>6</sup>	—	—
10	10 <sup>10</sup>	1 <sup>11</sup>	10	—	—
100 <sup>7</sup>	100 <sup>9</sup>	—	—	—	—
всякакво	всякакво	всякакво	всякакво	вертикал- но	вертикално покъла от долу
286	287	288	289	290	291

9. Първа, втора, трета.

10. Първа и трета.

11. Втора решетка.

12. Втора решетка при съпротивление в нейната верига 0,1 мгом.

13. Плюс на отоплението, минус на катода.

14. При аноден ток 20 ма.

15. При едновременно включване напрежението за отоплението и анода  $U_a$  обр = 600 в.

$I_a$  макс = 0,3 а,  $I_a$  обр = 0,1 а.

Таблица 25

## Стабилизатори на напрежение (свѣтски)

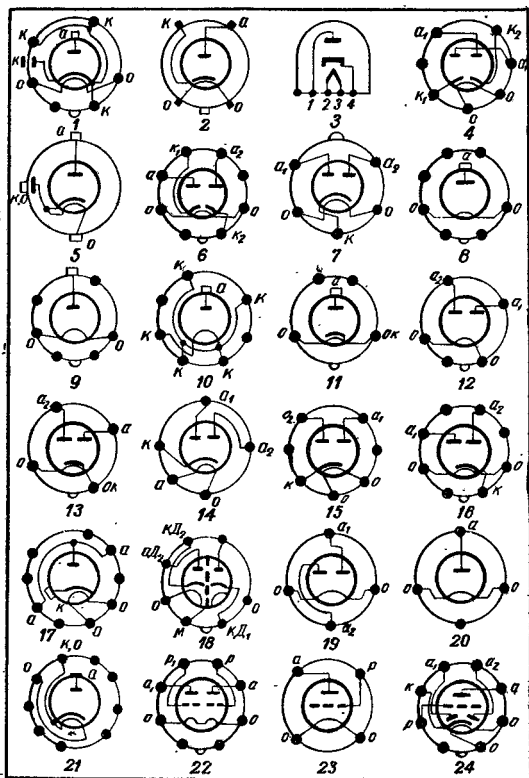
Означеніе	Запалително напрежение (в)	Стабилизирано напрежение (в)	Ток през стабилизатора (мА)	Максимален диаметър (мм)	Максимална височина (мм)	Цокъл
СГ—1П	180	150 ± 2	5 ÷ 30	22,5	72	292
СГ—2П	133	108 ± 2	5 ÷ 30	19	67	292
СГ—2С	105	74,5 ± 2	5 ÷ 30	32,3	98	293
СГ—3С	127	108 ± 1	5 ÷ 30	32,3	98	293
СГ—4С	180	152,5 ± 2	5 ÷ 30	32,3	98	293
СГ 5Б	180	150 ± 2	5 ÷ 10	10,2	36	294

Таблица 26

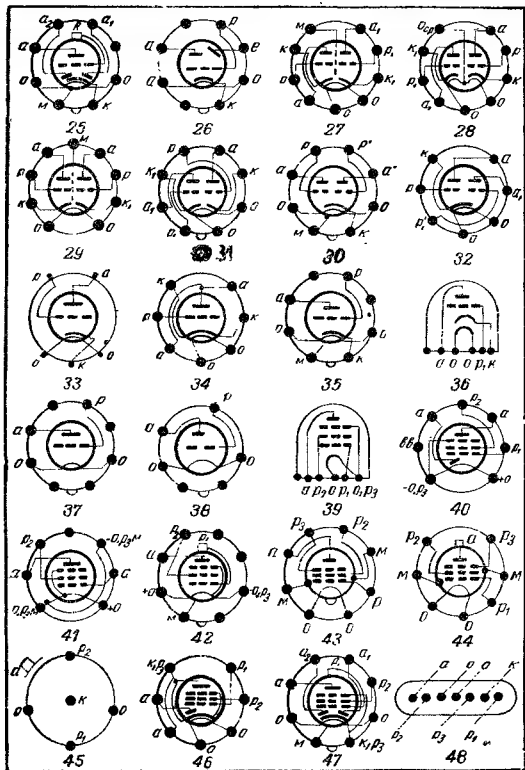
## Стабилизатори на ток (свѣтски)

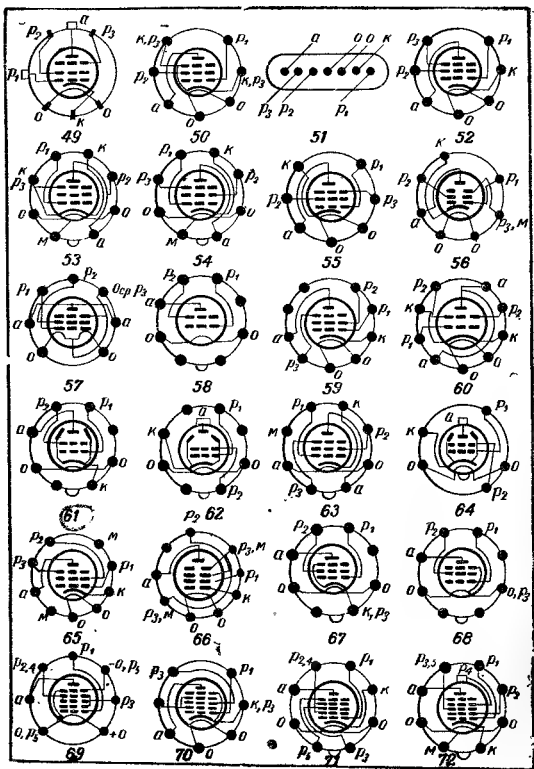
Означеніе	Стабилизирано напрежение (в)		Стабилизиран ток (а)		Максимален диаметър (мм)	Максимална височина (мм)	Цокъл
	начало	край	начало	край			
1Б5—9 . . . . .	5	9	0,96	1,04	46,5	120	295
1Б10—17 . . . . .	10	17	0,96	1,04	46,5	120	295
0,24Б12—18 . . . . .	12	18	0,248	0,263	31	85	—
0,3Б17—35 . . . . .	17	35	0,275	0,325	43	120	296
0,3Б65—135 . . . . .	65	135	0,275	0,325	43	130	297
0,425Б5,5—12 . . . . .	5,5	12	0,415	0,435	32,5	100	296
0,85Б5,5—12 . . . . .	5,5	12	0,83	0,87	32,5	100	296

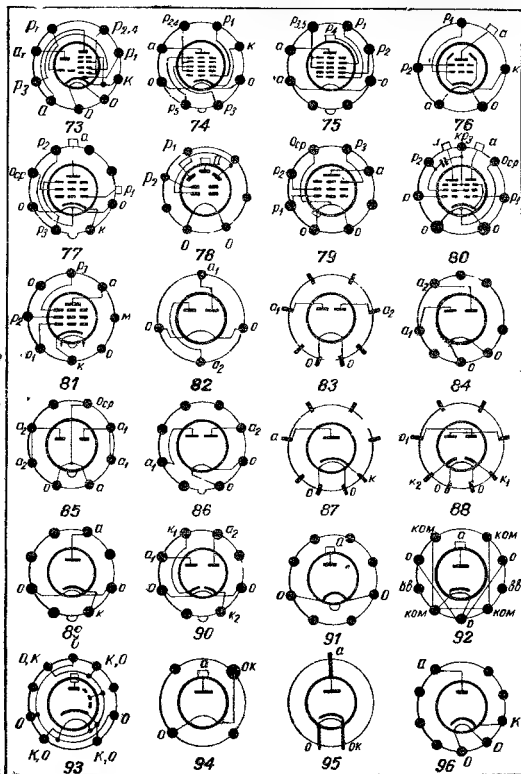
З а б е л ж к а. Максимално време за установяване на нормален ток — 5 мин.

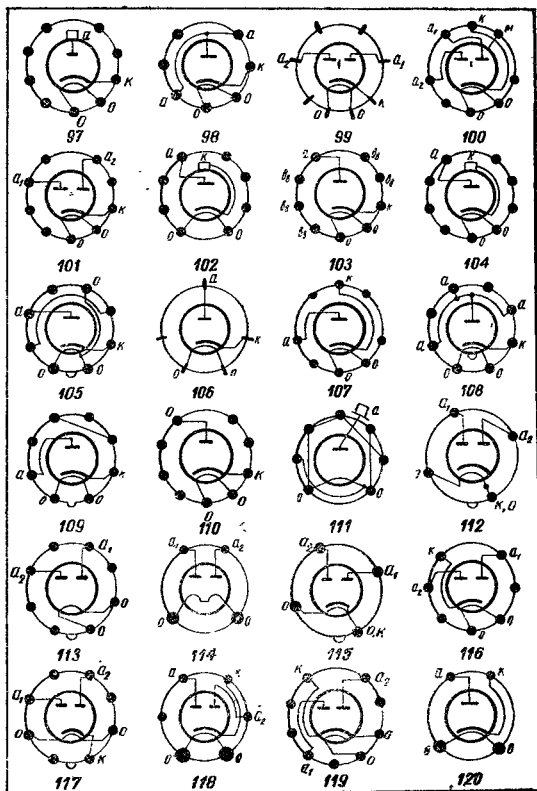


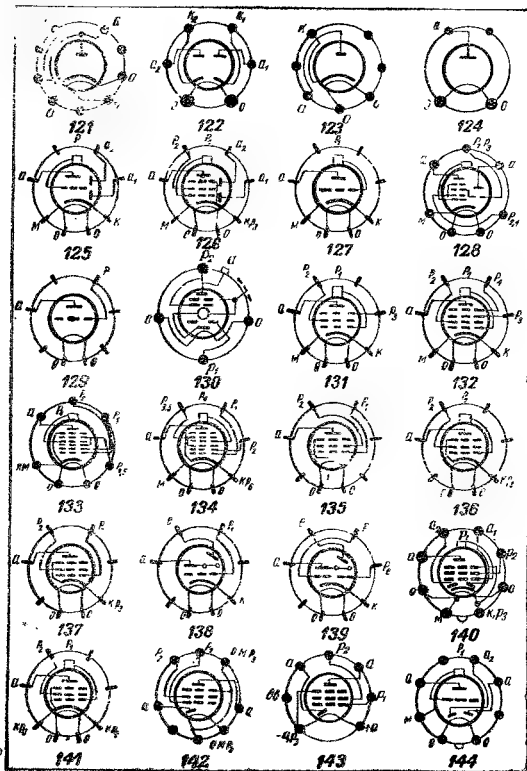


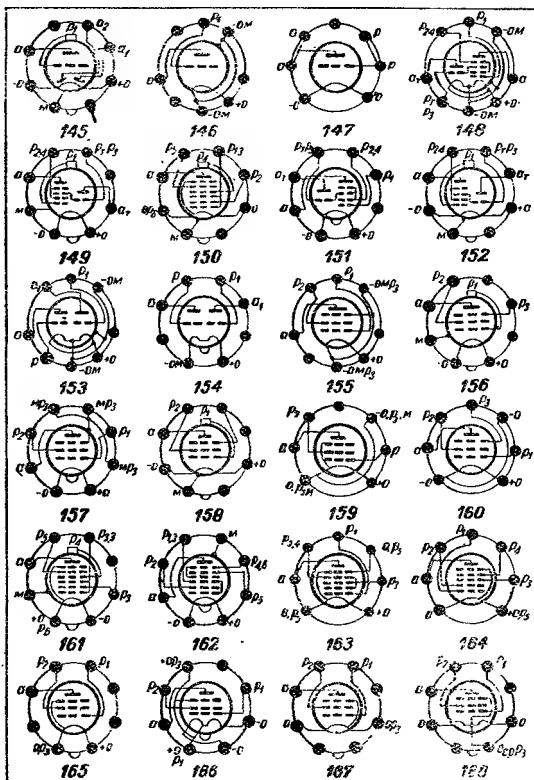


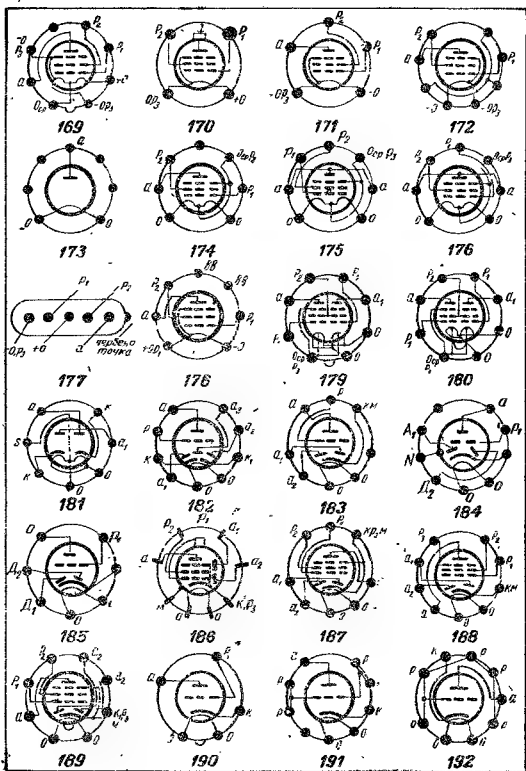


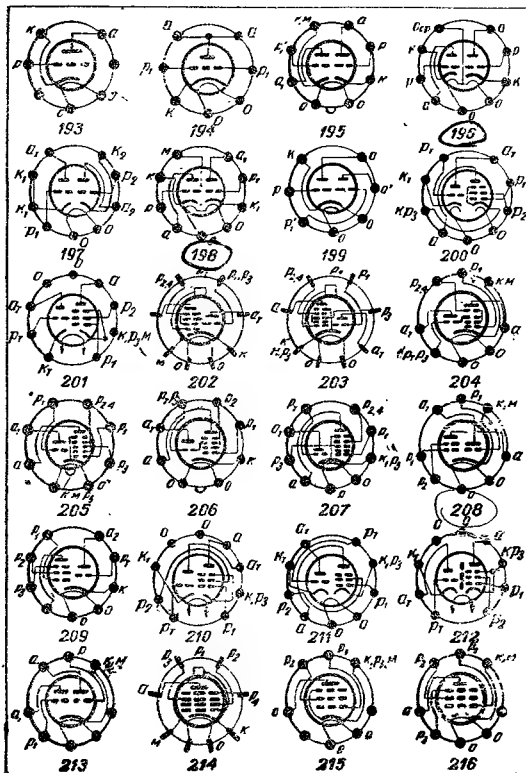




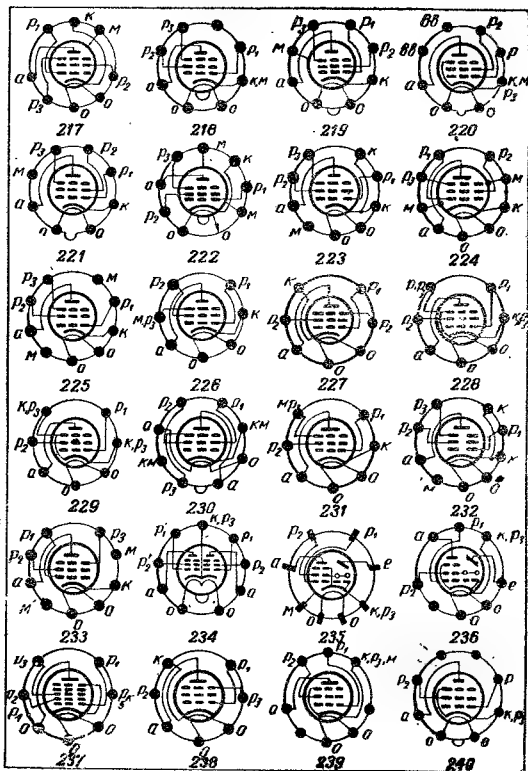


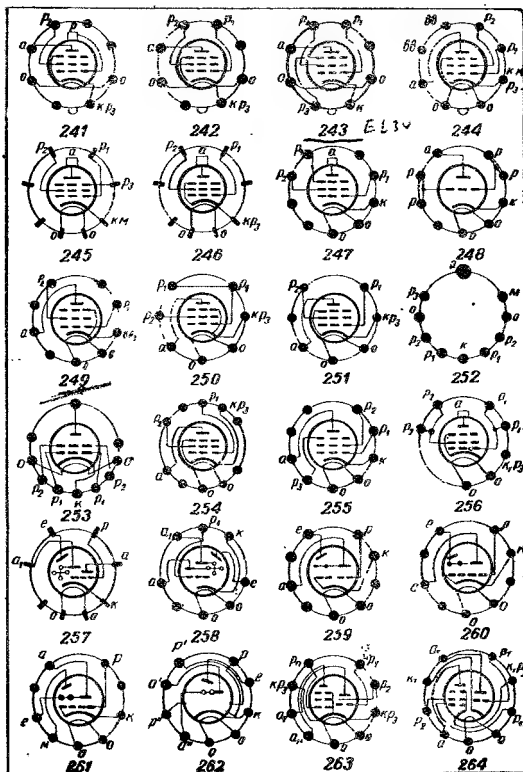


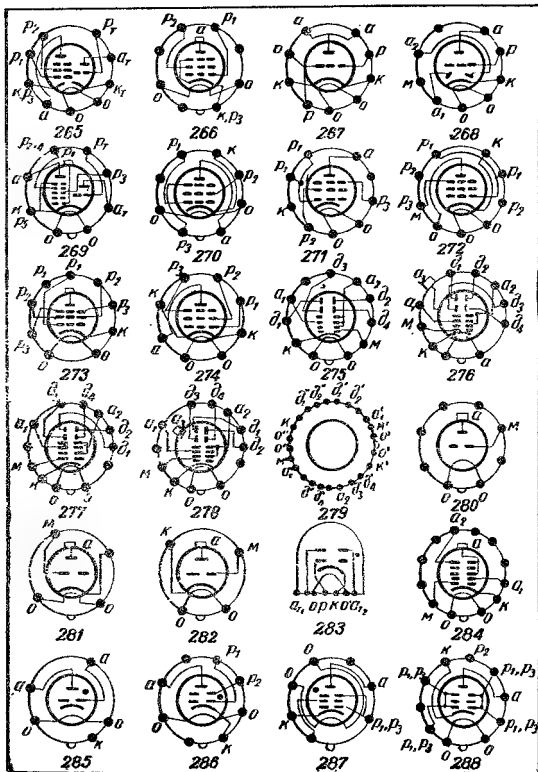


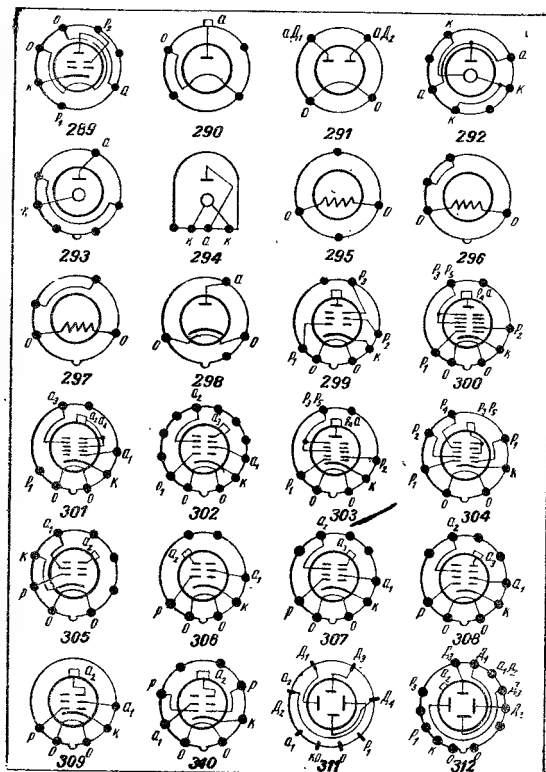


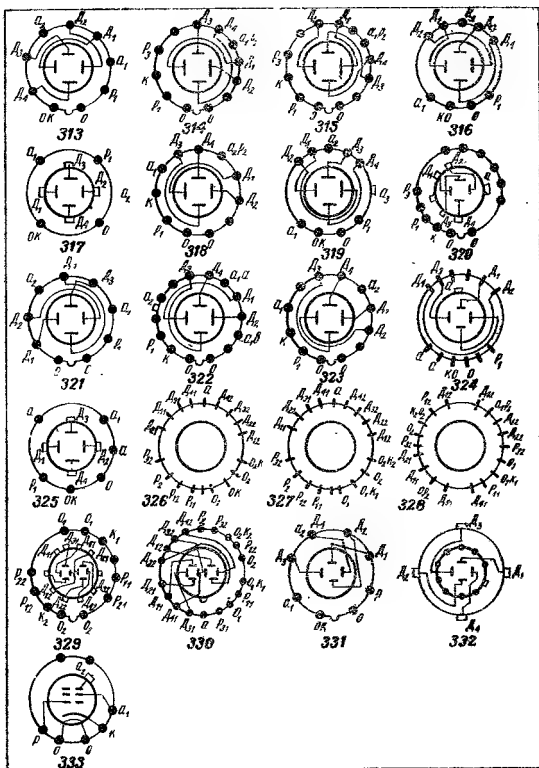












## ТОКОЗАХРАНВАНЕ

## 1. Галванични елементи и батерии

**Галванични елементи.** Галваничните елементи се използват главно за захранване на батерийни приемници, измерителни уреди и др. апаратури, при които е необходимо постоянно напрежение, или пък в места, където няма електрическа мрежа.

Галваничните елементи биват сухи и водоналивни. Те са предназначени за работа при температура от  $-20^{\circ}\text{C}$  до  $+55^{\circ}\text{C}$ .

В означението за типа буквите означават: С — сух, Е — елемент, Л — Лекланше, ВН — водоналивни.

В условното означение освен типа с цифра се дават началният капацитет на елемента при  $+20^{\circ}\text{C}$  в амперчасове (ач) и номерът на стандарта.

Напр. СЕЛ-40 БДС 73—58 — сух елемент Лекланше с начален капацитет 40 ач.

Размерите и теглото на елементите са дадени в таблица 27.

Таблица 27

Тип на елемента	Диаметър в мм	Дължина в мм	Ширина в мм	Височина без контакт в мм	Височина с контакт в мм	Тегло не повече от кг
СЕЛ-9	—	42	42	100	—	0,3
СЕЛ-30	—	56	56	130	—	0,7
СЕЛ-40	75	—	—	155	170	1,2
СЕЛ-80	95	—	—	175	195	2,0
ВНЕЛ-18	—	56	56	110	130	0,55
ВНЕЛ-40	75	—	—	155	170	1,0
ВНЕЛ-70	95	—	—	175	195	1,6

Електрическите характеристики на галваничните елементи при температура  $+20^{\circ}$  до  $+55^{\circ}\text{C}$  трябва да отговарят на данните, дадени в таблица 28.

**Галванични батерии.** Батериите са такъв източник на ток, състоящ се от последователно свързани елементи за съвместна работа.

Елементите на батериите се изработват от въгленов или цинков електрод, деполяризатор от манганов двуокис и графит, електролит от амониев, калциев, мажков и др. хлориди в пихтнеобразно състояние.

Основните електрически параметри на елементите или батериите са номиналното напрежение, максималният допустим ток на разреждане и капацитетът.

Таблица 28

Тип на елемента	Начални характеристики			Разреждане			Съхранение
	електрдвижуща сила $eoc$ [в]	напряжение [в]	капацитет [ам]	съпротивление на външната верига [ом]	крайно напряжение [в]	срок на съхранение [мес]	капацитет след съхранение [ам]
СЕЛ-9	1,50	1,45	9	10	0,70	6	7
СЕЛ-30	1,50	1,45	29	10	0,70	12	22
СЕЛ-40	1,50	1,45	40	5	0,70	12	38
СЕЛ-80	1,50	1,45	80	5	0,70	12	78
ВНЕЛ-18	1,50	1,45	18	10	0,70	36	18
ВНЕЛ-40	1,50	1,45	40	5	0,70	36	40
ВНЕЛ-70	1,50	1,45	70	5	0,70	36	70

Размери и тегло на батериите

Таблица 29

Вид	Размери в мм						Тегло в кг	
	дължина		ширина (диаметър)		височина			
БП	61	2	20	2	65	2	125	5
БУ	—	—	21	1	72	2	45	2
БА	268	15	165	5	79	2	4000	45

Електрически характеристики на батериите

Таблица 30

Тип	Измерване			Разтоварване						
	начално напряжение [в]	работно напряжение [в]	съпротивление [ом]	продължителност за всеки ден (мин)	съпротивление [ом]	сила на тока [ам]	времетраене [ч]	време на съхранение [мес]	времетраене след съхранение [ч]	крайно напряжение [в]
БПл-4,5	4,5	4,2	15	10	15	—	3,25	4	2,5	2,1
БЦ-3	3,0	2,7	10	10	10	—	1,0	2	0,75	1,4
БАС-120	120,0	112,0	400	240	24000	5	260,0	6	260,0	58,0

Напрежението на въглено-цинковия елемент независимо от неговите размери е около 1,5 в.

Максимално допустимият ток на разреждане, ако той не е показан, може да се определи, разделяйки напрежението на елемента на най-малкото товарно съпротивление, дадено в таблицата.

Капацитетът на елемента зависи преди всичко от неговите размери.

При определяне захранването на радиоприемника или на друга апаратура с елементи или батерии трябва да се знаят тяхното напрежение, капацитет, максимално допустим ток на разреждане, срок за съхранение и дата на произвеждането им. Препоръчва се консумиравият ток да не бъде повече от 50—60 % от максимално допустимия ток на разреждане. Елементите и батериите трябва да се съхраняват на сухо и проветряващо място.

## 2. Акумулатори

Акумулаторите за захранване на радиоприемници и други апаратури биват: оловни (киселинни), алкални и сребърно-цинкови.

**Оловни акумулатори.** Те са едни от често употребяваните и се състоят от положителни и отрицателни плочи (електроди). Положителните плочи са от оловен двуокис ( $PbO_2$ ) и имат кафяв цвят. Отрицателните плочи са от шуплесто олово (Pb) и имат сив цвят. Между плочите обикновено се поставят тънки надупчени плочи от ебонитови и фурирни листове.

Електролитът на оловните акумулатори представлява разтвор от сярна киселина ( $H_2SO_4$ ) и дестилирана вода. Гъстотата на електролита при зареден акумулатор трябва да бъде около 28° по Боме или 1,24—1,28, измерена с гъстомер.

Напрежението на зареден акумулатор е 2 в. При използването му не трябва да се допуска спадане под 1,8 в. Разреден акумулатор трябва не по-късно от 24 часа да бъде отново зареден, в противен случай чувствително се намалява неговият капацитет. При намаляване на електролита акумулаторите се доливат с вода (дестилирана).

Сярната киселина е силно отровна и затова с нея трябва да се работи внимателно. Тя силно разяжда кожата и образува рани. Необходимо е при заливане с сярна киселина веднага да намокрим мястото със сода и промием с гечаша вода.

Зареждането на акумулаторите се извършва 3÷6 часа след тяхното заливане с електролит. Положителният полюс на акумулаторната батерия се съединява с положителния полюс на източника, а отрицателният — с отрицателния (фиг. 58).

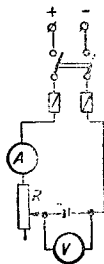
Силата на нормалния зареждащ ток може да се определи по следната формула:

$$I_{зар} = \frac{Q}{k}(a).$$

където

$I_{зар}$  е зареждащият ток;

$Q$  — номиналният капацитет на акумулатора в ач;



Фиг. 56. Схема на зареждане на акумулатори



$k$  — коефициент, равен на 10 за отоплителните и анодните акумулатори и на 16 за стартерни акумулатори.

Пълното зареждане на акумулаторите се определя по следните признаци: напрежението на отделния акумулаторен елемент достига до 2,7—2,8 в; започва силно газоотделяне — кипене;

положителните плочи стават тъмнокафяви, а отрицателните — светлосиви.

Оловните акумулатори са много чувствителни към недозареждане и преизреждане, поради което трябва да се спира своевременно зареждането.

При зареждането се отделя вредни за дишането пари, затова зареждането трябва да става в помещения, в които не се живее. Към зареждащия се акумулатор не трябва да се доближават пламък, горяща цигара и др. Това може да предизвика взрив от отделящите се газове.

**Алкални акумулатори.** Алкалните акумулатори са механически много издръжливи, отколкото оловните. Те понасят непродължителни къси съединения. Зареждането и разреждането може да стават с голям ток, както и да се оставят продължително време в разрежено състояние. Обслужването им е по-просто, отколкото на оловните. Произвеждат се главно два вида алкални акумулатори: желязно-никелови и кадмиево-никелови. Двата вида акумулатори си приличат по основните характеристики. Кадмиево-никеловите акумулатори имат 1,5÷2 пъти по-малко вътрешно съпротивление и 2÷3 пъти по-малък саморазряд. При бездействие над два месеца желязно-никеловите акумулатори напълно изгубват заряда си.

За електролит на алкалните акумулатори служи воден разтвор от калиева основа с гъстота 23—25 градуса по Боме (относително тегло 1,19—1,25) или натрева основа с гъстота 21—23 градуса по Боме (относително тегло 1,17—1,19). За един литър разтвор с такава гъстота е необходимо 255—282 г калиева основа или 177—201 г натрева основа. За увеличаване живота на тези акумулатори се препоръчва да се добавя литиева основа по 20 г за разтвор от калиева основа и по 30 г за разтвор от натрева основа в 1 литър обем.

Калиевата и натриевата основа силно разяждат човешката кожа, вълнените платове, кожени обувки, повреждат очите, поради което е необходимо много внимателно отнасяне с тях. Поразените от тях части на тялото трябва да се мият веднага с разтвор от борна киселина.

Зареждането на алкалните акумулатори се извършва, както и при оловните акумулатори.

Силата на зареждащия ток се определя по формулата:

$$I_{\text{зар}} = \frac{Q}{4} (a).$$

Напрежението на акумулаторите в края на зареждането достига до 1,75—1,8 в.

**Сребърно-цинкови акумулатори.** Тези акумулатори имат големи предимства пред оловните и алкалните акумулатори. Те имат сравнително много по-малки размери, имат голямо преимущество при използването им в импулсен режим. При капацитет 0,5 ач такъв акумулатор може да даде при импулсен режим до 600 а. Сребърно-цинковите акумулатори работят нормално при температура —20° до +60°. Те могат да работят и до —59 и +80°.

Отрицателният електрод на тези акумулатори се състои от цинков скелет, като всяка пластина е поместена в пакет от вещество, което позволява добро съприкосновение с електролита. Положителният електрод се състои от сребърни плочки. Електролитът им е разтвор от калиева основа.

При зареждане напрежението на сребърно-цинковия акумулатор достига до 2,1 в. За 15 мин може да се зареди 70—80 % от номиналния капацитет на тези акумулатори. Най-голям коефициент на използване се получава при зареждане в продължение на 10—20 часа.

### 3.7 Токоизправители

Токоизправителите служат за получаване на постоянно напрежение чрез преобразуване на променливото в постоянно пулсиращо напрежение, което се изглажда с филтри.

В изправителите за захранване на приемници и усилватели се използват лампови, селенови или полупроводникови токоизправители.

Лампите и полупроводниковите диоди, които могат да се използват за токоизправители, са дадени в таблиците към трета глава.

Селеновите токоизправители се различават по работната си площ. Те се произвеждат с квадратна форма в следните размери: 20×20 мм; 25×25 мм; 33×33 мм; 45×45 мм; 60×60 мм; 78×78 мм; 90×90 мм; 100×100 мм.

Допустимото натоварване на различните по размери клетки при различните схеми на свързване е дадено в таблица 31.

Таблица 31

Схема на включване	Натоварване при размери на клетките (а)							
	20/20	25/25	33/33	45/45	60/60	78/78	90/90	100/100
Еднофазно еднопътно . . . . .	0,040	0,075	0,150	0,300	0,600	1,200	1,500	2,000
Еднофазно противотактно (със ср. точка) . . . . .	0,075	0,150	0,300	0,600	1,200	2,400	3,000	4,000
Еднофазно мостово . . . . .	0,075	0,150	0,300	0,600	1,200	2,400	3,000	4,000
Трифазно еднопътно . . . . .	0,100	0,200	0,450	0,900	1,800	3,600	4,500	6,000
Трифазно мостово . . . . .	0,100	0,200	0,450	0,900	1,800	3,600	4,500	6,000
Шестфазно . . . . .	0,150	0,300	0,600	1,200	2,400	4,800	6,000	8,000

Допустимото променливо напрежение, което може да се приложи на една клетка, и полученото средно постоянно напрежение при номинално натоварване на токоизправителя за всички клетки са показани на таблица 32.

Данните в таблиците 31 и 32 се отнасят за чисто активно натоварване и естествено въздушно охлаждане при околна температура до 25° С.

При по-висока температура на околната среда, над 25° С, стойностите на тока и напрежението се намаляват в зависимост от температурата. Максималната работна температура на клетките не трябва да превишава 70° С.

Класифицирането на селеновите клетки в зависимост от величината на обратния ток е показано в таблица 33.

Данните в таблица 33 се отнасят за температура на измерваната клетка 45° С ± 2°.

Клетките от клас 8 се допускат в работа при работно напрежение не повече от 16 в (ефективно) на клетка.

Таблица 32

Напрежение	Еднофазно включване			Трифазно включване		
	едно- пътно	със средна точка	мостово	едно- пътно	със средна точка	мостово
Максимално променливо напреже- ние (в) . . . . .	18	18	18	18	18	18
Средно постоянно напрежение при активен товар (в) . . . . .	6,5	6,5	12	10	10	19

Таблица 33

Размери на клетката	Клас на клетката	0	2	4	6	8
		Обратен ток (ма)				
20×20		0—0,3	0,3—0,6	0,6—1,2	1,2—2,4	2,4—3,6
25×25		0—0,5	0,5—1	1—2	2—4	4—6
33×33		0—0,75	0,75—1,5	1,5—3	3—6	6—9
45×45		0—1,25	1,25—2,5	2,5—5	5—10	10—15
60×60		0—2,5	2,5—5	5—10	10—20	20—30
78×78		0—4,5	4,5—9	9—18	18—36	36—54
90×90		0—5,5	5,5—11	11—22	22—44	44—66
100×100		0—7	7—14	14—28	28—56	56—86

Забелжка. Посочените данни се отнасят за селенови клетки българско производство, които имат малки различия от характеристиките на чуждестранното производство.

#### 4. Изглаждащи филтри

За намаляване пулсациите на изправеното напрежение се употребяват изглаждащи филтри, които се състоят от индуктивност и капацитет или от съпротивление и капацитет.

Филтрите от индуктивност и капацитет се употребяват при изправен ток над 20 ма, а филтрите от съпротивление и капацитет — при изправен ток под 20—25 ма.

Изчисляването на филтъра се извършва по дадени стойности на изправеното напрежение: тока, коефициента на пулсациите и капацитета на кондензатора във входа на филтъра.

Допустимите стойности за коефициента на пулсациите при изхода на филтъра зависят от характера на товара и варират при различните стъпала в следните граници (%):

първи стъпала на микрофонните усилватели	0,001—0,002
детекторни стъпала, предусилватели на ниска честота	0,01—0,05
високочестотни, междинночестотни и преобразователни стъпала	0,02—0,1
еднотактни изходни нискочестотни стъпала	0,1—0,5
двутактни изходни нискочестотни стъпала, електронни и газови стабилизатори на напрежение, аноди на електронно лъчеви тръби	0,5—2
намотка на електродинамичен високоговорител	до 20
мощно стъпало на телеграфен радиопредавател	0,5—3,0
мощно стъпало на телефонен радиопредавател	0,05—0,01
мощно стъпало на концертен радиопредавател	0,03—0,06
задаващ генератор на радиопредавател	0,001—0,06

За еднопътен изправител произведението  $LC$  се намира от уравнението

$$LC = 10 \frac{P_{\text{вх}} (\%) }{P (\%) } ,$$

където

$L$  — индуктивността на филтъра в  $\mu\text{H}$ ;

$C$  — капацитетът на филтъра в  $\mu\text{Kf}$ ;

$P_{\text{вх}}$  — коефициентът на пулсациите на входа на филтъра в  $\%$ .

За двупътен изправител

$$LC = 2,5 \frac{P_{\text{вх}} (\%) }{P (\%) } .$$

Като ни се даде стойността на капацитета на филтъра, можем да определим индуктивността на дросела.

Когато произведението  $LC$  е по-голямо от 200, поставя се второ филтриращо звено. В такива случаи за еднопътен изправител  $LC = 3,5 \frac{P_{\text{вх}}}{\sqrt{P}}$ , а за двупътен

$$LC = 0,8 \frac{P_{\text{вх}}}{\sqrt{P}} .$$

Определянето на  $RC$  за еднопътен изправител се извършва по следния начин:

$$RC = 3000 \frac{P_{\text{вх}}}{P} \text{ при едно звено;}$$

$$RC = 1000 \frac{P_{\text{вх}}}{\sqrt{P}} \text{ при две звена.}$$

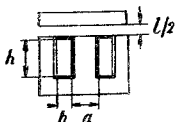
За двупътно изправяне:

$$RC = 1500 \frac{P_{\text{вх}}}{P} \text{ при едно звено;}$$

$$RC = 500 \frac{P_{\text{вх}}}{\sqrt{P}} \text{ при две звена.}$$

## 5. Нискочестотен дросел

Нискочестотният дросел в изглаждащите филтри служи за намаляване на пулсациите на изправения ток (фиг. 57). Той се състои от желязна сърцевина и намотка от меден изолиран проводник. В радиоприемниците понякога за дросел се използва намотката на електродинамичния високоговорител.



Фиг. 57. Разрез на нискочестотен дросел.

Индуктивността на нискочестотния дросел с желязна сърцевина се определя по следната формула:

$$L = \frac{1,26 \cdot \mu \cdot S_{ж} \cdot w^2 \cdot 10^{-8}}{l_c},$$

където

$L$  е индуктивността в  $\mu\text{H}$ ;

$\mu$  — магнитната проницаемост на желязото;

$S_{ж}$  — сечението на желязната сърцевина в  $\text{cm}^2$ ;

$l_c$  — дължината на магнитния път в  $\text{cm}$ .

Ако през бобината не протича постоянен ток, то  $\mu$  може да се вземе 400. Броят на навивките на дросела се определя по следната формула:

$$w = 450 \sqrt{\frac{L l_c}{S_{ж}}}$$

При протичане на постоянен ток през бобината на дросела индуктивността му малко се намалява.

Сечението на сърцевината на дросела се определя по формулата

$$S_{ж} = \frac{L \cdot I_0^2}{20000 l} (\text{cm}^2).$$

Напречното сечение на намотката се определя от

$$S_n = \frac{w d^2}{100} (\text{cm}^2).$$

Диаметърът на проводника се определя от

$$d = 0,025 \sqrt{I_0} (\text{mm}),$$

където  $I_0$  е силата на тока в намотката.

Съпротивлението на намотката на дросела се определя от

$$R_n = \frac{0,0002 \cdot w \cdot l_n}{d^2} (\text{ohm}).$$

При протичане на по-голям постоянен ток през намотката на дросела е необходимо сърцевината на дросела да се прави с въздушна междина. С увеличаване на междината се увеличава и индуктивността на дросела. Това разстояние се регулира, като се слагат тънки лентички картон.

Разстоянието на въздушната междина се определя от

$$l_g = \frac{10I_c + I_o \cdot w}{1000} \cdot (м.м.),$$

където

$l_g$  — дължината на въздушната междина в  $м.м.$ ;

$l_c$  — дължината на магнитния път в  $см.$ ;

$I_o$  — постоянният подмагнитващ ток в  $а.$ ;

$w$  — броят на навивките.

Индуктивността на дросел, на който желязната сърцевина има въздушна междина, се определя от

$$L = \frac{1,3 \cdot S \cdot w \cdot 10^{-6}}{\mu \cdot l_c + l_g} \cdot (хн),$$

където  $L$  — индуктивността на дросела в  $хн.$ ;

$S_{ж}$  — сечението на сърцевината в  $см^2$ ;

$l_c$  — дължината на магнитния път в  $см.$ ;

$l_g$  — дължината на въздушната междина в  $см.$ ;

$\mu$  — магнитната проникваемост на материала.

## 6. Мрежови трансформатори

Мрежовият трансформатор служи за преобразуване напрежението на електрическата мрежа за променлив ток в по-високи и по-ниски напрежения за захранване на анодните и отоплителните вериги на приемниците. Той се състои от следните основни части: сърцевина, макара, намотка и части за стягане на сърцевината.

Желязната сърцевина се прави от специална ламарина с дебелина  $0,3 - 0,5$   $м.м.$  Пластините, от които се образува желязната сърцевина, се облепват от едната страна с тънка цигарена хартия или пък се покриват с изолационен лак. Това изолиране намалява загубите от вихрени токове в желязната сърцевина, намалява нагряването на трансформатора при работа и повишава неговия КПД.

Макаратата, върху която се навиват намотките на трансформатора, се прави от картон, пертинакс или друга подобна изолационна материя.

Намотката на трансформатора се прави от меден проводник, изолиран с лак, памук или коприна.

При навиването отделните редове от намотката се изолират с пласт хартия. Първичната намотка се изолира от вторичната с електростатичен екран, който в повечето случаи се прави от еднослойна намотка от изолиран проводник с неговия диаметър, като единият от краищата се заземява. Изводите на едната намотка (от тънък проводник) се правят от мек многожилен проводник с добра изолация, а изводите на другата намотка (от дебел проводник) се правят, като се удължават самите краища на проводника.

Изчисляване на маломощен трансформатор:

1. Определя се мощността на трансформатора, като се сумират мощностите на всички вторични намотки при пълен товар. Мощността на намотките се изчислява като произведение от ефективните стойности на напреженията и

токовете. Мощността на намотките, предназначени за изправители, може приблизително да се приеме като мощност на изправения ток :

$$P_{\text{изпр}} = U_{\text{изпр}} I_{\text{изпр}},$$

където  $U_{\text{изпр}}$  е изправеното напрежение на входа на филтъра във  $\delta$ ;  
 $I_{\text{изпр}}$  — пълният изправен ток в  $a$ .

Пълната мощност на вторичните намотки на трансформатора е:

$$P_{II} = P_{\text{изпр}} + P_2 + P_3 + \dots + P_n$$

Мощността на трансформатора ще бъде:  $P_{\text{тр}} = \frac{P_{II}}{\eta_{\text{тр}}}$ ,

където  $\eta_{\text{тр}}$  е КПД на трансформатора, равен за маломощни трансформатори средно на 0,8. Оттук  $P_{\text{тр}} \approx 1,21 P_{II}$ .

Ориентировъчни данни за изчисляване на трансформаторите са дадени в табл. 34.

Таблица 34

Мощност на трансформатора във $вт$	Индукция $B$ в $гс$	$\eta_{\text{тр}}$	Плътност на тока $\delta$ в $а/мм^2$
До 10	$5-6 \cdot 10^3$	0,6—0,7	2,5—8
10—30	$7 \cdot 10^3$	0,7—0,8	2,5
30—50	$87 \cdot 10^3$	0,8—0,85	2—2,5
50—100	$10^4$	0,85—0,9	2—2,5
Над 100	$11 \cdot 10^3$	0,9	2

## 2. Определят се конструктивните размери на сърцевината

$$S_{\text{ж}} \cdot S_{\text{н}} = \frac{10^4}{B} \cdot \frac{P_{\text{тр}} \cdot (1 + \eta_{\text{тр}})}{2 \cdot K_{\mu} \delta},$$

където  $S_{\text{ж}}$  е сечението на желязната сърцевина в  $см^2$ ;

$S_{\text{н}}$  — сечението на намотката в  $см^2$ ;

$B$  — индукцията в  $гс$ ;

$K_{\mu}$  — коефициентът на запълване прозореца на трансформатора;

$\delta$  — плътността на тока в намотките.

Коефициентът на запълване прозореца на трансформатора  $K_{\mu}$  е даден в таблиц 85.

Таблица 85

Диаметър на проводника в $мм$	Тип на проводника		
	ПЕЛ, ПЕТ	ПЕЛШО, ПШД	ПЕД
0,1—0,2	0,1—0,2	—	—
0,2—0,4	0,2—0,3	0,1—0,2	—
0,4—0,8	0,3—0,35	0,2—0,3	0,1—0,2
0,8—1,5	0,35—0,45	0,3—0,35	0,2—0,3

3. Изчислява се броят на навивките на всички намотки. Броят на навивките за I в се определя от равенството

$$N_1 = \frac{60}{u u_1},$$

където  $u$  и  $u_1$  са ширината на пластинката и дебелината на сърцевината.

Броят на навивките на която и да е намотка е

$$w_n = U_n \cdot N_1.$$

Броят на навивките за отоплението се увеличава с 5—10%.

4. Определя се диаметърът на проводниците на всички намотки. Премайки плътността на тока в намотките да е  $\delta = 2 \text{ а/мм}^2$ , минимално необходимите диаметри на проводниците за намотките се определят от равенството

$$d_n = 0,8 \sqrt{I_n},$$

където  $I_n$  е силата на тока през намотката в а, а при  $\delta = 2,5 \text{ а/мм}^2$

$$d_n = 0,7 \sqrt{I_n}.$$

Токът в първичната намотка може да се определи приблизително от равенството

$$I_1 = 1,1 \frac{P_{\text{тр}}}{U_1}.$$

5. Проверява се поместването на намотките.

Броят на навивките в един слой на намотката е

$$w_{\text{сл}} = \frac{h - 2(b_{\text{мак}} + 2)}{\alpha \cdot d_{\text{из}}},$$

където  $h$  е височината на прозореца в мм;

$b_{\text{мак}}$  — дебелината на материала на макаратата в мм;

$d_{\text{из}}$  — диаметърът на проводника с изолацията в мм;

$\alpha$  — коефициентът на изпълтност.

Таблица 36

Значения на коефициента на изпълтност

Диаметър на проводника без изолация в мм	$\alpha$
0,08—0,11	1,3
0,15—0,25	1,25
0,35—0,41	1,2
0,51—0,93	1,1
Повече от 1,0	1,05

Брой на слоевете:  $n_{\text{сл}} = \frac{w}{w_{\text{сл}}}$ ,  $w_{\text{сл}}$  брой на навивките в един слой.

Дебелина на намотката  $b = n_{\text{сл}}(d_{\text{из}} + b_{\text{из}})$ ,

където  $b_{\text{из}}$  е дебелината на изолацията между слоевете.



По такъв начин се изчислява дебелината на всички намотки. Трябва да се изпълни условието

$$h \geq b_{\text{макс}} + (b_1 + b_2 + \dots + b_n) + b_{\text{сл}},$$

където  $b_1, b_2 \dots b_n$  е дебелината на всяка намотка;

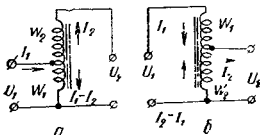
$b_{\text{сл}}$  — сумарната дебелина на всичките изолационни слоеве между редовете в намотките.

Ако това условие не се изпълни, следва да се увеличат размерите на сърцевината и се изправи изчисление на трансформатора отначало.

## 7. Автотрансформатори

Автотрансформаторът има само една намотка с един или повече междинни извода (фиг. 58).

Използвайки автотрансформатор вместо трансформатор, може да се намалят разходите от проводник, тъй като



Фиг. 58. Схеми на автотрансформатори

$a$  — повишаващ автотрансформатор;  
 $b$  — понижаващ автотрансформатор;

в общата част на намотката протича разликата от токовете  $I = I_2 - I_1$  (понижаващ трансформатор) или  $I = I_1 - I_2$  (повишаващ трансформатор). Автотрансформаторът има преимущество по отношение на разхода на проводник само при неголеми коефициенти на трансформиране.

Намотката на автотрансформатор, предназначен за включване в мрежа за променлив ток, не трябва да се заземява.

Мощността на автотрансформатора се състои от две съставни:

Трансформаторна мощност, т. е. мощността, предавана във вторичната верига по трансформаторен път за сметка на магнитната връзка между веригите:

$$P_{\text{тр}} = U_2 I_1$$

където  $I = I_1 - I_2$  — за повишаващ трансформатор, и  $I = I_2 - I_1$  — за понижаващ трансформатор.

Проходяща мощност, предавана във вторичната верига по електрически път за сметка на съществуващата електрическа връзка между намотките:

$$P_{\text{пр}} = U_2 I_1$$

Изчисляването на автотрансформатор се извършва подобно на изчислението на мрежовни трансформатор. Разликата се състои в следното:

сърцевинната на автотрансформатора се изчислява за стойността на трансформаторната мощност:

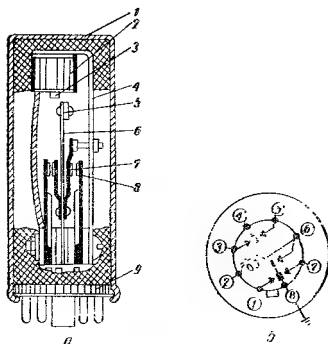
$$P_{\text{тр}} = 1,1 \cdot P_{\text{атр}} \frac{n-1}{n},$$

където  $P_{\text{атр}}$  е мощността на автотрансформатора;

$n$  — коефициентът на трансформиране (взема се максимален, когато автотрансформаторът е многостепенен).

## 8. Вибропреобразователи

Вибропреобразователите служат за преобразуване на ниското напрежение на постоянния ток (6—12 в) в по-високо постоянно напрежение. Те се използват за захранване на подвижни апаратури, като автомобилни радиоприемници и маломощни радиоапаратури, където няма променлив ток, а се захранват от акумулатори. Коэффициентът на полезното действие (КПД) на вибропреобразователите е от 45 до 80 %. С повишаване на мощността КПД иараства.



Фиг. 59. Конструкция и цокъл на вибропреобразовател

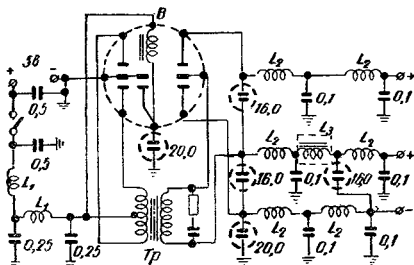
Животът на вибропреобразователите при правилна експлоатация достига от 2000 до 3000 часа. Износва се самовибраторът, който обикновено не се ремонтира, а се заменя с нов.

Вибраторите биват два типа: асинхронни и синхронни. Асинхронните вибратори произвеждат променливо напрежение, което се дава на вторичната намотка на трансформатора на вибропреобразователя, затова при използването им се изисква отделен трансформатор и токоизправител. Синхронните вибратори могат да се използват в синхронните и асинхронните вибропреобразователи.

Най-често срещана конструкция на вибратор е показана на фиг. 59. Вибраторът има две системи контакти: неподвижни 8, закрепени на твърди плоски пружини, и подвижни 7, закрепени към трептящата котва.

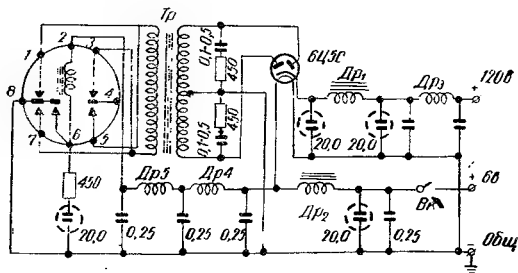
Най-голямо приложение са намерили синхронните вибропреобразователи.

На фиг. 60 е показана типична схема на синхронен вибропреобразовател. Във вторичната верига е употребен удвоителя на напрежението на два електrolитни кондензатора. Трансформаторът е направен от пластинки Ш-19 и ма-



Фиг. 60. Схема на синхронен вибропреобразовател

точно сечение на сърцевината  $3,5 \text{ см}^2$ . Първичната намотка има две секции, всяка по 51 навивки от проводник ПЕЛ-1,35, а вторичната — 1420 навивки от ПЕЛ-0,35.



Фиг. 61. Схема на асинхронен преобразовател

Дроселът  $L_2$  има сърцевина Ш  $16 \times 16$  и намотка с 5000 навивки от проводник ПЕЛ-0,14.

Бобината  $L_1$ , навита на тяло с диаметър 16 мм, има 30 навивки от проводник ПЕЛ-1,35.

Бобината  $L_2$ , навита на тяло с диаметър 10 мм, има 175 навивки от проводник ПЕЛ-0,2.

Асинхронните вибропреобразователи имат следните преимущества пред синхронните: по-прости схема и vibrator; по-ниско ниво на шумове; възможност за получаване на изхода изправени напрежения до 300 в и повече, без удвояване; възможност за увеличаване мощността на преобразователя при използване на синхронен vibrator за сметка на паралелно включените контакти.

Асинхронните вибропреобразователи имат следните недостатъци: използване на кенотрон или твърдизправител; по-пистък КПД; голяма зависимост на изправеното напрежение от товара.

На фиг. 61 е показана схема на асинхронен вибропреобразовател. В схемата се използва типов синхронен vibrator. Това дава възможност да се опрости първичната намотка на трансформатора.

### 9. Стабилизатори

За стабилизиране на напрежението се използват: ферорезонансни, газови и електронни стабилизатори.

**Ферорезонансни стабилизатори на напрежение.** Ферорезонансните стабилизатори на напрежение използват резонансните явления във веригите, имащи железни сърцевини. Проста схема на ферорезонансен стабилизатор с последователно включен кондензатор е показана на фиг. 62а. Такива стабилизатори се използват обикновено до 60 вт и осигуряват на изхода достатъчно стабилно напрежение. При по-големи мощности се използват по-сложни схеми на ферорезонансни стабилизатори.

На фиг. 62б е показана схема на ферорезонансен стабилизатор с номинална мощност 320 вт. При изменение напрежението на мрежата до  $\pm 20\%$  на изхода на този стабилизатор се получава  $\pm 2\%$  изменение от номиналното напрежение. Коефициентът на полезното действие е равен на  $75-80\%$ . Този стабилизатор има следните данни на отделните елементи:

Сърцевината на трансформатора е от пластини Ш 32, дебелина 50 мм и разширен прозорец.

Сърцевината на дросела е от пластини Ш 32 с дебелина 32 мм и междина между пластините 1,5 мм.

Първичната намотка на автотрансформатора е навита от проводник ПЕЛ-1 с дебелина 1,5 мм и 420 навивки с отводи на 195, 200, 215, 220, 345, 350, 355, 360, 365, 375 и 380-та навивка.

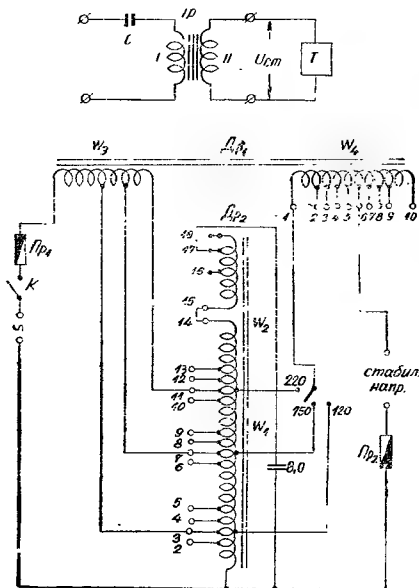
Вторичната намотка е от проводник ПЕЛ-1 с диаметър 1,0 мм и 500 навивки с отводи от 520, 540, 560-та навивка. Първата и втората намотка се съединяват последователно и са навити от проводник ПЕЛ-1 с диаметър 1,5 мм по 266 навивки.

Третата намотка има 500 навивки от проводник ПЕЛ-1 с диаметър 1,5 мм и отводи от 15, 18, 21, 24, 27, 30, 35, 40-та навивка.

Между намотките се поставят два слоя хартия с 0,12, 0,15 мм дебелина, а между редовете един слой хартия с 0,05 мм дебелина.

**Газови стабилизатори на напрежение.** Газовите стабилизатори на напрежение се използват за стабилизиране анодното напрежение на хетеродинните, екранните напрежения на радиолампите, в измерителни апаратури и др. Те са прости по устройство, но не всякога осигуряват достатъчно стабилизиране на напрежението, не допускат големи изменения на входящото напрежение и не могат да се използват при големи токове на товара.

За газови стабилизатори могат да се използват неоновии лампи, но много по-добре е да се използват специални лампи стабиливолти, като СГ2С, СГ3С, СГ4С, СГ1П, СГ2П.



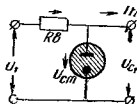
Фиг. 62. Ферорезонансен стабилизатор  
горе — с последователно включен кондензатор  
догу за 320 ат

Начинът на включване на газов стабилизатор на напрежение е показан на фиг. 63. Последователно със стабиливолта се включва балансно съпротивление.

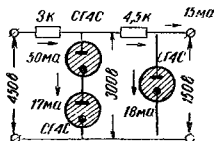
Когато трябва да се стабилизира по-високо напрежение, включват се последователно няколко стабиливолта, изчислени за еднакъв ток. За увеличаване

коэффициента на стабилизирането се включват няколко звена от стабиливолти. На фиг. 64 е показана такава схема.

Колкото е по-малък токът на товара  $I_T$  и колкото е по-голямо напрежението на входа на стабилизатора  $U_1$ , толкова е по-добро стабилизиращото действие на схемата.



Фиг. 63. Схема на включване на газов стабилизатор



Фиг. 64. Схема на последователно включени звена на газов стабилизатор

### Изчисляване на газов стабилизатор

При дадено стабилизирано напрежение  $U_{ст}$ , ток на товара  $I_T$  и процентно изменение на входното напрежение  $\alpha\%$  определяме:  $R_6$  — балансиото съпротивление, и  $U_1$  — номиналната стойност на входното напрежение.

$$R_6 = \frac{0,02 \cdot \alpha \cdot U_{ст}}{(I_{ст макс} - I_{ст мин}) - 0,1 \cdot \alpha (I_{ст макс} + I_{ст мин}) - 0,02 \cdot \alpha \cdot I_T};$$

$$U_1 = U_{ст} + [I_T + 0,5 (I_{ст макс} + I_{ст мин})] \cdot R_6,$$

където  $I_{ст макс}$  и  $I_{ст мин}$  са максималната и минималната стойност на тока през стабиливолта.

При дадени  $U_{1 макс}$  и  $U_{1 мин}$   $R_6 = \frac{U_1 - U_{ст}}{0,5 (I_{ст макс} + I_{ст мин}) + I_T}$

където  $U_1 = 0,5 (U_{1 макс} + U_{1 мин})$ .

Коефициентът на стабилизиране  $k$  показва колко пъти процентното изменение на изходното напрежение е по-малко от процентното изменение на входното напрежение (напрежението от мрежата):

$$k = \frac{U_{ст}}{U_1} \cdot \frac{R_6}{R_d},$$

където  $R_d$  е динамичното съпротивление на стабиливолта:

$$R_d = \frac{U_{ст макс} - U_{ст мин}}{I_{ст макс} - I_{ст мин}}$$

**Електронни стабилизатори на напрежение.** Електронните стабилизатори на напрежението са най-съвършените. Те се използват както в промишлени, така и в лабораторни устройства. Коефициентът на стабилизиране е много по-висок, отколкото в другите видове стабилизатори.



триоди с голямо усилване — 6С2С, 6Г2, 6Н9С, 6Н2П, или пентоди — 6ЖУ, 6Ж8, 6Ж1П. Анодният товар на усилвателната лампа трябва да бъде от 2 до 5 пъти по-голям от вътрешното съпротивление на лампата. Минималният ток да не бъде по-малък от 10—20  $\mu\text{A}$ , а отрицателното напрежение на решетката не по-малко от 0,5—1 в.

Отопленното на усилвателната и регулиращата лампа трябва да бъде от различни намотки.

Токът през газовия стабилизатор е около 10—12  $\text{mA}$ , а през делителя на напрежение 1—2  $\text{mA}$ .

На фиг. 65 б е показана схема на електроен стабилизатор с управление както на входа, така и на изхода. Чрез потенциометъра може да се подбере най-добрата стабилизация.

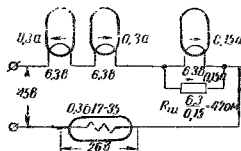
На фиг. 65 в е показана схемата на стабилизатор с двустъпален усилвател на постоянен ток и връзка чрез потенциометър. Коефициентът на стабилизирание е няколко стотни, а изходното съпротивление — няколко  $\Omega$ .

**Стабилизиране отоплителния ток на лампите.** Стабилизиране на отоплителния ток се употребява във високостабилни хетеродини и в измерителни апаратури.

Бареторът може да стабилизира само ток, за който е предвиден. Когато трябва да се стабилизира по-голям ток, отколкото е работният ток на баретора, могат да се включат няколко баретора паралелно. При намаляване броя на последователно включените с баретора лампи се разширяват границите на стабилизиране. На фиг. 66 е показана схема за включване на баретор.

При известна непостоянност на напрежението на входа на веригата, изразено в проценти от номиналното напрежение на  $U$ , може да се определи максимално допустимото напрежение на товара за даден тип баретор:

Фиг. 66 е показана схема за включване на баретор. Върху баретора са включени три лампи с номинални напрежения 4,3 в, 6,3 в и 6,3 в. Бареторът е маркиран с  $0,36/17-35$  и  $268$ . Резисторите са с номинални стойности  $6,38$ ,  $0,15$  и  $470 \Omega$ .



Фиг. 66. Схема за включване на баретор

$$U_T = \frac{\Delta U_6}{n} \cdot 100 \cdot U_{6 \text{ ср.}}$$

където  $U_{6 \text{ ср}}$  е средното напрежение на баретора;  $\Delta U_6 = 0,5 (U_{6 \text{ макс}} - U_{6 \text{ мин}})$ . Тук  $U_{6 \text{ макс}}$  и  $U_{6 \text{ мин}}$  са максималното и минималното напрежение на баретора в границите на стабилизирането.

При неизменна стойност на товарното съпротивление стабилизирането на протичащия през него ток означава стабилизиране на напрежението в краищата на баретора. Затова бареторите могат да се използват като стабилизатори на напрежение, ако товарът бъде постоянно съпротивление.

След включване на баретора са необходими 5—10  $\text{min}$  за установяване на постоянен режим за работа на бареторите.



## ЕЛЕКТРОАКУСТИКА

### 1. Акустика

#### а. Звук

Периодичните механически трептения, предизвикващи физиологично звуково възприятие, се наричат *звукови трептения* или *звук*. Ако тези трептения имат неперiodичен характер, те се възприемат като *шум*.

Звукът се разпространява чрез надлъжни трептения на околната среда, образуващи звукови вълни. Скоростта на разпространението на звуковите вълни във въздуха е 340 м/сек, а за различни други среди тя се движи в границите от 50 до 5000 м/сек. Тази скорост не зависи от честотата на звуковите трептения.

Звуковите трептения могат да предизвикат звуково възприятие, ако имат честота от 20 хц до 20 кхц. Честотите под 20 хц се наричат *инфразвук*, а над 20 кхц — *ултразвук*.

Налигането, което звукът упражнява върху известна повърхност, се нарича звуково налягане. Основна единица за измерването му е бар. Един бар е равен на налягането върху повърхността от 1 см<sup>2</sup> със сила 1 дина:

$$1 \text{ бар} = \frac{1 \text{ дн}}{1 \text{ см}^2}$$

Един бар е приблизително звуковото налягане, предизвикано от нормален човешки говор.

Енергията, която се пренася от звуковите вълни за единица време през повърхност, перпендикулярна на вълните, се нарича звукова мощност. Мощността, отнесена към единица повърхност, се нарича сила на звука. Оная минимална сила на звука, при която престава да се получава звуково възприятие, е долен праг на чуваемостта. Горен праг на чуваемостта е силата на звука, която предизвиква болезнено усещане. Долният праг се получава при звуково налягане от 0,0002 бар, а горният — от 2000 бар. В акустиката е прието акустичните единици да се изразяват чрез *децибели (дб)*, т. е. чрез отношението на съответната величина спрямо така наречения нулев уровень на тази величина.<sup>1</sup> За нулев уровень на силата на звука е приет долният праг

<sup>1</sup> Единицата децибел се използва и за сравняване на електрически мощности, напрежения и токове. Отношението на две електрически мощности в децибели се дава с израза

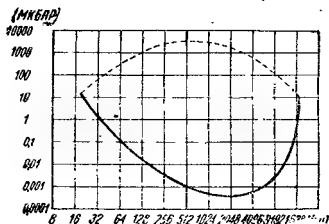
$$N_{\text{дб}} = 10 \lg \frac{P_1}{P_2} \text{ (дб)}.$$

на чуваемостта. Тогава областта между долния праг (0 дб) и горния праг (140 дб) може да бъде изразена чрез много по-удобни величини за сравнение, отколкото ако се изрази чрез съответните абсолютни величини. В табл. 37 са

Таблица 37

Звуков източник	Звуково налягане	
	бар	дб
Горен праг на чуваемост	2000	140
Самолет отблизо	200	120
Влак	20	100
Вик отблизо	2	90
Разговор	0,2	60
Шепнене	0,002	20
Долен праг на чуваемост	0,0002	0

дадени няколко по-характерни звукови източници и предизвиканото от тях звуково налягане, изразено в бар и в дб. Най-малкото изменение на силата на звука, което е все още доловимо от човешкото ухо, отговаря на около 1 дб



Фиг. 67. Чувствителност на човешкото ухо при различни честоти

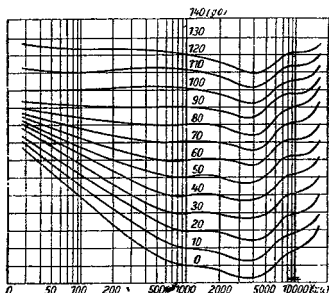
Силата на звуковото възприятие, предизвикано у даден слушател с нормален слух, се нарича специфична сила на звука (гръмкост). За разлика от силата на звука гръмкостта зависи от честотата (фиг. 67). Графината показва;

■ отношението на две напрежения или токове — с изразите

$$N_n = 20 \lg \frac{U_1}{U_2} \text{ (дб)}$$

$$N_I = 20 \lg \frac{I_1}{I_2} \text{ (дб)}.$$

че човешкото ухо има най-висока чувствителност в честотната област от 1000 до 4000  $Hz$ . Тази зависимост е различна за различни нива на гръмкостта. Така от фиг. 68 се вижда, че за нулевото ниво (долния праг — 0  $dB$ ) разликата в гръмкостта при 50  $Hz$  и при 1000  $Hz$  е около 50  $dB$ , докато за нивото 60  $dB$  тази разлика е само 20  $dB$ . Честотната зависимост на гръмкостта има твърде субективен характер и се изменя с изменението на възрастта на слушателя. Кривите на фиг. 68 показват, че чувствителността на човешкото ухо



Фиг. 68. Зависимост на гръмкостта от честотата (криви на еднаква гръмкост)

към ниските и високите тонове намалява с понижаване нивото на гръмкостта. Това обяснява използването на тоикомпенсираното регулиране на усилването в радиоприемниците, при което субективното слухово възприятие за различните честоти се доближава до кривите на еднаква гръмкост, показани на фиг. 68.

**Чисти и сложни звукове.** Всички дадени по-горе определения са в сила за чистите звукове — тонове, имащи синусоидална форма на трептене. Тонът е термин, употребяван в музиката, който отговаря на синусоидално звуково трептене с точно определена честота. Нормално музикалният тон не е чист звук, а съдържа повече или по-малко хармонични обертонове, чиито брой и амплитудни определят характера на звука, неговия тембър.

На табл. 38 са дадени честотните обхвати (заедно с обертоновете) на различните музикални инструменти и човешки гласове.

Височината на музикалния тон се определя от височината на основния тон, който е най-ниският тон, произведен от източника. Обертоновете са хармонични, чиято честота е кратна с цяло число на честотата на основния тон. Музикалният тон, съдържащ освен основния още и известен брой обертонове, представлява сложен звук. Когато хармоничните не се намират в прости кратни съотношения с основния тон и менят честотите и амплитудите си, звукът загубва характера си на музикален тон и се нарича шум. Трептенията, създадени от шума, имат неперiodичен характер.

Таблица 38

Музикален инструмент	Честотен обхват (хц)
Барабан . . . . .	80—4000
Ударни инструменти (разни) . . . . .	90—13000
Цимбал . . . . .	400—12000
Контрабас . . . . .	50—8000
Виолончело . . . . .	80—12000
Роял . . . . .	30—8000
Цигулка . . . . .	200—13000
Тромбон . . . . .	100—7000
Фагот . . . . .	70—10000
Кларнет . . . . .	140—11000
Обой . . . . .	230—13000
Флейта . . . . .	240—13000
Орган . . . . .	16—8000
Мъжки глас . . . . .	100—8000
Женски глас . . . . .	200—10000

**Разбираемост на говора.** Човешкият говор представлява сложен комплекс от периодични и непериодични трептения. Тъй като първите преобладават, може да се каже, че говорът има характер повече на музикален тон, отколкото на шум.

Честотният спектър на човешкия говор се простира в границите от 80 до 10 000 хц (заедно с обертоновете). За да бъде разбираем говорът при възпроизвеждането му от различните електросакустични прибори, не е необходимо да се предават всички честоти от този широк спектър. Честотите под 300 хц и над 5000 хц много малко допринасят за разбираемостта на говора.

Верността на възпроизвеждането както на говора, така и на музиката изисква запазването на тембъра, т. е. предаването на всички хармонични и основни тонове в целия честотен спектър на оригиналното изпълнение. За да бъде говорът разбираем, достатъчно е да се предадат честотите от 300 до 5000 хц, при което както обертоновете, така и някои основни тонове могат да бъдат изразени.

**Изкривявания на звука.** Изкривяванията могат да бъдат честотни, нелинейни и фазови. Честотните изкривявания, за които споменахме и по-горе, се дължат на неравномерното възпроизвеждане на оригиналния честотен спектър, дължащо се на затихвания в някои честотни области. Тези затихвания могат да се получат в усилвателните стъпала, в електроакустичните преобразователи и дори в човешкото ухо. За коригиране на този вид изкривявания се правят честотни компенсации.

Към честотните изкривявания могат да се причислят и т. нар. шумови изкривявания, дължащи се на наслагването на шум върху полезния сигнал. Източник на такова смущение може да бъде както собственият шум на усилвателя, така и шумът, получен в звуконосителя, микрофона и т. н.

В резултат на честотните изкривявания се изменя тембърът и се намалява разбираемостта на говора. При музикалните изпълнения честотните изкри-

вявания предизвикват загубата на „цвета“ на музиката — обертоните, характеризирани особено с високите честоти на всеки инструмент, с което се понижава верността на възпроизвеждането. Верността на възпроизвеждане е качество, на което напоследък се държи особено много. Строят се специални усилватели с висока верност на възпроизвеждане (*Hi-Fi*), при които предаваният честотен спектър се разширява в областта над звуковите честоти — до 20, 30, дори 50 *кхц*, въпреки че тези честоти са извън чуваемия обхват. За възпроизвеждането на тези честоти са конструирани специални високоговорители. С това се постига оригинално звучене и на онези музикални инструменти, които съдържат много и с големи амплитуди висши хармонични.

Не по-малко значение за разбираемостта и верността имат и нелинейните изкривявания. Те се дължат на наличието на нелинейни елементи в усилвателните стъпала или в звуконосителя, които изменят формата на звуковите трептения и увеличават броя и амплитудите на съдържащите се в тях обертонове. Човешкото ухо също притежава известна нелинейност и предизвиква изкривяване, особено при голяма сила на звука.

Нелинейните изкривявания се проявяват най-силно при средните звукови честоти, а най-слабо — при ниските, което се дължи на нееднаквата чувствителност на ухото към изкривяванията при различни честоти.

Особен вид нелинейни изкривявания са интермодуляционните изкривявания. Те се дължат на взаимната модулация между основни и обертонове, имащи голяма разлика в честотите. В резултат се получават много нови комбинационни тонове, които не се съдържат в оригиналния честотен спектър и намаляват верността на възпроизвеждането. Тъй като такава изслабване не би могло да се получи без наличието на нелинеен елемент, тези изкривявания имат напълно характера на нелинейни изкривявания. Те са толкова по-силно проявени, колкото разликата във височините на основните тонове е по-голяма. Поради това особено ефикасна мярка за намаляването им е използването на усилватели, в които усиляването на различните честотни области се прави в отделни канали (многоканални усилватели).

В някои случаи формата на звуковото трептене може да се измени, без да се менят броят и амплитудите на обертоните, а само като се променят техните фази. Получените при това фазови изкривявания могат да повлияят върху слуховото възприятие само при голяма сила на звука.

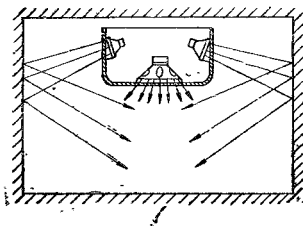
Фазовите изкривявания се получават най-често поради съществуването на честотозависими елементи в усилвателя (кондензатори, индуктивности) и се чувствуват особено силно при бързи и внезапни изменения на усиливания сигнал.

## 6. Пространствено и стереофонично възпроизвеждане

Качеството на звуковъзпроизвеждането напоследък стана един от основните показатели на всяка радиоприемна или усилвателна апаратура. За постигане на естествено звучене от високоговорителя не е достатъчно само постигането на акустическа верност между възприетата и възпроизведената звукова картина. Тази верност, както видяхме, може да се получи при възможно най-широка честотна лента на усилвателя и електроакустичните преобразователи и при най-малко нелинейни и фазови изкривявания. При все това получената звукова картина е „плоска“, еднопосочна и не може да създаде илюзията, че се намираме пред самия оркестър. Освен това високите честоти имат по-остро масочена диаграма на излъчване и при слушане от различни места звуковата

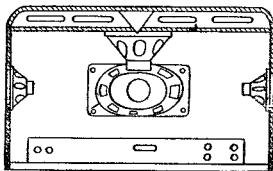
картина е различна (встрани от високоговорителя височините липсват и тонът е глух).

Първата стъпка в подобряване естественоста на възпроизвеждането бяха различните системи за пространствено, обемно звучене. Системата 3D (три-



Фиг. 69. Пространствено озвучаване (3D) чрез странични високоговорители

размерен тон) използва странични високотонови високоговорители, чиято диаграма се разширява чрез отраженията в стените на стаята (фиг. 69). По такъв начин, освен че се избягва насочеността в излъчвателните диаграми, като във всички точки на стаята се слуша еднакво качествено, но се получа-

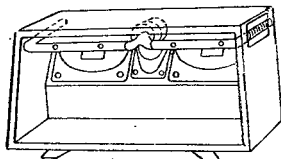


Фиг. 70. Разположение на високоговорителите при 4R възпроизвеждане

ва и известен ефект на пространственост — на слушателя изглежда, че звуковият източник е много по-широк от кутията на радиоприемника.

За да се постигне още по-голяма обемност, се въведе системата 4R, при която на горната дъска на кутията е монтиран още един високотонов излъчвател. Разсейването на високите тонове става чрез конусен отражател, поставен пред високоговорителя (фиг. 70).

Срещат се много конструктивни разновидности на тези системи. В някои от тях високоговорителите са разположени в една плоскост на челната дъска, а за разсейване се използват отразителни дъски или конуси. В други разположението на високоговорителите се прави такова, че да съответствува на разположението на отделните оркестрови групи, като високоговорителите могат да бъдат изнесени извън устройството и подходящо разместени.



Фиг. 71. Радиоприемник със звуков компресор

В последно време разпръскването на високите честоти във всички посоки (дори и назад) се постига с така наречения звуков компресор. В радиоприемниците със звуков компресор (фиг. 71) освен трите високоговорителя на челната дъска (два басови и един високофонов) има и един рупорен високоговорител с компресорна

камера. Последната е свързана със звукопровода — тръба, минаваща отзад и встрани на кутията, с отвори за излъчване в определените места. Със звуковия компресор може да се постигне най-правилно съотношение между излъчените високочестотна и нискочестотна звукова мощност при много по-малки изкривявания, отколкото с дифузорни високоговорители. Поради това обемният ефект тук е по-силно изразен. Релефността на звученето се засилва и поради постигането на определено време за задържане на високите честоти, излъчени назад и встрани.

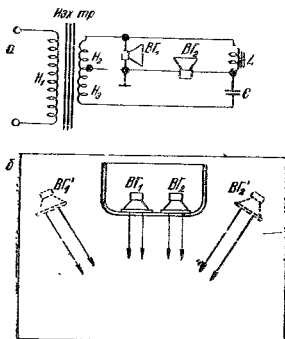
Много ефикасно и просто за изпълнение е стереолинното свързване. Два еднакви високоговорителя  $BG_1$  и  $BG_2$  са монтирани на лицевата плоча, като единият е включен направо към изходния трансформатор, а другият — чрез фазообръщаща  $LC$  група (фиг. 72 а). Параметрите на  $LC$ -групата се избират така, че за ниските честоти двата високоговорителя получават синфазно захранване, а за средните и високите честоти тази синфазност се нарушава. Създава се впечатление, че на средни и високи честоти високоговорителите излъчват отстрани, а не от кутията, където са в действителност. Полученият ефект е много близък до обемното възпроизвеждане и не зависи от отраженията в стените както при системата  $3D$ .

Всички тези методи създават известна релефност и дълбочина на звученето по изкуствен начин — чрез забавяне по време на известна честотна лента или чрез разместени акустични групи с отделни честотни канали. Това са така наречените псевдостереофонични начини за звуковъзпроизвеждане.

Голяма популярност добива напоследък и пълното стереофонично възпроизвеждане. За реализирането му се използва бинауралният ефект на човешките уши, позволяващ на човека да чувствава и определи мястото на звуковите източници в пространството. Този ефект се дължи на нееднаквото разположение и насоченост на човешките уши отпосио звуковия източник, при което се получават различни промеждутъци от време (при ниските честоти) и различни звукови налягания (при високите честоти), действащи върху всяко от двете уши.

За да се получи стереофонично слушане, са необходими най-малко два, независими един от друг канала, в целия тракт микрофон-усилвател-високо-

ворител. В мястото на предаването са монтирани два микрофона по начин, който съответствува на разположението на ушите на слушателя. Всеки от тях се включва към отделен усилвател, възпроизвеждащ цялата честотна лента. В



Фиг. 72. Стереодийно свързване на високоговорителите

а — принципна схема; б — разположение на високоговорителите

мястото на слушане се монтират две еднакви, но разместени високоговорителни групи, въздействащи върху всяко от ушите.

Вече намира практическо приложение стереофоничното записване на звука чрез две отделни звукови бразди в звуконосителите. Постигнато е и стереофонично радиопредаване, при което са необходими два отделни радиопредавателни и радиоприемни канали.

#### в. Регулиране динамиката на възпроизвеждането

Широкият динамичен обхват (разликата между пианисимо и фортисимо) на различните звукови източници — оркестри, хорове и др., излага изкуствено потискане на динамиката в усилвателния тракт на радиопредавателя или звукозаписващата уредба. Това се налага поради големите нелинейни изкривявания при високо ниво и влиянието на основния шум при ниско ниво на сигнала. Потискането се извършва от устройство, наречено динамичен компресор. При възпроизвеждането обаче, ако се примирим със загубата на пианисимите и фортисимите, ще получим една твърде бедна и плоска звукова картина. Това се дължи и от факт, че компримирането на фортисимите ни



лишава от онези обертонове, които се получават в резултат на нелинейността на ухото при голяма сила на звука.

За да се възстанови нормалната ширина на динамичния звуков обхват, в радиоприемните и усилвателни уредби се въвежда т. нар. динамичен експандер. Като компримирателно, така и експандирането представляват такъв вид регулиране на усиляването, при което коефициентът на усиляване е зависим от нивото на сигнала. При компресорите усиляването спада с увеличаване на нивото, а при експандерите се получава точно обратният ефект.

Динамичният обхват на най-големите симфонични оркестри стига до 60 дБ. Тъй като при радиопредаването и звукозаписа не се допуска динамичен обхват, по-голям от 40 дБ, налага се компресия от около 20 дБ. При възпроизвеждането експандерът трябва да осигури разширяване на динамиката също с 20 дБ, при характеристика на експандиране, равна на обратната характеристика на компресора.

## 2. Електроакустични преобразователи

### а. Микрофони

Микрофоните са електроакустични устройства, които преобразуват звуковата енергия в електрическа. Работата на микрофоните може да бъде преценена посредством неговите качествени показатели.

Чувствителността на микрофона се нарича отношението между полученото от микрофона променливо напрежение и приложеното към мембраната му звуково налягане. Основна граница за измерване чувствителността е 1 в/бар, а практически повече се употребява отношението мВ/бар. Чувствителността на микрофона може да бъде оценена и чрез съпоставянето ѝ спрямо условно прието нулево ниво на чувствителност. В такъв случай чувствителността се изразява в децибели.

Чувствителността на микрофона зависи от честотата на звуковите колебания. Тази зависимост се нарича честотна характеристика на микрофона. Честотната характеристика дава възможност да бъде определена пропускащата от микрофона честотна лента, както и степента на неравномерност на чувствителността в тази лента. Честотната лента се определя от онези честоти на честотната характеристика, в която нямаме намаление на чувствителността повече от 3 дБ.

Пространствена характеристика се нарича диаграмата, която дава представа за чувствителността на микрофона към звукови вълни, идващи от различни посоки. В зависимост от предназначението на микрофона конструкцията му може да бъде такава, че да се получи желаната форма на пространствената характеристика. Различаваме хоризонтална и вертикална пространствена характеристика. Първата се определя от чувствителността в хоризонталната плоскост, а втората — от чувствителността във вертикалната плоскост, минаваща през микрофона.

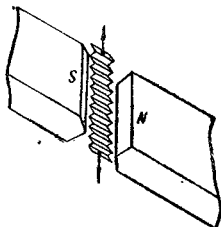
Важен показател за работата на микрофона е неговото ниво на шум. Шумово напрежение на един микрофон наричат онова напрежение, което се получава в товара на микрофона при липса на външно звуково въздействие и се дължи само на собствения шум на микрофона (термическия шум в токопроводящите му части). Съотношението между това напрежение и напрежението,

получено от звуково налягане от 1 бар при 1000 хц, служи за мярка на шумовото ниво и се изразява в децибели.

Колкото е по-чувствителен микрофонът, толкова нивото на шума му е по-малко. Най-високо ниво на собствен шум имат въгленовите микрофони. Нивото на шума определя долната граница на динамичния обхват на микрофона. Горната граница на този обхват се определя от степента на нелинейните изкривявания (клирфактора). Клирфакторът е толкова по-голям, колкото звуковото налягане върху мембраната на микрофона е по-силно.

## 6. Видове микрофони

**Електродинамични микрофони.** Основават се на принципа на електромагнитната индукция — пораждане на ЕДС при движението на проводник в магнитно поле. Този проводник може да бъде във вид на нагъната лента —



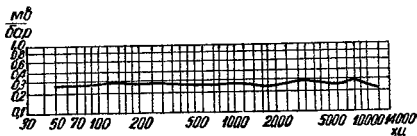
Фиг. 73. Лентов електродинамичен микрофон

лентови, или да бъде навит спирално — с подвижна bobина. На фиг. 73 е показано устройството на лентовия микрофон. Подвижната част представлява дюралуминиева лента, нагъната вълнообразно, имаща дебелина 3—5 микрон, ширина 3—4 мм и дължина около 50 мм. Тя изпълнява същевременно и ролята на мембрана. Съпротивлението на лентовия проводник е много малко — около 0,1 ом, и затова включването към входа на усилвателя става чрез повишаващ трансформатор. При отношение на трансформатора примерно 1:45 импедансът на вторичната е около 200 ом.

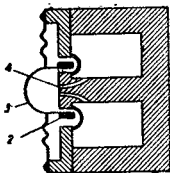
Чувствителността на лентовите микрофони е около 0,3 мв/бар, а честотната им характеристика е равномерна в обхвата 50 ÷ 10 000 хц (фиг. 74). Тази равномерност се запазва с помощта на механичен затихвател (лабиринт), поставен откъм задната страна на лентата.

Лентовите микрофони се употребяват, когато е необходимо високо качество на предаването. Те са твърде чувствителни и се използват само в студийни условия.

Устройството на динамичен микрофон с подвижна бобина е показано на фиг. 75. В кръглата въздушна междина на един постоянен магнит е поставена подвижна бобинка, с която е свързана дуралуминова или полистиролова мембрана, имаща изпъкнала форма.



Фиг. 74. Честотна характеристика на лентов микрофон



Фиг. 75. Устройство на динамичен микрофон с подвижна бобинка

- 1 — магнитопровод;  
2 — подвижна бобинка;  
3 — мембрана; 4 — изравнителни кавапи

Подвижната бобинка на този микрофон е нискоомна — импедансът е от порядъка на 10—15  $\Omega$ , поради което включването към усилвателя става с пълнонапрегов трансформатор. При изходен импеданс 200  $\Omega$  преводното отношение на трансформатора трябва да бъде около 1:25.

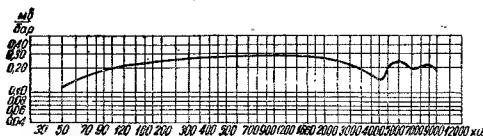
Чувствителността на този вид микрофон е около 0,25 мВ/бар. Честотната му характеристика е по-неравномерна от лентовите — при дадения по-горе честотен обхват 50—10 000  $\text{Hz}$  неравномерността стига до 10 дБ (фиг. 76).

Този вид динамични микрофони също може да бъде причислен към висококачествените и намира приложение в радиофикацията, звукозаписа и др.

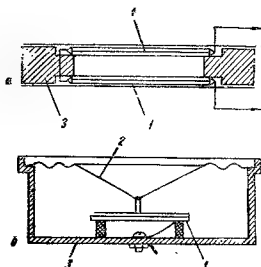
Горните два вида микрофони имат пространствена характеристика във формата на осморка (лентов микрофон) и окръжност (бобинен микрофон). Съществуват микрофони, представляващи комбинация от лентов и бобинен микрофон,

чиято диаграма получава формата на кардиоида; те имат по-равномерна честотна характеристика от съставляващите ги отделни микрофони

Електростатични микрофони. Към тях могат да се причислят кристалните и кондензаторните микрофони.



Фиг. 76. Честотна характеристика на динамичен микрофон с подвижна бобинка



Фиг. 77. Устройство на обикновен (а) и мембранен (б) кристален микрофон

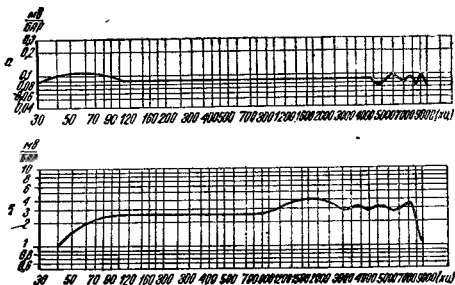
1 — биморфен (сдвоен) кристален елемент;  
2 — мембрана; 3 — изолационна кутия

При кристалните микрофони се използва пиезоелектрическият ефект на някои кристали, които под действието на механическо налягане получават електрически заряди, пропорционални на налягането.

В конструктивно отношение съществуват две разновидности на кристалните микрофони — обикновен тип, в които се използват две двойки от кристални плочки (фиг. 77а), и мембранен тип, при които към кристалите са закрепени една или две мембрани (фиг. 77б). Първите имат чувствителност 0,1 до 0,5 мВ/бар и твърде равномерна честотна характеристика (фиг. 78а). При

вторите чувствителността е много по-висока — до 2,5 мв/бар, но в замяна на това честотната им характеристика е по-неравномерна (фиг. 78б).

Вътрешното съпротивление на кристалните микрофони е твърде зависимо честотно, понеже представлява капацитет с величина около 1000 пф. На ниски



Фиг. 78. Честотни характеристики на кристални микрофони  
а — обикновен тип; б — мембранен тип

честоти съпротивлението става много голямо и за да се запази чувствителността, товарът трябва да бъде също голям — 1 до 2 мгом.

Кристалните микрофони въпреки високата чувствителност не са намерили широко приложение поради зависимостта им от влагата, температурата и механическите сътресения. Те нямат кръгла, неясочена пространствена характеристика.

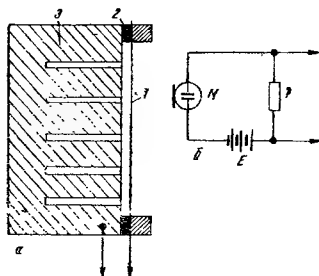
Кондензаторните микрофони представляват устройство, в което се използва свойството на кондензаторите да менят капацитета си при изменение на разстоянието между електродите му. Устройството им се вижда от фиг. 79. Мембраната от тънък дуралуминий (20 до 30 мк дебелина) е здраво закрепена срещу другия електрод на разстояние около 10 мк. В неподвижния електрод се правят отвори, които увеличават въздушния обем под мембраната и повишават чувствителността на микрофона.

Включването на кондензаторния микрофон става чрез поляризационна батерия  $E = 100$  до  $200$  в на съпротивление  $R = 10$  до  $80$  мгом (фиг. 79б). Капацитетът на микрофона се получава около 100 пф.

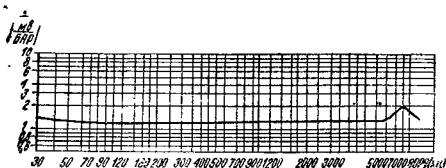
Чувствителността на този микрофон е 1 до 2 мв/бар и включването му към усилвателя става чрез едно или две предусилвателни стъпала. За да се намалят смущенията, поради високоомното съпротивление  $R$  този предусилвател се прави много близо до микрофона — обикновено в една кутия с капсула.

Честотната характеристика е праволинейна в широк честотен обхват (фиг. 80). Поради това той се използва, когато е необходимо високо качество на пре-

даването или за акустически измервания. Експлоатационните му качества обаче са лоши — голямо влияние на влагата и температурата и необходимостта от предусилвател.



Фиг. 79. Устройство на кондензаторен микрофон и начин на включване



Фиг. 80. Честотна характеристика на кондензаторен микрофон

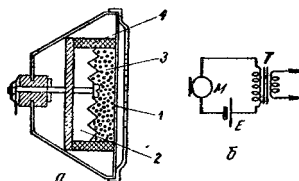
**Въгленови микрофони.** При тях се използва свойството на графитните зърна да изменят контактният си съпротивление в зависимост от силата на притискане, действаща върху тях.

На фиг. 81 е показан разрез на въгленов микрофон. Обикновено той е оформен във вид на затворен капсул, в който пространството между мембраната, филцовия цилиндър и назъбения електрод е запълнено с графитни зърнца. За втори електрод служи мембраната, която е свързана механически и електрически с външната метална обвивка.

Въгленовият микрофон се включва към входа на усилвателя чрез микрофонен трансформатор, нагаждащ нискоомния микрофонен капсул към високо-

омвия лампов вход. Този трансформатор има преводно отношение 1:15 до 1:30.

От съществуващите разновидности на въгленови микрофони могат да се споменат двата вида — МБ и ЦБ, използвани в телефонията, както и някои



Фиг. 81. Устройство на въгленов микрофон и начин на включване

1 — мембрана; 2 — електрод; 3 — въгленови зърна; 4 — филцов цилиндър

стари типове за радиоразпръскването, които днес вече не се употребяват. На табл. 39 са дадени ориентировъчно някои по-важни данни за въгленовите микрофони МБ и ЦБ.

Въгленовите микрофони имат тясна честотна лента на предаване. Те могат да осигурят равномерно предаване на честоти от 300 до 2400 хц, което ги прави използваемии при говорни (телефонни) предавания, но непригодни за радиоразпръскването. Те нямат голям собствен шум поради искренето между графитните зърна, дължащо се на пре-

минаващия през тях постоянен ток и на непостоянния и рязко изменящ се контакт между графитните зърна и мембраната.

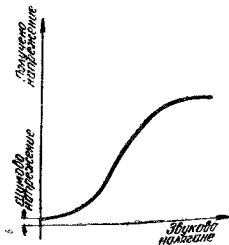
Таблица 39

	МБ	ЦБ
Напрежение на батерията (в) . . . . .	2—6	24 <sup>1</sup>
Съпротивление (ом) . . . . .	20—80	200—400
Средна стойност на тока (ма) . . . . .	40—70	25
Напрежение, получено от микрофона (в) . . . . .	1—2	0,5
Чувствителност (мв/бар) . . . . .	10—30	10

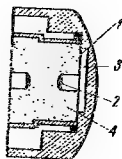
При въгленовия микрофон се забелязва голяма нелинейност между звуковото налягане и полученото напрежение. Амплитудната характеристика на въгленовия микрофон е показана на фиг. 82. При много малки и много големи звукови наляганя не се получава пропорционално изменение на напрежението както при средна сила на звука. Това стеснява динамическия обхват на микрофона и води до увеличаване на нелинейните изкривявания.

Въгленовите микрофони са чувствителни към сътресения и при използването им се препоръчва закрепване чрез пружини. Те се влияят също от измененията на температурата и влагата на околния въздух. Въпреки това те намират широко приложение в радиолубителската дейност поради голямото им разиространение и висока чувствителност, позволяваща опростяване на усилвателя.

**Ларингофони.** Една разновидност на въгленовите микрофони са т. нар. ларингофони. Те се закрепват към гърлото и се задействуват не от звуковите вълни, а непосредствено от трептенията на ларинкса.



Фиг. 82. Амплитудна характеристика на въгленов микрофон



Фиг. 83. Устройство на въгленов ларингофон

1 — мембрана; 2 — контакт;  
3 — резонансна кухина;  
4 — графитни зърна

Въгленовият ларингофон се състои от два електрода, поставени в двата края на една кухина, изпълнена с графитни зърна (фиг. 83). Единият от електродите е закрепен към мембраната, която от своя страна е свързана с външната контактна повърхност, получаваща трептенията от ларинкса.

Ларингофоните са удобни за използване на места, където има силен външен шум.

Съществуват и ларингофони, почиващи на други принципи на електроакустично преобразуване — електромагнетични, кристални и т. н.

Ларингофоните имат значително по-малка чувствителност и по-лоша честотна характеристика от обикновените микрофони.

## в. Високоговорители

Високоговорителите служат за електроакустично преобразуване на променливия електрически ток в звукови вълни. Показателите, с които се характеризира работата на един високоговорител, са следните:

Чувствителност на високоговорителя е величината на полученото от него звуково налягане (измерено на разстояние 1 м по оста му) при подадена номинална мощност 0,1 *вт*. Чувствителността на повечето съвременни дифузorni високоговорители се движи в границите от 2 до 4 *бар/√вт*.

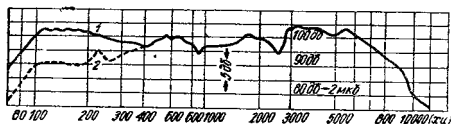
В практиката се използва най-често абсолютната чувствителност, която дава по-ясна и точна представа при сравняване на различни високоговорители. Измерва се в *бар/√вт*.

Коефициентът на полезно действие на високоговорителя е отношението между излъчената акустическа мощност и изразходваната в него електрическа мощност. Той зависи от вида и конструкцията на високоговорителя и от ха-



рактеристиката му на насоченост. При дифузорните високоговорители той е от порядъка на 2 до 3%, а при рупорните — 15 до 30%. Ненасочените високоговорители имат по-голям КПД от насочените.

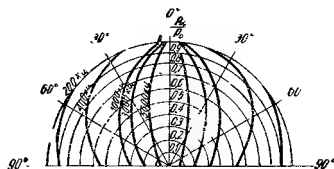
Номинална електрическа мощност се нарича онази подадена във високоговорителя мощност, при която нелинейните изкривявания не надвишават една



Фиг. 84. Честотна характеристика на високоговорител 3 вт („Ворошилов“)

определена гранична величина. Тази гранична величина, измерена в средния честотен обхват (20 до 2000 лц), обикновено се приема от 5 до 10%.

Честотна характеристика на високоговорителя представлява кривата, даваща зависимостта на подаденото звуково напрежение от честотата. При сие-



Фиг. 85. Характеристика на насоченост за високоговорител 3 вт („Ворошилов“)

мане на честотната характеристика чувствителността обикновено се определя от звуковото налягане, получено от 1 в звуково напрежение, и се изразява в дБ. На фиг. 84 е дадена за пример честотната характеристика на един фабричен високоговорител.

Характеристиката на насоченост се определя от т. нар. коефициент на насоченост, представляващ отношението на звуковото налягане, създавано от високоговорителя под известен ъгъл, към звуковото налягане при ъгъл 0°. Характеристиката на насоченост се изразява чрез диаграми, даващи изменението на коефициента на насоченост в зависимост от посоката. Пример за такава диаграма е даден на фиг. 85.

Към тези най-важни параметри на високоговорителите могат да се добавят още и резонансната честота на подвижната система, импедансът или омичното съпротивление на шпулката, индукцията в магнитния протоп и др.

### Г. Видове високоговорители

Според начина на излъчване на звука високоговорителите биват дифузорни и рупорни. При дифузорните високоговорители звукът се излъчва чрез книжна конусна мембрана - дифузор. При рупорните високоговорители за излъчване на звука се използва рупор с експоненциална форма както при духовите музикални инструменти.

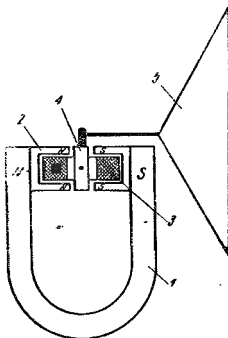
Според начина на преобразуване на електрическата енергия в механическа различаваме електромагнитни, електродинамични, кристални и кондензаторни високоговорители.

**Електромагнитен високоговорител.** При тях мембраната се разколебава чрез котвата на една електромагнитна система. Съществуват различни конструкции електромагнитни системи, по-разпространена от които е тази, показана на фиг. 86. Състоят се от постоянен магнит с полюсни наставки, между които е поставена бобината, свързана с източника на електрическа звукова енергия. Бобината е поставена върху подвижната котва, като колебанията от взаимодействието на двата магнитни потока се предават на мембраната и се превръщат в звукови вълни.

Електромагнитните високоговорители имат висок собствен импеданс и често се включват без изходен трансформатор директно към крайната лампа. Те обаче имат твърде ограничена честотна характеристика (приблизно 300—3000  $\text{Hz}$ ) с рязък провал към ниските и високите честоти и голяма обща неравномерност. Нелинейните изкривявания, получени от тях, също са много големи. Звукото налягане, което се получава от тях, е около 2—3 бар при 0,1 вт.

Простата конструкция, ниската цена и високият КПД позволяват използването на този тип високоговорители само в простите и икономични радиоприемници и в жичната радиофикация.

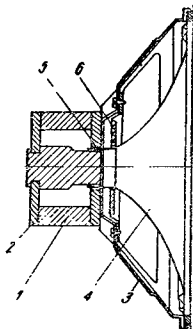
**Електродинамични високоговорители.** При електродинамичните високоговорители колебанието на мембраната е предизвикано от трептението на подвижна бобинка (шпулка) през която преминава нискофреkwотният ток и която се намира в силно постоянно магнитно поле. Това поле може да бъде създадено както от постоянен магнит, така и от електромагнит.



Фиг. 86. Електромагнитен високоговорител с диференциална магнитна система

1 — постоянен магнит; 2 — полюсни наставки; 3 — трептяща бобина; 4 — котва; 5 — мембрана

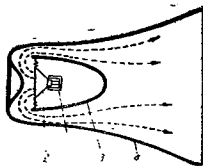
На фиг. 87 е показано устройството на електродинамичния високоговорител с постоянен магнит. Мембраната е закрепена в долния си край чрез централираща шайба (трептийка), която не позволява странично изместване на шпунктата и мембраната при трептенето ѝ. В горния край мембраната е закрепена неподвижно за шасито, а за да може да трепти по оста си, на нея са направени концентрични канали.



Фиг. 87. Устройство на електродинамичен високоговорител

1 — постоянен магнит; 2 — полюсни наставки; 3 — шаси;  
4 — мембрана (дифузор);  
5 — трептяща бобинка (шпунктка);  
6 — централираща шайба (трептийка)

Чувствителността на тези високоговорители е сравнително висока — от 10 до 15 бар/вт. Честотната им характеристика е по-равномерна от тази на другите видове и има слабо изразен максимум в областта от 2000 до 4000 хц и



Фиг. 88. Устройство на рупорен високоговорител

1 — магнитна система; 2 — диафрагма; 3 — защитен капак; 4 — рупор

около механическия резонанс на трептящата система (50–100 хц). Коэффициентът на нелинейни изкривявания също е по-малък — от 2 до 10 % в зависимост от честотата. Както и при другите конусни високоговорители, диаграмата на насоченост става по-остра с увеличаване на честотата. Коэффициентът на полезното им действие е не по-голям от 2–3 % и те представляват един твърде нерентабилен преобразовател.

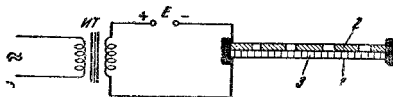
**Рупорни високоговорители.** Те работят на принципа на електродинамичните високоговорители, като вместо конусна мембрана имат рупорна тръба с експоненциална, конусна или друга форма. Най-често срещани са високоговорителите от типа, показан на фиг. 88. В процеп на магнита (1) трепти подвижна звукова бобина, свързана с диафрагмата (2). Защитният капак (3) и рупорът (4) са разположени така, че звуковата вълна изминава пътя, показан с пунктирни линии. С това дължината на рупора се съкращава значително.

Рупорните високоговорители имат около 10 пъти по-висок КПД от дифузориите, но и по-голяма зависимост на КПД от честотата.

Честотната характеристика на тези високоговорители е по-неравномерна и границите ѝ могат да се приемат от 200 до 6000 хц. За получаване на по-

добра честотна равномерност и за разширяване на диаграмата на насоченост се използват агрегати от по няколко рупорни високоговорителя. Употребяват се предимно за открито озвучаване и не дават особено високо качество на възпроизвеждане.

**Електростатични високоговорители.** Те биват кондензаторни и кристални. Кондензаторните високоговорители работят на принципа на измене-



Фиг. 89. Устройство на кондензаторен високоговорител

- 1 — подвижен електрод; 2 — неподвижен електрод;  
3 — изолационна хартия

нието на електростатичните сили при приложение променливо напрежение към плочите на един кондензатор. Устройството им се вижда от фиг. 89. Единият електрод (1) е подвижен а другият (2) — неподвижен. Между тях се поставя изолационна хартия (3). На кондензатора е свен променливото звуково напрежение се подава и поляризационното напрежение  $E$  (200—300 в). С това се усилва звукоизлъчването и се избягва трептенето на удвоена честота.

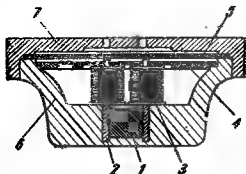
Тези високоговорители имат много малък КПД. Използват се за възпроизвеждане на високите честоти — от около 5—6 кхц до около 20 кхц. Клир-факторът в този обхват е малък, но под долната честотна граница силно нараства, поради което се вземат мерки за остро ограничаване на честотния обхват. Включват се чрез  $RC$ -групи, за да не влияят чрез промяната на капацитета си върху изхода на усилвателя.

Другият вид електростатични високоговорители — кристалният, почти не се употребява вече. При него се използва пиезоелектричният ефект на кварцовата пластинка. Имат твърде лоши качествени показатели и са неудобни и несигурни в експлоатацията.

**Радиослушалки.** Слушалките са електроакустични преобразователи, подобни на високоговорителите, с тази разлика, че при тях липсва дифузор и образуватите звукови вълни не се разпространяват в широко пространство. Звуковите вълни се образуват от плоска мембрана, а трептенето на мембраната се предизвиква чрез използването на електромагнитния, електродинамичния или електростатичния принцип. Най-широка употреба намират електромагнитните радиослушалки (фиг. 90). Състоят се от постоянен магнит (1) с полюсни наставки (2), върху които са надянати бобиините (3). Между горните краища на полюсните наставки и мембраната (5) има разстояние, подбрано много точно в границите от 0,1 до 0,2 мм.

Чувствителността на електромагнитните слушалки е висока, тъй като създаденото от нея звуково налягане, колкото и да е малко, действа върху незначителен обем въздух — между мембраната и ухото. При радиослушалките чувствителността може да се дефинира, както и при високоговорителите, като отношение от звуковото налягане, създадено във въздушния обем между мембраната и ухото, към приложеното напрежение. Из-

мерва се също в *бар/в*. За по-точна оценка, при която се избягва влиянието на съпротивлението на слушалката, се въвежда т. нар. приведена чувствителност на слушалка с произволно съпротивление към тази на слушалка със съпротивление 600 *ом*. Приведената чувствителност на обикновените радиослушалки е обикновено 100—150 *бар/в*.



Фиг. 90. Разрез на електромагнитна радиослушалка („Ворошилов“)

1 — магнит; 2 — полюсни наставки; 3 — бобина; 4 — диафрагма; 5 — мембрана; 6 — корпус; 7 — капак

чувствителност 60 *бар/в*, а честотната ѝ характеристика в обхвата 300—3000 *хц* е с неравномерност под 12 *дб*.

По отношение на съпротивлението електромагнитните радиослушалки се делят на нискоомни и високоомни. Първите имат съпротивление от порядъка на 100 *ом*, а вторите — 2000 или 4000 *ом*. Импедансът при 1000 *хц* може да се приеме средно 20 000 *ом* (за високоомните) и 600 *ом* (за нискоомните).

Сравнително широко разпространение намират напоследък и кристалните радиослушалки. Работят на същия принцип както кристалните високоговорители, като за трептяща система се използва малък конус от алуминий. Приведената им чувствителност е около 200 *бар/в*. Импедансът при 1000 *хц* е в границите от 35 до 90 *ком*. Честотната характеристика е твърде неравномерна — до 40 *дб* за 300—3000 *хц*, с остър връх към 1500 *хц*.

Електродинамичните слушалки се използват по-рядко, въпреки че имат по-добри качества. Чувствителността им е 150 *бар/в*, честотна характеристика 100—5000 *хц* с неравномерност под 10 *дб*. Те са нискоомни с импеданс около 400 *ом* при 1000 *хц*.

Честотната характеристика на обикновените радиослушалки е твърде неравномерна и има остър връх около 1000 *хц*, дължащ се на механическия резонанс на мембраната. За изравняване на неравномерността се създава механически затихване около мембраната. Това е, от една страна, диафрагмата (4) на фиг. 90, а от друга — малките отвори на капака (7). С въвеждането от тези затихватели съпротивлението на честотната характеристика става по-равномерно, но и чувствителността намалява. Слушалката от фиг. 90 има чув-

## Шеста глава

# РАДИОПРИЕМНИЦИ

Радиоприемниците в зависимост от предназначението им се разделят на две основни групи.

Концертни радиоприемници, предназначени да приемат програмите на радиоразпръскването. Според електрическите и акустическите качества те имат четири класа. Първи клас — с най-високи качества, и четвърти клас — с най-ниски качества. Според захранването те биват: захранвани от електрическа мрежа — от всички класове, и захранвани от батерии — от втори, трети и четвърти клас.

Професионални приемници, предназначени за работа по телеграфия и телефония, в радиолокационните и радионавигационните апаратури и др.

Освен посоченото подразделение приемниците могат да се класифицират по ред други техни характерни свойства. В зависимост от вида на схемата приемниците биват: линейни и суперхетеродинни.

Съвременните радиоприемници обикновено се изпълняват по суперхетеродинна схема.

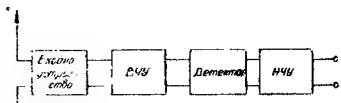
В зависимост от вида на вълните, на които работят приемниците, биват: дълговълнови, средновълнови, късовълнови и ултракъсовълнови.

В зависимост от вида на работа приемниците биват: телефонни, телеграфни, телевизионни, радиолокационни и др.

В зависимост от модулацията на приемните сигнали приемниците биват: за приемане на сигнали с амплитудна, честотна, фазова и импулсна модулация.

## 1. Линейни радиоприемници

Обикновено линейните приемници имат входна верига, усилвател на висока честота, детектор и усилвател на ниска честота. Блоквата схема на линейен



Фиг. 91. Блокова схема на линейен приемник

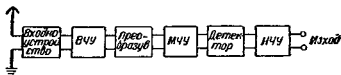
приемник е показана на фиг. 91. Полякога с цел за повишаване на усилването и селективността детекторното стъпало се изпълнява по регенеративна схема.

Линейните приемници не могат да осигурят висока чувствителност и добра избирателност, особено в обхватите на къси и ултракъси вълни.

Недостатъци на линейните приемници са: ниска избирателност, лоша форма на резонансната характеристика, ниска чувствителност и др.

## 2. Суперхетеродинни приемници

Блоковата схема на суперхетеродинен приемник е показана на фиг. 92. Приеманите сигнали преминават през входното стъпало и усилвателя на висока честота, където става усиляване и частично отделяне на полезния сигнал от



Фиг. 92. Блокова схема на суперхетеродинен приемник

сигналите на смуцаващите станции. Така усилените сигнали се подават на преобразователното стъпало, където те се превръщат в сигнали с междинна честота. Преобразуването се извършва по такъв начин, че независимо от приемната честота на изхода на преобразователя се получава полезен сигнал с неизменна междинна честота. Затова при преминаването от една станция на друга едновременно с пренастройката на входния кръг и високочестотния усилвател осцилаторният кръг се пренастройва така, че междинната честота остава неизменна.

Преобразователят се състои от смесител и хетеродин. Хетеродинът представлява от себе си местният осцилатор на висока честота. Процесът на преобразуването на честотата се извършва в смесителя. На него въздействуват две високочестотни трептения: едно ( $f_c$ ), което постъпва в антената, и друго ( $f_x$ ) от хетеродина. На изхода на преобразователя се отделят трептения с честота, равна на разликата от  $f_x$  и  $f_c$ . Тази разлика  $f_x - f_c = f_m$  е междинната честота.

Междинночестотните трептения постъпват в междинночестотния усилвател, който осигурява главното усиляване и избирателното действие. Обикновено междинната честота е 465 кхц за приемниците с амплитудна модулация (АМ), а за приемниците с честотна модулация (ЧМ) е 8,4 или 10,7 мхц. За междинночестотни усилватели обикновено се използват лентови усилватели, резонансната характеристика на които е близка до правоъгълната, което позволява да се получат висока избирателност и равномерно усиляване в честотната лента.

Общото усиляване до детектора трябва да бъде такова, че напрежението на междинната честота, което идва до детектора, да не е по-малко от 1—2 в. При по-голямо усиляване се подобрява работата на автоматичното регулиране на чувствителността.

Недостатък на суперхетеродинния радиоприемник е наличието на допълнителният, огледален канал, който отстои от основния канал на удвоената междинна честота.

### а. Качествени показатели на радиоприемниците

Номинална изходяща мощност е максималната мощност, която се получава на изхода на радиоприемника при допустима стойност на коефициента на нелинейните изкривявания. Определя се по формулата

$$P_n = \frac{U_n^2}{Z},$$

където  $P_n$  е номиналната изходяща мощност (вт);

$U_n$  — напрежението в трептящата bobина на високоговорителя, съответстващо на номиналната изходяща мощност (в);

$Z$  — съпротивлението на трептящата bobина на високоговорителя при честота 400 хц, приблизително равно на 1,2 пъти от омическото съпротивление на bobината (ом).

Начин на измерване. Напрежението от звуковия генератор с честота 400 хц се подава или на решетката на първата лампа, която усилва ниската честота, или на входа за грамофон. Потенциометърът за регулиране силата се поставя на максимално усилване. Напрежението на входа на звуковия генератор се регулира така, че на изхода на радиоприемника да се получи необходимата мощност на звуковата честота. Измерването на изходящата мощност се извършва с волтмер, включен паралелно на трептящата bobина на високоговорителя. Номиналната изходяща мощност се определя по горната формула.

Номинално изходящо напрежение е ефективното звуково напрежение на трептящата bobина на високоговорителя, съответстващо на номиналната изходяща мощност. Измерва се с волтметър за звукова честота.

Нормална изходяща мощност е една десета част от номиналната изходяща мощност (обикновено се приема за нормална мощност 50 мвт). Нормалната изходяща мощност ( $P_{\text{норм}}$ ) се определя от нормалното изходящо напрежение  $U_{\text{норм}}$  и съпротивлението  $Z$  на трептящата bobина по формулата

$$P_{\text{норм}} = \frac{U_{\text{норм}}^2}{Z}.$$

Начин на измерване. Нормалната изходяща мощност се определя по същия начин, както и номиналната изходяща мощност, но по горната формула.

Нормално изходящо напрежение е напрежението на трептящата bobина на високоговорителя, което съответства на нормалната изходяща мощност. Нормалното изходящо напрежение се определя по формулата

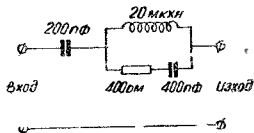
$$U_{\text{норм}} = \sqrt{P_{\text{норм}} \cdot Z}.$$

Чувствителност на входа за грамофон е величината на звуковото напрежение на входа на грамофона, при която изходящата мощност на приемника е равна на номиналната.

Начин на измерване. На входа на грамофона се подава от звуков генератор напрежение с честота 400 хц. Потенциометърът за регулиране на силата се поставя на максимум, а потенциометърът за тона — в положение на най-широка пропускана честотна лента. Подбира се такава стойност на напрежението на входа на грамофона, при която напрежението във високоговорителя се равнява на номиналното. Това напрежение на входа на грамофона определя величината на чувствителността.



**Чувствителност на входа на приемника** е величината на носещата *едс* във веригата на еквивалентната антена, която при 30% амплитудна модулация и честота 400 *кхц* или честотна модулация с девиация на честотата  $\pm 15$  *кхц* и модулираща честота 1000 *хц* създава на изхода на приемника напрежение, равно на нормалното при превишаване на сигнала над шума не по-малко от:



Фиг. 93. Схема на еквивалентна антена

при радиоразпръскване 20 *дб* (10 пъти)  
при радиотелефония 12 *дб* (4 пъти)  
при радиотелеграфия 6 *дб* (2 пъти)

Начин на измерване. На входа на приемника „антена-земя“ се подава чрез еквивалентна антена (фиг. 93) напрежение от сигналгенератор,

модулирано с честота 400 *хц* и дълбочина на модулацията 30%. Паралелно на високоговорителя се включва волтмер на звукова честота за измерване на изходящото напрежение. Регулаторите на тембъра и на пропускателната лента се поставят в положение на най-тясна пропускана лента. По скалата на сигналгенератора се поставя честотата, на която се извършва измерването. При включена вътрешна модулация на сигналгенератора приемникът се настройва на тази честота по волтмера за изходящото напрежение или по индикатора за настройка.

Като се изключи модулацията на сигналгенератора, потенциометърът за силата се поставя в такова положение, че на изхода на приемника напрежението на шумовете да бъде с дадено число пъти по-слабо от нормалното изходящо напрежение (обикновено 10 пъти, 2) *дб*). След това се включва вътрешната 30% модулация на сигналгенератора с честота 400 *хц*. Подбира се такава величина на сигнала във веригата на еквивалентната антена, при която напрежението на изхода на приемника е равно на нормалното. Чувствителността се отчита по скалата на сигналгенератора.

Такива измервания на чувствителността се правят в три точки на всеки подобхват. При това крайните точки трябва да отстоят от краищата на подобхвата на 10–20% от ширината му.

Чувствителността на ЧМ тракт се измерва по същия начин, но вместо еквивалентната антена се включва активно съпротивление, стойността на което заедно с изходното съпротивление на ЧМ сигналгенератора трябва да бъде равна на съпротивлението на УКВ антена.

Чувствителността на приемника при работа с вътрешна магнитна антена се измерва с помощта на квадратна рамка от меден или алуминиев проводник (с диаметър 4 *мм* и страни 380 *мм*), която се свързва с изхода на сигналгенератор с АМ чрез съпротивление 80 *ом*. Плоскостта на рамката се разполага перпендикулярно на оста на сърцевината на магнитната антена, а разстоянието между рамката и средата на сърцевината трябва да бъде 1 *м*.

**Избирателност (селективност)** на радиоприемника е способността му да отдели от различните сигнали, отличаващи се по честота, полезния сигнал на приеманата станция. Избирателността е величина, която показва с колко пъти се влошава чувствителността на приемника при разстройка с 10 *кхц* в АМ стъпало или 250 *кхц* в ЧМ стъпало. Измерванията се правят на честота 250 и 1000 *кхц* за АМ стъпало и 780 *мгхц* за ЧМ стъпало.

**Начин на измерване.** На входа на приемника от сигналгенератор през еквивалентна антена се подава напрежение, модулирано с честота 400 *кхц* с дълбочина на модулацията 30 %, при което на изхода на приемника се получава напрежение, което съответствува на 0,1 от номиналната мощност. Приемникът се настройва точно на честотата на сигнала по максимално напрежение на изхода (при тясна лента на пропусканата честота) или по индикатора за настройка. Потенциометърът за регулиране на силата трябва да бъде в такова положение, при което се осигурява отношение на напреженията сигнал към шум (при изключена от сигнала модулация) не по-ниско от 20 *дб*. Затова, не изменяйки настройката на приемника, се разстройва сигналгенераторът на 10 *кхц* в двете страни от честотата за точната настройка и атенюаторът на сигналгенератора се установява за такова напрежение на входа на приемника, при което на неговия изход отново се получава напрежение, което съответствува на 0,1 от номиналната мощност.

Отношението на напрежението на сигналгенератора при точна настройка към напрежението при разстройка на  $\pm 10$  и на  $-10$  *кхц*, изразено в децибели, е показател за селективността.

**Честотна характеристика на приемника (на нискочестотната част).** Качеството на възпроизвеждане на предаваната програма е толкова по-добро, колкото са по-малки изкривяванията в приемника. Степента на внесените в приемника изкривявания може да бъде определена по неговата характеристика на изкривяванията. Честотните изкривявания обикновено се определят по честотната характеристика. Тя показва зависимостта на напрежението на изхода на приемника от изменението на честотата на входа на нискочестотните стъпала на приемника (обикновено върху гнездата на грамофона) при неизменно по стойност входящо напрежение.

**Начин на измерване.** В гнездата за грамофон се подава напрежение от звуковия генератор, модулирано с 400 *хц*. Потенциометърът за регулиране на силата се поставя в такова положение, при което изходящата мощност на приемника е равна на 0,1 *вт* или на номиналната, ако тя е по-ниска от 0,1 *вт*. След това, като се изменя честотата и се поддържа напрежението в гнездата на грамофона постоянно, се снима зависимостта на изходящото напрежение от честотата. Като се построи кривата на тази зависимост, по нея се определя неравномерността на характеристиката относно точката от кривата, която съответствува на честотата 400 *хц*.

**Крива на верността на възпроизвеждането на приемника.** За определяне на неравномерността на усиляването по целия радиоприемен канал (от антената до високоговорителя) служи честотната характеристика на целия канал на приемника (крива на верността). Тя изразява при нормално работещ приемник зависимостта на изходящото напрежение от честотата на звуковите трептения, с които се модулира носещата честота на сигнала. При това напрежението на тази носеща честота, постъпваща върху входа на приемника, и дълбочината на модулацията остават постоянни.

**Начин на измерване.** На входа на приемника чрез еквивалентна антена се подава напрежение от сигналгенератора, което се модулира с отделен звуков генератор. Приемникът се настройва точно на честотата на сигнала по максимално напрежение на изхода при тясна лента на възпроизвежданите честоти или по индикатора за настройка. Дълбочината на модулацията е 30 % и се поддържа постоянна при всички модулиращи честоти. Потенциометърът за регулиране на силата се установява в такова положение, при което на изхода на приемника се получава напрежение, съответстващо на 0,1 *вт*

или на номиналната мощност, ако тя е по-виска от 0,1 *вт*. Честотата на модулацията се изменя в границите от 50 до 10 000 *хц*.

Кривата на напрежението на изхода на приемника, която зависи от честотата на модулацията, се явява честотна характеристика на целия канал на усиляване на приемника. По честотната характеристика се определя неравномерността (в *дб*) в границите на зададените честоти.

Характеристиката се сема в крайните положения на потенциометъра за регулиране на силата.

Ниво на фона на приемника е отношението на фона към номиналното изходящо напрежение на приемника. Макар че фонът не изкривява възпроизвежданото предаване, все пак, като се наслагва върху него, влошава качеството на възпроизвеждането.

Пропускана честотна лента на високочестотната част на приемника е честотният интервал, на границите на който чувствителността се влошава два пъти в сравнение с резонансната.

Начин на измерване. Измерва се чувствителността на приемника при настройка в резонанс на честотата на сигналгенератора. След това, без да се изменят настройката на приемника и положението на регулатора на силата, се изменя честотата на сигналгенератора и отново се измерва чувствителността. Подбират се такива честоти на сигналгенератора (от двете страни на резонансната честота), при които чувствителността се влошава два пъти в сравнение с резонансната. Разликата между тези честоти е равна на пропусканата лента.

Отслабване на огледалния канал е величината, която показва колко пъти чувствителността на приемника по огледален канал е по-лоша от резонансната чувствителност.

Начин на измерване. Измерването се извършва както в точка „ж“ за определяне на избирателността, но разстройката тук трябва да е равна на 10 *кхц*, а на удвоената номинална междинна честота. При това разстройката трябва да се извършва към увеличаване на честотата, ако честотата на хетеродина е по-голяма от честотата на сигнала и обратно.

Отслабване на приемането на честота, равна на междинната, е величина, която показва колко пъти чувствителността на приемника по отношение на междинночестотните колебания в антената е по-лоша, отколкото чувствителността по отношение на сигнала, на чиято честота е настроен приемникът.

Начин на измерване. Измерва се чувствителността на приемника при точна настройка на честотата на сигнала. След това, без да се изменят настройката на приемника и положението на регулатора на силата, настройва се сигналгенераторът на номиналната междинна честота на приемника и отново се измерва чувствителността. Отношението между измерените по този начин чувствителности дава търсената величина на отслабване на приемника.

Измеренията трябва да се правят при настройка на приемника на тези честоти, които са най-близки до междинната честота. За междинна честота 465 *кхц* такива честоти са 415 и 520 *кхц*.

Обхват на приеманите честоти е обхватът, в който приемникът може да бъде настроен.

Начин на измерване. При включването на обхватите на приемника настройващият му кондензатор се поставя последователно в двете крайни положения, които съответствуват на началото и края на обхвата. За всяко от тези положения сигналгенераторът се настройва, докато се получи най-голямо отклонение на стрелката на волтмера или най-силен звук във високоговорител.

теля на приемника и се отчитат получените от сигналгенератора честоти, които са граничните на дадения обхват.

**Точност на градуирането на скалата** е величина на грешката в градуировката на скалата към съответстващата честота на сигнала.

**Начин на измерване.** На входа на приемника се подава напрежение от хетероден вълномер. Паралелно на високоговорителя се включва волт-мер. Стрелката на скалата на приемника се поставя на определена точка. Хетеродинният вълномер се настройва по максимум на изходящото напрежение на приемника. Разликата от честотите, отчетени по скалата на приемника и по скалата на вълномера, разделена на честотата на сигнала, дава процентната грешка в градуировката.

Измерването се извършва за не по-малко от две точки на всеки подобхват, при което крайните точки трябва да отстоят от краищата на скалата на 10–12% от ширината на подобхвата.

**Изменение честотата на хетеродина от самонагряването** е изменението на честотата на хетеродина вследствие нагряването на детайлите му.

**Начин на измерване.** Хетеродинният вълномер се свързва слабо с хетеродина на приемника. Приемникът се настройва на най-високата честота на всеки обхват. Пет минути след включването на приемника вълномерът се настройва на честотата на хетеродина по нулевите биения и се отчита честотата на скалата му. Същото се повтаря след 15 мин. Разликата между двете измервания, отчетени по скалата на хетеродинния вълномер, дава изменението на честотата на хетеродина.

**Отслабване на паразитната амплитудна модулация на УКВ-ЧМ обхват** е величината, която показва колко пъти чувствителността на приемника по отношение на АМ сигнали е по-лоша от чувствителността при приемане на ЧМ сигнали.

**Начин на измерване.** На входа на приемника от ЧМ сигналгенератор се подава напрежение, равно на номиналната чувствителност на приемника, модулирано с честота 1000  $\text{Hz}$  при девиация на честотата  $\pm 15 \text{ kHz}$ . Приемникът се настройва точно на тази честота и с потенциометър за силата се установява напрежението на високоговорителя, равно на нормалното. След това на входа на приемника се подава такова напрежение, но от АМ сигналгенератора с честота на модулацията 1000  $\text{Hz}$  и дълбочина 30% и отново се измерва напрежението на високоговорителя, разстройвайки приемника на  $\pm 50 \text{ kHz}$  по отношение на резонансната честота.

Отношението на изходящото напрежение при приемането на ЧМ сигнали към максималното изходящо напрежение при приемане на АМ сигнали, изразено в децибели, е показател на отслабването на паразитната амплитудна модулация.

**Ръчно регулиране на силата** е границата за изменение на силата.

**Начин на измерване.** Потенциометърът за силата се поставя в положение на максимално усилване; на гнездата за грамофон се подава от звуковия генератор такова напрежение, при което на високоговорителя се получава нормално изходящо напрежение. След това потенциометърът за силата се поставя в положение на минимално усилване и отново се подбира такова напрежение от генератора, при което на високоговорителя се получава нормално изходящо напрежение.

Отношението на напрежението на звуковия генератор при максимално и минимално усилване, изразено в децибели, определя границите на регулиране на силата.

Таблица 40

Основни параметри	Приемници						
	I клас	II клас		III клас		IV клас	
	мрежови	мрежови	батерийни	мрежови	батерийни	мрежови	батерийни
Източници за захранване (в) . . .	150, 220	150, 220	батерия	150, 220	батерия	150, 220	батерия
Консумация на електрическа енергия (вт) . . . . .	О п р е д е л я с е о т б р о я н а л а м п н и т е						
Обхват на приемащите честоти: дълги вълни (кхц) . . . . .	Определя се в техническите условия	150—350	150—350	—	—	—	—
средни вълни (кхц) . . . . .	"	520—1500	520—1560	520—1560	520—1560	520—1560	520—1560
къси вълни (мгхц) . . . . .	"	5,88—18	5,88—18	5,88—18	5,88—18	—	—
	Радиоприемниците от I и II клас задължително трябва да имат най-малко два разтегнати или полуразтегнати обхвати от тесни участъци на 49, 41, 31 и 25 м			Допускат се и дълги вълни		Допуска се и обхват на къси вълни	
Междина честота (кхц) . . . . .	465±5	465±5	465±5	465±5 или 110—115	465±5 или 110—115	465±5 или 110—115	465±5 или 110—115
Номинална изходяща мощност (вт) . . . . .	4	1,5	0,15	0,5	Н е с е н о р м и р а		
Чувствителност при 0,1 от номиналната мощност и при отношенне напрежение на полезния сигнал към напрежението на шума, не по-малко от 20 дБ							
дълги вълни (мксв) . . . . .	50	200	200	300	400	Не се нормира	
средни вълни (мксв) . . . . .	50	200	200	300	400	Не се нормира	

Основни параметри	Приемници						
	I клас	II клас		III клас		IV клас	
	мрежови	мрежови	батерийни	мрежови	батерийни	мрежови	батерийни
къси вълни (мкв) . . . . .	50	300	300	500	400	Не се нормира	
фиксирана иастройка . . . . .	200	300	300	—	—	—	—
Чувствителност на входа „Грамофон“ не по-малко от . . . (мв)	200	250	250	250	—	—	—
Избирателност по съседния канал при разстройка $\pm 10$ кхц (дб) . . . . .	46	26	26	20	20	—	—
Отсъствие на огледалния канал, не по-малко от . . . . . (дб)							
дълги вълни . . . . .	60	36	36	26	26	—	—
средни вълни . . . . .	50	30	30	20	20	—	—
къси вълни . . . . .	26	12	12	—	—	—	—
Изменение на честотата на хетеродина вследствие самонагряване за 10 минути (след 5 минути от включването на радиоприемника)							
15 мхц . . . . . (кхц)	4	—	—	—	—	—	—
9—15 мхц . . . . . (кхц)	3	6	3	12	—	—	—
6—9 мхц . . . . . (кхц)	2	4	2	8	—	—	—
Ръчно регулиране на силата... (дб)	50	40	40	40	40	—	—
Отслабване на сигнала с честота, равна на междинната . . . (дб)	40	34	34	20	20	—	—
Регулиране на тона . . . . . (дб)	Отделна регулировка на ниски и високи звукови честоти. По-	Понижение на високите звукови честоти с не по-малко от 6 дб.		няма	няма	няма	няма

Основни параметри	Приемници						
	I клас	II клас		III клас		IV клас	
	мрежови	мрежови	батерийни	мрежови	батерийни	мрежови	батерийни
	вишаване на ниските с 4 дб, на високите с 6 дб. Понижение на ниски и високи с 6 дб	Отделна възможност за повишаване и понижаване на ниските честоти с не по-малко от 3 дб					
Ниво на фона при положение на максимално усилване, което да отговаря на номиналната изходяща мощност . . . . . (дб)	—46	—37	—37	—26	—26	—	—
Действие на автоматичното регулиране на усилването. Изменение на напрежението на входа на приемника . . . . . (дб)	60	26	26	26	26	—	—
Съответно изменение на изхода на приемника . . . . . (дб)	12	8	8	10	10	—	—
Честотна характеристика на целия радиоприемник по звуково налягане при неравномерност 14 дб на всички обхвати и 18 дб на честота, по-ниска от 250 кхц . . . . . (хц)							
за маса . . . . .	60—6500	100—4000	100—4000	150—3500	150—3500	200—3000	200—3000
за шкаф . . . . .	50—6500	80—4000	—	—	—	—	—
Коефициент на нелинейни изкривявания на целия радиоприемник по звуково налягане при							

Основни параметри	Приемници						
	I клас	II клас		III клас		IV клас	
	мрежови	мрежови	батерийни	мрежови	батерийни	мрежови	батерийни
номинална изходяща мощност и дълбочина на модулацията 30% . . . . .							
до 100 хц (%) . . . . .	12	—	—	—	—	—	—
от 100 до 200 хц (%) . . . .	7	10	10	—	—	—	—
от 200 до 400 хц (%) . . . .	7	7	7	12	12	—	—
над 400 хц . . . . .	5	7	7	10	10	—	—
Индикатор за включване : електрически . . . . .	има	има	Не е за- дължи- телно	има	Не е за- дължи- телно	има	Не е за- дължи- телно
механически . . . . .	няма	няма	има	няма	има	няма	има
Индикатор за настройка . . . .	има	има	няма	Не е за- дължи- телно	няма	няма	няма
Променлива лента на пропускане	има	Не е задължително		няма	няма	няма	няма
Възможност за включване на вто- ри високоговорител . . . . .	има	има	има	Не е задължително	няма	няма	няма
Възможност за включване на ви- сокоговорителя в жичната ра- диофикационна мрежа . . . .	Не е задължително		има	Не е за- дължи- телно	има	Не е за- дължи- телно	има
Брой на радиолампите . . . . .	Не се нормира	не повече от 7	не повече от 7	не повече от 5	не повече от 5	не повече от 4	не повече от 4

Забелжка. Данните са съгласно БДС 1510—53 и БДС 2698—57.



**Граница на регулиране на тембъра** е величината, която показва колко път има усилване или отслабване на дадена честота, повече или по-малко усилване на средната честота на звуковия обхват.

Начин на измерване. На входа на грамофон от звуковия генератор се подава напрежение 0,25 в с честота 1000  $\text{Hz}$ . Потенциометърът за силата установява на високоговорителите напрежение, съответстващо на 0,1 от номиналната мощност, а регулаторът на тембъра се поставя в положение на максимално усилване на високите и ниските звукови честоти. След това се изменя честотата на генератора на 100, а след това на 5000  $\text{Hz}$ , като се отбелязва напрежението на високоговорителя на тези честоти. След това се поставя регулаторът на тембъра в положение на най-малко усилване и се повтарят измерванията.

Отношението на напреженията, получени от преминаването на регулаторът на тембъра от едно положение в друго крайно положение на честоти 100 и 5000  $\text{Hz}$ , изразено в  $\text{dB}$ , показва границите на действие на регулатора на тембъра.

**Коефициентът на нелинейните изкривявания (клирфактор)** показва какъв процент хармонични се съдържа в изходящото напрежение по отношение на основния ток, създаващ чисто синусоидално изходящо напрежение:

$$K = 100 \sqrt{\frac{U_1^2 + U_2^2 + \dots + U_n^2}{U^2}},$$

където  $K$  е коефициентът на нелинейни изкривявания в проценти;

$U$  — изходящото напрежение на основната честота;

$U_1, U_2, U_n$  — напреженията на съответните хармонични на основната честота на изхода на приемника.

Начин на измерване. Коефициентът на нелинейните изкривявания се измерва по звуковото налягане при номинална изходяща мощност. Приблизителна представа може да се получи при измерване паралелно на трептящата бобина на високоговорителя.

Основните параметри на приемниците за нуждите на радиоразпръскването са дадени в таблица 40.

## 6. Входни кръгове на радиоприемниците

Входните кръгове служат да свържат антенно-фидерната система с входа на първата лампа на приемника. Те спомагат за доброто предаване на напрежението на полезния сигнал и да отслабят напрежението на смущаващия сигнал.

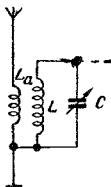
Входните кръгове работят както с настроени и съгласувани с фидера антени, така и с ненастроени антени.

Съществуват най-разнообразни връзки с антената, но основни са: *индуктивна, капацитивна и комбинирана*.

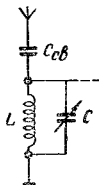
Индуктивната връзка (фиг. 94), когато е правилно избрана, осигурява почти постоянно предаване на напрежението в целия обхват. Тя е най-често срещаната връзка в практиката.

Външно капацитивната връзка (фиг. 95) е проста, има голяма неравномерност при предаване на напрежението на различни обхвати и чувствителността на приемника пада. Целесъобразно е използването на капацитивната връзка, когато трептящите кръгове са настроени на фиксирана честота, както и при разтегнати обхвати.

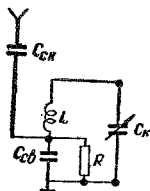
Вътрешнокапацитивната връзка (фиг. 96) работи на скъсена антена и има почти равномерен коефициент на предаване на напрежението по обхвата, който незначително се увеличава с повишаване на напрежението.



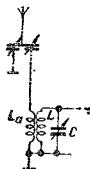
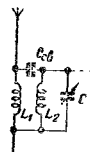
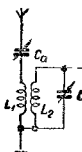
Фиг. 94. Схема на индуктивна връзка



Фиг. 95. Схема на капацитивна връзка



Фиг. 96. Схема на вътрешнокапацитивна връзка



Фиг. 97. Схеми на комбинирани връзки: капацитивно-индуктивна

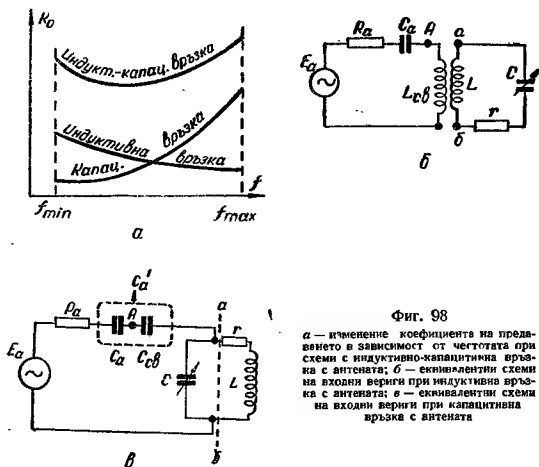
Входното устройство с вътрешнокапацитивна връзка работи ефективно на антена с малък капацитет.

Комбинираната връзка (фиг. 97) осигурява най-добри резултати по отношение на постоянството на предаваното напрежение. На фиг. 98 е показано изменението на коефициента на предаване напрежението на входната верига в зависимост от честотата.

Определянето на входните кръгове се извършва по зададен обхват на честотите, по зададена антена и по типа на филера.

При симетричен филер се използва трансформаторна връзка, която има симетричен вход за честоти до 150 мхц. При несиметричен филер се използва автотрансформаторна връзка за честоти до 350 мхц или последователни индуктивности за честоти от 200 до 500 мхц и кръгът работи на фиксирана

честота. Входните кръгове за свръхвисока честота (СВЧ), работещи в режим на съгласуване с фидера, могат да работят в честотен обхват, равен на ширината на пропусканата честотна лента на антената, тъй като само в пропусканата че-



Фиг. 98

*a* — изменение коэффициента на предавания в зависимости от частоты при схеме с индуктивно-емкостной связью с антенной; *б* — эквивалентная схема на входной цепи при индуктивной связи с антенной; *в* — эквивалентная схема на входной цепи при емкостной связи с антенной

стотна лента на антената се запазва задоволително съгласуване на антената с фидера.

Двойните входни кръгове се използват в концертни приемници на честота от 150 кхц до 1600 кхц, когато е необходимо да се получи по-голяма избирателност по огледалния канал, и при честота, равна на междинната.

Изчисляване на високочестотен кръг:

Определяне коэффициента на препокриване на обхвата:

$$\kappa_{\Pi} = \frac{f_{\max}}{f_{\min}}$$

Определяне индуктивността на кръга:

$$L_{\min} = \frac{2,53 \cdot 10^4 (\kappa_{\Pi}^2 - 1)}{(C_{\max} - C_{\min}) \cdot f_{\max}^2},$$

където  $C_{\max}$  и  $C_{\min}$  са максималният и минималният капацитет на настройващия кондензатор в пф.

Допълнителен капацитет в кръга:

$$C_d = \frac{C_{\text{макс}} - K_n^2 \cdot C_{\text{мин}}}{K_n^2 - 1}$$

Капацитет на схемата:

$$C_{\text{сх}} = C_L + C_m + C_{\text{вх}},$$

където  $C_L$  е капацитетът на бобината;  $C_m$  — монтажният капацитет;  $C_{\text{вх}}$  — входният капацитет на лампата.

Капацитетът на донастройващия кондензатор е  $C_{\text{дон}} = C_d - C_{\text{сх}}$ . Тази стойност  $C_{\text{дон}}$  трябва да бъде положителна и не по-малка от  $5 \text{ пф}$ .

Определяне качествения фактор на кръга

За качеството на трептящия кръг се съди по отношението на индуктивното съпротивление на кръга  $\omega L$  при резонансна честота към активното съпротивление на кръга  $R$ . Това отношение се нарича качествено отношение или  $Q$ -фактор и се определя от формулата:

$$Q = \frac{\omega \cdot L}{R}$$

Необходимият качествен фактор на кръга за къси вълни се определя по формулата:

$$Q = \frac{f_{\text{макс}} \cdot d_{\text{огл}}}{4 f_m},$$

където  $f_{\text{макс}}$  е максималната честота на обхвата;  $f_m$  — междинната честота и  $d_{\text{огл}}$  — зададеното отслабване на приемането по огледален канал.

Ако  $Q$  превишава 100, трябва да се употреби резонансен усилвател на висока честота.

Необходимият качествен фактор на кръга за средни и дълги вълни се определя от зададената пропускана честотна лента  $\Delta F$  и се изчислява по формулата:

$$Q = \frac{f_{\text{мин}} \sqrt{d_{\text{ден}}^2 - 1}}{\Delta F}.$$

където  $f_{\text{мин}}$  е минималната честота на обхвата;  $d_{\text{ден}}$  е отслабването на сигнала в краищата на пропусканата честотна лента (на средни вълни  $d_{\text{ден}} = 1,15 \div 1,2$ ; на дълги вълни  $d_{\text{ден}} = 1,5 \div 1,7$ ).

Проверката на отслабването на приемането по огледалния канал се определя по формулата:

$$d_{\text{огл}} = \left( \frac{f_{\text{макс}} + 2f_m}{f_{\text{макс}}} - \frac{f_{\text{макс}}}{f_{\text{макс}} + 2f_m} \right) Q.$$

Ако получената стойност е по-малка от зададената, трябва да се употреби лентов филтър.

Изчисляване на индуктивна връзка. Индуктивната връзка с антената има по-добър електрически показател, отколкото капацитивната, но е

необходима допълнителна bobина. На фиг. 98б е показана еквивалентна схема на такава връзка.

Изчисленията се извършват, като се приемат за изходни данни:

обхватът на честотата  $f_{\min} \div f_{\max}$ ;

индуктивността на кръга  $L$ ;

$Q$ -факторът, който се приема за постоянен по обхвата и

капацитетът на антената  $C_{A\min} \div C_{A\max}$ .

Определят се:

индуктивността на антенната bobина за свързка  $L_{\text{св}}$ ;

коэффициентът на връзката  $K$  и

коэффициентът на предаване  $K_0$  напрежението на входната верига за три точки  $K_0$ .

Избира се най-голямата собствена честота на антенната верига. За дълги и средни вълни  $f_{A\max} = (0,5-0,8) f_{\min}$ . За къси вълни  $f_{A\max} = (0,25-0,3) f_{\min}$ .

Определя се най-малката собствена честота на антенната верига:

$$f_{A\min} = \frac{1}{\sqrt{\frac{C_{A\max}}{C_{A\min}}}} \cdot f_{A\max}$$

Намира се индуктивността на свързката:

$$L_{\text{св [мкхн]}} = \frac{2,53 \cdot 10^{10}}{C_{A\min [пф]} \cdot f_{A\max [кГц]}^2}$$

Определя се допустимият коэффициент на връзката на кръга с антената:

$$K_{\text{доп}} = 2 \sqrt{\frac{\beta(1-A)(1-B)}{B-A}},$$

където  $\beta \approx 0,5 \frac{1}{Q}$  е допустимата разстройка между входните и всички останали кръгове на приемника, предизвикана от влиянието на антената:

$$A = \left( \frac{f_{A\min}}{f_{\max}} \right)^2$$

$$B = \left( \frac{f_{A\max}}{f_{\min}} \right)^2$$

Величината  $K$  се избира  $\leq K_{\text{доп}}$ , но не повече от неговото значение при конструктивното изпълнение. При универсална намотка  $K_{\text{доп}} = 0,5 \div 0,6$  и при еднослойна цилиндрична намотка  $K_{\text{доп}} = 0,4 \div 0,5$ .

Намира се коэффициентът на предаване  $K_0$  напрежението на входната верига за три точки на подбавата по формулата:

$$K_0 = Q \frac{K}{1 - \left( \frac{f_{A\min}}{f} \right)^2} \cdot \sqrt{\frac{L}{L_{\text{св}}}}$$

Изчислението трябва да се направи за добрия случай, т. е. когато

$$f_A = f_{A \text{ мин.}}$$

### Изчисляване на капацитивна връзка

Капацитивната връзка с антената е по-проста конструктивно, но рязко се изменя коефициентът на предаване на напрежението при настройка на различни честоти.

На фиг. 98в е показана еквивалентна схема на такава връзка.

Като изходни данни се приемат:

честотен обхват  $f_{\text{мин}} \div f_{\text{макс}}$ ;

капацитетът на променливия кондензатор  $C_{\text{макс}}$ ;

качественият фактор, който се приема за постоянен по обхвата;

параметрите на антената  $C_A$  и  $R_A$  за приемниците с типова антена са

$$C_A = 150 \div 300 \text{ пф}, R_A = 25 \text{ ом}.$$

Определят се:

капацитетът на свързката  $C_{\text{св}}$  и

коефициентът на предаването  $K_0$  за три точки на обхвата.

Даден е капацитетът на кондензатора  $C_{\text{св}}$  в границите от  $10 \div 30 \text{ пф}$ .

Определя се капацитетът на кръга за три точки от подобхвата, като се взема под внимание влиянието на антената:

$$\text{за } f_{\text{мин}} \text{ капацитетът } C_{e \text{ макс}} = C_{\text{макс}} + C'_A = C_{\text{макс}} + \frac{C_A C_{\text{св}}}{C_A + C_{\text{св}}};$$

$$\text{за } f_{\text{ср}} = \frac{f_{\text{макс}} + f_{\text{мин}}}{2} \text{ капацитетът } C_{e \text{ ср}} = C_{e \text{ макс}} \left( \frac{f_{\text{мин}}}{f_{\text{ср}}} \right)^2;$$

$$\text{за } f_{\text{макс}} \text{ капацитетът } C_{e \text{ мин}} = C_{e \text{ макс}} \left( \frac{f_{\text{мин}}}{f_{\text{макс}}} \right)^2$$

Намира се качественият фактор на входната верига за три точки на подобхвата:  $Q_e = \frac{1}{\frac{1}{Q} + \omega_0 C_e R_A \left( \frac{C_A}{C_e} \right)^2}$

Определя се коефициентът на предаване на напрежението за три точки от подобхвата по формулата:  $K_0 = Q_e \frac{C_A}{C_{\text{св}}}$ .

Построява се график за изменение на величината  $K_0$  на подобхвата.

### в. Разтегнати (разширени) подобхвати

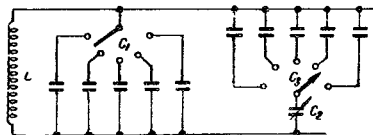
С развитието на приемната техника и преобладаващото използване на суперхетеродинните приемници се срещнаха затруднения относно плавната настройка. За разрешаването на тази трудност има две възможности:

използването на механически преводи, при които на един полуоборот на променливия кондензатор съответствуват  $50 \div 100$  оборота на копчето за настройка;

намаляване ширината на подобхватите, при което изместването на променливия кондензатор на  $1^\circ$  съответствува на  $3 \div 4 \text{ кГц}$ . Тази система се нарича

разтегнати подобхвати, която намери голямо приложение в радиоприемниците за плавна настройка в късовълновите обхвати.

Съществува голямо разнообразие в системите на разтегнатите обхвати, но по-употребявани са:



Фиг. 99. Схема с обща бобина

**Схема с обща бобина.** Тази схема е най-подходяща за неголям брой на разтегнатите обхвати, не повече от два до три. Това произтича от обстоятелството, че индуктивността на бобината трябва да се определя по най-високата честота от обхватите и следователно при голям брой на разтегнатите обхвати трябва да се употребяват за нискофреkwотния обхват големи кондензатори, в резултат на което се намалява резонансното съпротивление на кръга  $Z_0 = \frac{1}{Q} \sqrt{\frac{L}{C}}$ , а следователно и усилването. Освен това при такава система се усложнява много комутацията.

На фиг. 99 е показана схема с обща бобина. Кондензаторите  $C_1$  и  $C_3$  се състоят от паралелно включени блоккондензатори и тримери. Такава схема усложнява комутацията, тъй като изисква два превключвателя, а при много-вълновите приемници и превключвател на бобините за къси, средни и дълги вълни. В любителски условия такава схема опростява първоначалната настройка на приемника.

Изчисляването на такава система следва да се започне със:

1. Определянето на минималния капацитет на кръга. Обикновено той се движи между  $35 \div 40 \text{ пф}$ , но за да се избегне разстройката на приемника при сменяването на лампите, по-добре е тази стойност да се увеличи още с  $5 \div 10 \text{ пф}$ .

2. Определяйки  $C_{\text{мин}}$  ние можем да намерим индуктивността на бобината по следната формула:

$$L_{\text{[мкхн]}} = \frac{25330}{f_{\text{[мкхц]}}^2 \cdot C_{\text{мин [пф]}}}$$

където  $f$  е максималната честота на най-високия обхват.

3. Знаейки величината на  $L$  за всички обхвати, определяме необходимите величини на минималния и максималния капацитет и съответно минималната и максималната честота за всеки обхват по формулата:

$$C_{\text{мин [пф]}} = \frac{25330}{f_{\text{макс [мкхц]}}^2 \cdot L_{\text{[мкхн]}}}$$

$$C_{\text{макс}} [\text{пф}] = \frac{25330}{f_{\text{мин}}^2 [\text{МГц}] \cdot L_{\text{МкХН}}}$$

4. След това намираме за всеки обхват разликата:  $\Delta C = C_{\text{макс}} - C_{\text{мин}}$   
 5. Стойността на  $C_3$  за всеки обхват определяме:

$$C_3 = \frac{\Delta C (C + 2 C_0) + \sqrt{[\Delta C (C + 2 C_0)]^2 + 4 (C - \Delta C) (C + C_0) C_0 \cdot \Delta C}}{2 (C - \Delta C)},$$

където  $C_0$  е минималният капацитет на променливия кондензатор, а  $C$  — разликата между максималния и минималния капацитет на променливия кондензатор.

6. Стойността на капацитета  $C_1$  за всеки обхват определяме:

$$C_1 = C_{\text{мин}} \frac{C_0 \cdot C_3}{C_0 + C_3}$$

Схема с отделна бобина за всеки обхват. Схемите от този тип (фиг. 100) следва да се считат по-съвършени. Предн всичко те позволяват значително да се опрости комутацията, особено за многовънновите приемници, в които така или иначе трябва да има превключвател на бобините.

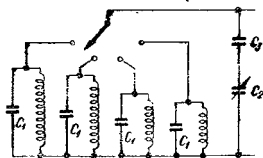
Друго преимущество на тези схеми е, че за всеки обхват може да се подбере високо отношение на  $\frac{L}{C}$  и следователно може да се получи по-добра чувствителност.

Недостатък на тази схема е, че при първоначалната настройка на кръговете е необходимо да има възможност за плавно изменение на индуктивността на всяка бобина. Освен това изчисляването и изработването на голям брой бобини са сложни, отколкото употребата на тримери. Тези недостатъци обаче могат да се смятат временни, тъй като въпросът с плавно изменение на индуктивността е разрешен с бобините с железни сърцевини, а другата трудност е само в началото, и то преодолима.

Изчисляването на такива схеми става по следния начин:

1. Задаваме си минималния капацитет на кръга  $C_{\text{мин}}$ , който е от порядъка на 40—50 пф.
2. Определяме индуктивността на бобината за най-високата честота от най-високия обхват:

$$L_{\text{МкХН}} = \frac{25330}{f_{\text{макс}}^2 [\text{МГц}] \cdot C_{\text{мин}} [\text{пф}]}$$



Фиг. 100. Схема с отделни бобини и тримери



3. След намиране стойността на  $L$  определяме максималния капацитет за най-ниската честота от същия обхват:

$$C_{\text{макс}} [\text{пф}] = \frac{25330}{f_{\text{мин}}^2 [\text{мхц}] \cdot L [\text{мкхн}]}$$

4. Разликата от двата капацитета  $\Delta C = C_{\text{макс}} - C_{\text{мин}}$  се запазва постоянна за всички обхвати. Изменят се само индуктивностите на бобините или техните тримери, които определят минималния капацитет за всеки обхват.

5. Индуктивността на бобините за другите обхвати се определя по формулата:

$$L_{\text{мкхн}} = \frac{25330}{\Delta C [\text{пф}]} \left( \frac{1}{f_{\text{мин}}^2 [\text{мхц}]} - \frac{1}{f_{\text{макс}}^2 [\text{мхц}]} \right)$$

6. Капацитетът на скъсяващия  $C_3$  се намира по формулата:

$$C_3 = \frac{\Delta C (C + 2C_0) + \sqrt{[\Delta C (C + 2C_0)]^2 + 4(C - \Delta C)(C + C_0)C_0 \cdot \Delta C}}{2(C - \Delta C)}$$

7. Капацитетът на паралелните тримери за бобините определяме:

$$C_1 = C_{\text{мин}} - \frac{C_0 \cdot C_3}{C_0 + C_3}$$

От формулата по точка 5 се вижда, че при постоянна величина  $\Delta C$  индуктивността има напълно определена стойност в който и да е обхват, ограничен от честотите  $f_{\text{мин}}$  и  $f_{\text{макс}}$ . Тъй като с помощта на формулата в точка 6 може точно да се подбере капацитетът на  $C_3$  за получаването на необходимата величина  $\Delta C$ , то е ясно, че можем всеки желан обхват да го разтеглям по цялата скала на кондензатора, ако само за този обхват е използвана отделна бобина с нейните паралелни тримери.

### г. Високочестотни усилватели (ВЧУ)

Високочестотните усилватели (ВЧУ) са предназначени за усиляне на високочестотните трептения; да осигурят добра избирателност на приемника и да подобрят отношението сигнал/шум.

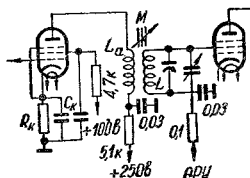
Най-разпространени усилватели на висока честота са резонансните и апериодичните.

**Резонансен усилвател.** На фиг. 101 и 102 са показани две схеми на резонансни усилватели. В резонансния усилвател товарното съпротивление е трептящ кръг, настроен на усиляваната честота. Резонансните усилватели обикновено са обхватни, тъй като от тях се изисква да покриват определен обхват от честоти. Настройката на резонансните усилватели се извършва чрез променливи кондензатори и твърде рядко чрез променлива индуктивност.

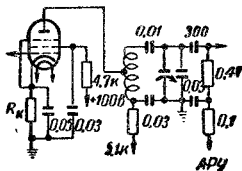
В резонансните усилватели се получават различни изкривявания. Честотните изкривявания се дължат на неравномерното усиляване на спектъра на страничните честоти в пропусканата лента и се преценяват по резонансната характеристика на усилвателя. Величините на ординатите на резонансната крива на границата на пропусканата лента определят численото значение на коефициента на честотните изкривявания.

Нелинейните изкривявания възникват вследствие работата на усилвателя в криволинейните участъци на характеристиката на лампата.

Използването на усилвателни лампи с удължени и полуудължени характеристики, които имат променлива стръмност, позволява да се използва автоматично регулиране на усилването (APY).



Фиг. 101. Схема на резонансен усилвател (ВЧУ) с трансформаторна връзка



Фиг. 102. Схема на резонансен ВЧУ с автотрансформаторна връзка

При захранване на приемника от мрежа с променлив ток се наблюдава явление *вторична модуляция*. При недостатъчна филтрация на изправеното напрежение пулсациите с честота 50 или 100 *хц*, оказват влияние върху електродите на усилвателните лампи, в резултат на което приемащата честота се модулира с тези пулсации и на изхода на приемника се появяват смущения във вид на фон от променлив ток.

На управляващата решетка на резонансния усилвател освен приемания сигнал може да действа и модулираното напрежение на смущаваща станция. При нелинейни лампови характеристики модуляцията на приемната станция се извява смущаващ сигнал. В резултат на това на изхода на приемника се чува смущаващият сигнал на станцията. Това явление се нарича *кръстосана модуляция*. За отстраняване на кръстосаната модуляция е необходимо да се отслаби сигналът на смущаващата станция във веригите, предшествуващи първата лампа, или да се измени режимът на работа на лампата.

Изчисление на резонансен ВЧУ.

1. Избира се типът на лампата и по характеристиката ѝ се определя режимът на работата.
2. Определя се резонансното съпротивление на кръга за крайните точки на обхвата:

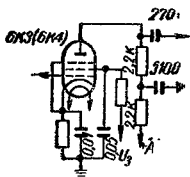
$$R_{\text{рез. мин}} = \omega_{\text{мин}} L \cdot Q = 6,28 f_{\text{мин}} L \cdot Q$$

$$R_{\text{рез. макс}} = \omega_{\text{макс}} LQ = 6,28 \cdot f_{\text{макс}} L \cdot Q_1$$

3. Избира се схема на включване на кръга в анодната верига. Изборът на схемата за включване на кръга в анодната верига се прави обикновено от условието за устойчивост:

$$K_{0 \text{ макс}} = R_{\text{рез. макс}} S \leq 0,42 \sqrt{\frac{S}{\omega_{\text{макс}} C_{\text{ар}}}} = K_{\text{уст}}$$

В отделни случаи, даже при удовлетворителни условия на устойчивост, връзката може да бъде включен трансформаторно или автотрансформаторно, например при необходимост за изравняване коефициента на усилване за всички обхвати.



Фиг. 103. Схема на аperiодичен високочестотен усилвател

4. За схеми с трансформаторно или автотрансформаторно включване връзката се определя от:

$$p \leq \frac{K_{\text{уст}}}{K_{0 \text{ макс}}}$$

5. Определяне индуктивността на бобината:

а. При трансформаторно включване

$$L_a = \left( \frac{p}{K} \right)^2 \cdot L.$$

Коефициентът на връзката се взема обикновено  $K = 0,4 \div 0,6$ .

б. При автотрансформаторно включване  $L_a = p \cdot L$ .

**Аperiодичен усилвател.** Не притежава избирателни свойства. Неговият коефициент на усилване е значително по-нисък, отколкото при резонансния усилвател. Позволява повишаване на отношението сигнал/шум. Аperiодичните ВЧУ намират приложение в случаите, когато входящото устройство е изпълнено по схема с лентови филтри, обикновено при висококачествени приемници на средни и дълги вълни.

Схема на аperiодичен ВЧУ е показана на фиг. 103, предназначен за работа на средни и дълги вълни.

Аperiодичният ВЧУ може да бъде изпълнен по схема на *широкополосен усилвател с корекция*, който осигурява голямо усилване.

## д. Преобразователи на честота

Особеността на суперхетеродинния приемник, отличаваща го от линейния приемник, е, че в него има стъпало за преобразуване на честотата. Преобразователното стъпало е една от най-важните части на суперхетеродинния приемник. То се състои от смесител и хетеродин. Както смесителят, така и хетеродинът имат свои трептящи кръгове, с помощта на които се настройва входната верига на приемника на приемната и спомагателната честота.

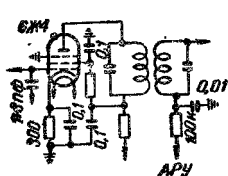
Съвременните електронни лампи позволяват да се осъществят два вида преобразователи на честота: едирешетъчни и двурешетъчни.

При едирешетъчните преобразователи се използват обикновени усилвателни лампи с една управляваща решетка, в повечето случаи — пентоди. При двурешетъчното преобразуване на честотата се използват специални честотопреобразователни лампи с две управляващи решетки. В УКВ обхват се използват също и триоди.

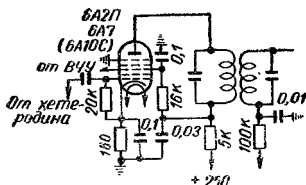
На фиг. 104 е представена схема на едирешетъчен преобразовател с пентод 6Ж4. Схеми с едирешетъчно преобразуване се срещат сравнително рядко. Използват ги главно по конструктивни съображения, когато е целесъобразно да се употребят еднотипни лампи в целия приемник.

При двурешетъчно преобразуване на честотата (фиг. 105) се използват лампи с две управляващи решетки като: хексоди, хептоди, октоди и др.

В честотнопреобразователните лампи с две управляващи решетки връзката между кръга за сигнала и кръга на хетеродина може в значителна степен



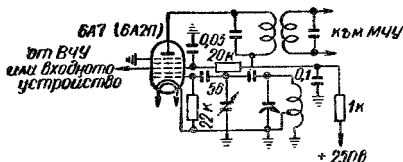
Фиг. 104. Схема на еднорешетъчно смесително стъпало



Фиг. 105. Схема на двурешетъчно смесително стъпало

да се отслаби чрез въвеждане на допълнителна решетка между хетеродинната и сигналната решетка.

Различават се два вида честотнопреобразователни лампи: смесителни и преобразователни.



Фиг. 106. Схема на преобразовател на честота

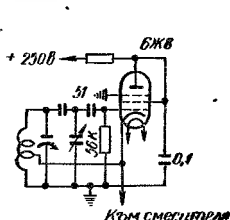
В смесителните лампи става само смесване на честотите. Спомагателната честота се създава от хетеродина, който работи на отделна лампа.

В преобразователните лампи смесването на честотите и създаването на спомагателна честота се извършват от една и съща лампа.

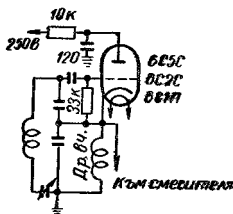
На фиг. 106 е показана схема на преобразовател на честотата на хептод с антидина тронна решетка. За анод на хетеродина служи втората — екранната решетка.

## е. Хетеродин

Хетеродинът представлява маломощен генератор на висока честота (осцилатор). Колебателният процес в хетеродина се обуславя от наличието на положителна обратна връзка, вследствие на което част от енергията на анодната верига постъпва обратно в решетъчната верига.

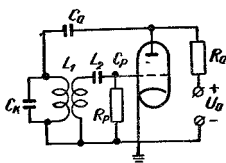


Фиг. 107. Схема на хетеродин с автотрансформаторна връзка



Фиг. 108. Схема на хетеродин с капацитивна връзка

Хетеродините, които се използват в суперхетеродинните приемници, се строят по различни схеми, но независимо от схемата към хетеродина на приемника се предявяват редица определени изисквания. По-важни от тях са:



Фиг. 109. Схема на хетеродин с настроен кръг в анодната верига

1. Независимост на честотата на генерираните трептения от влиянието на различни фактори, като изменение на оръжаващата температура, захранващото напрежение и др. Честотата на хетеродина трябва да се отличава от резонансната честота на входящите високочестотни кръгове на величина, равна на междинната честота.

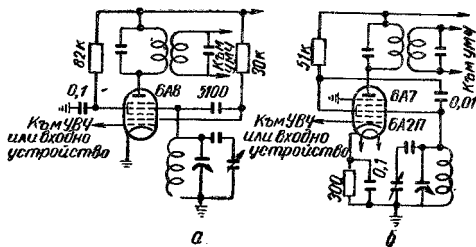
2. Устойчива генерация по целия обхват.

3. Достатъчна амплитуда на трептенията по целия честотен обхват. Изпълнението на тези изисквания осигурява устойчиво усилване при преобразуването на честотата.

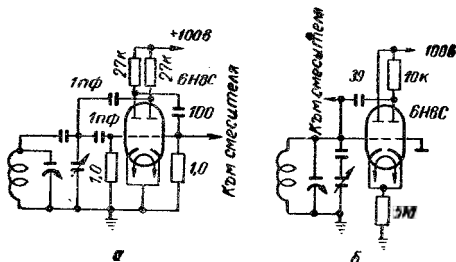
Първото изискване се удовлетворява при правилното съгласуване настройката на трептящия кръг на хетеродина и входящите високочестотни кръгове. Стабилността на честотата и амплитудата на трептенията се постигат чрез съответно подбиране работния режим на хетеродинната лампа, добрия монтаж, щателния подбор на детайлите.

Най-проста схема на хетеродин със стабилна честота е така наречената триточкова схема с индуктивна връзка. При правилен подбор на съотношението между  $L_1$  и  $L_2$ , триточковата схема осигурява устойчива гене-

рация и добра стабилност на честотата. Най-добрият начин за повишаване стабилността на хетеродина е да се намали степента на връзката на кръга с решетъчната верига (фиг. 107).



Фиг. 110. Схема на преобразователи на честота с транзитронни хетеродини

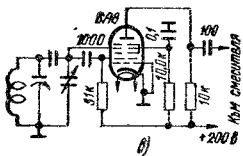
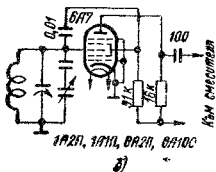
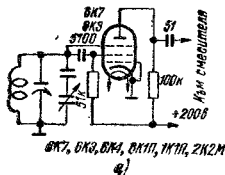


Фиг. 111. Схеми на хетеродини, използващи отрицателно съпротивление

Триточковата схема е една от най-добрите по отношение независимостта ѝ от режима на захранването. При правилен подбор на величините на кондензатора и съпротивлението на решетъчната утечка се получава стабилна работа на хетеродина. За концертните присмички  $C_p$  е обикновено от  $50 \div 100$  пф, а стойността на  $R_p$  е от  $30 \div 80$  ком.

На фиг. 108 е показана триточкова капацитивна схема. Тя е удобна за приемници с клавишна система.

Схемата с настроен кръг в анодната верига има по-голяма стабилност на честотата при изменението на анодното напрежение и при изменението на автоматическото регулиране на усилянето, отколкото схема с настроен кръг в решетъчната верига (фиг. 109).



Фиг. 112. Схеми на транзитронни хетеродини

а — на пентод; б — на хетод;  
в — на пентагрид

Транзитронна схема. Голямо приложение намериха в последно време осцилатори с така наречената транзитронна схема. Принципат на транзитронната схема е свързан с понятието за отрицателно съпротивление. В транзитронните схеми се използва свойството на многорешетъчните лампи да създават при определени условия отрицателно вътрешно съпротивление във веригата на някоя от електродите, т. е. при увеличение на напрежението вместо увеличение на тока имат намаляване.

Транзитронни схеми, които работят на принципа на отрицателното съпротивление, са дадени на фиг. 110. Тук се използва свойството на лампите 6А7 и 6А8, че като се намалява напрежението на четвъртата решетка, токът във веригата на втората решетка се увеличава и обратно.

На фиг. 111 са показани схеми, които използват отрицателно съпротивление, което се създава благодарение на особеното включване на двойния триод.

Транзитронни хетеродини, които имат висока стабилност на честотата, са показани на фиг. 112 а, б и в. С изменение на напрежението на първата решетка, обикновено неизползувана, честотата може да се изменя с 4—5%. Тази особеност на транзитронните схеми може да се използва в схемата за автоматична донастройка на честотата.

### ж. Съгласуване на кръговете

В суперхетеродинните приемници настройката на високочестотните кръгове и хетеродина се извършва обикновено чрез променливи кондензатори, задвижващи се посредством една обща ос. В зависимост от броя на настройващите кръгове се използват: двойни, тройни и в редки случаи четворни кондензатори.

В съвременните приемници съгласуването на кръговете се извършва по метода на допълнителни кондензатори, които спомагат за получаването на постоянна междинна честота, равна на разликата между честотата на хетеродина и резонансната честота на входящия кръг.

Чрез съответно подбиране на индуктивността на кръга и капацитета на допълнителните кондензатори може да се получи точно съгласуване на кръговете само в три точки на всеки обхват. За другите честоти от обхвата съгласуването на кръговете се нарушава и разликата на честотите между хетеродина и резонансната честота на входящия сигнал малко се различава от междинната честота.

Настройката на приемника се извършва по максимума на напрежението на сигнала на входа на детектора. Радиочестотният канал има широка резонансна крива, отколкото междинно-честотният канал. Затова на максимума на напрежението на входа на детектора ще съответствува на точната настройка на междинната честота. При това честотата на входящия сигнал ще бъде малко разстроена по отношение на честотата в трите точки на съгласуване. Следователно величината на максималната допустима неточност на съгласуване на кръговете се определя от пропусканата левта на входящите кръгове.

На фиг. 113 е показана схема, при която хетеродинният кръг и входящият такъв се настройват с едно копче.

За определяне честотите на точното съгласуване  $f_1$ ,  $f_2$  и  $f_3$  индуктивността на бобината на хетеродинния кръг  $L_x$  и капацитета на съгласуващия кондензатор  $C_2$  се спазва следният ред:

1. Определяне честотите на съгласуване в трите точки:

$$f_1 = \frac{f_{\text{макс}} + f_{\text{мин}}}{2}$$

$$f_2 = f_1 - \frac{\sqrt{3}}{4} (f_{\text{макс}} - f_{\text{мин}})$$

$$f_3 = f_1 + \frac{\sqrt{3}}{4} (f_{\text{макс}} - f_{\text{мин}})$$

2. Определяне спомагателните величини по честотите за точното съгласуване:

$$a = f_1 + f_2 + f_3$$

$$b^2 = f_1 f_2 + f_2 f_3 + f_1 f_3$$

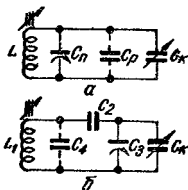
$$c^3 = f_1 f_2 f_3$$

$$d = a + 2f_m$$

$$l^3 = \frac{b^2 d - c^3}{2f_m}$$

$$m^2 = ad + f_m^2 - b^2 + l^3$$

$$n^2 = \frac{f_m^2 l^3 - c^3 d}{m^2}$$



Фиг. 113. Схеми за спрягане на кръговете

$\alpha$  — високочестотни стъпала;  
 $\delta$  — хетеродин



3. След това определяме спомагателната величина

$$C_0 f_0^2 = \frac{25330}{L_c}.$$

4. По-нататъшните изчисления се правят в зависимост от вида на схемата на хетеродина.

Ако бобината на хетеродина има малък собствен капацитет и паралелно на нея не е включен донастройващ кондензатор, то може да се смята, че

$$C_4 = 0. \text{ В този случай: } C_2 = C_0 f_0^2 \left( \frac{1}{n^2} - \frac{1}{l^2} \right).$$

След това намираме:

$$C_3' = \frac{C_0 f_0^2}{l^2}$$

$$C_3 = C_p + C_n + C_3'$$

$$L_1 = L \frac{l^2}{m^2} \cdot \frac{C_2 + C_3}{C_3}$$

5. Ако донастройващият кондензатор е включен паралелно към бобината, то може да считаме, че  $C_3 = 0$ , тогава

$$C_2 = \frac{C_0 f_0^2}{n^2}$$

$$C_4 = \frac{C_0 f_0^2}{l^2 - n^2} \quad L_1 = L \frac{l^2}{m^2}.$$

6. При изчисленията трябва да се вземат предвид не по-малко от пет знака.

За правилността на изчисленията следва да се направи проверка чрез следните формули:

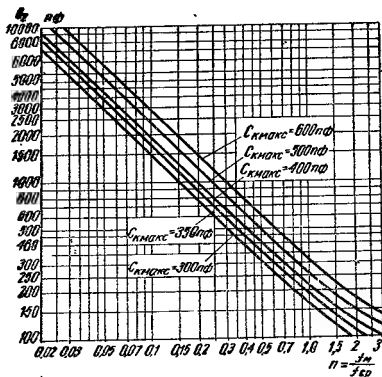
$$l^2 = \frac{C_0 f_0^2}{C_3' + \frac{C_2 C_4}{C_2 + C_4}} \quad n^2 = \frac{C_0 f_0^2}{C_2 + C_3}$$

$$m^2 = \frac{C_0 f_0^2}{L_1 \left( C_4 + \frac{C_2 C_3'}{C_2 + C_3'} \right)}$$

7. Ако при изчисленията величината на  $C_2$  се получава от порядъка на няколко хиляди пикофарада или повече, то, без да се отрази на точността, съгласуващият кондензатор  $C_2$  може да се изключи от кръга.

8. След направените изчисления за определяне неточността в съгласуването в различните точки на обхвата се използва формулата:

$$\Delta f = f_{\text{обхв}} - m \sqrt{\frac{f_{\text{обхв}}^2 + n^2}{f_{\text{обхв}} + t^2}}$$



Фиг. 114. График за отчитане на капацитета  $C_2$

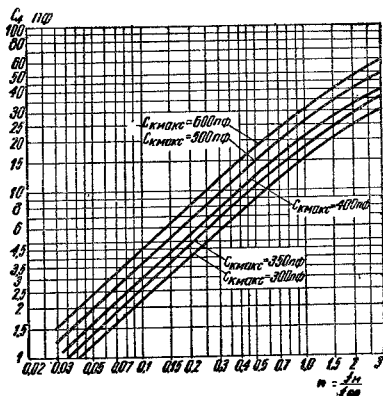
Като се вземат различни значения на  $f_{\text{обхв}}$  в границите на  $f_{\text{обхв мин}}$  —  $f_{\text{обхв макс}}$ , може да се построи зависимостта на  $\Delta f$  от честотите  $f_{\text{обхв}}$ .

Съгласуването се счита задоволително, ако най-голямото значение  $\Delta f$  не превишава  $\frac{1}{4}$  ширината на пропусканата лента на входните кръгове на приемника.

Изчисленията за  $L_1$ ,  $C_2$ ,  $C_3$  и  $C_4$  трябва да бъдат направени поотделно за всеки обхват на приемника. Опростен начин за изчисляване на съгласуването може да се направи и по графици. В този случай схемата на кръговете (входен и хетеродинен) трябва да бъде такава, както е показана на фиг. 113, където  $L$  е индуктивността на входния кръг;  $C_p + C_n$  — капацитетът на монтажа и донастройващия кондензатор;  $C_k$  — капацитетът на променливия кондензатор;  $L_1$  — индуктивността на кръга на хетеродина;  $C_2$  и  $C_4$  — капацитетите на кондензаторите за съгласуване;  $C_3$  — капацитетът на допълнителния кондензатор, включен в кръга на хетеродина за изравняване началните капацитети на двата кръга.

Първоначално се определя средната честота на обхвата

$$f_{\text{обх ср}} = \frac{f_{\text{обх макс}} + f_{\text{обх мин}}}{2}$$



Фиг. 115. График за отчитане на капацитета  $C_4$

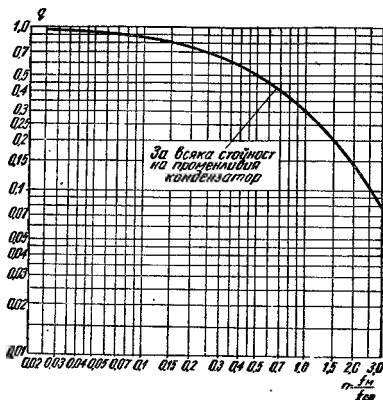
След това определяме отношението  $\frac{f_m}{f_{\text{ср}}}$ .

Изчисляваме капацитета

$$C_{\text{макс}} = C_{\text{к макс}} + (C_p + C_n),$$

където  $C_{\text{к макс}}$  е максималният капацитет на променливия кондензатор.

След това по съответната крива на фиг. 114 се определя величината на капацитета  $C_3$ , по кривата на фиг. 115 — капацитетът  $C_4$  и по кривата на фиг. 116 — спомагателният коефициент  $q$ , който позволява да се изчисли индуктивността  $L_1 = q \cdot L$ .



Фиг. 116. График за отчитане на индуктивността

### 3. Междиниочестотни усилватели

Междиниочестотният усилвател МЧУ е важна част от суперхетеродинния приемник, тъй като неговата работа определя най-съществените параметри на приемника: чувствителност, пропусната лента и избирателност. МЧУ служат за усилване на определена лента от честоти и максимално отслабване на всички останали честоти.

При определяне на междинната честота (МЧ) необходимо е да се ръководим от редица съображения, които се намират понякога във взаимно противоречие.

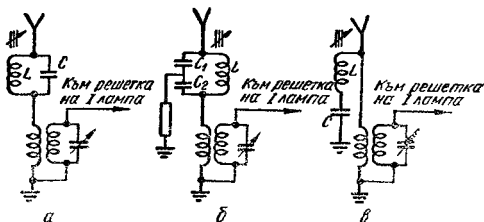
За подобряване на чувствителността на приемника по-целесъобразна е употребата на ниска междинна честота. При ниска МЧ може да се постигне и по-висока избирателност по съседен канал. Като се изхожда от тези съображения, по-изгодно ще бъде да се избере ниска МЧ.

Снижаването обаче на МЧ води до влошаване на избирателността на приемника по огледален канал. Пропускането на смущения по този канал е един от най-сериозните недостатъци на суперхетеродина.

Ограничение в избора на МЧ представлява и условието, което изисква тази честота не само да не попада в границите на целия приемен обхват, но и да лежи значително валеж от тях, не по-малко от 25—30 кХц, от която н да било от приеманите честоти.

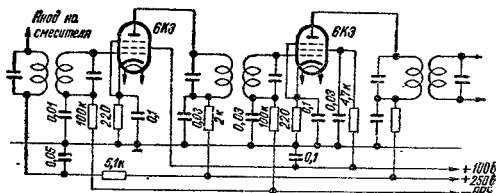
Съгласно БДС-1510-53 за дълги вълни са определени честоти от 150 до 400 кХц и за средни от 520 до 1560 кХц, т.е. свободен е участъкът от 400 до

520 кхц. По тази причина със същия стандарт е определена и МЧ 465 кхц, които се намират в средата на този участък и на не по-малко от 50 кхц разлика от всяка негова граница.



Фиг. 117. Схеми на филтри за междинна честота на входа на приемника

а и б — спирачни филтри; в — пропускащи филтри



Фиг. 118. Схема на МЧУ

Смущения предизвиква също и проникването на сигнали от станции върху решетката на преобразователната лампа, честотата на които е равна на междинната.

За отстраняване на смущенията от този род на входа на приемника се предвиждат филтри, настроени на МЧ и непротускащи до входа на преобразователя сигналите на смущаващите станции, които имат честота, равна на междинната. Употребяват се два вида филтри: спирачни и пропускащи. На фиг. 117 са показани такива филтри.

На фиг. 118 е показана схема на междинночестотен усилвател. За усилвателни лампи в такива усилватели се използват изключително високочестотни пентоди. Тези лампи имат малък междueleктроден капацитет решетка-анод и затова дават възможност да се получи по-голямо усиление без опасност от

поява на самовъзбуждане в приемника. Коефициентът на усилването се определя по опростена формула:

$$K = \frac{U_a}{U_i} = S \cdot Z_{\text{рез}},$$

т. е. колкото е по-голяма стръмността  $S$  на характеристиката на лампата, толкова по-голямо е усилването. Тази формула е вярна, когато на решетката на лампата на следващото стъпало напрежението се подава непосредствено от резонансния кръг, включен в анодната верига на ладена лампа. Ако между две съседни лампи е използвана трансформаторна връзка, коефициентът на усилването на стъпалото е по-различен. Той зависи от конструкцията на междинночестотните трансформатори и степента на връзката между кръговете.

Настройката на МЧ кръгове може да се извърши по два начина: или чрез полупроменливи кондензатори, или чрез изменение индуктивността на бобината със сърцевини от високочестотни магнитни материали.

Най-голямо приложение са получили конструкциите на МЧ трансформатори, в които бобините на кръговете са разположени така, както е показано на фиг. 119.

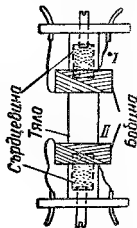
Добрата и качествена работа на МЧУ зависи не само от правилния подбор на лампите, но и от качеството на МЧ кръгове, от избора на схемата за включване на тези кръгове, от степента на връзката помежду им. От тяхната доброкачественост зависи както чувствителността, така и избирателността на приемника.

Най-често се използват лентови МЧУ. В тези усилватели се използват филтри или трансформатори, състоящи се от два свързани помежду си кръга, настроени на МЧ. Многокръговите филтри поради сложността си не са получили широко разпространение.

За качеството на двукръговия филтър се съди по резонансната му характеристика. Формата на резонансната характеристика се определя от качествения фактор ( $Q$ ) на кръговете и степента на връзката между тях. На фиг. 120 са показани типични видове резонансни характеристики, които съответствуват на различни степени на връзка между кръговете на двукръговия МЧ филтър.

Крива 1 съответствува на слаба връзка и малко усилване. Крива 2 съответствува на критична връзка, при която усилването достига най-голямата възможна стойност. Формата на тази крива се подобрява, като върхът ѝ малко се сплесква, а страните ѝ спадат стръмно. Крива 3 се отнася за случай на силна връзка между кръговете, когато в характеристиката се появява падина при резонансната честота и се образуват две гърбици. Падините и гърбиците зависят от коефициента на връзката между кръговете. По форма тази характеристика може да се приближи до идеалната, т. е. към правоъгълната.

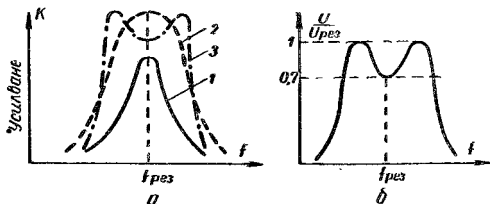
Най-голямо приложение са получили двукръговите филтри с индуктивна връзка между бобините им. Коефициентът на връзката зависи от разстоянието между бобините. При слаба връзка незначителна част от енергията на първия кръг преминва във вторичния кръг. Тук усилването е малко. При увеличаване на връзката усилването расте и достига най-голяма стойност при определена най-подходяща величина на връзката, която се нарича критична. При



Фиг. 119. Конструкция на междинночестотен трансформатор

критичната връзка мощността на трептенията се изразходва по равно в двата кръга, поради което и усиляването е двойно по-малко.

При връзка, превишаваща критичната, загубите, внасяни от втория кръг в първия, се оказват толкова големи, че общото усиляване се намалява. Прието



Фиг. 120. Резонансни характеристики

*a* — при различна степен на връзка между кръговете;  
*б* — при максимално допустима връзка

е максимална допустима връзка да се смята, когато надината достига 0,7 от максималната височина на кривата (фиг. 120 б). Такава връзка дава най-изгодната форма на резонансната характеристика от гледна точка на избирателността. При всички степени на връзка между кръговете избирателността на лентовия усилвател ще бъде толкова по-добра, колкото по-голям е качественият фактор на кръга, тъй като страните на кривите са с по-голяма стръмност.

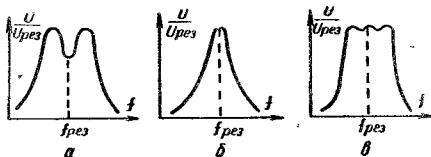
Употребата на кръгове с висок  $Q$ -фактор, особено за концертни приемници, не всякога е възможно, тъй като това довежда до рязко стесняване на пропусканата лента, а следователно и до големи честотни изкривявания. Това обстоятелство ограничава повишаването на  $Q$ -фактора на кръговете. Понякога за разширяване на пропусканата лента се налага изкуствено влошаване на кръговете, като се шунтират със съпротивление.

За получаване на кръгове с голям качествен фактор бобините им се правят от многожилен проводник — литцендрат. Добри МЧ кръгове, употребявани в концертните приемници, имат  $Q$ -фактор, равен на  $80 \div 100$ .

За получаване на резонансна характеристика на МЧУ, близка до правоъгълната, се използвава в първото МЧ стъпало силна връзка, в резултат на което получаваме крива с голяма надина (фиг. 121 а). Използването на резонансен кръг във второто стъпало, който има висок  $Q$ -фактор и се настройва точно на МЧ, дава крива, която има остра резонансна форма (фиг. 121 б). Резултатната резонансна крива получава форма, показана на фиг. 121 в. Такава система на МЧ филтри дава висока избирателност при добра пропускана лента.

При неточна настройка на МЧ кръгове резонансната крива се деформира и получава вид, показан на фиг. 122. Такава разстройка може да се появи при замяна на усилвателна лампа, на която величината на кондензатора решетката не е същата както на заменената лампа, на която са били настроени

МЧ кръгове. За МЧ кръгове се подбира кондензатор с капацитет, който трябва да бъде в границите от 120 ÷ 300 пф. При такива капацитети на кондензаторите в МЧ кръгове разстройката вследствие на подменена лампа практически не се отразява върху работата на приемника.



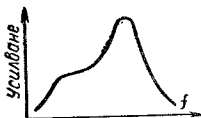
Фиг. 121. Характеристики на междинночестотен усилвател с различни филтри в първото и второто стъпало

Най-голямо влияние върху деформацията на резонансната крива оказва последният кръг, натоварен с диодния детектор. Сnižаването на  $Q$ -фактора на този кръг поради загуби, внасяни от диода, може да бъде причина за влошаване формата на характеристиката и особено ако кръгът на последния филтър е малко разстроен.

**Регулиране на пропускащата лента.** При приемане на слаби станции или при силни смущения желателно е приемникът да има по-голяма избиращелност и тясна пропускателна лента, за да може да се отдели полезният сигнал и се намалят смущенията.

За регулиране на пропускащата лента се изменя степента на връзката между кръговете на МЧ филтри. Практически това става по два начина: чрез изменение положението на бобините една спрямо друга, което се осъществява посредством механическа система, или пък чрез употребата на допълнителна бобина за връзка, която се включва последователно в един от кръговете. Обикновено тази бобина се състои от една-две навивки, силно свързани с кръга. Такова регулиране позволява да се получават различни пропускателни ленти — тясна, средна и широка. Освен това чрез регулиране на междинната честота регулираме и честотната характеристика на МЧ усилвател, като със стесняване на пропускащата лента се изрязват високите честоти и, обратно, при разширяване на лентата се разширява честотната характеристика на нискочестотен усилвател в областта на високите звукови честоти.

**Кварцови филтри.** При необходимост от висока и регулируема избиращелност на приемника в МЧУ се използват кварцови филтри. Схема на МЧУ с кварцово стабилизиране на честотата е показана на фиг. 123. С изменение на съпротивлението  $R_1$  се изменя в големи граници широчината на пропускащата честотна лента от 100 ÷ 5000  $\text{Hz}$ . МЧ кръгове, в които има включен

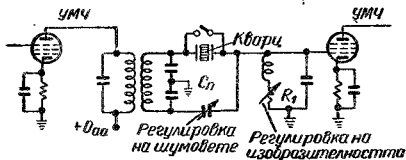


Фиг. 122. Несиметрична резонансна характеристика



кварцов кристал за стабилизиране на честотата, се характеризират с много висок  $Q$ -фактор.

В МЧУ може да се появи самовъзбуждане, което се изразява във вид на пицане или изкривяване, съпровождащо приемото предаване.



Фиг. 123. Схема на МЧУ с кварцов филтър

За избягване на самовъзбуждането монтажът на МЧУ се прави така, че между анодните и решетъчните вериги да са недопустими капацитивни и индуктивни паразитни връзки. Затова МЧ филтри се по-тават в металически екрани, детайлите, влизащи в анодната верига, по възможност се отдалечават от детайлите в решетъчната верига. Проводниците на решетъчната верига се правят къси и разполагат перпендикулярно на проводниците в анодните вериги. Самовъзбуждането може да се появи не само в случай на връзка между анодната и решетъчните вериги на едно стъпало, но и при връзка на анодната верига на едно от последните стъпала с анодната или решетъчните вериги на първите стъпала. Мерки против такива самовъзбуждания са захранване електродите на лампите чрез развързващи филтри.

Причина за самовъзбуждане в МЧУ може да бъде по-високото напрежение на екраниращите решетки на лампите, в резултат на което усилването може да се получи ненормално високо.

Изчисление на междинночестотни усилватели:

При изчисляването на МЧУ обикновено се дават величините на: междинната честота  $f_m$ , пропусканата лента  $2\Delta F$ , коефициента на честотните изкривявания  $M$ , коефициента на усилването  $K_0$ , броя на кръговете  $m$  и величината на избирателността  $d = \frac{1}{y}$  при разстройка  $\Delta f$ .

Необходимо е да се определят: типът на лампите,  $Q$ -факторът, параметрите на кръга  $L$  и  $C$ , коефициентът на връзката между кръговете  $K$ .

1. Избира се типът на лампата и по характеристиката ѝ се определя режимът на работа.

2. Определя се коефициентът на честотните изкривявания от една двойка кръгове:

$$M' = \sqrt[m]{M}$$

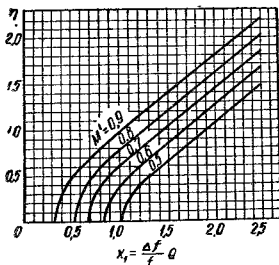
3. Определя се  $Q$ -факторът на кръговете при условие да се осигури пропусканата лента по графика на фиг. 124

При дадена величина на връзката  $\eta = 0,5 \div 1,5$  намираме по кривата съответстващия коефициент  $M'$ .

При пропускана лента  $2\Delta F = 6 \div 7$  кхц значението на  $\eta$  се взема близко до единица. За по-широка лента следва да се вземе  $\eta > 1$ .

$$Q = \frac{f_0 x_1}{2\Delta F}$$

Величината на  $Q$  рядко превишава 100—150.



Фиг. 124. График на В. И. Сифоров за определяне  $Q$ -фактора на кръговете на филтъра

4. Прави се проверка, дали се удовлетворява избирателността при избрани параметър на  $\eta$ :

$$d = \left( \frac{\sqrt{(1 - x_2^2 + \eta^2)^2 + 4x_2^2}}{2\eta} \right)^m \quad \text{при } \eta > 1.$$

$$d = \left( \frac{\sqrt{(1 - x_2^2 + \eta^2)^2 + 4x_2^2}}{\eta^2 + 1} \right)^m \quad \text{при } \eta \leq 1,$$

където  $x_2 = \frac{2\Delta F}{f_0} Q$ , а  $\Delta f$  е значението на зададената разстройка (обикновено 10 кц).

В случай, че величината  $d$  се получава по-малка от зададената, параметърът  $\eta$  следва да се измени и преизчисли  $Q$ .

5. Определя се капацитетът на кръга на филтъра от две условия:

а) максимално устойчиво усилване

$$C \geq 2Q \sqrt{\frac{C_{a2} S}{\omega_0}}$$

б) допустимото шунтиращо действие на вътрешното съпротивление на лампата на кръга

$$C \geq \frac{4Q}{\omega R_i}.$$

От получените значения се взема най-голямото.

6. Определя се индуктивността на кръга:

$$L = \frac{2,53 \cdot 10^{10}}{C f_0^2},$$

където  $L$  е изразено в  $мкхн$ ,  $C$  — в пикофаради,  $f_0$  — в  $кхц$ .

7. Намира се коефициентът на връзката между кръговете

$$k = \frac{n}{Q}.$$

8. Определя се коефициентът на взаимната индукция

$$M = k \cdot L.$$

9. Намира се резонансното съпротивление на кръга:

$$R_{рез} = \sqrt{\frac{L}{C}} \cdot Q.$$

Трябва да се има предвид, че последният филтър на МЧУ се шунтира от детекторното стъпало и затова не се препоръчва величината на  $R_{рез}$  да превишава 100 ком. Ако полученото значение на  $R_{рез} > 100$  ком, трябва да се направи преизчисляване след точка 5 включително по пътя на увеличаване на капацитета на кръга  $C$ .

10. Изчислява се коефициентът на усилването:

$$K_0 = \left( \frac{\eta}{\eta^2 + 1} S R_{рез} \right)^{m-1}$$

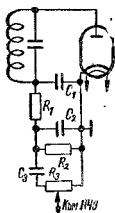
Ако полученото значение на  $K_0$  се окаже по-малко от зададеното, трябва да се вземе лампа с по-голяма стръмност и направи наново изчислението.

## н. Лампови детектори.

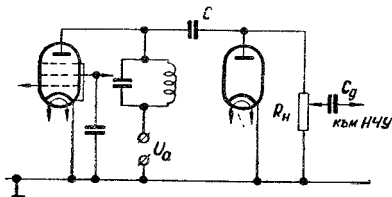
Употребяват се следните видове лампови детектори: диоден, решетъчен, аноден и катоден.

Диоден детектор. Диодното детектиране е едно от най-простите и най-разпространено детектиране. Употребяват се две схеми на диодно детектиране: последователна и паралелна.

На фиг. 125 е показана последователна схема на детектиране. Източникът на променливия ток, диодът и товарът на детектора се съединяват последователно. Тя се използва, когато постоянната съставна на тока на детектора може да преминава през източника на променливия ток.



Фиг. 125. Схема на диоден детектор



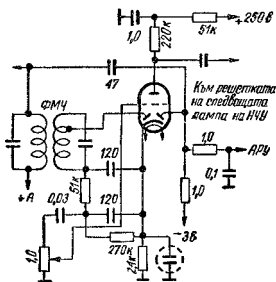
Фиг. 126. Схема на паралелно детектиране

На фиг. 126 е показана паралелна схема на детектиране. Източникът на променливия ток, диодът и товарът на детектора са съединени паралелно. Тя се използва, когато постоянната съставна на тока на детектора не трябва да преминава през източника на променливия ток.

Диодното детектиране има малки нелинейни изкривявания, допуска претоварване и удобно съчетаване със схемите за автоматично регулиране на усилването.

Недостатъци на диодното детектиране са неговото относително високо входно съпротивление, което тежко последилия филтър на МЧ и понижава избирателността, и изискването на по-високо входно напрежение.

В практиката често се използват комбинирани лампи с диоди и триоди или диоди и гентоди. На фиг. 127 е показана схема с лампа двоен диод-триод. Тук една и съща лампа изпълнява функциите на детектор, отделен детектор за АРУ и предварително усилване на ниската честота.



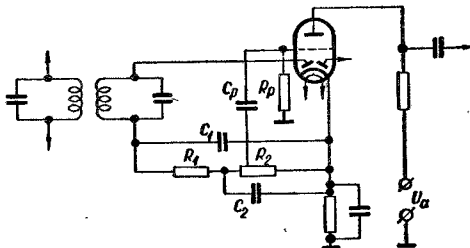
Фиг. 127. Практическа схема на диоден детектор с използване на двоен диод-триод

Изчисляване на диоден детектор:

1. Избира се типът на лампата. Най-често употребявани лампи в приемниците за детектиране са: 6Х6, 6Г2, 6Г7, 6Г8, ЕВ4, ЕВС3, ЕРЛ1, ЕВЛ21 ЕАВС80 и др. Изчисленията ще се направят по схемата на фиг. 128.

2. Определя се величината на входното съпротивление на детектора. За запазване на симетричността на резонансната крива на МЧУ е необходимо входното съпротивление на детектора незначително да шунтира втория кръг на лентовия филтър:

$$R_{\text{вх}} > (3 \div 4) R_{\text{рез}}$$



Фиг. 128. Схема на диоден детектор

3. Определя се общото товарно съпротивление на детектора:

$$R_{\text{т}} = R_1 + R_2 - 2R_{\text{вх}}$$

4. Дава се стойността на учетното съпротивление на следващото стъпало на усилвателя на дяска честота в границите  $R_{\text{р}} = 0,5 \div 3 \text{ мгом}$  и се определя величината на съпротивлението  $R_2$ :

$$R_2 = \frac{R_{\text{р}}}{6 \div 8}$$

5. Намира се съпротивлението  $R_1$ :

$$R_1 = R_{\text{т}} - R_2$$

6. Намира се стойността на блокиращия кондензатор  $C$  от условието за купу-стимите нелинейни изкривявания:

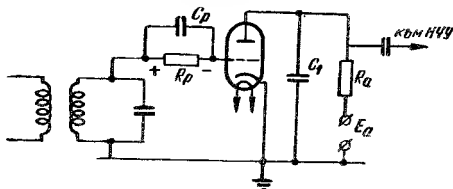
$$C = \frac{1,5 \cdot 10^3}{\omega \cdot R_{\text{т}}} [\text{нф}]$$

7. При дадена стойност на капацитета на филтриращия кондензатор  $C_1$  се намира величината на капацитета на блокиращия кондензатор:

$$C_2 = \frac{C - C_1}{\left( \frac{R_2}{R_1 + R_2} \right)^2}$$

8. Стойността на разделителния кондензатор  $C_p$  се определя от условието за допустимите честотни изкривявания в областта на ниските честоти:

$$C_p \geq \frac{1}{\omega R_p \sqrt{M_T^2 - 1}}$$



Фиг. 129. Схема на решетъчен детектор

9. Амплитудата на напрежението на носещата честота  $U_H$  се определя от следните съображения: За получаване на линейно детектиране е необходимо най-малкото значение на амплитудата на модулираните трептения  $U_{\min}$  при най-голямо значение на коефициента на модулацията  $m$  да бъде не по-малко от  $0.3 \div 0.5$  в:

$$U_{\min} = U_H (1 - m_{\max})$$

$$U_m = \frac{U_{\min}}{1 - m}$$

Приемайки  $m_{\max} = 0.9$  и  $U_{\min} = 0.3$  в, получаваме  $U_m \approx 3$  в.

10. Определи се величината на коефициента на връзката с детектора. Приемайки  $K_d \approx 0.9$ , полезното напрежение на ниската честота се получава от  $R_p$ , затова действителното значение на  $K_d$  ще бъде малко по-малко.

$$K'_d = 0.9 \frac{R^2}{R_T}$$

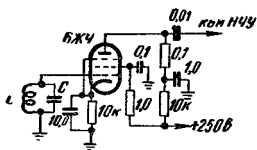
Решетъчен детектор. Решетъчното детектиране се основава на използването на нелинейността на характеристиката на решетъчния ток. На фиг. 129 е показана схема на решетъчен детектор. При решетъчното детектиране в една лампа става и детектирането и усиляването на сигналите с ниска честота. Детектирането на сигналите става в решетъчната верига.

Решетъчното детектиране намира обикновено приложение в линейните приемници при схеми с обратна връзка, но изобщо малко се употребява. Решетъчният детектор има висока чувствителност, но дава и големи нелинейни изкривявания, не понася претоварване.

При подбора на лампата за решетъчен детектор трябва да се има предвид, че лампата с малък  $\mu$  и малка стръмност  $S$  може да работи при по-силни сигнали, но дава по-малко усиляване. Стойностите на  $R_p$  и  $C_p$  се подбират

така, както и при диодния детектор. Кондензаторът  $C_1$  трябва да има малко съпротивление за високите честоти и голямо за ниските, обикновено 1000—2000 пф.

**Аноден детектор.** При анодното детектиране се използва нелинейността на решетъчната характеристика на анодния ток.

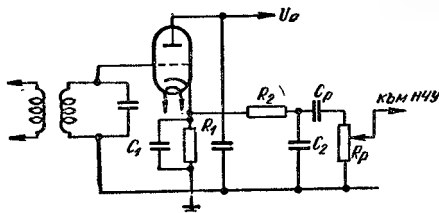


Фиг. 130. Схема на аноден детектор с лампа 6Ж4

Анодният детектор има голямо входно съпротивление, но въпреки това внася по-големи нелинейни изкривявания, отколкото диодният детектор. Не понася претоварвания и иамира приложение главно в телевизионните приемници и измерителните апаратури.

На фиг. 130 е показана схема на аноден детектор. Работната точка се избира на долната кривина на характеристиката. Препоръчително е да се използва автоматично преднапрежение. Катодният кондензатор трябва да пропуска както ниските, така и високите честоти. Паралелно на електролитния кондензатор е желателно да се включва слюден кондензатор.

**Катоден детектор.** Катодният детектор е разновидност на анодния детектор и се отличава от него по това, че товарното съпротивление се включва в катодната верига. На фиг. 131 е показана схема на катоден детектор. Ве-



Фиг. 131. Схема на катоден детектор

личината на товарното съпротивление  $R_1$  се избира така, че работната точка на лампата да се измести на нелинейния участък на характеристиката. Съпротивлението на кондензатора  $C_1$  за високочестотните токове трябва да бъде значително по-малко, отколкото  $R_1$ . Съпротивлението  $R_2$  и кондензаторът  $C_2$  образуват филтър, чрез който се отфильтрува високочестотната съставка на напрежението, което се появява на товарното съпротивление на катодния детектор.

Катодният детектор има голямо входно съпротивление и внася малки нелинейни изкривявания, не понася претоварване. Няма възможност да се получи напрежение за автоматично регулиране на чувствителността.

### Полупроводникови детектори

В последно време започнаха да се използват в радиоприемниците полупроводниковите диоди за детектиране, които имат следните предимства пред ламповите: нямат нужда от отопление, малки размери, малък капацитет между електродите, по-голяма стръмност на характеристиката, по-издръжливи на механически влияния.

Като недостатък на полупроводниковите детектори могат да се посочат: зависимост от околната температура, относително невисоко и непостоянно обратно съпротивление. Входното съпротивление е по-малко, отколкото при ламповите диоди. При малки входящи напрежения под 80 мВ могат да се появят големи нелинейни изкривявания за сметка на обратния ток.

Изборът на полупроводниковите диоди за амплитуден детектор, честотен детектор и изправител на АРУ трябва да става по най-голямата стойност на вътрешното и обратното съпротивление.

Полупроводниковите диоди намират все по-голямо приложение в приемниците на сантиметрови вълни, в телевизионните приемници и в други радиотехнически апаратури.

### к. Автоматично регулиране на усилването (АРУ)

С цел за опростяване обслужването на радиоприемниците и подобряване сигурността на връзката почти във всички приемници се прави автоматично регулиране на усилването, с помощта на което нивото на сигнала на изхода се поддържа почти постоянно при значително изменение на входящия сигнал.

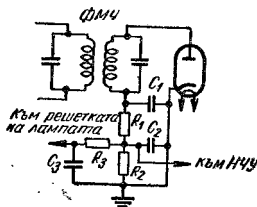
Автоматическо регулиране на усилването се извършва, като част от изходящото напрежение се изправя и подава като отрицателно напрежение на управляващите решетки на лампите в усилвателя на висока и голяма междинна честота, които имат удължена характеристика и променлива стръмност. Когато изходящото напрежение се увеличи, увеличава се и постоянната съставна на изправения ток, отрицателното напрежение се увеличава, а стръмността и усилването намаляват. При намаляване на изходящото напрежение се извършва обратният процес.

Определянето броя на регулируемите стъпала зависи от типа и предназначението на приемника. Колкото повече стъпала обхваща АРУ, толкова по-добра ще бъде АРУ. Понякога се налага за по-целесъобразно да не се засягат някои стъпала от действието на АРУ. Това се отнася за преобразувателите на честотата, в които при изменение на преднапрежението на управляващата (сигнална) решетка неизбежно предизвиква изменение на хетеродинната честота. В преобразувателните лампи от по-нов тип това вредно влияние от изменението на преднапрежението на честотата на хетеродина е значително намалено, така че тези лампи могат да се подлагат на действието на АРУ. Но все пак в приемниците с високо качество, които имат къси вълни под 30 м, не се препоръчва да се подава напрежение на АРУ на преобразвателните лампи.

При радиоприемниците с малък брой на лампите за получаване на достатъчно ефективно АРУ се налага да се подава регулиращо напрежение на всички лампи във високата и междинната честота. За осигуряване на добра работа на АРУ е необходимо при изменение на регулиращото напрежение на управляващите решетки на регулируемите лампи, напрежението на екранните решетки и изходното пренапрежение не се изменя. Напрежението на екранните решетки на регулируемите лампи може да бъде независимо от ра-



ботата на АРУ, ако това напрежение се подава чрез делители на напрежения, при които общият ток е от  $3 \div 5$  пъти по-голям от тока на екранната решетка на лампата.



Фиг. 132. Схема на автоматично регулиране на усилването (АРУ)

Времекоинстантата на филтъра на АРУ се избира от порядъка на  $0,05 \div 0,2$  за кониертни приемници. Например при съпротивление  $1 \text{ мгом}$  и кондензатор  $0,1 \text{ мкф}$  времекоинстантата е равна на  $1 \text{ мгом} \times 0,1 \text{ мкф} = 0,1 \text{ сек}$ . Другите елементи се определят както за диодния детектор.

Съществен недостатък на простата схема на АРУ е намаляването на коефициента на усилването на стъпалата не само при приемане на силни сигнали, но и при приемане на слаби сигнали, което предизвиква понижаване чувствителността на приемника.

Автоматическо регулиране на усилването със задръжка. На фиг. 133 е показана схема на АРУ със задръжка. Напрежението на задръжка се подава едновременно на всички регулируеми лампи. То се предизвиква от общия ток, който протича през съпротивлението  $R_4$ .

Времекоинстантата на филтъра на АРУ трябва да има такава величина, че АРУ да действа достатъчно бързо и в същото време да има достатъчно затихване за звуковите честоти.

За телефонните приемници времекоинстантата на АРУ се взема:

$$\tau_{\phi} \approx C_{\phi} \cdot R_{\phi} = 0,02 - 0,2 \text{ сек.}$$

За телеграфни приемници:

$$\tau_{\phi} = 0,01 - 1 \text{ сек.}$$

За избягване на самовъзбуждане на регулируемите стъпала се включват допълнителни филтри  $R_{\phi} C_{\phi}$  с времекоинстантата:

$$\tau_{\phi 1} = C_{\phi 1} \cdot R_{\phi 1} = 0,1 \tau_{\phi}$$

Стойността на кондензатора на допълнителния филтър се определя

$$C_{\phi 1} \geq 100 C_{\text{вх}}$$

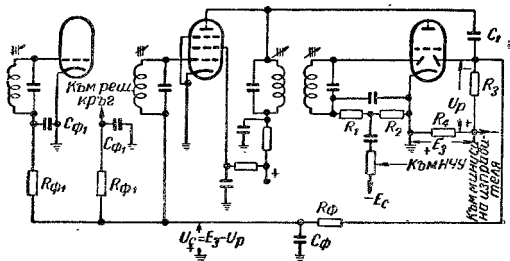
където  $C_{\text{вх}}$  е входящият капацитет на лампата.

За получаване отрицателно преднапрежение на решетките на регулируемите лампи, независимо от работата на АРУ, понякога се използва падението на напрежението, предизвикано от общия ток на приемника в съпротивление, включено в общия минус на токоизправителя, което едновременно служи и за напрежение на задръжката.

Проста схема на автоматично регулиране на усилването. На фиг. 132 е показана проста схема на АРУ. Постоянната съставна на напрежението, което възниква на товарното съпротивление на детектора чрез филтъра  $R_3 C_3$ , се дава на решетките на лампите, обхванати от АРУ.

За повишаване на входното съпротивление на изправителя на АРУ товарното съпротивление се взема  $1 \div 1,5 \text{ мом}$ , а капацитетът  $C_1$  - от  $50 \div 100 \text{ пф}$ . Входното съпротивление на изправителя на АРУ е равно

$$R_{\text{вх}} \approx \frac{1}{3} R_3.$$



Фиг. 133. Схема на АРУ със задържане

Изправителят на АРУ се включва на първия кръг на филтъра, а детекторът на втория кръг. Такова включване дава по-равномерно шунтиране на кръговете на филтъра и се получава относително еднакво затихване на кръговете, което повишава устойчивостта на формата на резонансната крива на филтъра при евентуални разстройките на кръгсвите.

За опростяване схемата на комутицията на високочестотните кръгове и недопускане прекъсване в решетъчните вериги на АРУ и преднапрежението често се използва схемата на фиг. 134.

Капацитетът на  $C_2$  се определя:

$$C_2 \geq 20 C_{\text{вх}}$$

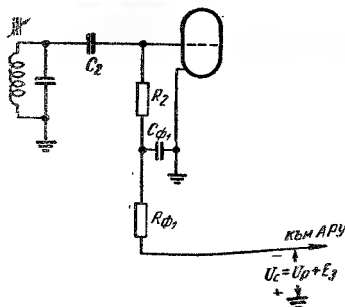
Съпротивлението  $R_2$  се избира такова, че да не шунтира много кръга.

$$R_2 \geq 10 R_{\text{к макс}}$$

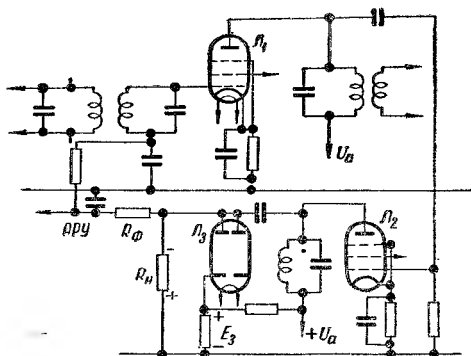
**Усилено автоматично регулиране на усиляването.** Възможни са две основни схеми на усилено АРУ; схема на усиляване на постоянното напрежение, получавано на изхода на детектора на АРУ, и схема с допълнително усиляване трептенията на МЧ до детектора на АРУ.

На фиг. 135 е показана схема на АРУ с допълнително усиляване на трептенията на МЧ с лампа  $L_2$ .

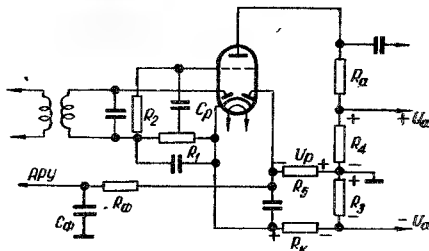
На фиг. 136 е показана схема на АРУ с усиляване на постоянно напрежение. Тази схема се използва, когато в приемника е нежелателно да се включва допълнително лампа. За усиляване регулиращото постоянно напрежение се използва първата лампа на усилвателя на ниска честота.



Фиг. 134 Схема за подаване на решетката на лампата напрежение от АРУ и преднапрежение



Фиг. 135. Схема на усилено АРУ



Фиг. 136. Схема на АРУ с усиление на постоянното напрежение

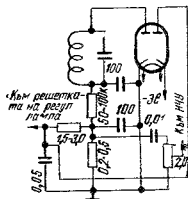
На решетката на НЧУ се подава не само полезното напрежение на ниската честота през кондензатора  $C_p$ , но и постоянното отрицателно напрежение от товарното съпротивление на детектора  $R_1$  чрез съпротивлението  $R_2$ .

Напрежението на съпротивление  $R_3$  се избира така, че вторият диод да работи в режим на задържане

$$U_{3.} \rightarrow U_{K.} + U_{R3}$$

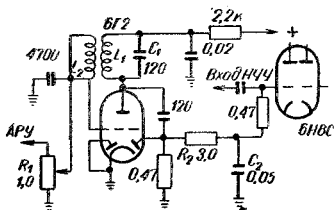
Безшумно автоматично регулиране на усиляването (безшумна настройка). При приемане сигналите на силните станции АРУ намалява чувствителността на приемника толкова, че той практически почти свършено не приема различните видове смущения. Все пак при настройката на приемника от една станция на друга АРУ рязко повишава неговата чувствителност, в резултат на което той прегма смущения, създаващи силни, неприятни шумове и пукания. За намаляване на тези смущения се употребява безшумната настройка. Нейното действие се състои в това, че напълно или частично се запущва усилвателят на ниска честота, когато няма силни сигнали, и го отпушва, когато приемникът приема сигнали, превишаващи някакво предварително установено ниво.

На фиг. 137 е показана схема на безшумна настройка. Употребяват се схеми на безшумна настройка, където не се запущва НЧУ, а детекторът на сигнала. Тези схеми имат недостатъка, че при приемане на сигнала със средна сила управляващото напрежение може да има някаква средна стойност и управляващият усилвател да се окаже в междинно състояние, при което приемането да бъде със силни изкривявания.



Фиг. 137. Схема на безшумно АРУ със задържане

За избягване на това неприятно явление е необходимо преходът на управлявания усилвател от запушено състояние в отпущено при изменението силата на приеманите сигнали да става не постепенно, а скокообразно. За тази цел може да се използва спускова схема, широко употребявана в импулсната радиотехника.

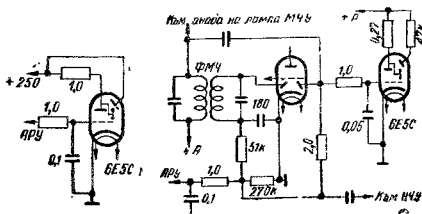


Фиг. 138. Схема на включване индикатора на настройката 6E5C

На фиг. 138 е показана схема на безшумна настройка. Триодната част на кръга  $L_1C_1$  и бобината за обратна връзка  $L_2$  образуват генератор, който работи на честота 2 мхц. Установяването прага на задействуване на безшумната настройка се извършва с потенциометър  $R_1$ .

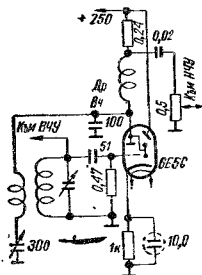
#### л. Индикатор на настройката

Точната настройка на приемниците на слух е трудна и при неточна настройка се получават изкривявания. За облекчение на настройката на приемниците се употребяват индикатори на настройката.

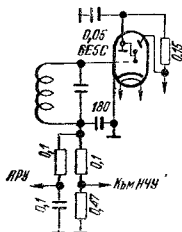


Фиг. 139. Схема на включване на индикатора 6E5C за повишаване на чувствителността

Съществуват голям брой индикатори на настройка. Един от първите индикатори е бил милиампермер, включен в анодната верига на детекторната лампа. При резонанс той показва максимално отклонение. След това се появила нео-



Фиг. 140. Схема за използване на лампа 6E5C в решетъчен детектор



Фиг. 141. Схема за използване на индикатора 6E5C в диоден детектор

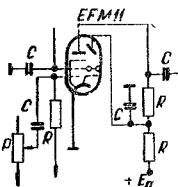
новите индикатори, които при резонанс светят най-силно. Сега най-голямо приложение имат електроннолъчевите индикатори на настройка.

На фиг. 139а е показана схема на включване индикатор на настройка 6E5C, която дава добри резултати само при приемане на силни сигнали в приемниците, където АРУ работи недостатъчно ефективно. По-чувствителна схема за включване на индикатора за настройка е показана на фиг. 139б. Недостатък на тази схема е, че малко намалява яркостта на екрана на 6E5C.

В линейните приемници с малък брой на лампите лампата 6E5C може да се използва като детектор и индикатор на настройката (фиг. 140).

В приемници, които имат достатъчно усилване до детектора, лампата 6E5C може да се използва едновременно като диоден детектор и като индикатор на настройката (фиг. 141).

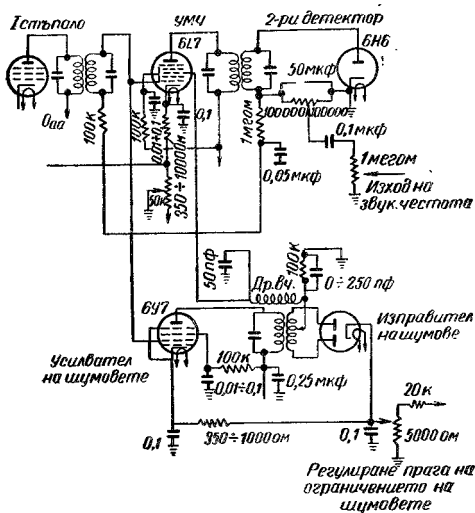
На фиг. 142 е показана схема на индикатор на настройка с лампа EFM11—комбиниран пентод с индикатор на настройката, която се използва като такъв в височестотните усилватели.



Фиг. 142. Схема на индикатор на настройка с лампа EFM11

## м. Потискане на смущенията

В повечето случаи смущенията и полезният сигнал преминават през общия основен канал. Затова отслабване действието на смущенията без съществено изкривяване на полезния сигнал е възможно в тези случаи, когато смущенията и полезният сигнал имат съществени различия в своите свойства.



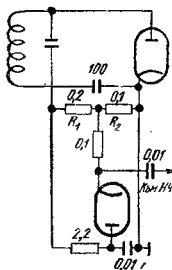
Фиг. 143. Схема за регулиране прага на ограничението на шумовете

За намаляване на шумовете се прилагат специални схеми за потискане на смущенията от импулсен характер.

На фиг. 143 е показана схема, в която решетката на усилвателната лампа 6L7 от спомагателния усилвател на междинна честота — усилвател на смущения, е съединена с решетката на последната усилвателна лампа за МЧ — 6L7, подаваща изходящото напрежение на спомагателния изправител. Постоянната съставка на изхода на този спомагателен изправител се подава като преднапре-

жение на третата решетка на лампата 6L7, която работи като усилвателна лампа на МЧ. При съответно регулиране може да се получи, че напрежението на смущенията, имащо амплитуда, по-голяма от амплитудата на приемания сигнал, ще създава преднапрежение, достатъчно за запалване на последната лампа на МЧУ, в резултат на което приемникът ще бъде изключен от работа през време на действието на смущенията. Макар и да се внасят някои изкривявания, все пак приемането е по-добро, отколкото ако то е без потискане на смущенията.

На фиг. 144 е показана схема на по-прост и по-неэффективен ограничител на смущенията. Ограничението се прави на ниво 100% модулация. Изменяйки съотношението на съпротивления  $R_1$  и  $R_2$ , може да се понижи нивото на ограничаванята. При този начин на ограничаване смущенията се намаляват, но при силни сигнали приемането е съпроводено с изкривявания.



Фиг. 144. Схема на амплитуден ограничител на смущенията

## н. Автоматична донастройка на честотата

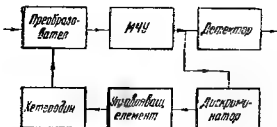
Величината на МЧ в суперхетеродинния приемник се определя от разликата в честотите на приеманите сигнали и трептенията на местния хетеродин ( $f_m = f_x - f_c$ ).

Непостоянството на една от тези честоти предизвиква изменение на МЧ и разстройка на МЧУ. Освен това трудностите по точната настройка на приемниците с АРУ, а също и затрудненията, предизвикани от измененията на честотата на хетеродина при приемане на къси вълни, могат да бъдат отстранени чрез автоматично изменение на честотата на хетеродина така, че да се получи точна междинна честота.

На фиг. 145 е показана блокова схема на автоматично регулиране на честотата. Тя се състои от две основни части: дискриминатор и управляващ елемент. Дискриминаторът създава постоянно напрежение с величина, пропорционална на разликата между фактически действащата МЧ и установеното за нея значение. Това напрежение се дава за управление на реактивната лампа, която въздействува на хетеродина и съответно изменя честотата му.

Най-често употребявани схеми за автоматично регулиране на честотата са показани на фиг. 146.

Използването на автоматично регулиране на дълги и средни вълни е целесъобразно само в телеграфните приемници, които имат тясна пропускателна лента, а също и в приемниците с фиксирана настройка. В късовълновите

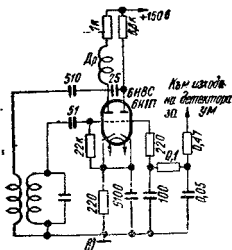
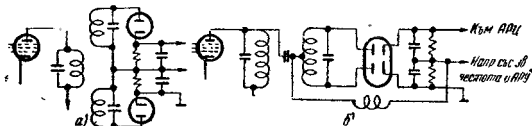


Фиг. 145. Блокова схема за автоматично регулиране на честотата



приемници при силен фадинг приемникът може автоматически да се пренастрои на друга станция.

При настройка на автоматичното регулиране на честотата е необходимо да се обърне внимание на правилния подроб на полярността на постоянната



Фиг. 146. Схеми за автоматично регулиране на честотата

съставна на изходящото напрежение на честотния детектор. Изменение полярността на регулиращото напрежение може да се извърши чрез превключване краищата на намотките на МЧ трансформатор, използвайки в честотния детектор.

#### о. Приемане на телеграфни сигнали

Немодулираните радиотелеграфни сигнали може да се приемат на слух само ако те бъдат превърнати в звукови сигнали с един или друг тон.

Получаването на звуковия сигнал може да се извърши с употребата на специален местен хетеродин. Неговите трептения създават с приеманите високочестотни сигнали биение, след детектирането на което се получават сиг-

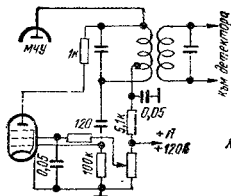
нали със звукова честота. Честотата на тези биения в суперхетеродинните приемници е равна на разликата между честотата на телеграфния хетеродин и междинната честота на приемника. По такъв начин тонът на приеманите телеграфни сигнали може да се изменя по желание, изменяйки честотата на телеграфния хетеродин или честотата на хетеродина на преобразователното стъпало, т. е. леко изменяйки настройката на приемника.

Ако приемникът едновременно приема различни сигнали на няколко различни честоти, то те създават звукови сигнали с различен тон, което позволява да се отделя от тях на слух желаният сигнал.

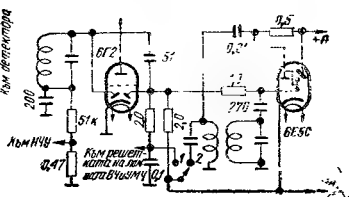
На фиг. 147 е показана схема, в която първият кръг на последния МЧ филтър се използва едновременно и като кръг на генератора. Величината на обратната връзка в генератора се регулира чрез изменение напрежението на екранната решетка. За приемането на телеграфни сигнали стъпалото се довежда в режим на генериране.

На фиг. 148 е показана схема на превключване лампата 6Е5С за приемане на телеграфни сигнали.

Друг начин за приемане на телеграфни сигнали е използването в приемника модулатор, на който се подава напрежението от местния генератор на зву-

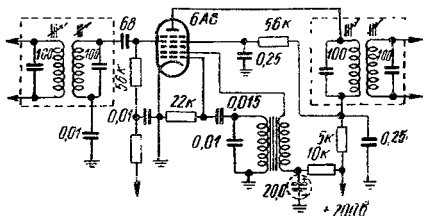


Фиг. 147. Схема за приемане на телеграфни сигнали на слух



Фиг. 148. Схема за използване на лампа 6Е5С за телеграфия

кован трептения. Препминавайки през модулатора, приеманите високочестотни сигнали се модулират със звукова честота и след детектирането падат на изхода звукови телеграфни сигнали.



Фиг. 149. Схема на модулатор на телеграфни сигнали

За разлика от хетеродинния начин приеманият в този случай тон на слушаните телеграфни сигнали се определя от честотата на модулацията на местния звуков генератор и не зависи от честотата на приеманите сигнали и от честотата на хетеродина на преобразователното стъпало.

Тоновата модулация на високочестотните колебания в приемника може да се извърши чрез подаване на напрежения от звуковия генератор на едни от електродите на коя да е лампа от ВЧ и МЧ стъпала на приемника.

На фиг. 149 е дадена схема с лампа 6A8, която едновременно се използва както за МЧУ, така и за звуков генератор. Лампите 6A7 и 6A10С не бива

да се използват, тъй като имат голям капацитет анод-решетка и може да се получи неустойчива работа на усилвателя.

### п. Радиоприемници за честотна модулация

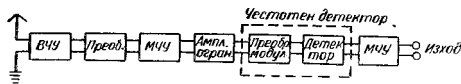
С развитието на радиоприемната техника се повишиха и изискванията към чувствителността, избирателността и продусканата лента. Повишаването обаче както на чувствителността, така и на продускателната способност се ограничава от различни видове смущения на радиоприемането.

С увеличаване коефициента на усиляване на приемника и разширяване на продусканата лента възприемчивостта му към смущенията нараства, а следователно реалната чувствителност се намалява.

Теоретическите и практическите изследвания показват, че използването на честотна модулация за предаване на сигнали в значителна степен отслабва действието на смущенията на радиоприемника и повишава неговата реална чувствителност. При използване на честотната модулация се подобрява съотношението сигнал/шум на изхода на приемника повече от 100 пъти в сравнение с амплитудната модулация.

Високата шумоустойчивост на честотната модулация е едно от основните нейни качества.

**Особености на УКВ приемници за ЧМ.** Приемниците за честотна модулация или, както често ги наричат, УКВ-ЧМ приемници за радиоразпръскване



Фиг. 150. Блокова схема на УКВ-ЧМ приемник

се отличават от обикновените приемници за амплитудно модулирани (АМ) сигнали.

На фиг. 150 е показана блокова схема на УКВ-ЧМ приемник. Основната особеност на този приемник в сравнение с приемника за амплитудно-модулирани сигнали е замената на амплитудния детектор с честотен детектор, който преобразува честотно-модулираните трептения в трептения с честота на модулацията.

Друго различие между УКВ приемник за ЧМ и приемник за АМ е амплитудният ограничител, който се използва при УКВ-ЧМ приемниците за отстраняване на амплитудните изменения на сигнала и по такъв начин напрежението на изхода на честотния детектор се явява само в резултат на честотната модулация и неговото входящо напрежение. Непостоянството на амплитудата на входящото напрежение на преобразователя на модулацията може да се появи под действието на смущенията или в резултат на честотни изкривявания в предшествуващите стъпала на приемника, вследствие на което честотно-модулираният сигнал, преминавайки през тези стъпала, получава амплитудна модулация.

Усиляването на сигнала от антената до амплитудния ограничител трябва да бъде такова, че да обезпечи на входа на ограничителя да има достатъчно напрежение на сигнала ( $2 \div 3$  в). За всеки амплитуден ограничител е харак-

терво, че прагът (нивото) на ограничението започва с определена минимална амплитуда на входящото напрежение. Минималната амплитуда на сигнала на изхода на усилвателя на междинна честота трябва да превишава с малък запас това ниво.

Пропусканата лента на стъпалата на приемника, предхождат ограничителя, трябва да съответствува на ширината на спектъра на честотномодулирания сигнал. Големи честотни изкривявания в тези стъпала са недопустими. При честотни изкривявания се изменя съотношението между отделните съставлящи спектъра на сигнала, което довежда, от една страна, към появяване на паразитна амплитудна модулация на сигнала, а от друга, към изменение характера на честотната модулация.

Паразитната амплитудна модулация на сигнала се отстранява чрез ограничителя. Все пак дълбоката амплитудна модулация изисква значително повишение на средното напрежение на сигнала на ограничителя, тъй като неговата минимална амплитуда трябва да бъде по-висока от прага на ограничителя. Изменението на характера на честотната модулация предизвиква изкривяване на изходящото напрежение на приемника.

За намаляване изкривения сигнал в усилвателя на междинна честота и честотния детектор понякога се употребява отрицателна обратна връзка, обхващаща МЧУ и ВЧУ. За създаване на тази обратна връзка напрежението на звуковата честота се подава от изхода на детектора на употребения за тази цел в схемата на приемника регулатор на честотата на хетеродина, който е подобен на регулатора за автоматична донастройка. Регулаторът на честотата създава под действието на подаваното му високочестотно напрежение честотна модулация на хетеродина. Фазата на честотната модулация на хетеродина е противоположна на фазата на модулацията на приемания сигнал. Установява се съответен избор на фазата на високочестотното напрежение на входа на регулатора на честотата.

Честотната модулация като правило се използва в обхвата на ултракъсите вълни. Нашата страна е възприела честотния обхват от 66 до 73  $\text{мгхц}$ , който обхват е възприет от большинството от членовете на международната организация по радиоразпръскване ОИРТ. Пропусканата честотна лента на УКВ-ЧМ приемника е от 200 до 300  $\text{кхц}$ . Съгласно стандарта на ОИР максималното отклонение на честотата  $\Delta f_c = 75 \text{ кхц}$  или 50  $\text{кхц}$ , което и определя пропусканата лента.

Отслабването на сигнала при разстройка  $\Delta f_c = 520 \text{ кхц}$  трябва да бъде не по-малко от 10 пъти на входа на детектора. За осигуряване на такова отслабване на приемането на станции, които имат  $\Delta f_c = 50 \text{ кхц}$ , е достатъчно МЧУ да има три кръгови филтъра, настроени на една честота. При приемането на станция, която има  $\Delta f_c = 75 \text{ кхц}$ , трябва или да се увеличат еднокръговите филтри, или да се заменят с двукръгови такива при критична връзка.

Междинната честота на УКВ-ЧМ приемници се избира над 4  $\text{мгхц}$ , като обикновено бива 8,4  $\text{мгхц}$  или 10,7  $\text{мгхц}$ .

За повишаване шумоустойчивостта на УКВ-ЧМ приемници изискванията към отслабването на приеманите смущения във високочестотния канал могат да бъдат така строги, както в приемниците за АМ. Така отслабването при приемане на съседен канал, т. е. при разстройка  $\pm 250 \div 300 \text{ кхц}$ , трябва да бъде 26—30  $\text{дб}$ .

Отслабването на приемането по съседен канал се дължи както на избираемите свойства на МЧУ, така и на разстройката на кръговете на честотния детектор. Затова при изчисляване на МЧУ може да се допусне, че отслаб-

нето на приемането по съседен канал може да бъде 6—10 дБ по-малко, отколкото показаното за целия високочестотен канал.

Неравномерността на усилването в границите на пропусканата лента за междинночестотния канал трябва да бъде не повече от 3 дБ, при което тази неравномерност влияе на величината на нелинейните изкривявания на приемания сигнал. При фиксирана настройка на входящите кръгове неравномерността на коефициента на връзката не трябва да бъде повече от 3 дБ в границите на УКВ-ЧМ обхвата (66—73 МГц).

Суперхетеродинните УКВ-ЧМ приемници трябва не само да имат висока стабилност на честотата, но и не трябва да имат паразитна честотна модулация, затова е необходима сигурна защита на хетеродина от механични сътресения, акустични трептения, пулсации на захранващите напрежения и други фактори, които могат да предизвикат паразитна честотна модулация.

Автоматичното регулиране на усилването в УКВ-ЧМ приемници също се използва, но то е по-малко поради наличието на ограничителя, отколкото при приемниците с АМ. Обикновено автоматичното преднапрежение се получава от съпротивлението в решетъчната верига на ограничителя.

**Комбиниран приемник за АМ/ЧМ.** Понякога освен нормалните вълновни обхвати приемникът има и обхват на ултракъси вълни. Това се прави от технико-икономически съображения.

В комбинираните приемници за амплитудна и честотна модулация токозахранването и нискокостотните стъпала са общи за двата вида модулации.

Междинночестотните филтри най-често са комбиниран, като за различните междинни честоти се превключват последователно в анодната и решетъчната верига на лампите. Те обикновено се поместват в една и съща ширмовка. Поради голямата разлика в междинните честоти за амплитудна и честотна модулация последователното включване на МЧ филтри не нарушава нормалната работа на приемника. Трептящият кръг на канала за амплитудна модулация представлява малко капацитивно съпротивление за междинната честота на каналa на честотна модулация и, обратно, кръгът на честотната модулация е малко индуктивно съпротивление за каналa на амплитудната модулация.

Детекторното стъпало чрез просто превключване може да се използва както за амплитудна, така и за честотна модулация.

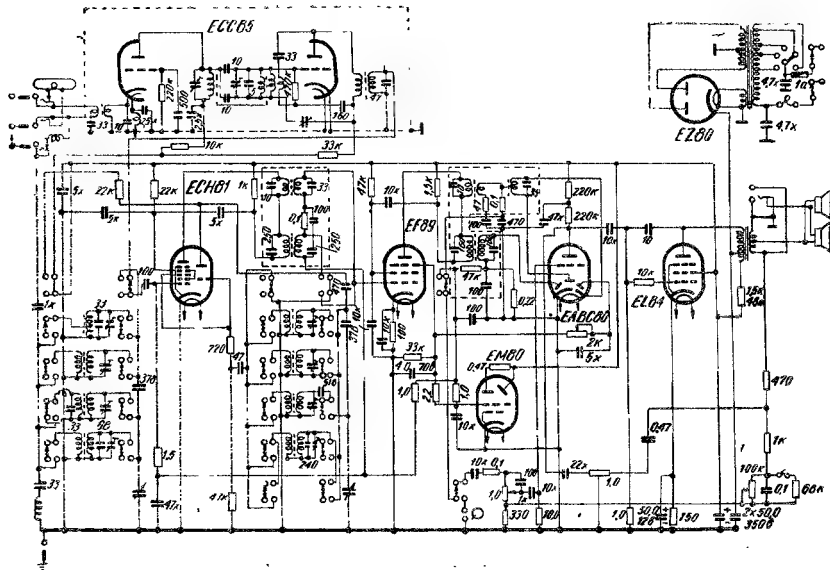
Входящата верига, усилвателят на висока честота и преобразователят на честотата за приемане УКВ-ЧМ радиоразпръскване се изпълняват във вид на отделен блок, с който се опростява конструкцията и повишава сигурността в работата.

За получаване на по-голямо усилване в канала за честотна модулация е необходимо да се увеличи броят на стъпалата с едно в повече, отколкото при приемането на амплитудна модулация. Това става или като се добави още една лампа, или като се използва преобразователят на честота на дълги, средни и къси вълни като допълнителна лампа за усилване на междинната честота при приемането на сигнали с честотна модулация.

Схема на комбиниран приемник за амплитудна и честотна модулация е показана на фиг. 151.

**Входен блок на УКВ приемници за ЧМ.** Входните кръгове, ВЧУ, преобразователят на честотата и МЧУ на приемника за честотна модулация принципно съответствуват на елементите в приемниците за амплитудна модулация, но схемно и конструктивно значително се отличават.

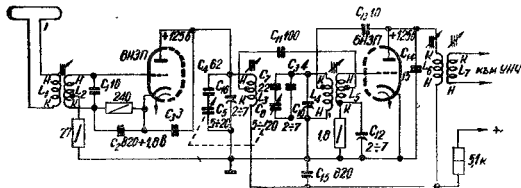
Високочестотната част на приемника за честотна модулация трябва без изкривяване да пропусне целия спектър от честоти на сигнала с честотна модулация, затова пропусканата честотна лента на стъпалата във високоче-



Фиг. 151. Схема на комбиниран приемник АМ/ДМ

етотния канал на такъв приемник трябва да бъде значително по-широка, отколкото в обикновения приемник за амплитудна модулация.

Обикновено входната верига, ВЧУ и преобразователят на честотата при УКВ-ЧМ приемници се прави във вид на отделен блок, елементите на който не се използват при работа на другите обхвати. Това се прави поради обстоя-



Фиг. 152. Схема на входящ УКВ/ЧМ блок

телството, че лампите и кондензаторите за настройка, използвани в обхвата на средни, дълги и къси вълни, не отговарят на изискванията за работа на УКВ обхват, а многобройните превключвания на елементите на различните обхвати усложняват конструкцията на приемника и влошават неговата работа вследствие на паразитните capacitети.

На фиг. 152 е показана типова схема на входящ блок на УКВ-ЧМ приемник. Антената на УКВ обхват е обикновено полувълнов дипол, който чрез антенен фидерен кабел се съединява с входа на приемника посредством съгласуващ трансформатор, състоящ се от бобините  $L_1$   $L_2$ . Входният кръг  $C_1$   $L_2$  има постоянна настройка на средната честота на обхвата. Пропусканата лента на входната верига е равна на ширината на обхвата, тъй като неравномерността на прехвърлящите напрежения при приемането на различните честоти от обхвата не превишава 3 дБ.

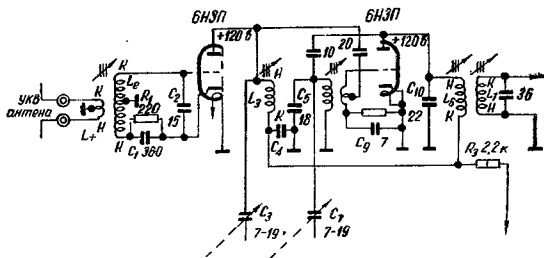
Обикновено входните кръгове на УКВ се правят така, че приемникът да може да се включва както към обикновен несиметричен фидер, така и към симетрична антена с двупроводен фидер. За опростяване на комутацията в първия случай е по-удобно да се употребят капацитивна връзка на антената с входния кръг и индуктивна връзка при симетричен вход.

Настройката на кръговете на УКВ-ЧМ приемник се извършва най-често чрез изменение индуктивността на бобината. Съгласуване на входните кръгове с хетеродина се прави чрез съответен подбор на диаметрите на сърцевината на бобините. Единични кръгове с фиксирана настройка не осигуряват необходимото потискане на огледалните смущения.

**Преобразователи на честота.** Най-употребяваният начин за преобразуване на честотата при УКВ-ЧМ приемници с еднорешетъчното преобразуване. При този начин на преобразуване на честотата входящият сигнал и този на местния осцилатор се подават на една и съща решетка на лампата най-често на управляващата решетка.

Като решетъчни преобразователи на метрови вълни могат да се използват пентоди и триоди с голяма стръмност. Пентодите дават по-голямо усла-

ване от триодите, но имат по-висок собствен шум и по-малко входно съпротивление при по-високи честоти. Триодните преобразователи имат по-нисък коефициент на усилване, по-малък собствен шум и по-голямо входно съпротивление, отколкото пентодите. Това е довело до възприемането в практиката пентодите да се използват за смесване до 60 мГц, а триодите за



Фиг. 153. Схема на ВЧУ и преобразовател на честотата с лампа 6Н3П

смесване от 60 до 400 мГц. Над 400 мГц се използват триоди с дискови електроди.

Към преобразователната лампа не трябва да се прилага АРУ, тъй като изменението на преднапрежението води до разстройка на хетеродина.

На фиг. 153 е показана практическа схема на ВЧУ и преобразовател на честотата с лампа 6Н3П (двоен триод), която има стръмност 4,9 мА/в.

Междинночестотни усилватели в УКВ приемници за ЧМ. Междинночестотните усилватели в УКВ-ЧМ приемници трябва да имат пропускана честотна лента от 150 ÷ 300 кГц за качествено възпроизвеждане на приемащата програма. За осигуряване на по-добра избиращелност по съседен канал може да бъдат употребени единични кръгове в междинночестотните филтри, но от гледна точка за удобство и комбинираните АМ/ЧМ приемници по-добре е да се прилагат двукръгови лентови филтри.

Изборът на междинната честота е от голямо значение за конструкцията и параметрите на приемника. За отслабване на сигналите по огледален канал тя трябва да се избира по-висока. Но тъй като с повишаване на честотата нестабилността на усилвателя също расте, предпочита се тя да има толкова ниска стойност, че отслабването на огледалните честоти да е достатъчно. В Западна Европа за УКВ-ЧМ радиоразпръскване се използва обхватът от 87,5 ÷ 100 мГц, а стандартното значение на междинната честота е 10,7 мГц. При това положение огледалната честота попада дори зал най-високата честота извън обхвата:

$$f_{\text{огл}} = f_c + 2f_m = 87,5 + 2 \cdot 10,7 = 108,9 \text{ мГц}$$





**Честотни детектори.** Честотният детектор служи да отдели от честотно-модулирания сигнал модулиращия нискочестотен сигнал. Честотните детектори се разделят на две групи: честотно-амплитудни и честотно-фазови или просто фазови.

**Честотно-амплитудните детектори** преобразуват изменението на честотата на сигнала в съответствие с изменението на амплитудата на напрежението, което се детектира от амплитудния детектор.

**Фазовите детектори** преобразуват изменението на честотата на сигнала в съответствие с изменението разликата на фазите между двете напрежения, управлявани от анодните токове на многогрешетъчните лампи с по две решетки, което довежда към зависимост на постоянната съставна на анодния ток от честотата.

Към честотните детектори се предявяват следните основни изисквания:

линейност на детекторната характеристика, която осигурява неизкривено детектиране при максимална девиация на честотата;

възможно по-голям коефициент на усилване;  
максимално потискане на паразитната амплитудна модулация.

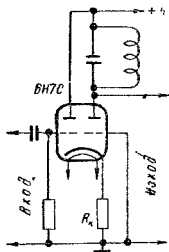
Детекторът с разстроен кръг е най-прост и не изисква никакъв специален монтаж. Последният трептящ кръг в МЧУ се разстройва малко по отношение на междинната честота. Честотно-модулираното трептене се превръща в амплитудно модулирано. Такива детектори с разстройка намират приложение в прости приемници, където не се изискват високи качества.

В повечето случаи се използват дискриминатор или дробен детектор.

**Дискриминаторът** е по-съвършен детектор, но е по-сложен за напрана и настройка. Той изисква употреба на ограничително стъпало преди него, тъй като самият не премахва паразитната модулация на сигнала. Към ограничителя е необходимо да се подават сравнително по-силен сигнал — 1 до 3 в, ва което е необходимо да се повиши усилването до ограничителя. На фиг. 155 е показана схема на ограничител и дискриминатор.

За да се получи висок коефициент на предаване от диодите, необходимо е последните да имат ниско вътрешно съпротивление. За тази цел се употребяват специални двойни диодни или пък полупроводникови такива. За добрата работа на честотните детектори е необходимо диодите да имат еднакви параметри.

Настройката на дискриминатора се състои в настройка на кръговете на неговия трансформатор на дадената междинна честота. Изходът на сигнал-генератора се съединява към решетката на ограничителната лампа, честотата на генератора се установява равна на междинната честота. Ламповият волтметър на постоянен ток се включва паралелно на съпротивлението  $R_2$ . Настройката на кръга  $L_1C_1$  се прави по максимума на показанията на волтмера. За настройка на кръга  $L_2C_2$  волтмерът се включва между точката „А“ и земя. Настройката се прави по нулевите показания на волтмера. Характеристиката на дискриминатора (фиг. 156) трябва да бъде симетрична. Ако не е симетрична, кръгът  $L_1C_1$  се пренастройва.



Фиг. 155. Схема на ограничител без решетъчен ток



За да има детекторът висока чувствителност, отношението  $\frac{L}{C}$  на кръговете трябва да бъде достатъчно голямо. Капацитетите на кръговете обикновено се избират от 20 до 30 пф.

Практически достатъчно добро ограничение се получава при напрежение на сигнала на управляващата решетка на лампата повече от 15-20 мв. Най-добро потискане на амплитудната модулация се получава при връзка между кръговете на фазоизмествания трансформатор, равно на половината от критическата и при отношение на напреженията  $\frac{0,5 U_2}{U_3} = 0,6 \div 0,7$ .

Симетризиращите съпротивления  $R_3$  и  $R_4$  се подбират така, че амплитудната модулация се потиска на средната точка на честотата. При това сумата от съпротивленията  $R_3$  и  $R_4$  трябва да остава постоянна.

На фиг. 158 са показани схема и конструкция на бобините и съединенията помежду им. Бобината  $L_1$  има 62 навивки, от проводник ПЭЛ-1—0,1 и е навита на подвижна тръбичка еднослойно, навивка до навивка. Бобината  $L_3$  има 27 навивки, проводник ПЭЛ-1, навита еднослойно върху бобината  $L_1$  на този ѝ край, към който се подава анодното напрежение. Между намотките  $L_1$  и  $L_3$  е навита цигарена хартия с дебелина не повече от 0,03 ÷ 0,04 мм. Бобината  $L_2$  има 20+20 навивки, проводник ПЭЛ-1—0,2, направена симетрично. Всички бобини са навити на една страна.

Конструкцията на трансформатора за честота 16 мГц има същия вид, както и за честота 4 мГц (фиг. 158).

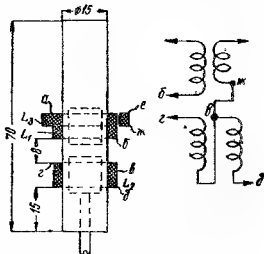
Разстоянието между бобините е 14 мм, диаметърът на тялото е 11 мм. Бобината  $L_3$  е навита симетрично от проводник ПЭЛ-0,3 и има 10 навивки. Бобината  $L_1$  има 14 навивки от проводник ПЭЛ-0,17, бобината  $L_2$  — 3 навивки от проводник ПЭЛ-0,17. Между намотките  $L_1$  и  $L_3$  е поставена цигарена хартия.

Настройката на дробния детектор се прави по следния начин:

1. На входа на детектора се подава от сигнал-генератора напрежение с междинна честота от порядъка на 0,1 в; към съпротивлението  $R_1$  се включва волтмерът за постоянен ток със скала 5 ÷ 10 в и входно съпротивление, не по-малко от 50 ком; кръгът се настройва по максимално показание на волтмера.

2. Проверява се симетричността на бобината  $L_2$ . Напреженията на двете половинки на бобината  $L_2$  измерени с лампов волтмер с високо входно съпротивление, трябва да бъдат равни. Симетрията трябва да се получава чрез изменение броя на навивките на една от двете половинки на бобината. Бобината  $L_3$  трябва да бъде изключена.

3. Подбира се коефициентът на връзката между кръговете. Бобината  $L_3$  се включва паралелно на първичния кръг, на който се включва лампов волтмер



Фиг. 158. Схема и конструкция на бобина към дробен детектор

чрез кондензатор от  $2 \div 3$  пф. Отношението на напрежението на първичния кръг трябва да бъде равно на 0,75. Вторичният кръг се разстройва чрез свързвания към него кондензатор с капацитет от  $100 \div 150$  пф. След изключване на кондензатора вторичният кръг се настройва в резонанс по максималното показание на волтмера.

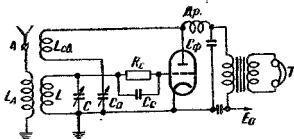
4. Подбира се величината на отношението от напрежението  $\frac{1}{2} U_2$  към напрежението  $U_b$ . Затова се измерва изправеното напрежение на товара  $R_1$  (с волтмер за постоянен ток) при настроен и разстроен кръг (при двете измервания напрежението на входа се установява така, че напрежението на първичния кръг остава неизменно). Отношението на тези напрежения трябва да бъде в границите на  $1,18 \div 1,22$ . Ако то се окаже по-голямо или по-малко от указаното, следва съответно да се намали или увеличи броят на навивките на бобината  $L_3$ .

5. Снема се статичната характеристика на детектора, т. е. зависимостта на постоянното напрежение на изхода на детектора от честотата на входа на същия. Тя трябва да бъде симетрична относно междинната честота и линейна в границите  $75 \div 100$  кхц (за концертни приемници).

Несиметричността и нелинейността на характеристиката се отстранява чрез подбиране стойностите на капацитетите  $C_1$  и  $C_2$  и съпротивления  $R_3$  и  $R_4$ , а също и чрез регулиране на връзката между кръговете. Примерната характеристика е както тази на фиг. 68.

#### р. Регенеративни приемници

Регенеративното приемане е основано на използването в детекторното стъпало на положителна обратна връзка, при което се повишават чувствителността и избирателността на приемника. Величината на обратната връзка се



Фиг. 159. Схема на регенеративен приемник

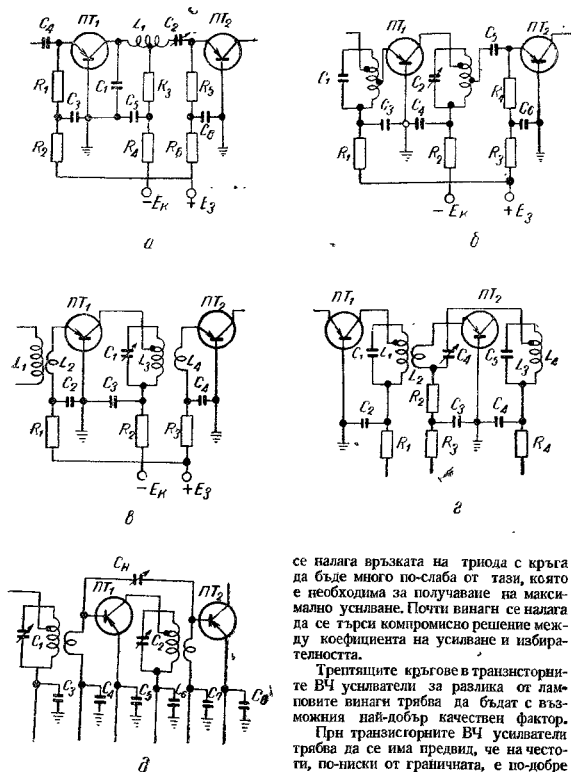
установява близко до критичната, при която се започва осцилирането. Регулирането на обратната връзка може да се извършва по няколко начина: чрез изменение на взаимната индуктивност между кръга на бобината и бобината на обратната връзка, чрез изменение стръмността на характеристиката на лампата и чрез въвеждане в схемата на регулируема отрицателна обратна връзка. Недостатък на регенеративните приемници е тяхната неустойчивост при работа.

На фиг. 159 е показана схема на регенеративен приемник, при който регулирането на обратната връзка се извършва чрез кондензатор.

#### с. Рефлексни приемници

Понякога с оглед намаляването броя на лампите се строят приемници по рефлексна схема. В тези приемници една и съща лампа изпълнява едновременно две функции: като усилвател на висока честота и като усилвател на ниска честота. Използването на рефлексни приемници на УКВ обхват е по-





Фиг. 161. Схеми на ВЧУ с проводникови триоди

се налага връзката на триода с кръга да бъде много по-слаба от тази, която е необходима за получаване на максимално усилване. Почти винаги се налага да се търси компромисно решение между коефициента на усилване и избирателността.

Третиящите кръгове в транзисторните ВЧ усилватели за разлика от ламповите винаги трябва да бъдат с възможния най-добър качествен фактор.

При транзисторните ВЧ усилватели трябва да се има предвид, че на честоти, по-ниски от граничната, е по-добре да се използват схеми с общ емитер, а на честоти, по-високи от граничната—схеми с обща база.

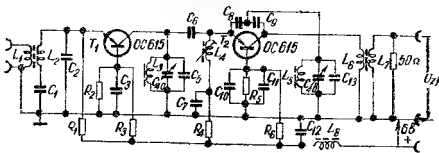
Най-често употребявани схеми на високочестотни усилватели са показани на фиг. 161.

На фиг. 161а за товар на първото стъпало служи паралелният трептящ кръг  $C_1 L_1 C_2$ , настроен на честотата на сигнала. Най-голямо усилване тук се получава при точно определена стойност на кондензатора  $C_1$ , който се подбира опитно. Настройка на желаната честота се прави с кондензатора  $C_2$ . Изменяйки отношението между  $L_1$  и  $C_2$ , може да се получи желаният качествен фактор на кръга, а следователно и необходимата лента на пропускане. Тази схема дава възможност да се получи голямо усилване даже на честоти, превишаващи граничната. Тя има недостатъка, че при настройка за получаване на желаната ширина на пропусканата лента трябва да се подбира индуктивността на бобината.

На фиг. 161 б и в са показани схеми с автотрансформаторна и индуктивна връзка. При тях леко може да се подбере най-изгодната връзка на триодите с кръговете. Те са най-подходящи за обхватни усилватели на висока честота.

За по-устойчива работа на транзисторни ВЧУ и за увеличаване коефициента на усилване може да се приложи неутрализация, която компенсира вредното влияние на обратната връзка. На фиг. 161 г и д са показани схеми за неутрализация с използването на един кондензатор  $C_n$ . Трябва да се внимава при включването на краищата на бобината, защото при неправилно включване може да се самовъзбуди усилвателят.

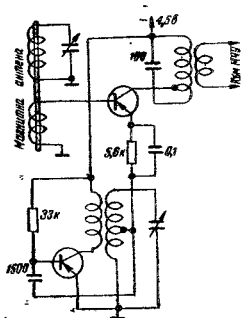
На фиг. 162 е дадена схема на ВЧ усилвател с два транзистора ОС615.





характеристиката. Затова величината на постоянния ток трябва да съставлява част от милиампера.

При подаване на хетеродинното напрежение на емитера максимално усиляване има при амплитуда на хетеродинното напрежение на емитера от порядъка на 1 в. Може да се получи достатъчно равномерно усиляване около 15 дБ.



Фиг. 163. Схема на смесител и хетеродин с полупроводникови триоди

Напрежението на сигнала и напрежението на хетеродина може да се подават както на емитера, така и на базата на транзистора. Преобразователят работи по-устойчиво при включване на триода по схема с обща база, при което напрежението на сигнала и напрежението на хетеродина се подават във веригата на емитера.

На фиг. 163 и 164 са показани схемите на преобразователи с отделен хетеродин.

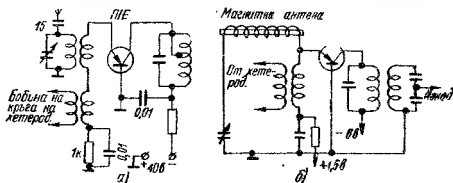
На фиг. 165 е показана схема на преобразовател на честота, в която и смесителят, и хетеродинът са изпълнени с един триод. Използуването на такъв преобразовател не е целесъобразно, тъй като той дава по-лоши резултати.

Входните и изходните пълни съпротивления на полупроводниковия триод, който работи в режим на преобразуване на честотата, са обикновено големи, отколкото в триод, работещ в режима на усиляване.

Входните и изходните резонансни системи за преобразователя се строят на същите принципи както за ВЧУ и МЧУ.

**Хетеродин.** Хетеродинът трябва да удовлетворява следните изисквания: достатъчно неизменни по форма и амплитуда трептения в обхвата на честотата;

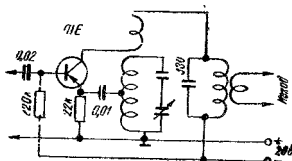
достатъчна мощност за ефективната работа на преобразователя. Товарът на хетеродина се явява малко входно съпротивление на триода-преобразовател;



Фиг. 164. Схеми на смесители

а — с кондуктивна връзка на входния кръг с антената;  
б — с магнитна антена

честотата на трептенията на хетеродина не трябва съществено да зависи от температурата на окръжаващата среда и изменението на напрежението на токозахранващия източник.

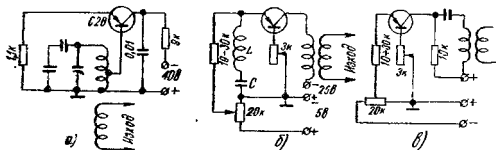


Фиг. 165. Схема на преобразовател  
на един полупроводников триод

Всички тези изисквания се удовлетворяват както от точковите, така и от плоскостните полупроводникови триоди. Преимуществото на точковите триоди е възможността за прилагане на схеми с използване на отрицателно съпротивление в схеми с точков триод. Плоскостните триоди имат това съществено преимущество, че изискват малки напрежения на захранващия източник (например 1 в за плоскостните триоди вместо 10 в или повече за точковите) за получаване стабилни трептения и еднакви мощности. Подаването на обратна връзка от колектора на базата често дава по-добри резултати, отколкото подаването на обратна връзка на емитера. Стабилността на честотата се достига чрез правилния избор на величината на обратната връзка и включването на триода към част от кръга, което намалява влиянието на собствената реактивност на триода на настройката.

Точковите триоди намират приложение само в хетеродинната част на приемниците. В усилвателните стъпала е по-целесъобразно приложението на стабилни плоскостни триоди, даващи при това и по-голямо усиление.

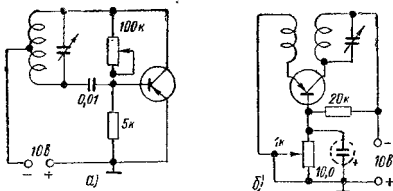
Схеми на хетеродини с точкови триоди са показани на фиг. 166.



Фиг. 166. Схеми на хетеродини с точкови триоди

а — с паралелен кръг във веригата на емитера; б — с последователен кръг във веригата на емитера; в — с последователен кръг във веригата на колектора

Обратната връзка се регулира чрез съпротивлението във веригата на базата. На фиг. 167 и 168 са показани схеми на хетеродини с плоскостни триоди.



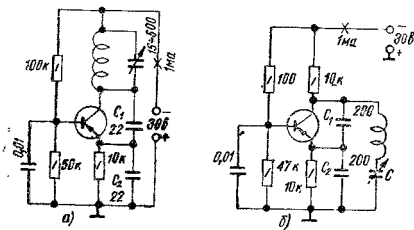
Фиг. 167. Схеми на хетеродини с плоскостни триоди

Величината на обратната връзка в схемите на фиг. 168 се определя от съотношението на капацитетите  $C_1$  и  $C_2$ . Хетеродинът, показан на фиг. 168 б, може да работи на честота до 2 МГц.

**Междинчестотен усилвател.** За да се използват по-ефективно триодите и за да се получи максималното възможно усиление, е необходимо съгласуване между стъпалата. Съгласуването на пълните входни и изходни съпротивления е особено важно в стъпалата на висока и междинна честота, тъй като усиляването на полупроводниковия триод спада с повишаването на работната честота.

Най-често се включват триоди по схема с общ емитер, която дава при съгласуване на съпротивленията значително голям коефициент на усилване, отколкото схема с обща база.

Тъй като съгласуването на съпротивленията значително разширява пропусканата честотна лента на кръга, за да се получи по-голяма избирателност, е



Фиг. 168. Схеми на хетеродини с плоскостни триоди с капацитивна обратна връзка

необходимо да се употребят кръгове с Q-фактор от порядъка на 150 и повече. За да се намалят размерите на бобините, кръговете трябва да се направят със сърцевина от материал с голяма магнитна проникваемост.

На фиг. 169 са показани няколко варианта на съгласуване между стъпалата чрез единични и свъразни кръгове.

Тъй като усилването на стъпалото с полупроводников триод обикновено е по-малко, отколкото с електронна лампа, то се изисква по-голям брой стъпала, а следователно и повече резонансни кръгове. За да се получи същата избирателност, може да се използват единични кръгове.

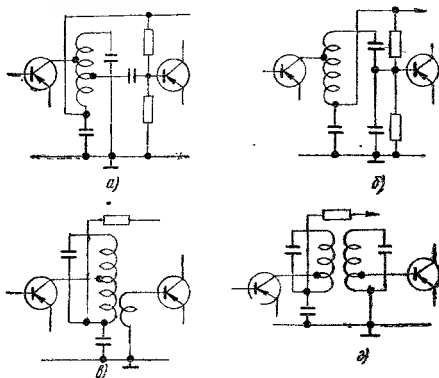
Най-често прибягват към непълно включване на триода към кръга, което позволява да се стесни пропусканата лента, да се намали разстройката на кръговете при изменение параметрите на триода и осигури съгласуване между стъпалата.

В схеми с полупроводникови триоди на честота 465 кГц може да се получи усилване в междинночестотното стъпало от 20 до 30 dB.

На фиг. 170 са показани схеми МЧУ, в които връзката между стъпалата се осъществява с двукръговни лентови филтри.

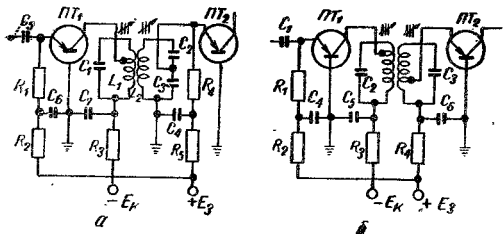
На фиг. 171 е показана практическа схема на МЧУ с триоди AF105.

**Детекторно стъпало.** За детектиране са подходящи както полупроводниковите диоди, така и полупроводниковите триоди. При използване на полупроводниковите диоди е необходимо да се осигури достатъчно високо напрежение на изхода на междинната честота за работа на диода в режим на линейно детектиране. Пълното съпротивление на усилвателя на ниска честота е относително малко, затова за осигуряване на достатъчно висок коефициент на връзка е необходимо да се съгласува пълното съпротивление на детектора с из-



Фиг. 169. Схеми на съгласуване на входните и изходните съпротивления

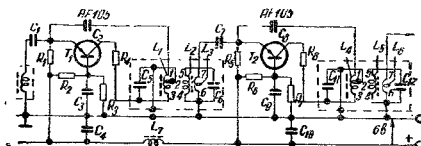
а — с автотрансформаторна връзка с предишния и следващия триод;  
 б — с вътрешно-капацитивна връзка на кръга със следващия триод;  
 в — с автотрансформаторна връзка с предишния триод и трансформаторна връзка със следващия триод; г — с автотрансформаторна връзка на лентовия филтър с триодите



Фиг. 170. Схеми на МЧУ с двукръгови лентови филтри

ходното съпротивление на усилвателя на ниска честота. На фиг. 172 е показана съответна схема.

Детектирането с помощта на полупроводникови триоди дава обикновено по-добри резултати по следните причини:

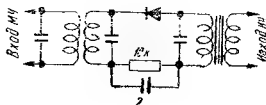


Фиг. 171. Схема на МЧУ с триоди AF105, със следните данни

Стирофлексни кондензатори с работно напрежение 125 в:  $C_1 = C_7 = 400$  пф,  $C_8 = C_{11} = 15$  пф,  $C_9 = C_{12} = 30$  пф; керамични кондензатори:  $C_2 = C_6 = 5$  пф,  $C_3 = C_5 = 10\,000$  пф,  $C_4 = C_{10} = 2500$  пф; съпротивления с 0,1 вт:  $R_1 = R_5 = 1$  ком,  $R_2 = R_3 = 5$  ком,  $R_6 = R_7 = 30$  ком,  $R_4 = R_8 = 250$  ом;  
 бобини:  $L_1, L_3$  1-2-4 нав  $3 \times 0,05$ ,  $L_2, L_5$  4-5-38 нав  $10 \times 0,04$ ,  
 $L_3, L_5$  4-5-38 нав  $10 \times 0,04$ ,  $L_6, L_8$  6-7-2 нав 0,2,  $L_7$  30 нав 0,2;  
 тяло на бобината — желязна сърцевина с  $\phi 5$  мм

полупроводниковият триод може да работи в линеен режим при малки мощности на сигнала;

детекторът с полупроводников триод дава значително усилване по мощност и работи като първо усилвателно стъпало на ниска честота. Така напр. детек-



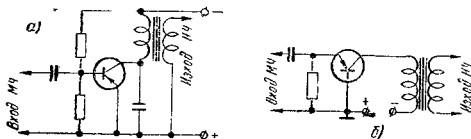
Фиг. 172. Схема на детектор с полупроводников диод

торното стъпало с транзистор, включен по схема с общ емитер, може да даде усилване до 20 дБ;

при извършване на АРУ мощността на изправения ток се взема от диодния детектор и се оказва обикновено недостатъчна и затова се изисква усилвател на постоянен ток или пък допълнително стъпало на усилване по междинна честота.

Приложението на триода не изисква допълнително включване на усилвател. Най-добри резултати дава схемата с общ емитер.

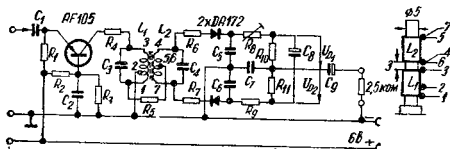
Типова стойност на входните съпротивления на триодния детектор съставлява 20 000  $\Omega$  при включване на триода по схема с общ емитер и около 3000  $\Omega$  при схема с обща база. На фиг. 173 е показана схема на триодно



Фиг. 173. Схеми на детектори с триоди (транзистори)

а — със заземен емитер; б — със заземена основа

детектиране. На фиг. 174 е показана практическа схема на дробен детектор, изпълнен с диоди OA172.



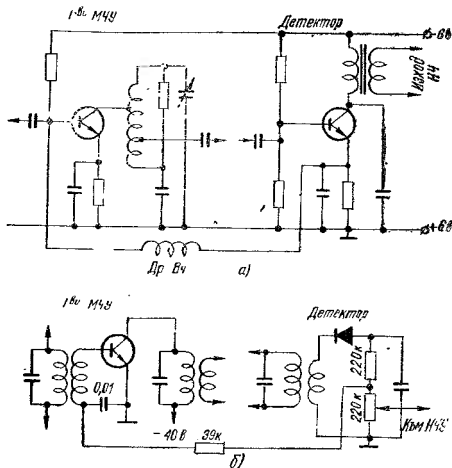
Фиг. 174. Схема на дробен детектор, изпълнен с диоди DA172

Съпротивления:  $R_1 = R_9 = 1 \text{ ком}$ ,  $R_2 = 5 \text{ ком}$ ,  $R_3 = 30 \text{ ком}$ ,  $R_4 = 500 \text{ ом}$ ,  $R_5 = 100 \text{ ом}$ ,  $R_6 = R_7 = 240 \text{ ом}$ ,  $R_8 = 3 \text{ ком}$ ,  $R_{10} = R_{11} = 20 \text{ ком}$ ; стиролфлексни кондензатори:  $C_5 = C_6 = 300 \text{ пф}$ ; керамични кондензатори:  $C_3 = 27 \text{ пф}$ ,  $C_4 = 35 \text{ пф}$ ; дискови кондензатори:  $C_1 = C_2 = 10\,000 \text{ пф}$ ,  $C_7 = 3000 \text{ пф}$ ; електролитни кондензатори:  $C_8 = 4 \text{ мкф}$ ,  $C_9 = 1 \text{ мкф}$ , 8Л2 в; бобини:  $L_1$  (1-2) — 15 нав  $10 \times 0,04$ , (2-3) — 23 нав  $10 \times 0,04$ ,  $L_2$  (4-5) —  $2 \times 15$  бифиларно  $10 \times 0,04$ ; тяло на бобините — желязна сърцевина с  $\phi = 5 \text{ мм}$

**Автоматично регулиране на усилването.** Усилването с полупроводникови триоди може да се намали по два начина: намаляване на тока на емитера или намаляване на колекторното напрежение.

В съответствие с това са възможни два начина на АРУ. При регулиране с помощта на тока на емитера управляващото напрежение се подава на базата на триода на регулируемото стъпало. Резултатното изменение на постоянната съставна на базисния ток на триода се усилва и се проявява във вид на значителни изменения на емитерния ток и на усилването на стъпалото.

При регулиране с помощта на напрежението на колектора управляващото напрежение също се подава на базата на триода на регулируемото стъпало. Изменението на базисния ток довежда до увеличаване на колекторния ток и до увеличаване падението на напрежението върху съпротивлението във веригата



Фиг. 175. Схема на АРУ

а — с триоден детектор; б — с диоден детектор

на колектора. Напрежението на колектора спада и усиляването на стъпалото се намалява. Схема на автоматично регулиране на усиляването е показана на фиг. 175.

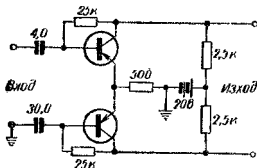
**Фазопреобръщачи.** Двухактните усилватели с полупроводникови триоди изискват изменение на фазата на сигнала във входната верига. Изместването на фазата в схеми с полупроводникови триоди се осъществява по-трудно, отколкото в схемите с електронни лампи, тъй като е необходимо да се подава балансиран ток на сигнала, а не напрежение.

На фиг. 176 е показана схема на фазообръщач с полупроводникови триоди, която има добре балансиран изход. Горният триод работи като обикновен усилвател със заземен емитер с тази разлика, че неговият емитер е съединен със земя чрез две паралелни вериги. За нормалната работа на схемата съпротив-



лението на товара трябва да бъде по-малко в сравнение с изходните съпротивления на триодите.

Съпротивлението  $R_e$  трябва да бъде по-голямо от съпротивлението на участъка емитер-база на долния триод. Ако това условие не е изпълнено, то значителна част от променливия ток на сигнала ще се отклони през  $R_e$  и токовете в емитерните вериги на триодите няма да бъдат равни. Практически  $R_e$  трябва да бъде около 10 пъти по-голямо от съпротивлението на участъка емитер-база.



Фиг. 176. Схема на  $\pi$ -фазообръщач с полупроводникови триоди

**Качествени показатели.** Чувствителност. Достатъчната чувствителност осигурява ниско ниво на шумовете и високо общо усилване на приемника. Влиянието на шумовете на преобразователя в значителна степен се намалява при употреба на ВЧУ със значителен коефициент на усилване. Тъй като триодното детектиране може да се съпоставя при ниско ниво на междинната

честота, то значителна част на общото усилване може да бъде получено в стъпалата на НЧУ. Такова преразпределение на усилването между високочестотното и нискочестотното стъпало позволява да се намали броят на полупроводниковите триоди в схемата, тъй като на ниски честоти може да се получат по-високи коефициенти на усилване.

**Избирателност** За осигуряване на висока избирателност следва да се използват резонансни системи с голям  $Q$ -фактор, тъй като входните съпротивления на стъпалата в значителна степен шунтират резонансната система. Кривата на избирателността може да се окаже малко несиметрична поради влиянието на реактивните входни плъни съпротивления на стъпалата.

**Изкривявания и честотна характеристика.** При правилен избор на работните точки при работа в режим клас А изкривяванията ще бъдат незначителни. По-сложно е да се получат малки изкривявания в двутактна схема, която работи в режим клас В, което се обяснява с противоречивите изисквания да се получи максимална полезна мощност, минимални изкривявания и максимален коефициент на усилване.

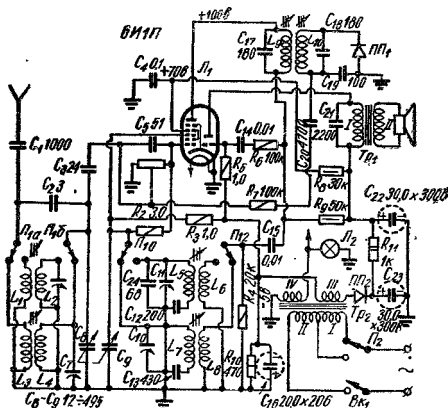
Лошо регулираната система на АРУ може също да предизвика изкривявания.

Осигуряването на нужната честотна характеристика на НЧУ не представлява голяма трудност.

**Източници на захранване.** Повечето стъпала на приемника могат да работят при захранващи напрежения около 3 в. За да се получи достатъчно полезна мощност на изхода, крайното стъпало трябва да работи в режим на ниско напрежение и голям ток, което често довежда до изкривявания. Освен това във веригата на емитера при това се развива значителна мощност, което снижава общия КПД. От друга страна, работата при малки напрежения и големи токове позволява да се натоварва последното стъпало непосредствено с високоговорителя.

### Любителски приемници

**Еднолампов приемник.** Принципната схема на еднолампов приемник е показана на фиг. 177. Приемникът има два вида вълни. средни 187—578 м и дълги 750—2000 м.



Фиг. 177. Принципна схема на еднолампов приемник

Връзката с антената е комбинирана. Преобразователят на честотата е с индуктивна обратна връзка. Напрежението на сигнала се подава на първата решетка на хетодната част, а напрежението на хетеродина — на третата решетка. Към втория кръг  $L_{30} L_{18}$  е включен полупроводников диод ПП1 тип ДГ-Ц4, който изпълнява ролята на диоден детектор.

От детектора нискочестотното напрежение се подава на първата решетка на хетода. По такъв начин хетодната част на лампата 6НП1 се използва за преобразуване на честотата и за нискочестотно предусилване.

Регулирането на силата се извършва както по ниска, така и по висока честота. Усиленото от хетодната част ниско напрежение от съпротивление  $R_9$  през веригата  $R_6 R_{14}$  се подава на управляващата решетка на триодната част, което се използва в крайното стъпало. В анодната верига на триода е включен изходният трансформатор  $Tr_1$ , във вторичната намотка на който е включен високоговорителят.

Захранването на приемника се извършва от изправителя с диод ДГ-Ц27 (ПП2).

Бобините на приемника са намотани на тела с диаметър 12 мм и дължина 22 мм. Данните за намотка „универсал“ са дадени в табл. 41.

Таблица 41

Бобина	Брой на навивките	Индуктивност без сърцевина в мкНН	Тип и диаметър на проводника в мм	Ширина на намотката в мм	Разстояние между бобините в мм
$L_1$	700	7125	ПЕЛШО-0,10	6	5
$L_2$	371	2250	ПЕЛШО-0,12	4	
$L_3$	320	1340	ПЕЛШО-0,10	4	
$L_4$	107	170	ЛЕШО — $7 \times 0,07$	4	4
$L_5$	140	215	ЛЕШО $7 \times 0,07$	4	
$L_6$	125	—	ПЕЛШО-0,12	4	4
$L_7$	84	75	ЛЕШО — $7 \times 0,7$	4	
$L_8$	75	—	ПЕЛШО-0,12	4	
					1

Настройката на бобината се извършва с желязна сърцевина. Междинночестотният трансформатор има 465 кхц. Може да се използва всякакъв тип.

Изходящият трансформатор  $Tr_1$  има следните данни: сърцевина-пластини УШ-12 с междина 0,12 мм. Дебелина на набора 18 мм. Първичната намотка има 3570 навивки с проводник ПЭЛ-0,07. Вторичната намотка — 90 навивки с проводник ПЭЛ-0,49.

Силовият трансформатор  $Tr_2$  е навит върху сърцевина от пластини УШ-16 с дебелина на набора 24 мм. Първична намотка — 910 навивки с проводник ПЭЛ-0,10, вторична — 1240 навивки ПЭЛ-0,12, трета — 2390 навивки ПЭЛ-0,07, четвърта — 75 навивки ПЭЛ-0,41.

Трилампов суперхетеродинен приемник. Приемникът работи в обхвата на дълги, средни и къси вълни (фиг. 178). На къси вълни може да се приема във всеки желан участък на разлети вълни.

Чувствителност на приемника на средни вълни и дълги около 150 мкв и на къси вълни около 200 мкв.

Изходящата мощност на приемника е 2—4 вт.

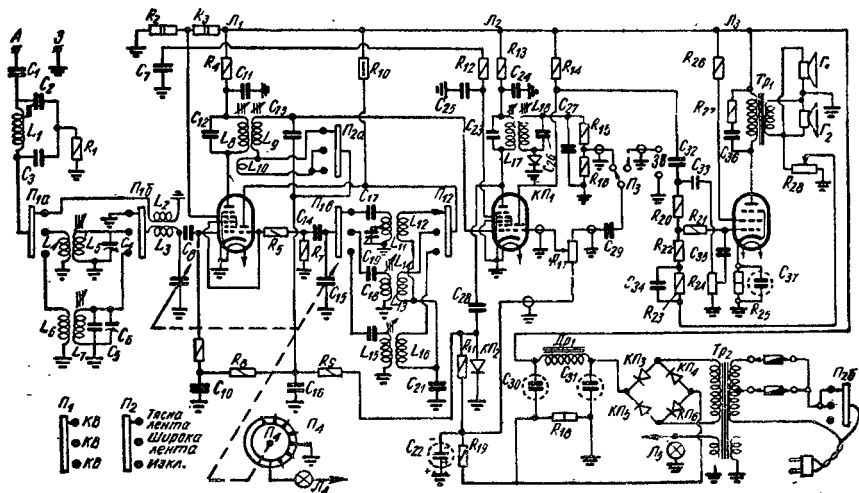
За преобразовател на честотата се използва лампа 6ИП. За осъществяване на разтегнат обхват на къси вълни паралелно на част от бобината  $L_{11}$  се включва кондензатор  $C_{19}$ . Точката на включването на  $C_{19}$  към бобината  $L_{11}$  се подбира на най-ниската честота от късовълновия обхват. Колкото по-малко навивки подвключва  $C_{19}$ , толкова по-плавна ще бъде настройката.

За усилвател на междинната честота се използва хептодната част на лампата 6ИП ( $J_2$ ).

Регулирането на пропускателната лента на междинночестотния усилвател се извършва с бобината  $L_{10}$ .

Детекторът и изправителят на АРУ използват полупроводниковите диоди ДГЦ-4.

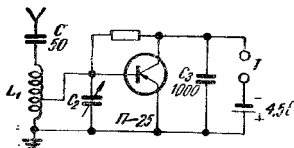
Усилвателят на ниска честота е обхванат от отрицателна обратна връзка, дълбочината на която се подбира чрез съпротивлението  $R_{28}$ .



Фиг. 178. Принципна схема на трилампов-приемник

Анодното напрежение се получава от токоизправителя, в който са използвани полупроводниковите диоди ДГ-Ц26, с което се намаляват размерите и тежината на трансформатора.

**Прост транзисторен приемник.** На фиг. 179 е дадена принципната схема на транзисторен приемник с един транзистор П2Б. Броят на навивките на



Фиг. 179. Принципна схема на прост транзисторен приемник

автенната бобина се подбира в зависимост от типа на бобината, диаметъра на проводника и обхвата, на който желаем да работи приемникът. Може да се използва всяка бобина на средни вълни от какъвто и да е приемник. Кондензаторът за настройка  $C_2$  може да бъде от всякакъв тип. Настройката на приемника се състои в подбиране на съпротивлението  $R_1$ . Могат да бъдат употребени триоди от серия П1 ÷ П6.

**Транзисторен приемник на къси и средни вълни.** На

фиг. 180 е дадена принципната схема на транзисторен приемник на къси и средни вълни. Обхватите са разпределени, както следва:

KB1	12,7—27,6 мгхц	10,9—23,6 м	чувствителност	28 мкв
KB2	5,7—13,3 мгхц	22,5—52,6 м	"	9,5 мкв
KB3	2,1—6,2 мгхц	48,5—143 м	"	7,2 мкв
CB	0,51—1,63 мгхц	184—589 м	"	10 мкв
Междинава честота 465 кхц.				

**Прехвърлящ трансформатор  $UT_p$ :** първична 1870 нав, 0,07 мм; вторична  $2 \times 40$  нав, 0,18 мм.

**Изходен трансформатор  $UA$ :** първична (долу бифиларна)  $2 \times 168$  нав, 0,32 мм; вторична 76 нав, 0,55 мм.

**Бобини: входни**

$L_1 = 0,575$ мхн	7,5 нав	0,5 отвод,	$\phi = 0,8$ ;	тяло $D = 9$ мм
$L_2 = 2,79$ мхн	18 нав	3 "	$\phi = 0,35$ "	"
$L_3 = 9,95$ мхн	36 нав	6 "	$\phi = 0,2$ "	"
$L_4 = 0,178$ мхн	50 нав	5 "	$\phi = 30 \times 0,05$ "	"

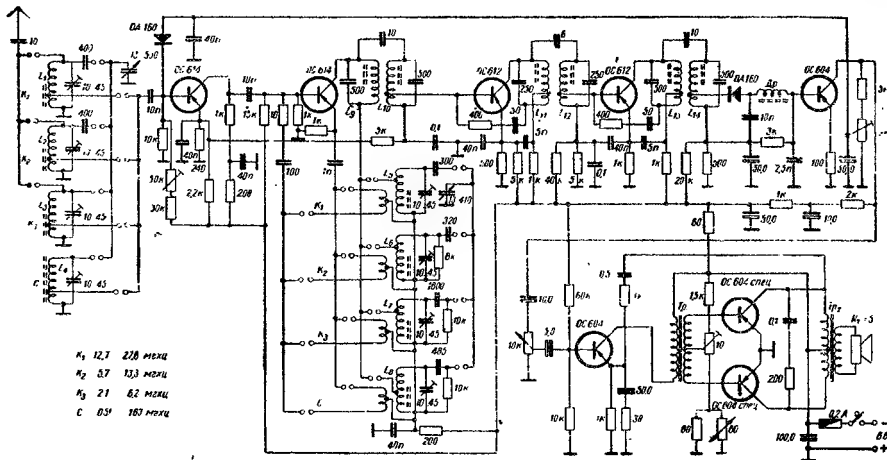
**Осцилаторни**

$L_5 = 0,706$  мхн, 7,5 нав, 5,5 отвод,  $\phi = 0,8$ , куплираща бобина  $2 \times 1$   $\phi = 0,35$ , диаметър на тялото  $D = 9$  мм

$L_6 = 3,18$  мхн, 18 нав, 13 отвод,  $\phi = 0,35$ , куплираща бобина  $2 \times 1$ ,  $\phi = 0,2$ ,  $D = 9$  мм

$L_7 = 10,25$  мхн, 36 нав, 18 отвод,  $\phi = 0,2$ , куплираща бобина  $2 \times 3$ ,  $\phi = 0,2$ ,  $D = 9$  мм

$L_8 = 1,02$  мхн, 108 нав, 40 отвод,  $\phi = 10 \times 0,05$ , куплираща бобина  $2 \times 5$ ,  $\phi = 0,2$ ,  $D = 6$  мм



Фиг. 180. Принципна схема на транзисторен приемник на къси и средни вълни



Междинни

$L_9 = 0,226$	мхн	98	нав	$10 \times 0,05$	
$L_{10} = 0,226$	"	98	"	18	отвод $10 \times 0,05$
$L_{11} = 0,444$	"	136	"	27	"
$L_{13} = 0,226$	"	98	"	20	"
$L_{12} = 0,444$	"	136	"	13	"
$L_{14} = 0,226$	"	68	"	40	"

**Дросел:**  $L=1$  мхн, 230 нав,  $10 \times 0,05$ , шкрна на намотката 7 мм, желязна сърцевина.

**Транзисторен безтрансформаторен усилвател.** На фиг. 181 е дадена принципната схема на транзисторен усилвател без трансформатор, който може да се построи както с европейски, така също и със съветски транзистори, които са показани на схемата. Усилвателят има следните технически данни:

**Честотна лента** 10 хц до 18 кхц, 3 дб.

**Нелинейни изкривявания** (клирфактор): при 1 кхц 1 %

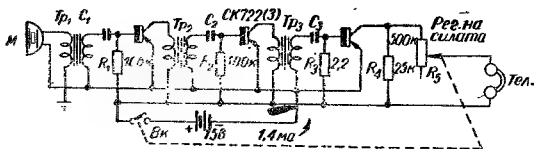
" 55 хц 2 %

" 5 кхц 1,5 %

" 10 кхц 10 %

**Изходяща мощност** 4 вт.

**Апарат за слабо слушати.** На фиг. 182 е дадена принципната схема на апарат за слабо слушати. В нея се използва кристален микрофон М, кристален



Фиг. 182. Принципна схема на апарат за слабослушати

телефон Т и свръхминиатюрни трансформатори. Потенциометърът  $R_5$  е регулатор на силата, свързан с ключа  $B_k$ . В апарата се използват три плоскостни триода тип СК722, включени по схема със заземен емитер. За захранване е употребена една миниваторна 15-волтова батерия. Общата консумация на тока е около 1,4 ма. Съпротивленията  $R_1$  и  $R_2$  във веригите на основата трябва да бъдат подбрани така, че да се получи оптимален компромис между голямото усиление, малките шумове и малките изкривявания. Този апарат няма забележими изкривявания и е твърде икономичен.



## Седма глава

# НИСКОЧЕСТОТНИ УСИЛВАТЕЛИ

## 1. Параметри на нч усилватели

*Коефициент на усилване на напрежение*  $K$  — числото, което показва отношението на напрежението, получено в изхода на усилвателя, към напрежението, подадено в неговия вход

$$K = \frac{U_{\text{изх}}}{U_{\text{вх}}}$$

При няколкостъпален усилвател общото усилване е равно на произведението на коефициентите на усилване на отделните стъпала

$$K_{\text{общ}} = K_1 \cdot K_2 \cdot \dots \cdot K_n$$

*Изходяща мощност*  $P_{\text{изх}}$  — най-голямата мощност в изхода на усилвателя, при която изкривяванията не надвишават допустимата стойност.

$$P_{\text{изх}} = \frac{1}{2} \cdot \frac{U_{m \text{ изх}}^2}{R_r}$$

където  $U_{m \text{ изх}}$  е амплитудата на изходящото напрежение;

$R_r$  — товарното съпротивление в изхода.

При усилвателите на напрежение като основен показател остава само изходящото напрежение, чиято амплитуда  $U_m$  също се ограничава от допустимите изкривявания.

*Входящо напрежение* — напрежението, което е необходимо да се подаде във входа на усилвателя, за да се получи номиналната изходяща мощност. Това напрежение се нарича още и чувствителност на усилвателя.

*Входно съпротивление* — съпротивлението, което представлява входът на усилвателя за променливия ток с ниска честота, получен от източника на входящото напрежение. Входното съпротивление зависи от честотата на приложеното напрежение. Необходимо условие за работата на усилвателя е входното му съпротивление да бъде съгласувано (да има еднаква величина) с вътрешното съпротивление на източника на входящото напрежение.

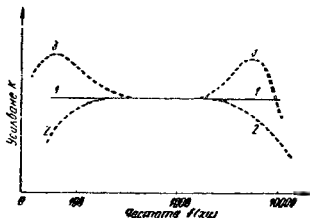
*Оптимално товарно съпротивление.* За да се получи от усилвателя най-голяма мощност, товарът, включен на изхода му, трябва да има точно определена оптимална величина. Всяко отклонение в която и да е посока от тази величина води до намаляване на отдаваната от усилвателя мощност.

**Честотен обхват** — областта от честоти, в която коефициентът на усиление не се изменя повече, отколкото е допустимо по изискванията. Разликата между граничните честоти на тази област се нарича честотна лента на пропускане на усилвателя.

**Динамичен обхват** — отношението между амплитудите на най-силния и най-слабия сигнал, който може да се усили. Долната граница се определя от собствения шум на усилвателя, а горната — от допустимите нелинейни изкривявания. За качествено възпроизвеждане динамичният обхват на усилвателя трябва да достига до 60 db.

## 2. Изкривявания

Изкривяванията представляват изменение формата на сигнала в изхода на усилвателя в сравнение с формата на приложения във входа сигнал. Различаваме честотни (линейни), амплитудни (нелинейни) и фазови изкривявания.

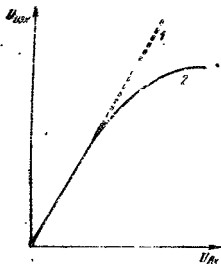


Фиг. 183. Честотна характеристика на нискочестотен усилвател

**Честотни изкривявания.** Дължат се на нееднаквото усиление на някои честоти и честотни области поради наличието на реактивни елементи в усилвателя.

Зависимостта на коефициента на усиление от честотата се изразява графически с т. нар. честотна характеристика (фиг. 183). Ако честотната характеристика в областта от най-ниската до най-високата усилявана честота е права линия, това значи, че коефициентът на усиление е постоянен и усилвателят не създава честотни изкривявания в тази област (крива 1). Най-често реактивните елементи в усилвателя водят до намаляване на усиленето за най-ниските и най-високите честоти (крива 2). За да се компенсира това изкривяване, създава се изкуствено повдигане на усиленето за тези крайни честоти (крива 3). Честотната характеристика се приема за линейна, ако усиленето не се изменя повече от 3 db. Такова изменение на усиленето все още не може да се почувствува от човешкото ухо.

Честотната характеристика се строи, като за основна честота се приемат 400, 800 или 1000  $\text{хц}$  и коефициентът на усиляване за цялата честотна лента се нанася спрямо нея. Обикновено за първокласин усилвател се изисква възпроизвеждане от 50  $\text{хц}$  до 10 000  $\text{хц}$  при неравномерност, не по-голяма от 2  $\text{дб}$ . За усилвател от средно качество се допуска честотен обхват 100  $\text{хц}$  до 7000  $\text{хц}$  при неравномерност 1  $\text{дб}$ .



Фиг. 184. Амплитудна характеристика на ниско-честотен усилвател

1 — идеална характеристика (линеен усилвател); 2 — реална характеристика

За да се получи желаната форма на честотната характеристика, се правят честотни корекции. Те могат да бъдат постоянни или регулируеми. Много често корекции се правят и за компенсиране на честотните изкривявания, внасяни от електроакустичните преобразователи — микрофони, звукосниматели, високоговорители.

**Нелинейни изкривявания.** Нееднородното усиляване на сигнали с различна амплитуда може да се изрази чрез амплитудната характеристика на усилвателя, която обикновено е нелинейна (фиг. 184). Изкривяването ѝ се дължи на нелинейността на ламповите характеристики и магнетизиращите криви на трансформаторите в усилвателя.

Нелинейността на ламповата характеристика създава условия за изкривяване формата на подадения за усиляване сигнал. Ако той има синусоидална форма и амплитудата му достига кривата част на амплитудната характеристика, в изхода на усилвателя ще получим повече или по-малко деформирана синусоида. Това изкривяване, както е известно, има за резултат създаването на хармонични трептения, които по честота се отличават цяло число пъти от отивания сигнал. Тези допълнителни хармонични предизвикват неприятна дрезгавина и неестественост в звученето на някои инструменти и гласове.

Степента на съдържание на хармонични честоти се изразява с коефициента на нелинейните изкривявания (клирфактора)  $\kappa$ . Количествено клирфакторът се определя в проценти по формулата

$$\kappa = \frac{\sqrt{U_1^2 + U_2^2 + \dots + U_n^2}}{U} 100 (\%),$$

където  $U$  е амплитудата на основната честота  
 $U_1, U_2, \dots, U_n$  са амплитудите на висшите хармонични.

В нискочестотните усилватели се допуска клирфактор до 10 %, като най-малко 4 % изкривяванията вече се долавят от човешкото ухо. Установено е, че нелинейните изкривявания са толкова по-доловини от човешкото ухо, колкото пропусканата честотна лента на усилвателя е по-широка. Също така изкривяванията се долавят по-лесно, когато в музикалното изпълнение преобладават инструментите, даващи чисти тонове (напр. пиано, солови партии). Особено забележими стават изкривяванията, когато втората или третата хармонична по-

падне в областта на най-висока чувствителност на човешкото ухо — около 1000 хц.

Към нелинейните изкривявания могат да се причислят и интермодулационните изкривявания, дължащи се на комбинационните тонове, получени в изхода на нелинейен елемент от усилвателя, след като във входа му са били подадени две или няколко различни по честота напрежения. Ако например усилвателят трябва да усили два тона, единият с честота 100 хц (напр. от пиано), а другият 1000 хц (флейта), то в резултат на нелинейността на усилвателя в изхода му освен тези две честоти ще се явят и сумата и разликата от тях — 900 хц и 1100 хц. От хармоничките на двата основни тона ще се създават нови комбинации от суми и разлики, които също не се съдържат в основните тонове. Тези комбинационни тонове, които не се съдържат в основните или хармоничните им, са без всякакво хармонично съотношение с основните и създават неблагоприятно в музикалното изпълнение. Твърде неприятна дисхармония създават два тона, значително различаващи се по честота, особено когато ниският тон е с голяма амплитуда. Неприятно слухово въздействие се получава и от два близки тона, но с висока честота — например два женски гласа. Тогава разликата между тях е един силно дразнещ тон с ниска честота.

Интермодулационните изкривявания се поддават трудно на измерване, затова най-често за качеството на усилвателя се съди само по коефициента на нелинейните изкривявания. Трябва да се знае обаче, че усилвател, който при един единствен тон има малък клирфактор, при оркестрово изпълнение може да даде значителни изкривявания от комбинационни тонове.

**Фазови изкривявания.** Реактивните елементи на усилвателя са причина и за фазови измествания на сигналите с различни честоти. Тези измествания водят до фазови изкривявания, които обаче при усилвателите на звукови честоти не се проявяват с никакво неприятно слухово въздействие. По-голямо значение имат фазовите изкривявания при ширококолентовите и импулсните усилватели.

### 3. Видове усилвателни схеми

#### а. Усилватели на напрежение

Предварителното усиливане на получения от тоновия източник слаб сигнал става в едно или няколко стъпала — усилватели на напрежение. Те усиливат сигнала дотолкова, че в изхода им да се получи напрежение, което да е достатъчно за задействане на крайното мощно стъпало.

Според начина на включване на анодния товар са възможни три вида схеми на такива усилватели:

схема със заземен катод и товар в анода;

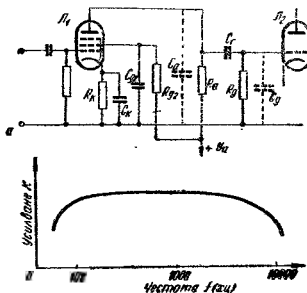
схема със заземен анод и товар в катода (катоден повторител).

**Схема със заземена решетка.** Първият тип усилватели са намерили най-широко приложение и затова ще ги разгледаме по-подробно.

Вторият тип усилватели се използват в някои случаи, когато е необходимо голямо входно и малко изходно съпротивление на усилвателя. Коефициентът на усиляването му е винаги по-малък от единица и затова той намира приложение не като усилвател, а като трансформатор на съпротивления.

Схемата със заземена решетка се прилага във входните стъпала на високочувствителни усилватели (напр. като микрофонен предусилвател). Използват се в съчетание с второ стъпало със заземен катод, при което се получава много ниско ниво на шумовете.

Схема със заземен катод. Усилватели със съпротивително-капацитивна връзка ( $RC$ -усилвател) са най-често използваната схема на  $n$ -и усилвател на напрежение. Този вид усилвател не само че е най-прост по изпълнение,



Фиг. 185. Усилвател със съпротивително-капацитивна връзка

*a* — принципна схема; *б* — честотна характеристика

но и може да даде най-равномерно усилване в широка честотна лента. Принципиална схема на  $RC$ -усилвател е показана на фиг. 185 *a*. За аноден товар на лампата  $L_1$  служи съпротивлението  $R_a$ , което поради чисто активния му характер не внася честотни изкривявания.

Коефициентът на усилване на  $RC$ -усилвателното стъпало се изчислява по формулата

$$K = \frac{\mu R_a}{R_a + R_i},$$

където  $\mu$  е коефициентът на усилване на лампата  $L_1$ ;

$R_i$  — вътрешното съпротивление на лампата  $L_1$ .

Ако усилвателната лампа е пентод, нейното вътрешно съпротивление е много по-голямо от  $R_a$  и последното може да се пренебрегне в знаменателя на формулата. Тогава

$$K = \frac{\mu}{R_c} R_a = SR_a.$$

където  $S$  е стръмността на лампата.

Горните формули са в сила за средните честоти от звуковия обхват, където усилването е най-голямо.

При по-ниските честоти капацитивното съпротивление на  $C_c$  нараства и усилването  $K$  намалява.

При по-високите честоти влиянието на  $C_c$  е незначително, но сега започват да се отразяват паразитните капацитети  $C_a$  и  $C_p$ . Тяхното влияние е толкова по-силно, колкото са по-големи  $R_a$  и  $R_p$ . Това ограничава прекомерното повишаване на усилването чрез увеличаване на  $R_a$  и  $R_p$ .

В резултат на горното честотната характеристика на  $RC$ -усилвателя получава известно спадане в областта на най-ниските и най-високите честоти (фиг. 185 б).

**Избор на лампата.** Лампата се определя преди всичко от необходимото усилване, което трябва да се получи от стъпалото. При подбора на подходяща лампа трябва да се имат предвид следните съображения:

1. Ако е необходимо голямо усилване от стъпалото, трябва да се използва пентодна лампа. Пентодите имат коефициент на усилване  $\mu$ , около 20 до 50 пъти по-голям, отколкото триодите. Коефициентът на усилване на  $RC$ -стъпало с триод ориентирановъчно е  $K = (0,6 \div 0,7) \mu$ , а с пентод  $K = (0,05 \div 0,2) \mu$ .

2. Поради високото вътрешно съпротивление на пентодите и необходимостта от високоомов аноден товар паразитните капацитети, включени паралелно на товарното съпротивление, оказват много по-голямо влияние върху честотната характеристика, отколкото при триодите.

3. Триодите, които имат малък коефициент на усилване  $\mu$ , дават и по-малки нелинейни изкривявания, тъй като формата на динамичната им характеристика е по-праволинейна. Това е особено важно за последните предусилвателни стъпала, където амплитудите на усилваните напрежения са по-големи.

**Определяне на анодния товар.** Оптималната стойност на товарното анодно съпротивление за триодите се намира в границите от 2 до 4 пъти вътрешно съпротивление на лампата

$$R_a = (2 \div 4) R_i,$$

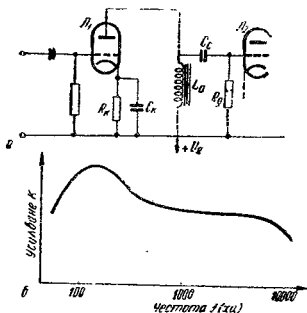
при което усилването от стъпалото ще бъде около  $(0,6 \div 0,7) \mu$ . Ако увеличим стойността на товарното съпротивление, усилването расте малко, но в същото време се влошава правоковият режим на лампата поради намаляване на анодното напрежение. Увеличаването на  $R_a$  се ограничава още и от невъзможността да се увеличи успоредно с това и утечката  $R_p$ , която променливо-гово шунтира анодния товар. На края прекомерното увеличаване на  $R_a$  е нецелесъобразно и поради влошаването на честотната характеристика в областта на високите честоти.

При пентодите увеличаването на анодното товарно съпротивление се ограничава преди всичко от честотните изкривявания. На практика  $R_a$  за пентодна лампа рядко надвишава  $300 \div 400 \text{ ком}$ .

Определяне на утечното съпротивление  $R_p$ . С оглед да се получи по-голямо усиление  $R_p$  трябва да се избира по възможност по-голямо. Неговото прекомерно увеличаване е ограничено от решетъчния ток и утечния ток през  $C_c$ . Обикновено се приема

$$R_p = (5 \div 10) R_a,$$

като неговата стойност нормално е в границите от 0,5 до 2 мгома,



Фиг. 186. Усилвател с дроселна връзка

а — принципна схема; б — честотна характеристика

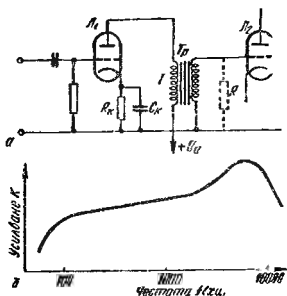
Усилвателят с дроселна връзка вместо активно съпротивление за аноден товар има нискочестотен дросел  $L_a$  (фиг. 186). Неговото съпротивление за постоянния ток е много малко, което позволява по-пълно използване на захранващото напрежение  $U_a$ . Това заедно с голямото индуктивно съпротивление на дросела за звуковите честоти позволява да се получи от дроселния усилвател голям коефициент на усиление от едно стъпало.

Зависимостта на индуктивното съпротивление на  $L_a$  от честотата създава голяма неравномерност в честотната характеристика на усилвателя, изразена в постепенно повлигане на високите честоти. Появяват се също така и местни повдигания (пикове), дължащи се на паразитни резонансни явления: за ниските честоти — серийният резонанс между  $L_c$  и  $C_a$ , а за високите честоти — паралелният резонанс между собствения капацитет на навивките му и външните паразитни капацитети.

Частично затихване на резонансните върхове може да се получи чрез шуитиране на  $L_a$  със съпротивление  $100 \div 200$  ком, както и чрез секциониране на намотката му, за да се намали собственият капацитет. В някои случаи обаче острият връх в областта на басовете, получен от паралелния резонанс, се из-

ползува за корекция на честотната характеристика при многостъпален усилвател.

Коефициентът на усиление, който може да се получи от едно усилвателно стъпало с дроселна връзка, е  $K = (0,8 \div 0,9) \mu$  за триод и  $K = (0,2 \div 0,3) \mu$  за лентод. В този вид усилватели се използват предимно триодни лампи поради ниското им вътрешно съпротивление, което е необходимо за подобряване на честотната характеристика.



Фиг. 187. Усилвател с трансформаторна връзка  
а — принципна схема; б — честотна характеристика

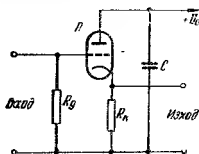
Усилвателят с трансформаторна връзка има за аноден товар първичната намотка на нискофrequentния трансформатор  $Tr$  (фиг. 187 а). Обикновено се употребява повишаващ трансформатор, при което коефициентът на усиление на стъпалото може да се получи и по-голям от  $\mu$  на лампата. И тук поради малкото активно съпротивление на първичната почти не се получава спад на анодното напрежение, поради което може да се намали напрежението на захранващия източник.

Като предимство на усилватели с трансформаторна връзка трябва да се посочи и възможността да бъде използван за симетриране при преминаване от еднотактно към двутактно стъпало. Поради малкото активно съпротивление на вторичната тазн връзка може да се приложи и пред крайните мощни стъпала, които работят в режим на решетъчен ток.

Поради големите индуктивност и собствени capacitети на намотките честотната характеристика на този вид усилвател е твърде неравномерна (фиг. 187 б). Характерното тук е получаването на резонансен връх в областта на високите честоти, който се дължи на кръга, образуван от индуктивността на разсейване на трансформатора и общия паралелен capacitет към вторичната му намотка. Намаляване на този връх може да се постигне чрез подходяща конструкция на трансформатора (с малко разсейване) или изкуствено — чрез шуитране на вторичната със съпротивление.



Коефициентът на усиление на стъпалото за средните честоти от звуковия обхват е  $K = \mu$ , където  $\mu$  е преводното отношение на трансформатора. Обикновено преводното отношение се избира в границите  $\mu \leq 2 \div 4$ , при което резонансният връх се отдалечава към най-високите честоти ( $7000 \div 8000$  хц). При такъв коефициент на трансформация усиляването  $K$  практически не се



Фиг. 188. Схема на катоден повторител

включено изцяло в катода, при което изходящото напрежение се явява приложено противофазно във входната решетъчна верига. С други думи, приложена е 100% отрицателна обратна връзка. Изходящото напрежение, взето от двата края на  $R_k$ , съпада по фаза с входящото.<sup>1</sup>

Основно качество на катодния повторител е много малкото му изходно съпротивление и високото му входно съпротивление. Изходното съпротивление се определя по формулата

$$R_{\text{изх}} = \frac{R_k}{1 + \mu} \approx \frac{1}{S}$$

и е толкова по-малко, колкото стръмността на лампата е по-голяма. Нормално  $R_{\text{изх}}$  на катодния повторител е от порядъка на няколко стотин ома.

Входното съпротивление на катодния повторител при активен товар и малък капацитет решетка-катод на лампата практически е равнио на утечното съпротивление  $R_p$ .

Входният динамичен капацитет е по-малък от този при другите видове усилватели и се определя по формулата

$$C_{\text{вх}} = C_{\text{зр}} + C_{\text{рк}}(1 - K).$$

При голям коефициент на усиление ( $K$  близо до 1) входният капацитет става почти равен на капацитета  $C_{\text{зр}}$  на лампата.

Коефициентът на усиляването на катодния повторител е винаги по-малък от единица

$$K = \frac{\mu R_k}{R_g + (1 + \mu) R_k}.$$

<sup>1</sup> Оттук ндва и името на този вид усилвател — повтаря в изхода по форма и по фаза приложеното във входа напрежение.

При лампа с голямо  $\mu$  (напр. при пентод) горният израз получава вида

$$K = \frac{SR_k}{1 + SR_k},$$

от което се вижда, че усиляването  $K$  се приближава до единица с увеличаване на  $SR_k$ .

## 6. Усилвател на мощност

За разлика от усилвателите на напрежение, от които е необходимо да се получи колкото е възможно по-голямо напрежение в изхода, при усилвателите на мощност се цели отдаването на по-голяма мощност в полезния товар, включен в изхода им. Докато усилвателите на напрежение работят почти на празен ход, тъй като са натоварени на високоомните решетъчни вериги на следващите лампи, крайното стъпало се явява като източник на полезна звукова мощност не натоварено на нискоомната бобина на високоговорителя. Поради това тук коефициентът на усиляване по напрежение не представлява характерна величина за работата на стъпалото.

Чувствителност по мощност. Ценно свойство на крайния усилвател е да отдава възможно по-голяма мощност в изхода при по-малко напрежение, подадено във входа. Количествена оценка на това свойство може да се получи от отношението  $\frac{P_{\text{изх}}}{U_{\text{вх}}}$ . Това отношение се движи в границите от 0,05 (за триоди) до 0,25 (за пентоди и лъчеви триоди).

Коефициент на полезно действие. Определя се по формулата

$$\eta = \frac{P_1}{P_0},$$

където  $P_1$  е полезната изходяща мощност, отпадна от стъпалото;

$P_0$  — изразходваната правотокова мощност в анодната верига.

Избор на лампата. За създаване на полезната променливотокова мощност в крайното стъпало на  $n$ -и усилвател се използват мощни лампи със специална конструкция — триоди, лъчеви тетроди и пентоди. Характерно за тях е, че са разчетени за голям аноден ток и допускат подаването в решетката на големи амплитуди от усиленото напрежение. Те трябва да имат голяма стръмност и малко вътрешно съпротивление.

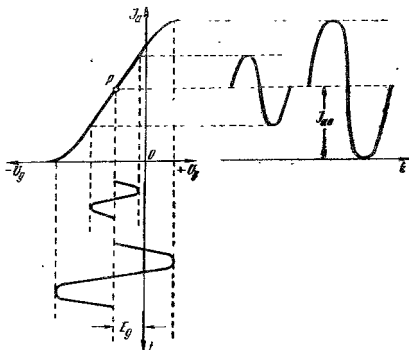
Триодните лампи имат по-малко вътрешно съпротивление и по-голям праволинеен участък в характеристиките си от другите типове лампи. Това позволява лампата да работи като усилвател на мощност с много малки нелинейни изкривявания. От друга страна, за да се получи от триода пълната изходяща мощност, на решетката му трябва да се подаде значително напрежение за възбуждане, което предполага голямо предварително усиляване и усложняване на усилвателя.

Малката изходяща мощност, която триодите дават при нормални захранващи и възбудителни напрежения, ги прави рядко приложими в маломощните  $n$ -и усилватели. Най-голяма употреба те намират в мощните усилватели, където е от значение малкият клирфактор, внасян от тях.

Пентодите и лъчевите тетроди имат характеристики с много малка праволинейна част, поради което изкривяванията, които те внасят при

големи амплитуди на възбудителното напрежение, са значителни. За да се получат по-малки изкривявания, тук е необходимо по-точно съгласуване с анодния товар и правилен избор на решетъчното преднапрежение. Независимо от това пентодите илъчевите тетроди са добили най-голямо разпространение като крайни лампи в усилвателите с малка и средна мощност поради следните им преимущества:

а. Голяма чувствителност. За да се получи една и съща изходяща мощност на пентода илилъчевия тетрод, е необходимо  $2 \div 3$  пъти по-малко възбудително напрежение, отколкото е необходимо на триода.

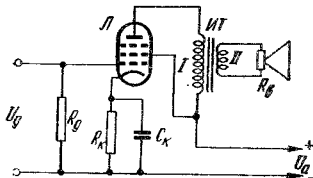


Фиг. 189. Работа на лампата в режим клас А

б. Голям КПД, получен в резултат на голямата стръмност на анодните характеристики, поради което се получава и по-висок коефициент на използване на анодното напрежение.

**Усилвател на мощност клас А.** За да бъдат минимални нелинейните изкривявания в крайното стъпало, основно изискване е лампата да работи в праволинейната част на динамическата си характеристика и да не навлиза в областта на положителните решетъчни напрежения. Такъв режим на работа се нарича *клас А*. Ако подаденото в решетката променливо напрежение не излиза извън границите на праволинейния участък, формата на колебанията на анодния ток ще съответствува напълно на формата на колебанията в решетъчната верига (фиг. 189). Режимът клас А се характеризира със сравнително малко преднапрежение  $E_p$  и голям начален ток  $I_{a0}$ . Протоковата съставка на анодния ток тук е равна на началния ток  $I_{a0}$  и в резултат на това КПД на стъпалото е много нисък.

**Еднотактно стъпало.** Принципната схема на еднотактно стъпало за усиляване на мощност е дадена на фиг. 190. Тя е подобна на усилвателно стъпало с трансформаторна връзка, но вместо на високоомей товар тук стъпалото работи на нискоомей товар с голяма консумация (бобинката на високоговорителя).



Фиг. 190. Принципна схема на еднотактно стъпало за усиляване на мощност

Изходящата мощност, която може да се получи от стъпалото, се определя по формулата

$$P_1 = \frac{U_p^2}{2} \mu S \frac{\alpha}{(1+\alpha)^2} (вт),$$

където  $U_p$  е амплитудата на входящото напрежение (в);

$\mu$  — коефициентът на усиляване на лампата;

$S$  — стръмността на лампата ( $a/\theta$ );

$\alpha$  — коефициентът на натоварване.

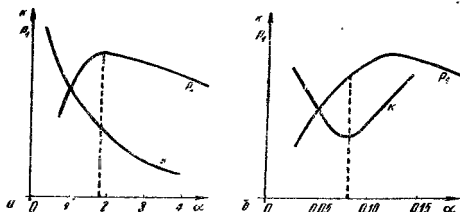
Коефициентът  $\alpha$  представлява отношението на съпротивлението на товара към вътрешното съпротивление на лампата:

$$\alpha = \frac{R_g}{R_i}$$

При триоди се приема  $\alpha = 2,5 \div 5$ , а при пентоди —  $\alpha = 0,08 \div 0,15$ . Докато при триодите увеличаването на  $\alpha$  над 2 води до бързо спадане на нелинейните изкривявания и из значително намаление на изходящата мощност, при пентодите границите на оптималното натоварване са много по-тесни и критични. От фиг. 191 се вижда зависимостта между изходящата мощност  $P_1$ , нелинейните изкривявания  $K$  и коефициента на натоварване  $\alpha$ .

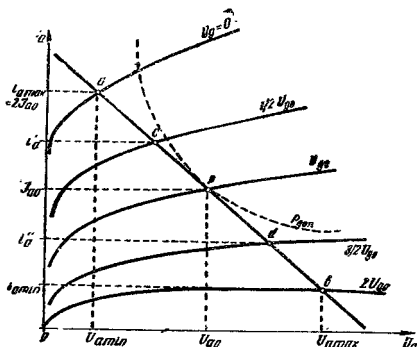
**Изчисление на еднотактно крайно стъпало.** За по-точно определяне елементите на крайния усилвател при случай, че желаем да го използваме в режим, различен от типовия, можем да си послужим с анодните характеристики на лампата. На фиг. 192 е даден пример на такава характеристика за пентод. За да построим товарната характеристика, изхождаме от работната точка  $P$ , определена от пресичането на  $U_{a0}$  с граничната линия за допусти-

мата анодна загуба на мощност  $P_{a \text{ доп}}$ . Напрежението на анода  $U_{a0}$  се приема приблизително равно на 0,9 от напрежението на захранващия източник. По-



Фиг. 191. Зависимост на изходящата мощност  $P_1$  и клир-фактора  $\kappa$  от коефициента на натоварване  $\alpha$

а — за триод; б — за пентод



Фиг. 192. Графично определяне на товарната характеристика за пентод

лучената точка  $P$  лежи на линията, отговаряща на решетъчното преднапрежение  $U_p$  и анодния ток  $I_{a0}$ .

Наклонът на товарната линия се определя с помощта на точката  $a$ , отговаряща на  $U_p = 0$  и  $i_{a \text{ макс}} = 2 I_{a0}$ . Точка  $b$  се определя от пресичането на

товарната линия с кривата, отговаряща на преднапрежение  $U_p = 2 U_{p0}$ . Точките  $a$  и  $b$  определят граничните стойности  $i_{a \text{ макс}}$ ,  $i_{a \text{ мин}}$  и  $i'_{a \text{ макс}}$ ,  $i'_{a \text{ мин}}$ .

Разсейваната от анода мощност в режим на покой (за точка  $P$ ) ще бъде

$$P = \frac{U_{a0} \cdot I_{a0}}{1000} \text{ (вт)},$$

където  $U_{a0}$  е във  $b$ , а  $I_{a0}$  в  $ma$ .

Действително отдадената изходяща мощност  $P_1$  може да се определи от построената товарна характеристика по формулата

$$P_1 = \frac{(i_{a \text{ макс}} - i_{a \text{ мин}})(i'_{a \text{ макс}} - i'_{a \text{ мин}})}{8000} \eta_T \text{ (вт)},$$

където  $\eta_T$  е КПД на изходния трансформатор. За изходящи мощности до 1 вт  $\eta_T = 0,7$ ; до 5 вт  $\eta_T = 0,8$ ; а над 5 вт  $\eta_T = 0,9$ .

От графичното построяване може да се определи и необходимото товарно съпротивление  $R_a$  на анода:

$$R_a = \frac{i_{a \text{ макс}} - i_{a \text{ мин}}}{i'_{a \text{ макс}} - i'_{a \text{ мин}}} 1000 \text{ (ом)}$$

За да се получи необходимото решетъчно преднапрежение  $U_{p0}$ , катодното съпротивление  $R_k$  трябва да бъде

$$R_k = \frac{U_{p0}}{I_{a0} + I_{p2}} 1000 \text{ (ом)},$$

където  $I_{a0}$  е анодният ток при покой ( $ma$ ), а  $I_{p2}$  е токът в екранната решетка ( $ma$ ).

Коефициентът на нелинейни изкривявания ще се определи по формулата

$$\kappa \approx \sqrt{\kappa_2^2 + \kappa_3^2},$$

$\kappa_2$  е коефициентът на нелинейни изкривявания от втората хармонична:

$$\kappa_2 = \frac{0,5(i_{a \text{ макс}} + i_{a \text{ мин}}) - i_{a0}}{i_{a \text{ макс}} - i_{a \text{ мин}}}.$$

$\kappa_3$  е коефициентът на нелинейни изкривявания от третата хармонична:

$$\kappa_3 = \frac{2(i'_{a0} - i''_{a0}) - (i'_{a \text{ макс}} - i'_{a \text{ мин}} - i''_{a \text{ макс}} + i''_{a \text{ мин}})}{2(i'_{a \text{ макс}} + i'_{a \text{ мин}} - i''_{a \text{ макс}} - i''_{a \text{ мин}})},$$

където  $i'_{a0}$  е анодният ток при  $U_p = \frac{U_{p0}}{2}$  (точка  $e$ );

$i''_{a0}$  — анодният ток при  $U_p = \frac{3}{2} U_{p0}$  (точка  $d$ );

## Изчисление на изходния трансформатор.

1. Електрическо изчисление. След като са известни оптималният аноден товар на лампата  $R_a$  и съпротивлението на товара (бобинката на високоговорителя)  $R_v$ , може да се определи преводното отношение на изходния трансформатор:

$$n = \sqrt{\frac{R_a}{\eta_T R_v}}$$

Стойностите на  $\eta_T$  се приемат приблизително според изходящата мощност (от 0,7 до 0,9). Нормално съпротивлението на товара е много по-малко от необходимия аноден товар на лампата и трансформаторът се получава понижаващ. Преводното отношение обикновено е в границите  $0,05 \div 0,2$ .

За да бъдат намалени честотните изкривявания в областта на най-ниските звуковни честоти, индуктивността на първичната намотка  $L_1$  трябва да бъде достатъчно голяма и може да се определи по формулата

$$L_1 = \frac{R_a}{\gamma f_n},$$

където  $f_n$  е най-ниската честота, която трябва да бъде усилена. Трябва да се знае, че горното изчисление на  $L_1$  е твърде приблизително. Съществува метод, по който  $L_1$  може да се определи и по-точно, като се взема предвид допустимото намаление на усиляването за най-ниската честота.

Прекомерното увеличаване на  $L_1$  също е недопустимо, тъй като по-големият брой навивки и сечение на желязото иеминуемо водят до увеличаване на индуктивността на разсейване. Тази индуктивност е причина за честотни изкривявания в областта на високите честоти. Намаляването ѝ се постига единствено чрез рационално изпълнение на изходния трансформатор — симетрично или секционирано навиване, подходяща форма на сърцевината и др.

2. Конструктивно изчисление. От дадените електрически параметри  $L_1$  и  $n$ , както и от получените графически данни за режима на крайното стъпало можем да определим размерите на сърцевината и да изчислим намотките.

Необходимото сечение на желязната сърцевина е

$$S = 0,05 I_{a0} \sqrt{L_1} \text{ (см}^2\text{)},$$

където  $I_{a0}$  е постоянната съставка на анодния ток в *ма*.

От изчисленото сечение  $S$  можем да направим избор на пластината и дебелината на набора (табл. 14).

Броят на навивките в първичната намотка трябва да бъде

$$w_1 = 600 \sqrt{\frac{L_1 \cdot l_c}{S}},$$

където  $l_c$  е средната дължина на магнитната силова линия за избраната пластината (см).

Броят на навивките във вторичната намотка ще бъде

$$w_2 = n' \cdot w_1.$$

Диаметърът на проводника за първичната намотка се определя по формулата

$$d_1 = 1,13 \sqrt{\frac{I_{a0}}{1000,0}} \text{ (м.м.)},$$

където  $\sigma$  е допустимата плътност на тока в проводника, която се взема  $2 \div 3 \text{ а/м.м.}^2$ . Приема се най-близкият до изчисления диаметър според табл. 16.

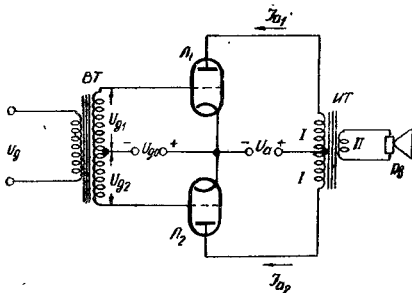
Диаметърът на проводника за вторичната намотка ще бъде

$$d_2 = \frac{d_1}{\sqrt{n}} \text{ (м.м.)}.$$

Поради съществуването на правотоково подмагнитване желязната сърцевина се прави с въздушни междина, определена по формулата

$$b = \frac{I_{a0} w_1}{14} 10^{-5} \text{ (м.м.)}.$$

**Двухактно стъпало.** Схемата на такъв усилвател, наричан още противотактен (пуш-пул), е показана на фиг. 193. Тук променливото напрежение се подава на двете решетки едновременно, но в обратни фази.



Фиг. 193. Принципно схема на противотактно стъпало за усиление на мощност

Двухактните усилватели се характеризират със следните особености и предимства пред еднотактните:

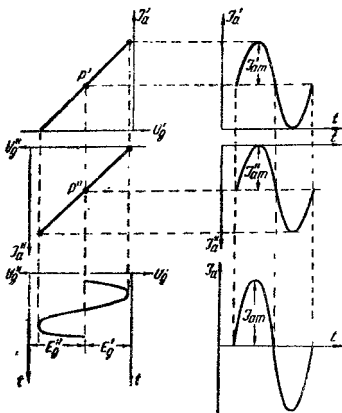
- 1) Елиминират четните хармонични на усиления сигнал, с което се намалява коефициентът на нелинейни изкривявания.
- 2) Липсва правотоково подмагнитване на изходния трансформатор, което също допринася за намаляване на изкривяванията.



3) Пулсациите от недобре филтрираното захранващо право напрежение и от отоплителното напрежение се компенсират взаимно в двете лампи.

4) Позволяват получаването на по-голяма неизкривена изходяща мощност и работа в режим с висок КПД.

Горензброените предимства на двутактните усилватели могат да се получат само ако се осигури пълна симетрия на двете половини, което не винаги е



Фиг. 194. Графическо представяне работата на двутактно стъпало клас А

твърде лесно. Освен това двутактните усилватели изискват във входа си две еднакви по величина, но с обратни фазни напрежения, за което трябва да се употребят специални входни трансформатори или фазообръщащи стъпала.

**Двутактен усилвател клас А.** На фиг. 194 е показана графическата работа на двутактния усилвател и клас А. Динамическите характеристики на двете лампи за удобство са завъртени на  $180^\circ$  една спрямо друга, тъй като анодните токове на двете лампи са изместени по фаза на  $180^\circ$ .

При пълна симетрия на схемата и на режимите амплитудите на променливите съставки на анодните токове ще бъдат равни помежду си. Тъй като те са и противофаза, амплитудата на общия аноден ток ще бъде равна на сумата от амплитудите в двете лампи:

$$I_{am} = I'_{am} + I''_{am}$$

Товарното съпротивление, включено между анодите на двете лампи, ще бъде равно на удвоеното товарно съпротивление за едната лампа:

$$R_{aa} = 2 R_a.$$

Коефициентът на нелинейните изкривявания при добре балансирана положини ще бъде

$$\kappa = \kappa_B,$$

тъй като втората хармонична е елиминирана.

За да се получи необходимото за режима решетъчно преднапрежение:

$$U_{p0} = 0,7 \frac{U_{a0}}{\mu}.$$

катодното съпротивление (при автоматично получаване на преднапрежението) трябва да бъде

$$R_k = 2 \frac{U_{p0}}{I_{a0}}.$$

Полезната променливотокова изходяща мощност е равна на удвоената мощност от всяка лампа и се изчислява както при еднотактно стъпало, клас А.

Двухтактните усилватели в режим клас А намират приложение само в маломощни усилватели (до 10—15 *вт*), където въпросът за икономичността има много малко значение пред очевидната полза от нищожните изкривявания.

Двухтактен усилвател клас В. Решетъчното преднапрежение и този режим е значително по-голямо, отколкото при клас А. Работната точка на лампите се намира в началото на характеристиката им, вследствие на което при липса на сигнал началният аноден ток е равен на нула.

От графиките на фиг. 195 се вижда, че независимо от несинусоидалния характер на отделните анодни токове резултатният ток, а оттам и индуктираното във вторичната на изходния трансформатор напрежение ще бъдат синусоидални. В резултат на кривината в долната част на характеристиката съществува известно отклонение от правилната синусоида и нелинейните изкривявания са по-големи, отколкото при клас А.

При сравнение на графиките от фиг. 194 и фиг. 195 може лесно да се забележи, че за получаването на еднаква амплитуда на резултатния ток амплитудата на входящото напрежение трябва да бъде при клас В два пъти по-голяма, отколкото при клас А.

Товарното съпротивление между анодите на двете лампи ще бъде

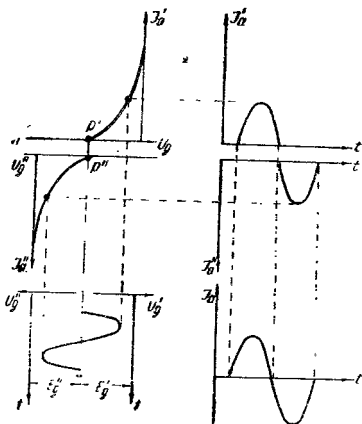
$$R_{aa} = 4R_a.$$

За да бъде анодният ток нула, трябва да се приложи преднапрежение, определено приблизително от

$$U_{p0} \approx \frac{U_{a0}}{\mu}.$$

При усилвателите клас В това преднапрежение не може да бъде получено автоматично (чрез катодното съпротивление), тъй като началният аноден ток е нула.

Нулевият начален аноден ток е причина за малкия разход на енергия от захранващия източник. Поради това коефициентът на полезното действие на такова стъпало е твърде висок — около 50 %. Известно увеличение на КПД



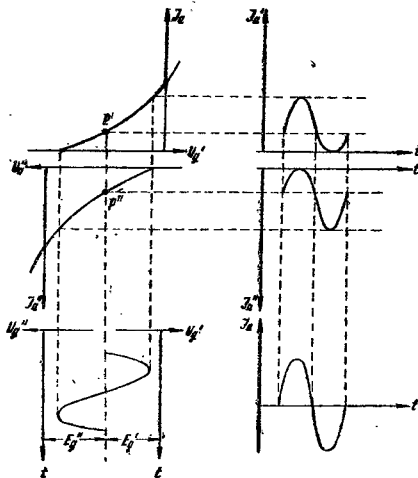
Фиг. 195. Графическо представяне работата на двутактно стъпало клас В

(до 60 %) и на полезната изходяща мощност може да се постигне, ако се избере такъв режим на лампите, че в известни моменти решетките да добиват положителен потенциал и да протича решетъчен ток. Предимствата при този режим (наричан понякога клас В<sub>2</sub>) се получават за сметка на увеличени нелинейни изкривявания.

**Двутактен усилвател клас АВ.** В двутактните усилватели на мощност най-голямо приложение намират схемите, при които лампите работят в междинен режим между клас А и клас В. Такъв режим, наричан клас АВ, се получава, когато решетъчното преднапрежение е така избрано, че работната точка на лампите се намира между началната точка и средата на праволинейната част от характеристиката (фиг. 196). При този режим слабите сигнали ще се усилят почти както при клас А, докато при силен сигнал режимът се доближава до клас В. При това положение усилянето на слаби сигнали ще става с много

малки изкривявания, като в същото време ще се осигури висок КПД и голяма изходяща мощност при големи амплитуди на входящия сигнал.

От графиките на фиг. 196 се вижда, че изместването на работната точка към първата част на характеристиката позволява в този режим да се използват пентоди и лъчеви тетроди, имащи голяма кривина в началния участък на характеристиката си и в клас В биха дали големи изкривявания. В същото време



Фиг. 196. Графическо представяне работата на двутактно стъпало клас АВ

запазването на малък начален аноден ток има за резултат повишена икономичност на стъпалото — КПД може да достигне до 70%.

Необходимото за този режим преднапрежение се определя от

$$U_{p0} = (0,8 \div 0,85) \frac{U_{a0}}{\mu}$$

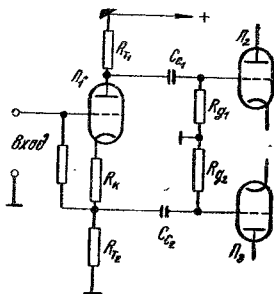
Съществуват две разновидности на този вид усилвател — клас АВ<sub>1</sub>, когато стъпалото работи без решетъчен ток и клас АВ<sub>2</sub>, когато при силни сигнали се достига до областта на решетъчните токове.

При режим на работа в клас  $AB_1$  решетъчниот преднапрежение може да бъде получено и автоматично (чрез катодно съпротивление). Това е допустимо само ако работната точка е подбрана така, че началният аноден ток да е по-голям, т. е. при по малко решетъчно преднапрежение. Тогава с увеличаване на входящия сигнал средната стойност на анодния ток нараства, но успоредно с това се увеличава и преднапрежението, което разширява границите на използване на лампата.

В клас  $AB_2$  решетъчното преднапрежение трябва да бъде фиксирано, което налага получаването му от отделен източник. При силен сигнал в решетъчната верига протича ток, което показва, че в нея се изразходва известна мощност. Това изисква предиото стъпало да работи не само като усилвател на напрежение, но и да може да дава известна мощност, необходима за захранване на решетъчната верига на крайното стъпало. В режим  $AB_2$  може да се получи по-голяма мощност и по-добър КПД, отколкото при  $AB_1$ , но за сметка на увеличени нелинейни изкривявания поради навлизането в областта на решетъчните токове.

### в. Фазообръщащо стъпало

Фазообръщащите стъпала се използват в  $нч$  усилватели за преминаване от еднотактна към двутактна схема. В тях се създават две еднакви по величина и с противоположна фаза напрежения, необходими за правилната работа на двутактното стъпало.

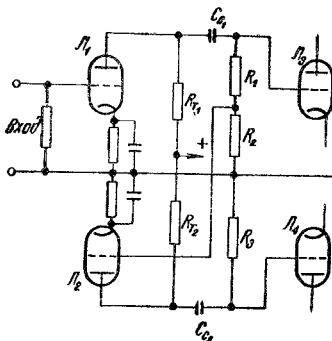


Фиг. 197. Фазообръщащо стъпало с разделен товар

В най-простия случай може да бъде приложена схемата, показана на фиг. 193. За фазообръщане в случая се използва трансформатор, чиято вторична намотка има отвод в средата. Този начин страда от всички недостатъци на усиляването с трансформаторна връзка и се прилага само при работа на крайното стъпало в режим с решетъчен ток ( $AB_2$  или  $B_2$ ).

Съществуват схеми, при които получаването на двете напрежения с противоположни фази стават чрез отделно лампово стъпало, наречено фазообръщащо.

*Схема на разделен товар.* На фиг. 197 е дадена схемата на фазообръщащо стъпало с един триод. Товариното му съпротивление е разделено на две равни части — едната, включена към анода ( $R_{T1}$ ), а другата — към катода ( $R_{T2}$ ).



Фиг. 198. Фазообръщащо стъпало с двоен триод

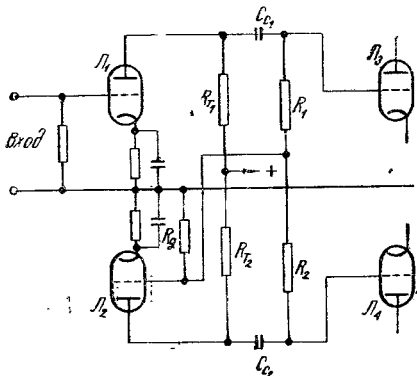
Напреженията, получени в тези товари съпротивления, са дефазирани на  $180^\circ$ . За да бъдат едникви и по величина, необходимо е пълно равенство на двете. Частични от товара.

Схемата от фиг. 197 работи с дълбока отрицателна обратна връзка, създадена от съпротивлението  $R_{T2}$ . Поради това изкривяванията, които лампата внася, са много малки, но в същото време това стъпало не дава никакво усиление.

*Схема с допълнително дефазаторно стъпало.* В този случай двете равни, но с противоположни фази напрежения се вземат от товариите съпротивления  $R_{T1}$  и  $R_{T2}$ . За да бъде напрежението върху  $R_{T2}$  дефазирано на  $180^\circ$ , на решетката на триода  $\Lambda_2$  се подава част от напрежението, получено в изхода на  $\Lambda_1$ . То се взема през делителя  $R_1 - R_2$ , който е така подбран, че напрежението, вързано в решетката на  $\Lambda_2$ , е точно равно на напрежението във входа на  $\Lambda_1$ . Тогава двете напрежения върху  $R_{T1}$  и  $R_{T2}$  не само че ще са дефазирани на  $180^\circ$ , но и ще бъдат едникви по величина. В схемата от фиг. 198 за лампите  $\Lambda_1$  и  $\Lambda_2$  се използва най-често един двоен триод. Недостатъкът на схемата е, че с течение на времето двете триодни системи могат да изменят параметрите си, което ще доведе до нарушаване симетрията на крайното стъпало.

*Схема с автобалансиране.* Характерно за тази схема е, че напрежението за входа на фазообръщащия триод  $\Lambda_2$  се взема от общата точка на съпроти-

вленията  $R_1$  и  $R_2$  на фиг. 199. Съпротивлението  $R_g$  представлява общо утечно съпротивление както за  $J_2$ , така и за крайните лампи  $J_3$  и  $J_4$ . На края съпротивлението  $R_1$  трябва да бъде с 10 до 20 % по-малко от  $R_2$ . При тази постановка на решетката на  $J_2$  се подава напрежение, равно на разликата от напреженията върху  $R_2$  и  $R_1$ . Тогава всяко изменение както на входящото



Фиг. 199. Автобалансираща схема на фазообръщащо стъпало

напрежение, така и на усилените напрежения от  $J_1$  и  $J_2$  ще се компенсира автоматично от  $J_2$ . Така например, ако усиляването на  $J_1$  е намаляло, напрежението върху  $R_{T1}$  и  $R_1$  ще бъде по-малко, като съответно на  $J_2$  ще бъде по-малко напрежение. Това ще предизвика намаляване на напрежението и върху  $R_{T2}$  и балансирането се запазва. Същото ще се получи, ако по една или друга причина е намаляло или се е увеличило приложеното към  $J_1$  входящо напрежение, както и при изменение усиляването на триода  $J_2$ .

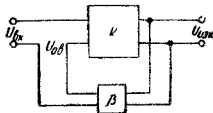
#### 4. Отрицателна обратна връзка

Прилагането на отрицателната обратна връзка в нискочестотните усилватели води до значително подобряване на качествените им показатели — намаляване коефициента на нелинейните изкривявания, подобряване на честотната характеристика, понижаване на изходното съпротивление. Правилно подбраната отрицателна обратна връзка намалява променливотоковия брум и повишава стабилността на работата на усилвателя.

Осъществяването на отрицателна обратна връзка става, като част от усиленото напрежение от изхода на усилвателното стъпало се върне във входа му с

противоположна фаза по отношение на входящия сигнал (фиг. 200). На входа на усилвателното стъпало с коефициент на усилване  $K$  се подава освен входящото напрежение  $U_{вх}$  още и част от усиленото напрежение  $U_{ов}$  чрез веригата за обратна връзка. Отношението  $\beta$ , което показва каква част от изходящото напрежение е подадена наново във входа, се нарича коефициент на обратната връзка:

$$\beta = \frac{U_{ов}}{U_{изх}}$$



Фиг. 200. Блокова схема на усилвател с отрицателна обратна връзка

Колкото е по-голямо  $\beta$ , толкова по-дълбока ще бъде отрицателната обратна връзка и по-малко усилването, получено от стъпалото. При  $\beta = 1$  цялото изходящо напрежение се връща във входа и усилването е по-малко от единица (100% обратна връзка). При  $\beta = 0$  обратна връзка липсва и стъпалото дава нормалното си усилване  $K$ . Коефициентът на усилване на усилвател с отрицателна обратна връзка се определя по формулата

$$K_{ов} = \frac{K}{1 + \beta K},$$

което показва, че при прилагане на обратна връзка усилването се намалява  $1 + \beta K$  пъти. Поради това, за да се запази необходимото усилване  $K$ , се налага въвеждането на допълнителни усилвателни стъпала.

Коефициентът на нелинейните изкривявания при отрицателна обратна връзка е

$$K_{ов} = \frac{K}{1 + \beta K},$$

където  $K$  е клирфакторът без приложена обратна връзка. От тази формула се вижда, че клирфакторът намалява с  $1 + \beta K$  пъти, ако е приложена отрицателна обратна връзка. В същата степен ( $1 + \beta K$ ) намаляват и честотните изкривявания, внесени от стъпалото, обхванато от отрицателна обратна връзка.

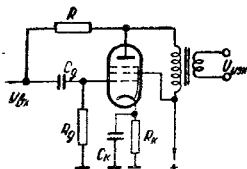
Отрицателната обратна връзка намалява също и действащото вътрешно съпротивление  $R_i$  на лампата:

$$R_{i\text{ ов}} = \frac{R_i}{1 + \beta K},$$

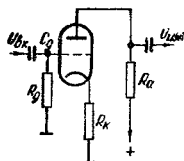
следствие на което се намалява и изходното съпротивление на усилвателя. Това създава по-голяма независимост на напрежението в изхода от съпротивлението на товара. По-слабата зависимост на изходящото напрежение от товара е особено важно качество при усилвателите с променлив товар — например в радиотранслагационните възли.



Отрицателната обратна връзка може да бъде получена непосредствено от изходящото напрежение на усилвателя, при което имаме обратна връзка по напрежение. Пример за такава обратна връзка е даден на фиг. 201,



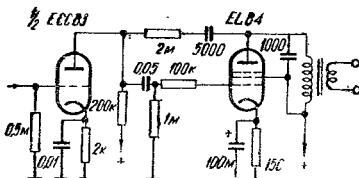
Фиг. 201. Обратна връзка по напрежение



Фиг. 202. Обратна връзка по ток

където напрежението за обратна връзка се взема от анода на лампата и се подава на решетката ѝ чрез съпротивлението  $R$ .

Отрицателна връзка по ток се получава от тока в изходната верига на усилвателя, при което напрежението за обратна връзка, върнато на входа, е про-

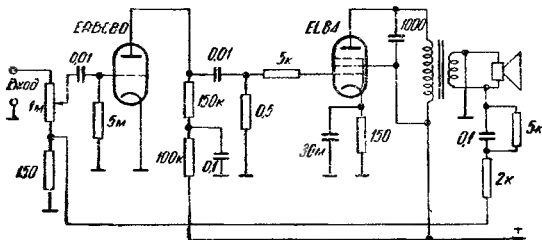


Фиг. 203. Прост нискочестотен усилвател с честотно зависима отрицателна обратна връзка

порционално на тока в изхода. На фиг. 202 е показана схема, в която е приложена отрицателна обратна връзка по ток. Създава се чрез нешунтирано или слабо шунтирано за звуковите честоти катодно съпротивление.

Ако напрежението за обратна връзка се довежда до входа по верига, съставена само от активни елементи, коефициентът на обратната връзка  $\beta$  ще бъде еднакъв за всички честоти, т. е. ще имаме честотно независима обратна връзка. Ако обаче във веригата на обратната връзка се включи реактивен елемент — кондензатор, тя става честотно зависима. На фиг. 203 е дадена схема на прост нискочестотен усилвател с честотно зависима отрицателна обратна връзка. Поради малката стойност на  $C_g$  за високите честоти

же имаме по-малко напрежение за обратна връзка и усиляването се запазва голямо. При високите честоти обратната връзка е по дълбока и усиляването спада. По такъв начин се получава повдигане на басовете. За да се повдигнат



Фиг. 204. Нискочестотен усилвател с отрицателна обратна връзка, обхващаща две стъпала

и високите честоти, може да се приложи обратна връзка по ток, като шунтиращият кондензатор  $C_1$  се подбере с по-малка стойност. Тогава той ще запази своето шунтиращо действие само за най-високите честоти, докато за останалите честоти се създава необходимата обратна връзка чрез  $R_2$ .

Отрицателната обратна връзка може да обхване едно, две или повече стъпала от усилвателя. В дадените досега примери обратната връзка обхващаше само едно стъпало. На фиг. 204 е показана схема с приложена честотно зависима обратна връзка, която обхваща и двете стъпала заедно с изходния трансформатор. Напрежението на обратната връзка се взема от вторичната на изходния трансформатор и се подава в решетъчната верига на първата лампа.

Когато отрицателната обратна връзка обхваща само едно стъпало, дефазрането на напрежението за обратна връзка се получава автоматически, ако е взето от анода и не върнато в решетката (фиг. 201 и 203). Ако обратната връзка обхваща повече стъпала, напрежението трябва да се подаде по такъв начин, че да се осигури необходимото дефазироване. Схемата от фиг. 204 създава удобството, че правилното дефазироване може да се получи чрез просто разменяне крайщата, от които се получава напрежението на обратна връзка.

## УКВ ПРИЕМНИЦИ И ПРЕДАВАТЕЛИ

### 1. Особенности на трептящите кръгове на УКВ

С повишаването на честотата и навлизането в обхвата на УКВ над 30 мгхц (10 м) нарастват и изискванията по отношение на трептящите кръгове и техните елементи. Причините за това са както бързото влошаване на качествения фактор от увеличените загуби, така и от невъзможността да се постигне достатъчно високо резонансно съпротивление поради наличието на неизбежни паразитни капацитети, сравними по стойност с тези на кръга.

Загубите, които се получават при по-ниските честоти, са:

1. Загуби от диелектричните. За намаляването им е необходимо използването на висококачествени изолационни материали с най-малък  $\text{tg}\delta$  (вж. т. 13 от I гл.). При изработването на УКВ кръгове добре е да се използват колкото е възможно по-малко по обем и количество изолационни материали.

2. Загуби в проводниците. Дължат се на увеличеното активно съпротивление вследствие на повърхностния ефект. Намаляването им се постига с увеличаване повърхността на проводника (по-голям диаметър, шини) и на повърхностната му проводимост (посребряване).

3. Загуби от излъчване. Особено силно е влиянието им при съществуването на паразитни връзки с близко стоящи метални предмети и кръгове. Загубите от изключвания зависят също така и от диаметъра на бобината, който не трябва да бъде много голям. С повишаване на честотата, когато дължината на вълната стане съизмерима с геометричните размери на кръга, излъчената енергия може да стане по-голяма от използваната.

За намаляване вредните последствия от всички тези загуби за честоти от около 300 мгхц нагоре обикновенните кръгове със съсредоточени параметри започват да се изместват от други с много по-голям качествен фактор — двупроводни и коаксиални линии, обемни резонатори.

При изработването на УКВ кръгове трябва да се има предвид, че освен малки загуби кръгът трябва да притежава и висока стабилност на резонансната си честота. Това е особено необходимо за автогенераторни кръгове. За да се постигне висока стабилност, елементите на кръга трябва да се изработват от материали с малък температурен коефициент, притежаващи пълна обратимост (цикличност) при промяна на атмосферните условия (температура, влажност). Необходимо е освен това както елементите, така и целият кръг да бъдат механически здрави и солидно укрепени. Добра температурна стабилност се постига чрез прилагане на различни — електрически и механически методи за термокомпенсация.

### а. Кондензатори за УКВ

Постигането на висока стабилност на УКВ апаратурите може да стане само чрез повишаване качествения фактор и температурната стабилност на кръговите елементи. Кондензаторите са елементи, които най-силно влияят върху еталонността на УКВ кръговете и постигането на висока честотна стабилност е възможно само при специална конструкция на тези елементи.

Общите изисквания за УКВ кондензаторите, както постоянни, така и променливи, могат да се групират в следните няколко точки:

1. Голяма температура и стабилност. При постоянните кондензатори тя се постига с използването на керамични кондензатори от термо-стабилна керамика. Такива са например кондензаторите от групите Ж и М (съветски тип КТК или КДК), както и тези с тъмнозелен цвят (немски — *Hescho*). Температурните коефициенти на керамични кондензатори от тези два типа могат да се видят от табл. 4. Постоянни кондензатори с въздушен диелектрик също намират приложение на УКВ поради голямото постоянство на диелектричната константа на въздуха. Те обаче са нестабилни по отношение на механически изменения на геометричните размери вследствие температурните разлики. Тези изменения могат значително да се намалят чрез употреба на специални метали и сплави с малък коефициент на разширение (напр. инвар). Прилагат се и различни способы за механическа термокомпенсация с помощта на метали, имащи различни коефициенти на разширение.

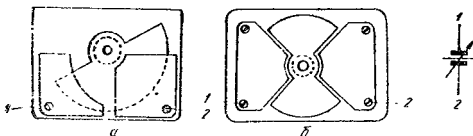
2. Малки загуби в диелектрика и в изолацията между статор и ротор. С повишаване на честотата  $\text{tg} \delta$  на най-често употребяваните диелектрици (хартия, слюда) силно спада. Налага се използването на материали, чийто  $\text{tg} \delta$  има по-слаба честотна зависимост — въздух, вч керамика, полистирол. С употребата на тези диелектрици освен това се получава и значително по-малка зависимост на качествата на кондензатора от външни влияния — температура, влага.

За намаляване на диелектричните загуби изолационният материал между статор и ротор трябва да бъде колкото може по-малък по обем и от по-високо качество — най-добре вч керамика.

3. Малки загуби в металните части. Омическото съпротивление на изводите и другите метални части на кондензатора, както и контактното съпротивление в триещите се части на роторния извод създават активни загуби, чието влияние при УКВ става твърде забележимо. Избягват се най-сигурно с безконтактно (капацитивно) извеждане на ротора (фиг. 205 а) или със симетричен двоен статор и изолиран ротор (фиг. 205 б). В последния случай с движението на ротора се мени общият капацитет на двата последователно свързани кондензатора.

4. Малки паразитни индуктивности и капацитети. Индуктивността на изводите и паразитните капацитети към маса имат за резултат появяването на твърде неприятни резонансни явления при работа на УКВ. Използването на специални керамични кондензатори с много къси изводи и отдалечаването им от шасито при монтажа могат да отдалечат паразитния резонанс от работната област.

При променливите въздушни кондензатори са в сила споменатите в горните няколко точки изисквания заедно с необходимостта от голяма механическа стабилност. За изпълнение на това условие всички части на променливите УКВ кондензатори — шаси, роторен и статорен пакет, се правят от дебели лети или фрезовани метални части.



Фиг. 205. УКВ променливи кондензатори с безконтактен роторен извод

*a* — ротор с кондензивно токоотвеждане; *b* — изолиран ротор с двоен симетричен статор

### 6. Бобини на УКВ

За постигането на висока качественост и стабилност на трептящия кръг за УКВ необходимо е бобината му да притежава високи качествени показатели. Изискванията, които могат да се поставят за постигане на такива показатели, са:

1. Висока стабилност на индуктивността. Стабилността на бобината се определя преди всичко от устойчивостта на нейната индуктивност срещу влиянията на температурата и влажността на околната среда, както и от механичeskата ѝ устойчивост. За постигане на високостабилни УКВ бобини използва се материал за тялото с малък температурен коефициент на разширение и намотка, която не позволява големи промени в геометричните размери на бобината под влияние на температурните разлики. Най-подходящ материал за тяло на бобината е вч керамика, а най-подходяща намотка е тази, получена чрез нанасяне на сребърен слой върху керамиката или чрез навиване „на горещо“ (проводникът преди навиването се загрева). Такива бобини притежават също и голяма механическа стабилност.

Противовлажната устойчивост се определя изключително от влагопроницаемостта на изолационното тяло. Употребата на керамика свежда до минимум вредното влияние на влагата върху стабилността на бобината.

2. Висок качествен фактор. Качественият фактор на бобините се определя от големината на внесените активни съпротивления в резултат на различни загуби — от медта, от диелектрика, от околните метални части и от излъчване. Докато при по-ниските честоти са от значение предимно загубите в медта, при честотите от метровия обхват преобладават загубите от излъчване и от диелектрика.

За да се намалят загубите от излъчване, диаметърът на бобините се прави по-малък (не повече от 20 до 30 мм). Загубите в диелектрика се намаляват чрез употребата на материал за тялото с най-малък  $\text{tg} \delta$  (керамика). От значение е също и по-малката плоскост на допиране между проводника и тялото, поради което последното често се прави ребристо. Загубите от екраните и други близко стоящи метални части се дължат на индукираните в тях токове на Фуко. При УКВ тези загуби са твърде големи, поради което УКВ бобините рядко се екранират. Токове на Фуко се индукират и в самите проводници и създават загуби от повърхностния ефект. За намаляването им се използват проводници с голяма повърхност — шини, кухи тръби, и се прави посребряване на повърхността им.

3. Малък собствен капацитет. Големината на собствения капацитет зависи преди всичко от вида на намотката и геометричните размери на бобината. Не по-малко влияние, особено при УКВ бобините, оказва и диелектричната константа на тялото и на изолациите на проводника. УКВ бобините, които са изключително еднослойни и със стъпка, имат много малък собствен капацитет. Последният се намалява още повече при употребата на неизолиран проводник и възможно най-малък допир на проводника до тялото (ребресто тяло).

Големият собствен капацитет, освен че намалява честотното покритие на кръга, и който участва бобината, но и внася значителни загуби, тъй като диелектриктът е обикновено с голям  $\text{tg} \delta$ . Освен това собственият капацитет заедно с части от бобината или с паразитните индуктивности образуват вредни и трудно отстраняващи се паразитни резонанси.

Освен собствения капацитет, получаващ се между отделните навивки, не по-малко вредно влияние имат и паразитните капацитети спрямо близките екрани и метални части. Последствията от тях са същите, както и изброените по-горе.

### в. УКВ кръгове с разпределени параметри

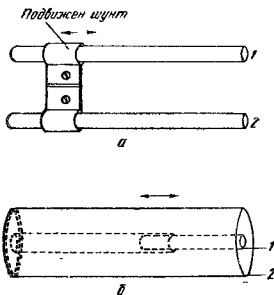
Обикновените трептящи кръгове със съсредоточени параметри (кондензатор и бобина) могат да намерят приложение при честоти от метровия обхват, т. е. до около 300 мГц. Колкото се увеличава честотата, загубите стават все

по-значителни и се налага преминаването към други форми на трептящи кръгове. Понеже началният капацитет на кръга е ограничен от междueleктродните външни капацитети, то повишаването на резонансната честота на кръга може да стане вече единствено чрез намаляване на индуктивността му. Това обаче води до намаляване на резонансното съ-

противление  $R_{\text{рез}} = \frac{L}{CR}$  на кръга, с

което се намалява усилването и КПД на генераторите, тъй като последните работят в твърде неблагоприятен режим. Премахването на кръговия кондензатор и настройката чрез изменение на индуктивността може да намери приложение до известна честотна граница. Над 150—200 мГц обаче настройващият елемент (медна плочка или пръстен) внася чувствителни загуби от токове на Фуко и се налага преминаването към други колебателни системи — кръгове с разпределени параметри. Такива са двупроводната (фиг. 206 а) и коаксиалната (фиг. 206 б) резонансна линия.

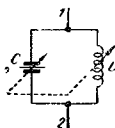
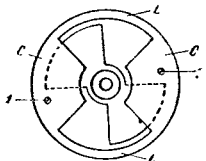
Те притежават всички характерни за един трептящ кръг свойства, като при това имат значително по-висок качествен фактор. Резонансната честота зависи от дължината на линията и се определя от  $l = \frac{\lambda}{4}$ .



Фиг. 206. Двупроводна и коаксиална линия

1, 2 — отворен край на линиите

Двупроводните резонансни линии се правят от медни тръби с диаметър от 6 до 12 мм. Разстоянието между тях се ваема от 2 до 4 пъти диаметъра на тръбите. По-малкото разстояние води до увеличаване на загубите от вихрови токове, а по-голямото — до увеличаване на загубите от излъчване.



Фиг. 207. УКВ кръг тип „Бътерфлай“

ло 1 ком, кръговете „Бътерфлай“ — 5 ком, двупроводните резонансни линии — 10 ком, а коаксиалните линии и обемните резонатори — до 100 ком.

Коаксиалните резонансни линии имат по-висок  $Q$ -фактор поради значително по-малките загуби от излъчване. Той може да достигне до няколко хиляди при подходящи изолационни материали.

Настройката както на двупроводните, така и на коаксиалните линии се извършва с подвижен шунт и даления на късо край.

В граничната област между метровите и дециметровите вълни (200 до 500 мгхц) намират приложение и други колебателни системи, включващи в себе си капацитет и индуктивност на третия кръг. Такива са напр. кръговете от типа „Бътерфлай“ (пеперуда) — фиг. 207. Двете части  $C$  са статорите на кондензатора, а дъгите между тях  $L$  със своята индуктивност изпълняват ролята на бобина. При въртенето на ротора се изменят едновременно капацитетът и индуктивността, с което се постига голямо покритие по честота — 3 до 4 пъти.

За сравнение може ориентировъчно да се посочи, че в метровия УКВ обхват  $LC$  кръговете имат резонансно съпротивление около

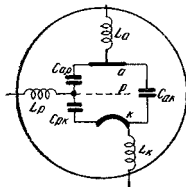
## 2. УКВ предаватели

Работата на УКВ поставя специални изисквания не само към елементите на трептящите кръгове, но и към лампите, които, използвани като УКВ генератори, трябва да имат по-особена конструкция. Докато при по-ниските честоти те могат да се считат за безинертни преобразователи, при УКВ с повишаване на честотата времето за прелитане на електроните от катода до анода може да стане от един порядък с периода на колебанието. Увличените примерно от положителната решетка електрони ще стигнат до анода след изтичане на положителния полупериод, което ще предизвика забавяне на анодния ток спрямо приложеното напрежение, т. е. дефазирането между тях ще бъде различно от  $0^\circ$ . Последствията от този ефект са твърде неприятни: влошаване на условията за самовъзбуждане, деформиране на анодния импулс, намаляване КПД на генераторите и, което е особено важно — значително увеличаване на входната активна проводимост на лампата.

Тъй като горният ефект е толкова по-силен, колкото разстоянието катод-анод е по-голямо, конструкцията на лампите за УКВ се отличава с малки междуелектродни разстояния. Това обаче изисква съответно намаляване на геометричните размери на електродите, за да се компенсира увеличението на

междueleктродните капацитети. Намалените размери на лампите за УКВ ограничават и затрудняват конструирането на мощни лампи, изисквайки специални мерки за охлаждането.

Влиянието на междueleктродните капацитети и на индуктивностите на изводите се отразява чувствително при работата на УКВ и може да стане причина за неспособността на дадена лампа да работи над определена честота. И наистина, докато за по-ниските честоти междueleктродните капацитети на лампата са значително по-малки от кръговите капацитети, то при УКВ тяхната стойност може да се окаже по-голяма от необходимата за получаване на желаната резонансна честота на кръга. Заедно с индуктивностите на изводите тези капацитети образуват трептящи кръгове, чиято резонансна честота представлява граничната честота, на която може да осцилира лампата (при свързани на късо външни изводи). Особено вредно е влиянието на индуктивността на катодния извод  $L_k$  (фиг. 208), създаващ обратна връзка между анодната и решетъчната верига. Влиянието на проходния капацитет  $C_{ap}$  в усилвателните стъпала става още по-подчертано при УКВ и прави много мъчно отстраняването на самовъзбуждането. От друга страна, намаленото капацитивно съпротивление на  $C_{ap}$  дава възможност в УКВ осцилаторите да се прилагат успешно схеми с капацитивна обратна връзка, постигната чрез капацитета  $C_{ap}$ . Като осцилаторни лампи за УКВ се използват почти изключително триоди. Специално конструираните за тази цел лампи, като 6С1П, 6Н15П, 6С1Ж, ЕС92, ЕСС81, ЕСС85 и др., имат такова разположение на изводите, при което се получават минимални паразитни капацитети и индуктивности. Диелектричните загуби в изолацията между електродите са също намалени поради употребата на специални изолационни материали в цоклите и балона или чрез безцокълно извеждане на крачетата.



Фиг. 208. Междueleктродни капацитети и индуктивности на изводите на един триод

### а. Автогенератори на УКВ

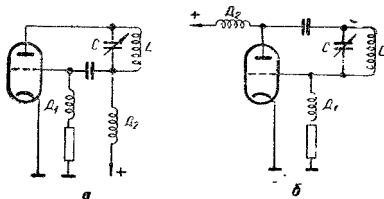
На нашите радиолюбители за работа на УКВ са предоставени обхватите 144—146 мхц и 420—440 мхц. Принципно разлика в използваните схеми на тези два обхвата няма. Различията са само във вида на трептящите кръгове и типа на употребените лампи.

Най-характерната разлика между автогенераторите за КВ и за УКВ е тази, че при УКВ се прилага изключително капацитивна обратна връзка. Индуктивната обратна връзка тук би създала неустойчиво самовъзбуждане поради силното влияние на проходния капацитет анод-решетка, който създава допълнителна нежелана обратна връзка. В генераторите на УКВ се използва именно тази обратна връзка, получена чрез капацитета анод-решетка на лампата и на монтажа.

Схемите, използвани в УКВ генератори, не се отличават с много разновидности. Най-често това са едотактният генератор (ултрааудион) с паралелно или последователно захранване (фиг. 209) или двутактният генератор с един или с два настроени кръга (фиг. 210). Нерядко схемата на фиг. 209 се видо-

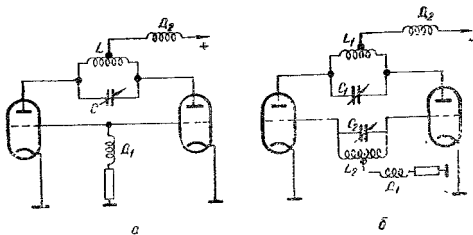


изменя, като анодното напрежение се подава чрез средна точка на бобиината  $L$ . С това се намалява влиянието на индуктивността и паразитните capacitети на дросела  $D_2$  върху резонансната честота на кръга. Двутактиите генератори



Фиг. 209. Еднотактни УКВ генератори с капацитивна обратна връзка

а — с последователно захранване; б — с паралелно захранване;



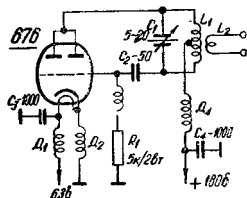
Фиг. 210. Двутактии УКВ генератори

а — с един настроен кръг; б — с два настроени кръга

работят много добре на любителските УКВ обхвати. Те генерират устойчиво на 420 мгхц, тъй като влиянието на проходните capacitети върху кръга е намалено наполовина (съединени са последователно в двете лампи). Двутактиите схеми позволяват също използването на симетрични двупроводни линии за трептящи кръгове, както и по-просто свързване с антената, която най-често е симетрична.

Маломощните УКВ предаватели (до около 5 вт) най-често са едностъпални и представляват един автогенератор, чийто трептящ кръг е свързан направо с антената. Стабилността на такива предаватели е ниска и използването им може да бъде оправдано само ако приемането става със свръхгенератор, имащ широка пропускана лента. Малко по-голяма стабилност притежават дву-

тактните УКВ генератори (особено този от фиг. 210 б). По-голямата стабилност при тях се обуславя от възможността да бъдат употребени резонансни линии имащи голям качествен фактор.



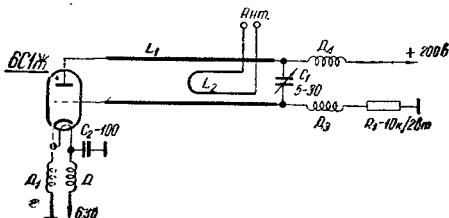
Фиг. 211. Прост едностъпален предавател за 144 мгхц

$L_1, L_2$  — 20 нав, ПЕЛ-0,8, на тяло от съпротивление с диаметър 6 мм, с дължина 20 мм, с прогресивна стъпка;  $L_3, L_4$  — 60 нав, ПЕЛ-0,25, на тяло от съпротивление с диаметър 6 мм, дължина 25 мм, с прогресивна стъпка;  $L_4$  — 3 нав от меден посребрен проводник с диаметър 2 мм, вътрешен диаметър 14 мм, дължина 12 мм;  $L_2$  — 1 нав от меден посребрен проводник с диаметър 1,5 мм

На фиг. 211 е дадена практическа схема на малък УКВ генератор — предавател за 144 мгхц. Използуван е разпространеният двоен трод 6J6 (6Н15П), чиито две системи са свързани заедно. Малките кондензатори на тази лампа позволяват такова свързване, при което стъпалото отдава около 1 вт вч мощност в антената. За работата на телефония точката „+180 в“ трябва да се свърже към горния край на модулационния трансформатор в модулятора. Най-често се работи на фиксирана настройка, при което вместо променливия кондензатор  $C_1$  може да се употреби обикновен керамичен тример.

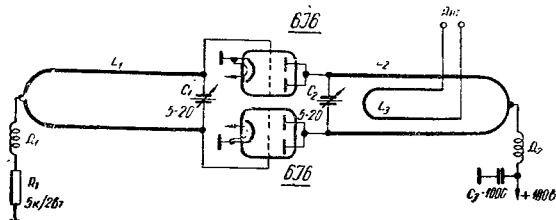
На фиг. 212 е представена схемата на подобен предавател за 420 мгхц. Посочената лампа 6С1Ж („955“) може да бъде заменена с ЕС92, 6С1П или 6J6. Трептящият кръг е четвъртвълнова симетрична линия ( $L_1$ ), като връзката с антената се осъществява чрез U-образната скоба  $L_2$ . Може да се приложи анодна модулация също както и в предния случай. Вместо с кондензатора  $C_2$  от фиг. 211 тук разделянето на правотоковата анодна верига от решетъчната става чрез кондензатора  $C_1$ , изпълняващ същевременно и ролята на шунтиращ мост в края на линията. С това се премахва вредното влияние на решетъчния дросел  $D_3$  върху резонансната честота на линията.

Две схеми на двутактни едностъпални предаватели за 144 и 420 мгхц са показани на фиг. 213 и 214. Употребени са четвъртвълнови резонансни линии, което значително повишава полезната мощност, получена от лампите. Вместо с променливи кондензатори настройката може да стане с подвижен окъсяващ



Фиг. 212. Едностъпаден предавател за 420 мГц

$L_1, L_2$  — 12 нав. ПЕЛ-0,8, диаметър 5 мм, дължина 20 мм, без тяло;  
 $D_1, D_2$  — 8 нав. ПЕЛ-0,8, диаметър 5 мм, дължина 20 мм, без тяло;  
 $L_3$  — 2 броя посребрени медни тръби с диаметър 6 мм и дължина на всяка от тях 50 мм; разстояние между тръбите 15 мм;  $L_4$  — посребрен меден проводник 2 мм, дължина на обхващане 20 мм, ширина 15 мм



Фиг. 213. Двухтактен едностъпаден предавател за 144 мГц

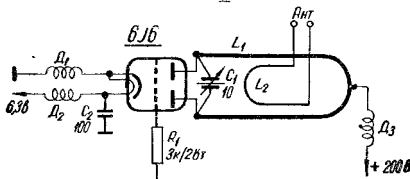
$L_1, L_2$  — 60 нав. ПЕЛ-0,25 върху тяло от съпротивление с диаметър 6 мм, дължина 20 мм, с прогресивна стъпка;  $L_3, L_4$  — медна посребрена тръба с диаметър 6 мм, дължина на рамото 170 мм, ширина 20 мм;  $L_5$  — меден посребрен проводник с диаметър 2 мм, дължина на обхващане 50 мм, ширина 20 мм

мост, който се движи по външния край на линиите. Вместо тръби за линиите може да се употреби медна шина или проводник с диаметър 3–4 мм.

#### 6. Автогенератори с кварцова стабилизация

Обработеният кварцов кристал е еквивалентен на третиачен кръг с висок качествен фактор от порядъка на 10 000. Благодарение на пиезоелектрическите свойства на кварца той може да служи [като осцилаторен кръг и да

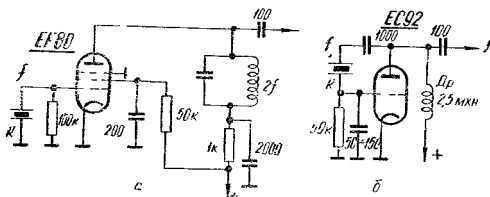
възбужда колебания („Pierce“ осцилатор — фиг. 215) или да увлича към собствения си механичен резонанс трептенията, породени от един LC генератор („Overtone“ осцилатор — фиг. 216).



Фиг. 214. Двутаkten едностъпален предавател за 420 мгхц

$L_1, L_2$  — 12 нов ПЕЛ-0,8, диаметър 5 мм, дължина 20 мм, без тяло;  
 $L_3$  — 8 нов ПЕЛ-0,8, диаметър 5 мм, дължина 20 мм, без тяло;  
 $L_4$  — медна посребрена тръба с диаметър 6 мм, дължина 50 мм, ширина 15 мм;  
 $L_5$  — меден посребрен проводник с диаметър 2 мм, дължина на обхващане 20 мм, ширина 15 мм

Представените на фиг. 215 а, б два варианта на кварцови осцилатори дават много стабилна генерация, почти независима от различните дестабилизиращи фактори. За сметка на това обаче в анодната верига не може да се отдели с



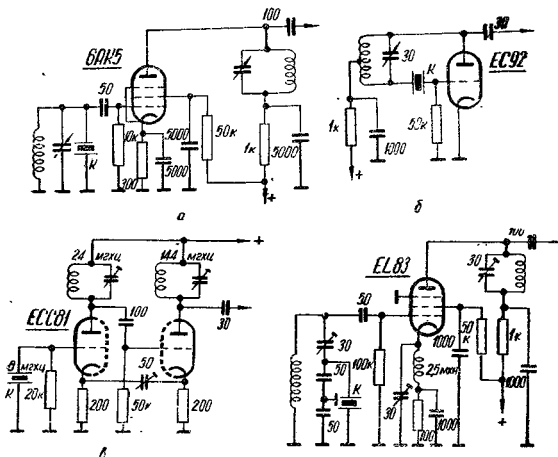
Фиг. 215. Две схеми на кварцов осцилатор „Pierce“

достатъчна амплитуда по-висша от втората хармонична на кварца. Употребата на пентод (фиг. 215 а) е по-изгодна поради по-малкото влияние на следващото стъпало. Схемата на фиг. 215 б е типичен ултрааудион с кварц вместо кръг. От нея може да се отдели само основната честота на кварца.

Горните схеми могат да се използват само при високи честоти на кварца (над 8 мгхц), за да се избегнат многото умножителни стъпала.

На фиг. 216 са показани няколко схеми на кварцово контролирани генератори, при които кварцът служи само да увлече честотата на генератора

към собствената си честота. За разлика от предишните схеми тук кварцът не изпълнява ролята на трептящ кръг и неговото изключване не води до прекъсване на генерациите, а само до освобождаването им от кварцовия кон-



Фиг. 216. Кварцово контролирани осцилатори с увеличаване „Overtone“

трол. Голямо предимство на тези схеми е, че кръгът може да бъде настроен и да се увеличи и от по-висшите хармонични на кварца (до пета, дори седма но само нечетни!). Също така при схемите с увеличаване е възможно настройката на кръга да се направи с известно малко отклонение — до  $\pm 20\text{kHz}$  от основната честота на кварца, което е голямо удобство за любителските предаватели.

Схемата на фиг. 216 а е осцилатор с два настроени кръга (Хут—Кюн). Той е много удобен, когато е необходимо многократно умножаване на честотата на кварца — до 9-та хармонична.

На фиг. 216 б е дадена схемата на един твърде често прилаган осцилатор, в който кварцът замества решетъчния кондензатор в съответната LC осцилаторна схема. Кръгът може да бъде настроен на третата или петата хармонична на кварца.

Една оригинална схема на „Overtone“ осцилатор е показана на фиг. 216 в. С една само лампа — двоен триод и кварц 8 мхц, се получава в изхода

144 мгхц. Осцилаторът е настроен на третата хармонична на кварца — 24 мгхц, която след това се умножава 6 пъти в анодния кръг на втория триод.

На края на фиг. 216 г е дадена една твърде сполучлива схема, позната под името „*Phi Overtone*“ осцилатор. Решетъчният кръг е настроен на някакъв нечетен хармоничен брой на кварца (трета или пета), а анодният кръг удвоява тази хармонична. При правилна настройка получената в анода амплитуда дори и на десетата хармонична е достатъчно голяма, за да възбуди едно следващо помощно умножително стъпало.

Схемите с увеличаване на честотата дават по-малка стабилност и при тях са необходими мерки против дестабилизиращите явления. Освен това не всички кварцове могат да резонират на висшите си хармонични. Все пак голямата икономия в броя на умножителните стъпала, която те дават, ги прави единствено приложими в любителските УКВ предаватели.

В кварцовите автогенератори най-често се използват лампите EF80, 6AK5, 6J6, ECC81, като изборът на лампата не е критичен.

### в. Многостъпални УКВ предиватели

Едностъпалните предаватели са подходящи само за портативни, икономични УКВ радиостанции за връзка до няколко километра. Построяването на такъв предавател с по-мощна лампа е неоправдано предвид голямата му нестабилност. Любителски УКВ радиостанции за по-далечни връзки се строят обикновено с няколко умножителни стъпала и възбудител, генериращ някоя крайна на основната честота. Най-често се използва кварцово стабилизирани възбудител, работещ на някоя от схемите на фиг. 216. В краен случай може да се употреби и възбудител от LC тип с възможно най-голяма стабилност. За да се постигне това, честотата му трябва да бъде ниска — до 4 мгхц. С това обаче, освен че се усложнява предавателят с много умножителни стъпала, но и се стига догам, че един относително стабилен възбудител примерно на 4 мгхц след няколко умножавания води до твърде нестабилен изход на 144 мгхц.

Кварцовият осцилатор е най-сполучливото разрешение на възбудителя за УКВ предавател. След като се превъзмогне единствената трудност — намирането на подходящ кварц с нужната честота, се получава възможността за построяване на осцилаторно стъпало от най-прост вид и с най-висока стабилност. За улеснение при избора на честотата на кварца на табл. 42 са дадени онези изходни честоти, от които с посочените умножавания може да се достигне до 144 мгхц (евентуално оттам с утрявяване до 430 мгхц).

На фиг. 217 а е показана блоковата схема на един многостъпален предавател на 144 мгхц с кварцова стабилизация на честотата. Най-удобна честота на кварца е 8 мгхц. Чрез „*Overtone*“ осцилатор с утрявяване получаваме 24 мгхц, с които възбудяваме две умножителни стъпала. Второто, което работи на утрявяване, е противотактно, улесняващо пресейването на четните хармонични и пропускането на нечетните. То изпълнява същевременно и ролята на драйвер, даващ необходимата мощност за възбудяване на крайното стъпало. Пълната схема на този предавател е дадена на фиг. 217б.

Използването на подобна схема води до значително повишаване на качествата на УКВ предавателя. Умножителните стъпала дават възможност осцилаторът да работи на по-ниска честота, с което се повишава стабилността на предавателя. Умножителното стъпало работи със значителна разлика в резонансната честота на решетъчния и анодния кръг, което го предпазва от самовъзбуждане. Все пак при честоти над 50 мгхц е необходимо вземането на

Честота на кварца (мгхи)	I стъпало		II стъпало	
	удвояване	утрояване	удвояване	утрояване
0,592—0,6	—	1,778—1,8	—	5,33—5,4
0,89—0,9	—	2,67—2,7	—	8—8,11
1,15—1,17	5,76—5,84 (x5)	—	28,8—29,2 (x5)	—
1,33—1,35	—	4—4,05	—	12—12,6
1,77—1,8	—	5,33—5,4	—	16—16,2
1,92—1,94	9,6—9,72 (x5)	—	48—48,6 (x5)	—
2,00—2,027	—	6—6,08	—	18—18,25
2,28—2,32	16—16,2 (x7)	—	—	48—48,6
2,57—2,62	18—18,25 (x7)	—	36—36,5	—
2,67—2,70	—	8—8,11	—	24—24,3
3,00—3,04	—	9—9,125	18—18,25	—
3,20—3,24	16—16,2 (x5)	—	—	48—48,6
3,43—3,47	24—24,3 (x7)	—	—	72—73
3,60—3,65	18—18,25 (x5)	—	36—36,5	—
4,00—4,05	—	12—12,6	—	36—36,5
4,50—4,56	9—9,125	—	18—18,25	—
4,80—4,86	24—24,3 (x5)	—	—	72—73
5,14—5,22	36—36,5 (x7)	—	72—73	—
5,33—5,40	—	16—16,2	—	48—48,6
5,76—5,84	28,8—29,2 (x5)	—	144—146 (x5)	—
6,00—6,08	—	18—18,25	36—36,5	—
6,86—6,95	48—48,6 (x7)	—	—	144—146
6,20—7,30	36—36,5 (x5)	—	72—73	—
8,00—8,11	—	24—24,3	—	72—73
9,00—9,125	18—18,25	—	36—36,5	—
9,60—9,72	48—48,6 (x5)	—	—	144—146
10,28—10,42	72—73 (x7)	—	144—146	—
12,00—12,20	—	36—36,5	72—73	—
14,40—14,60	72—73 (x5)	—	144—146	—
16,00—16,20	—	48—48,6	—	144—146
18,00—18,25	36—36,5	—	72—73	—

по-специални мерки, една от които е употребата на подходяща УКВ лампа (напр. ГУ32 на фиг. 217).

На фиг. 218 е дадена пълната схема на един УКВ предавател за 144 мгхи, в който осцилаторната честота е избрана по-ниска — 4 мгхи, поради по-голямата стабилност на такъв кварц. В първите две умножителни стъпала е използван двойният триод ECC81. Третото стъпало работи с ECC81 в симетрично свързване. Преминаването от несиметричния изход към симетричния вход на ECC81 става в кръга  $L_4C_4$ , чийто долен край е заземен чрез симетриращия тример  $C_c$ . Симетрирането става, като с тримера  $C_c$  се получи пълна компенсация на капацитета анод-маса на предната лампа. Разколебаването на крайната лампа се извършва от драйверното стъпало с ECC81, от която се полу-

Таблица 42

III стъпало		IV стъпало		V стъпало	
удвояване	утрояване	удвояване	утрояване	удвояване	утрояване
---	16—16,2	---	48—48,6	---	144—146
---	24—24,3	---	72—73	144—146	---
144—146	(x5)	---	---	---	---
---	36—36,5	72—73	---	144—146	---
---	48—48,6	---	144—146	---	---
---	144—146	---	---	---	---
36—36,5	---	72—73	---	144—146	---
---	144—146	---	---	---	---
72—73	---	144—146	---	---	---
---	72—73	144—146	---	---	---
36—36,5	---	72—73	---	144—146	---
---	144—146	---	---	---	---
144—146	---	---	---	---	---
72—73	---	144—146	---	---	---
72—73	---	144—146	---	---	---
36—36,5	---	72—73	---	144—146	---
144—146	---	---	---	---	---
144—146	---	---	---	---	---
---	144—146	---	---	---	---
---	---	---	---	---	---
72—73	---	144—146	---	---	---
---	---	---	---	---	---
144—146	---	---	---	---	---
144—146	---	---	---	---	---
72—73	---	144—146	---	---	---
---	---	---	---	---	---
---	---	---	---	---	---
144—146	---	---	---	---	---
---	---	---	---	---	---
---	---	---	---	---	---
144—146	---	---	---	---	---
---	---	---	---	---	---
---	---	---	---	---	---
144—146	---	---	---	---	---

чават около 2,5 *вт* — достатъчни за възбуждането на ГУ32. Драйвериото стъпало работи като нормален кл. С усилвател на 144 *мгхц*, докато умножаването се извършва в предните маломощни стъпала. Това се прави с цел да може по-лесно и с по-малки загуби да се възстанови намалената амплитуда при умножаването на *вч* напрежение.

Като подходящи модерни лампи за усилвателните стъпала на УКВ могат да се посочат: 6AK5, 6J6, ECC81, 6Н1П, 6Ж1П и др.

Крайното стъпало независимо от неговата мощност най-често се оформя като отделна група, свързана индуктивно с възбудителя чрез симетричен кабел. С това се избягва неминуемото самовъзбуждане при работата на два усилвателя на 144 *мгхц* (6J6 и ГУ32) върху общо шаси. За получаване на до-









статъчна мощност и добър КПД мощното стъпало на 144 мГц работи на двупроводни резонансни линии и е монтирано с висококачествени изолационни материали. Лампата ГУ32 работи като усилвател кл. С с автоматично преднапрежение. При нужда може да се приложи неутрализация — слаба капацитивна връзка чрез външни, доближени до лампата проводници.

Всички останали особености на предавателя — модулация, телеграфна манипулация, контролиране на токове и напрежения и т. и., са същите, както и в късовълновите любителски предаватели.

Една практическа схема на УКВ предавател за 430 мГц е дадена на фиг. 219. Лампата EF80 работи като кварцов осцилатор на 8 мГц. Кръгът в анода е настроен на третата хармонична. Симетризирането тук се извършва чрез индуктивна връзка между несиметричния и симетричния кръг. Драйверът и крайното стъпало са монтирани на отделно шаси от възбудителя.

Като УКВ крайни лампи могат да се посочат съветските ГУ32 и ГУ29, европейските QQE03/12, QQE03/20, QQE06/40, както и някои по-стари, като LD1, LD2, LD5, LD15, RD12 T1 и др.

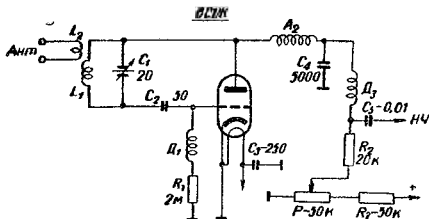
### 3. УКВ приемници

Сравнявайки работата на УКВ с тя при обикновените радиочестоти, се вижда, че особеностите на ултракъсите вълни са дали своето отражение върху методите и средствата за осъществяване и на радиоприемните устройства. Наистина двата основни вида приемници — с пряко усилване (линейни) и с преобразуване на честотата (суперхетеродинни) съществуват и тук, макар и значително видоизменени. Недостатъците на всеки от тези два вида приемници се проявяват при УКВ с още по-голяма сила. Така избирателността и усилването на линейните приемници се влошават с покачването на честотата поради намаления качествени фактор на кръговете. Същото важи и за суперите, при които се усилва и влиянието на отдалените честоти.

На УКВ не е възможно използването на обикновения принцип на приемане с пряко усилване и решетъчна детекция с обратна връзка. Този детектор, използван твърде много в малките любителски приемници на средни и дълги вълни, се характеризира с голяма чувствителност само в непосредствена близост до точката на поразяване на осцилации. Областта на максимална чувствителност обаче е твърде тясна и встрани от нея чувствителността рязко спада или възникват осцилации. В режим на осцилации регенеративният детектор не загубва чувствителността си, но предизвиква изкривяване на приемния сигнал вследствие наслагването на носещата честота на сигнал с тая на собствения осцилатор. В резултат на наслагването се получават биения с тонова честота и премоането на модулирани сигнали става почти невъзможно. В този режим регенеративният детектор е удобен за приемане на немодулирани телеграфни сигнали, които се чуват с честота на тона, равна на разликата между входящата и собствената честота. Регенеративният детектор, доведен чрез обратната връзка съвсем близо до критичната точка на възникване осцилации, е твърде нестабилен. Най-малките изменения в честотата на входящия сигнал или в параметрите на кръговете и лампите могат да доведат до изместване от критичната точка в една или друга страна. Нестабилността расте с повишаване на честотата, което ограничава приложението на регенеративния принцип на приемане и го прави невъзможно в обхвата на УКВ.

## а. Свръхрегенеративно приемане

При УКВ недостатъците на регенеративния детектор могат да се избягнат при използването на свръхрегенеративния принцип на приемане. При него обратната връзка се прави достатъчно силна, така че лампата работи в режим на осцилации. Самовъзбудянето обаче има прекъсващ се характер, което се постига с помощта на подадено от един помощен генератор напрежение със



Фиг. 220. Свръхрегенеративен детектор със самогасене за 144 мГц

$D_1, D_2$  — 50 нав ПЕЛ-0,3, върху съпротивление  $1/2$  вт;  $D_1$  — 80 мкн;  $L_1$  — 8 нав посребрен меден проводник 2 мм, вътрешен диаметър 14 мм, дължина 12 мм;  $L_2$  — 1 нав посребрен меден проводник 2 мм, вътрешен диаметър 12 мм

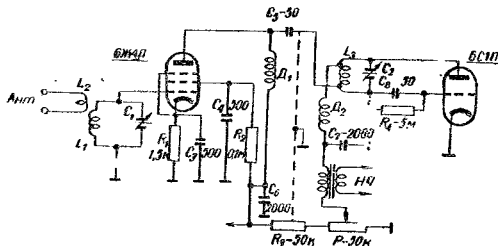
свръхзвукова честота, което периодически прекъсва или допуска възстановяване на осцилациите. Това помощно напрежение, наречено **гасяща или прекъсваща честота**, може да бъде получено както отделно — схеми с отделен източник на гасящата честота, така и в същото стъпало — схеми със самогасене.

Схемите с отделен източник на гасящата честота почти не се използват в практиката. На фиг. 220 е дадена схемата на един най-прост свръхрегенеративен приемник за 144 мГц. Прекъсващата честота се получава чрез подходящ подбор на  $R_1$  и  $C_2$  — тяхната времекоинстантна определя и честотата на прекъсванията. Последната обикновено се избира в границите от 20 до 200 кГц. Тя трябва да отговаря на условията, от една страна, да бъде над звуковия обхват, а от друга — да бъде значително по-ниска от честотата на приемания сигнал. Последното условие ограничава използването на свръхрегенеративния детектор за по-ниски честоти (напр. средни или къси вълни).

При липса на сигнал колебанията на свръхгенератора периодически увеличават и намаляват амплитудата си в такт с гасящата честота, при което формата и амплитудата на колебанията остават постоянни. Ако във входа се подаде немодулиран сигнал, амплитудата и формата на колебанията се видоизменят, но все пак остават постоянни и след детектора не се чува никакъв тон. При модулиран сигнал амплитудата на колебанията се мени в съответствие с обвивката на входящия сигнал и след детекцията се получава звукова честота.

При свърхрегенератора се получава много голямо усилване — чувствителността му при добре подбрани режим може да достигне 2—3 *мкс*. Поради голямата чувствителност термичните флукутации при липса на сигнал се усилват толкова много, че се чуват като характерен шум (съскане). То изчезва само при подаване на сигнал, с честотата на който е настроен входният кръг.

Режимът на възбуждане на генерации се подбира с потенциометъра *P* — 50 *ком*, или чрез изменение на обратната връзка с помощта на кондензатор



Фиг. 221. Свърхрегенеративен детектор за 144 *мгхц* с високочестотно предусилвателно стъпало

между решетка и маса. Отделеният в анодната верига *нч* сигнал се подава по-нататък за усилване.

Като предимства на свърхрегенератора могат да се изтъкнат още възможността за приемане на честотномодулирани колебания, ограничаването на импулсните смущения и голямата му простота. Последното го прави твърде удобен за портативни и икономични любителски и други радиоприемници и приемопредаватели.

Свърхрегенераторът притежава и сериозни недостатъци — твърде широка пропускана лента, силно излъчване, смущаващо съседните приемници, и невъзможност за приемане на немодулирани телеграфни сигнали.

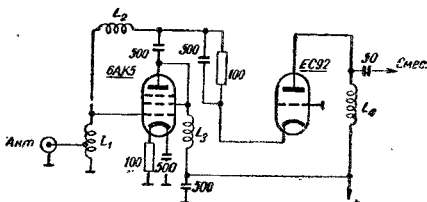
За да се намали излъчването чрез антената, преди свърхрегенератора се поставя едно *вч* усилвателно или преобразователно стъпало. В последния случай се получава възможност за приемане на немодулирани сигнали чрез втори осцилатор към междинночестотната част. Подобрява се също и избирателността на приемника, въпреки че междинната честота не може да се приеме по-ниска от 20 до 30 *мгхц*, за да не се намали чувствителността на свърхрегенератора.

Схема на свърхрегенеративен детектор с *вч* предусилвателно стъпало е показана на фиг. 221. Данните за дроселите и бобините са същите както на фиг. 220. Връзката между двете стъпала е капацитивна ( $C_5$ ) чрез малка част от навивките на  $L_3$ , за да не се внася голямо затихване в кръга  $L_3C_2$ . За избягване на самовъзбуждането на усилвателното стъпало необходимо е щателно скриниране и рационален монтаж.

Горните две схеми на свърхрегенеративни детектори могат да се изпълняват като приставки и да се включат към *НЧ* част на какъвто и да е приемник.

### 6. Суперхетеродинни УКВ приемници

За да се получи по-ниско ниво на шума, УКВ преобразователите обикновено работят на пентоди или триоди със събирателно смесване. С цел да да се повиши усилването и да се намали влиянието на антената върху соб-



Фиг. 222. Високочестотен усилвател за 144 мГц  
в каскодно свързване

$L_1$  — 5 нав посребрен меден проводник 1 мм, вътрешен диаметър 16 мм, дължина 18 мм без тяло;  $L_2$  — 9 нав ПЕЛ-0,6, на тяло с диаметър 6 мм;  $L_3$  — 10 нав посребрен меден проводник 1 мм, вътрешен диаметър 6,5 мм, дължина 6,5 мм без тяло

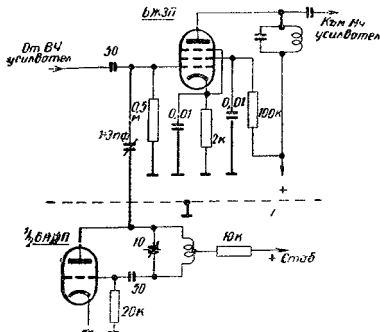
ствения осцилатор в повечето случаи се предвижда и *вч* усилвателно стъпало. Това стъпало при по-ниските честоти от метровия обхват може да бъде изпълнено на пентод с голяма стръмност и малки междueleктродни capacitети (напр. 6Ж4П, EF80 и др.). На любителските обхвати 144 мГц и особено 420 мГц големият собствен шум на пентодите ги прави неприложими. За тези честоти най-подходящи са триодните усилватели. Поради големия им преходен капацитет обаче те са склонни към самовъзбуждане, за което се използват в т. нар. *каскодно свързване*. (Усилвател със заземен анод, последван от усилвател със заземена решетка.) Такова стъпало на 144 мГц дава усилване от порядъка на 2—3 пъти. Най-често се използват двойни триоди като 6НЗП, ECC81, ECC85, E88CC. Много добри резултати дава същата схема с пентода 6AK5 (в триодно свързване) и триода EC92 (фиг. 222).

УКВ смесителите са, както казахме, събиратели — еднорешетъчни. В метровия обхват все още могат да се използват пентодни смесители, като сигналът от собствения осцилатор и от входа се подава на първата решетка. Преобразовател за 144 мГц с такъв вид смесване е даден на фиг. 223. За по-високи честоти още по-добре е триодното смесване, като целият преобразовател може да се изпълни с един двоен триод.

Собственият осцилатор в любителските приемници може да бъде стабилен LC-генератор, който работи или направо на необходимата собствена честота, или още по-добре на някоя нейна субхармонична. В последния случай

стабилността се повишава значително, а необходимата честота се получава чрез едно или две умножителни стъпала.

Употребата на кварц, естествено, дава най-добра стабилност на собствения осцилатор. И в такъв случай се налагат няколко умножителни стъпала, тъй като кварцови кристали на 30—40 мГц изобщо не се използват. Схемата



Фиг. 223. Преобразователи стъпало за 144 мГц  
с пентодио смесване

на триоден преобразовател с кварцово стабилизиран собствен осцилатор може да се види от фиг. 224

Изборът на междинната честота се затруднява твърде много от двете противоречиви изисквания, които при УКВ важат с още по-голяма сила: от една страна, стесняване на пропускателната лента и повишаване на усилването се получават при по-ниска междинна честота, а от друга — огледалните честоти могат да бъдат достатъчно потиснати само при висока междинна честота. Преодоляването на това противоречие и тук изисква или някакво компромисно разрешение при избора, или още по-добре — въвеждането на двойно преобразуване на честотата.

При единично преобразуване оптималната величина на междинната честота е в границите от 5 до 10 мГц. Често в радиолобителските УКВ приемници се използват готови междинни трансформатори за 10,7 мГц, която честота е възприета почти навсякъде за концертните УКВ/ЧМ приемници. На фиг. 224 е дадена пълната схема на любителски УКВ приемник за 144 мГц с единично преобразуване на честотата, а на фиг. 225 — също такъв приемник с двойно преобразуване.

Схемата от фиг. 225 представя интересна комбинация на УКВ суперхетеродинен приемник със свръхгенеративен детектор. Първата междинна честота







е от порядъка на 1,5 — 4 мГц и се усилва от едно стъпало с EF80. За по-ефективно потискане на отледалните честоти и за добра работа на свърхрегенеративния детектор втората междинна честота е избрана висока — около 22 мГц. Първият смесител е събирателен, а вторият — умножителен, работещ на хептода 6Н90. Свърхрегенеративният детектор работи по схема с отделен източник на гасещата честота (ЕС92). С използването на свърхрегенеративен детектор се постига твърде висока чувствителност на приемника. Режимът на свърхрегенератора се регулира с потенциометъра 100 ком, чрез който се поддържа точката с най-висока чувствителност.

### в. УКВ конвертерни

Суперхетеродинните УКВ приемници нямат особени различия в междинночестотната, детекторната и нискочестотната част от обикновените любителски и концертни приемници на АМ. Това дава възможност при приемане на УКВ да бъде използван нормален КВ приемник и една преобразователна приставка — конвертер, чиято „междинна“ честота да попада в някои от обхватите на приемника. По такъв начин се получава УКВ супер с двойно преобразуване. Първата междинна честота — тази на конвертера — се избира висока (от порядъка на 10 мГц), а втората обикновено е ниска. С това се разрешава и въпросът за отслабването на отледалните честоти. Чувствителността се повишава, особено ако в конвертера се предвиди и усилвател или усилвател на междинна честота.

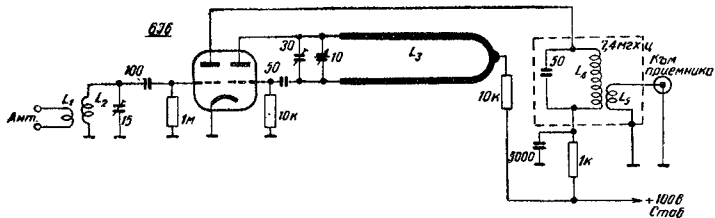
Най-трудният проблем при УКВ конвертерите е начинът за настройка в приемния обхват. Качествените конвертери трябва да имат стабилна честота на собствения осцилатор, който най-често е с кварцова стабилизация. Тогава за различните точки по обхвата МЧ на конвертера е различна и се налага настройка и на основния приемник. В по-простите конвертери собственият осцилатор е променлив и се настройва или само той, или съвместно с входните кръгове. Тук МЧ е постоянна и манипулирането с приемника се опростява.

На фиг. 226 е представен един конвертер от най-прост тип. За преобразовател се използва двойният триод 6J6 — едната система за смесител, а другата за осцилатор. Смесването е еднорешетъчно, без външна връзка между осцилатора и входа — за връзка се използват вътрешните капацитети на лампата.

Особено в тази схема е, че входният кръг е настроен на една постоянна честота, напр. в средата на обхвата (145 мГц). Променлив е само осцилаторът, при което поради широката пропускателна лента на входния кръг сигналът претърпява слабо затихване в двата края на обхват. При това положение получената междинна честота е постоянна и основният приемник може да бъде настроен веднъж завинаги на тази честота.

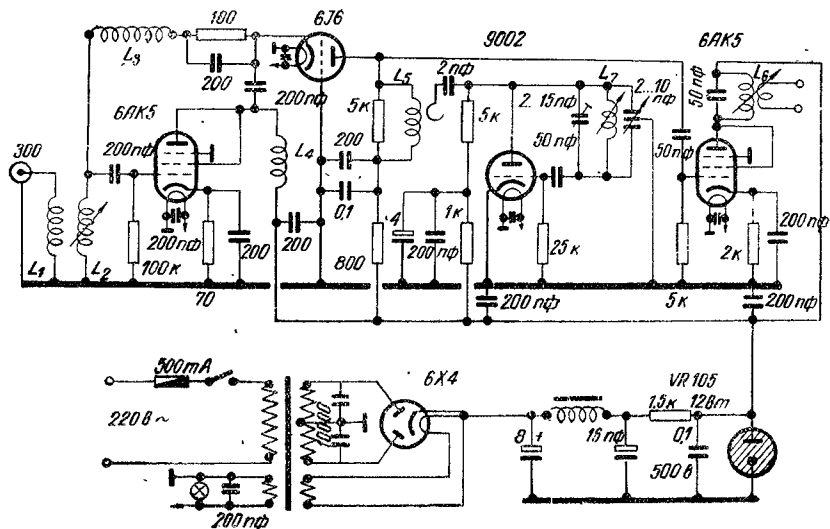
Към този преобразовател може да се прибави както 6ч усилвателно стъпало (пентод или каскодно стъпало), така и усилвател на междинната честота (фиг. 227). Схемата на конвертер за 420 мГц с усилвател на междинната честота е дадена на фиг. 228. В случая се настройва както осцилаторът, така и входният кръг, което позволява да се постигне по-равномерно усиление на целия обхват. Връзката между осцилатора и входа е индуктивна с  $L_3$  и  $L_4$ . Предвидено е и регулиране на усиляването по междинна честота чрез изменение на преднапрежението на EF80.

В разглежданите дотук схеми междинната честота остава постоянна, а настройката се извършва с промяна на осцилаторната честота. В по-качествено

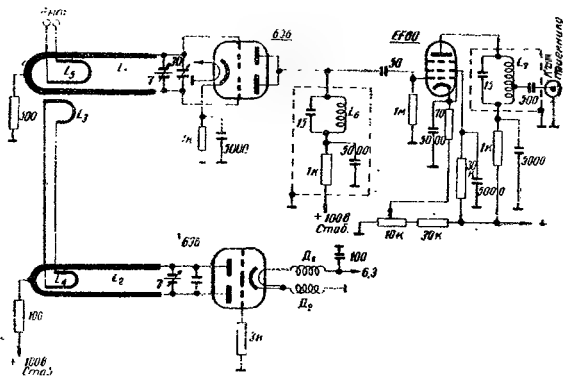


Фиг. 226. УКВ конвертер за 144 мГц с една лампа

$L_1$  — 2 нав меден посребрен проводник с диаметър 2 мм, вътрешен диаметър 14 мм;  $L_2$  — 2 нав меден посребрен проводник с диаметър 2 мм, вътрешен диаметър 16 мм, дължина 12 мм;  $L_3$  — 2 броя посребрен меден проводник 3 мм, ширина 12 мм, дължина 25 мм;  $L_4$  — 22 нав ПЕЛ-0,7, на тяло с диаметър 12 мм;  $L_5$  — 5 нав ПЕЛ-1,2, към „студения“ край на  $L_4$



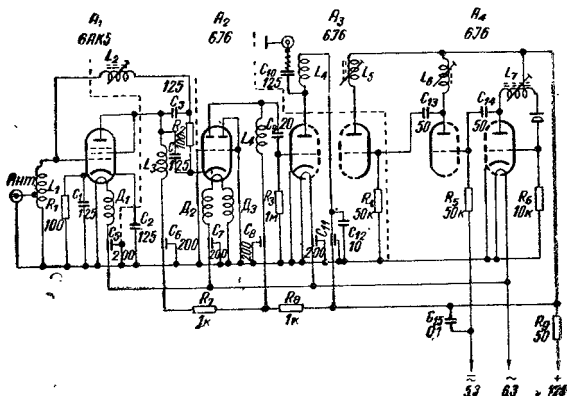
Фиг. 227. УКВ конвертер за 144 мхц



Фиг. 228. УКВ конвертер за 420 мГц

ните конвертери собственият осцилатор работи на фиксирана честота с кварцова стабилизация, а получената междинна честота е променлива. Тук настройката се извършва с основния приемник, а входните кръгове на конвертера най-често са фиксирани (широколентови). Нерядко се използва и отделна настройка на входните кръгове, което подобрява равномерността на усилването и избирателността.

На фиг.229 е показана схемата на един висококачествен конвертер за 144 мхц. Собственият осцилатор работи с кварц 7 мхц, като чрез неколжкратно умножаване се получава необходимата честота 140 мхц. Междиниата честота е 4 мхц — тя може да бъде приложена към всеки качествен любителски КВ приемник и да се получи напълно удовлетворителна чувствителност.



Фиг. 229. Конвертер за 144 мхц с кварцово стабилизиран осцилатор

$L_1$  — 5 нав посребрен меден проводник с диаметър 1,5 мм с отклонение на  $1\frac{1}{2}$  нав от долния край; тяло с диаметър 12 мм, дължина на намотката 10 мм;  $L_2$  — 7,5 нав ПЕЛ-0,75, тяло с диаметър 8,5 мм с жел. сърце, дължина 19 мм;  $L_3$  — 4 $\frac{1}{4}$  нав посребрен меден проводник с диаметър 1,5 мм, тяло с диаметър 12 мм, дължина 12 мм;  $L_4$  — 4 $\frac{1}{4}$  нав посребрен меден проводник с диаметър 1,5 мм, тяло с диаметър 12 мм, дължина 12 мм;  $L_5$  — 4 нав ПЕЛ-0,75, тяло с диаметър 8,5 мм с жел. сърце, дължина 11 мм;  $L_6$  — 9 нав ПЕЛ-0,75 върху тялото на  $L_5$ , дължина 18 мм;  $L_7$  — 16 нав ПЕЛ-0,2 с отклонение на 4 нав от решетъчния край, тяло с диаметър 8,5 мм с жел. сърце

## Девета глава

# ТЕЛЕВИЗИЯ

### 1. Схема на съвременна система за телевизионно предаване и приемане

Блоковата схема на съвременна система за телевизионно предаване е дадена на фиг. 230.

Посредством обектива предаваният образ бива проектиран на фоточувствителната повърхност на предавателната електроннолъчева тръба. Върху тази повърхност се образува така нареченият потенциален релеф на електрически заряди, като потенциалът на всяка точка от фоточувствителната повърхност се определя от разпределението на светлите и тъмните места на предавания образ.

С помощта на генераторите за хоризонтално и вертикално отклонение се осъществява преместването на електронния лъч върху фоточувствителната повърхност на предавателната тръба, в резултат на което образът се разлага на отделни точки, които се превръщат в електрически сигнали.

Върховата стойност на тези сигнали е пропорционална на осветеността на дадената точка от предавания образ.

Сигналите на образа, които възникват на изхода на предавателната тръба, постъпват във видеоусилвателя и след усиляването им модулират телевизионния предавател и се излъчват в пространството.

За звуковия съпровод на телевизионното предаване се използват микрофон, усилвател и предавател на звука, който работи заедно с телевизионния предавател на обща антена.

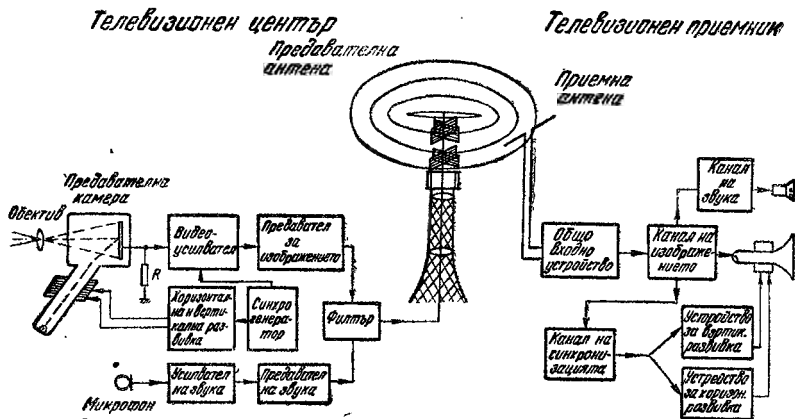
В мястото на приемането след подходящо усиляване в усилвателя електрическите сигнали се подават на приемната електроннолъчева тръба, която ги превръща в светлинни точки.

Главният елемент на телевизионния приемник е приемната електроннолъчева тръба.

С помощта на сигналите за хоризонтално и вертикално отклонение, подавани от устройството за отклонение на електронния лъч, образът се разлага на отделни редове, съвкупността на които образуват телевизионния растер.

В предавателната тръба, където електронният лъч разлага образа, и в приемната тръба, където електронният лъч рисува образа, се спазва една и съща последователност. И в двете електроннолъчеви тръби електронният лъч се премества равномерно отляво надясно в хоризонтално направление и като изчертава всички редове, мигновено се връща в изходното положение.





Фиг. 230. Блокова схема на съвременна система за телевизионно предаване и приемане

За осигуряване на твърда връзка между двата електронни лъча се използват синхронизиращите импулси, излъчвани заедно със сигналите за образа

## 2. Телевизионен предавател

Конструктивното оформление и схемата на телевизионния предавател се различават от тези на обикновеното радиоразпръскване по различието в характера на предаваните сигнали и използването на различни видове дължини на вълни.

В телевизионния предавател, предпазнен за предаване на сигналите за образа, се използва амплитудната модулация на високочестотните колебания.

Честотният спектър на предавания телевизионен сигнал заема лента от няколко херца до 5—6 МГц. В практиката използваната носеща честота е няколко пъти по-висока от модулиращата такава. Това условие е необходимо щото предаваният сигнал да се отдели неизкривен в приемника. За телевизионното предаване не могат да се използват примерно късите вълни от 19-метровия диапазон по редица съображения. Главното съображение е свързано с характера на разпространение на късите вълни, които притежават свойството да се отразяват от йоносферата. В мястото на приемането късите вълни пристигат по два различни пътя — като земни и отразени вълни. Поради това сигналите, приети от антената на приемника, се различават както по фаза, така и по амплитуда, като се изменят непрекъснато в резултат на изменението на височината на отражаващата йоносфера и нейните електрически свойства. Ето защо както амплитудата, така и фазата на отразената вълна се изменят през време на приемането. Приетите телевизионни сигнали, изминали различни пътища, създават на екрана на телевизора няколко разместени образа.

Освен това използването на късите вълни за телевизионни предавания изисква да се използват няколко телевизионни станции, които биха заели целия телевизионен обхват, в който работят хиляди радиоразпръсквателни предаватели. Това е наложило телевизионните предавания да се провеждат на ултракъси вълни, макар че тяхното разпространение е ограничено до няколко десетки километра.

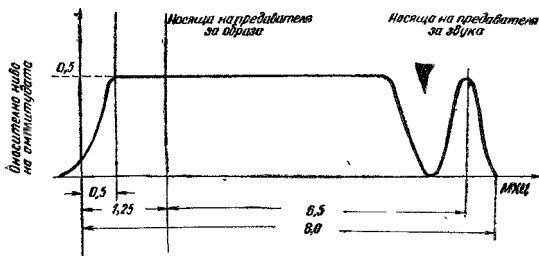
В мястото на приемането при ултракъсите вълни се различава единствено на земните вълни, които се разпространяват почти праволинейно над земната повърхност.

Засега сигурно и качествено приемане на телевизионните радиостанции може да се осъществи на едно разстояние около 70—80 км.

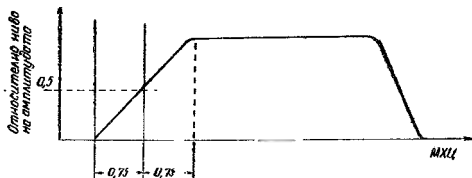
Общата честотна лента при амплитудна модулация на носещата честота на сигналите за образа съставлява около 12 МГц, но в системите с частично потискане на едната странична лента почти двойно се намалява общата честотна лента, както е показано на фиг. 231.

Практически не е възможно да се направи рязко потискане на едната странична лента. Филтърът, който се използва за тази цел, няма рязък спад и пропуска частично третенията на долната странична лента. За да се приеме образът неизкривен, необходимо е кривата на избирателността на приемника да има вид, подобен на фиг. 232.

В практиката са намирали приложение главно два вида блокови схеми на телевизионни предаватели. В единия вид схема умножението на честотата и усиляването на високочестотните сигнали до крайното стъпало се извършва в теснолентови усилватели, като модулацията се осъществява в решетъчния кръг на крайното стъпало. В другия вид схема модулацията се извършва в



Фиг. 231. Обща честотна лента, заемана от телевизионния канал



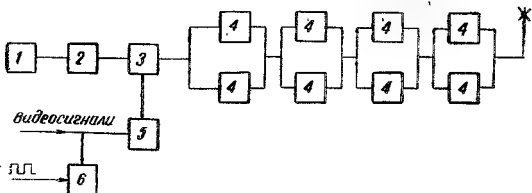
Фиг. 232. Форма на честотната характеристика на 4 усилвател в едноканален приемник

първите маломощни стъпала — усилвател на височестотни колебания, след което следват няколко мощни широколентови височестотни усилватели.

Когато модулацията се извършва в крайното стъпало, всички предшествуващи стъпала се явяват ефективни, що се отнася до използването на източника на електрозахранването, но се изисква твърде мощен модулиращ усилвател.

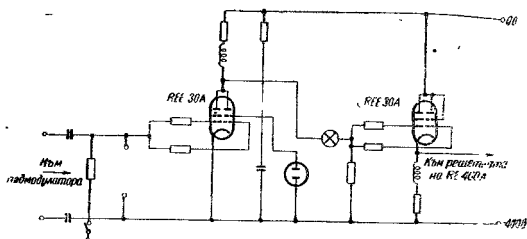
Понастоящем е намерила голямо приложение схемата, при която модулацията става в едно от първите стъпала, както е показано на фиг. 233. При тази схема предавателят има висок коефициент на полезно действие.

В по-голямата част от действащите телевизионни предаватели се използва решетъчна модулация. Най-често се срещат модулатори на телевизионните предаватели, изпълнени от широколентов видеоусилвател, устройство за възстановяване на постоянната съставна на телевизионните сигнални и модулиращо стъпало.

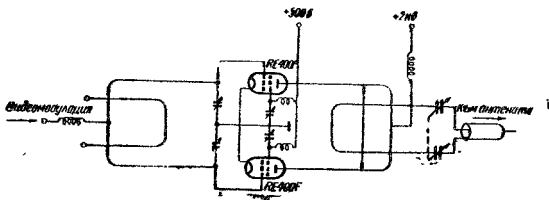


Фиг. 233. Блокова схема на телевизионен предавател

1 — генератор за висока честота; 2 — умножител; 3 — модулатор; 4 — мощен широко-  
лентов усилвател; 5 — видеоусилвател; 6 — устройство за възстановяване  
на постоянната съставка



Фиг. 234. Опростена схема на модулатор



Фиг. 235. Опростена схема на мощно стъпало

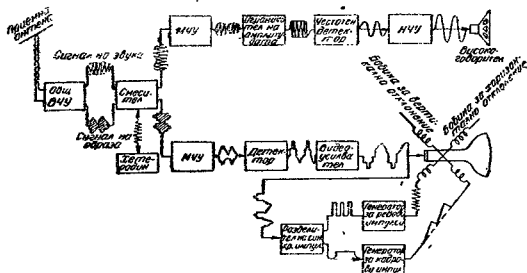
На фиг. 234 е дадена опростената схема на модулатор, а на фиг. 235 — на мощното стъпало.

### 3. Телевизионни приемници

#### а. Схеми

Телевизионните приемници се строят по суперхетеродинната схема и по линейна схема. Суперхетеродинните схеми позволяват да се получат добра избираемост и голямо усиление. Освен това у тях пренастройката от една вълна на друга е много лесна.

Когато приемникът се пресмята за приемане на достатъчно силни сигнали и въпросите за чувствителността и избиращителността не играят съществена роля,



Фиг. 236. Опростена блок-схема на телевизионен суперхетеродинен приемник

предпочита се линейната схема. Опростената блок-схема на телевизионен суперхетеродинен приемник е дадена на фиг. 236. Тази схема съдържа високочестотен блок, канал за образните сигнали, канал за звуковия съпровод, канал за синхронизиращите сигнали и блок за развивките. За антена обикновено се използва полувълнов вибратор.

Сигналите на образа и звука, приети от антената, попадат на усилвателя за висока честота, който заедно с усиляването предварително филтрира приетите сигнали от смущенията. По-нататък усилените сигнали съвместно със сигналите от местния хетеродин попадат на входа на смесителя. Съгласно телевизионния стандарт разликата на носещата честота на звуковия съпровод и сигналите на образа е 6,5 мхц. Хетеродинът и смесителят са общи за сигналите на образа и звука. Носещата честота на звуковия съпровод е по-висока от носещата честота на образа. В анодната верига на смесителя заедно с комбинационните честоти се образуват междинните честоти на образа и звука, равни на разликата между честотите, съответстващи на сигналите в ефира, от една страна, и честотата на хетеродина, от друга. Описаната

част от приемника, която предварително отделя, усилва и трансформира сигнала в междинна честота, се нарича високочестотна част.

По-нататък приетите сигнали се разделят на два канала: канал на звука и канал на образа. На този принцип понастоящем не се строят приемници.

В новите схеми разделянето на двата канала се извършва след детектора.

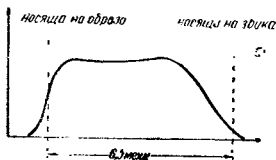
Каналът на звука е построен по схема на обикновен приемник с честотно модулирани сигнали с девиация  $\pm 75$  кхц. Сигналите на звука първоначално се усилват по междинна честота, след което се детектират, после се усилват по ниска честота и попадат на високоговорителя.

Каналът на образа се състои от усилвател на междинна честота, детектор и усилвател. От изхода на високоговорителя сигналите на образа попадат на управляващия електрод на кинескопа.

Детектираните телевизионни сигнали съдържат и сигналите за синхронизацията.

За да се избягнат попадения на сигналите на звуковия съпровод във видеоканала, необходимо е сигналите на звука да имат амплитуда във видеодетектора около 10 пъти по-слаба, отколкото амплитудата на сигналите на образа. Изисканото съотношение на двете амплитуди се достига с избора на специална форма на честотната характеристика (фиг. 237).

Основното отличие на телевизионния приемник от приемника за звука е индикаторната част. Тя се състои от електроиндолъчева тръба, вериги за синхронизация и развивка. Ето защо телевизионният приемник съдържа много повече електронни лампи.



Фиг. 237. Честотна характеристика на ВЧУ

## 6.5 Видеоусилватели

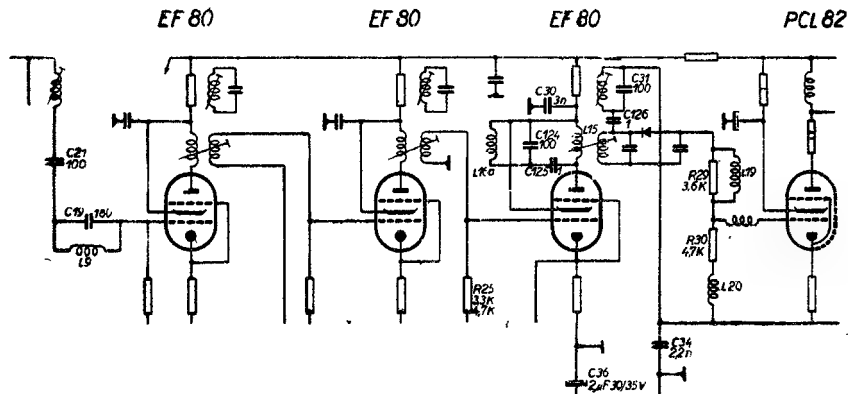
Усилвателите на сигналите на образа или, както ги наричат, видеоусилватели съставляват значителна част от целия телевизионен канал. Те в основни линии определят характера на неговата честотна и фазова характеристика. Видеоусилвателите са последното звено на канала на сигналите на образа.

Главната задача на видеоусилвателите в телевизорите е да се усилят сигналите, получени на изхода на детектора, до ниво, необходимо за получаване на контрастен образ на екрана на телевизора.

Видеоусилвателите трябва да пропускат твърде широка честотна лента от 0 хц до няколко мхц. В практиката е много трудно да се конструира усилвател за такава широка честотна лента, който има повече от едно стъпало. За това се прибегва до използване на усилватели с честотна лента от няколко десетки херца, като възстановяване на постоянната съставна на сигнала става в крайното усилвателно стъпало. Крайното стъпало на видеоусилвателя има нисък изходящ импеданс и работи с кабел с малък капацитет. На фиг. 238 е показана схемата на видеоусилвателя на телевизора „Орион“ 53Т816.

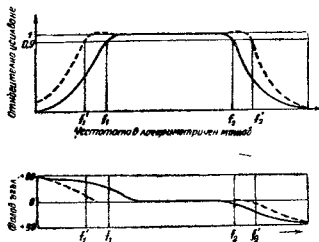
Видеоусилвателят е обикновен лампов усилвател, като принципът на неговата работа е аналогичен на нискочестотните усилватели.

Видеоусилвателите се различават от нискочестотните усилватели по равномерността на честотната характеристика в широка честотна лента, която до-



Фиг. 238. Схема на видеоусилвателя на телевизора „Орион“ 53Т816

стига до няколко мхц. Ширината на пропуснатата честотна лента и нейните граници се явяват условни понятия. Ако се изходи от това, че коефициентът на усиляване на едно стъпало в пределите на пропусканата лента не трябва да пада по-ниско от 90 % от максималното значение, то граничните честоти  $f_1$  и  $f_2$  на пропусканата лента на това стъпало се намират като абсцисни точки



Фиг. 239. Честотна и фазова характеристика на усилвателя без корекция

на честотната характеристика, за които усиляването е 90 % от максималното (фиг. 239). При използването на достатъчно прости схеми за корекция може да се получи десетократно намаление на долната гранична честота  $f_1'$  и около 2 пъти да се увеличи горната гранична честота  $f_2'$  (фиг. 239).

За предаването на образ с 525 линии при формат на кадъра 4:3 и скорост на предаването 30 кадъра в секунда се изисква честотна лента приблизително 4,5 мхц. Болшинството от нискочестотните усилватели имат честотна лента до 10 кхц.

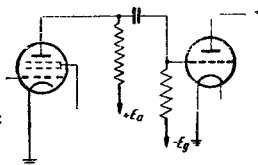
Човешкото око не може да определи с достатъчна точност в широки граници фазовите изкривявания, които за нискочестотните усилватели практически нямат съществено значение. Но за предаване на сигналите на образа фазите на различните честоти имат голямо значение.

За получаване на равномерно усиляване в достатъчно широка честотна лента се използват усилватели със съпротивителна връзка и корекция на честотната характеристика в областта на високите и ниските честоти.

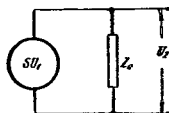
В широколентовите усилватели много често се използват тетроди или пентоди с голяма струмност и малки междueleктродни capacitети. На фиг. 240 е дадена принципната схема на усилвателно стъпало на съпротивителя. Принципът на работа на този усилвател е следният: Ако на решетката на първата лампа се подаде положителен импулс, то анодният ток на лампата расте, вследствие на което се увеличава падението на напрежението  $I_1 R_a$  върху анодното съпротивление. Потенциалът на анода се намалява и възникващият отрицателен импулс постъпва през втория свързващ кондензатор на решетката на втората лампа. Тетродите и пентодите имат голямо вътрешно съпротивление  $R_i$ , което практически винаги е по-голямо от анодното съпротивление



$Z_a$ , благодарение на което може да се счита, че лампата се явява източник на ток  $SU_1$  (фиг. 241), където  $S$  е стръмнината на анодната характеристика на лампата, а  $U_1$  — напрежението на решетката на лампата.



Фиг. 240. Принципна схема на усилвателно стъпало на съпротивления



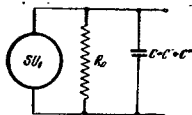
Фиг. 241. Еквивалентна схема на усилвателно стъпало с пентод

За осигуряване на равномерно усилване в достатъчно широка честотна лента е необходимо да се осигури постоянно съпротивление в цялата честотна лента.

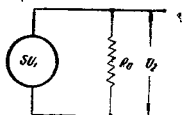
Коефициентът на усилването на стъпалото  $K$ , изпълнено с пентодна лампа, се определя по формулата

$K = S \cdot Z_a$ , а изходящото напрежение —

$$U_2 = KU_1 = SZ_a U_1.$$



Фиг. 242. Еквивалентна схема на усилвател на съпротивления в областта на високите честоти



Фиг. 243. Еквивалентна схема на усилвател на съпротивления в областта на средните честоти

На фиг. 242 е дадена еквивалентната схема на усилвател на съпротивление в областта на високите честоти. При  $R_i \gg R_a$  влиянието на вътрешното съпротивление на лампата не се взема под внимание. В областта на средните честоти може да се пренебрегнат капацитетите  $C$  и  $C'$ , както и делителят  $C_c$  и  $R_c$  и еквивалентната схема придобива вида, показан на фиг. 243.

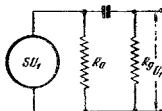
$$\text{Тук } Z_a = R_a; U_2 = S U_1 R_a; K_0 = \frac{U_2}{U_1} = S R_a.$$

В областта на ниските честоти еквивалентната схема придобива вида, показан на фиг. 244.

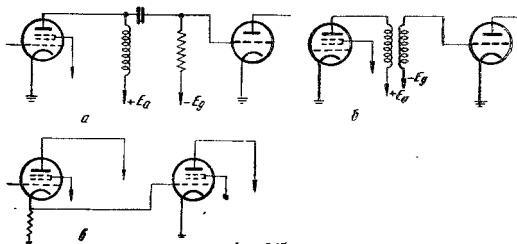
Освен усилвателите на съпротивления в практиката се срещат много типове, които се отличават един от друг по начините на връзката между лампите на отделните стъпала и видовете товари, а именно: усилвател на индуктивен товар (фиг. 245а), трансформаторен усилвател (фиг. 245б), усилвател с катоден товар (фиг. 245в) и др.

Съгласно приведените еквивалентни схеми на усилвателите и честотните характеристики коефициентите на усиление  $K$  и фазовият ъгъл  $\varphi$  за ниските честоти може да се намерят по формулите

$$K = \frac{K_0}{\sqrt{1 + \left(\frac{1}{\omega R_p \cdot C_2}\right)^2}}; \quad \varphi = \arctg \left( \frac{1}{\omega R_p \cdot C_2} \right),$$



Фиг. 244. Еквивалентна схема на усилвател на съпротивления в областта на ниските честоти



Фиг. 245

а — усилвател на индуктивен товар; б — трансформаторен усилвател; в — усилвател с катоден товар

а високите честоти по формулите

$$K = \frac{K_0}{\sqrt{1 + (\omega R_a C_0)^2}}; \quad \varphi = \arctg (\omega R_a C_0),$$

където

$K_0$  — коефициентът на усиление в пределите на средните честоти;  
 $R_p$  — утечното съпротивление;  
 $R_a$  — товарното съпротивление;  
 $C_2$  — преходният кондензатор;  
 $C_0 = C' + C'' = C_a + C_p$ ;  
 $\omega$  — ъгловата честота на усиляването.

От тези уравнения следва, че с увеличение на времеконстантата  $R_p \cdot C_2$  пределите на усилването могат да бъдат разширени в страната на ниските честоти. Посредством намаляването на времеконстантата  $R_a \cdot C_0$  пределите на усилването могат да бъдат разширени в страната на високите честоти. Разбира се, практически желаното изменение на всички споменати параметри в схемата всякога е ограничено от редица обстоятелства. Например много голямото увеличение на утечното съпротивление може да доведе до неустойчива работа и даже до излизане от строя на радиолампи. Увеличение на капацитета  $C_2$  довежда до чувствително увеличаване на утечката, което е нежелано, а също така до увеличаване на паразитния капацитет  $C_0$ . Намаляването на съпротивлението  $R_a$  довежда до съответното намаляване коефициента на усилването на схемата. Паразитният капацитет  $C_0$  при най-добре изпълнен монтаж на усилвателя не може да се намали под определен паразитен капацитет на лампата. Ето защо след необходимото допустимо увеличение на времеконстантата  $R_p \cdot C_2$  и намаляване на времеконстантата  $R_a \cdot C_0$  по-нататъшното разширяване на пределите на хоризонталния участък на честотната характеристика на усилвателя става посредством въвеждане в схемата на усилвателя на допълнителни реактивни елементи. Такъв начин за разширяване на честотната характеристика на усилвателя се нарича корекция на ниските и високите честоти. Често използват едновременно едната и другата корекция. При корекция на честотната характеристика на усилвателя в същото време става и корекция на неговата фазова характеристика. Пример на честотна и фазова характеристика на усилвател с корекция на ниските и високите честоти е показан на фиг. 239.

#### в. Корекция на честотните характеристики в областта на високите честоти и настройка на усилвателите с корекция

В областта на високите честоти се използват схеми за корекция с двуполносници и четириполносници. Усилването  $K$  на стъпало с един усилвател на съпротивление се определя с уравнението

$$K = \frac{R_0 S}{1 + \left(\frac{f}{f_0}\right)^2},$$

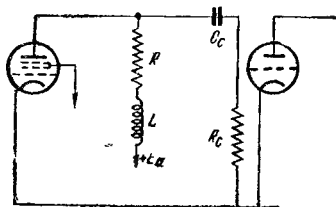
където  $R_0$  е еквивалентното съпротивление (фиг. 242);

$S$  — струмността на лампата;

$$f_0 = \frac{1}{2\pi \cdot \bar{C} R_0} \text{ — критичната честота.}$$

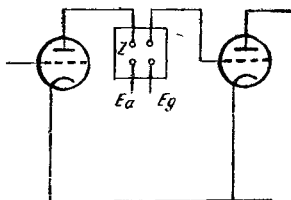
Това уравнение показва, че коефициентът на усилването при критичната честота ( $f_0$ ) пада до 70 % в сравнение с усилването на средните честоти. Така че усилвател, които имат такава честотна характеристика, могат да работят само в обхвата на честотите, значително по-ниски от  $f_0$ . За увеличение ширината на честотната лента се изисква при усилването на видеосигнала честотата  $f_0$  да бъде много по-висока, което се постига с намаляването на анодното съпротивление  $R_a$ . Заедно с това се намалява усилването на средните честоти. Ето защо се налага да се подобри честотната характеристика на усилвателя на високите честоти. Най-простият метод за корекция на характе-

рестивката в областта на високите честоти е включването на малка индуктивност последователно на товарното съпротивление  $R_a$ , както е показано на фиг. 246.



Фиг. 246. Опростена схема за корекция на честотната характеристика в усилвателя на съпротивление с помощта на индуктивност

Усилвателното стъпало на съпротивления с включени добавъчни коригиращи елементи е частен случай на двуполусник, използван в качеството на товар.

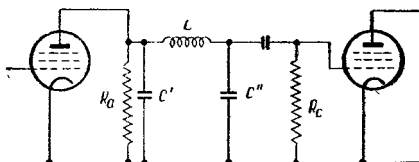


Фиг. 247. Схема на усилвателно стъпало с обобщен двуполусен товар

В практиката тези схеми намират приложение, макар че техният брой не е много голям. Една по-проста схема на усилвателно стъпало с двуполусник, използван като товар, е показана на фиг. 247.

Схемите на междустъпална връзка с четириполусници, макар че имат свои преимущества, поради сложната им настройка се използват по-рядко, отколкото схемите с проста корекция.

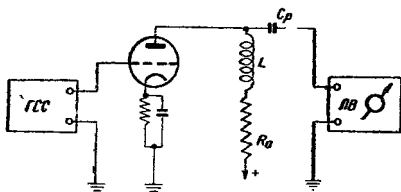
С използваните схеми за междустъпална връзка с четириполусници се получава усилване, от 1,5 до 3 пъти по-голямо, отколкото при схеми, свързани с двуполусници.



Фиг. 248. Схема на сложна корекция на усилвател в областта на високите честоти

На фиг. 248 е показана схема на усилвателно стъпало със сложна корекция на високите честоти.

Горепосочените схеми за проста и сложна корекция на честотните характеристики в областта на високите честоти представляват частни случаи на общи схеми на филтри за ниски честоти.



Фиг. 249. Схема за включване на уреда за настройка на усилвателя с проста корекция

Необходимото усилване на високите честоти се получава, след като са настроен усилвателят с корекция. Настройката на схемите с корекция се свежда до определяне на стойностите на  $C'$  и  $C''$  в схемата. Незвестните в схемата capacitivities  $C'$  и  $C''$  трябва да се компенсират. За настройката на широколензовия усилвател са необходими главно два уреда: генератор на стандартни сигнали (ГСС) и лампов волтмер (ЛВ), включени по схемата, показана на фиг. 249.

В началото се дава на късо анодното съпротивление  $R_A$ , а вместо индуктивността  $L$  се включва в схемата предварително известната индуктивност  $L_{изв}$  и

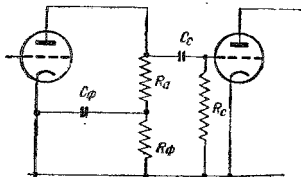
се намира резонансната честота на кръга  $f_{\text{рез}}$ , образуван от  $L_{\text{изв}}$  и  $C$  ( $L_{\text{изв}}$  и  $L$  е необходимо да бъдат от един порядък). По известни  $L_{\text{изв}}$  и  $f_{\text{рез}}$  се определя

$$C = \frac{1}{(2\pi)^2 f_{\text{рез}}^2 L_{\text{изв}}}.$$

След като знаем  $C$ , определяме оставащите елементи в схемата. По-нататък включваме индуктивността  $L$  в анодната верига, чиято стойност трябва да бъде по-голяма от пресметнатата, и определяме при дадено напрежение съпротивлението  $R_a$  честотата на резонанса. След това в схемата се включва съпротивлението  $R_a$  и се измерва честотната характеристика. Ако на високите честоти се наблюдава повдигане на честотната характеристика, трябва да увеличим  $R_a$ , а ако има спад, да се намали  $R_a$ .

### г. Корекция на видеоусилвателите в областта на ниските честоти

Видеоусилвателите трябва да възпроизвеждат добре не само високите честоти, но също така и сигналите, чиито честоти лежат значително по-ниско от честотите на предаваните кадри. Теоретически честотният обхват трябва да стигне до нулева честота. На практика обаче, ако усилвателят добре възпро-



Фиг. 250. Схема на усилвател с честотна и фазова корекция в областта на ниските честоти

извежда честотите, които лежат близо до честотата на кадрите, като най-ниските честоти, съответстващи на средната осветеност, изкуствено бъдат възстановени, то общата грешка, внесена от усилвателя, ще бъде сравнително малка.

Честотните изкривявания в областта на ниските честоти биват предизвикани главно във веригата  $R_c C_c$  (фиг. 250), която представлява от себе си честотино зависим делител на напрежение.

Съществено влияние на формата на сигнала в областта на ниските честоти оказват фазовите изкривявания, които следва да се компенсират. Обикновено честотните и фазовите изкривявания се компенсират с включването в усилвателя на коригираща група  $R_\phi C_\phi$  последователно на анодното съпротивление (фиг. 250). Условието за идеална компенсация е

$$R_\phi C_\phi = R_c C_c \text{ и } R_\phi = \infty.$$

Практически се осигурява компенсация, ако

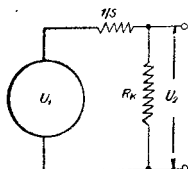
$$R_{\Phi} \geq \frac{10}{2\pi F_1 C_{\Phi}},$$

където  $F_1$  е честотата на повторението на кадрите.

#### д. Стъпало с катоден товар

Стъпалото с катоден товар (катоден повторител) намира най-голямо приложение като изходящо стъпало в широколентовите усилвателни схеми. На фиг. 245 в е дадена неговата принципна схема, а на фиг. 251 еквивалентната му схема. Катодният повторител не е усилвателна схема. Същият даже отслабва подаденото на входа му напрежение.

Отношението на изходящото напрежение  $U_2$  към входящото  $U_1$  определя коефициента на усилване  $K$  на стъпалото:



$$K = \frac{U_2}{U_1}$$

С достатъчна точност коефициентът на усилване на катодния повторител може да се определи от формулата:

$$K = \frac{SR_k}{1 + R_k S}$$

Фиг. 251. Еквивалентна схема на катоден повторител

а изходното съпротивление на стъпалото по формулата:

$$R_0 = \frac{1}{S} K.$$

Пример. Ако приемем  $R_k = 1500$  ом и  $S = 12$  мре, то коефициентът на усилване  $K$  е равен на 0,94; изходното съпротивление  $R_0$  на стъпалото е 94 ом.

Благодарение на малкото изходно съпротивление на катодния повторител същият може да бъде натоварен с доста голям капацитет, без да се влоши честотната му характеристика. Това е наложило в практиката да се използва стъпало с катоден изход там, където товарът е съединителна линия (кабел и др.).

Стъпалото с катоден изход има сравнително много малък входен капацитет, поради което създава сравнително малки нелинейни изкривявания.

#### е. Електронни лампи, използвани във видеоусилвателите

Най-важните параметри, които определят избора на съответната лампа за видеоусилвателите, са стръмността на лампата и нейните междueleктродни капацитети. Критерият за приближената оценка на качеството на дадена лампа,

предназначена за усилване на видеосигналите, може да служи отношението на стръмността към междуелектродните капацитети на лампата. Но тук трябва да се подхожда с известна осторожност, тъй като към ламповия капацитет в реалната схема трябва да се прибави още и капацитетът на монтажа, който намалява усилването на стъпалото. В таблица 43 са дадени технически данни, които позволяват да се определи пригодността на някои типове лампи за работа в схемите на усилватели на съпротивления. В таблицата също така са указани междуелектродните капацитети: решетка-земля, аноди-земля, решетки-анод, както стръмността и вътрешното съпротивление на лампите.

Ако усилването на стъпалото е голямо, също така и входящият капацитет ще бъде голям вследствие на голямата величина на вносните капацитети. Ето защо неправилно е използването на триодни лампи в тези усилватели освен в първите стъпала на видеоусилвателите.

Характеристиките на пентодните лампи са значително по-удовлетворителни. Пресмятането на усилването на единично стъпало позволява да се оцени преимуществото на някои типове лампи. При пресмятането към капацитета на лампата се добавя капацитетът на монтажа, който обикновено съставлява около 5 пф. Резултатите от пресмятането за критичната честота  $f_0$  : 4,5 мгхц са показани на следната таблица:

Таблица 43

Тип на лампата	$G$ в мф	$R$ в ом	Усилване
6С6	16,5	2100	2,6
6AQ5	11,8	3000	15,3
6AC7	21,0	1700	15,1
6AU6	15,5	2300	11,9

Пресмятането на усилването е направено въз основа на следната формула:

$$K = \frac{R_e \cdot S}{\sqrt{1 + \left(\frac{f}{f_0}\right)^2}}$$

където  $R_0$  е еквивалентното съпротивление, състоящо се от паралелно съединените съпротивления  $R$ ,  $R_1$  и  $R_p$ ;

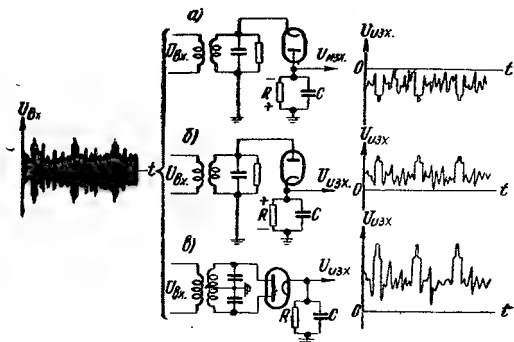
$S$  — стръмността на лампата;

$f_0$  — критичната честота.

### ж. Детектиране

Използуваните методи за детектиране в радиоразпръскването: диодно, решетъчно, анодно и катодно, могат да бъдат използвани и за детектиране на телевизионните сигнали. Разбира се, детектирането на телевизионните сигнали притежава някои специфични особености. Така например при радиоразпръскването отношението  $n$  на носещата честота  $f_{\text{нос}}$  към най-високата честота  $F_2$  е от порядъка на 1000 до 5000, докато при телевизията това отношение е равно на 10 до 30. На фиг. 252 са дадени схемите на диодни детектори, най-често използвани в телевизионните приемници.





Фиг. 252. Схеми за диодни детектори

Детекторът, включен по схемата на фиг. 252а с товарно съпротивление  $R$ , дава позитивни сигнали на образа, т. е. такива сигнали, които при увеличаване на напрежението на изхода на детектора съответствуват на яркостта на предавания образ.

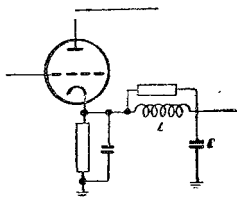
Полярността на сигнала в изхода на детектора се избира в зависимост главно от броя на следващите стъпала.

Детекторът, включен по схемата на фиг. 252б, дава негативни сигнали.

Ако междинната честота не е достатъчно висока, много трудно става отделянето ѝ от сигнала на образа на изхода на детектора. В тази схема за потискане на носещата честота трябва да се подбере достатъчно голяма стойност на кондензатора  $C$ . Но ако кондензаторът  $C$ , шунтиращ товарното съпротивление  $R$ , е голям за изглаждане на пулсациите на междинната честота, то ще се отслабва високочестотната съставка на сигнала и ще се получи значителен спад на високите честоти на телевизионните сигнали.

По тази причина на изхода на детектора понякога поставят филтри за ниски честоти, позволяващи да се получи добро разделяне на горепосочените напрежения, отколкото шунтиращите кондензатори (фиг. 253).

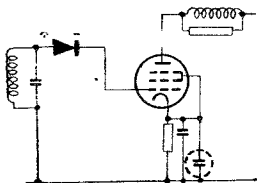
Схемите с  $RC$ -филтри осигуряват задоволително разделяне на честотите при  $n > 10$ . За подобряване разделянето на честотите се използва схема с



Фиг. 253. Схема за диоден детектор с коригиращи филтри

двуполупериодно детектиране, което довежда до намаляние на  $I$  два пъти. При тази отделеното напрежение има двойна честота. Двуполупериодният детектор позволява да се получи силен сигнал на изхода му.

За подобряване на честотната характеристика на детектора във веригата на товарното съпротивление  $R$  понякога включват коригираща индуктивност.



Фиг. 254. Схема на детектор с кристален диод

Голямо разпространение са получили детекторите, работещи на кристални диоди. Малкото входящо съпротивление на кристалния детектор не е голям недостатък при детектирането на сигналите, тъй като, за да се разшири пропусканата честотна лента от кръга на усилвателя за междинна честота, е необходимо да се шуитира. На фиг. 254 е приведена схемата на детектора с кристален диод. Необходимо е да се отбележи, че малкото вътрешно съпротивление на кристалния детектор позволява да се получи добро предаване на напрежението при малки товари  $R$ , което е необходимо да се използва в телевизията за широката модулираща честотна лента.

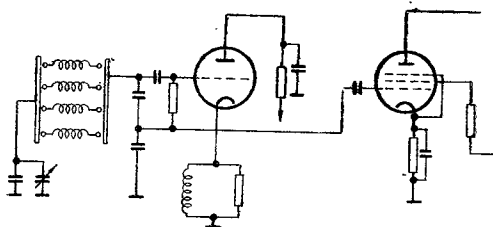
### 3. Преобразуване на честотата

Преобразуване на честотата в обхвата на метровите вълни става по същите методи, както и за най-дългите вълни. В УКВ обхват сега най-голямо приложение са получили триодните и гентодните смесители, понеже те дават много по-малко ниво на шума, отколкото многорешетъчните лампи и имат сравнително голяма стръмност. Стръмността при преобразуване на честотата в триодите е приблизително равна на  $0,25-0,3 \cdot S_0$ , където  $S_0$  е максималното значение на стръмността при нулево значение на преднапрежението на лампата.

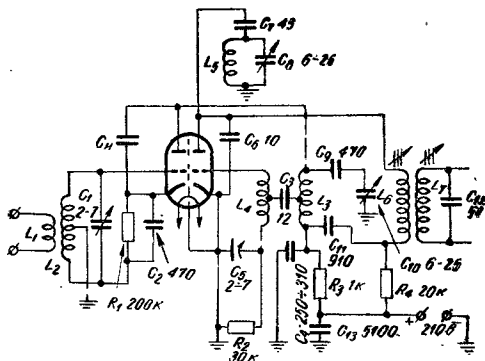
Нивото на шума на лампата се характеризира с еквивалентното съпротивление на шума  $R_{ш}$ . За триоди с оксидиран катод  $R_{ш} = \frac{2,5-3}{S}$ , където  $S$  е стръмността в  $a/v$ ,  $R_{ш}$  — в  $\Omega$ .

В режим на преобразуване  $R_{ш}$  приблизително се определя по същата формула, като вместо да се вземе  $S$  в режим на усилване, се взема  $S_{пр}$  в режим на преобразуване ( $S_{пр} < S$ ).

За нормална работа на смесителната лампа е необходимо нейната работна точка да се намира на нелинейния участък на характеристиката на анодния ток. В този случай тя детектира биецията, възникнали между приемните



Фиг. 255. Схема на преобразовател на честотата



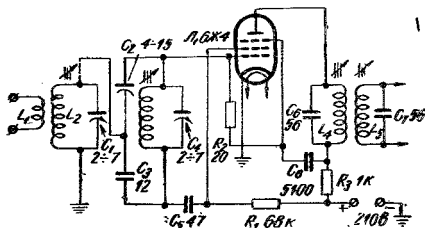
Фиг. 256. Схема на преобразовател на честота, изпълнен с двоен триод

сигнали и трептенията на хетеродина, в резултат на което в анодната верига се отделя ток на междинната честота на образа и звука. Съществен недостатък на триодите-смесители се явява значителното взаимодействие между

напрежението на хетеродина и сигнала, тъй като тези две напрежения действуват на една и съща решетка, в резултат на което честотата на хетеродина зависи от настройката на сигнала. На фиг. 255 е дадена схемата на преобразовател на честотата.

Основен недостатък на тази схема е, че липсват специални мерки за стабилизация на честотата и съществуващата много силна връзка между хетеродина и веригата на сигнала.

Значително по-добри показатели има преобразователят, изпълнен с двоен триод (фиг. 256). На единия триод работи хетеродинът, а на другия — смесителят. Връзката между хетеродина и смесителя е слаба.



Фиг. 257. Схема на еднорешетъчно преобразуване на честотата, изпълнена с пентод

В настояще време са получили голямо разпространение еднорешетъчните преобразователи на честотата на триоди и пентоди по мостови схеми. На фиг. 257 е дадена схемата на еднорешетъчен преобразовател.

На честоти, по-високи от 50 мхц, добре е да се използват триодни преобразователи.

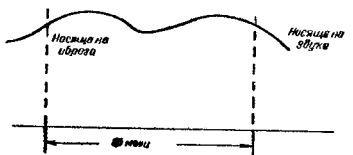
Разглежданите схеми на еднолампови преобразователи са доста по-сложни, отколкото схемите, в които се използват отделни лампи за хетеродина и смесителя.

## и. Способи за разделяне на сигналите на образа и звука

В суперхетеродинните телевизионни приемници високочестотният усилвател, преобразователят на честотата и междиночестотният усилвател са общи за каналите на образа и звука. Обикновено отделянето на каналите става на изхода на детектора. Трещящите кръгове на високочестотната част на приемника, настроени на приеманите сигнали, трябва пълно да пропускат носещите честоти на образа и звука с техните странични честоти. За да се получи достатъчно широка лента, шунтират ги с активни съпротивления. Примерно честотната характеристика на високочестотната част на приемника има вида, показан на фиг. 258. За входни усилвателни лампи много често се използват пентоди. Но понастоящем за такива почват да използват специален триод с голяма стръмност и малки междueleктродни capacitети. Тъй

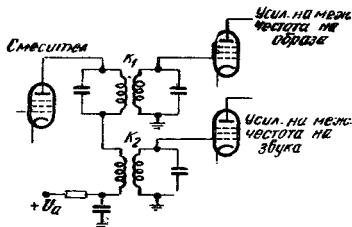
като триодите имат няколко пъти по-малък шум, отколкото пентодите, те позволяват да се усилят много по-слаби сигнали. При използване на триоди се използват схеми със заземена решетка, с катодна връзка или двутактни схеми.

За смесителни лампи се използват пентоди с голяма стръмност, за да се получи голямо усиляване. Не всякога се използват преобразователни лампи,



Фиг. 258. Честотна характеристика на виссо-кочестотната част на приемника

тъй като в тях много често възникват УКВ, което води до чувствително намаляване усиляването на преобразователното стъпало, а оттам и чувствителността на приемника. Ето защо за хетеродина всякога използват отделна лампа.



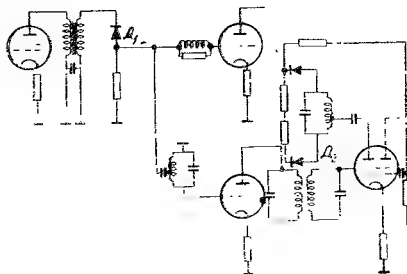
Фиг. 259. Разделяне междинната честота на образа и звука в анодната верига на смесителя

Стабилността на честотата на хетеродина в телевизора играе твърде съществена роля. Обикновено с цел да се получи голямо усиляване и избирателност на усилвателя на междинната честота на звука, а така също необходимата ширина на честотната лента често избират честотата на хетеродина много по-висока от честотата на сигнала. При това междинната честота на образа се оказва много по-висока от междинната честота на звука.

В старите схеми, които почти не се използват в анодната верига на смесителя, става разделянето на сигналите на междинната честота на образа и звука. За тази цел в анодната верига на смесителя поставят два трептящи кръга  $K_1$  и  $K_2$  (фиг. 259), съответно настроени на междинната честота на образа и звука. От кръга  $K_1$  сигналите се подават на усилвателя на междинната честота на образа, а от кръга  $K_2$  — на усилвателя на междинната честота на звука.

За пренастройки на приемника от една вълна на друга трябва да се измени настройката на кръговете в решетъчната верига на усилвателя, анодната верига на усилвателя и в хетеродина.

В новите телевизионни схеми разделянето на сигналите на междинната честота на образни и звукови сигнали се осъществява след детектора (фиг. 260)



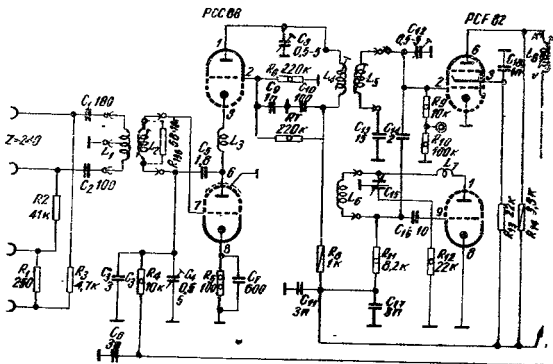
Фиг. 260. Разделяне на сигналите на образа и звука след детектора

В резултат на смесването на входящия сигнал и сигнала на местния осцилатор се получават междинни честоти на звука (27,75 МГц) и на образа (34,25 МГц), които се усилват в общите междинночестотни усилватели. След това сигналът се подава на детектора, на изхода на който се отделя видеосигналът. Видеосигналът, усилен във видеоусилвателя, постъпва на катодна електроинжекционна тръба. Отделянето на НЧ напрежение се осъществява, като сигналът, снет след първия детектор, се прехвърля на усилвателя на биенията и оттам на втория детектор, който работи по схемата на дискриминатор.

#### к. Високочестотен блок на телевизорите

На фиг. 261 е показана принципна схема на високочестотния блок на телевизора Орион 53Т816, който съдържа ВЧ усилвател, смесител и осцилатор. ВЧУ повишава отношението на полезния сигнал към нивото на шума, създадено в смесителя.

Входящото съпротивление на високочестотния блок се съгласува със съпротивлението на фидера (240 Ом) за отстраняване на отраженията по фидера, което предизвиква изкривявания на образа.



Фиг. 261. Принципна схема на високочестотния блок на телевизора Орион 53Т816

От осцилатора се изисква висока стабилност на честотата. Основна причина за отклонение на честотата на осцилатора е изменението на междуелектродните capacitети на лампата.

Честотата на осцилатора обикновено се избира по-висока от носещата на звука и образа.

Трептящите кръгове на високочестотния блок трябва да пропускат носещата честота на образните сигнали и горната честотна лента, а така също носещата честота на звуковия съпровод и двете странични ленти.

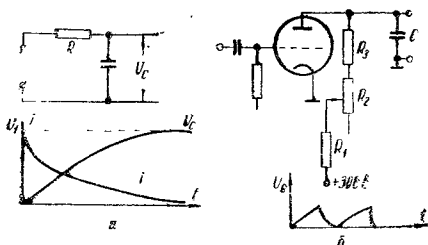
Във високочестотния блок се използват високочестотни пентоди, а напоследък голямо приложение намират миниатюрните триоди. Като смесител се използват пентоди с голяма стръмност.

#### л. Разгъващи устройства

Отклонението на електронния лъч върху екрана на кинескопа се извършва, като се подава на отклоняващото устройство триънообразно напрежение (за гръби с електростатично отклонение) или триънообразен ток (за гръби с електромагнитно отклонение). За вертикалното отклонение честотата на триънообразното напрежение е равна на броя на полукадрите, предавани за 1 сек,

а за хоризонталното отклонение — произведението на броя на кадрите за 1 сек по брой на линиите, т. е.  $25 \times 625 = 15625$   $\lambda$ .

За получаването на трионообразни напрежения главно се използва методът за зареждането и разреждането на кондензатори.



Фиг. 262

а — схема за получаване на трионообразни напрежения; б — графика за нарастване на напрежението в кондензатора С

Схема за получаване на такова напрежение с помощта на лампа и разреждаща се верига е дадена на фиг. 262а.

При  $R_2 \ll R_1 + R_2 + R_3$  и наличие на положителен потенциал на решетката на лампата напрежението на кондензатора  $U_C \approx 0$ . В момент на запустяване лампа кондензаторът С започва да се зарежда през съпротивления  $R_1$ ,  $R_2$  и  $R_3$ , като напрежението на кондензатора расте по експоненциална линия (фиг. 262 б). Практически стойностите на  $R_1$ ,  $R_2$  и  $R_3$  се избират така, че за времето на дясното отклонение на лъча кондензаторът С да се зареди с напрежение примерно до 0,1 от захранващото напрежение.

За получаване нормалния размер на растера амплитудата на трионообразното напрежение трябва да бъде от порядъка на 30 в.

**Блокинг-генератор.** Блокинг-генераторът, чиято принципа схема е показана на фиг. 263а, представлява еднолампова затотреляща система от релаксационен тип. В анодната верига на лампата е включена само първичната навивка на трансформатора, с помощта на който се осъществява връзка с решетъчния кръг. Генераторът произвежда трептения със сложна форма (фиг. 263 б.)

Периодът на трептенията на блокинг-генератора се определя от формулата

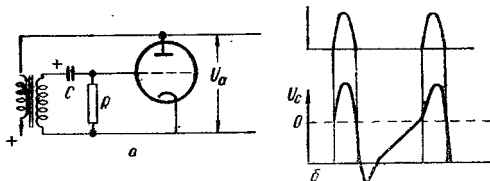
$$T \approx (0.3 \div 0.5) RC.$$

На фиг. 264 е дадена принципната схема на блокинг-генератора за кадрова разбивка на телевизора Белведер ОТ1481.

Начин за отклонение на лъча в тръби с електростатично и електромагнитно отклонение. В приемните тръби с електростатично отклонение

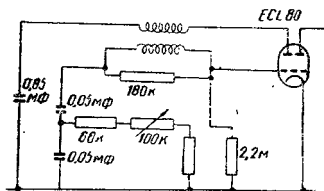


преместването на лъча по екрана се извършва от електрическото поле на кондензатора, образуван от отклоняващите плочи. Отклонението на лъча на екрана на тръбата в  $mm$  на  $1\text{ в}$  напрежение, приложено на отклоняващите плочи, се нарича чувствителност на тръбата.



Фиг. 263

$a$  — принципна схема на блокинг-генератора;  $b$  — произведени от генератора трептения



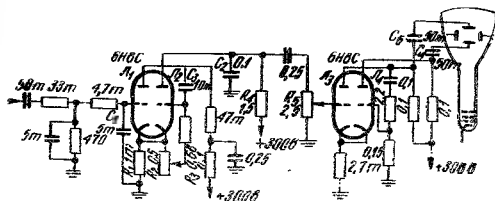
Фиг. 264. Принципна схема от блокинг-генератора за кадрова развивка на телевизора Белведер OT1481

На фиг. 265 е дадена схемата за вертикално разгъване от тръба с електростатично отклонение. Като задаващ генератор се използва несиметричен мултивибратор с катодна иръзка. Разреждащата верига се състои от съпротивлението  $R_4$  и кондензатора  $C_3$ . Честотата на генератора се регулира със съпротивлението  $R_5$ . Кондензаторите  $C_4$  и  $C_5$  трябва да издържат на висок напрежения, тъй като отклоняващите плочи се намират под висок положителен потенциал.

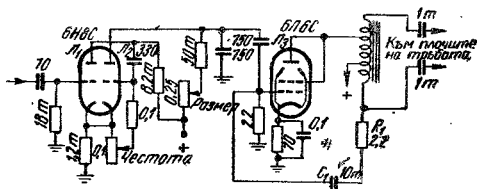
Отклоняващите напрежения от генератора за развивка се подават на съответните плочи на тръбата посредством кондензатори.

На фиг. 266 е дадена схема за хоризонтално разгъване от тръба с електростатично отклонение, в която за генератор на триъгълнообразно напрежение се използва мултивибратор, работещ с лампа 6Н18. Триъгълнообразното напрежение от анода на лампата 6Н18 се подава на решетката на лампата 6П16. За това

из лампата 6П6 се използва автотрансформатор, от чиито навишки напреже-  
нието се подава на хоризонтално отклоняващите плочи на тръбата.



Фиг. 265. Принципна схема за вертикално разгъване от тръба с електростатично отклонение

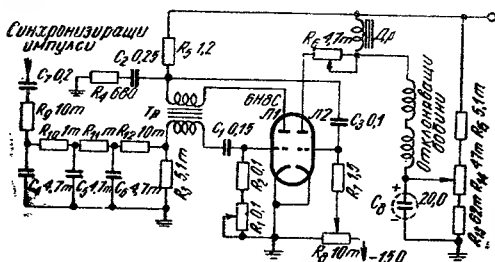


Фиг. 266. Принципна схема за хоризонтално разгъване от тръба с електростатично отклонение

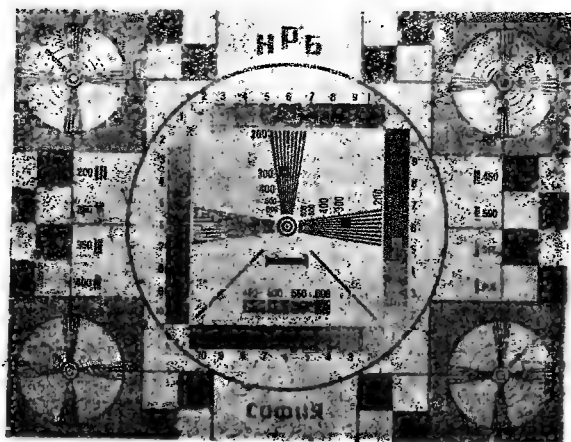
Цапената схема на фиг. 267 е за вертикално разгъване от тръба с елек-  
тромагнитно отклонение. Триодът  $L_1$  работи като блокинг-генератор, а трио-  
дът  $L_2$  — като усилвател на трионобразното импулсно напрежение.

Трионобразното напрежение през кондензатора  $C_3$  постъпва на решетката на триода  $L_2$ . Усиленото трионобразно напрежение от дросела се подава на отклоняващите бобини. Размерите на растера по вертикали се регулират със съпротивлението  $R_6$ . Потенциометърът  $R_{14}$  се използва за преместване на растера по вертикали. Със съпротивлението  $R_1$  се регулира честотата на генератора.

**Настройката на телевизионните приемници по изпитателната таблица.** Осъществяването на визуален контрол на работата на телевизионния предавател и настройката на телевизионните приемници стават с помощта на изпитателна таблица.



Фиг. 267. Принципна схема за вертикално разгъване от тръба с електромагнитно отклонение



Фиг. 268. Телевизионна изпитателна таблица

На фиг. 268 е показана българската изпитателна таблица<sup>1</sup>, с помощта на която може да се настрои с достатъчна точност телевизионният приемник.

При всяко започване настройката на телевизора трябва да се убедим, че същият работи. Регулаторът за контраст се поставя на максимално усилване, а регулаторът за яркост — в положение, при което растерът започва да се движи. По-нататък при включване на антена, ако предавателят излъчва таблицата, трябва върху екрана да се появи изображение (образ). Елементите, с които се контролира растерът, са белите стрелки, които със своите остриета трябва да допират до страните на таблицата. При регулиране на размерите на растера остриетата им трябва да се виждат. За оценка на правилно избран растер може да служат централната окръжност и четирите странични окръжности, които не трябва да имат елиптична форма. Неправилно избраният размер по хоризонтални или вертикали може да се отчете по шахматното поле, чиито квадрати са се превърнали в правоъгълници.

Линейността и геометричните изкривявания са едни от основните параметри на изображението. Претенция за тези изкривявания се правят на око по шахматното поле, на което квадратите в горния и долния край, респективно вляво и вдясно, трябва да са еднакви и правилни, а не правоъгълници. Освен това централната и четирите странични окръжности да не са елипси или яйцевидни.

Най-важната част на таблицата са трите клина в центъра и четирите клина, разположени във всеки ъгъл на таблицата, чрез които се определя разделителната способност (детайлност) на изображението. Разделителната способност се определя от максималния брой линии, които могат да се видят по клиновете на изпитателната таблица.

Тези клинове се състоят от тънки сходящи черни линии, чиято дебелина е строго разчетена. По протежение на клиновете са поставени чертички и цифрите 200, 300, 400, 500, 600 (в централния кръг) и 2, 3, 4, 5 и 6 в кръговете на ъглите. Детайлността се определя от цифрата на клина, срещу която не е влошен контрастът между черните и белите линии. Определянето на детайлността по вертикали се прави по хоризонталните клинове, а по хоризонтални — по вертикалните клинове. Всякога разделителната способност в центъра е по-голяма от тази в краищата поради разфокусирането на лъчите в края на растера. Практически при развивка 625 линии максималната разделителна способност по хоризонтални е 580 линии, а по вертикали е 450 линии.

В таблица 44 е дадена зависимостта между пропусканата честотна лента на телевизора (в м.г.ц) и броя на детайлно различаваните линии.

Таблица 44

Брой на различимите линии по вертикали	200	250	300	350	400	450	500
Пропускана честотна лента	2,5	3,13	3,75	4,37	5,0	5,63	6,25

Във всеки ъгъл на растера може да се отчете със задоволителна точност едновременно разделителната способност по хоризонтални и вертикали. Тънките  $\frac{3}{4}$  окръжности определят мястото на стедните разделителни способности от 200 до 600 линии.

<sup>1</sup> Тази таблица подлежи на изменение.

Отляво надясно на централния кръг, както и в самия него под клиновете са поставени отделни групички от вертикални линии и цифри, означаващи разделителната способност — 200, 300, 350, 400, 450, 500, 550 и 600 линии (от двете страни) и 450, 500, 550 и 600 линии във вътрешността на голямата окръжност.

Установяването на яркостта и контраста на изображението става с помощта на четирите градационни клина (два вертикални и два хоризонтални), всеки от които има 10 различни правоъгълника, които представляват различна степен на яркост. Ако правилно е регулиран телевизорът по яркост и контраст, може да се видят от 6 до 8 градации на яркост. Необходимо е при всяко регулиране на яркостта да се провери и регулаторът на контраста. Подбира се такава яркост, която е приятна за окото.

След като е правилно избрано положението на регулаторите за яркост и контраст, подбира се положението на регулатора за фокусировка. Ако изображението е неясно, размазано, обязательно трябва да се фокусира. Степента на фокусировката се отчита по малките концентрични окръжности, които се намират в центъра и в четирите края така, че дебелината на линиите на тези окръжности да бъде еднаква навсякъде, както и линиите на растера да бъдат най-добре очертани с минимална ширина.

Проверката на качеството и точността на презредната развивка се прави с помощта на двете диагонални прави линии, които се намират вътре в централната окръжност. При нарушаване на презредната развивка линиите се явяват набъбени.

#### 4. Борба със смущенията в телевизията

Качеството на приемането на телевизионните предавания (в зависимост от това, къде е разположен телевизорът) в голяма или малка степен се влошава от действието на смущенията.

Особено приемането на предаванията в големите градове е съпроводено със смущения, които значително понижават качеството на приемания образ.

Съвременното телевизионно предаване се провежда на ултракъси вълни (УКВ), които не се влияят от атмосферните смущения. Това се обяснява с обстоятелството, че тези видове смущения главно се проявяват в обхвата на най-дългите вълни. Ето защо атмосферните смущения практически не влошават качеството на приетите телевизионни програми.

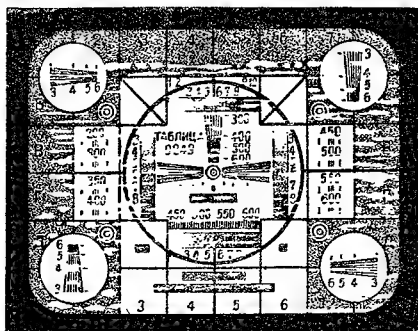
Голямо влияние на качеството на приетия образ оказват промишлените устройства и домашните електроуреди, които създават така наречените индустриални смущения. Източник на индустриални смущения може да бъде всяка електрическа верига, в която настъпват чести и резки изменения на тока, обикновено свързани с повреди в контактите и поява на искри, утечки на тока през изолацията и други. Източници на смущения могат да бъдат също уредите, генериращи електрически трептения с висока честота.

Най-мощни източници на смущения са трамваите, тролейбусите, чието движение е съпроводено с чести прекъсвания в контакта между въздушните проводници и пантографа. Смущенията от електротранспорта имат импулсен характер, поради което действуват главно на веригите на синхронизацията, като изменят честотата на генераторите за кадрови и редови импулси. Тези смущения на екрана на телевизора се явяват във вид на бели и черни точки и линии, преминаващи по редовете или заемащи целия екран.

Източници на смущения са колекторните мотори и машини, различните релета, електромедицинските уреди, електрическите звънци, прахосмукачките и други.

Значителни смущения създават системите на запалване на двигателите с вътрешно горене, намиращи се в автомобилите, мотоциклетите, самолетите и други (фиг. 269).

Радиопредавателните станции и особено тези, работещи с честотна модулация, ако те са разположени близо до мястото на телевизионното предаване,



Фиг. 269. Смущения от системите на запалване на двигателите с вътрешно горене (автомобили и др.)

също могат да създават значителни смущения, които на екрана на телевизора образуват характерна чрежа, непрекъснато изменяща се (фиг. 270).

Смущенията от рентгеновите апарати имат характерния вид на златното на дърво (фиг. 271).

Индустриалните смущения се разпространяват като пространствени вълни чак по протежение на електрическите вериги. Обикновено радиусът на действието на пространствените електромагнитни вълни, предизвикани от източници на смущенията, достига до няколко десетки метри. Що се отнася до високочестотните смущения, възникнали в резултат на бързи прекъсвания на тока или изменение на неговата величина, то те се разпространяват по повърхностите на няколко километра.

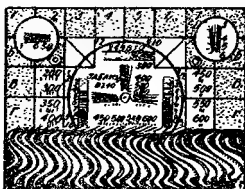
Пътината, по която проникват смущенията в телевизионния приемник, са следните:

1. Чрез антената.
2. Чрез захранващата мрежа.
3. Непосредствено въздействие на филтера на антената

4. Непосредствено въздействие на шасито.
5. Непосредствено въздействие на кръговете и отделни участъци на схемата на приемника.



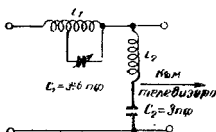
Фиг. 270. Смушения от радио-предавателни станции



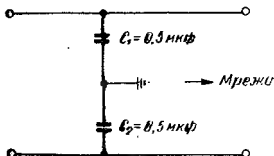
Фиг. 271. Смушения от рентгенови апарати

Нивото на индустриалните „смушения“ може да бъде значително снижено, ако се използват специални филтри, екрани и др., които се включват към източника на смушението.

За намаляване на влиянието на смушението следва да се монтира антената колкото се може по-нависоко и далеч от местата, където възникват смушението, фидерът на антената следва да бъде екраниран.



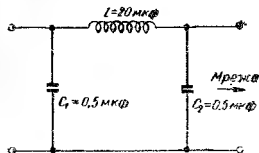
Фиг. 272. Схема на филтър за защита от КВ предавател



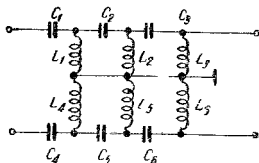
Фиг. 273. Схема на филтъра за защита от смушения, проникнали през електрическата мрежа

За защита на телевизора от късовълнови радиостанции следва да се употребят филтри (схема на такъв филтър с ориентировъчни данни е даден на фиг. 272) или пък да се използва доста сложна антена с рефлектор, която да се ориентира по опитен път. Такава антена може да се използва при поява на добавъчни контури върху образа, които са създадени с отразените сигнали от антените на зданията, разположени близо до мястото на приемането. Като се върти около оста си, може да се намери положение от антената,

при което вътрешният образ на екрана на тръбата съвсем да изчезне или значително да отслабне. Ако при въртенето на антената не се удаде случай да отстраним смущенията, следва да се премести антената на друго място



Фиг. 274. Схема на мрежов филтър с дросел и кондензатори

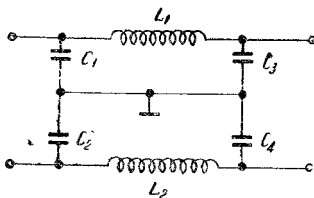


Фиг. 275. Схема на сложен мрежов филтър с дросел и кондензатори

на покрива на сградата и да се повтори операцията за новото ориентиране на антената.

Проникването на смущения през електрическата мрежа може да бъде намалено, ако в проводниците на мрежата се включи филтър, показан на фиг. 273, или дросел и кондензатор (фиг. 274).

В случая, когато сигналите на смущенията имат точно определена честота, то филтърът следва да се настрои, като се подберат величините на конден-



Фиг. 276. Схема на сложен мрежов филтър

заторите  $C_1$  и  $C_2$  в схемата на фиг. 274. В някои специални случаи може да се окаже удачно употребяването на сложни филтри, чиито схеми са дадени на фиг. 275 и фиг. 276.

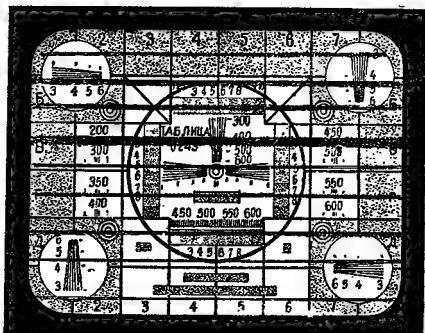
Смущенията, които се наблюдават върху образа във вид на хоризонтални ленти с различна ширина и яркост (фиг. 277), проявяващи се в такт с изменението височината на сигналите на звуковия съпровод, се обясняват с недостатъчната филтрация на сигналите на звуковия съпровод в канала на сигналите на образа.



В зависимост от честотния спектър, зает от смущенията, се различават:

1. Смущения със спектър, разположен извън честотната лента на телевизионния сигнал.

2. Смущения със спектър, разположен в честотната лента на телевизионния сигнал. Сигналите на смущенията от първата група попадат в прием-



Фиг. 277. Смущения от сигналите на звуковия съпровод, проникнали в канала на образа

ника заедно с полезния сигнал. Сигналите на смущенията от втората група могат да попадат както чрез допълнителни канали така и чрез основния канал в резултат на получените комбинационни честоти и наличието на висши хармонични в хетеродина.

За честотно разделяне на смущенията от сигнала се използват в практиката:

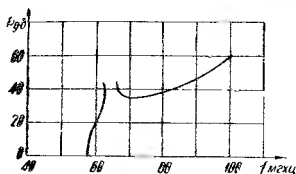
1. Филтри за долните честоти. Тези филтри потискат всички честоти, разположени на най-високата честота на телевизионния канал (фиг. 278).

2. Филтри за горните честоти, потискащи всички смущения, разположени по-ниско от най-ниските честоти на телевизионния канал (фиг. 279). Този тип филтри са един от най-ефикасните, имайки предвид, че по-голямата част от честотната лента на смущенията има честоти, по-ниски от честотите на телевизионния канал.

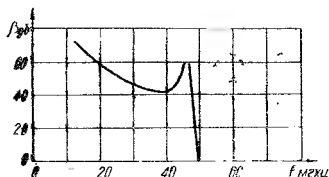
3. Лентов филтър, обединяващ свойствата на филтрите на долните и горните честоти.

4. Тяснолентов настроен филтър, използващ се за потискане на смущенията, заемащи тесен спектър в честотната лента на телевизионния канал.

5. Мрежов филтър (фиг. 275 и 276), представляващ от себе си филтър за долните честоти с гранична честота 5 мкхц или по-ниска. За този филтър



Фиг. 278. Характеристика на филтър за долните честоти



Фиг. 279. Характеристика на филтър за горните честоти

има голямо значение качеството му заземяване. Корпусът на филтъра е правилно да се съедини с шасито на телевизора посредством къс проводник.

Получените филтри на фиг. 278 и 279 са за I и II телевизионен канал

## 5. Електроннолъчеви тръби

### а. Приемни тръби<sup>1</sup>

Специфична съставна част на електроннолъчевата тръба е екранът. Той се изработва от вещество, имащо свойството да свети под влиянието на бомбардировката на електронния лъч. Тези вещества са фосфорът и луминофорът.

Луминесциращият екран се характеризира със следните параметри: коефициент на светлотадаването, времеино послесветене и цвят на светенето.

<sup>1</sup> Параметрите им са дадени в табл. 20, 21 и 22.

Силата на светлината, излъчвана от луминесциращия екран, е приблизително пропорционална на произведението на тока на лъча по ускоряващото напрежение, т. е. пропорционална на мощността, загубена при бомбардирането на лъча. Отношението на излъчената сила на светлината към загубената мощност се нарича коефициент на светоотдаването или ефективност на екрана. Ефективността на екрана обикновено се колебае в границите от 1 до 5 *св/вт*.

Всички луминофори, възбудени от електронния лъч, след прекъсване на възбуждането продължават за кратко време да светят, което явление се нарича *послесветене*.

Времето, в течение на което яркостта на послесветенето спада до 1% от първоначалната яркост, наричат време на послесветенето. Това време на послесветенето не трябва да бъде по-голямо от  $1/25$  *сек*, което съответствува на времето за сменянето на кадъра на телевизионния образ, в противен случай последователните абрази ще се наслаждат един върху друг.

Цветът на светенето трябва да се приема от очите. В практиката е установено, че най-добър цвят на светенето е белият със син или жълт оттенък.

В последните няколко години за високоволтовите приемни тръби се използват метализиращи екрани, които повишават яркостта, увеличават контраста на образа, а също така запазват екрана от разрушителното действие на бомбардировката на тежките отрицателни йони, намиращи се в електронния лъч.

Чувствителността на електростатичната тръба се определя от величината на отклонението на лъча на екрана на тръбата, изразено в *мм*, при изменение на потенциална на отклоняващата плоча с 1 *в*. За увеличаване на чувствителността на тръбата при сравнително голяма скорост на електроните се използва трети анод  $A_3$ , разположен зад отклоняващите пластинки.

Електростатичните тръби са намерили широко приложение в осцилографите. Основният недостатък на електростатичните тръби е разфокусирането им при модулация, който е избягнат при електромагнитните тръби.

Фокусировката на електромагнитната тръба се осъществява с бобина, изпълнена във вид на соленоид. Отклоняващата система се разполага колкото се може по-близо до екрана на зърната. Дължината ѝ не трябва да бъде по-голяма от 60 *мм*.

## 6. Предавателни тръби

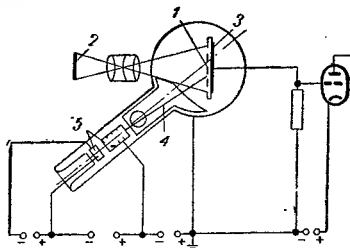
**Иконоскоп.** Разлагането на образа на предавания предмет на отделни елементи и превръщането осветеността на тези елементи в електрически сигнали става с помощта на специални предавателни тръби.

Първата тръба, позволяваща правилно да се решат въпросът за предаването на висококачествени абрази, е *иконаоскопът*. Принципът на работа на тази тръба се основава на фотоелектрическият ефект.

Светочувствителният елемент на иконаоскопа (фиг. 280), върху който се проектира оптическият образ от предавания предмет 1, е слюдената пластинка 2, върху едната страна на която по специален начин са нанесени много голям брой изолирани едно от друго много малки сребърни зрънца. Тези зрънца се покриват с метал, чувствителен към светлината, например цезий, който под въздействието на светлината излъчва електрони. Тази страна на пластинката се нарича мозайка. Обратната страна на пластинката е покрита с графит или друг проводников материал, който образува с всяко сребърно зрънце малък елементарен кондензатор.

Ако на мозайката на иконаоскопа е проектиран оптически образ на предавания предмет, то всеки светочувствителен елемент ще загуби електрони,

броят на които ще е пропорционален на осветеността на елемента, благодарение на което всеки елементарен кондензатор ще се зареди положително и на повърхността на мозайката ще възникне разпределение на потенциалите. На мозайката ще се появи „електрически образ“ на предавания предмет.



Фиг. 280. Схема на включване на иконоскопи

За последователното превръщане на „електрическият образ“ по определен порядък в електрически сигнал се използва електронният лъч, който под действието на отклоняващото устройство се премества по мозайката в точно определен ред, като разрежда елементарните кондензатори. В резултат на това през товарното съпротивление непрекъснато протича ток.

Ефективността на иконоскопа е много ниска. Чувствителността на тръбата е достатъчна, ако при площ на мозайката  $100 \text{ cm}^2$  отношението сигнал/шум е повече от 30 при осветеност на образа 500—1000 лукса.

Сериозен недостатък на иконоскопа е наличието на паразитен сигнал, който се появява в резултат на отсъствие на насищане на фототока. Този паразитен сигнал се появява във вид на тъмно петно върху образа.

Засега иконоскопът намира приложение главно за възпроизвеждане на кинофилмите. Може да се предполага, че в близко бъдеще той ще излезе от употреба и от тази област, отстъпвайки мястото си на видеокон.

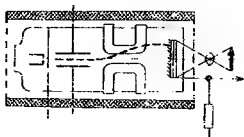
**Ортикон.** Основното отличие на ортикона от иконоскопа се състои в това, че скоростта на електроните на лъча при приближаване на мозайката намалява почти до нула. Неголямата скорост на електроните обаче влошава фокусираността. За отстраняване на този недостатък в ортикона се използва еднородно магнитно поле.

Втората особеност на ортикона е особенният начин на развивката, свързан с използването на еднородно фокусно магнитно поле. В ортикона за разлика от иконоскопа мозайката и сигналната пластинка са направени полупрозрачни. Това позволява да се проектира образът от страната на мозайката, което спомага да се избегне трапецовидното изкривяване на растера.

Чувствителността на ортикона е няколко пъти по-голяма от тази на иконоскопа.

На фиг. 281 е показано схематичното устройство на ортикаона.

Ортиконът има нормален електронен прожектор, на анода на който се подава ускоряващо напрежение от порядъка на 200—300 в. В изходящото отверстие на прожектора се разполага колекторът (изпълнен във вид на диск с отворстия).



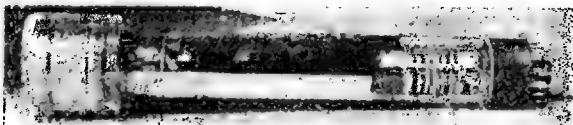
Фиг. 281. Схематично устройство на ортикаон

Съвременният ортикаон има сравнително малки размери и позволява да се получи необходимата стойност на сигнала при значително малка осветеност на предавания предмет, отколкото иконоскопът.

Основен недостатък на ортикаона е неговата неустойчивост при силно осветени предавани образи. Нормалната работа на ортикаона продължава дотогава,

докато осветеността на мозайката позволява количеството на фотоелектроните, загубени във всеки елемент в течение на пълния цикъл на развивката, да не превишава количеството на електроните, носени от електронния лъч.

Ако в мозайката на ортикаона възникне такъв положителен потенциал, при който могат да се появят вторични електрони, то потенциалът на това място, от мозайката започва да расте и на приемания образ се появява бяло петно, бързо разпространяващо се по цялата повърхност на приемния екран. Ето защо по тази причина ортикаонът не може да работи при голяма разлика в осветеността на отделните места на предавания обект.



Фиг. 282. Суперортикон

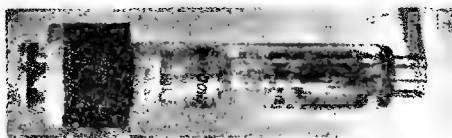
**Суперортикон.** Суперортиконът (фиг. 282) обединява принципите за пренасяне на образа и умножение на сигнала. Той е около 100 пъти по-чувствителен от иконоскопа.

Фотокатодът на суперортикона е изпълнен от чувствителна полупрозрачна лента, фотоелектроните се фокусират от магнитното поле на фокусиращата бобина и образуват електронния образ върху мишена, който отвежда появилите се вторични електрони, при което потенциалът на мишена остава постоянен в условията на силно осветление.

По този начин се отстранява най-сериозният недостатък на ортикаона.

Суперортиконът първоначално се е използвал само за предавания, където осветлението е слабо. Понастоящем той се използва за извънстудийни, студийни, спортни и учебни предавания с изключение на предаванията на кинофилми.

**Видикон.** Видиконът (фиг. 283) представлява фотопроводяща тръба с извънредно проста конструкция. Той се състои от фотопроводящи мишеи, закрепени на дъното на колбата и на електронния прожектор. Диаметърът на види-



Фиг. 283. Видикон

кона е около 25 мм, а дължината му 160 мм. Макар и толкова малка, тази тръба има достатъчна чувствителност и дава при нормално осветление в студиото качествен образ. За промишлената телевизия с тази тръба са получени много добри резултати.

Основен недостатък на видикона е неговата инертност при малка осветеност в помещенията, която се изразява при предаване на образа като известно изоставане на движещия се обект.

## Десета глава.

### АНТЕНИ

#### 1. Приемни антени

##### а. Основни технически показатели на приемните антени

Качеството на приемните антени се характеризира с коефициента на насоченото действие ( $D$ ), коефициента на полезното действие ( $\eta$ ), коефициента на усилването ( $\epsilon$ ) и действащата височина ( $h_d$ ).

**Коефициент на насоченото действие.** Коефициентът на насоченото действие на приемната антена в определено направление се характеризира с отношението на мощността ( $P$ ), постъпваща на входа на приемника, при приемане от същото направление към средната стойност на мощността ( $P_{\text{ср}}$ ) при насочена антена.

$$D = \frac{P}{P_{\text{ср}}}.$$

Тъй като мощността  $P$  е пропорционална на квадрата на напрежението във входа на приемника, то

$$D = \frac{U^2}{U_{\text{ср}}^2},$$

където  $U$  е напрежението на входа на приемника, постъпило от даденото направление;

$U_{\text{ср}}$  — средната стойност на напрежението на входа на приемника.

**Коефициент на полезното действие.** Коефициентът на полезното действие на антената, това е отношението на полезната мощност ( $P_{\text{пол}}$ ), излъчена от антената към мощността ( $P_a$ ) на електромагнитните вълни, приети от антената:

$$\eta = \frac{P_{\text{пол}}}{P_a}.$$

**Коефициент на усилването.** Коефициентът на усилването на приемната антена в дадено направление, това е отношението на мощността ( $P$ ), която

постъпва на входа на приемника при приемане от същото направление, към мощността  $P_{\lambda}$ , постъпваща на входа на приемника при приемане с полувълнов вибратор.

$$\varepsilon = \frac{P}{P_1} \cdot \frac{1}{2}$$

**Действаща височина.** Действаща височина на приемната антена  $h_d$  е отношението от входящото напрежение (на входа на приемника)  $E_d$  към напрегатостта на полето  $E$  в мястото на приемането:

$$h_d = \frac{E_d}{E}$$

### б. Стайни антени

Стайните антени се използват обикновено в градовете при приемане със суперхетеродинен приемник и когато напрегатостта на полето в мястото на приемането има голяма стойност. За стайна антена може да се използва проводник с дължина от 1 до 15 м, който се монтира на изолатори, разположени на около 10 см под тавана на помещението.

Обикновено антената се поставя колкото се може по-далече от инсталациите на електрическото осветление, телефона и радиофикацията и по възможност перпендикулярно на тези проводници.

За стайна антена се използват голи медни проводници, изолирани проводници, уплетени проводници, специални проводници за висока честота, които се състоят от няколко изолирани помежду си отделни жички.

Основният недостатък на стайните антени е малката им действаща височина, поради което е твърде ниско нивото на сигнала във входа на приемника.

### в. Външни антени

**Симетричен вибратор.** Изборът на типа на антената и нейното добро изпълнение играе решаващата роля в осигуряването на добри условия за приемането. Правилното избиране на антената в много случаи в условията на силни местни и далечни радиосмущения дава възможност да се получи задоволително приемане.

За приемане на къси вълни целесъобразно е да се използва симетричен вибратор (фиг. 284).

Всяко рамо на полувълновия вибратор се състои от два проводника, разположени под известен ъгъл един спрямо друг било в хоризонталната, било във вертикалната равнина в зависимост от местните условия.

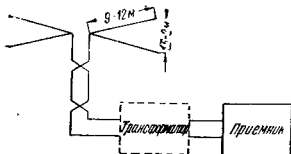
Диаграмата на насоченост на симетричния вибратор е показана на фиг. 285.

Приемникът се съединява с антената чрез двупроводен фидер с вълново съпротивление от 200 до 600 ом.

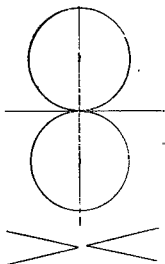
Използването на симетричния вибратор за приемане на къси вълни съществено отслабва действието на радиосмущенията.



**Г-образна приемна антена.** Г-образната антена е най-простият вид антена, състояща се от опънат проводник, на единия край на който се включва антеноотводът за приемника (фиг. 286). Дължината на хоризонталната част на Г-образната антена трябва да бъде от 20 до 30 м, а височината ѝ — 15 м. Не винаги е възможно да се направят с тази дължина, поради което антените се правят двойни (фиг. 287).

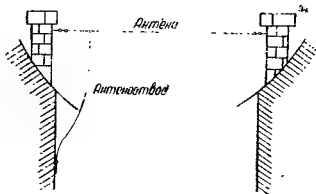


Фиг. 284. Симетричен вибратор



Фиг. 285. Хоризонтална диаграма на симетричния вибратор

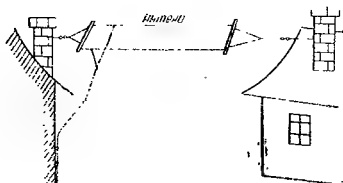
Възникните Г-образни антени са намерили голямо приложение в селата и неголёмите градове. Хоризонталната част на антената и антеноотвода обикновено се правят от едно парче проводник. За антена се използва въже с



Фиг. 286. Обикновена Г-образна антена

диаметър от 1,5 до 2,5 мм меден или биметалически проводник — гол или изолиран, с диаметър 1,5 до 4 мм (табл. 45). Също от табл. 45 може да се направи избор на дължината и диаметъра на проводника или въжето, използвано за антена, в зависимост от разстоянието между стълбовете.

Намират приложение и така наречените Т-образни антени, които обикновено се използват тогава, когато е невъзможно да се включи антеноотводът на края на антената. Антеноотводът се запоява точно на средата на хоризонтал-



Фиг. 287. Двойна Т-образна антена

ната част на антената. Т-образната и Г-образната антена може да се направят от два успоредни проводника.

Таблица 45

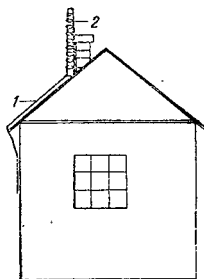
Разстояние между опор- ните точки в м	Дължина на проводника в м	Диаметър на проводника в мм		Брой и диаметър на жилото на въжето	
		бронз	мед	бронз	мед
25	26	1,0	1,6	$7 \times 0,35$	$7 \times 0,5$
40	41	1,5	2,1	$7 \times 0,5$	$7 \times 0,67$
50	52	2,1	2,6	$7 \times 0,67$	$19 \times 0,52$
60	62	2,1	3,0	$7 \times 0,67$	$7 \times 1,0$
80	82	2,6	3,2	$19 \times 0,52$	$19 \times 0,64$

Вътре в стаята, където идва антеноотводът, обязательно трябва да се постави гръмопредпазен преклювачател, за да се заземи антената във време на гръмотевична буря. Препоръчва се да се монтира на външната стена на зданието гръмопредпазен разрядник.

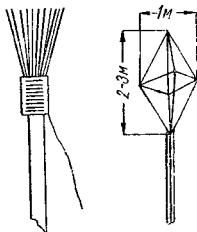
### г. Антишумови антени

Антишумовите антени осигуряват качествено радиоприемане за сметка на понижаване нивото на индустриалните шумения. Техен основен недостатък обаче е, че те осигуряват твърде ниско ниво на сигнала на входа на приемника, отколкото другите открити антени със същите размери. Неправилно е да се използват тези антени за радиоприемане в селата и там, където има детекторни и малко чувствителни приемници.

Една от най-простите антишумови антени е тази, снижението на която е от високочестотен екраниран кабел с дължина около 10—15 м. Активната част на такава антена се изработва обикновено във вид на пружина (съсредоточен



Фиг. 288. Антишумова антена



Фиг. 289. Конструкции на антишумови антени

капацитет), навита от изолиран проводник с диаметър около 1 мм. и стъпка на навивката от 2 до 4 см върху дървена летва с дължина от 3 до 6 м (фиг. 288).

Активната част на антените със съсредоточен капацитет се изработва от няколко твърди проводника, разположени във вид на метла, звезда (фиг. 289) или във вид на плоски спирали, разположени хоризонтално.

За снижение (антеноотвод) на антишумовите антени добре е да се използва високочестотен кабел от типа РК-6, РК-20 и РК-24 (съветско производство)

#### д. Магнитни антени

Магнитните антени имат насочени характеристики. Много малките им размери позволяват да се разположат вътре в кутията на радиоприемника. Засега магнитните антени намират приложение в обхвата на средните и дългите вълни. Магнитната антена конструктивно представлява от себе си високочестотен магнитен материал, върху който са нахлузени бобини. Необходимо е магнитният материал да има висока магнитна проникваемост. Най-добър материал за тази цел е феритът.

Действащата височина на магнитната антена може да се изчисли по формулата:

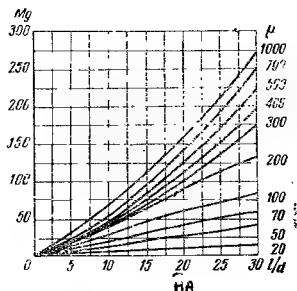
$$h_d = \frac{2\pi S n \mu}{\lambda} \text{ m p } 10^{-4} \text{ м,}$$

където

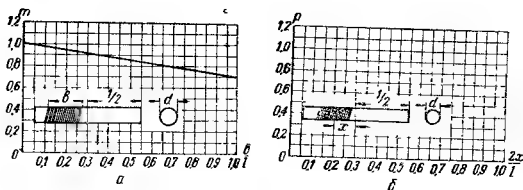
$S$  — сечението на ферита в  $\text{cm}^2$ ;

$n$  — броят на навивките на бобината;

$\mu$  — магнитната проницаемост, определена по графика, показан на фиг. 290;



Фиг. 290. Зависимост на ефективната магнитна проницаемост от размерите на сърцевината



Фиг. 291. Графики за изчисление на магнитна антена

$m$  — коефициент, зависещ от отношението  $\frac{b}{l}$ ;

$p$  — коефициент, зависещ от отношението  $\frac{2x}{l}$ ;

$b$  — ширината на бобината;

$l$  — дължината на сърцевината;

$x$  — разстоянието от средата на сърцевината до средата на бобината. (виж. фиг. 291б);

$d$  — диаметърът на сърцевината.

Диаметърът на сърцевината се подбира от 5 до 10 мм, а дължината от 150 до 200 мм. Препоръчва се да се използва проводник с диаметър от 0,1 до 0,15 мм или литцендрат.

Коефициентите  $m$  и  $p$  се определят от графичите, показани на фиг. 291.

За подобряване на насочените й свойства магнитната антена се поставя в електростатичен екран, който представлява тънкостенен цилиндър.

#### е. Приемни телевизионни антени

Приемните телевизионни антени по своето устройство и начините на приложението им значително се отличават от приемните антени за радиоразпръскването. Това се дължи както на специалните свойства на антените, така и на разпространението на УКВ, което твърде много се отличава от разпространението на дългите, средните и късите вълни.

Добро приемане на УКВ е възможно на сравнително неголямо разстояние, малко превишаващо зоната на пряката видимост. Радиусът на действие на телевизионния предавател се определя главно по стойностите на височините на предавателната и приемната антена, а именно:

$$r = \sqrt{2a}(\sqrt{h} + \sqrt{z}),$$

където  $a$  е радиусът на земята;

$h$  — височината на предавателната антена;

$z$  — височината на приемната антена.

Така например, ако предавателната антена има височина 100 м, а приемната антена 10 м, разстоянието на оптичката видимост е приблизително 47 км.

Благодарение на явлениято рефракция УКВ са способни частично да обвиват повърхността на земята, като далечината на действието им превишава далечината на разпространението на директния лъч.

УКВ понякога се приемат на разстояние 1500—2000 км. Причините за такова свръхдалечно приемане не са достатъчно проучени.

Електромагнитното поле, създавано от антената на телевизионната станция във всяка точка на пространството, се характеризира с два основни параметъра: напрегнатост на полето и поляризация.

Напрегнатостта на електромагнитното поле в мястото на приемането се измерва във волтове на метър (в/м), като  $1 \text{ в/м} = 1000 \text{ мв/м} = 1\,000\,000 \text{ мкв/м}$ .

Напрегнатостта на полето зависи от разстоянието до телевизионната станция. Колкото е по-далечно мястото на приемането от телевизионния център, толкова е по-ниска напрегнатостта на полето и толкова е по-слаб приетият сигнал.

Напрегнатостта на полето в градовете може чувствително да се изменя даже в пределите на един неголям район. Причините за това са, че стойността на напрегнатостта на полето във всяка точка се определя както от директните вълни, идващи от предварителната антена на телевизионния център, така и от отразените вълни от сградата и земята повърхност. В резултат на интерференцията на тези вълни в едни точки се получава усилване на полето, а в други отслабване на полето.

Телевизионният сигнал заема твърде широка честотна лента. В мястото на приемането вследствие на сумирането и изваждането на директния и отразения сигнал става усилване на полето на едни честоти и отслабване на полето

на други честоти, което предизвиква честотни изкривявания на телевизионния образ. С подбиране мястото на антената може да се избягат тези изкривявания.

Интерференцията на УКВ втрѣ в помещенията е много по-голяма, отколкото на ВЧ. Това се обяснява със значителните отражения от стените и на различните предмети, намиращи се в стаите. Полето втрѣ в помещенията обикновено се явява като стоящи вълни с явно изразени минимума и максимуми.

Напрегнатостта на полето втрѣ в помещенията е значително по-ниска, отколкото на покрива на сградата, което се обяснява с екраниращото действие на окръжаващите здания и частичното поглъщане енергията на вълните от стените. В малкозастроените райони електромагнитното поле в помещенията малко се различава от това на покрива на сградите.

В зоната на пряката видимост напрегнатостта на полето е значителна и стабилна за сигурно приемане на телевизионна програма. Но с увеличаване на разстоянието на няколко десетки километра от телевизионната предавателна станция напрегнатостта на полето чувствително спада, което изисква да се поставят насочени антени.

На таблица 46 са дадени средните стойности на напрегнатостта на полето на Софийския телевизионен център, работещ на седми канал ( $f = 183,25$  мгхц) за зоната на пряката видимост, с височина на приемната антена около 20 метра.

Таблица 46

Разстояние до телев. център в км	3	6	10	12	15	20	30
Напрегнатостта на полето в мкв/м	15000	12000	8000	5000	2000	280	250

Понякога се срещат случаи на телевизионно приемане от телевизионни предаватели, намиращи се на разстояние няколко хиляди километра от мястото на приемането. Такова приемане е възможно при определено състояние на йоносферата, когато метровите вълни не пробиват йонизираните слоеве, а се отразяват обратно на земята. Разбира се, такова приемане е случайно, тъй като йоносферата бързо изменя своите свойства и височината на йонизираните слоеве. Обикновено такова далечно приемане става на честоти от 30 до 60 мгхц, а на честоти, по-високи от 100 мгхц, е невъзможно.

Приемните телевизионни антени, както и антените за радиоразпръскването се характеризират със следните параметри: входно съпротивление, диаграма на насоченост, действаща дължина и коефициент на усилване.

Входното съпротивление на антената е съпротивлението в точките на включване фидера. Това съпротивление има в най-общия случай активна и реактивна (индуктивна или капацитивна) компонента.

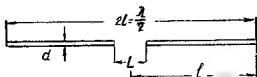
Ако е настроена антената в резонанс, тогава нейната реактивна компонента е равна на нула.

Диаграмата на насоченост на приемните антени се характеризира със зависимостта на  $e_{дс}$ , създадена от електромагнитното поле, от посоката на приемания сигнал.

Например на краищата на полувълновия вибратор (фиг. 292) се констатира най-голяма  $e_{дс}$ , когато приемният сигнал пристига по направление перпен-

дикулярно на вибратора и най-малка  $eds$  (равна на нула), когато направлението, откъдето идва сигналът, съвпада с оста на вибратора.

Действаща дължина на приемния вибратор наричат величината, по която трябва да се умножи напрегнатостта на полето в мястото на приемането,



Фиг. 292. Симетричен полувълнов вибратор

така че да се получи стойност на  $eds$ , установена на краищата на антената при пристигане на сигналите от направление с максимално приемане.

Действащата дължина се измерва в метри и зависи главно от геометричните размери на антената и дължината на вълната.

За линейния полувълнов вибратор действащата дължина е

$$h_d = \frac{\lambda}{\pi},$$

където  $\lambda$  е дължина на вълната в  $M$ .

$$\pi = 3,14.$$

Ако знаем напрегнатостта на полето в точката на приемането, параметрите на приемната антена, типа и дължината на кабела, можем да определим напрежението на входа на приемника по формулата:

$$U = \frac{E \cdot h_d}{2} \cdot K \cdot \sqrt{\frac{R_{np}}{R_a}} \cdot e^{-\beta l},$$

където

$R_{np}$  — входното съпротивление на приемника в  $OM$ ;

$R_a$  — входното съпротивление на антената в  $OM$ ;

$E$  — напрегнатостта на полето в точката на приемането в  $MKB/M$ ;

$h_d$  — действащата дължина на антената в  $M$ ;

$K$  — коефициент на усиляването на антената по напрежение;

$e^{-\beta l}$  — коефициент, отчитащ загубите в кабела на снижението.

Стойностите на  $\beta$  за кабели от различни типове (съветско производство) са дадени в първа глава I. 8.

За кабели от типа РК-1 и РК-3 стойностите на коефициента  $e^{-\beta l}$  за дванадесетте телевизионни канала при различни дължини на снижението са дадени съответно в табл. 47 и табл. 48.

Ако входното съпротивление на телевизора не е равно на вълновото съпротивление на кабела, част от енергията, постъпваща във входа на приемника, се отразява обратно към антената. По тази причина на входа на телевизора се появяват ред последователно изместени по време повторни сигнали, които при дълъг кабел се проявяват на екрана като двойни образи, а при къс кабел се влошава четливостта (детайлността) на образа.

Таблица 47

Коефициент  $e^{-\beta l}$  за кабел РК-1

Телевизионни канали	Дължина на кабела в метри								
	10	20	30	40	50	60	70	80	100
1	0,92	0,86	0,79	0,73	0,67	0,62	0,57	0,53	0,45
2	0,91	0,84	0,77	0,70	0,64	0,59	0,53	0,49	0,41
3	0,90	0,81	0,73	0,65	0,59	0,54	0,48	0,43	0,35
4	0,89	0,80	0,72	0,64	0,58	0,53	0,47	0,42	0,33
5	0,88	0,79	0,71	0,62	0,56	0,50	0,44	0,39	0,31
6—8	0,83	0,70	0,58	0,49	0,46	0,34	0,29	0,24	0,17
9—12	0,82	0,69	0,56	0,47	0,38	0,32	0,26	0,21	0,14

Таблица 48

Коефициент  $e^{-\beta l}$  за кабел РК-3

Телевизионни канали	Дължина на кабела в метри									
	10	20	30	40	50	60	70	80	90	100
1	0,95	0,90	0,86	0,81	0,77	0,73	0,69	0,65	0,62	0,59
2	0,94	0,89	0,84	0,79	0,74	0,70	0,66	0,62	0,59	0,56
3	0,93	0,87	0,81	0,76	0,71	0,66	0,62	0,58	0,54	0,50
4	0,92	0,86	0,80	0,75	0,70	0,65	0,61	0,56	0,52	0,47
5	0,91	0,85	0,79	0,73	0,68	0,62	0,58	0,53	0,49	0,44
6—8	0,89	0,79	0,71	0,63	0,57	0,50	0,45	0,40	0,36	0,32
9—12	0,88	0,78	0,70	0,61	0,54	0,47	0,42	0,37	0,33	0,29

За качествено телевизионно приемане голямо значение има качеството на антената и нейното правилно монтиране и разположение.

Най-простата антена, която е намерила голямо приложение в обхвата на метровите вълни, е полуълновият вибратор.

На фиг. 293 е дадена хоризонталната диаграма на полуълновия вибратор, за която насочеността е равна на  $90^\circ$  и максималната сила на приемането се получава тогава, когато плоскостта на вибратора е насочена към предавателната телевизионна станция. Пълното входящо комплексно съпротивление на вибратора е равно на

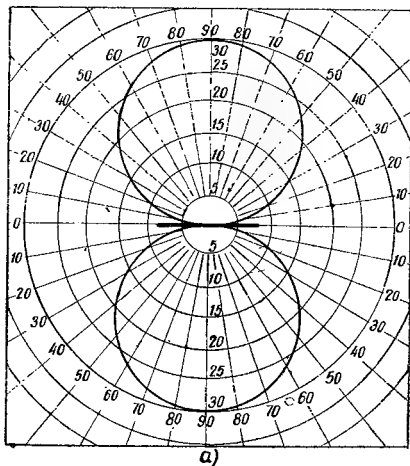
$$Z_{вх} = R + jx = 73,1 + j42 \text{ (ом)}.$$

Това съпротивление зависи от разпределението на тока и напрежението на вибратора.

Реактивната компонента на входящото съпротивление влошава честотната характеристика и коефициента на полезното действие на антената. Обикно-



вено в практиката при настройка на вибратора в резонанс входното съпротивление става активно, т. е. така се подбира дължината на вибратора, че реактивното съпротивление да стане равно на нула. На фиг. 294 е дадена



Фиг. 293. Хоризонтална диаграма на полуълнов вибратор

зависимостта на реактивната и активната компонента на входното съпротивление на полуълновия вибратор от неговата дължина. При резонанс на дължината на вибратора реактивната компонента  $X = 0$ , а активната  $R = 73 \text{ ом}$  — вибраторът има дължина  $l = 0,47 \lambda$ , т. е. по-малка от половината на дължината на вълната.

Приемните телевизионни антени, които се използват в практиката, имат входно съпротивление от порядъка на 30 до 300 ом.

В полуълновия вибратор активните загуби са много малки, от което следва, че излъчвателното съпротивление е почти равно на активното съпротивление на антената 73 ом. Обикновените радиоразпръсквателни приемни антени имат излъчвателно съпротивление  $R_{\text{изл.}}$  много по-малко.

Приемната телевизионна антена трябва да пропуца без значителни изкривявания целия спектър на телевизионния сигнал, излъчен от предавателя и имащ лента от 6,75 мхц. Честотната лента, пропускана от приемната теле-

визионна антена, се явява характеристика на антената, в значителна степен тя определя качеството на образа на телевизионния екран. При пропускане на тясна честотна лента яснотата на приемания образ рязко се влошава. Обикновено за да се разшири честотната лента на приемната антена, вибраторите се изработват от металически тръби с диаметър от 10 до 30 мм. Антената се съединява с приемника с помощта на фидерна линия. Последната може да бъде симетрична или несиметрична и се характеризира с вълновото си съпротивление, което се дефинира като отношение на напрежението към тока на „бягащата“ вълна по протежение на линията. Вълновото съпротивление зависи от размерите на проводниците на линията, от разстоянието между проводниците, от диелектричната константа на изолаторите, разделящи проводниците, но не зависи от дължината на линията. Вълновото съпротивление на линията е толкова по-голямо, колкото е по-малък взаимният капацитет на единица дължина на линията. Що се отнася до загубите в линията, те зависят главно от нейната дължина. Колкото повече са загубите по фидера, толкова по-малък е полезният сигнал, подаван към телевизора.

За пълното използване на полезния сигнал, приеман от антената, е необходимо преди всичко добро съгласуване на вълновото съпротивление на антената с фидера, както и на фидера с входа на приемника, т. е. да е изпълнено условието:

$$R_a = W_\phi = R_{\text{вр}},$$

където

$R_a$  е активното входно съпротивление на антената в  $\Omega$ ;

$W_\phi$  — вълновото съпротивление на фидера в  $\Omega$ ;

$R_{\text{вр}}$  — активно съпротивление на входа на приемника в  $\Omega$ .

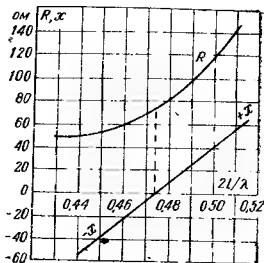
Разликата във вълновото съпротивление на фидера и входа на приемника се отразява много по-силно, отколкото разликата на вълновите съпротивления на фидера и антената на качеството на приемния сигнал и КПД на антената.

Указание за нарушено съгласуване и наличие на отражение служи коефициентът на отражението

$$\rho_{\text{отр}} = \frac{U_{\text{отр}}}{U_{\text{изт}}},$$

където  $U_{\text{отр}}$  е напрежението, отразено от товара;

$U_{\text{изт}}$  — напрежението на източника.



Фиг. 294. Зависимост на реактивната и активната компоненти на входното съпротивление на полувълновия вибратор от неговата дължина

При съгласуване на фидера с товара, т. е. когато линията е натоварена с активно съпротивление, равно на нейното вълново съпротивление, коефициентът на отражението е равен на нула.

За да се осигури максимална сила на приемането, приемната антена трябва да бъде правилно ориентирана по отношение на предавателната антена и да има еднаква с нея поляризация. Така например, ако предавателната антена излъчва хоризонтално поляризован вълн, при което електрическото поле е хоризонтално, приемната антена също ще трябва да се разположи хоризонтално.

**Съгласуване на антената с фидера.** Фидерните линии се използват като снижения на антените, т. е. за предаване на енергията на високочестотните сигнали от антената до входа на приемника. Те могат да бъдат симетрични и несиметрични. За фидерна линия от антената до телевизионния приемник понастоящем се използват проводници или двупроводен високочестотен кабел. Понякога за симетрична линия използват обикновен шнур, свит от два проводника.

Изчислението на вълновото съпротивление на проста двупроводна фидерна линия може да стане по формулата:

$$W_{\phi} = 276 \cdot \log \cdot \frac{d}{r} \text{ (ом)},$$

където  $d$  е разстоянието между паралелните проводници на фидерната линия в мм;

$r$  — радиусът на проводниците в мм.

Вълновото съпротивление на коаксиалния фидер с въздушен диелектрик може да се изчисли по формулата:

$$W_{\kappa\phi} = 138 \cdot \log \cdot \frac{D}{d} \text{ (ом)},$$

където  $D$  е вътрешният диаметър на външния проводник в мм;

$d$  — диаметърът на вътрешния проводник в мм.

Ако пространството между проводниците на коаксиалния фидер е запълнено с диелектрик, тогава изчислението на вълновото съпротивление става по формулата:

$$W_{\kappa \cdot \phi} = \frac{138}{\sqrt{\epsilon}} \cdot \log \cdot \frac{D}{d} \text{ (ом)},$$

където  $\epsilon$  е диелектричната проникваемост на диелектрика, използван в кабела.

Обикновено вълновото съпротивление на различните марки коаксиални кабели е известно. Когато марката на кабела е неизвестна, вълновото съпротивление на този кабел може да се определи по номограмата на фиг. 295, като предварително трябва да се измерят вътрешният диаметър на външния проводник  $D$  и диаметърът на централното жило  $d$ .

Отчитането на вълновото съпротивление на средата на скалата става, като съединим с права линия стойностите на измерените диаметри.

Когато не може да се намери коаксиален кабел, правят фидер от електрически шиур, телефонен кабел или обикновен монтажен проводник. Разбира се, използването на такива фидери е възможно само в райони, разположени близо до телевизионната станция. В таблица 49 са дадени видовете фидери и вълновото им съпротивление.

Коефициентът на полезното действие на фидера при условие, че същият е съгласуван с товара, може да се пресметне по формулата:

$$\eta = e^{-2\beta l}$$

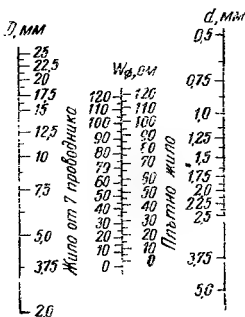
където  $e$  е натуралният логаритъм, равен на 2,75;

$\beta$  — затихването на линията в неп;

$l$  — дължината на линията в м.

При  $\beta l$  по-малко от 0,2

$$\eta \approx 1 - 2\beta l$$



Фиг. 295. Номограма за изчисление на вълновото съпротивление на коаксиален кабел

Таблица 49

№	Фидери	Вълново съпротивление (о м)
1	Осветителен шиур $2 \times 1 \text{ мм}^2$ . . . . .	130 — 140
2	Осветителен шиур $2 \times 1,5 \text{ мм}^2$ . . . . .	135
3	Телефонен кабел с хлорвинилова изолация $2 \times 0,5 \text{ мм}^2$ . . . . .	140 — 150

### ж. Видове телевизионни антени

Най-разпространените прости еднопрограмни антени са симетричният полувълнов вибратор и полувълновият шлейф-вибратор.

Симетричният полувълнов вибратор (фиг. 292) се изработва от желязни, месингови, дуралуминиеви и медни тръби и има обща дължина, приблизително половината от дължината на вълната. Към двата дипола в средата се включва фидерът, който свързва антената с телевизионния приемник.

Ако геометричната дължина  $l$  на симетричния вибратор е равна на половината от дължината на вълната, същият не е настроен в резонанс. При това входното съпротивление на антената има комплексен характер, като реактивната компонента има индуктивен характер. За да се настрои вибраторът в резонанс, дължината на диполите се скъсява.

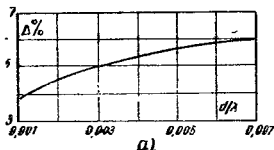
Пресмятането на резонансната дължина на вибратора става по формулата:

$$l = \frac{\lambda_{\text{ср}}}{2} \cdot \left(1 - \frac{\Delta\%}{100}\right),$$

където  $\lambda_{\text{ср}}$  е дължината на вълната, която съответствува на средната честота на телевизионния канал.

$\Delta\%$  — коефициент на скъсяването в  $\%$ .

На фиг. 296 е даден коефициентът



Фиг. 296. Коефициент на скъсяването  $\Delta\%$  във функция от  $d/\lambda_{\text{ср}}$

на скъсяването  $\Delta\%$  във функция от  $d/\lambda_{\text{ср}}$ .  $\Delta\%$  зависи от отношението на диаметъра на тръбата, от която е направен вибраторът, към средната дължина на вълната.

Пропусканата честотна лента на вибратора зависи от неговия диаметър. Колкото е по-голям диаметърът на вибратора, толкова същият пропуска по-широка честотна лента. Задоволително широка лента може да пропуска вибраторът на каналите от 48,5 до 230 МГц, ако диаметърът на тръбата, от която са направени диполите, е по-голям от 8 мм.

Разстоянието  $L$  между диполите (фиг. 292) трябва да се избира от 50 до 80 мм.

Симетричният пълновълнов вибратор се монтира върху металническа или дървена мачта с помощта на изолатори от високочестотна керамика или пластмаса.

Симетричният вибратор се използва за телевизори с несиметричен вход (75 ом) и телевизори със симетричен вход (300 ом).

Като правило антената трябва да бъде съгласувана с кабела. Външната повърхност на екрана на коаксиалния кабел не трябва да създава потенциална разлика във входа на телевизора. При несъгласувана с кабела антена се намалява нейната ефективност и възниква двойно изображение на екрана на телевизора.

Коаксиалният кабел се съединява с полувълновия вибратор обикновено по схемите, показани на фиг. 297.

В първата схема (фиг. 297 а) към двата дипола на вибратора е запоеен симетричен четвъртвълнов шлейф, направен от металнически тръби. През една от тръбите на шлейфа се прокарва коаксиалният кабел, който се включва към вибратор по следния начин: оплетката на кабела се запоява към единия дипол на вибратора, а жилото към другия дипол.

Дължината на шлейфа (от вибратора до даващия накъсо проводник) е равна на  $\lambda/4$  и се избира съгласно таблица 50.

Диаметърът на тръбите на шлейфа се избира от 10 до 20 мм. Входното съпротивление на затворения накъсо шлейф е доста голямо за цялата честотна лента на телевизионните канали, вследствие на което не се нарушава съгласуването между антената и кабела.



Във втората схема (фиг. 297г) коаксиалният кабел се включва към вибратора посредством колена във формата на U, изпълнени от същия кабел, от който е направено сниженето. Дължината на U-коляното на вибратора е равна на средната дължина на вълната в кабела за дадения телевизионен канал. Средната дължина на вълната се определя по формулата:

$$\lambda_{ср\ k} = \frac{\lambda_{ср}}{\sqrt{\epsilon}},$$

където  $\epsilon$  е диелектричната константа на материала, от който е направен кабелът.

Кабелът на сниженето (антенноотводът) се свързва към U-коляното на разстояние  $\frac{1}{4} \lambda_{ср\ k}$  от единия дипол на симетричния вибратор. Кабелното жило се съединява с жилото на кабела на U-коляното, а оплетката — с оплетката на кабела на U-коляното.

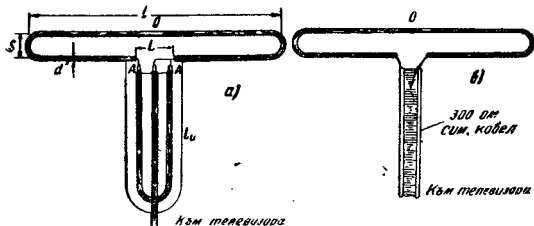
U-коляното се прави от две парчета кабел, като едното има дължина  $l_1 = \frac{3}{4} \lambda_{ср\ k}$ , а другото  $l_2 = \frac{1}{4} \lambda_{ср\ k}$ .

Стойностите на  $l_1$  и  $l_2$  за всеки телевизионен канал са дадени в таблица 51.

Таблица 51

Телевизионни канали	1	2	3	4	5	6—7	8—9	10—12
1 (ММ) . . . . .	2850	2400	1860	1680	1545	840	750	690
2 (ММ) . . . . .	90	800	620	560	515	280	250	230

Полувълновият шлейф-вibrator (фиг. 298) е друга разновидност на полувълновия vibrator.



Фиг. 298. Полувълнов шлейф-вibrator

Резонансната дължина на шлейф-вibratorа се определя по същата формула, каквато е за симетричния vibrator. Еквивалентният диаметър на шлейф-вibratorа  $d_{екв}$  се пресмята по формулата

$$d_{екв} = \sqrt{2dS},$$

където  $d$  е диаметърът на тръбите;

$S$  — разстоянието между осите на тръбите.

След определяне на  $d_{\text{екв}}$  може да се изчисли отношението  $d/\lambda_{\text{ср}}$  и по кривата на фиг. 296 да се определи коефициентът на скъсяването.

В таблица 52 са дадени размерите на шлейф-вibratora за дваинадесетте телевизионни канала при диаметър на тръбите  $d = 10$  до  $20$  мм и разстояние между осите на тръбите  $S = 70$  мм.

Таблица 52

Телевизионни канали	Дължина на vibratora $l$ в мм	Дължина на U-коляното $l$ в мм	Телевизионни канали	Дължина на vibratora $l$ в мм	Дължина на U-коляното в мм
1	2760	1900	5	1510	1030
2	2340	1600	6—7	780	560
3	1790	1240	8—9	710	500
4	1620	1120	10—12	650	460

Настройният в резонанс шлейф-вibrator има входно съпротивление 292 ом.

Електрическите свойства на симетричния vibrator и на шлейф-вibratora са еднакви. Тези две антени имат еднакви насочени хоризонтални диаграми (фиг. 293), както и еднакви вертикални диаграми и коефициенти на усиляване.

Ако двата vibratora са направени от тръби с еднакъв диаметър, пропускащата честотна лента на шлейф-вibratora е по-широка.

Въпросът за използването на едната или другата антена се решава, като се изхожда само от конструктивни съображения и от наличността на материалите. Така например шлейф-вibratorът много лесно се монтира върху мачтата, но за изработването му са нужни повече тръби.

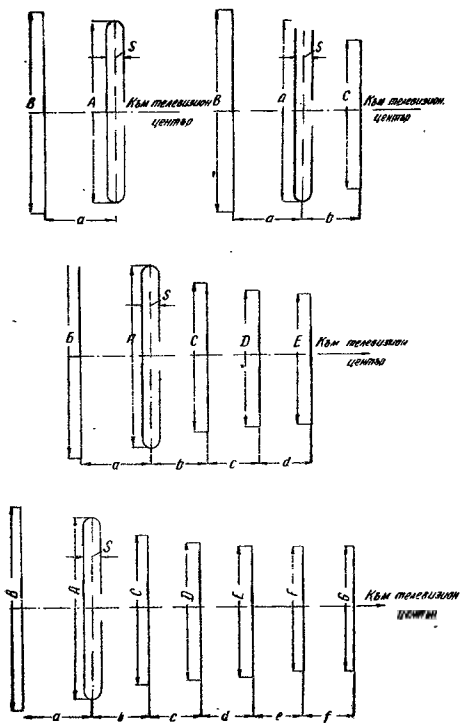
Полувълновите vibratorи се използват за телевизори, намиращи се на разстояние, не по-голямо от 25—35 км от телевизионния център.

Външни насочени телевизионни антени. За външни насочени антени в обхвата на УКВ се използват различните типове антени, състоящи се от активен vibrator (линеен или шлейф-вibrator) и пасивни vibratorи (рефлектори и директори), разположени върху една стрела. Пасивните vibratorи се изработват от тръби, които се закрепват върху стрелата без изолатори.

На фиг. 299 са показани три варианта насочени антени.

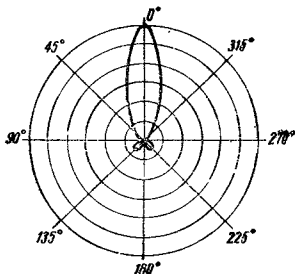
Пасивните vibratorи, разположени зад активния vibrator, се наричат рефлектори, а тези, разположени отпред — директори. Те осигуряват еднонаправени излъчвателни характеристики, когато се поставят на разстояние  $\lambda/4$  от активния vibrator. Обикновено рефлекторът се разполага по близо към активния vibrator, за да се увеличи амплитудата на тока в рефлектора. В този случай рефлекторът се прави по-дълъг от  $\lambda/2$  за осигуряване нужната фаза на тока в рефлектора в нма индуктивен характер.





Фиг. 299. Възши насочени телевизионни антени (скица за разположение на вибраторите)

Директорите се правят по-къси от  $\lambda/2$  и имат съпротивление с капацитивен характер. На фиг. 300 е дадена хоризонталната диаграма на насочената телевизионна антена.



Фиг. 300. Хоризонтална диаграма на насочена телевизионна антена

Многоеlementните антени имат голям коефициент на усилване и тясна пропускана честотна лента.

В табл. № 53 са дадени стойностите на коефициента на усилването в зависимост от броя на пасивните вибратори в антената.

Таблица 53

Брой на пасивните вибратори	1	2	3	4	5	6
Коефициент на усилването	1,3—1,5	1,7—2,0	2,1—2,4	2,5—2,8	2,9—3,2	3,3—3,6

В таблиците 54, 55, 56 и 57 са дадени геометричните размери на многоеlementни антени с диаметър на тръбата от 10 до 20 мм и разстояние  $S = 80$  мм, така подбрани, че да се получат задоволителна ширина на пропусканата честотна лента и голям коефициент на усилването.

За активен вибратор в многоеlementната антена може да се използва и линейен вибратор, но по конструктивни причини същият не е много удачен. Ако за активен вибратор се използва шлейф-вибратор, то същият, както и пасивните вибратори се укрепват на стрелата без изолатори.

Коефициентът на усилването по напрежение на една елементна антена е 1,4; на триелементната —  $1,8 \div 1,9$ ; на петелементната —  $2,7 \div 2,8$  и на седемелементната —  $3,4 \div 3,5$ .

Таблица 54

## Геометрични размери на двуелементна приемна антена

Телевизионни канали	Размери в мм			Дължина на U-коляното в мм	Телевизионни канали	Размери в мм			Дължина на U-коляното в мм
	A	B	a			A	B	a	
1	2560	3140	900	1900	7	730	890	255	535
2	2180	2680	760	1600	8	700	850	240	515
3	1700	2060	590	1240	9	670	815	230	495
4	1530	1870	535	1120	10	640	785	225	475
5	1400	1710	490	1030	11	620	760	220	455
6	760	930	270	560	12	595	730	215	440

Таблица 55

## Геометрически размери на триелементната приемна антена

Телевизионни канали	Размери в мм					Дължината на U-коляното в мм
	A	B	C	a	b	
1	2760	3350	2340	900	600	1900
2	2340	2840	2000	760	510	1600
3	1790	2200	1550	590	395	1240
4	1620	2000	1400	535	355	1120
5	1510	1830	1290	490	330	1030
6	815	990	690	270	180	560
7	780	950	660	255	170	535
8	745	905	630	240	160	515
9	720	870	610	230	155	495
10	690	840	585	225	150	475
11	665	805	560	220	145	455
12	640	780	545	215	140	440

Таблица 56

## Геометрични размери на петелементната приемна антена

Телевизионни каналы	Размери в мм								Дължина на-У, команото	
	A	B	C	D	E	a	b	c		d
1	2760	3130	2510	2490	2430	1200	730	700	740	1900
2	2340	2650	2130	2100	2060	1030	620	590	625	1600
3	1790	2060	1650	1630	1600	790	460	460	485	1240
4	1620	1870	1500	1485	1450	720	435	420	440	1120
5	1510	1710	1370	1360	1330	660	400	380	400	1030
6	730	840	720	720	700	325	210	500	420	560
7	690	840	680	680	660	310	210	530	365	535
8	680	800	660	660	650	300	210	490	370	515
9	660	760	640	610	610	290	160	450	380	495
10	605	700	610	610	610	260	190	445	315	475
11	580	710	580	580	570	260	190	390	350	455
12	550	680	560	560	530	240	250	385	340	440

Използването на многоелементни антени с остра диаграма на насоченост в градските е изгодно, тъй като с тях се отстранява двойното изображение на екрана на телевизора.

Таблица 57

## Геометрични размери на седемелементната приемна антена

Телевизионни канал	Размери в мм													Дължина на 1/2 коланото в мм
	A	B	C	D	E	F	G	a	b	c	d	e	ff	
6	700	840	695	710	695	685	670	500	295	420	400	265	280	560
7	670	800	660	670	660	650	640	475	280	400	380	250	270	535
8	645	770	640	650	640	625	615	455	270	385	370	245	260	515
9	620	740	615	620	615	600	590	435	260	370	355	235	250	495
10	595	710	585	595	585	575	565	420	250	355	340	225	240	475
11	575	685	570	580	570	560	550	405	240	345	330	220	230	455
12	555	660	550	560	550	540	530	390	230	335	315	210	225	440

**Стайни телевизионни антени.** Стайните антени е необходимо да отговарят на следните условия: да са удобни за поставянето им в различни положения в стаята, да осигуряват задоволително приемане при изменение на

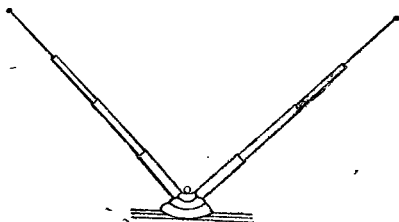
съотношенията на *едс*, получени от хоризонталната и вертикалната съставна на полето, и т. н.

Антени с много по-малки размери от  $\lambda/2$  имат малка ефективност, която може да се повиши със стесняване на пропусканата честотна лента.

Стайните телевизионни антени работят с кабели, дълги от 2 до 2,5 м. При тази малка дължина на кабела, ако антената не е съгласувана с него, не се влошава забележимо качеството на образа. Поради това в повечето случаи се препоръчва да не се съгласува кабелът с антената.

Изработваните понастоящем различни телевизионни стаини антени в основни линии са сходни по своите технически данни и малко се различават конструктивно.

Дванадесетканалната *стайна антена* (фиг. 301) се изработва от вълизащи една в друга тръби, дължината на които (за половината) при напълно вка-



Фиг. 301. Дванадесетканална *стайна телевизионна антена*

рани тръби вълиза на 370 мм, а при напълно изкарани тръби — 1400 мм. При изменение на дължината на тръбите в горепосочените предели антената може да бъде настроена на коя и да е честота от дванадесетте канала. Но размерите на тази антена за I до III канал са много големи, което е много неудобно за използването ѝ в стая.

Много по-удобна конструкция на антената се получава, като се съкрати дължината на двете половинки на вибратора и се включат индуктивни бобини.

Дължината на всяка половина на вибратора след включването на индуктивните бобини при напълно извадени тръби е не повече от 770 мм, т. е. почти два пъти по-малка.

Антената се съединява с приемника чрез коаксиален кабел с вълново съпротивление от 50 до 80 ом.

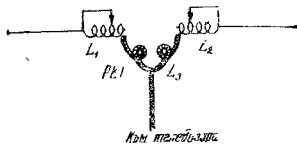
На фиг. 302 е показана схемата на дванадесетканална *стайна антена*.

Бобината  $L_3$  се прави от същия кабел, от който е направено синжението на антената, като се навива върху картонено тяло с диаметър 25 мм и се закрепва с конци.

Бобините  $L_1$  и  $L_2$  имат по 8 навивки и се навиват със стъпка 2 мм от проводник 0,8 мм върху тяло, изработено от органическо стъкло, текстолит или друг изолационен материал с диаметър 13 мм.

Всяка половина на вибратора на антената се състои от три влизащи една в друга месингови, алуминиеви или железни тръби. Диаметърът на най-тънката тръба не трябва да бъде по-малък от 6 мм.

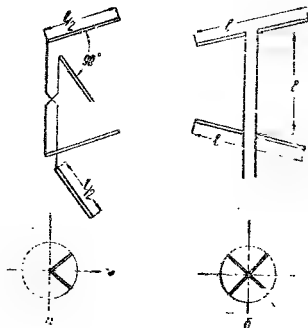
Коефициентът на усиляването на такава антена за I и II канал е равен на 0,8, а на останалите — около 1.



Фиг. 302. Схема на дванадесетканална стайна антена

### 3. Ненасочени УКВ приемни антени

Ненасочените УКВ антени се използват за приемане от предаватели с ЧМ, разположени в различни направления. На фиг. 303 са показани два типа виб-



Фиг. 303. Вибратори на ненасочени УКВ антени

ратори на антени, които имат насочена характеристика в хоризонталната равнина във вид на кръг.

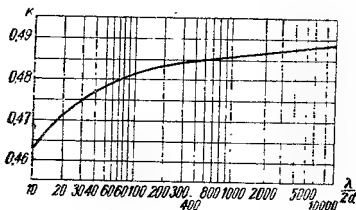
Пресмятането на УКВ антени става по същия начин както на телевизионните антени.

Дължината на рамото на вибратора е около една четвърт от средната вълна на предавателя.

По-точно дължината на вибратора  $l$  може да се определи по формулата  $l = K\lambda$ ,

където  $\lambda$  е дължината на средната вълна на предавателя;

$K$  — коефициентът на скъсяването, който може да се определи от графика на фиг. 304 в зависимост от отношението  $\lambda/2d$  към диаметъра на вибратора  $d$ .



Фиг. 304. График за коефициента на скъсяването на полуwave вибратор

Вибраторите се изработват от медна или алуминиева тръба с диаметър от 1,5 до 25 мм.

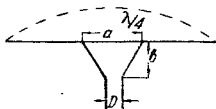
## 2. Анени за приемно-предавателни любителски радиостанции

### а. Слабо насочени приемно-предавателни антени

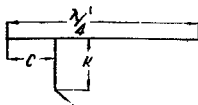
**Симетричен вибратор.** Най-разпространеният тип антена в радиолюбителската практика е симетричният вибратор (фиг. 305), дължината на всяко рамо на който е равна на 0,25 от дължината на вълната. Практически това условие не се спазва поради наличието на известен капацитет в краищата на проводника. Това изисква да се скъси дължината на полуwave вибратор. Коефициентът на скъсяването зависи главно от работната дължина на вълната и диаметъра на проводника. За любителските условия дължината на полуwave вибратор се взема равна на  $0,475\lambda$ , а диаметърът на проводника — до 3—4 мм. Вместо меден проводник може да се използва въже или биметален проводник.

Полуwave вибратор се съединява с приемника или предавателя с помощта на съединителна линия. Необходимо е входното съпротивление да бъде равно на вълновото съпротивление на линията, равно на 600—700 о.м.

При използване на двупроводна линия същата се съединява с антената, така както е показано на фиг. 305. При използване на еднотроводна линия антената се свързва съгласно фиг. 306. Общата дължина на вибратора се



фиг. 305. Симетричен вибратор, съединен с двупроводна линия



Фиг. 306. Симетричен вибратор, съединен с еднотроводна линия

взема  $0,475 \lambda$ . Основните размери на вибраторите, дадени на фиг. 305 и 306, се определят, както следва:

$$a = 0,13 \lambda$$

$$b = 0,05 \lambda$$

$$D = 75 d,$$

където  $d$  е диаметърът на проводника на линията.

$$C = 0,17 \lambda$$

$$K = 0,15 \lambda,$$

където  $K$  е разстоянието, по протежение на което линията трябва да бъде перпендикулярна на антената.

Полувълновият вибратор може да бъде поставен вертикално и хоризонтално.

Вертикалният вибратор в хоризонталната равнина има ненасочено действие, т. е. той излъчва еднакво във всички направления. Хоризонталният вибратор има изразена двустранна насоченост.

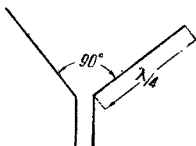
Вертикалната антена, монтирана на сравнително-неголяма височина, осигурява излъчване във вертикалната равнина под ъгъл, много по-малък от този при хоризонталната антена. Това е от голямо значение при реализиране на радиовръзки на големи разстояния.

Вертикалната антена има ненасочено действие в хоризонталната равнина, е една от най-използуваните от радиолюбителите, за които е необходима проста, лесно изпълнима антена за връзка с всички направления. В по-прост вид тази антена се прави от медна тръба с дължина  $l = 0,485 \lambda$ ; с диаметър от 3 до 5 мм и отвод от тънък проводник или въже с диаметър от 2 до 2,5 мм. Точната дължина на антената може да се подбере опитно по максималната стойност на тока в антената, тъй като изчислените данни за влиянието на окръжаващите антената предмети могат да се окажат неверни.

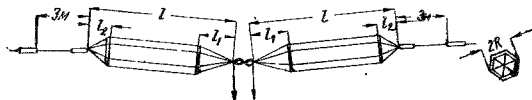
Ъглова антена. Състои се от два дипола, разположени под ъгъл  $90^\circ$  един спрямо друг (фиг. 307). Такава антена в хоризонталната равнина дава равномерно излъчване във всички страни. Във вертикалната равнина диаграмата на насоченост е сходна с тази на полувълновия вибратор.



Диполът на Надененко. Друг тип хоризонтален симетричен вибратор, който работи в относително широк вълнов обхват, е вибраторът на Надененко — с понижено вълново съпротивление. На фиг. 308 е дадено схематично устройството на антената на Надененко.



Фиг. 307. Ъглова антена



Фиг. 308. Схематично устройство на дипола на Надененко

Колкото е по-голям радиусът  $R$  на дипола, толкова е по-малко вълновото съпротивление на вибратора и толкова е по-широк работният обхват на антените.

Вълновото съпротивление на вибратора се определя по формулата.

$$W_v = 276 \left( \log \frac{2l}{R_{\text{екв}}} - 0,435 \right), \text{ в } \text{ом},$$

където  $l$  е дължината на рамото на вибратора в  $\text{м}$ ;

$R_{\text{екв}}$  — еквивалентен радиус на вибратора, пресметнат по формулата.

$$R_{\text{екв}} = R \sqrt[n]{\frac{n \cdot r}{R}},$$

където  $R$  е радиусът на цилиндричната повърхност в  $\text{м}$ ;

$n$  — броят на проводниците;

$r$  — радиусът на проводника в  $\text{м}$ .

Обикновено радиусът  $R$  се взема от 0,5—1  $\text{м}$ , броят на проводниците се приема равен на 6 до 8. При това вълновото съпротивление на антената се получава от порядъка на 250 до 400  $\text{ом}$ .

За любителските обхвати на 40, 20, 14 и 10 м съответно  $l = 8$  м,  $l_1 = 3$  м,  $l_2 = 1$  м,  $2R = 1$  м. Диаметърът на проводниците — от 1,5 до 3 мм.

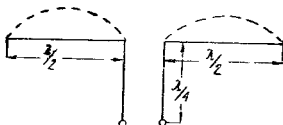
Входното съпротивление на такава антена е приблизително равно на 300 ом.

При дипола на Надененко фидерната линия е двупроводна, която трябва да се съедини с антената посредством експоненциална линия с вълново съпротивление от 300 до 600 ом. Такава линия трудно се изработва, ето защо диполът на Надененко в радиолюбителската практика не е получил голямо приложение.

Диаграмата на насоченост на дипола е сходна с тази на полувълновия вибратор с единичен проводник.

## 6. Насочени антени

**Антенa с два полувълновa вибратора.** Най-прост тип насочена антена е тази, състояща се от два полувълновa вибратора (фиг. 309).



Фиг. 309. Антенa с два полувълновa вибратора

Както се вижда от фиг. 309, токовете на двете хоризонтални рамена на антената съвпадат по фаза. Максимално излъчване се получава в равнина, перпендикулярна на оста на антената (както обикновеният полувълнов вибратор), но насочената характеристика в дадения случай ще бъде рязко изразена. Вертикалните проводници не излъчват, тъй като в тях токовете са противоположни по посока и еднакви по стойност.

Коефициентът на усилване на такава антена (в сравнение с полувълновия вибратор) е примерно 1,5.

**Многоелементни антени.** Многоелементните антени могат да се състоят от един активен и няколко пасивни елемента, например един рефлектор и един директор, един рефлектор и два директора и т. н. В радиолюбителската практика повече от 4 елемента не се използват поради увеличаване размерите на антенната система. За УКВ се използват много сложни антени. За намаляване размерите на антените разстоянието между активните вибратори и рефлектора и любителската практика се взема равно на  $0,15\lambda$ , а разстоянието до директора —  $0,1\lambda$ .

За осигуряване на необходимата фаза на токовете в пасивните елементи рефлекторът се взема с 5% по-дълъг от активния елемент, а директорът с 4% по-къс.

Ориентировъчно дължините на елементите на антената се изчисляват по формулите:

дължината на активния вибратор  $l = 0,475\lambda$ ;

дължината на рефлектора  $l_p = 0,499\lambda$ ;

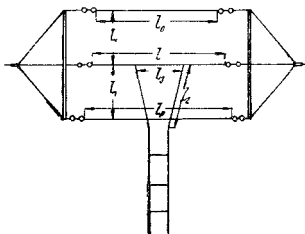
дължината на първия директор  $l_{d1} = 0,456 \lambda$ ;

дължината на втория директор  $l_{d2} = 438 \lambda$ ;

Триелементната антена (излъчвател, рефлектор и директор) има съпротивление на излъчване около 10 ом, а четириелементната 8 ом.

Коефициентът на усилване на двуелементната антена достига 3, а на триелементната — 5.

Най-проста конструкция на триелементната неподвижна антена е дадена на фиг. 310, която има рефлектор  $L_p$ , активен вибратор  $L_v$  и директор  $L_d$ .



Фиг. 310. Триелементна антена

За 20-метровия обхват тази антена има сравнително малки размери. Разстоянието между проводниците на съединителна линия се взема 0,15 м при сечение на проводниците на фидера 2 мм<sup>2</sup>.

Обикновено това разстояние се определя от формулата

$$D = 75 d,$$

където  $D$  е разстоянието между проводниците на фидера;

$d$  — сечението на проводниците в мм<sup>2</sup>.

Геометричните размери на такава антена за 20-метровия обхват са следните:

$$\begin{array}{ll} l = 10,05 \text{ м} & l_1 = 2,7 \\ l_d = 9,57 \text{ м} & l_2 = 3,1 \\ l_p = 10,77 \text{ м} & l_3 = 2,1 \end{array}$$

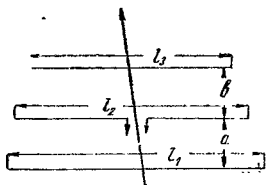
Антенната система се укрепва на две мачти с височина от 10 до 12 м, така че зданията, железобетонните конструкции да не пречат на излъчването.

**Въртящи се насочени антени.** Радиолюбителите провеждат радиовръзки с кореспондентите, които се намират в различни направления. Използването на една антена с остра насочена диаграма при тези условия не е рационално. Правилно решение е използването на антена с управлявана диаграма на излъчване. Тези антени дават възможност да се приема желаната станция с добра слушаемост и осигурява концентриране на излъчената енергия в кое и да е направление.

Изменението на насочната диаграма в любителската практика се извършва посредством механическото завъртане на антената. Разбира се, това може да се осъществява само в 10-, 14- и 20-метровия обхват, когато размерите на антените не са големи.

Широко разпространение са получили въртящите насочени антени с пасивни елементи.

Размери и конструкция на вибраторите. Пресмятането на размерите на вибраторите и разстоянията между тях беше разгледано по-горе. На фиг. 311 е дадена схема на триелементна антена с рефлектор и директор.



Фиг. 311. Схема на триелементна антена

В таблица 58 са посочени размерите на антени, предназначени за работа на любителските обхвати 10, 14 и 20 м. При настройването на антената тези размери подлежат на коригиране.

Таблица 58

Обхвати в м	Размери в см				
	$l_1$	$l_2$	$l_3$	$a$	$b$
10	535	505	490	160	105
14	720	670	655	215	145
20	1070	1010	980	322	215

Вибраторите се изработват от дуралуминиеви, медни или стоманени тръби с диаметър от 8 до 12 мм.

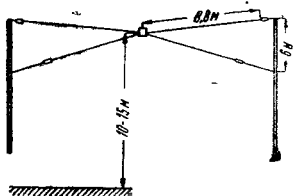
### в. Приемни KB антени

Висококачествените приемни антени до голяма степен подобряват приемането, намаляват индустриалните смущения и повишават избирателността на приемника.

За приемаето на къси вълни радиолюбителите обикновено използват приемна антена с дължина не по-дълга от 10—15 м и височина 8—10 м. За антени на късовълновите приемници могат да се използват: Г-образна антена, Т-образна антена, вертикална антена и спинални антени.

**Антишумова антена.** Тези антени радиолюбителите използват, когато при приемаето се наблюдават смущения от автомобили и електроуреди.

Схема на антишумова късовълнова антена за обхвата от 16 до 50 м е дадена на фиг. 312.



Фиг. 312. Схема на антишумова антена

Тази антена се състои от два на кръст разположени проводника, намиращи се в една равнина. Спижението се прави от осветителен шнур, но най-добре от гъвкав висококачествен кабел тип РД-16. Тазн антена има слабо изразено насочено действие: станциите, които се намират в направление, перпендикулярно на равнината, в която са разположени проводниците на антената, се приемат по-добре, отколкото тези, разположени под ъгъл  $\pm 75^\circ$  спрямо посочената равнина.

Значително подобрене на приемаето се получава при използването на диполни антени.

## РАДИОТЕХНИЧЕСКИ ИЗМЕРВАНИЯ

### 1. Особености на радиотехническите измервания

Радиотехническите апаратури имат свои характерни особености, по които се отличават от електротехническите устройства, като например много висока честота на токовете и напреженията, която може да се изменя в широк обхват; малка стойност на токовете, които често са несинусоидални и се изменят по сложни закони, и т. н. В резултат на тези особености при радиотехническите измервания заедно с величините, които се измерват при електротехническите измервания, като ток, напрежение, съпротивление, честота, се измерват също и други величини, а именно: ку-фактор ( $Q$ -фактор), коефициент на модулация, клир-фактор и др., които се явяват като отличителни черти на радиотехническите измервания.

Към радиотехническите измервания се предявяват особени изисквания. В болшинството случаи апаратурата, предназначена за радионизмерване, трябва да отговаря на следните изисквания:

- да осигурява достатъчна точност при измерванията в широк честотен обхват;

- да не внася разстройка в резонансните вериги, т. е. да има малък входен капацитет и индуктивност;

- да изразходва възможно малка мощност при измерването;

- да изисква малко време за подгряване и за самото измерване.

Характерът на радиотехническите измервания е определен от честотния обхват, в който става измерването. При това, ако на звуковите честоти обикновено се измерват токът, напрежението, индуктивността, капацитетът, съпротивлението, то на високите честоти от голямо значение е измерването на честотата, ку-фактора, напрегнатостта на полето, коефициента на бягащата вълна, коефициента на отражението и редица други величини.

При измерването на величините на ниските и високите честоти в различните подобхвати често се използват различни методи. Така например при измерването на съпротивление в обхвата на звуковите честоти обикновено се използва методът на моста, а при свръхвисоките — методът на измервателните линии. Неправилният избор на метода или измервателния уред може чувствително да увеличи грешката при измерването.

## 2. Грешки при измерванията

Радиотехническите измервания обикновено се оценяват по грешката, която се допуска при измерванията.

В практиката при измерванията различават четири вида грешки :

абсолютна грешка ;

действителна относителна грешка ;

номинална относителна грешка ;

приведена относителна грешка на измервателния уред.

Абсолютна грешка  $Y$  се нарича разликата между намерената стойност на измерваната величина  $A$  и нейната действителна стойност  $A_x$  :

$$Y = A - A_x$$

Действителната относителна грешка на измерването се изразява в проценти от действителната стойност на измерваната величина :

$$Y_x = \frac{Y}{A_x} \cdot 100 \%.$$

Номиналната относителна грешка на измерването се изразява в проценти от измерената величина :

$$Y_n = \frac{Y}{A} \cdot 100 \%$$

Приведената относителна грешка на измервателния уред се изразява в проценти от горния предел на скалното устройство :

$$Y_{np} = \frac{Y}{A_{np}} \cdot 100 \%$$

Така например, ако при измерването на напрежението на градската мрежа сме измерили с помощта на волтмер, поставен на обхват 300 в, променливо напрежение 220 в, което е действително 215 в, то абсолютната грешка на това измерване е :

$$Y = A - A_x = 220 - 215 = 5 \text{ в.}$$

Действителната относителна грешка на измерването е

$$Y_x = \frac{Y}{A_x} \cdot 100 \% = \frac{5}{215} \cdot 100 \% = 2,33 \%$$

Номиналната относителна грешка на измерването е

$$Y_n = \frac{Y}{A} \cdot 100 \% = \frac{5}{220} \cdot 100 = 2,27 \%$$

Приведената относителна грешка на волтмера при това измерване е

$$Y_{np} = \frac{Y}{A_{np}} \cdot 100 \% = \frac{5}{300} \cdot 100 = 1,7 \%$$

Точността на проведеното измерване до голяма степен зависи от точността на уреда, с който извършваме измерването.

Използването на много точни уреди, ако това е необходимо, е нерационално, като се има предвид, че тези уреди изискват квалифициран персонал и доста много време за самото измерване. Освен това те са много скъпи.

Точността на радиотехническите уреди се характеризира по различни начини и е в зависимост от системата на уредите и измерваните от тях величини.

В съветския стандарт ГОСТ 1845-52 класът на точността на уреда се определя от приведената максимална относителна грешка. Установени са седем класа за точност: 0,1; 0,2; 0,5; 1,0; 1,5; 2,5 и 4,0. Всеки клас съответствува на максимално допустимата за дадения уред приведена относителна грешка в проценти. Така например волтмер клас 2,5 със скала до 300 в при

измерванията допуска абсолютна грешка 
$$Y = \frac{Y_{\text{пр}} A_{\text{пр}}}{100\%} = 0,025 \cdot 300 = 7,5 \text{ в}$$

независимо от измерваното напрежение. При това, ако се използва началото на скалата на уреда, номиналната грешка може да достигне много голяма величина. Ако например при посочения волтмер напрежението е 20 в, греш-

ката в най-лошия случай достига 
$$Y_n = \frac{Y}{A} \cdot 100\% = \frac{7,5}{20} \cdot 100 = 37,5\%$$
 от стой-

ността на измерваното напрежение.

Ето защо правилно е пръв измерването да се работи с последната трета от скалата на уреда, за да се избегнат големите относителни грешки.

Разбира се, грешката при измерването не ще превъзхожда величината, показана в паспорта на измервателния уред, само в случай, че същият се използва: при нормална за него температура (обикновено  $+20^\circ\text{C}$ ); за честотата, за която той е изчислен; в нормално положение (хоризонтално или вертикално); и при условие, че напрежението на източника за захранване на уреда не се изменя извън границите на допустимите стойности. Обикновено с повишаване на честотата точността на измерването се намалява с изключение при измерването на честота, за която е изчислен уредът, макар и да е в обхвата на високите честоти. Обаче при свръхвисоките честоти точността на тези измервания също се понижава.

В табл. 59, са дадени техническите характеристики и условните обозначения на отделните системи електроизмервателни уреди, а в таблица 60 са дадени техническите характеристики на основните радионизмервателни уреди, съветско производство.



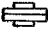


### 3. Разширение обхвата на измерването на електроизмервателните уреди

Добавъчните съпротивления в практиката се използват за разширяване обхвата на измерването на волтмерите. При магнетоелектричните уреди е необходимо напрежение от порядъка на 100 мв. За измерване на високи напрежения последователно на уреда се включва добавъчно съпротивление.

Добавъчните съпротивления се правят от манганинова или константанова жица.



Таблица 39

Условно означение	Техническа характеристика
	<p>Магнитоелектрична система. Равномерна скала. Уредът се отличава с висока чувствителност на точност. Токът при крайно отклонение не е повече от 10—20 <i>ма</i>. Използва се за измерване на постоянен ток</p>
	<p>Електромагнитна система. Неравномерна скала, сбита вляво. Най-малкият ток на пълното отклонение е 10—15 <i>ма</i>, вследствие на което вътрешното съпротивление на волт-мера не е по-голямо от 50 <i>ом/в</i>. Използва се за измерване на постоянен ток и променлив ток 50 <i>хц</i></p>
	<p>Електродинамична система. Неравномерна скала, голяма собствена консумация на мощност. Уредът се отличава с висока точност. Използва се за измерване на постоянен ток и променлив ток 50 <i>хц</i>, а също и като еталонен прибор при градуировка</p>
	<p>Термоелектрична система. Неравномерна скала. Уредът се използва за измерване на променлив ток с висока честота</p>
	<p>Детекторна система. Уредът се отличава с висока чувствителност по ток. Скалата е сбита в началото. Използва се за измерване на променлива и звукова честота</p>

Продължение от таблица 59






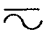
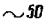


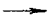
Условно означение	Техническа характеристика
	<p>Лампова система. Скалата е почти равномерна. Уредът се отличава с незначителна собствена консумация. Използва се в широк обхват на честотите от 1 хц до няколкостотни мегагерца</p>
	<p>Електростатична система. Уредът практически няма собствена консумация на мощност. Използва се за измерване на напрежения на маломощни източници за постоянен и променлив ток</p>
	<p>Клас за точност 2,5</p>
	<p>Уредът е предназначен за включване във верига за постоянен ток</p>
	<p>Уредът е предназначен за включване във верига за променлив ток</p>
	<p>Уредът може да се включи във верига за постоянен и променлив ток</p>
	<p>Честота 50 хц</p>
	<p>Изолацията е изпитана за 2 кв</p>
	<p>Вертикално поставяне на уреда</p>
	<p>Хоризонтално поставяне на уреда</p>

Таблица 60

Технически характеристики на основните уреди за радиоизмервания (съветско производство)

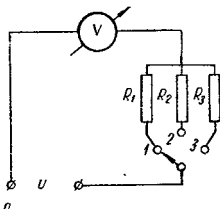
Наименование на уреда	Тип	Обхват на измерваната величина	Грешка в измерването	Допълнителни данни и технически характеристики
Амперволтмер	ТТ-2	$I_{\sim}$ — 5 подобхвата от 3—750 <i>ма</i> $\bar{U}$ — 5 " " 7,5—900 <i>в</i> $R$ — 1 <i>ом</i> — 2 <i>мгом</i>	$\pm 2,5\%$ $\pm 4\%$ $\pm 10\%$	Измерител тип ИТ — 150 <i>мка</i> $R_{изх}$ — 1500 <i>ом</i> $R_{вх}$ — 5000 <i>ом/в</i>
Амперволтмер	АВО-5 м	$I_{\sim}$ — 7 подобхвата от 60 <i>мка</i> — 12 <i>а</i> $I_{\sim}$ — 4 " " 3 <i>ма</i> — 12 <i>а</i> $\bar{U}_{\sim}$ — 7 " " 3—600 <i>в</i> $R$ — 0,3—300 <i>ком</i> и 0—30 <i>мгом</i>	$\pm 3\%$ $\pm 5\%$ $\pm 3\%$ $\pm 3\%$	Измерител тип М24, 50 <i>мка</i>
Лампов волтмер	ВКС-7Б	$\bar{U}_{\sim}$ — 5 подобхвата 1,5—300 <i>в</i> , честота 25 <i>хц</i> — 100 <i>мгхц</i>	$\pm 3\%$	Входното съпротивление 4 <i>мгом</i> при честота 50 <i>мгхц</i> спада на 0,3 <i>мгом</i>
Лампов волтмер	ЛВ-9-2	$\bar{U}_{\sim}$ — 10 подобхвата от 10 <i>мв</i> — 300 <i>в</i> . Честота 25 <i>хц</i> — 200 <i>кхц</i>	до 50 <i>кхц</i> — 2,5 % 50—200 <i>кхц</i> — $\pm 10\%$	Входното съпротивление при че- стота 1000 <i>хц</i> е 500 <i>ком</i>
Генератор на стандартни сигнали	ГСС-6	100 <i>кхц</i> — 25 <i>мгхц</i>	$\pm 1\%$	Изходно съпротивление 40 <i>ом</i> Изходно напрежение 0,1 <i>мкв</i> — 1 <i>в</i> Вътрешна модулация $F = 400$ <i>хц</i>
Сигнал-генератор	СГ-1	13—330 <i>мгхц</i>	$\pm 2\%$	Изходно съпротивление 100 <i>ом</i> Изходно напрежение 4 <i>мкв</i> — 20 <i>мв</i> Вътрешна модулация $F = 1000$ <i>хц</i>

Наименование на прибора	Тип	Обхват на измерваната величина	Грешка в измерването	Допълнителни данни и технически характеристики
Кварцов калнбратор	КК-6	125 кхц — 20 мгхц	$\pm 0,01 \%$	Основен честоти 125 и 1250 кхц Батерийно захранване
Звуков генератор	ЗГ-10	3 подохвата 20 хц — 20 кхц	$\pm 2 \%$ $\pm 1 \text{ хц}$	Изходна мощност 5 вт Максимално изходно напрежение 150 в Изходен делител за 110 дб
Генератор на звукова и ултразвукова честота	ЗГ-11	4 подохвата 20 хц — 200 кхц	$\pm 1 \%$	Изходно напрежение на товара 200 ом, не по-малко от 1 в Изходен делител за 120 дб
Измерител на честота	ИЧ-6	15—200000 хц	$\pm 2 \%$	Входно напрежение от 0,5 до 20 в
Електронен осцилограф	ЭО-6М	10 хц — 3 мгхц Продължителност на импулса 1 мксек — 250 мксек	—3 дб	Чувствителност на входа: Y — 24 мм/в; X — 30 мм/в
Измерител на Q-фактор	КВ-1	25—625	$\pm 5 \div 10 \%$	Честотен обхват на генератора от 50 кхц до 40 мгхц
Измерител на Q-фактор	УК-1	80—1200	$\pm 10 \%$	Честотен обхват на генератора 30—200 мгхц
Универсален мост	УМ-2	L — 10 мкхн — 10 хн C — 10 пф — 100 мкпф R — 0,1 ом — 1 мгом	$1 \div 5 \%$ $1 \div 3 \%$ $1 \div 5 \%$	Захранване на моста: R — от изправителя L и C — от генератора 1000 хц
Нискочестотен измерител	НИЕ-1	10 пф — 100 мкпф	$5 \div 10 \%$	Честота на измерването 5—7 кхц и 50 хц
Широкообхватен оммер	М-218	0,1 ом — 10 мгом	$\pm 1,5 \div 2,5 \%$	

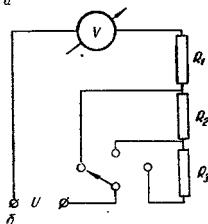
Стойността на добавъчното съпротивление, включено към волтмера, се определя по формулата:

$$R_{\text{доб}} = R_{\text{ур}} \left( \frac{U_{\text{макс}}}{U_0} - 1 \right),$$

където  $R_{\text{ур}}$  е вътрешното съпротивление на уреда;  
 $U_{\text{макс}}$  — максималната стойност на измерваното напрежение, измерена с добавъчно съпротивление;  
 $U_0$  — най-голямата стойност на напрежението, измерена от уреда без добавъчно съпротивление.



а



б

Фиг. 313

а и б — схеми на многообхватни волтмери

Пример:  $R_{\text{ур}} = 1000 \text{ ом}$ ;  $U_0 = 10 \text{ в}$ ;

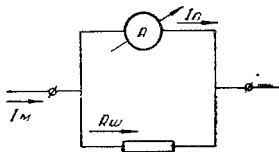
$$U_{\text{макс}} = 300 \text{ в};$$

$$R_{\text{доб}} = 1000 \left( \frac{300}{10} - 1 \right) = 29\,000 \text{ ом}.$$

Добавъчното съпротивление може да се определи по формулата:

$$R_{\text{доб}} = \frac{1000 \cdot U_{\text{макс}}}{I_{\text{п}}} - R_{\text{вълт}},$$

където  $I_{\text{п}}$  е токът при пълното отклонение на стрелката на уреда в  $\text{ма}$ ;  
 $R_{\text{вълт}}$  — вътрешното съпротивление на волтмера.



Фиг. 314. Схема за включване на шунт към ампермер

Пример:  $R_{\text{вълт}} = 100 \text{ ом}$ ;  $I_{\text{п}} = 1 \text{ ма}$ ;  $U_{\text{макс}} = 30 \text{ в}$ ;

$$R_{\text{доб}} = \frac{1000 \cdot 30}{2} - 100 = 14\,900 \text{ ом}.$$

С включването на добавъчни съпротивления се получават многообхватни волтмери, схемите на които са показани на фиг. 313 а и б.

При измерването на токовете за разширение обхвата на измерването паралелно на уреда се включват съпротивления ( $R_{\text{ш}}$ ), наречени шунтове, чийто

стойности се избират в зависимост от вътрешното съпротивление на уреда  $R_{\text{вът}}$  и новия обхват на измерването.

За сметка на шунта (фиг. 314) се намалява токът, който тече през уреда. Съпротивлението на шунта се определя по формулата:

$$R_{\text{ш}} = R_{\text{вът}} \frac{I_{\text{п}}}{I_{\text{макс}} - I_{\text{п}}},$$

където  $I_{\text{п}}$  е токът на пълното отклонение на стрелката на уреда без шунта;

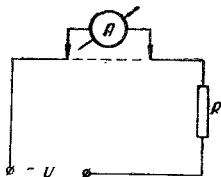
$I_{\text{макс}}$  — най-голямата стойност на тока, която трябва да бъде измерена с шунт.

Пример:  $R_{\text{вът}} = 20 \text{ ом}$ ;  $I_{\text{п}} = 10 \text{ ма}$ ;  $I_{\text{макс}} = 100 \text{ ма}$ ;

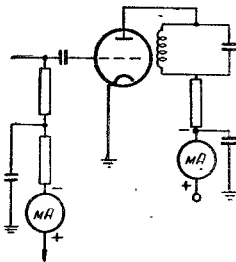
$$R_{\text{ш}} = 20 \frac{10}{100 - 10} = 2,2 \text{ ом}.$$

#### 4. Измерване на ток и напрежение

Измерване на ток. Принципиите за измерване на токовете и напреженията са еднакви за постоянния и променливия ток с ниска и висока честота. Но при измерването на звукови и високи честоти е необходимо да се вземат под внимание и грешките, получени в резултат на внесените при измерването собствени капацитети на измервателните вериги.



Фиг. 315. Схема за измерване на постоянен ток

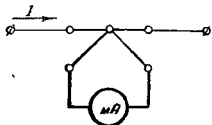


Фиг. 316. Схема за измерване на токовете във веригите на електронните лампи

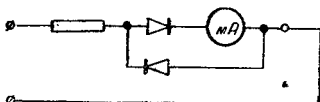
За измерването на постоянен ток се използват изключително магнетоелектрични уреди — амперметри, милиамперметри, микроамперметри и гальванометри. Измервателният уред се включва последователно на товара в кое да е място на схемата (фиг. 315). При измерването на токове във веригите на електронните лампи милиамперметрите и амперметрите се шунтират с кондензатори, за да не протича променливата съставка през тях (фиг. 316).

За измерване на ток с честота 50 хц се използват магнетоелектрични и електромагнетични уреди. Те се използват за измерване на токовете в отоплителните вериги на лампите, както и токовете в силовите трансформатори.

За измерване на променливи токове от 50 хц до високите радиочестоти се използват термоелектрични уреди. На фиг. 317 е дадена схема с термоелектрични амперметри.



Фиг. 317. Схема за измерване токове с честота от 50 хц до високи честоти



Фиг. 318. Схема за измерване на ток с висока честота

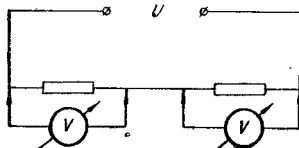
За измерването на токове с висока честота се използват детекторни уреди, работещи с кристални изправители (фиг. 318).

Измерване на напрежение. Волтмерът се включва паралелно на товарното съпротивление (фиг. 319).

Измерването на напрежението е по същество измерване на тока, който се явява мярка за напрежението, установено между двете точки, към които е включен волтмерът.

Най-често употребяваните волтмери се подразделят на следните групи: магнетоелектрични, електромагнитни, електродинамични и термични. Скалата на волтмера се градуира във волтове.

Електростатичните и ламповите волтмери реагират непосредствено на напрежение, а не на ток.



Фиг. 319. Схема за измерване на напрежение

При измерване на променливо напрежение, в което се съдържа и постоянна съставна, волтмерът за променлив ток се включва към две точки във веригата през кондензатор. В този случай реактивното съпротивление на кондензатора  $X_c$  трябва да бъде много по-малко от съпротивлението на уреда (с добавъчното съпротивление), т. е.

$$X_c \ll R_{yp}, \text{ където } X_c = \frac{10^6}{2\pi fC}; f \text{ е в хц, а } C \text{ в мкф.}$$

Пример:  $f = 3000 \text{ хц}$ ;  $R_{yp} = 200\,000 \text{ ом}$ ;  $C = 0,1 \text{ мкф}$ ;

$$X_c = \frac{10^6}{2.3,14.3000.0,1} \approx 530 \text{ ом}$$

$$530 \text{ ом} \ll 200\,000 \text{ ом}$$

Нискоомният волтмер може да се използва за измерване на напрежения в нискоомни участъци на схемата. За измерване на напрежения във високоомни участъци се използват волтмери с голямо вътрешно съпротивление (над 5000 ом/в).

Измерването на напрежението на електронлъчевата тръба е необходимо да става с електростатичен волтмер.

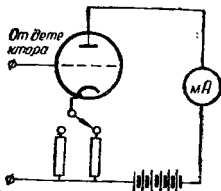
За измерване на напрежения на радиочестоти много често използват лампови волтмери с горна честота около 50 мГц.

Ламповите волтмери съдържат в себе си: детектор, усилвател на постоянен ток и магнитоелектричен ампермер.

На фиг. 320 е дадена схемата на лампов волтмер с усилвател на постоянен ток.

Стойността на измерваното напрежение, което се подава в решетката на лампата на волтмера, се определя косвено по изменението на анодния ток на лампата, което настъпва в резултат на подаденото преднапрежение. При някои схеми това напрежение предварително се изправя с помощта на диод. При измерването на постоянно напрежение инструментът има високо входно съпротивление — от порядъка на 10 мгом, което не зависи от обхватите на измерването. При измерване на променливи напрежения ламповият волтмер има също така високо входно съпротивление даже при високи честоти до 100 мГц.

Входното съпротивление  $R_{вх}$  при измерването на постоянен ток е равно на съпротивлението между входните точки, където се включва волтмерът. Обикновено на входа на ламповия волтмер се включва делител на напрежение с общо съпротивление  $\geq 10 \text{ мгом}$ .



Фиг. 320. Схема на лампов волтмер с усилвател на постоянен ток

## 5. Измерване на мощност

При радиотехническите измервания на мощност се използват специални методи и инструменти, които практически не се използват при електротехническите измервания.

Най-разпространеният начин за измерване на мощността е чрез измерването на тока и напрежението.

Мощността се определя по формулата:

$$P(\text{вт}) = I(a) \cdot U(\text{в})$$

При известно съпротивление на товара мощността се определя по отчетения ток

$$P(\text{вт}) = I^2(a) \cdot R(\text{ом}).$$



или по измереното напрежение:

$$P(\text{вт}) = \frac{U^2(\text{в})}{R(\text{ом})}$$

Пример:  $I = 500 \text{ ма}$ ;  $U = 220 \text{ в}$ ;  $P = 110 \text{ вт}$ ,  
 $I = 50 \text{ ма}$ ;  $R = 500 \text{ ом}$ ;  $P = 1,25 \text{ вт}$ ,  
 $U = 220 \text{ в}$ ;  $R = 1000 \text{ ом}$ ;  $P = 48,4 \text{ вт}$ .

Ватмерите са уреди, които позволяват едновременно да се измерват токът и напрежението. При тях стрелката направо отчита измерената мощност.

Ватмерите за радиотехнически измервания се разделят на два типа: проходни и поглъщащи.

Проходните ватмери се включват направо към линията, по която се пренася енергията от източника към товара, и измерват мощността.

Поглъщащите ватмери се включват вместо товар и при измерването поглъщат цялата мощност, която се пренася към товара.

Понякога за измерване на мощности на високочестотни синусоидални трептения се използват волтмери или ампермери, като мощността се определя

по тока или напрежението, а именно:  $P = \frac{U_{\text{макс}}^2}{2R} = \frac{I_{\text{макс}}^2 \cdot R}{2}$ , където  $R$  е товарното съпротивление.

За измерване на напрежението се използват лампови волтмери, а за измерване на тока — термоелектрични ампермери.

При измерването на мощности посредством отчитане на напрежението се получава точност на измерванията от 7 до 10 %, за обхвата от 60 мвт до 150 вт и до 1000 хц. При измерването на мощности посредством отчитане на тока се осигурява точност на измерването от порядъка на 10 до 15 %, за обхвата от 10 мвт до 300 вт и до 1000 хц.

Пример:  $U_{\text{макс}} = 0,5 \text{ в}$ ;  $R = 125 \text{ ом}$ ;

$$P = \frac{0,5^2}{2 \cdot 125} = \frac{0,250}{250} = 0,001 \text{ вт} = 1 \text{ мвт}$$

При измерване на мощности на синусоидални високочестотни трептения, имащи импулсен характер, се измерва средната мощност  $P_{\text{ср}}$ , от която може да се определи импулсната мощност  $P_{\text{им}}$ , ако е известна формата на импулса.

Така например за правоъгълен импулс

$$P_{\text{им}} = \frac{1}{fT} \cdot P_{\text{ср}}$$

където

$f$  е честотата на трептението на импулса в хц;  
 $T$  — продължителността на всеки импулс в сек.

## 6. Измерване на съпротивления

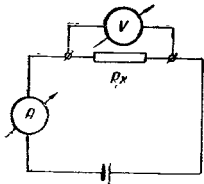
Метод на волтмера и ампермера. За получаване на достатъчна точност при измерването трябва вътрешното съпротивление на волтмера да бъде много по-голямо от измерваното съпротивление  $R_x$ .

По волтметра и амперметра се отчита падението на напрежението върху измерваниято съпротивление  $R_x$  и силата на тока, който протича през това съпротивление.

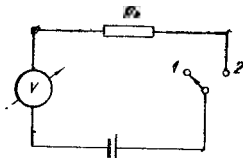
Стойността на  $R_x$  (фиг. 321) се определя по формулата:

$$R_x (\text{ом}) = \frac{U(\text{в})}{I(\text{а})}$$

**Метод на волтметра.** Необходими условия за измерване на съпротивления по този метод са: да се знае вътрешното съпротивление на волтметра



Фиг. 321. Схема за измерване на съпротивление с ампермер и волтмер



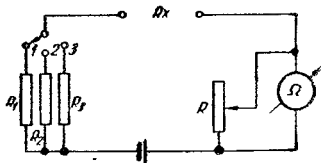
Фиг. 322. Схема за измерване на съпротивление с волтмер

$R_{\text{ввт}}$  и най-голямата стойност на измерваното съпротивление  $R_x$  да бъде по-малка от  $10 \div 15 R_{\text{ввт}}$ .

Правят се две отчитания. Първото — за  $U_0$  при положение на превключвателя в положение 1 и второ отчитане за  $U_x$  при положение 2.

Стойността на  $R_x$  (фиг. 322) се определя по формулата:

$$R_x = R_{\text{ввт}} \cdot \frac{U_0 - U_x}{U_x}$$



Фиг. 323. Схема на оммер — последователно включване

**Оммери.** Непосредствено по скалата на оммера се отчита стойността на измерваното съпротивление. На фиг. 323 е дадена схемата на оммер с последователно включване. Първоначално се поставя стрелката на нулево положение

ние посредством даване на късо клемите на  $R_x$  и регулиране чрез съпротивлението  $R$ .

Скалата в омов е неравномерна. Тя е разширена в началото и силно сбит в областта на големите стойности на съпротивлението  $R_x$ .

Градуировката на скалата на оммера може да се извърши, като се ползуваме от формулата:

$$R_x = R_0 \cdot \frac{I_0 - I_x}{I_x}, \text{ а } R_0 = R_d + \frac{R_{\text{ввт}} \cdot R}{R_{\text{ввт}} + R},$$

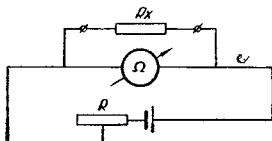
където  $I_0$  е токът при дадено на късо съпротивлението  $R_x$ ;

$I_x$  — токът при включено съпротивлението  $R_x$ ;

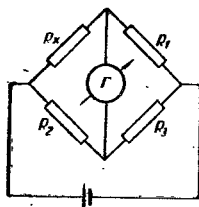
$R_{\text{ввт}}$  — вътрешното съпротивление на уреда.

Обхватът на измерването е от 1 до  $10^5$  ом.

На фиг. 324 е показана схемата на оммер с паралелно включване, която се използва за измерване на малки съпротивления (от 1 до няколкостотин ома).



Фиг. 324. Схемa на оммер — паралелно включване



Фиг. 325. Схемa на мост за измерване на съпротивления

При откачено  $R_x$  се изменя съпротивлението  $R$ , докато стрелката на милиампермера застане на крайно положение, съответстващо на стрелката на оммера за  $R = \infty$ . За получаване на достатъчна точност е необходимо  $R \geq R_{\text{ввт}}$ .

Стойността на  $R_x$  се отчита направо по скалата, градуирана в омов.

Градуирането на скалата може да стане, като се ползуваме от формулата:

$$R_x = R_{\text{ввт}} \cdot \frac{I_x}{I_0 - I_x}, \text{ където } I_0 \text{ е токът на пълното отклонение на уреда.}$$

Точността на измерванията с оммер е около  $\pm 10\%$ .

**Мостове.** Обхватът на измерванията с моста (фиг. 325) се определя от стойностите на съпротивления  $R_1$ ,  $R_2$  и  $R_3$  и от чувствителността на гальванометъра.  $R_x$  се определя по формулата:

$$R_x = R_1 \frac{R_2}{R_3}$$

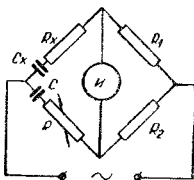
При дадено отиошение  $\frac{R_2}{R_3}$ ,  $R_x$  се определя от  $R_1$ .

Тук  $R_1$ ,  $R_2$  и  $R_3$  са съпротивленията, при които се получава балансът на моста.

## 7. Измерване на капацитети

Измерването на капацитети се извършва с помощта на мост, захранван от променлив ток с честота от 400 до 1000  $\text{Hz}$ .

На фиг. 326 е дадена схемата на моста за измерване на капацитети. При баланс на моста  $C_x = C \cdot \frac{R_2}{R_1}$  и  $R_x = R \cdot \frac{R_1}{R_2}$ .

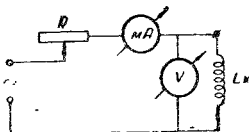


Фиг. 326. Схемa на мост за измерване на капацитет

където  $R_1$  и  $R_2$  са постоянни активни съпротивления, а  $R$  е променливото съпротивление, компенсиращо фазовото изместяване на  $C_x$ . При минимум на тока (през индикатора И) се получава баланс на моста.

## 8. Измерване на индуктивности

Метод на волтмера и ампермера. Този метод се използва при измерването на големи индуктивности, като тези на навивките на трансформатори и аросели с железни сърца при честота 50  $\text{Hz}$ .



Фиг. 327. Схемa за измерване на индуктивности

На фиг. 327 е показана схемата на моста за измерване на индуктивността  $L_x$ .

Променливият ток с честота 50  $\text{Hz}$  се регулира със съпротивлението  $R$  и се отчита по милиампермера.

В същото време волтмерът  $V$  измерва падението на напрежението върху бобиината  $L_x$ . Добре е да се използва лампов волтмер.

$$\text{При } r \ll X_L \text{ на бобиината, } L_x(xH) = \frac{U(\theta)}{6,28 \cdot f(xH) \cdot I(a)};$$

$$\text{при } r \approx X_L \text{ на бобиината, } L_x(xH) = \frac{\sqrt{\frac{U(\theta)}{I(a)} - r^2(OM)}}{6,28 f(xH)}.$$

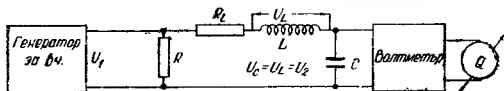
## 9. Измерване на $Q$ -фактора на трептящите кръгове

Измерването на  $Q$ -фактора на трептящия кръг може да се извърши, като се използва неговата резонансна крива, васнета с помощта на сигнал-генератор и ламповия волтмер.

За пресмятане на качествения фактор необходимо е да се определят резонансната честота на трептящия кръг  $f_{\text{res}}$  и честотите  $f_1$  и  $f_2$ , разположени от двете страни на резонансната крива, при която напрежението на кръга е равно на 0,7 от стойността на напрежението при резонанс:

$$Q = \frac{f_{\text{res}}}{f_2 - f_1}$$

**$Q$ -метри (ку-метри).** Често в радиолюбителската практика се налага да се измери  $Q$ -факторът на бобиините, изработени при местни и заводски условия. Уредите, с които се измерва  $Q$ -факторът, се наричат **ку-метри**. Работата на тези уреди се основава на следния принцип. При подаване на съпротивлението  $R$  напрежение  $U_1$  (фиг. 328) с честота  $\omega_0 = \frac{1}{\sqrt{LC}}$  (резонансната



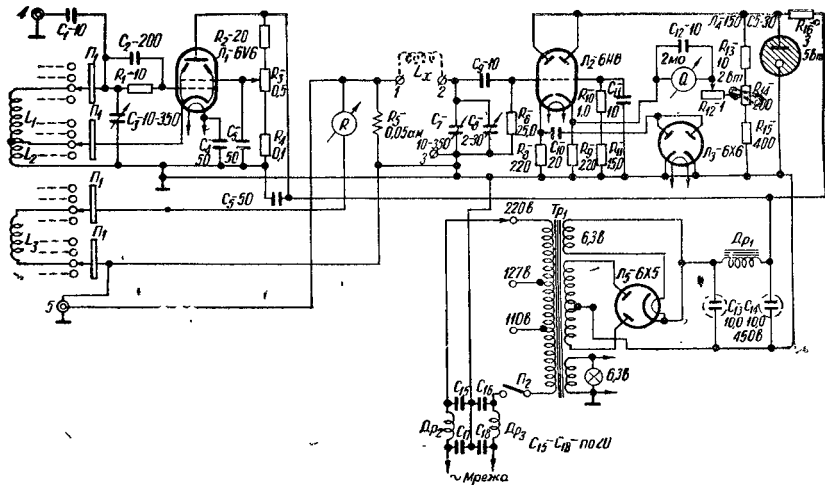
Фиг. 328. Блокова схема на ку-метър

честота на кръга  $LC$ ) върху кондензатора  $C$  и бобиината  $L$  се установява равно по стойност напрежение  $U_2$ , което е  $Q$  път по-голямо от  $U_1$ .

Под влияние на напрежението  $U_1$  протича токът  $I = \frac{U_1}{R_L + R}$ , където  $R_L$  е активното съпротивление на  $L$  при честота  $\omega_0$ .

При резонанс  $\omega_0 L = \frac{1}{\omega_0 C}$ .

Ако се умножат двете части на равенството с  $I$ , се получава:  $I \omega_0 L = \frac{I}{\omega_0 C} = U_2$ , което е напрежението, възникващо на кондензатора или бобиината.



Фиг. 329. Принципна схема на ку-метър

Определяме отношението  $U_2/U_1$ , при  $U_1 = I(R_L + R)$  и  $U_2 = I\omega L$ .

$$\frac{U_2}{U_1} = \frac{I\omega L}{I(R_L + R)} = \frac{\omega L}{R_L + R}. \text{ Ако } R \ll R_L, \text{ то:}$$

$$\frac{U_2}{U_1} = \frac{\omega L}{R_L}, \text{ но тъй като } \frac{\omega L}{R_L} = Q, \text{ следователно}$$

$$\frac{U_2}{U_1} = Q \text{ или } U_2 = U_1 Q.$$

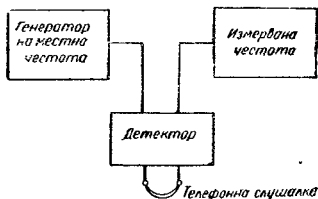
Това значи, че ако от генератор за висока честота подадем на съпротивлението  $R$  (при условие, че  $R_L \gg R$ ) определено и постоянно по амплитуда напрежение  $U_1$ , то скалата на волтмера, по която се отчита измереното напрежение върху кондензатора  $C$ , може да се градуира направо в единици на  $Q$ .

На фиг. 329 е дадена принципната схема на ку-метър.

## 10. Измерване на честотата

**Хетеродинни вълномери.** За измерване на високни честоти в широк обхват се използват хетеродинните вълномери.

Хетеродинният вълномер съдържа генератор на високочестотни трептения с висока стабилност и плавна настройка, детектор или смесител, в който се



Фиг. 330. Блокова схема за измерване на честотата по метода на биене

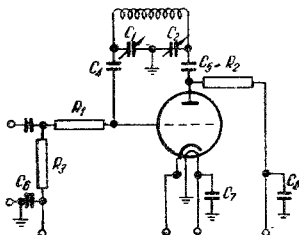
получава биене между местната и измерваната честота и усилвател на ниска честота, в който се усилват трептенията, получени от детектора. В някои типове хетеродинни вълномери се използва кварцов генератор, на който (преди измерването) се прави градуировка на генератора за местната честота с плавна настройка.

Ако на детектора (фиг. 330) се подават две трептения с честоти  $f_1$  и  $f_2$ , то на изхода ще се появи разликата в честотите  $F = f_2 - f_1$  или  $F_1 = f_1 - f_2$ .

Ако  $f_1$  (честотата на местния генератор) и  $f_2$  (измерваната честота) са близки по стойности, то разликата в честотите  $F$  ще може да се чува в телефонната слушалка. Изравняването на генераторната и измерваната честота се уста-

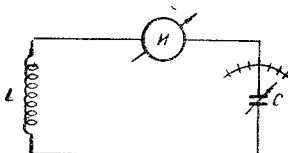
мовява по нулевото биене ( $F = 0$ ). Методът на нулевото биене дава много висока точност. За индикатори обикновено се използват телефонни слушалки.

Резонансни вълномери. Всеки резонансен кръг, който се настройва със стабилно настроиващи се елементи, може да се използва за измерване на честоти. Резонансните вълномери работят на този принцип и представляват



Фиг. 331. Схема на резонансен вълномер

обикновен пренастройващ се трептящ кръг, който работи с точност 0,1 % при отчитане на честотата. За индикатор на резонанса се използва термоелектри-



Фиг. 332. Схема на резонансен вълномер с индикатор на тока

чен ампермер, включен последователно на кръга, или пък неонова лампа, включена паралелно на кръга. На фиг. 331 е показана схемата на резонансен вълномер.

При пасивните методи за измерване на честотата не се използва хетеродин. Трептящият кръг се настройва по максимума на тока в индикатора (фиг. 332).

За да може вълномерът да работи в широк честотен обхват, същият се осигурява с комплект бобини, които съответствуват на различните честоти



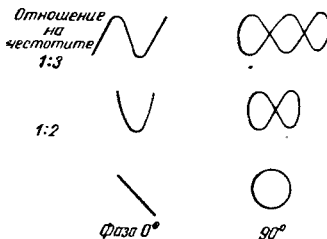
подобхват. Променливият кондензатор  $C$  служи за наистроиване на вълномера на измерваната честота. Всяка стойност на кондензатора, отчетена по скалата, съответствува на определена честота, на която е настроен кръгът на вълномера.

В хетеродинния измерител на резонанса (фиг. 331) се използва въздействието на кръга, настроен в резонанс на генератора, на който се измерва честотата. Това въздействие се изразява в намаление на решетъчния ток при настройката на кръга в резонанс.

С хетеродинния измерител на резонанса може да се определи честотата на настройката на трептящия кръг, както и да се правят резонансни измервания.

**Измерване с хетеродинни вълномери.** В хетеродинните вълномери се прилага методът на акустическите бнения, получени в резултат на взаимодействието на измераната  $f_2$  и местната  $f_1$  честота (фиг. 330).

При положение, че генераторът на местната честота е точно наистроен на измерваната честота, силата на звука в телефонните слушалки сравнително много бързо спада или нараства. Точността при измерването на честотата може да достигне до няколко херца. Обикновено точността на настройката се ограничава от нестабилността на местната честота и измерването. Ако амплитудата на измерваната честота се рязко различава от тази на местната — силата на звука в телефонната слушалка се изменя сравнително малко и отчитането на честотата се затруднява. Правилно е преди започване на измерването да се получат близки по големина амплитуди на двете честоти.



Фиг. 333. Фигури на Лисажу

Човешкото ухо чува звукове с честота, не по-ниска от 16—20 херца. Ето защо, ако местната честота се различава от измерваната с по-малко от 16—20 хц, в телефонната слушалка не се чува звук.

За да се настроят местният генератор по-точно на измерваната честота, на мястото на телефонната слушалка се включва галваниометър, стрелката на който ще извършва трептения, равни на бненията. Когато местната честота се изравни с измерваната, стрелката на уреда спира да трепти.

**Измерване на звукови честоти с осцилограф.** С осцилограф може да се измери честотата на даден генератор, като се сравнява неговата собствена честота с предварително известната честота на друг генератор.

Измерването става по следния начин: напрежението на измерваната честота се подава на вертикалния вход на осцилографа, а напрежението с известната честота — на хоризонталния вход.

При еднакви стойности или кратност на измерваните честоти на екрана на осцилографа се появяват фигурите на Лисажу, по които може да се определи измерваната честота. На фиг. 333 са показани няколко фигури на Лисажу и съотношенията за определяне на неизвестната честота.

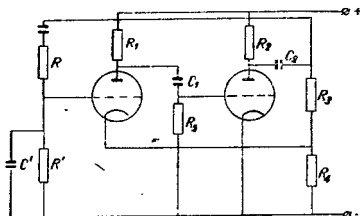
## 11. Измервателни генератори

**Нискочестотни генератори (тонгенератори).** За захранване на измервателни устройства при измерване на честоти, индуктивности, капацитети, както и за измерване техническите показатели на НЧ усилватели и НЧ съгласно на приемниците се използват НЧ генератори. От тях се изисква голяма стабилност на честотата, която не трябва да се нарушава при продължителна работа на генератора. Коефициентът на нелинейните им изкривявания (кларфакторът) не трябва да превишава 1—2 %, а в някои случаи трябва да бъде и по-нисък от 0,1—0,2 %.

Нискочестотните генератори се правят с пълно регулиране на честотата в обхвата от 30 *хц* до 20 *кхц*. В редица случаи те работят на фиксирана честота. Изходящата мощност на НЧ генератори обикновено е от 0,5 до 2 *вт*.

За радиотехнически измервания обикновено се използват ламповите генератори, които работят или на фиксирана честота, или с плавно регулиране на честотата.

Ламповите НЧ генератори се делят на: *RC* генератори, честотата на които се определя от съпротивленията и капацитетите във веригите; *LC* генератори,



Фиг. 334. Схема на лампов генератор тип *RC*, изпълнен по мостова схема

честотата на които се определя от индуктивностите и капацитетите на кръговете; генератори на биення, честотата на които се определя от честотата на трептенията, между които възниква биенето.

Най-голямо разпространение са получили *RC* генераторите. Същите имат много проста конструкция и могат сравнително лесно да се изработят.

На фиг. 334 е дадена схемата на лампов генератор тип *RC*. При тази схема, ако  $C = C'$  и  $R = R'$ , честотата ще бъде:

$$F = \frac{1}{2\pi RC}.$$

За стабилизиране на честотата на *RC* генератора се използват различни методи. Един от тези методи е включването в анодната верига на лампата на съпротивление ( $R_1$  и  $R_2$ ) със стойност, много по-голяма от вътрешното съпро-

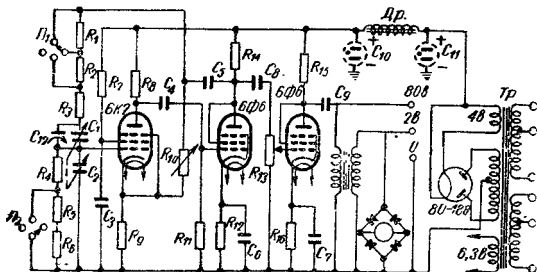
тивление на лампата. Друг метод за осигуряване на стабилни и със синусоидална форма трептения е използването на отрицателна обратна връзка.

Преимущества на *RC* генераторите пред генераторите на биения са: голямото покриване на обхвата (до 10:1), формата на трептенията са чисто синусоидални, честотата на трептенията е много стабилна и амплитудата на трептенията е постоянна в широк честотен обхват.

В генераторите от типа *LC*, работещи на фиксирана честота, се използва камертонна стабилизация, която позволява да се получи стабилност на честотата до 0,5%, а при поддържане на постоянна температура и стабилно захранващо напрежение — до 0,1%. Може да се използва също така и кварцова стабилизация.

Ламповите *НЧ* генератори от типа *LC* нямат широко приложение, тъй като такива генератори, които работят в широк *НЧ* обхват, са конструктивно много големи.

Освен генераторите от типа *RC* широко се използват в практиката и *НЧ* генератори, които работят на принципа на биенията.



Фиг. 335. Принципно схема на *RC* генератор

На фиг. 335 е показана схемата на *RC* генератор, използван в любителската практика. Този генератор има плавно регулиране на честотата в обхвата от 30 до 12 000 *хц*, разделен на три подобхвата: от 25—250 *хц*; 200—2000 *хц* и 1200 до 12 000 *хц*. Изходящата му мощност е от 0,1 ÷ 0,2 *вт*. Изходящото напрежение се изменя от 0 до 2 *в* и от 0 до 30 *в*. Тази схема е много проста и малко се отличава от усилвателите на съпротивления. Плавното изменение на честотата се извършва с променливите кондензатори  $C_1$  и  $C_2$ . В схемата е въведена отрицателна обратна връзка, реализирана посредством съпротивленията  $R_9$  и  $R_{10}$ . Третата лампа е усилвател на мощност и се използва за отстраняване влиянието на товара върху честотата на *НЧ* трептения.

Високоволтовият изход (до 80—100 *в*) се използва за подаване трептенията на катодния осцилограф. В този случай може да не се използва усилвател-

самия осцилограф, с което се избягват допълнителни изкривявания. Нисковолтовият изход (до 2 в) се използва за подаване на трептенията на входа на измервателната апаратура. Паралелно на вторичната навивка на изходния трансформатор се включва волтмер, който служи за индикатор на изходящото напрежение.

**Широколентови генератори.** Използват се за настройка на широколентови усилватели, в това число и на видеоусилвателите. Тези генератори произвеждат честоти от най-ниските (50—100  $\text{кхц}$ ) до най-високите (5—6  $\text{мгхц}$ ).

По принцип на работата те по нищо не се различават от нискочестотните генератори, работещи по принципа на биеанията.

Ако не се разполага с широколентови генератори, може да се използват два генератора, единият от които тон-генератор, а другият сигнал-генератор.

**Сигнал-генератори и генератори за стандартни сигнали.** Използват се високочестотни генератори (сигнал-генератори) при радиотехническите измервания имат висока стабилност на честотата.

Сигнал-генераторите се използват главно за настройка и измерване на техническите показатели на радиостанциите, телевизорите, високочестотните усилватели, трептящите кръгове и пруги.

На фиг. 336 е дадена схема на универсален сигнал-генератор, който може да се изработи от радиолюбителите. Генераторът работи с лампа  $EF14$ , има обхват от 76  $\text{кхц}$  до 33  $\text{мгхц}$ , разделен на 6 подобхвата: от 76 до 240  $\text{кхц}$ ; от 210 до 620  $\text{кхц}$ ; от 570 до 1650  $\text{кхц}$ ; от 1500 до 4600  $\text{кхц}$ ; от 4 до 16  $\text{мгхц}$  и от 12 до 33  $\text{мгхц}$ . Този обхват се преложава с помощта на шест бобини от  $L_1 \div L_6$ , които образуват с променливия кондензатор  $C$  трептящ кръг. Буферното стъпало е изпълнено с лампа 6Л7. В него се осъществява модулацията с НЧ трептения, които се подават от НЧ генератор, изпълнен с лампа 6SC5. Катодният волтмер работи с лампа 6Ж7. НЧ генератор е изпълнен с лампа 6SC5 и дава три фиксирани честоти — 200, 600 и 2000  $\text{хц}$ . Кварцовият генератор работи с лампа 6Ж7 и има гнезда за включване на сменяемите кварцови вистриали. Модулацията на генератора е анодна. Този генератор се използва за градуиране и калибриране на основния генератор, а също като източник за фиксирани честоти за настройка на междинната честота на приемниците и други устройства.

Високочестотните измервателни генератори се разделят на два вида. Най-простите, градуирани по честота, които обикновено радиолюбителите използват, се наричат сигнал-генератори. Тези генератори нямат точна калибровка на изходящото напрежение.

При радиотехническите измервания много често се използват така наречените генератори на стандартни сигнали. Тяхната характерна особеност е, че освен генератора за висока честота с плавна настройка те имат нискочестотен генератор, който позволява да се осъществи амплитудна модулация на високочестотните трептения с честоти между 400 и 800  $\text{хц}$ . Освен това те имат калибрирано и плавно регулирано изходящо напрежение. Някои от тези генератори на стандартни сигнали позволяват да се получат също честотно модулирани сигнали. В таблица 61 са дадени техническите данни на някои типове съветски генератори на стандартни сигнали.



Таблица 61

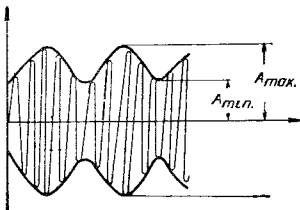
Наименование	Честотен обхват в МГц	Брой на подбавките	Точност на градуировката по честотата в %	Исходно напрежение във в от - до -	Вътрешна амплитудна модулация	
					честота в Лц	дълбочина в %
ГСС-6	0,1—25	8	1	$0,1 \cdot 10^{-6}$ до 1	$400 \pm 5\%$	0—100
ГСС-8	0,05—30	—	0,5	$0,1 \cdot 10^{-6}$ до 1	400 или $1000 \pm 5\%$	0—80
ГСС-12	150—1000	—	1,5	$0,1 \cdot 10^{-6}$ до 0,1	100 до 2000	—
ГСС-17	16—128	3	1	$0,5 \cdot 10^{-6}$ до 0,1	$1000 \pm 5\%$	10—80
СГ-1	13—330	5	2	$0,4 \cdot 10^{-6}$ до 0,02	$1000 \pm 10\%$	10—50

## 12. Осцилографи

Осцилографите са уреди, с помощта на които могат да се наблюдават електрически процеси. На екрана на осцилографа може да се наблюдава формата на изследваното синусоидално или импулсно напрежение и да се прави преценка за внесените от устройствата изкривявания.

Понастоящем за снимане на резонансните криви на трептящите кръгове на приемниците, за измерване дълбочината на модулацията, измерване на честоти и др. се използва осцилограф.

Снемане резонансните криви на трептящите кръгове. За да се получи на екрана резонансната крива на трептящия кръг, на пластината за вертикално отклонение се подава напрежение, пропорционално на тока в кръга, а на пластината за хоризонтално отклонение — напрежение на разгъването, пропорцио-



Фиг. 337. Определяне на коефициента на модулацията с осцилограф

налио на което се изменя честотата на напрежението, доведено до трептящия кръг. За получаване върху екрана на устойчив образ на резонансната крива необходимо е да се изменя периодически с достатъчно голяма точност честотата на напрежението, постъпващо на кръга.

**Измерване дълбочината на модулацията.** Коефициентът на амплитудната модулация (фиг. 337) се определя по формулата :

$$m = \frac{A_{\text{макс}} - A_{\text{мин}}}{A_{\text{макс}} + A_{\text{мин}}}$$

По образа върху екрана на осцилографната тръба се определят стойностите на  $A_{\text{макс}}$  и  $A_{\text{мин}}$ . Разбира се, това е правилно, ако модулацията е симетрична. Коефициентът на модулацията може също да се измери и с уреда модуломер.

**Измерване променливото напрежение.** Като се измери големината на лъчевия размах на тръбата по вертикалата и като се знае чувствителността на тръбата (изразена в *м.м.*, на които се отклонява лъчът на тръбата при подаване на входа или непосредствено на пластината за вертикално отклонение, напрежение 1 в), може да се определи амплитудата на измерваното напрежение.

## ЛИТЕРАТУРА

- Бройде А. М. — Элементы радиотехники, Москва, 1950
- Малов Н. Н. — Курс электротехники и радиотехники, Москва-Ленинград, 1955
- Сухов Д. К. — Электротехника и электросвязь, Москва, 1956
- Тихонов С. Н. — Основы электрорадиотехники, Москва, 1956
- Якобсон А. X. — Элементарная электрорадиотехника, Москва, 1955
- Йолов Й. и пр. — Электротехника за радиолюбители, София, 1957
- Терещук Р. М., Домбругов Р. М., Босый Н. Д. — Справочник радиолюбителя, Киев, 1957
- Берг А. И., Джингит И. С., Кулковский А. А. и др. — Справочник радиолюбителя, Москва, 1958
- Боянов Й. — Характеристики на електронни лампи, София, 1956
- Брудна З., Поутска Й. — Каталог электронных ламп, Прага, 1959
- Striz V. — Katalog elektronek, Praha, 1960
- Tesla—Manual of electronic tubes, Prague, 1959
- Zuzanek J. — Ceskoslovenske miniaturni elektronky, 1960
- Schreiber H. — Gulde mondial des transistors, 1959
- Franzis—Verlag München — Kristalldioden u. transistoren taschen tabelle II Auflage, München
- Franzis—Verlag München — Rohren taschen tabelle, VII Auflage, München
- Fritz E. — Rundfunk—Rohren, Stuttgart, 1957
- Telefunken — Germanium Dioden, 1960
- Telefunken — Transistoren, 1960
- Telefunken — Taschenbuch Rohren und Halbleiter, 1960
- Vaivo — Handbuch Halbleiter, 1960
- R. F. T. — Empfänger — Rohren, 1959
- Мазел К. Б. — Стабилизатори напруги и тока, Москва, 1955
- Фурдуев В. В. — Электроакустика, Москва-Ленинград, 1948
- Йоффе В. К. — Электроакустика, Москва, 1954
- Муромцев В. В. — Усилительные устройства и электроакустика, Москва, 1951
- Ганзбург М. Д. — Улучшение звучания приемника, Москва-Ленинград, 1956
- Burkhardt H. — Fachkunde für Elektroakustik, Leipzig, 1953
- Марнов А. — Уредби за озвучаване, София, 1956
- Танев Г. — Основен курс по обща радиотехника, София, 1955
- Илнев М., Сокачев А. — Радиоелементи, София, 1956
- Баркан В. Ф., Жданов В. К. — Радиоприемные устройства, Москва, 1956
- Бобров Н. В. — Радиоприемные устройства, Москва, 1958
- Бурдейный А., Казанский Н. и др. — Справочник коротковолновика, Москва, 1959



- Волин М. Л. — Усилители промежуточной частоты, Москва, 1950
- Гинкин Г. Г. — Справочник по радиотехнике, Москва, 1948
- Гурфинкель Б. Б. — Растянутые диапазоны, Москва, 1947
- Куликовский А. А., Болошин И. А. и др. — Основы учебного проектирования радиоприемников, Москва, 1956
- Лебедев В. Л. — Радиоприемные устройства, Москва, 1956
- Левитин Е. А. — Супергетеродии, перевод, София, 1956
- Стишковский В. М., Саводника А. В. — Полупроводниковые триоды в радиотехнических схемах, Москва, 1958
- Хвонка Ф. — Радиотехника, Прага, 1952
- Шуцкой К. А. — Проектирование радиоприемников АМ и ЧМ сигналов, Москва, 1958
- Войшвилло Г. В. — Усилители низкой частоты на электронных лампах, Москва, 1959
- Чудновский И. Я. — Электровакуумные приборы и усилители, Москва, 1955
- Малинин Р. М. — Усилители низкой частоты, Москва, 1953
- Бялик Г. И. — Широкополосные усилители, Москва, 1956
- Шиповский А. Н. — Высококачественные усилители низкой частоты, Москва, 1952
- Хвилювицкий С. И., Медякова Л. В. — Расчет и проектирование усилителей низкой частоты, Москва, 1958
- Ганчев Ив. — Нискочастотни усилители, Москва, 1956
- Сифоров Б. И. — Радиоприемники сверхвысоких частот, Москва, 1955
- Жеребцов И. П. — Техника метровых волн, Москва, 1955
- Плонский А. Ф. — Любительская радиосвязь на метровых волнах, Москва-Ленинград, 1953
- Андреевский М. Н. — Конструкции генераторов дециметровых и метровых волн, Москва, 1956
- Springstein K. A. — Einführung in die Kurzwellen und Ultrakurzwellen—Empfänger—Praxis, Leipzig, 1954
- Autorenkollektiv — Amateurfunk, Berlin, 1956
- Марангозов Ив., Боровски Б. — Любительски УКВ предаватели и приемници, София, 1957
- Зворыкин В. К., Мортон Д. А. — Телевидение, Москва, 1956
- Пашев Ст., Боянов Й. и др. — Електротехнически наръчник, София, 1957
- Клопов — Телевидение, Москва, 1954
- Игнатов — Телевидение, Москва, 1951
- Варбанский А. М. — Телевизионная техника, Москва, 1959
- Бялик Г. И. — Техника телевизионных передач, Москва, 1954
- Техника телевидения, Москва, 1956
- Домбровский И. А. — Антенны, 1951
- Линде Д. П. — Антенно-фидерни устройства, 1953
- Загик Е. Е. — Приемные телевизионные антенны, 1958
- Ремез Г. А. — Курс основных радиотехнических измерения, 1956
- Корндорф — Радиотехнически измерения, 1956
- Маркус Дж. — Технические применения электронно-ламповых схем, 1953

## СЪДЪРЖАНИЕ

Предговор . . . . .	3
<i>Първа глава. Справочни данни . . . . .</i>	<i>5</i>
1. Латинска и гръцка азбука . . . . .	5
2. Измерителни единици и тяхното означение . . . . .	6
3. Децибели и неperi . . . . .	7
4. Цветен код на кондензаторите . . . . .	8
5. Класификация на излъчванията . . . . .	10
6. СИМПЕМО . . . . .	11
7. Радиолобителски код . . . . .	11
8. Висококачествени кабели . . . . .	15
9. Телевизионни канали . . . . .	16
10. Таблица на телевизионните станции в България . . . . .	16
11. Сравнителна таблица на основните данни за съществуващите телевизионни системи . . . . .	17
12. Честоти за радиоразпръскване на УКВ-ЧМ . . . . .	18
13. Основни свойства на някои диелектрици . . . . .	19
14. Специфично съпротивление и температурен коефициент на някои материали . . . . .	20
15. Данни за действащите радиопредаватели на средни и дълги вълни . . . . .	21
16. Медни емайлирани проводници . . . . .	26
<i>Втора глава. Основни сведения по електротехника и радиотехника</i>	
1. Електронна теория . . . . .	29
2. Електрически ток, напрежение и съпротивление . . . . .	30
3. Променлив ток . . . . .	36
4. Капацитет и кондензатори . . . . .	40
5. Магнетизъм и електромагнетизъм . . . . .	44
6. Закони на променливотоковите вериги . . . . .	50
7. Трептящи кръгове . . . . .	52
8. Свързани кръгове . . . . .	54
9. Филтри . . . . .	56
<i>Трета глава. Електронни лампи и полупроводници . . . . .</i>	<i>60</i>
1. Електронни лампи . . . . .	60
а. Условие означаване на електронните лампи . . . . .	60
б. Видове електронни лампи . . . . .	64

2. Полупроводници . . . . .	68
а. Принципно действие и видове . . . . .	69
б. Указания по използването на кристалните диоди и триоди . . . . .	73
3. Електроннолъчеви тръби . . . . .	73
4. Газоразрядни прибори . . . . .	75
5. Безразрядни електровакуумни прибори . . . . .	77
6. Фотоелементи . . . . .	77
<b>Четвърта глава. Токозахранване . . . . .</b>	<b>187</b>
1. Галванични елементи и батерии . . . . .	187
2. Акумулатори . . . . .	189
3. Токоизправители . . . . .	191
4. Изглаждащи филтри . . . . .	192
5. Нискочестотни дросели . . . . .	194
6. Мрежови трансформатори . . . . .	195
7. Автотрансформатори . . . . .	198
8. Вибропреобразователи . . . . .	199
9. Смесители . . . . .	201
<b>Пета глава. Електроакустика . . . . .</b>	<b>206</b>
1. Акустика . . . . .	206
а. Звук . . . . .	206
б. Пространствено и стереофонично възпроизвеждане . . . . .	210
в. Регулиране динамиката на възпроизвеждането . . . . .	213
2. Електроакустични преобразователи . . . . .	214
а. Микрофони . . . . .	214
б. Видове микрофони . . . . .	215
в. Високоговорители . . . . .	221
г. Видове високоговорители . . . . .	223
<b>Шеста глава. Радиоприемници . . . . .</b>	<b>227</b>
1. Линейни радиоприемници . . . . .	227
2. Суперхетеродинни приемници . . . . .	228
а. Качествени показатели на радиоприемниците . . . . .	229
б. Входни кръгове на радиоприемниците . . . . .	238
в. Разтегнати (разширени) подобхвати . . . . .	243
г. Високочестотни усилватели . . . . .	246
д. Преобразователи на честота . . . . .	248
е. Хетеродин . . . . .	250
ж. Съгласуване на кръговете . . . . .	252
з. Междиниочестотни усилватели . . . . .	257
и. Лампови детектори . . . . .	264
к. Автоматично регулиране на усилването (APU) . . . . .	269
л. Индикатор на настройката . . . . .	274
м. Потискане на смущенията . . . . .	276
и. Автоматична донастройка на честотата . . . . .	277
о. Приемане на телеграфни сигнали . . . . .	278
п. Радиоприемници за честотна модулация . . . . .	280
р. Регенеративни приемници . . . . .	290
с. Рефлексни приемници . . . . .	290
т. Транзисторни приемници . . . . .	291
у. Любителски приемници . . . . .	303

<b>Седма глава. Нискочестотни усилватели . . . . .</b>	<b>310</b>
1. Параметри на нискочестотните усилватели . . . . .	310
2. Изкривявания . . . . .	311
3. Видове усилвателни схеми . . . . .	313
а. Усилватели на напрежение . . . . .	313
б. Усилватели на мощност . . . . .	319
в. Фазообръщащо стъпало . . . . .	330
4. Отрицателна обратна връзка . . . . .	332
<b>Осма глава. УКВ приемници и предаватели. . . . .</b>	<b>336</b>
1. Особенности на трептящите кръгове за УКВ . . . . .	336
а. Кондензатори за УКВ . . . . .	337
б. Бобини за УКВ . . . . .	338
в. УКВ кръгове с разпределени параметри . . . . .	339
2. УКВ предаватели . . . . .	340
а. Автогенератори на УКВ . . . . .	341
б. Автогенератори с кварцова стабилизация . . . . .	344
в. Многостъпални УКВ предаватели . . . . .	347
3. УКВ приемници . . . . .	353
а. Свръхрегенеративно приемане . . . . .	354
б. Суперхетеродинни УКВ приемници . . . . .	356
в. УКВ конвертери . . . . .	360
<b>Девета глава. Телевизия. . . . .</b>	<b>365</b>
1. Схема на съвременна система за телевизионно предаване . . . . .	365
2. Телевизионен предавател . . . . .	367
3. Телевизионни приемници . . . . .	370
а. Схеми . . . . .	370
б. Видеоусилватели . . . . .	371
в. Корекция на честотните характеристики в областта на високите честоти и настройка на усилвателите с корекции . . . . .	376
г. Корекция на видеоусилвателите в областта на ниските честоти . . . . .	379
д. Стъпало с катоден товар . . . . .	380
е. Електронни лампи, използвани във видеоусилвателите . . . . .	380
ж. Детектиране . . . . .	381
з. Преобразуване на честотата . . . . .	383
и. Способи за разделяне на сигналите на образа и звука . . . . .	385
к. Високочестотен блок на телевизорите . . . . .	387
л. Разгъващи устройства . . . . .	388
м. Настройка на телевизионните приемници по изпитателна таблица . . . . .	391
4. Борба със смущенията в телевизията . . . . .	394
5. Електроннолъчеви тръби . . . . .	399
а. Приемни тръби . . . . .	399
б. Предавателни тръби . . . . .	400
<b>Десета глава. Антени. . . . .</b>	<b>404</b>
1. Приемни антени . . . . .	404
а. Основни технически показатели на приемните антени . . . . .	404
б. Стайни антени . . . . .	405
в. Външни антени . . . . .	405

г. Антишумови антени . . . . .	407
д. Магнитни антени . . . . .	408
е. Приемни телевизионни антени . . . . .	410
ж. Видове телевизионни антени . . . . .	417
з. Ненасочени УКВ приемни антени . . . . .	427
2. Антени за приемно-предавателни любителски радиостанции . . . . .	428
а. Слабо насочени приемно-предавателни антени . . . . .	428
б. Насочени антени . . . . .	431
в. Приемни КВ антени . . . . .	433
<b>Единадесета глава. Раднотехнически измервания . . . . .</b>	<b>435</b>
1. Особенности на радиотехническите измервания . . . . .	435
2. Грешки при измерванията . . . . .	436
3. Разширение обхвата на измерването на електроизмервателните уреди . . . . .	437
4. Измерване на ток и напрежение . . . . .	443
5. Измерване на мощност . . . . .	445
6. Измерване на съпротивление . . . . .	446
7. Измерване на капацитет . . . . .	449
8. Измерване на индуктивност . . . . .	449
9. Измерване на Q-фактора на трептящите кръгове . . . . .	450
10. Измерване на честота . . . . .	452
11. Измервателни генератори . . . . .	455
12. Осцилографи . . . . .	459
Литература . . . . .	461

*Издателството моли читателите да дават бележки и преценки както по съдържанието на книгата, така и по нейното художествено и техническо оформление, като съобщават своя точен адрес, професия и възраст.*

*Молим също така библиотечните работници да уведомяват периодично издателството за търсенето на книгата и да събират читателски отзиви.*

*Всички материали да се изпращат на адрес :  
София, пл. „Славейков“ 11, Държавно издателство „Медицина и физкултура“.*

Редактор Иван Ганев  
Художествен редактор Евгении Босяцки  
Технически редактор Константин Киров  
Коректор Кристина Кривомира Златанова  
Коректори: Вистра Недева, Елена Костова,  
Младенка Дончева и Милка Колева

\* \* \*

Дадена за набор на 22. VI. 1961 г. Подписана за печат на 28. XI. 1961 г.

Печатни коли : 29,25 Издателски коли : 24,28

Формат : 59/84,16 Тираж : 8075

Тема: № 1400 Издат. № 474 Лит. група III-2

Книжно тяло 9,70 лв. Подвързия 2,30 лв.

Цена 12 лв. по ценоразписа от 1956 г.

Книжно тяло 0,97 лв. Подвързия 0,23 лв.

Цена 1,20 лв. 1962 г.

\* \* \*

Държавно издателство „Медицина и физкултура“, пл. „Славейков“ 11  
Държавна печатница „Тодор Димитров“, кл. 1, София